

هندسة الأساسات

تصميم وتنفيذ الأساسات السطحية

أستاذ دكتور مهندس
السيد عبد الفتاح القصري



مقدمة

بالرغم من أن علم الأساسات من العلوم الحديثة التي ظهرت في نهاية الربع الأول من القرن العشرين إلا أن استخداماته ومبادئه أحس الإنسان القديم بها وتناولها في مبانيه منذ القدم . فالإنسان المصري القديم كان بفطنته يختار الأرض القوية لبناء مساكنه ومعابده ومقابرها مثلاً اختيار هضبة الهرم لبناء الأهرام عليها رغم بعد هذه الهضبة عن مجرى النيل الذي كان ينقل فيه أحجاره من جنوب الوادي ، كما استخدم العديد من مبادئ علم الأساسات عند تنفيذ مبانيه ومعابده والتي مازالت باقية حتى الآن شاهدة على عظمة هذا الإنسان .

ومنذ أكثر من ألف سنة كتب أحد المهندسين الرومان (وإسمه فيتروفيوس) يلخص مبادئ علم الأساسات فيما يلى : - " أن الأساسات وهي الجزء الأسفل من المباني يجب أن توضع على تربة صلبة إن وجدت وفي حالة عدم وجودها يجب حفر الأرض تحتها للوصول إلى هذه التربة كما يجب التأكد من عدم زيادة ثقل المباني عن قوة تحمل التربة التي تحتها وإلا حدث هبوط للمبنى " .

ومسئولية مهندس الأساسات كبيرة وخطيرة ولا تحتمل الخطأ ، فالخطأ في الأساسات هو الخطأ الأول والأخير والذي قد يتربّ عليه إنهيار المبني بالكامل . ودائماً ما نقول لطلابنا في أقسام الهندسة المدنية بأن خطأ الطبيب قد لا يتعذر وفاة مريض واحد ، وقد يدفن خطأ الطبيب مع مريضه ، وقد يقال إنّه عمر المريض وهذا أجله ، وخطأ السائق الذي يقود ركابه إلى الموت قد يقال عنه قضاء وقدر وإن خطأ الآخرين سرعان ما يذوب في عالم النسيان ، أما عمل المهندس المدني فيبقى دائماً واضحاً للعيان وخطأه مكشوف للجميع وفضحه منشورة وقد يكون ضحايته بالعشرات أو المئات إذا أدى خطأه إلى إنهيار مبني .

وهذا الجزء من مرجعنا ضم ثمانية أبواب تحتوى على ثمان موضوعات هامة من علم هندسة الأساسات بدأت بباب عن إستكشاف التربة وأبحاث الموقع وقدمنا في هذا الباب تفصيل خطوات إعداد تقرير التربة والأساسات وهو أول مستند هندسى إنشائى لازم لأى مبنى يراد تنفيذه ، وخصص الباب الثاني لطرق حساب قدرة تحمل التربة سواء الحسابية منها أو الموقعة وضم الباب الثالث أنواع الأساسات السطحية وأحمالها والضغط عليها كما ضم طريقتين التصميم بالإجهادات القصوى وبإجهادات التشغيل وضم هذا الباب أيضاً كيفية تنفيذ الأساسات من إحلال وخرسانات ورسومات ، وخصص الباب الرابع لتصميم القواعد المنفصلة بطرفي التصميم المذكورتين . أما تصميم الأساسات الشريطية فقد إختص بها الباب الخامس ، وفي الباب السادس قدمنا تصميم القواعد المشتركة والكافولية ، وإحتوى الباب السابع على

الطرق التقريرية والتقليدية لتصميم البشة ، ثم قدمنا في الباب الثامن التحليل العددي للأساسات باستخدام طرق التحليل المختلفة والحديثة التي تعتمد على استخدام الكمبيوتر ، ولقد أوردنا عدداً وفيراً من الأمثلة المحلولة على الطرق والنظريات المختلفة الواردة بهذا الكتاب كما أوردنا من الكود المصري التجارب الموقعة وما يخص الموضوعات المعروضة ، كما رأينا الإشارة الدالة للكودات الأخرى العربية منها والعالمية ، كما قدمنا في نهاية كل باب عدداً كبيراً من المسائل ليستطيع القارئ تطبيق الطرق المختلفة لتصميم عليها ،

ولقد إستخدمنا في هذا المرجع أسلوب التصميم بطريقة إجهادات التشغيل والتي مازال عدد كبير من المهندسين يستخدمها في الوقت الحاضر وطريقة الإجهادات القصوى وهي الطريقة الأحدث التي يتوجه إلى استخدامها المهندسون ولقد أوردنا العديد من الأمثلة العددية بهذه الأسلوبين

أما فيما يخص لغة هذا المرجع فلقد اتبعنا الإسلوب الثنائي اللغة الذي انتهجناه في كتابنا "ميكانيكا التربة" والذي لاقى إستحساناً كبيراً في مصر والعالم العربي وهذا الإسلوب يعتمد على تقديم الموضوعات وشرحها باللغة العربية لإيماننا المطلق بأن اللغة العربية تستوعب العلوم الحديثة مع احتفاظنا بكتابه المعادلات وال العلاقات والمصطلحات والأمثلة والمسائل باللغة الإنجليزية حتى يتمكن القارئ من الرجوع إلى المراجع الأجنبية لمراقبة وملاحقة التطورات التي تحدث في هذا المجال .

وإننا على وعد مع قرائنا بإصدار الجزء الثاني من هذا الكتاب وإن شاء الله سوف يتضمن هذا الجزء باقي موضوعات علم هندسة الأساسات مثل الأساسات العميقة من خوازيق وهامات ودعامات وقيسونات ، الحواطن السائدة ، الستاير اللوحية وأساسات الدائرية للخزانات والأبراج، أساسات خزانات البترول ومنصات البترول ، وأساسات الحديثة ، وترميم ومعالجة الأساسات ونظم تصريف المياه الأرضية وقواعد الماكينات وغيرها من الموضوعات الهامة في هذا العلم .

وإننا إذ نقدم هذا الكتاب للعاملين والمهتمين بمجال البناء والإنشاء - المهندسين المدنيين والمعماريين وطلاب كليات الهندسة والمعاهد العليا للتكنولوجيا نسأل الله أن تعم فائدته الجميع .

الأستاذ الدكتور/ السيد عبد الفتاح القصبي

أستاذ ورئيس قسم الهندسة المدنية

المعهد العالي للتكنولوجيا ببنها

فهرس

صفحة

الموضوع

٧	مقدمة
٩	الباب الأول: استكشاف التربة وأبحاث الموقع
٩	❖ أهمية أبحاث الموقع
٩	❖ البيانات المطلوبة من أبحاث الموقع
١٠	❖ برنامج إستكشاف التربة
١٠	❖ الخطوات التفصيلية لاستكشاف التربة
١١	أولاً : المعلومات الأساسية المتاحة
١١	ثانياً : إسطلاع الموقع
١٢	ثالثاً : جسات التربة
٢٥	رابعاً : عينات التربة
٣٢	خامساً: الاختبارات الموقعة
٤٣	سادساً: المياه الجوفية
٤٦	سابعاً: إعداد تقرير أبحاث التربة
٤٦	ثامناً : تحليل النتائج و دراستها
٦٣	تاسعاً: إعداد تقارير أبحاث التربة
٦٤	❖ استكشاف التربة بالطرق الجيو فيزيائية
٦٤	أولاً: طرق استكشاف الزلزالى
٧٠	ثانياً: طرق الاستكشاف بالمسح الكهربى
٧٥	❖ الاختبارات وفقاً للكود المصرى
١٠٣	❖ مسائل
١١٣	الباب الثالث: قدرة التحمل
١١٣	مقدمة
١١٣	❖ قدرة التحمل القصوى

♦ تعين قدرة التحمل.....	١١٥
♦ معادلة ترزاجي لقدرة التحمل.....	١١٥
♦ تأثير المياه الجوفية.....	١١٧
♦ معادلة مايرهوف لقدرة التحمل.....	١٢١
♦ معادلة هانزن لقدرة التحمل	١٢٣
♦ معادلة فيزك لحساب قدرة التحمل.....	١٢٤
♦ اختبار معادلة قدرة التحمل.....	١٢٤
♦ قدرة تحمل التربة الصافية والأمنة والمسموح بها.....	١٣٠
♦ الأساسات الغير مركزية الحمل.....	١٣٥
♦ الأساسات على الطين.....	١٤٠
♦ قدرة تحمل الصخر.....	١٤٢
♦ قدرة التحمل للأساسات على التربة الطبقية.....	١٤٦
♦ قدرة تحمل الأساسات على المنحدرات.....	١٥٥
♦ قدرة التحمل من اختبار الإختراق القياسي.....	١٥٨
♦ قدرة التحمل من اختبار الإختراق بالمخروط.....	١٦٠
♦ تعين قدرة التحمل من اختبار التحميل الموقعي.....	١٦١
♦ قيم إسّترشادية لقدرة التحمل.....	١٦٨
♦ هبوط الأساسات السطحية.....	١٦٩
♦ الهبوط النسبي أو المتقاوت.....	١٨٨
♦ الاختبارات وفقاً للكود المصري.....	١٩٣
♦ مسائل.....	١٩٩
الباب الثالث: الأساسات السطحية.....	٢١٣
♦ الأساسات والغرض منها.....	٢١٣
♦ أنواع الأساسات.....	٢١٣
♦ اختبار نوع الأساس.....	٢١٤
♦ تحديد عمق التأسيس.....	٢١٦
♦ الأحمال على الأساسات.....	٢١٧

♦ نوريغ ضغط التماس تحت الأساسات السطحية	٢١٨
♦ مساحة الأساس وقدرة التحمل	٢٢٢
♦ طرق تصميم القطاعات	٢٢٥
♦ التصميم بطريقة المرونة (طريق إجهادات التشغيل)	٢٢٦
♦ التصميم بطريقة حالات الحدود	٢٢٨
♦ معنى تصميم الأساسات	٢٢٩
♦ المقاطع الحرجة لتصميم الأساسات	٢٣٠
♦ حديد التسلیح للأساسات	٢٣٢
♦ أبعاد خرسانية	٢٣٢
♦ الخرسانة العادي للأساسات	٢٣٤
♦ طبقات الإحلال	٢٣٨
♦ أسباب فشل الأساسات السطحية	٢٤١
♦ تخطيط الموقع والحفر وتنفيذ الأساسات	٢٤٧
♦ رسومات الأساسات	٢٤٩
♦ معلومات من الكود المصري	٢٥٠
♦ مسائل	٢٧٣
الباب الرابع: تصميم القواعد المنفصلة	٢٨١
♦ تصميم القواعد المربعة بطريقة المرونة (إجهاد التشغيل)	٢٨٣
♦ التصميم بطريقة المقاومة القصوى	٢٩٠
♦ تصميم القواعد المربعة بطريقة المقاومة القصوى	٣٠٠
♦ تصميم القواعد المستطيلة	٣١٠
♦ القواعد المعرضة لعزم إلحناء	٣١٧
♦ السملات والميد الرابطة	٣٣١
♦ مسائل	٣٣٥
الباب الخامس: تصميم الأساسات الشريطية	٣٤١
♦ أنواع الأساسات الشريطية	٣٤١
♦ الأساسات الشريطية للحوائط	٣٤١

❖ تصميم الأساسات الشريطية للحوائط بطريقة المرونة(إجهاد التشغيل)	٣٤٨
❖ تصميم الأساسات الشريطية للحوائط بطريقة المقاومة القصوى	٣٤٨
❖ الأساسات الشريطية المعرضة لعزم الإنحناء	٣٥٥
❖ استخدام القواعد الشريطية لحوائط المصاعد ولب المبني	٣٥٨
❖ الأساسات الشريطية تحت صفوف الأعمدة	٣٦٢
❖ مسائل	٣٦٩
الباب السادس: القواعد المشتركة	٣٧٣
❖ تصميم القواعد المشتركة المستطيلة	٣٧٨
❖ تصميم القواعد المشتركة شبه المنحرف	٣٩٢
❖ حالة خاصة من القواعد المشتركة المستطيلة وشبه المنحرف	٤٠١
❖ تصميم القواعد المشتركة بطريقة الإجهادات القصوى	٤٠٣
❖ تصميم القواعد ذات الشداد(الواحد الكابولي)	٤٠٨
❖ حالات خاصة لقواعد ذات الشداد	٤١٧
❖ مسائل	٤٢٣
الباب السابع: تصميم اللبسة بالطرق التقليدية	٤٢٩
❖ أنواع أساسات اللبسة	٤٢٩
❖ الهبوط المتباين للبسة	٤٣١
❖ تنفيذ اللبسة	٤٣٢
❖ تصميم اللبسة	٤٣٣
أولاً : تصميم اللبسة كقاعدة مستمرة	٤٣٤
ثانياً : تصميم القاعدة ك بلاطة منبسطة	٤٤٠
ثالثاً : تصميم اللبسة بالطريقة التقليدية	٤٤٤
رابعاً: تصميم اللبسة الكرمية	٤٦١
❖ مسائل	٤٧١
الباب الثاون: التحليل العددي للأساسات	٤٧٧
❖ معنى تصميم الأساسات	٤٧٧
❖ الحلول القياسية المعتمدة على ضغط التماس	٤٨٠

❖ شكل ضغط التماس.....	٤٨٠
❖ الأساس الجاسى.....	٤٨٠
❖ الأساس المرن.....	٤٨١
❖ نظام حسابات التصميم.....	٤٨٢
❖ معاملات المرونة للتربة.....	٤٨٤
أ- معامل المرونة.....	٤٨٤
ب- معامل بواسن.....	٤٨٥
ج- معامل الجسامه(القص).....	٤٨٦
د- معامل رد فعل التربة.....	٤٨٧
❖ حل هيئى لكمرا على تربة مرنة.....	٤٩١
❖ طريقة الفروقات المحددة.....	٥٠٠
❖ طرق تصميم الأساسات المشتركة بطريقه الفروق المحددة.....	٥٠٤
❖ استخدام إسلوب الفروقات المحددة لتطبيق طريقة الأساس المرن وما تحت الأساس بسيط المرونة.....	٥٠٥
❖ استخدام الفروقات المحددة للحل بطريقه "الأساس وما تحته مرنان".....	٥١١
❖ الأساسات المتغيرة في عزم القصور الذاتي.....	٥١٥
❖ طريقة العناصر المحدودة لكمرا على تربة تأسيس مرنة.....	٥٢٦
❖ تصميم الأساسات المشتركة لكمرا على تربة مرنة بالعناصر المحدودة.....	٥٣٥
❖ تصميم أساسات اللبشه.....	٥٣٦
❖ تصميم اللبشه بطريقه المرونة التقريبيه.....	٥٣٩
❖ تصميم اللبشه بطريقه الفروق المحددة.....	٥٤٣
❖ تصميم اللبشه بطريقه العناصر المحدودة.....	٥٤٩
❖ طريقة الشبكات المحدودة لللبشه.....	٥٥٢
❖ من الكود الصرى لميكانيكا التربة والأساسات.....	٥٥٦
❖ مسائل.....	٥٦٣
المراجع.....	٥٦٧

الباب الأول

استكشاف التربة و ابحاث الموقع

Soil Exploration and Site Investigations

أهمية أبحاث الموقع :

تصميم وتنفيذ أي مشروع مني يستلزم دراسة تربة موقع هذا المشروع وفهم خصائصها وصفاتها الهندسية، ويؤثر حجم ونوع المشروع في حجم أبحاث الموقع. فالمشروعات الضخمة والهامة تحتاج إلى دراسة تربة دقيقة و شاملة، وأيضاً المشروعات الصغيرة يجب أن يسبقها دراسة مناسبة أيضاً لرتبة موقعها.

وبالرغم من أهمية وضرورة أبحاث الموقع ودراسة التربة فإنها لا تمثل نسبة عالية في تكاليف المشروع، وفي أغلب الأحيان تكون هذه النسبة من ٥٪ إلى ٢٪ في المائة من التكاليف الكلية للمشروع، وفي حالات خاصة أو تربة غير عاديّة تصل هذه التكاليف من ٥٪ إلى ١٪ من التكاليف الكلية للمشروع.

والغرض من أبحاث التربة تحديد المواصفات الإنجليزية في النقاط الآتية :

- ١- لمعرفة مدى ملائمة الموقع للأعمال المقترحة تنفيذها عليه.
- ٢- للتمكن من إعداد نسب تصميم اقتصادي للمشروع المقترح.
- ٣- لاختيار أفضل الطرق للتنفيذ.
- ٤- لتحديد حالة المياه الجوفية ومناسبيها وتثيرها على الأعمال المقترحة.
- ٥- لاختبار نسب الموقع أو نسب الأماكن في الموقع لتنفيذ المشروع المقترح عليه.

البيانات المطلوبة من أبحاث التربة : Data Required

كمية البيانات المطلوبة لأى مشروع تتوقف على حجم ونوع هذا المشروع وعموماً

تكون أهم البيانات المطلوبة من أبحاث التربة هي :

- ١- بيانات لتحديد طبقات التربة في الموقع وصفات كل منها.
- ٢- بيانات لتحديد نوع وعمق الأسسات المطلوبة.
- ٣- بيانات لتحديد جهد تربة التأسيس.

- ٤- معلومات كافية لحساب القيمة المتوقعة للهبوط .
- ٥- موقع المياه الجوفية وتأثيراتها .
- ٦- معلومات لتحديد الاحتياطات اللازمة للتأسيس .
- ٧- تحديد مناكل التربة بالموقع مثل القلبانية للإنفصال أو للإبهار .
- ٨- ظروف البيئة حول الأساسات والمبني ومعالجتها .

برنامج استكشاف التربة : Subsurface Exploration Program

يمر استكشاف التربة بعدة خطوات منظمة تتمثل في :

- تجميع المعلومات الأساسية المتاحة Available Preliminary Information : حيث يتم الحصول على كافة المعلومات المتاحة الخاصة بالبيانات التصميمية للمنشأ المراد تنفيذه .
- استطلاع الموقع Reconnaissance of the Area من الأهمية زيارة الموقع لاستطلاعه على الطبيعة وتجميع كافة المعلومات الخاصة بالموقع وما عليه وما يحيط به .
- الأبحاث الأولية Preliminary Site Investigation في هذه المرحلة يتم تنفيذ عدد قليل من الجسات وحفر الاختبار لتكوين فكرة عامة عن طبقات التربة وأنواعها وكذلك تحديد منسوب المياه الجوفية كما يجب عمل جسمة واحدة على الأقل للوصول للطبقات الصخرية أو الزلطية السفلية . ويتوقف حجم هذه المرحلة على حجم المشروع وفي المشروعات الصغيرة تكون هذه المرحلة هي المرحلة الأساسية والتفصيلية لأبحاث الموقع . كما يجب في المشروعات الكبرى تحديد وسائل تحضير الموقع للعمل مثل وسائل سند الحفر وتصريف المياه من الواقع في حالة وجودها . كما يمكن إجراء بعض التجارب البسيطة مثل تعين مقاومة الفص وخصوصيات التربة اللازمة لحساب الهبوط وحدود انزلاق وتجارب الإنفصال .
- الأبحاث التفصيلية Detailed Site Investigation تلزم هذه المرحلة للمشروعات الكبيرة حيث تستكمل عملية تجميع البيانات والمعلومات الخاصة بتربة الموقع . ويتم ذلك بتحديد أماكن الجسات وأماكنها بالتفصيل لتغطي موقع البناء تماماً . كما يتم الحصول على عينات متعددة النوع ومتعدلة من هذه الجسات . ويتم في هذه المرحلة أيضاً الحصول على المعلومات والبيانات بطرق تفصيلية ودقيقة . كما يجب معرفة أماكن الطبقات الضعيفة والردم ودراسة تأثير الحفر على العناشر المجاورة .

الخطوات التفصيلية لاستكشاف التربة :

استكشاف التربة يتم تفصيلاً بتنفيذ الخطوات الآتية :

- ١- تجميع المعلومات الأساسية المتاحة .

٢- استطلاع الموقع.

٣- الجسات، طرق تغذتها، عمقها، توقيعها.

٤- العينات، أنواعها، طرق الحصول عليها.

٥- الاختبارات الموقعة.

٦- المياه الجوفية.

٧- الاختبارات المعملية.

٨- تحليل النتائج ودراستها.

٩- إعداد تقرير لباحث التربة.

: Avialable Preliminary Informations : المعلومات الأساسية المتاحة

في هذه المرحلة يجب على القائمين باستكشاف التربة تجميع كافة البيانات والمعلومات المتاحة الخاصة بالأبعاد الرئيسية والتصميمية للمنشأ المراد تنفيذه على الموقع تحت الدراسة. ومن هذه المعلومات أبعاد وبحور الأعمدة، نوع المنشآء والاعتبارات المعمارية الخاصة، وكذلك أحجام الأعمدة وعدد الأدوار المطلوب. كما يجب الإلمام بالمواصفات المحلية والقومية لأعمال الإنشاءات في المنطقة الواقع فيها الموقع. أما في حالة الكباري فيجب معرفة أطوال البحور وأحمال البغال والأكتاف وحركة المياه في المجاري المائية القريبة من أماكن الكباري.

: Reconnaissance of the Area : استطلاع الموقع

من الأمور الهامة أن يقوم المهندس بزيارة الموقع لاستطلاعه. وقد يستخدم في زيارته التصوير الفوتوغرافي أو التصوير التليفزيوني بالفيديو أو بالتصوير الجوى فى المشروعات الضخمة. كما يجب معرفة المعلومات الآتية :

١- الطبوغرافية العامة للموقع.

٢- دراسة خطوط المراافق من كهرباء ومياه ومجاري.

٣- معرفة عامة عن التربة وطبقاتها من خلال فحص الحفر ودراسة الجسات والتقارير السابق عملها لمنشآت قريبة وكذلك من خلال معرفة نوع المزروعات بالمنطقة والتى تعبر عن طبيعة ونوع التربة.

٤- المياه الجوفية، حالتها وموقعها.

٥- أنواع المنشآت القرية ونوع الشروخ لمن وجدت بها.

٦- حالة المجرى المائي وحركة المياه به في حالة تنفيذ الكباري.

٧- دراسة مواد البناء أو التربة التي يمكن استخدامها في عملية تنفيذ المشروع.

ثالثاً : جسات التربة Soil Borings

الجسة هي ثقب رأسى ينفذ في موقع المنشآت المراد استكشافه بغرض الحصول على عينات من التربة لدراستها أو التعرف على طبيعة طبقات التربة وسمكها وصفاتها.

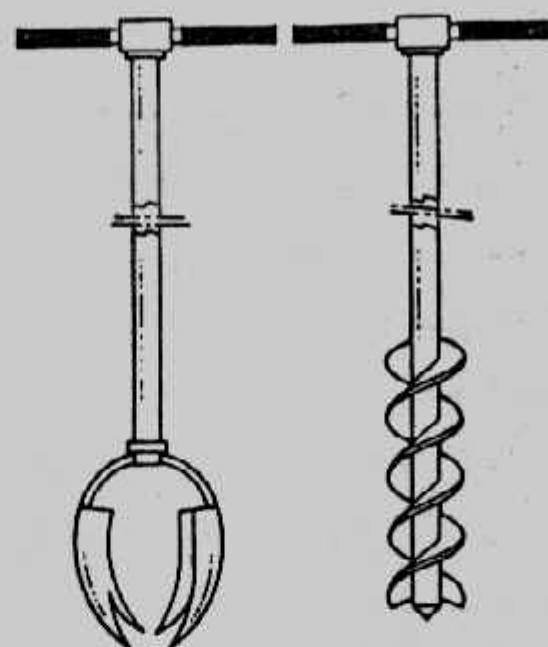
أ- طرق تنفيذ الجسات : يتم تنفيذ الجسات إما يدوياً أو ميكانيكيًا باستخدام معدات ميكانيكية بأحد الطرق الآتية :

١- جسات التنقيب بالبريمة : Auger Boring هذه الطريقة هي أبسط الطرق لعمل الجسات . وبين شكل (١-١) الأدوات اليدوية التي تستخدم في الحصول على عينات التربة عن طريق عمل حفر اختبار Test Pit . ويمكن استخدام الأدوات اليدوية في الحصول على عينات مقلولة Disturbed Sample بقطر في حدود ١٠ سم وتستخدم هذه الأدوات لعمق لا يزيد عن ٣-٥ متراً وهذه الأعماق مناسبة لأعمال الطرق والمطارات والمنشآت الصغيرة أما عند الأعماق الأكبر التي قد تصل إلى ٦٠ متراً فيمكن استخدام الممقاب الميكانيكي حيث يتم دفعه ميكانيكيًا مع إزالة التربة المعلقة بصفة دورية . كما يمكن استخدام الممقاب الميكانيكي أحياناً بصفة مستمرة ورفعه مرة واحدة ، ويمكن فحص التربة المزالة للتعرف على نوع التربة على طول عمق الجسة ويصل قطر الجسة في هذه الطريقة إلى ٢٥ سم . كما أن الممقاب الميكانيكي يمكن أن يخترق التربة والصخر الناعم إلى عمق ٣٠ متراً في أقل من ساعة .

كما يمكن استخدام طريقة الممقاب المفرغ لأخذ عينات مقلولة أو غير مقلولة على أعماق كبيرة . وفي هذه الطريقة يتم الدفع الميكانيكي لممقاب بريمة مفرغ من الداخل . ولا تصلح هذه الطريقة للحصول على عينات غير مقلولة من التربة الرملية أو الطميية .

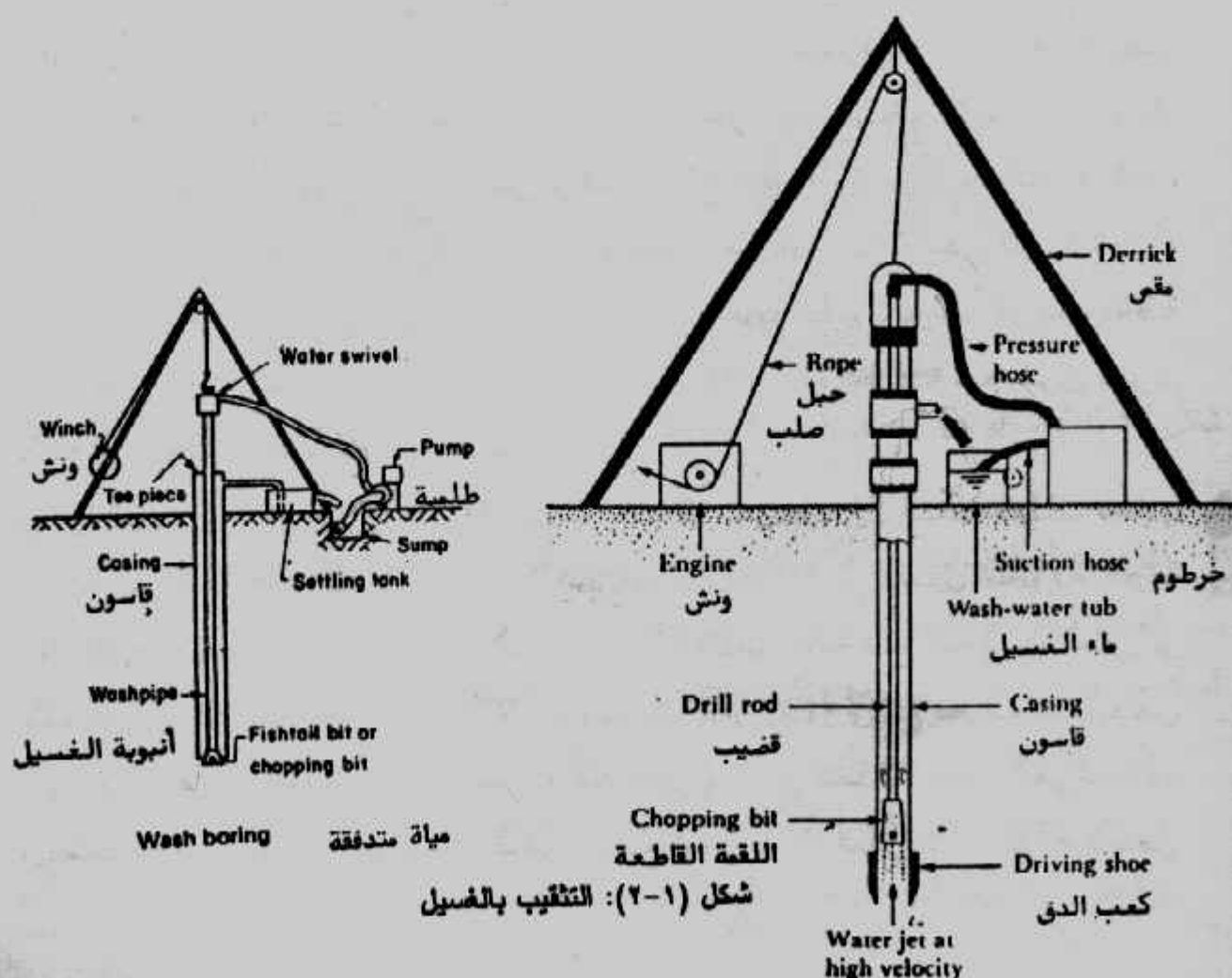
٢- جسات التنقيب بالغسيل Wash Boring : يبين شكل (٢-١) طريقة عمل الجسات بالغسيل . وفي هذه الطريقة يتم دق ماسورة (فاسون) بطول من ٣-١٠,٥ متراً وبقطر من ٥ إلى ١٠ سم . ثم تزال التربة من داخل الفاسون بواسطة دفع الماء من خلال لقمة القطع Chopping Bit والتي ترکب في أسفل زراع التقطيب Drill Rod وتنزل داخل الفاسون . وتتدفق المياه تحت ضغط وبسرعة عالية خلال ثقوب ضيقة في لقمة القطع فتعمل على تقطيع وتفتيت التربة داخل الفاسورة . وتتقلل المياه فتات التربة عند اندفاعها إلى أعلى الفاسون من خلال الفراغ بين الفاسون وزراع التقطيب حيث تخرج من وصله على شكل حرف T ويتم تجميع مياه الغسيل (المياه وفتات التربة) في إثناء حيث يتم ترسيب فتات

التربيه . ويتم التعرف على طبقات التربه وأنواعها حسب تسلسل الطبقات عن طريق معدل الحفر ومن فحص مكونات فتات التربة المترسبة .



Hand tools: (a) post hole auger; (b) helical auger

شكل (١-١): الأدوات اليدوية للحصول على العينات



شكل (١-٢): التثقيب بالغسيل

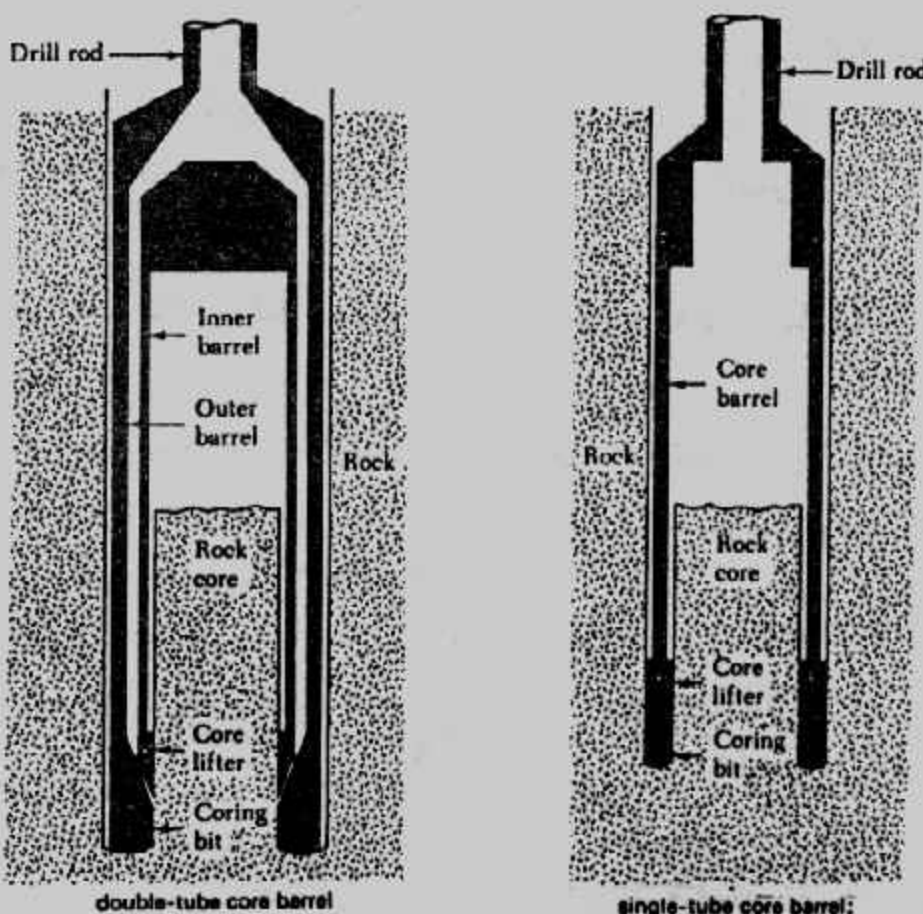
ويمكن أخذ عينات مقلولة من التربة المترسبة، وتصالح هذه الطريقة للتربة الرملية والزلطية والطميّة. كما يعيّب هذه الطريقة عدم إمكانية الحصول على عينات غير مقلولة وصعوبة تحديد منسوب المياه الجوفية. <<

٣- جسات التثقيب بالدوران **Rotary Drilling** : يتم في هذه الطريقة الدفع مع الدوران لقاطع التربة ميكانيكيا بسرعات عالية مع ضخ سوائل حفر لقطع وطحن التربة إلى أجزاء صغيرة وإزالة مخلفات الحفر . ويتم التعرف على التربة وطبقاتها من معرفة معدل تقدم الحفر ومن فحص مخلفات الحفر . وقد يستخدم القاسون في بعض الأحيان عند سطح الجهة، ويمكن الحصول على عينات مقلولة من التربة على أعماق مختلفة باستخدام اسطوانات أخذ العينات Samplers بعد رفع زراع التثقيب ولقمة التثقيب . وسوائل الحفر قد تكون مياه أو طين التثقيب . وطين التثقيب يتكون من الماء والبنتونيت Bentonite . وتصالح هذه الطريقة لجميع أنواع التربة ما عدا الزلط الكبير . وبالرغم من أن هذه الطريقة تعتبر من أسرع طرق عمل الجسات إلا أنه يصعب فيها تحديد التغير في طبقات التربة بالدقة العالية .

٤- جسات التثقيب بالدق **Percussion Drilling** : في هذه الطريقة يتم تفتيت التربة بواسطة تكرار رفع وإسقاط لقمة تثقيب ثقيلة مع استخدام كمية محدودة من الماء لتكون خليط خفيف القوام في قاع الحفرة ثم يتم سحب خليط التربة والماء بصفة مستمرة بالبلف أو بطلعنة رمل وقد تحتاج هذه الطريقة إلى استخدام قاسون ، ويستدل على تغير طبقات التربة عن طريق معدل الحفر وصعوبة إزالة أدوات الحفر أو فحص ناتج الحفر . وتستخدم هذه الطريقة لعمل الجسات في التربة الصلبة أو في الصخور . ولا تفضل هذه الطريقة لفحص التربة العادي عند ضرورة الحصول على عينات غير مقلولة نظراً لصعوبة تحديد تغيرات التربة والقلقة التي تحدث للتربة تحت سطح قواطع التربة . وقد تستخدم هذه الطريقة مع طرق أخرى لاختراق طبقات الزلط والكتل الصخرية .

٥- جسات التثقيب في الصخر **Rock Core Drilling** : حينما يقابل الجهة طبقات صخر ويصبح من الضروري أخذ عينة صخرية **Rock Coring** فإنه يتم توصيل اسطوانة العينة بقضيب توصيل . وتركب في اسطوانة العينة لقمة قطع تصنع من الماس أو التجسيتين أو الكربيت . ويتم أخذ العينات عن طريق الحفر بالدوران مع استخدام دفع بعض المياه في الحفر أو استخدام سوائل الحفر وذلك للتبريد ودفع مخلفات الحفر أعلى الحفرة . ويستخدم القاسون مع هذا النوع من الحفر . ومع تقدم أعمال الحفر تدخل عينة الصخر

اسطوانة العينة. وتصلح هذه الطريقة لأعمال الجسات في الصخر والتربة الركامية ذات المقاسات الكبيرة. وفي حالة الصخور الضعيفة أو المتشققة فإنه يفضل استخدام قطرات داخلية للأسطوانات أكبر من 5 سم. ويوجد نوعان من اسطوانات القطع، النوع الأول هو اسطوانة القطع ذات الأنبوة المفردة Single-tube core barrel شكل (١-٣)، والنوع الثاني هو اسطوانة القطع مزدوجة الأنبوية شكل (٤-١) والنوع الأول يعطى عينات عالية القدرة، والنوع الأول يعطى عينات عاليات القدرة.



شكل (١-٤): اسطوانة القطع مفردة الأنبوية شكل (١-٤): اسطوانة القطع مزدوجة الأنبوية

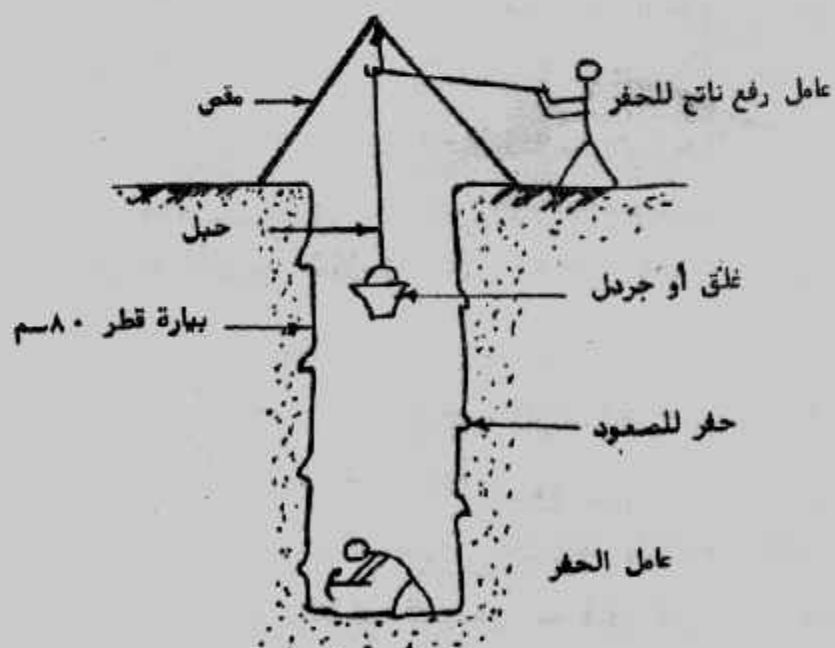
٦- طرق عمل الجسات بمصر : يتم استكشاف الموقع في مصر عن طريق الجسات والتي أهمها الحفر المكتشفة أو الجسات اليدوية أو الميكانيكية :

أ- الحفر المكتشفة (المفتوحة) Open Pits : يتم في الموقع عمل حفر بالأدوات التقليدية للحفر على شكل مربع أو مستطيل أو دائرة للإستكشاف السطحي لطبقات التربة. وقطع الحفر وعمقها يتوقف على طبيعة التربة وثبات جوانب الحفر وتزداد تكاليف الحفر بزيادة العمق. والحفر المكتشفة أما حفر سطحية Shallow open pits يصل عمقها إلى ٥ متراً أو أثار

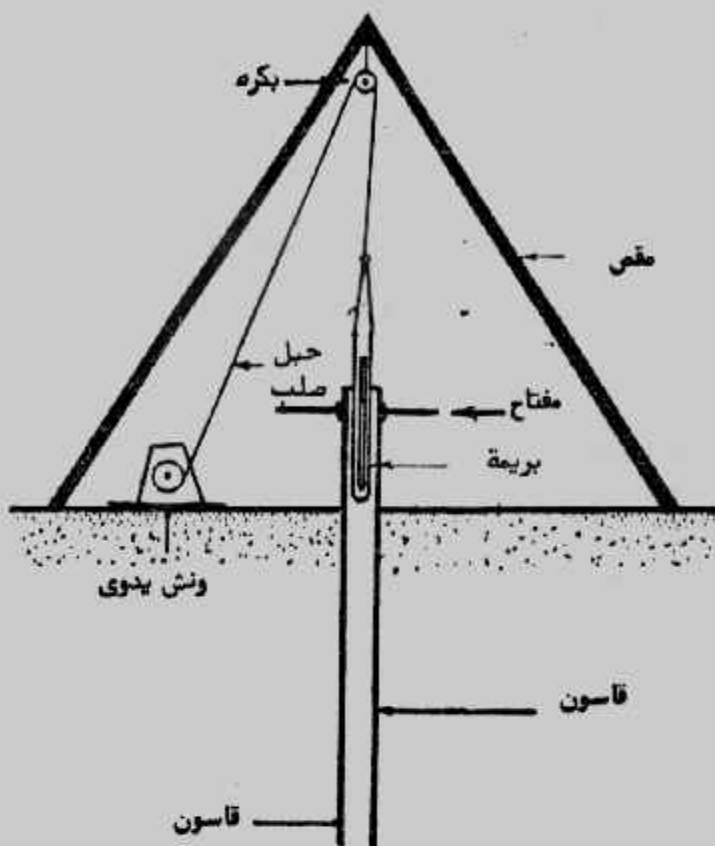
عميقه (ببارات) Deep wells ويمكن أحد عيوب مقلولة من هذه الحفر سواء من جوانبها أو قاعها، ويقوم بأعمال الحفر عمال مدربون وعادة ما يكون قطر الببار مساوياً لعامل واحد يحفر بحجارى (أزمة بيد قصيرة) وعادة ما يكون القطر ٨٠ سم في الحفر الدائرية، ومع زيادة الحفر يعمل على سطح الأرض فوق الحفرة مقص خشب يعلق به خطاف وسلبه (حبل سميك) لرفع ناتج الحفر، ويقوم عامل الحفر مع تقدم الحفر بعمل حفر سند تبادلية يستخدمها للنزول والخروج من الحفرة شكل (١-٥) وتستخدم الحفر المشكوفة عند تنفيذ المنشآت الصغيرة وفي الأماكن التي يصعب فيها عمل جسات سواء لضيق المكان أو بعده، والحفر المكشوفة لا يمكن تنفيذها أسفل منسوب المياه الجوفية أو في التربة المتحجرة أو التي تنهال أثناء الحفر.

بـ- الجسات اليدوية : تعتبر الجسات اليدوية أكثر الطرق انتشارا في مصر شكل (١-٦) وتتفذ بالخطوات الآتية :

- تنصب مكان الجسسة ثلاثة مواسير بطول ٦ مترا من مواسير الحديد لعمل مقص يعلق أعلى خطاف بيكره.
- يعلق بالخطاف حبل صلب مربوط بونش يدوى لإنتزال ورفع المواسير والأدوات.
- تعمل حفرة صغيرة مكان الجسسة بعمق حوالي ٥، مترا توضع بها الوصلة الأولى من الفاسون الحديد قطر ١٥ سم.



شكل (١-٥): الحفر المكشوفة

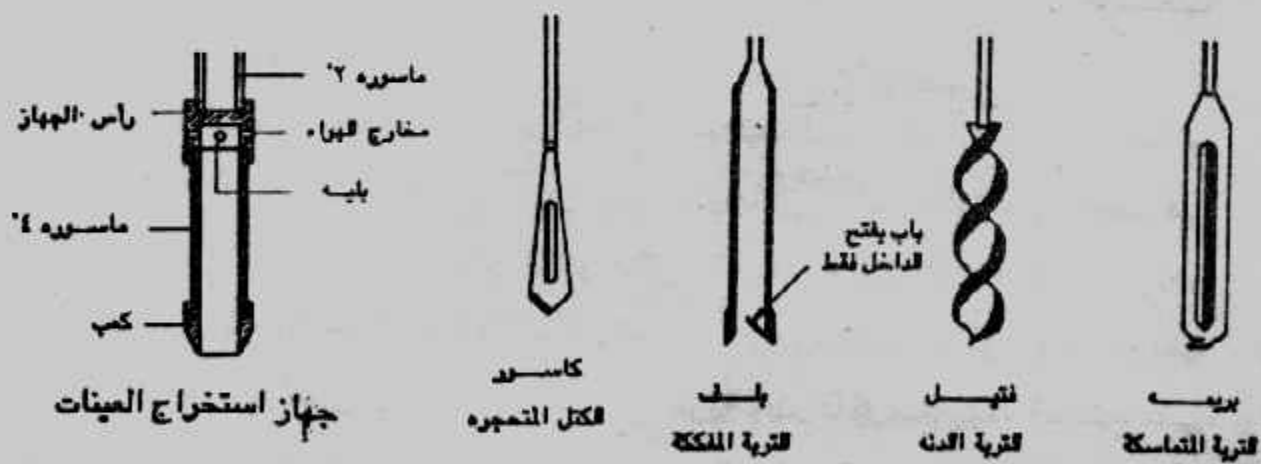


شكل (٦-١): الجسات اليدوية

والتي تكون عادة بطول ٢ مترًا، والقason يبطن جوانب الحفر ويحافظ على بقاء الجسة مفتوحة ويتكون عادة من وصلات بطول من ٣-٢ مترًا مع جلب لتوصيل هذه الوصلات ببعضها مع تقدم الحفر رأسياً.

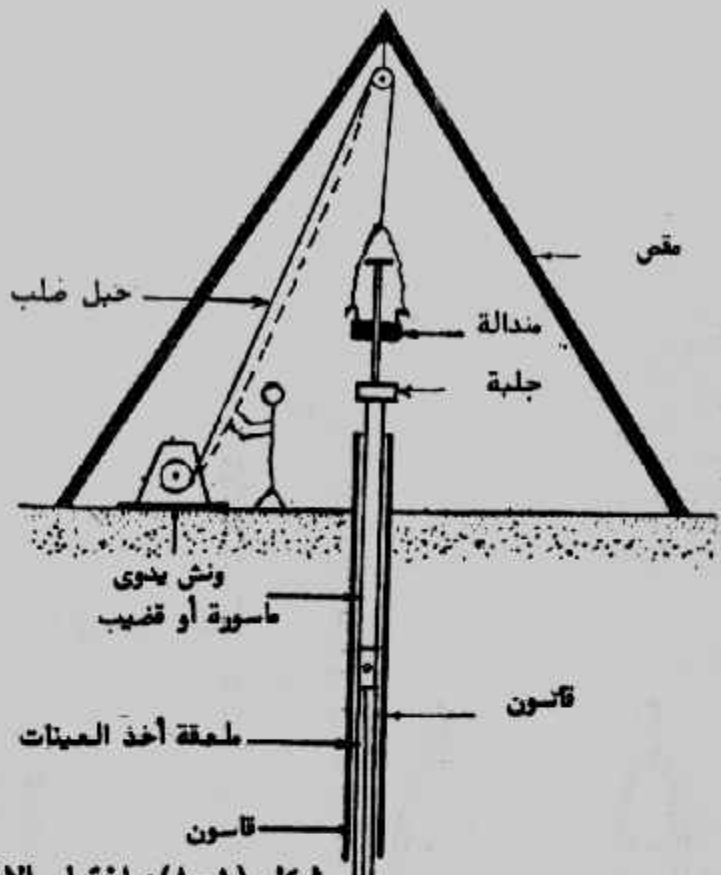
- ترفع باستخدام الونش وصلة من المواسير بقطر ٥ سم يثبت في نهايتها أداة الحفر بريمة أو فتيل شكل (٧-١) والتي تمك بمقاتيح كبيرة يصل طولها إلى ٨٠ سم وتلف حتى تحفر في التربة في قاع القason ويتجمع ناتج الحفر داخل البريمة أو بين أجنحة الفتيل. وعند الإمتلاء ترتفع لسطح الأرض بواسطة ربطها بالحبل الصلب واستخدام الونش. وبعد تفريغها من التربة تسقط مرة أخرى في القason وتلف في التربة ويتم ذلك مع ربط المفاتيح على القason ودفعه إلى أسفل ليغوص في التربة ليعمى جوانب الجسة. وعندما تغوص وصلة من القason في التربة ترتكب وصلة ثابتة وكذلك يتم زيادة وصلات المواسير قطر ٥ سم للوصول إلى قاع الحفر. وعندما يصل الحفر إلى تربة رملية يوصل بالمواسير أداة حفر في التربة المفككة تسمى بلف تترك لتسقط إلى قاع الحفر بالجسة تحت تأثير وزنها ليصطدم بقاع الحفرة الرملية إلى قاع الحفر بالجسة تحت تأثير وزنها ليصطدم بقاع الحفرة الرملية فيدخل الرمل به. والبلف يسع بدخول الرمل أو التربة الخشنة بداخله عند سقوطه في قاع

- الحفر ولا يسمح بخروجها أثناء رفعه من الجesse حيث يوجد أسفله باب صغير يفتح للداخل فقط. وعندما يقابل الحفر تربة متحجرة يتم إزالت الكاسور وهي أداة حفر للكتل المتحجرة برفعه إلى أعلى وتركه يسقط على التربة حيث تعمل نهايته المدببة على تفتيتها ثم ترفع الأجزاء إلى خارج الجesse باستخدام الباف.
- عند تواجد التربة وخاصة الرمل فوق منسوب المياه الجوفية يتم سكب كمية من الماء داخل القاسون، كما يجب تسجيل منسوب المياه الابتدائي عند بدء ظهورها وكذلك بعد انتهاء الجesse.
 - يجب ملاحظة التربة التي تخرج من الجesse وبيان أعمق تغير طبقات التربة.
 - تؤخذ عينات مقلولة من التربة كل متراً أو عند تغير الطبقات وتوضح العينات في أكياس بلاستيك لحين توصيلها للمعمل. كما تؤخذ عينات متحجرة غير مقلولة كل متراً عندما يقابل الحفر تربة متماسكة باستخدام جهاز استخراج العينات قطر ٧٥ سم أو ملعقة أخذ العينات قطر ٣٠٧٥ سم. ويدق الجهاز أو ملعقة أخذ العينات في التربة بواسطة منداله يدق بها على وصلة عريضة ترتكب على المسورة المركب بها الجهاز أو الملعقة. ثم يرفع جهاز العينات إلى سطح الأرض ويفك من المواسير وتستخرج العينة منه وتختلف بالشمع السائل الساخن.



شكل (١-٧): أدوات الحفر واستخراج العينات في الجsesات اليدوية

- أثناء تفريز الجesse وعلى أعمق مختلفة وعند تغير الطبقات يتم إجراء الاختبارات الموقعة والتي أهمها اختبار الاختراق القاسي SPT ، شكل (١-٨).

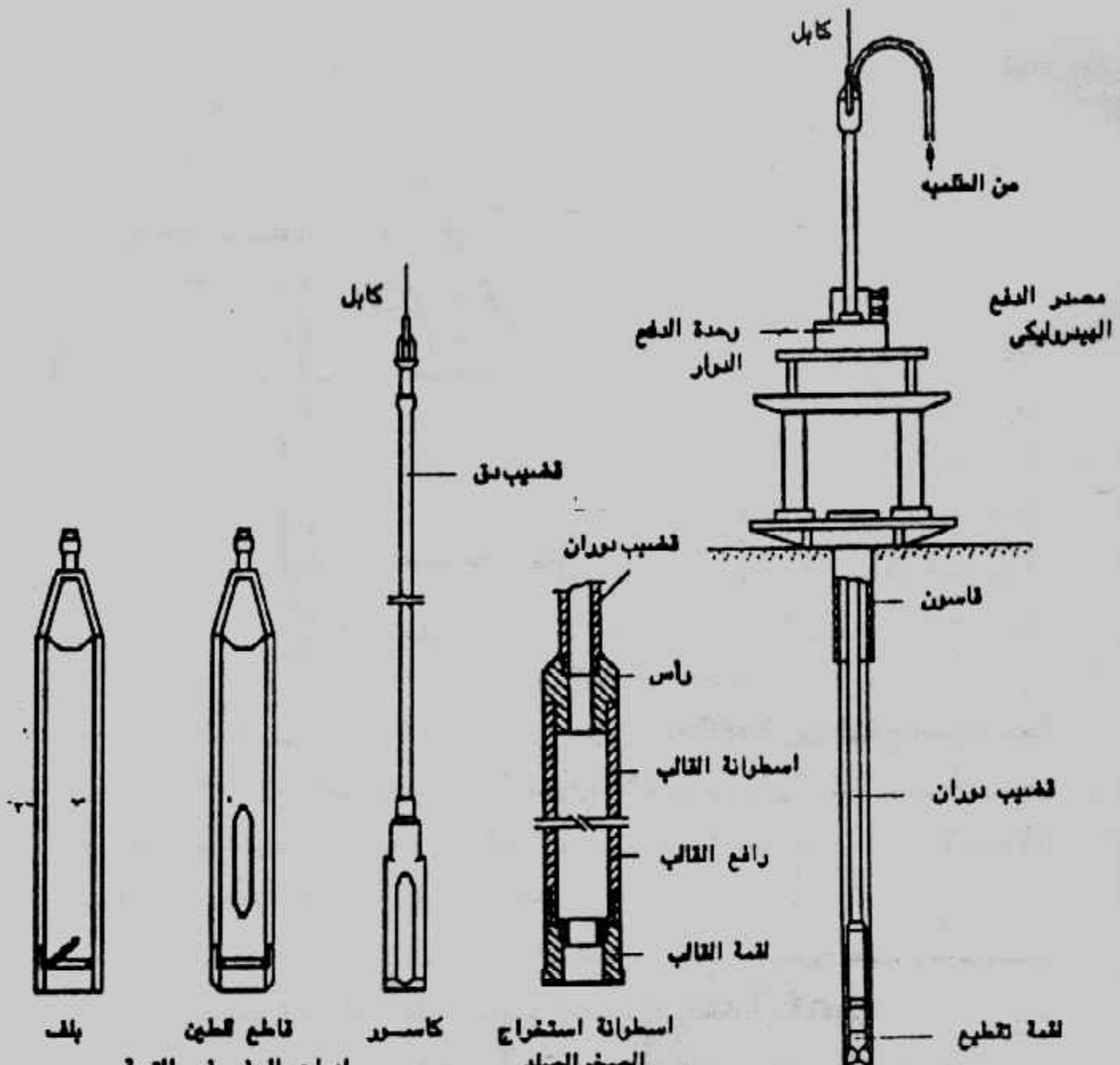


شكل (٨-١): اختبار الاخترق القياسي

منفذ الجesse يسجل في تقرير حقل ملاحظاته عن التربة الناتجة وطبقاتها ونسبه بداية ونهاية هذه الطبقات وكذلك منسوب المياه الجوفية الابتدائي والنهائي . كما يجب أن يسجل على كل عينة بيانات الموقع ورقم الجesse وعمق العينة . كما يسجل نتائج الاختبارات الموقعة مثل اختبار الاخترق القياسي SPT .

ج- الجسات الميكانيكية : حينما لا تصلح تربة الموقع لعمل الجسات اليدوية بسبب وجود طبقات صخرية أو منحرة أو زلطية فإنه تستخدم الجسات الميكانيكية بالتنقيب الدوار حيث يتم الحفر بدفع دوران قواطع التربة بسرعة عالية مع دفع فاسون بالترابة لحفظه على جدران الحفر بال Jesse وتستخدم ماكينة أو معدة ذات قدرة على الدفع والإدارة وملحق بها تجهيزات معايدة مثل مضخة لدفع المياه أو سائل حفر لتبريد قواطع التربة . وكل 1,5 متراً يوقف العمل وتستخرج قواطع التربة وبها العينة . شكل (٩-١) ويبين شكل (١٠-١) أدوات استخراج العينات من الجسات الميكانيكية حيث يستخدم الفتل للحفر واستخراج عينات مقلقة وبقى الأدوات تستخدم في استخراج العينات الغير مقلقة .

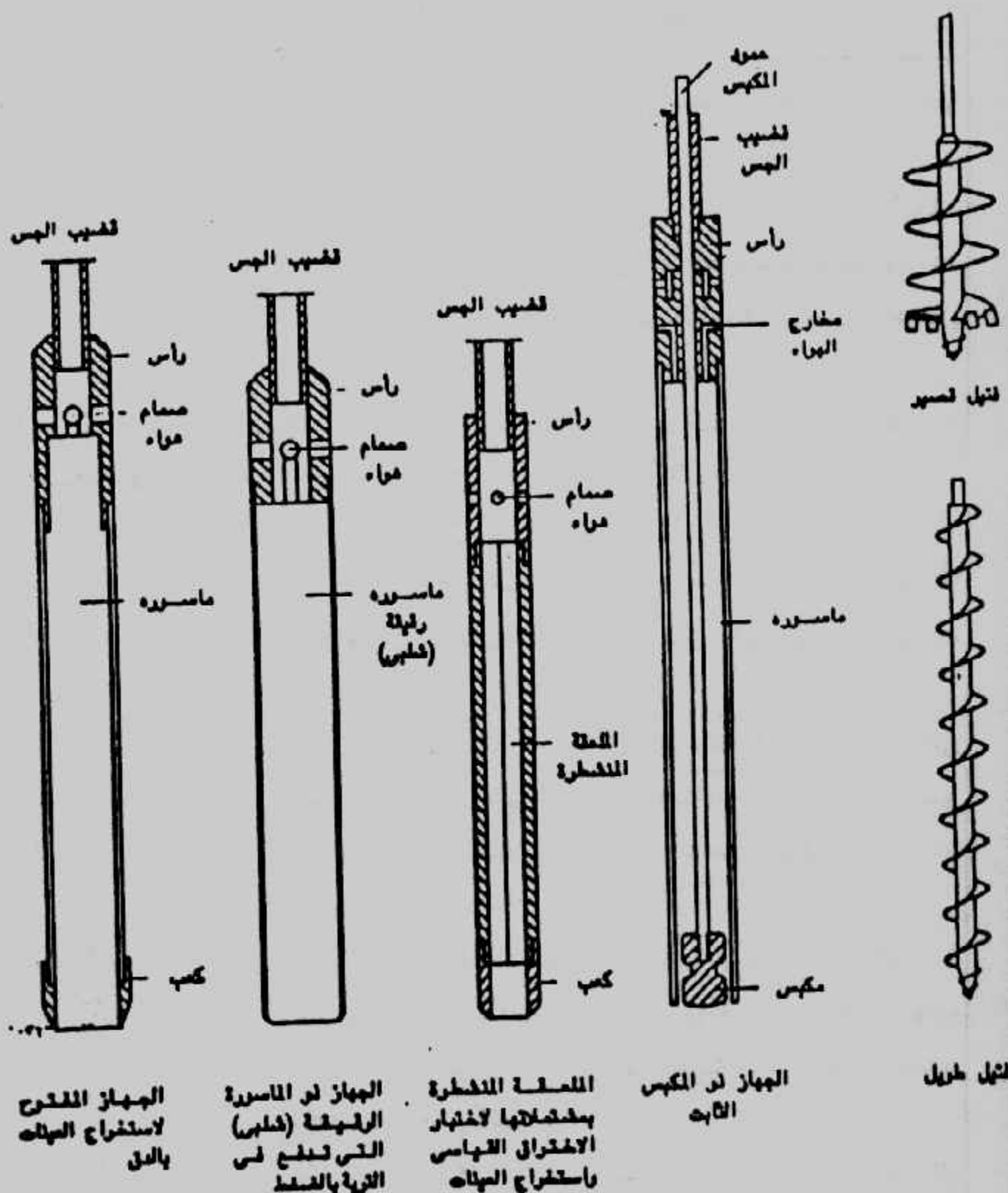
ب- توزيع وعدد الجسات Distribution and Number of Boring : توزيع الجسات واختيار أماكنها وعددتها يتوقف على نوع المنشأ وحجمه والغرض من الدراسة . ويجب الحرص في اختيار وتحديد أماكن الجسات . ولا توجد قاعدة عامة لتحديد عدد الجسات



شكل (١-٩) : الجسات الميكانيكية والأدوات المستخدمة فيها .

الموقع . وقد تحدد بعض الاراء أن ثلث جسات هي الحد الأدنى للمبني الواحد . وقد تكون اثنان كافيتان عند انتظام التربة . كما تفضل بعض الاراء خمس جسات للأركان والمركز كحد أدنى . وقد تكون جسة واحدة كافية لبعض الأعمال الصغيرة مثل الهوائيات أو إبراج الكهرباء وما يماثلها . كما يجب أن تناسب أعمال الجسات مع التكاليف الكلية للمنشأ المراد تطبيقه ، وعموماً فإن أعمال أبحاث واستكشاف التربة تمثل حوالي من ١٪ إلى ٥٪ من التكاليف الكلية ، وقد تصل في بعض الحالات الخاصة إلى ١٪ .

وينصح الكود المصرى (١٩٩١) بتوزيع الجسات على النحو المبين بالجدول (١) على لا يقل عدد الجسات في الموقع الواحد عن جستين .

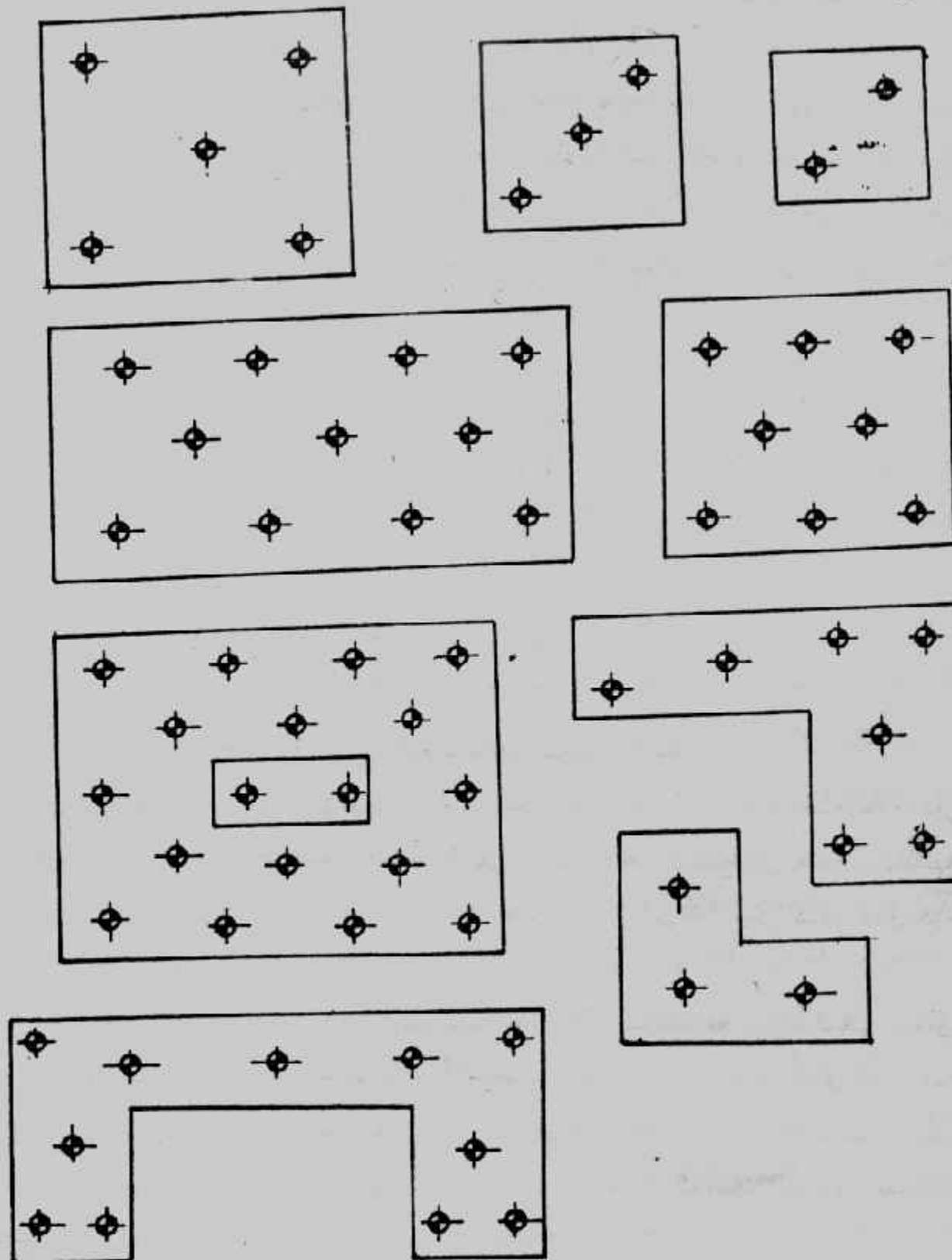


شكل (١٠-١): أدوات استخراج العينات من الجسات الميكانيكية

جدول (١-١) متطلبات تحديد عدد الجسات بالمواقع المختلفة.

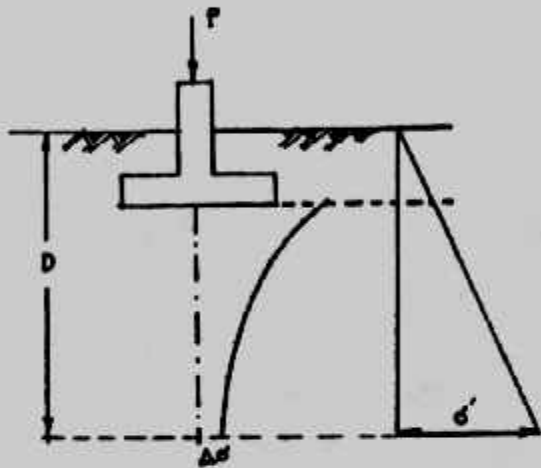
متطلبات الجسات	مناطق البحث
<p>تحفظ الجسات المدنية في المناطق الغير مستوية بحيث تبعد عن بعضها مسافات بين ٦٠ و ١٥٠ متر و يجب ان تكون المساحة المحصرة بين اى أربعة جسات حوالى ١٠٪ من المساحة الكلية وفي حالة الابحاث التفصيلية يزداد عدد الجسات للحصول على قطاعات چيولونجية دقيقة اما في المناطق المترية او ذات الميل البسيط فيمكن توزيع الجسات على شبكة من 300×300 متر إلى 400×400 متر .</p> <p>المسافة بين الجسات من ٣٠ إلى ٦٠ متر عند أماكن النشأت المعتملة و تضاف جسات عند النشأت بعد تحديد أماكن هذه النشأت .</p>	المواقع العمرانية الجديدة
<p>بنم اختصار الجسات بحيث تبعد عن بعضها من ١٥ إلى ٢٠ متر في كل الاتجاهين و بحيث يمكن تحديد قطاع چيولونجي دقيق على مسار أساسات النشأ .</p>	للاتضطرار النشأت الكهربائي و ذات الأسس السطحية الفنانة
<p>بنم اختيار أربع جسات على الأقل عند أركان النشأت بالإضافة إلى جسات داخلية عند أماكن الأساسات المعتملة و بحيث تكون كافية لتحديد قطاع القرية . بحيث لا تقل عدد الجسات عن جسدة لكل ١٠٠٠ متر مسطح .</p>	النشأت الخفيفة و ذات المساحات الكبيرة مثل المغازن
<p>بنم اختيار الجسات بحيث تكون المسافة بينها في حدود من ٦٠ إلى ١٠٠ متر في مناطق الأساسات و تقل المسافة بين الجسات عند خط منتصف النشأ و تصبح حوالى ٣٠ متر . و توزع الجسات عند مناطق التعميل والدعامات و مخارج المياه .</p> <p>يمكن عمل جسدة كل ٣٠٠ متر مسطح بحيث لا تقل عن جستين لكل موقع .</p>	السدود و خزانات المياه المد الأدنى للجسات

ويجب الحذر في توقع مواضع الجسات حيث يجب اختبار المواقع بطريقة يمكن من اعطاء فكرة كاملة عن طبيعة التربة وطبقاتها بالموقع، كما يجب أن تؤخذ الجسات وتوزع في أماكن المباني والأعمال المدنية وليس بعيدا عنها، وبين شكل (١١-١) توزيع الجسات في موقع المبني.



شكل (١١-١) توزيع الجسات في مواقع المنشآت

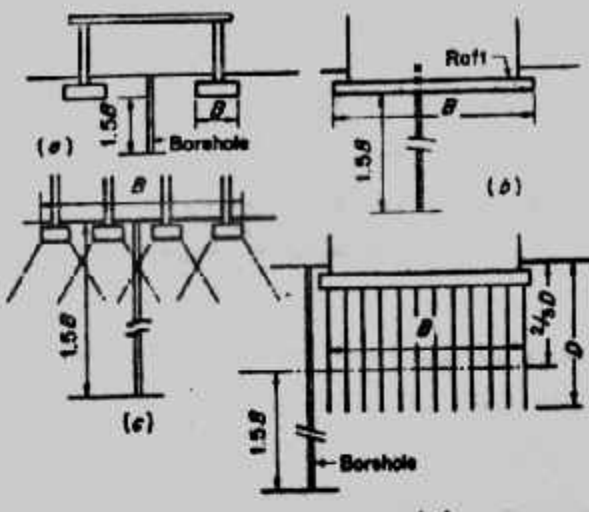
ج- أعمق الجسات Boring Depth : تحدد أعمق الجسات بناءً على حجم المنشآت المراد تنفيذه وبوعه وكذلك على خواص الطبقات وتتابعها وانتظامها، ويجب النزول بالجسات لأعماق تتخطى الطبقات الغير صالحة للتأسيس مثل طبقات الردم الغير مضغوط أو طبقات المواد العضوية أو الرخوة أو الرمال المفككة، كذلك يجب النزول بالجسات خلال طبقات الطين الصلبة أو الرمل المدموك إذا تواجدت هذه الطبقات على أعماق سطحية، وعموماً تحدد أعمق الجسات بالأعماق التي يصبح عندها الإجهاد الناشئ عن المنشآت صغير للدرجة التي لا تحدث أي انضغاط أو هبوط ملحوظ للمنشأ، وتحدد كثير من الآراء أن هذه الأعمق بالمعايير التي يكون فيها الإجهاد الواسع من الأساس قد وصل إلى ١٠٪ من قيمته، ومن دراسة توزيع الإجهادات أسفل الأساس نجد أن ذلك يتحقق عن عمق مساو لضعف عرض الأساس شكل (١٢-١).



شكل (١٢-١) : الإجهادات أسفل الأساس

و عند إجراء الجسات يكون عرض الأساس غير معروف بعد، ولذلك وبحالات عامة فإن عمل الجسسة يمكن أن يصل إلى ضعف عرض المبني. ويصبح هذا الوضع غير منطقى بالنسبة للمباني الواسعة ذات الدور الواحد مثلاً، ولذلك فإن عمق من ٦ إلى ١٥ متراً كاف لمثل هذه الحالات.

و للمنشآت الهامة يجب أن يتم النزول بجسسة على الأقل للطبقات الصخرية السفلية وبعمق فيها من ١٠٥٠ إلى ٣٠٠٠ متراً، وهناك اتجاه آخر يحدد عمق الجسسة بالعمق الذي تصل فيه الإجهادات الواسعة من الأساسات إلى قيمة ٢٠٪ وهذا يتم على عمق مساو لمرة ونصف عرض الأساس (أو المبني)، شكل (١٣-١). ويحدد الكود المصرى أعمق الجسات للمنشآت المختلفة فى جدول (٢-١).



شكل (١٣-١) : عمق الجسات

وفي حالة الأسس الخازوئية يستحسن النزول بعمق بعض الجسات إلى ١٠ مترًا أسفل كعوب الخوازيق . وفي المباني العالية المرتكزة على خوازيق فيجب النزول بجسعة واحدة على الأقل إلى عمق ٣٠-٢٠ متراً أسفل قاع الخوازيق .

رابعاً : عينات التربة : Soil Sampling

من أغراض عمل الجسات الحصول على عينات من التربة وطبقاتها على طول الجسأة . وعينات التربة تستخدم في أبحاث توصيف ودراسة التربة والتعرف على بعض صفاتها وخصائصها . وعينات التربة المستخرجة من الجسات تكون إما عينات مقلقة وهي نوافج حفر أو عينات غير مقلقة وهي عينات من التربة بوضعها وتركيبها الطبيعي لحدها .

أ- عينات مقلقة Disturbed Samples : العينات المقلقة تستخرج من الجسات أو حفر الاستكشاف أو من نوافج حفر التربة بأى شكل من الأشكال . وتنстخرج العينات من الجسات كل ١,٥٠ متراً على الأكثر أو عند كل تغير للطبقات . وتنستخرج هذه العينات في طريقة الغسل من أحواض الترسيب ومن الملعقة القياسية في اختبار الاختراق القياسي ومن خلال جهاز الحفر (البلف) في الجسات اليدوية بالقالسون . كما يمكن استخراج العينات المقلقة من أدوات الجسأة اليدوية . وتنستخدم العينات المقلقة في تجارب التحليل الحبيبي وتوصيف التربة وفي تعيين حدى السيولة واللدونة والوزن النوعي والإنتفاخ الحر . كما تستخدم في تعيين محتوى المواد العضوية بالترابة .

ب- عينات غير مقلقة Undisturbed Samples : العينات غير مقلقة تستخدم لمعرفة الخواص الميكانيكية للترابة في الطبيعة مثل التصلب والتضاغط، مقاومة القص بالإضافة إلى

جدول (٢-١): متطلبات تحديد أعمق الجسات

أعمق الجسات	مناطق البحث
تحدد أعمق الجسات بحيث تصل إلى العمق الذي يصبح عنده الزيادة في الأجهاد الرأس الناتج من المنشآت أقل من ١٪ من وزن عمره التربة المزدوج . وعمر ما لا يزيد من لا يقل عمق الجسات عن ١٠ متر إلا في حالة ظهور الصفر على أعمق سطحية رمضان استمراره.	المنشآت الكبيرة ذات الأساسات الطعنة المتقاربة
تحدد أعمق الجسات بحيث تقدر أعمق تلك الجسات إلى أن يقل الأجهاد الرأس داخل التربة عن ١٠٪ من قيمة إجهاد التأسيس . ويجب أن لا يقل أعمق الجسات عن ١٠ متر من أقل من نسب الموقعة إلا إذا ظهرت طبقات صخرية عند أعمق سطحية ليتم التزول في طبقات الصخر التجانسة لعمق ٣ متر مع ضرورة التأكيد من وجود فجرات أو تشغيلات داخل هذه الطبقات الصخرية من عدمه.	الأساسات الفعلية
يتم تعميق الجسات من ٧٥٪ إلى ١٠٥٪ مرة الارتفاع الحر من الحائط أعمق من منسوب الأرض أمام الحائط وعندما تدل طبقات التربة على ضرورة دراسة الاتزان العميق فلا بد من الرصو ببعض الجسات إلى الطبقات اللازمة لقيام الدراسة .	الحوائط الطويلة والأرصدة
لابد من التزول بأعمق الجسات إلى مستوى أقل من مستوى سطح الانهيار المعتدل وحتى الرصو إلى الطبقات الصلبة أو الرصو إلى الأعمق التي لا يمكن حدوث انهيار عندها.	دراسة اتزان المبرول
يجب التزول بالجسات إلى عمق $\frac{3}{4} \rightarrow 1$ إلى مرة عرض المفتر المستوي أو المفترق وفي حالة إذا ما كان قاع المفتر أعلى من منسوب المياه الأرضية وفي تربة متزنة فليسكن الرصو بأعمق الجسات من ١٠٥٪ إلى ٢٠٪ متز من منسوب قاع المفتر على الأقل . وفي حالة إذا ما كان منسوب قاع المفتر أو طراً من منسوب المياه الأرضية فلا بد من الرصو إلى نهاية الطبقات المتقدمة للعام .	المفتر الصعب
يجب تحديد أعمق الجسات بحيث تزيد من نصف إلى مرتين عرض السدود الآلي لاسطع المبرول في الطبقات التجانسة . وفي حالة ظهور الطبقات الرخوة فلا بد من الرصو إلى الطبقات الصلبة .	السدود
يجب الرصو بأعمق الجسات إلى نصف عرض السدود الترابية أو من مرتين إلى مرتين ارتفاع السدود الخرسانية في الطبقات التجانسة . ويسكن انهاء الجسات بعد اختراق الطبقات الفير متلاعه للماء مسافة من ٦ متر إذا استمرت هذه الطبقات بأعمق كبيرة .	السدود وخزانات المياه

أن هذه العينات تستخدم في تحديد المحتوى المائي والتغذية والكتافة (أو حده الأوران)، وعملية الحصول على عينات غير مقلقة تماماً هي عملية في غاية الصعوبة ولذلك فإننا نحصل على عينات ذات درجة من المقلقة، وتحسب درجة المقلقة Degree of disturbance للعينات من العلاقة الآتية :

$$A_R(\%) = \frac{D_o^2 - D_i^2}{D_i^2} \times 100$$

حيث :

A_R = area ratio نسبة المساحة

D_o = Outside diameter of sampling tube القطر الخارجي لأنبوبة أخذ العينات

D_i = Inside diameter of sampling tube القطر الداخلي لأنبوبة أخذ العينات

وحيثما تكون نسبة المساحة متساوية ١٠٪ أو أقل فإن العينة يمكن اعتبارها غير مقلقة.

ولأبسبب استخراج العينات التي يمكن اعتبارها غير مقلقة يجب أن تصنع من حيث الأقطار والتخانات بحيث تتحقق النسبة المذكورة، ويتوقف عدد العينات الغير مقلقة على نوع المنشأ ومتطلبات التصميم والاختبارات المراد إجراؤها، وفي الطبقات الطينية فمن الضروري أخذ عينة غير مقلقة على الأقل كل ٢ متراً.

ويجب الأخذ في الاعتبار عند استخراج العينات ما يلى :

- يستخدم سائل الحفر أو مواسير سند للتربة بالعمق المطلوب عند تهليل التربة.
- لا تستخدم المياه في الحفر عند استخراج عينات من أعلى منسوب المياه الجوفية.
- يجب على الحفر بالمياه أو بسائل الحفر عند استخراج عينات من أسفل منسوب المياه الجوفية.
- يجب المحافظة على عينات التربة الضعيفة أو المفككة والموجودة أسفل التربة القوية أو الكثيفة في نفس العينة.

ويجب الحرص عند نقل العينات الغير مقلقة من الموقع للمعمل، فيجب عند استخراج العينات تغليفها بالشمع المنصهر بطريقة جيدة تضمن عزل العينات تماماً حتى لا تفقد الماء أو أي من خصائصها كما يجب رص العينات بعد كتابة البيانات عليها في صندوق خشبي يحفظ بعيداً عن الشمس والحرارة والإهتزاز، ويجب نقلها بسرعة وبرفق للمعمل، وعند اختبارها تزال طبقات الشمع الرقيقة التي تكون قد تجمدت عليها، ويجب كتابة بيانات العينة على ورقة بحبر لا يمحى أو بحبر عادي مع تغليف الورقة بالشمع المنصهر أيضاً حتى لا تتعرض بيانات العينة للتلف، وعادة ما تكون بيانات العينة هي اسم الموقع ورقم الجة وعمق العينة.

Example 1-1 : What is the area ratio of 5.08 cm thin wall sample tube, inside diameter is 4.763 cm.

Solution :

$$A_R(\%) = \frac{D_o^2 - D_i^2}{D_i^2} \times 100$$

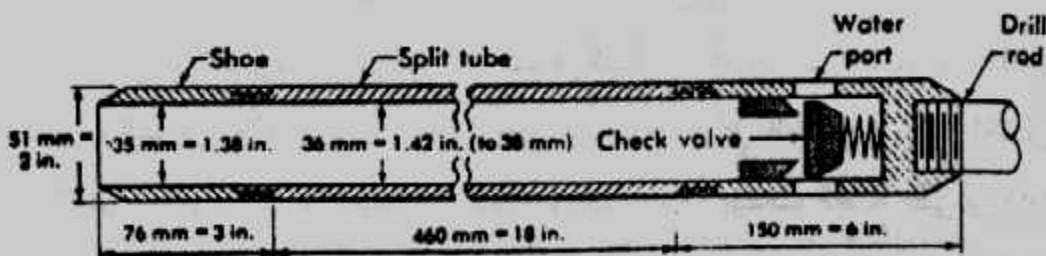
$$= \frac{(5.08)^2 - (4.763)^2}{(4.763)^2} \times 100 = 13.75\%$$

ج- طرق الحصول على العينات : Sampling Methods :

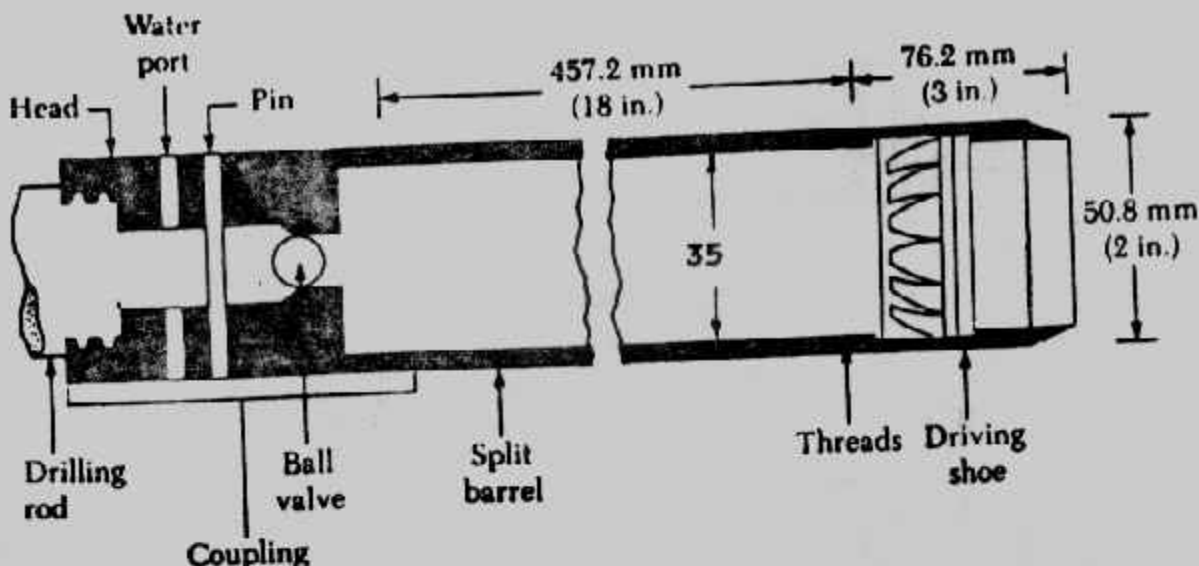
١- ملعقة أخذ العينات Split-Spoon Sampler : يبين الشكل (١٤-١) ملعقة أخذ العينات . وهي تستخدم لأخذ العينات من الجسء حيث تزال أدوات التقطيب ثم تنزل الملعقة إلى قاع الجسء وتغزو في التربة بواسطة الدق عليها بمطرقة قياسية ترکب على قضيب التقطيب والذي ترکب في نهاية الملعقة .

والمطرقة القياسية وزنها ٦٢٢,٧٢ نيوتن (أى ١٤٠ رطل) وتسقط من ارتفاع حر مقداره ٧٦ سم وترفع المطرقة وتترك لتسقط حتى يتم اختراق مسافة ٣٠ سم الأخيرة من الملعقة في التربة عند العمق المراد فحصه . ويسمى عدد الدقات اللازمة لاختراق هذه المسافة بـ مقاومة التربة للاختراق (N , Standard Penetration Number) . وبالإضافة لتعيين عدد الدقات N فإنه بعد رفع الملعقة تؤخذ من داخلها عينات غير مقلولة تستخدم في فحص وتصنيف التربة .

وحيثما تكون التربة خشنة مثل الرمل فإنه من الصعوبة استخراج عينات منها ، وعلى ذلك فإنه يمكن تركيب لقمة إمساك داخل الملعقة Spring core catcher والمبينة في شكل (١٥-١) . وهذه الطريقة في أخذ العينات تدخل ضمن اختبار الاختراق القياسي Standard penetration test



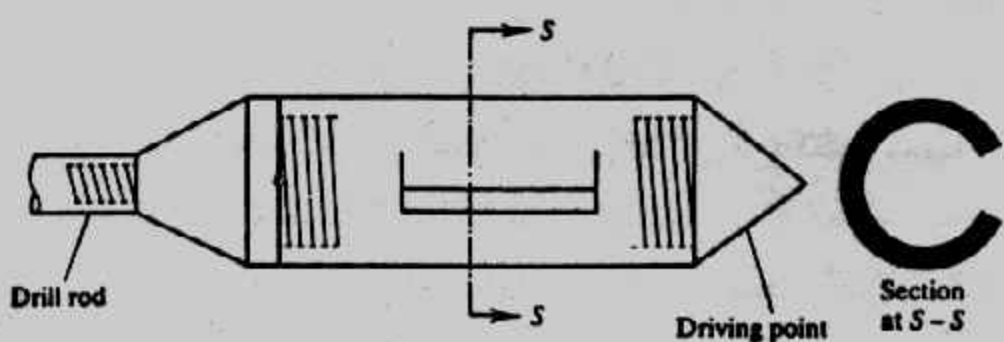
شكل (١٤-١): ملعقة أخذ العينات .



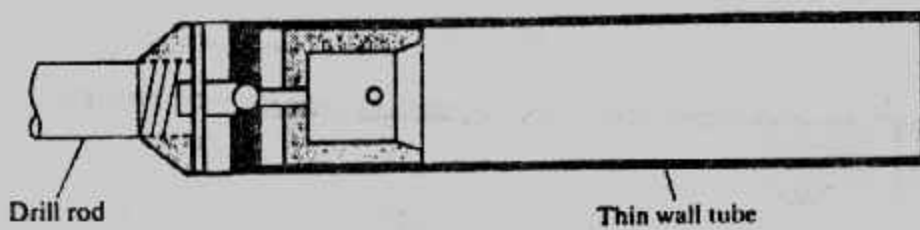
شكل (١٥-١) : ملعقة عينات بلقمة إمساك

-**الدلو الكاشط Scraper Bucket :** حينما تكون التربة عبارة عن رمل مختلط بحصى فإنه يصعب الحصول على عينات بواسطة الملعقة ذات الماسك لأن الحصى قد يمنع الماسك من الانغلاق . وفي هذه الحالة يمكن استخدام الدلو الكاشط للحصول على عينات مقلقلة . والدلو الكاشط له سن اخترق كما يمكن توصيله بقضيب القب . وعند استخراج العينات يدفع الدلو في التربة ثم يلف فتسقط التربة المكسوطة إلى داخل الدلو . شكل (١٦-١) .

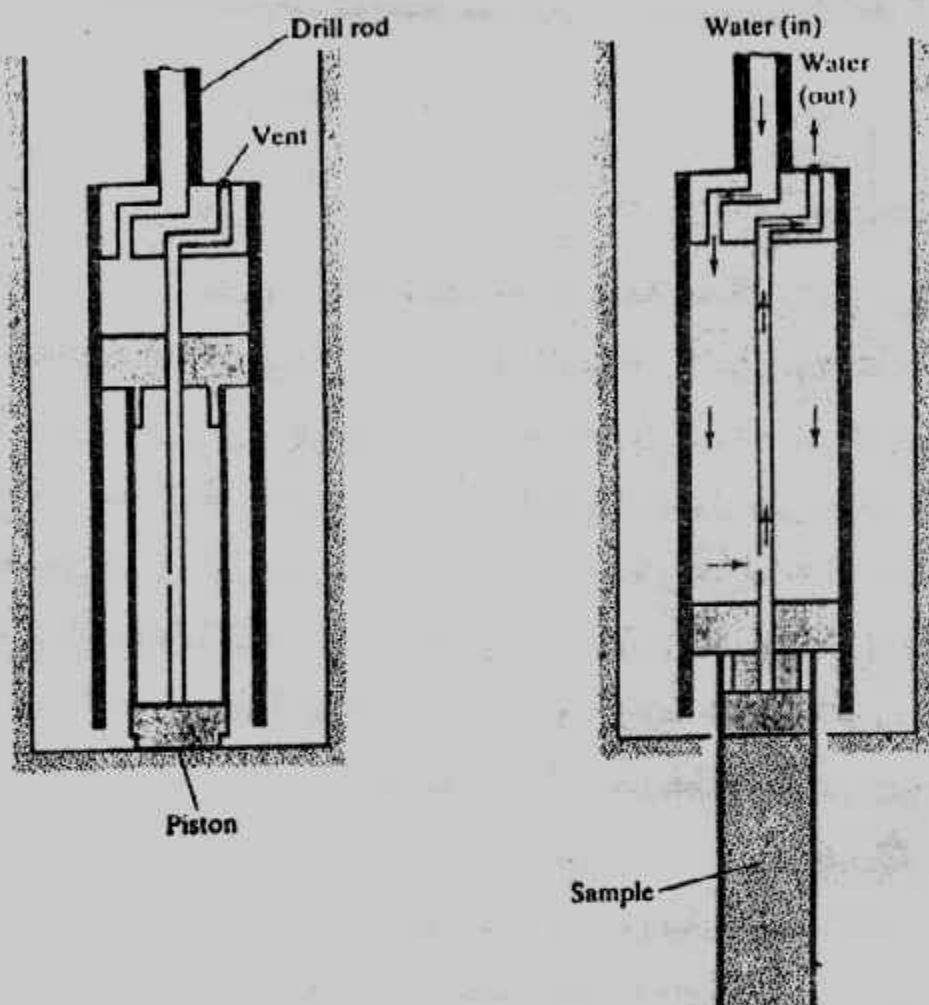
-**الأنبوبة رفيعة الجدران Thin Wall Tube :** الأنبوة رفيعة الجدران تعرف بأنابيب شلبي Shelby Tubes وهذه الأنبوة تصنع من الصلب بقطر داخلي ٥٠,٨ مم وبقطر خارجي ٧٦,٢ مم ولها نهاية حادة . ويمكن لهذه الأنبوة أن توصل بقضيب القب . وتستخدم أنابيب شلبي في الحصول على عينات غير مقلقلة من التربة الطينية وذلك بإزالة قضيب القب وبه أنبوة العينات ويدفع في التربة فتدخل التربة داخل الأنبوة ، وبعد الرفع من التربة تفك الأنبوة بما بها من تربة وترسل للمعمل . شكل (١٧-١) .



شكل (١٦-١) : الدلو الكاشط .



شكل (١٧-١) : أنابيب شلبي الرفيعة .



شكل (١٨-١) : أخذ العينات الكباس .

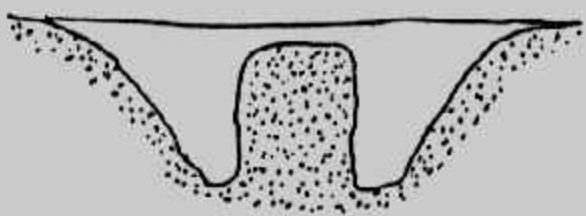
٤- أخذ العينات الكباس Piston Samper : حينما تكون العينات الغير مقلقلة ذات قطر أكبر من ٢٧٦ مم فإنها تكون معرضة للسقوط . ولذلك فإن أخذ العينات الكباس يكون مفيدا في هذه الحالة . شكل (١٨-١) . ويكون أخذ العينات الكباس من أنبوبة رفيعة بمكبس ، وفي البداية تكون الأنبوة مغلقة بالمكبس وينزل أخذ العينات إلى قاع الحفرة وحينئذ تدفع الأنبوة في التربة هيدروليكيًا بواسطة المكبس ويترك الضغط خلال ثقب في قضيب الكباس للمحافظة على بقاء العينة عند رفع أخذ العينات من التربة والعينات التي يتم الحصول عليها بهذه الطريقة ذات قلقلة أقل من العينات التي يتم الحصول عليها بأنابيب شلبي .

٥- عينات الصخر Rock Sampling : عينات الصخر يمكن الحصول عليها بواسطة اسطوانات العينة Core Barrels شكل (١٩-١) وهذه الاسطوانات توجد على أنواع مختلفة وحجوم وأطوال متنوعة . واسطوانات العينات الصخرية مرودة بلقم قطع مصنوعة من الماس أو التجسين أو الكربيت . حيث يستخدم الماس للصخر والتجسين أو الكربيت لعينات الطين الجامد . ويتمأخذ العينات عن طريق الحفر بالدوران . ولقد سبق القول ان اسطوانات القطع منها ما هو مفرد ومنها ما هو مزدوج .

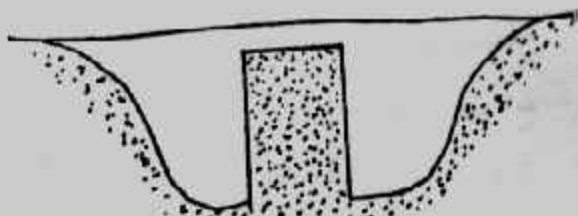


شكل (١٩-١) : اسطوانات عينات الصخر .

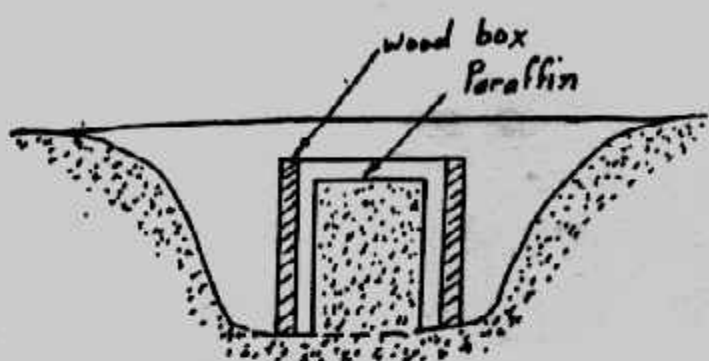
٦- العينات الكتلية Chunk Sampling : العينات الكتلية يمكن الحصول عليها بالحفر يدوياً بعنابة في التربة ويمكن الحصول على كتلة غير مقلقة تماماً من التربة لأن هذه الطريقة لا تستخدم معدات أو أنابيب وهي التي تسبب فقلة للتربة . ويوضح شكل (٢٠-١) خطوات الحصول على العينات الكتلية الغير مقلقة ويجب عمل الاحتياطات الازمة عند رفع العينة وحفظها ونقلها للمعمل ويميز هذه الطريقة سهولتها ورخصها ولكن يعييها عدم إمكانية الحصول على عينات من أعمق بعيدة حيث يمكن استخدام هذه الطريقة في الأعمق الفريدة فقط بعد أقصى ١٠ متراً .



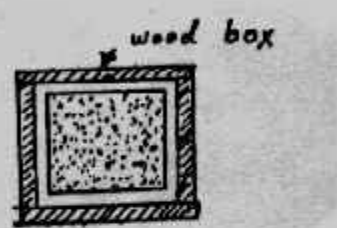
١- الحفر حول العينة



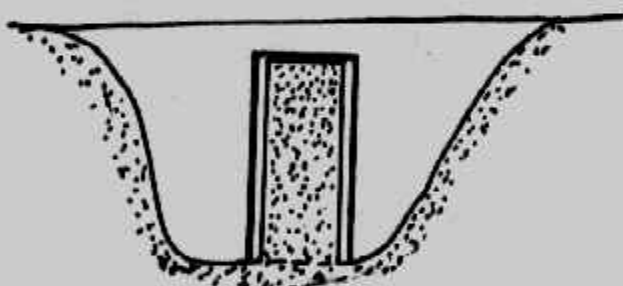
٢- عينة مهذبة



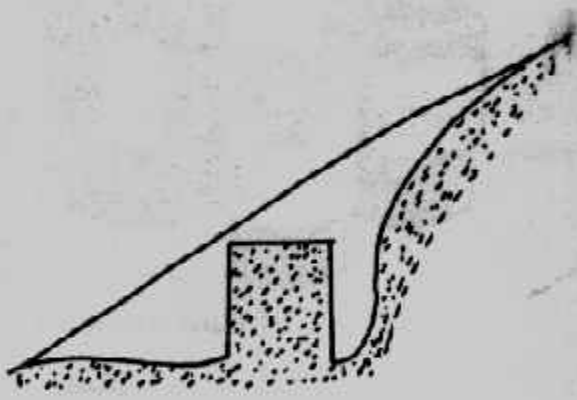
٣- عينة مصندة ومحاطة بالشمع



٤- عينة في الصندوق ومحاطة
بشعير البرافين



٥- عينة داخلة علىبة



٦- عينة من ميل

شكل (٢٠-١): العينات الكثارة.

خامساً : الاختبارات الموقعة : Field Tests

الاختبارات الموقعة هي الاختبارات التي تتم على الطبيعة في الموقع . وهذه الاختبارات تعطى نتائجا طبيعية دقيقة ، والعينات التي تستخرج من التربة ومهما قلت درجة تقللتها لا تعطى نتائجا طبيعية ودقيقة مائة في المائة ، ولذلك فإن الاختبارات الموقعة تعطى أفضل وأدق النتائج بغض النظر عن ارتفاع تكاليف تنفيذها .

أ - اختبار الاختراق القياسي (SPT) : اختبار الاختراق

القياسي هو أهم الاختبارات الحقلية وهو اختبار للاختراق الديناميكي للتربة. وهذا الاختبار ينفذ على أعمق مختلفة على طول الجرة وخاصة عند المنسوب المتوقع للتأسيس. وفي هذا الاختبار يتم دق ملعقة أخذ العينات القياسية Split-Spoon Sampler لمسافة ٤٦ سم (١٨ بوصة) في التربة عند قاع الحفر الجرة (منسوب الاختبار). وتستخدم في عملية الدق مطرقة وزنها ٦٢,٧٢ نيوتن (٦٣,٥ كجم أو ١٤٠ رطل) تسقط من ارتفاع حر قدره ٧٦ سم (١٨ بوصة) وشكل (١٨-١) يبين كيفية إجراء الاختبار. ويحسب عدد الدقات اللازمة ليتم اختراق مسافة ٣٠,٥ سم (١٢ بوصة) الأخيرة من ملعقة أخذ العينات في التربة ويطلق على هذا العدد N . ويتم الحساب بوضع علامات على قضيب الاسترشاد (Guide rod) كل ١٥ سم. وتنق الملعقة في ١٥ سم الأولى. ثم يؤخذ عدد الدقات المقابل لاختراق ١٥ سم الثانية و ١٥ سم الثالثة، ولا تحسب الدقات الزائدة عن ٥٠ دقة تكون N في هذه الحالة أكبر من ٥٠.

والملعقة القياسية تتكون من ثلاثة أجزاء متصلة بعضها بقطر خارجي قدره ٥١ مم والحد الأدنى لطول الجزء الأوسط هو ٤٥٧ مم ولقمة الحفر (الكعب) طولها ٧٦ مم والقطر الداخلي للملعقة هو ٣٥ مم. ويمكن زيادة القطر الداخلي إلى ٣٨,١ مم على أن تختلف الملعقة من الداخل بغضاء يسمك ١,٥ مم. ويجب أن تكون لقمة الحفر من الصلب المقوى ومعده بقبلاوط بحيث يمكن استبدالها عند الحاجة. شكل (١٤-١). وتتأثر قيمة N بعاملين. أولهما هو وجود منسوب للمياه الجوفية وثانيهما هو وزن التربة أعلى منسوب الاختبار. ولذلك فإن قيمة N تخضع للتصحيح بسبب هذين المعاملين.

وفي حالة الرمل الرفيع والطمي فإن N تصح إذا كانت بقيمة أكبر من ١٥ دقة بالمعادلة الآتية :

$$N_{corrected} = 15 + \frac{1}{2} (N - 15) \quad (1-1)$$

و N في المعادلة هي المقاسة في الاختبار. وللتربة الخشنة تصح N نتيجة لتاثير أوزان التربة فوق منسوب الاختبار (الإجهاد المؤثر C_N) وقيمة N المقاسة من الاختبار عند إجهاد مؤثر معين يجب أن تعدل لتتناسب قيمة قياسية للإجهاد المؤثر C_N هي :

$$N_{corrected} = C_N N_F \quad (1-2)$$

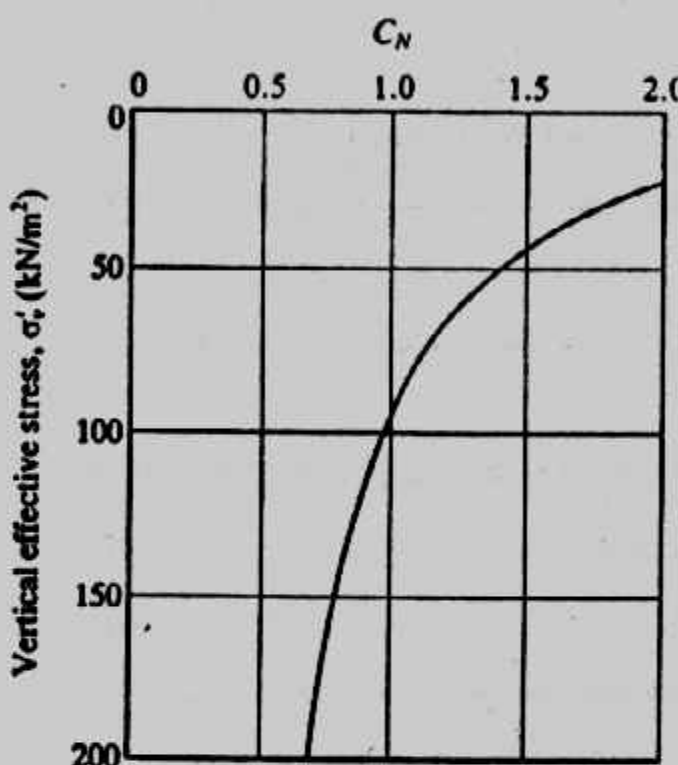
Where : C_N = correction factor

N_F = N -value obtained from the field

وقدم ليو و وايت مان (Liao and Whitman, 1986) أفضل معامل للتصحيح بالمعادلة الآتية:

$$C_N = 9.78 \sqrt{\frac{1}{\sigma_v (\text{kN/m}^2)}} \quad \dots \dots \dots \quad (1-3)$$

كما يمكن ايجاد قيمة C_N من الشكل (٢١-١).



شكل (٢١-١): تعيين C_N

وبالإضافة للحصول على عينات غير مقلقة من هذا الاختبار فإنه يعطى معلومات مفيدة عن التربة حيث يمكن استنتاج قوام الطين ومقاومة الضغط الغير محصول من قيمة عدد النقاط N كما هو مبين في جداول (١-٤) و (٢-١).

جدول (١-٣): علاقة N وقوام التربة المتماسكة المشبعة.

Consistency of saturated cohesive soils†

Consistency	N	Remarks
Very soft	0-2	Squishes between fingers when squeezed
Soft	3-5	Very easily deformed by squeezing
Medium	6-9	
Stiff	10-16	Hard to deform by hand squeezing
Very stiff	17-30	Very hard to deform by hand
Hard	> 30	Nearly impossible to deform by hand

جدول (٤-١) : العلاقة بين N وقوام الطين و q_u

Consistency of Clays and
Approximate Correlation to the Standard
Penetration Number, N

Standard penetration number, N	Consistency	Unconfined compression strength, q_u (kN/m^2)
0-2	Very soft	0-25
2-5	Soft	25-50
5-10	Medium stiff	50-100
10-20	Stiff	100-200
20-30	Very stiff	200-400
>30	Hard	>400

جدول (٥-١) : ϕ ، N علاقه

Empirical values for ϕ , D_r , and unit weight of granular soils based on the SPT at about 6 m depth and normally consolidated

Description	Very loose	Loose	Medium	Dense	Very dense
Relative density D_r	0	0.15	0.35	0.65	0.85
SPT N : fine	1-2	3-6	7-15	16-30	?
medium	2-3	4-7	8-20	21-40	>40
coarse	3-6	5-9	10-25	26-45	>45
ϕ : fine	26-28	28-30	30-34	33-38	
medium	27-28	30-32	32-36	36-42	<50
coarse	28-30	30-34	33-40	40-50	
$\gamma_{\text{unit}} \text{pcf}$ (kN/m^3)	70-100†	90-115	110-130	110-140	130-150
	(11-16)	(14-18)	(17-20)	(17-22)	(20-23)

† Excavated soil or material dumped from a truck will weigh 11 to 14 kN/m^3 and must be quite dense to weigh much over 21 kN/m^3 . No existing soil has a $D_r = 0.00$ nor a value of 1.00—common ranges are from 0.3 to 0.7.

جدول (٧-١) : ϕ ، N ، D_r علاقه

Relation between N -values, Relative Density, and Angle of Friction in Sands

Standard penetration number, N	Approximate relative density, D_r , (%)	Approximate angle of friction of soil, ϕ (deg)
0-5	0-5	26-30
5-10	5-30	28-35
10-30	30-60	35-42
30-50	60-95	38-46

جدول (٦-١) : N و الكثافة النسبية

RELATIVE DENSITY OF SAND—STANDARD PENETRATION TEST
(After Terzaghi and Peck^{7,12})

Blows	Relative Density
0-4	Very loose
5-10	Loose
11-20	Firm
21-30	Very firm
31-50	Dense
51+	Very dense

بـ- اختبارات أخرى للاختراق : Other Penetration Test

يبين شكل (٢٢-١) طرق أخرى لاختبار الإختراق والتى تستخدم المخروط بدلاً من الملعقة . ومن هذه الاختبارات ما يسمى بتجربة الاختراق بالمخروط الديناميكى ، وفيها يتم دق مخروط مثبت في نهاية قضبان بواسطة مطرقة ذات وزن وسقوط محددين . وجهاز الإختراق الديناميكى يتكون من رأس مخروطية الشكل من الصلب بزاوية رأس مقدارها 60° . وهذا الجهاز قد يكون خفيفاً أو متوسطاً أو ثقيلاً حيث يكون قطر المخروط لها على الترتيب هو 25.6 ، 35.6 ، 43.7 مم وقطاع للمخروط مساحته 5 ، 10 ، 15 سم 2 . ويتم الدق على مواسير الإختراق المتصل بها المخروط بمعدل 20 دقة في الدقيقة بدون توقف باستخدام مطرقة وزنها 1 كجم لأجهزة الإختراق الخفيفة ، 20 كجم للأجهزة المتوسطة ، 50 كجم للأجهزة الثقيلة بسقوط قدره 5 سم . ويسجل عدد الدقات اللازمة لإختراق المخروط 20 سم في التربة ، ويعرف عدد هذه الدقات بالاختبار الديناميكى .

كما يوجد اختبار آخر يسمى بالمخروط السويدى . حيث يستخدم مخروط حلزوني طوله 2 سم وأقصى قطر له من 30 إلى 35 مم وتستخدم 100 كجم للتحميل على المخروط مع لفه إلى أن يخترق التربة ويعحسب عدد أنصاف اللغات اللازمة لاختراق المخروط للتربة .

جـ- اختبار الإختراق بالمخروط (CPT) : The Cone Penetration Test (CPT)

اختبار الإختراق بالمخروط أو اختبار المخروط الإستاتيكي اختبار بسيط يستخدم بسهولة في التربة الطينية اللينة أو الرمل الناعم إلى متوسط ويصعب استخدام هذا الاختبار في الطين الجامد أو الصلب وفي الزلط أيضاً وينفذ هذا الاختبار بدفع مخروط قياسي بزاوية رأس مقدارها 60° وقطر قاعدته 35.7 مم وبمساحة مقطع مقدارها 1 سم 2 ويتم الدفع في التربة بمعدل 20 مم/ثانية . ويقاس إجهاد الدفع وهو مقدار مقاومة التربة لاختراق المخروط بها ويسمي Static Cone Resistance q_c شكل (٢٣-١) وتوجد علاقات رابطة بين N ، q_c مثل :

للترابة الرملية :

$$q_c = \frac{N}{400 - 600} \quad \dots \dots \dots \quad (1-4)$$

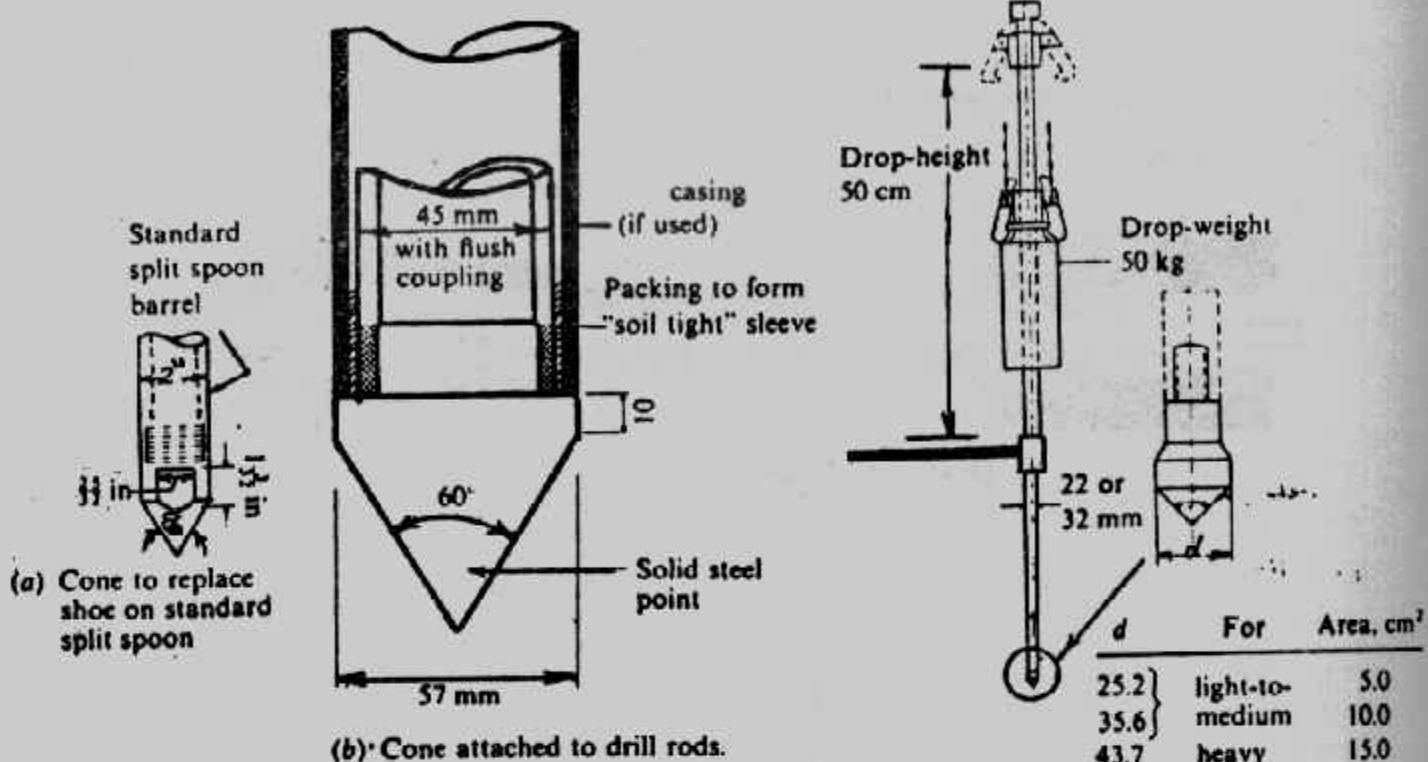
للترابة الطينية :

$$q_c = \frac{N}{800 - 1000} \quad \dots \dots \dots \quad (1-5)$$

N = Standard penetration number حيث :

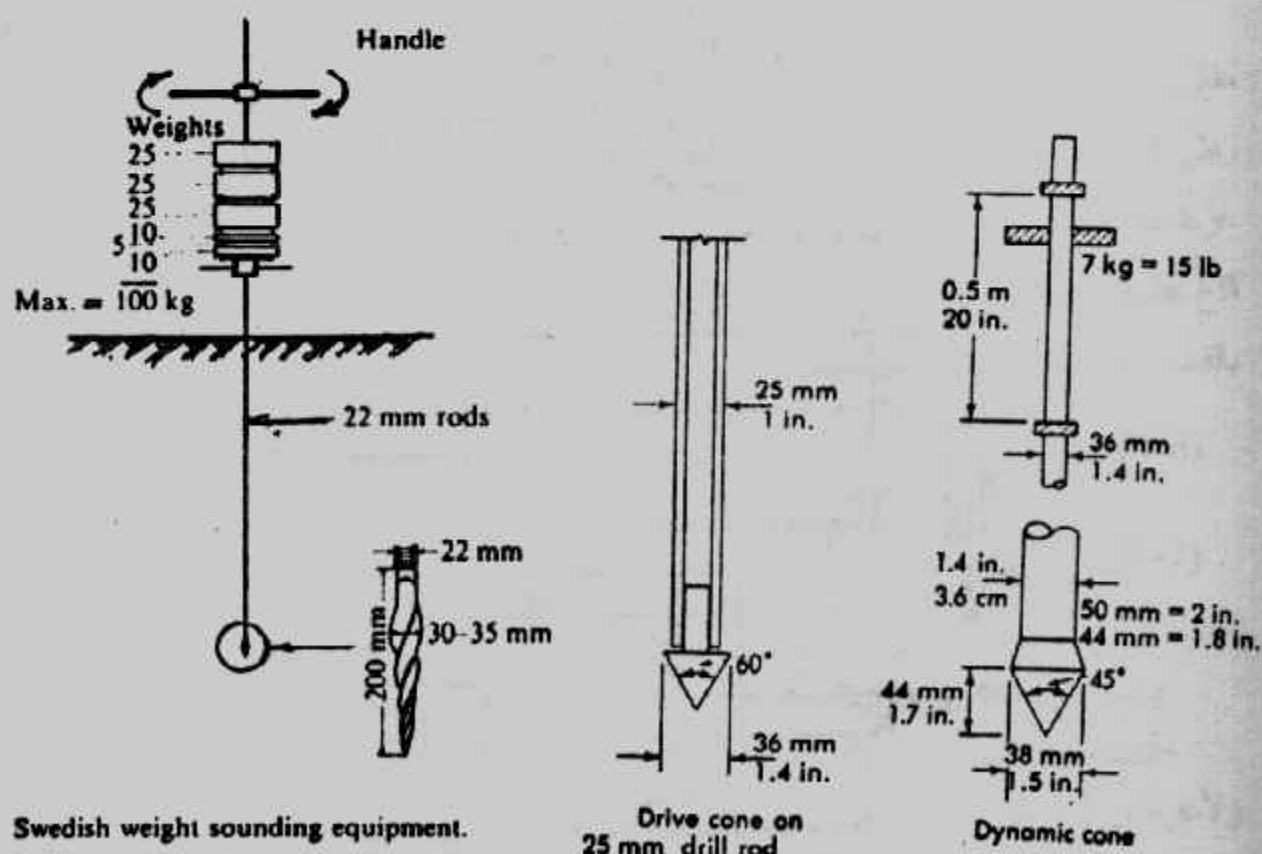
q_c = Static cone resistance, kN/m 2

Tombi type trip release as used in Japan
for the SPT as well as for dynamic cone



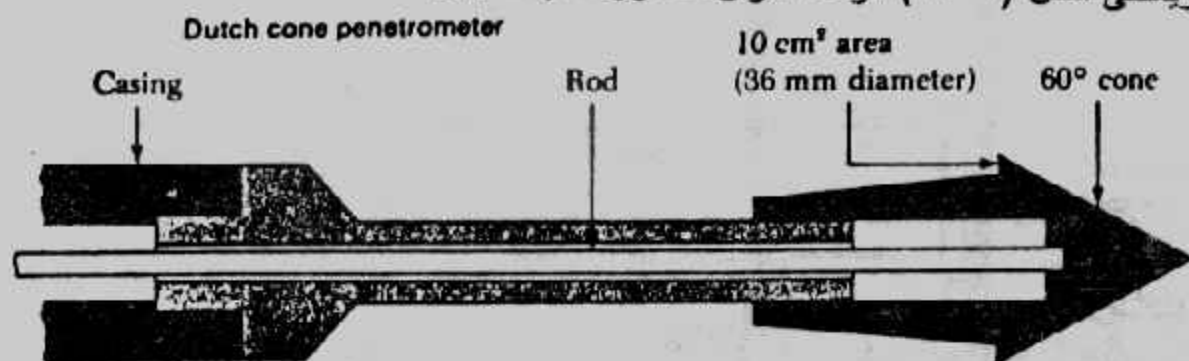
Two dynamic type cones driven using the SPT or larger drive weights.

Dynamic cone penetration test.

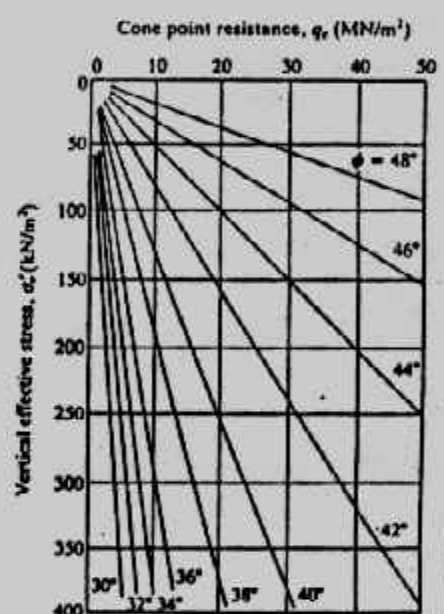


شكل (٢٢-١): اختبارات أخرى للخلايق.

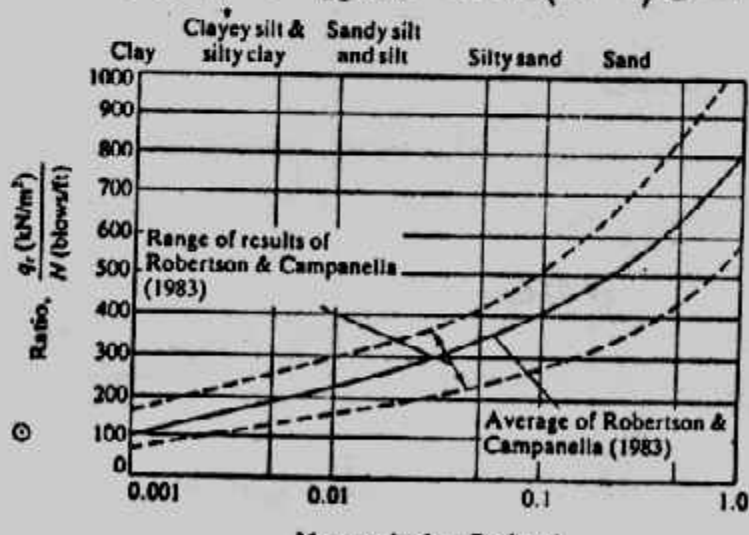
ويمكن من قيمة q_c تعين زاوية الإحتكاك الداخلى للترابة الخشنة شكل (٢٤-١) . كما يمكن تعين قوام التربة الناعمة بمعرفة قيمة q_c ويعطى شكل (٢٥-١) العلاقة العامة بين N , q_c . ويعطى شكل (٢٦-١) أنواعاً أخرى للمخروط الإستاتيكي .



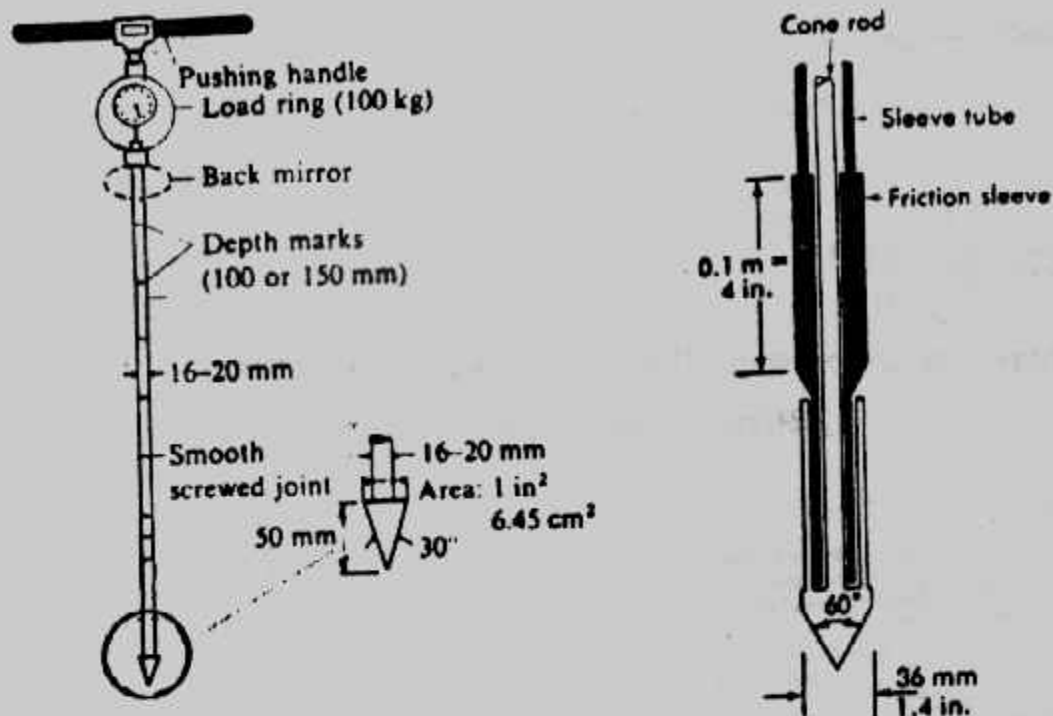
شكل (٢٣-١) : الإختراق بالمخروط الإستاتيكي .



شكل (٢٤-١) : العلاقة بين q_c , σ' و ϕ للرمل



شكل (٢٥-١) : العلاقة بين N , q_c



Hand held penetrometer for shallow depths. The resistance is read in mirror from load ring gauge necessary to push the cone 50 mm into soil.

Dutch cone with friction sleeve

شكل (٢٦-١) : أنواع أخرى للمخروط الاستاتيكي.

د- اختبار مروحة القص : Vane Shear Test

اختبار مروحة القص من الاختبارات التي تجرى بالموقع أثناء عمل الجسسة لتعيين مقاومة القص الغير منصرف في الموقع للترابة الطينية. وجهاز مروحة القص يتكون من اربع ريش في نهاية قضيب يمكن زيادة طوله على وصلات . شكل (٢٧-١) ويؤخذ طول الريش إلى عرضها كنسبة ٢ : ١ دائمًا، وتتند梓 تجربة مروحة القص في الموضع بدفع الريش في الترابة عند قاع حفرة الجسسة والعزم المحوري المبذول عند قمة قضيب لف الريش سوف يسبب انهيار بالقص على شكل إسطواني يحيط بالريش . وأقصى عزم مبذول هو :

$$T = C_u \pi D^2 \left(\frac{H}{2} + \frac{D}{6} \right) \quad (1-6)$$

$$\text{or } C_u = \frac{T}{\pi D^2 \left(\frac{H}{2} + \frac{D}{6} \right)} \quad (1-7)$$

Where : T = maximum torque applied. D = diameter of the vanes

C_u = undrained shear strength ($\phi = 0$ concept), H = height of the vanes

ولأغراض التصميم تصحيح قيم القص الناتجة كما يلى :

$$C_{u(\text{corrected})} = \lambda C_{u(\text{field})} \quad (1-8)$$

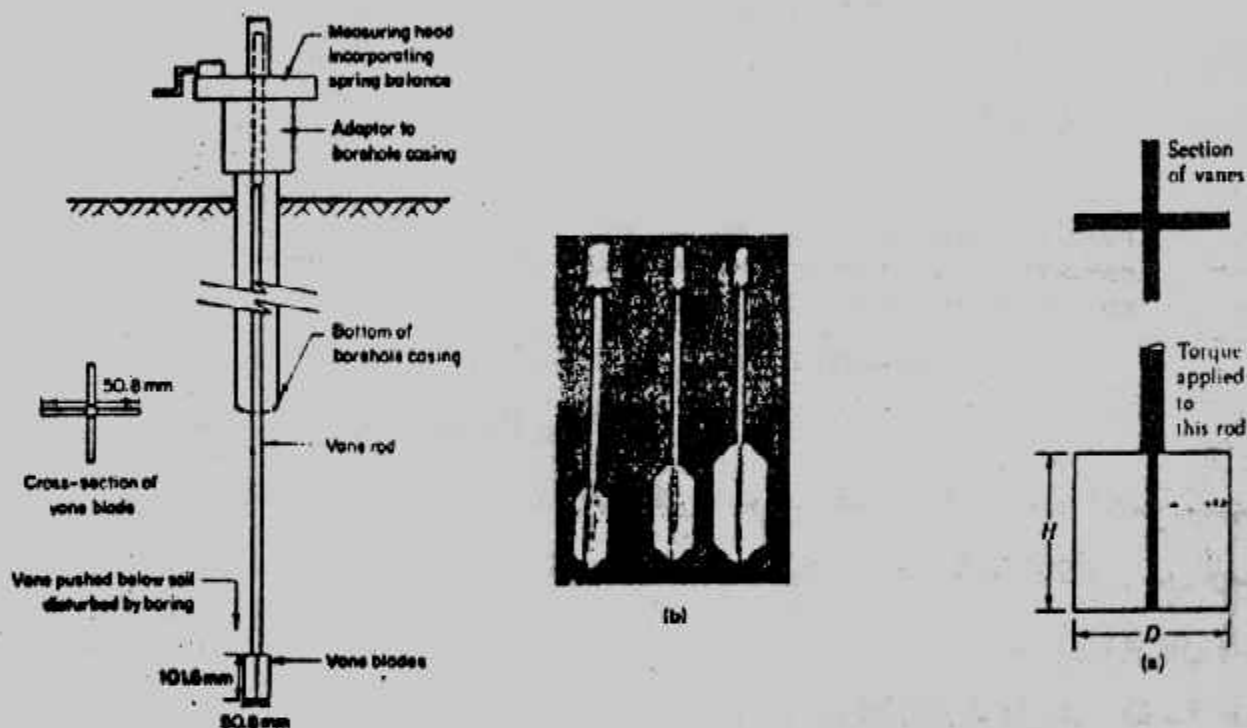
where : λ = correction factor

وقد يكون التصحيح باستخدام معامل اللدونة شكل (٢٨-١) وقد يكون طبقاً لأبحاث أحدث منسوباً لقيمة C_u (field) إلى قيمة الإجهاد الفعال σ'_v شكل (٢٩-١). ومن هذا الاختبار يمكن تقدير قيمة نسبة سبق التصلب Overconsolidation ratio, OCR لترابة الطين في الموقع من العلاقة العملية الآتية :

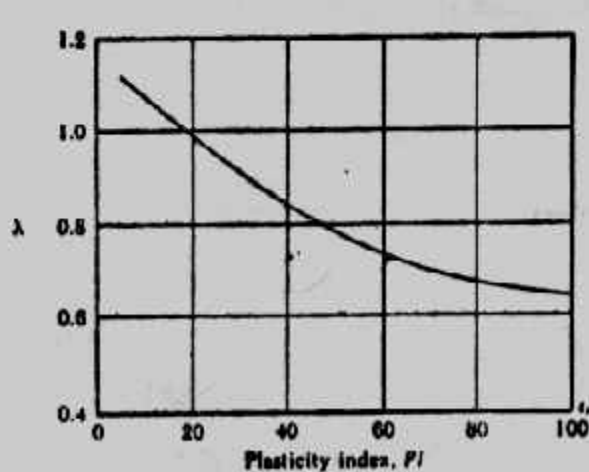
$$OCR = \beta \left[\frac{C_{u(\text{field})}}{\sigma'_{v}} \right] \quad (1-9)$$

Where : σ'_{v} = presnet effective overburden pressure.

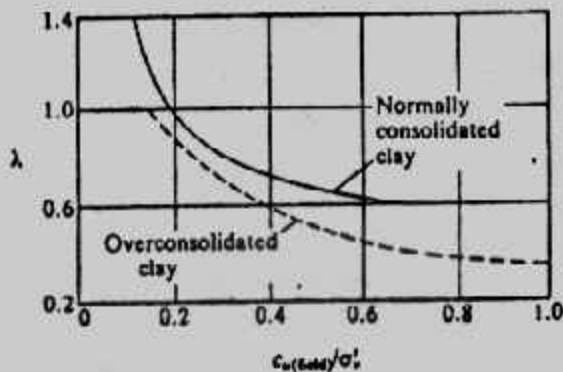
$$\beta = 22(PI)^{-0.48} \text{ (where PI = Plasticity index)}$$



شكل (٢٧-١): اختبار مروحة الفص في الموقع.



شكل (٢٨-١): التصحيح بمعامل اللدونة.



شكل (١-٢٩): التصريح بالتصالب.

و-تعين معامل التفافية في الموقف :

توجد طرق كثيرة لتعيين معامل النفاذية في الموقع وأهم وأسهل الطرق هما طريقة النهاية المفتوحة وطريقة الحشو.

١- اختبار النهاية المفتوحة Open End Test : في هذا الاختبار تتفقد الحفرة حسب العمق المطلوب ثم تنزل ماسورة إلى قاع الحفرة، وتسحب المياه من أعلى الماسورة وهذه المياه هي التي تسرب من خلال قاع الحفرة، ويكون سحب المياه بمعدل ثابت ويكون منسوب المياه في الماسورة ثانياً وتقدر كمية المياه المسحوبة ثم يحسب معامل النفاذية كما يلى :

Where : K = Coefficient of permeability.

Q = Constant rate of supply of water to the borehole

r = Inside radius

H = Differential head of water

والمعادلة السابقة تصلح لأى نوع من الوحدات كما أن H معرفة في الشكل (٣٠-١) وهي تتكون من جزئين :

$$H = H_{\text{gravity}} + H_{\text{pressure}} \dots \quad (1-11)$$

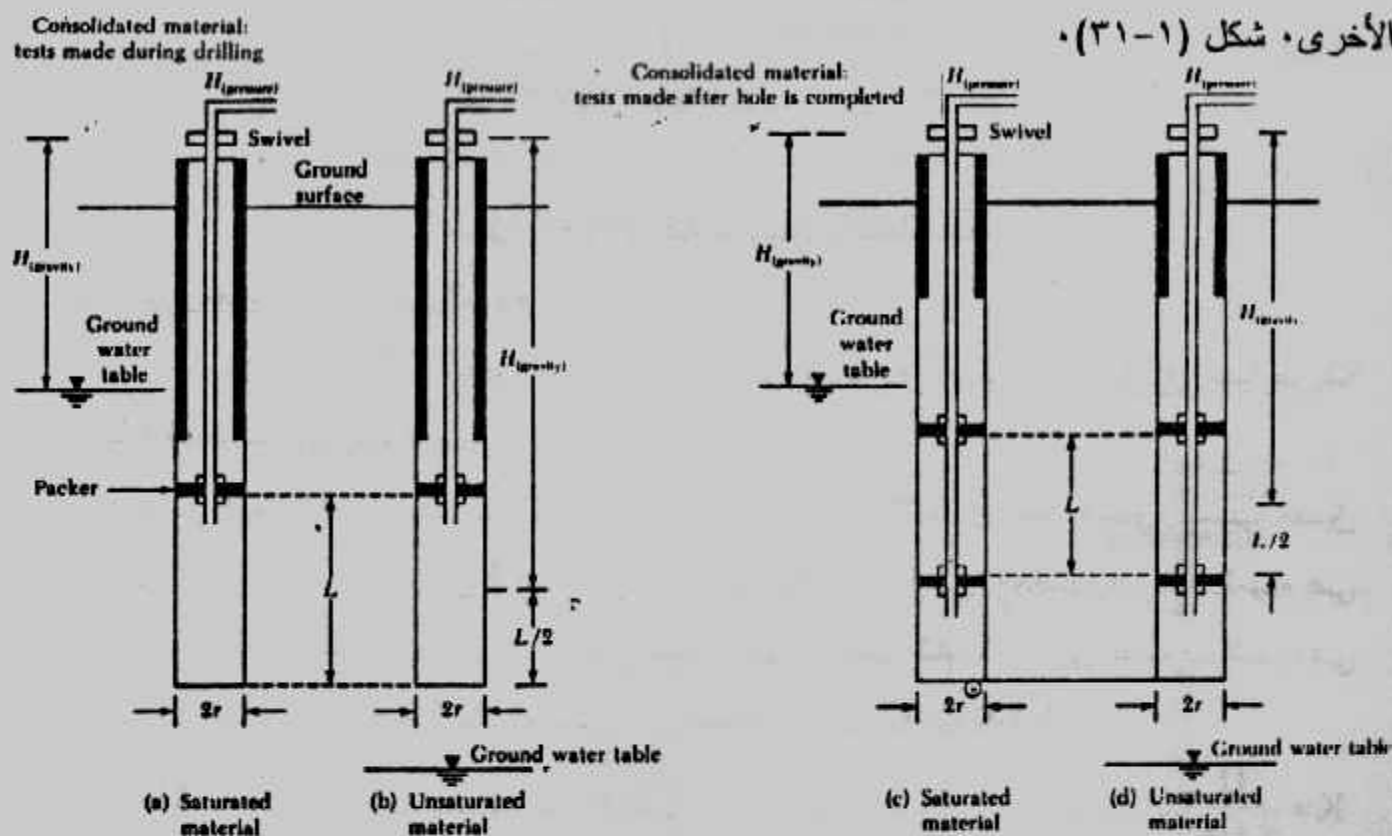
٤- اختبار الحشوة Packer Test : هذا الاختبار يمكن تنفيذه في جزء من حفرة الجسر أنتاء أو بعد تنفيذها حيث تدفع المياه تحت ضغط بمعدل ثابت إلى هذا الجزء من الحفرة، ومعامل التفافية يعين من :

$$K = \frac{Q}{2\pi L H} \log_e \left(\frac{L}{I} \right) \text{ (for } L \geq 10r \text{)} \dots \dots \dots \quad (1-12)$$

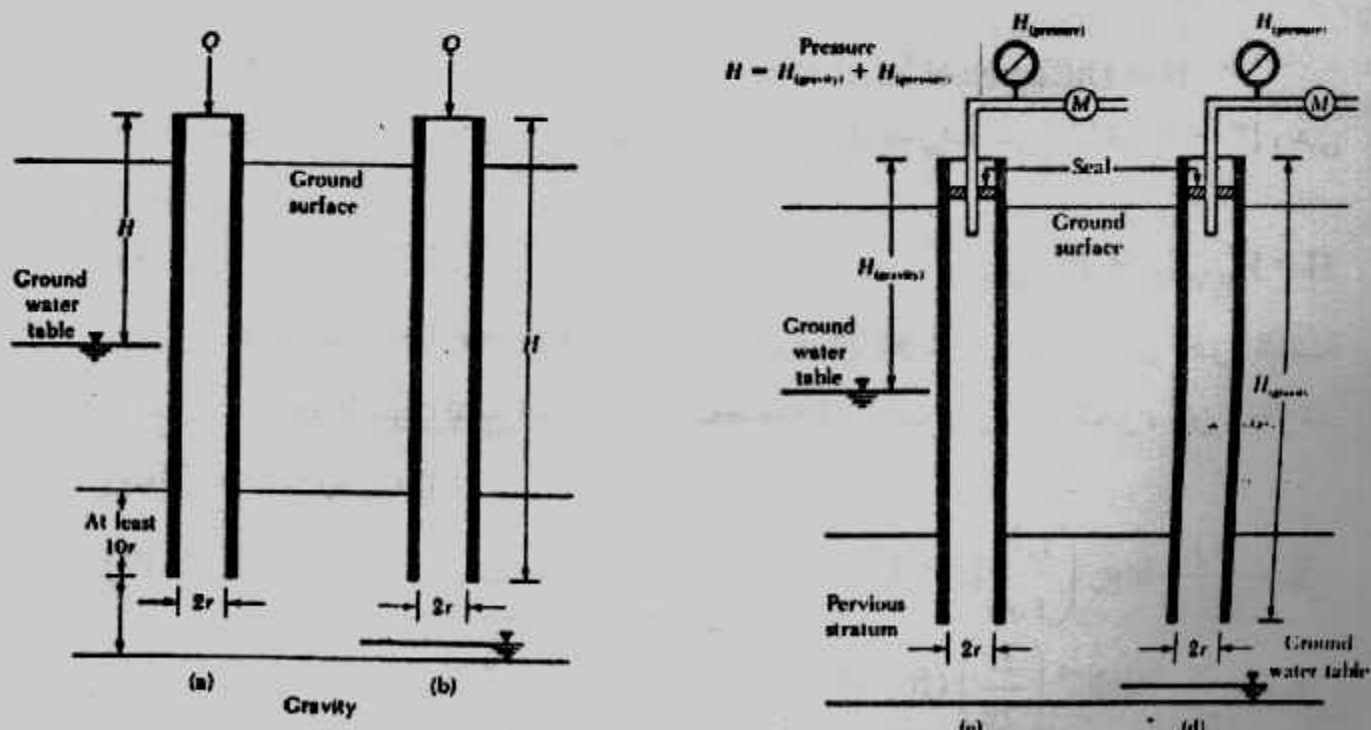
Where : K = coefficient of permeability

Q = constant rate of flow into the hole
 L = length of portion of the hole under test
 r = radius of the hole
 H = differential pressure head

و هذه الطريقة تستخدم أساسا لتعيين معامل النفاذية في الصخر كما يمكن استخدامها لأنواع التربة الأخرى . شكل (٣١-١) .



شكل (٣٠-١): اختبار النهاية المفتوحة لتعيين معامل النفاذية في الموقع .



شكل (٣١-١): اختبار الحشوة لتعيين معامل النفاذية في الموقع .

سادساً : المياه الجوفية : Ground Water

أ- تحديد منسوب المياه الجوفية **Ground water table** : وجود المياه الجوفية بالقرب من الأسس يؤثر على هبوط الأساسات وقدرة تحملها، ومنسوب المياه الجوفية يتغير موسمياً ولذلك فمن الضروري تحديد أعلى وأوسط منسوب للمياه الجوفية على طول عمر المنشآء، وأثناء عمل حفرة الجesse يجب تسجيل بداية ظهور المياه الجوفية فيها، ويستقر منسوب المياه الجوفية بعد ٢٤ ساعة من إتمام الجesse للترابة المجاورة عالية النفاذية وتسمى هذه الطريقة بالأبار المفتوحة، ويتم قياس عمق منسوب المياه الجوفية بائزال سلسلة أو شريط مساحي داخل الحفرة، وقد تستخدم أجهزة كهربائية تعطى إشارات ضوئية أو صوتية عند ملامستها للمياه، أما الترابة منخفضة النفاذية فإن منسوب المياه الجوفية يستغرق عدة أيام لكي يستقر، وفي هذه الحالة يجب قياس مناسبات المياه الجوفية بطريقة دقيقة باستخدام مقياس ضغط السائل (بیزومتر) Piezometer والذي يتكون من حجر نفاذ أو أنبوبة متقدمة تعمل كمرشح يسمح بدخول المياه دون التربة ومعلق بالحجر النفاذ أو الأنبوبة المتقدمة ماسورة أو أنبوبة بلاستيك رقيقة ويوضع البیزومتر كما هو مبين بالشكل (٣٢-١) .

وتوجد أنواع عديدة من البیزومترات :

أ- البیزومتر ذو المواسير الرأسية وهو بسيط وسهل الاستخدام ونظرًا لبطء معدل ثبات القراءة فإنه يستخدم للترابة ذات النفاذية العالية شكل (٣٢-١) .

ب- البیزومترات التي تعمل بالهواء حيث معدل ثبات القراءة بها سريع ولكن لابد من الحرص في منع دخول الهواء الجوى داخل مواسير ضغط الهواء كما يجب معالجة الأجهزة قبل استخدام شكل (٣٢-١) .

ج- البیزومترات الكهربائية وهي ذات دقة عالية ومعدل ثبات سريع ولكنها مكلفة وتحتاج القراءات إلى تصحيح.

للترابة الطميّة يمكن رصد مناسبات المياه الجوفية بالخطوات الآتية :

١- تنزح بعض المياه الجوفية من الحفرة ،

٢- ترصد مناسبات المياه الجوفية في الحفرة عند أزمنة صفر، t_1 , t_2 , t_3 وهي أى أزمنة مختارة ،

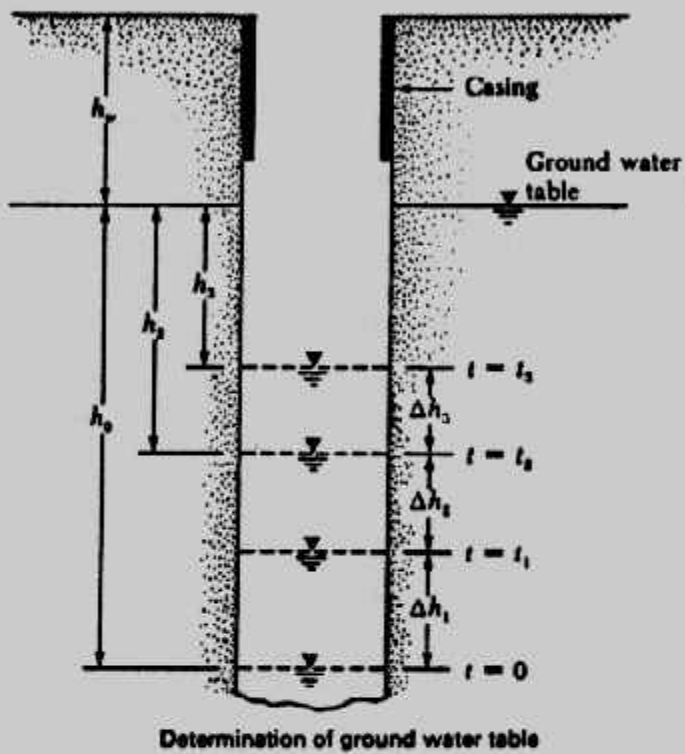
٣- تحسب ΔH_1 , ΔH_2 , ΔH_3 ، كما هو مبين بالشكل (٣٣-١)

٤- تحسب :

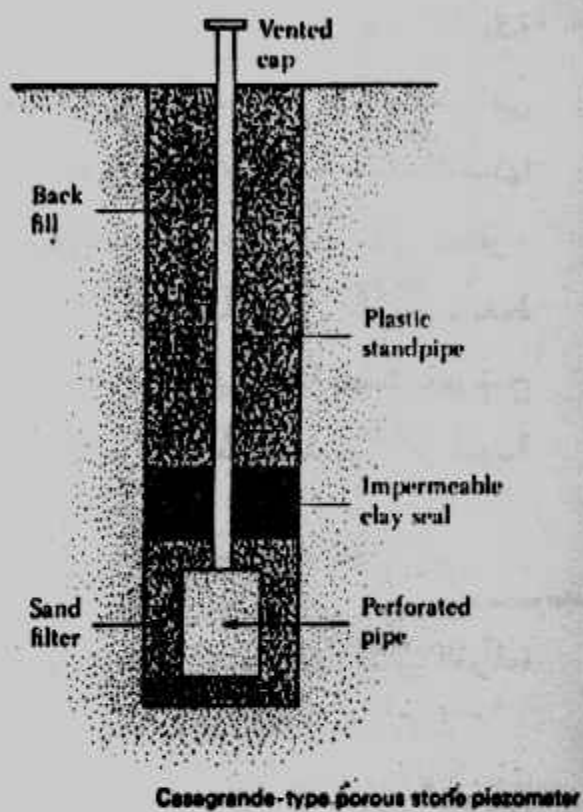
$$h_2 = \frac{\Delta h_2^2}{\Delta h_1 - \Delta h_2}$$

$$h_3 = \frac{\Delta h_3^2}{\Delta h_2 - \Delta h_3}$$

٥- توقع قيم h_0 , h_2 , h_3 ، عند الأزمنة المختلفة لایجاد مستوى المياه الجوفية.



شکل (۳۳-۱)



شکل (۳۲-۱)

تعين منسوب المياه الجوفية بالقياس

تعين منسوب المياه الجوفية بالبيز ومتراً

Example 1-2 :

Refer to Fig. (1-34) for a borehole, given : $h_w + h_o = 9.5 \text{ m}$

$$\Delta t = 24 \text{ h}$$

$$\Delta h_1 = 0.9 \text{ m}$$

$$\Delta h_3 = 0.70 \text{ m}$$

$$\Delta h_3 = 0.54 \text{ m}$$

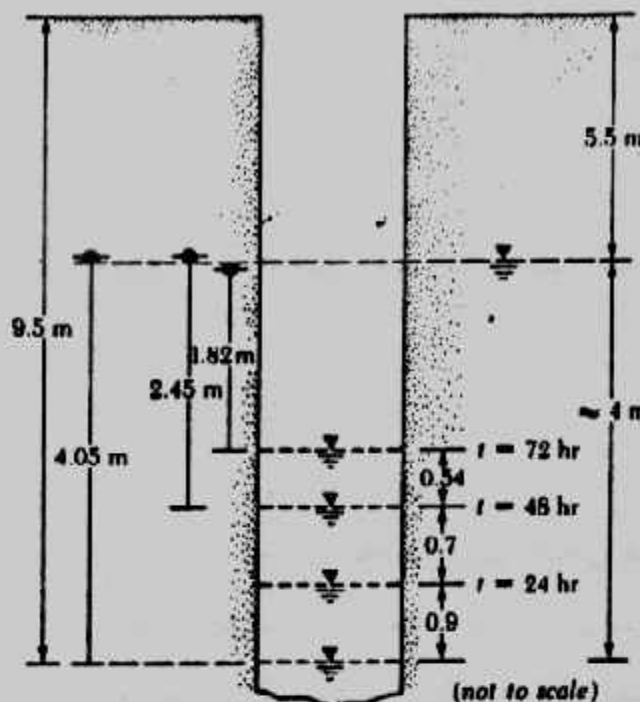
Make the necessary calculations and locate the ground water level.

Soltuion : Using Eq. (1-14).

$$h_o = \frac{\Delta h_1^2}{\Delta h_1 - \Delta h_2} = \frac{0.9^2}{0.9 - 0.70} = 4.05 \text{ m}$$

$$h_2 = \frac{\Delta h_3^2}{\Delta h_1 - \Delta h_2} = \frac{0.7^2}{0.9 - 0.7} = 4.05 \text{ m}$$

$$h_3 = \frac{\Delta h_3^2}{\Delta h_2 - \Delta h_3} = \frac{0.54^2}{0.7 - 0.54} = 1.82 \text{ m}$$



شكل (١-٣٤) : مثال

بـ- التحليل الكيميائى للمياه الجوفية :

عند تنفيذ أساسات أى منشأ فى التربة فإن خرسانة هذه الأساسات تتأثر بالمواد الضارة الموجودة فى التربة . كما أن وجود المياه يعتبر عاملا ضروريا للتفاعلات الكيميائية ولذلك يجب الاهتمام بدراسة الوسط المحاط بخرسانة الأساسات للتعرف على الأملاح المتواجدة بالتربة وبالمياه الجوفية وعمل الاحتياطات اللازمة لحماية الخرسانة حالياً ومستقبلاً وعند الاحتمالات المختلفة للوسط المحاط بها . ولذلك فمن الأمور الهامة هو إجراء التحليل الكيميائى لكل من التربة المحاطة بالأساسات والمياه الجوفية . ولاستخراج عينة مياه جوفية يمكن استخدام طرق بسيطة كقارورة المياه المدلاه داخل الحفرة ، أو استخدام لجهزة أكثر دقة وتحتوى على صمام يفتح عند المناسب المطلوب لأخذ عينات المياه عندها .

ويتم الفحص الكيميائى للمياه بتقدير المحتويات الآتية :

- ١- الأس الهيدروجيني .
- ٢- الرائحة واللون .
- ٣- محتوى الأملاح الكلية الذائبة .
- ٤- محتوى المغnesiaوم والأمونيوم .
- ٥- محتوى الكبريتات على هيئة ثالث أكسيد الكبريت .
- ٦- محتوى الكلوريديات .

وتنتمي المياه الضارة عند فحصها ظاهرياً باللون الداكن والرائحة غير الطبيعية، ووجود ترسيبات جبسة وخروج غازات والمكونات الضارة في المياه الجوفية تؤثر تأثيراً ضاراً على خرسانة الأساسات، ويترافق هذا التأثير مع درجات الحرارة العالية والضغط العالي أو يعرّض الخرسانة لمياه متحركة أو تحت ضغط هيدروستاتيكي.

وسوف نبين دراسة التحليل الكيميائي للمياه الجوفية وكذلك للتربة في بند تحليل النتائج ودراستها في هذا الباب.

سابعاً : الاختبارات المعملية :

بعد توصيل العينات إلى المعمل ترص متغيرة حسب تسلسل العينات ويتم فحص هذه العينات بصرياً بعرض التعرف على التربة ولونها وطبقاتها مبدئياً وهذا ما يسمى بالتوصيف المبدئي، ويقوم بهذه المهمة مهندسون تربة ذوي خبرة عالية في التوصيف، ويتم بعد ذلك تحديد الاختبارات الواجب إجراؤها وكذلك العينات المطلوبة لهذه الاختبارات ليتم تحديد الصفات الجيوبوتينيكية للتربة وخصائصها الميكانيكية بدقة، وأهم الاختبارات التي تجرى على التربة هي اختبارات الكثافة والمحتوى المائي وحدود اتربراج والتحليل الحبيبي ومقاومة القص والتصلب والقابلية لانفصال والإنتهازية والتحليل الكيميائي للمياه الجوفية والتربة.

والتوصيف المبدئي بالفحص البصري يجب أن يتم تأكيده بالتجارب المعملية المعروفة للوصول للتوصيف النهائي الصحيح، هذا بالإضافة للتوصيف البصري وتسلسل الطبقات الذي يسجله مهندس الجسات في الموقع والتجارب المعملية هي التأكيد العلمي والرابط لكل هذه التوصيفات، وبين الجدول (٨-١) أهم الاختبارات المعملية للعينات والكمية المطلوبة من العينات لهذه الاختبارات.

ثامناً : تحليل النتائج ودراستها :

بعد الانتهاء من إجراء جميع الاختبارات الموقعة والمعملية يتم تحليل دراسة نتائج هذه الاختبارات للوصول إلى النتائج النهائية والحقيقة لأبحاث تربة الموقع، وتسجل النتائج النهائية التي تم الوصول إليها في تقرير التربة بطريقة منتظمة وواضحة.

أ- تصنیف التربة : Soil Classification

وللوصول إلى التصنیف العلمي السليم لطبقات التربة يجب عمل الاختبارات لإيجاد العوامل المصنفة للتربة والتي أهمها حدود اتربراج والتحليل الحبيبي للتربة وقد عالجنا هـ

جدول (٨-١) : الاختبارات المعملية وكميات العينات الازمة لها .

Test	Types of Soils	Size of Sample (gram)	Type of Sample	Use of Data
Specific gravity of solids	All	100	Auger or split barrel	Void ratio, minerals.
Grain size	Cohesionless (sands, gravels)	200	Auger or split barrel	Classification. Estimate permeability, shear strength, frost action, and compaction.
Grain shape	Cohesionless (sands, gravels)	200	Auger or split tube	Classification. Estimate shear strength.
Liquid plastic limits	Cohesive (silts, clays)	200	Auger or split tube	Classification. Estimate compressibility and compaction.
Water content	Cohesive	100	Auger or split tube	Correlate with strength, compressibility, and compaction.
Void ratio	Cohesive	200	Split tube*	Estimate compressibility and strength.
Unconfined compression	Cohesive	200	Split tube*	Estimate shear strength.

* Sample must be relatively undisturbed.

الموضوع بالتفصيل في الباب الثالث من كتابنا ميكانيكا التربة . وعادة تسجل حدود أثربرج في تقرير التربة أو قطاع الجesse بينما تقدم منحنى التحليل الحبيبي على أحد مخطوطات التدرج الحبيبي المختلفة وفقاً لأحد المدارس العلمية التي سبق الحديث عنها في المرجع المذكور . ونقدم في شكل (٣٥-١) وشكل (٣٦-١) بعض هذه المخطوطات من أنظمة مختلفة .

ب- الصفات الجيوبوتكنيكية : Geotechnical Properties

يجب تجميع الصفات الجيوبوتكنيكية عند مواضع إجراء الاختبارات كما يجب أن تعطى بياناتها جميع أنواع طبقات التربة وخاصة طبقات التأسيس والطبقات الحرجة ذات مشاكل الهبوط أو الانهيارية . ويفضل تسجيل هذه الصفات في جداول أو على قطاع الجesse مباشرة في مواضعها .

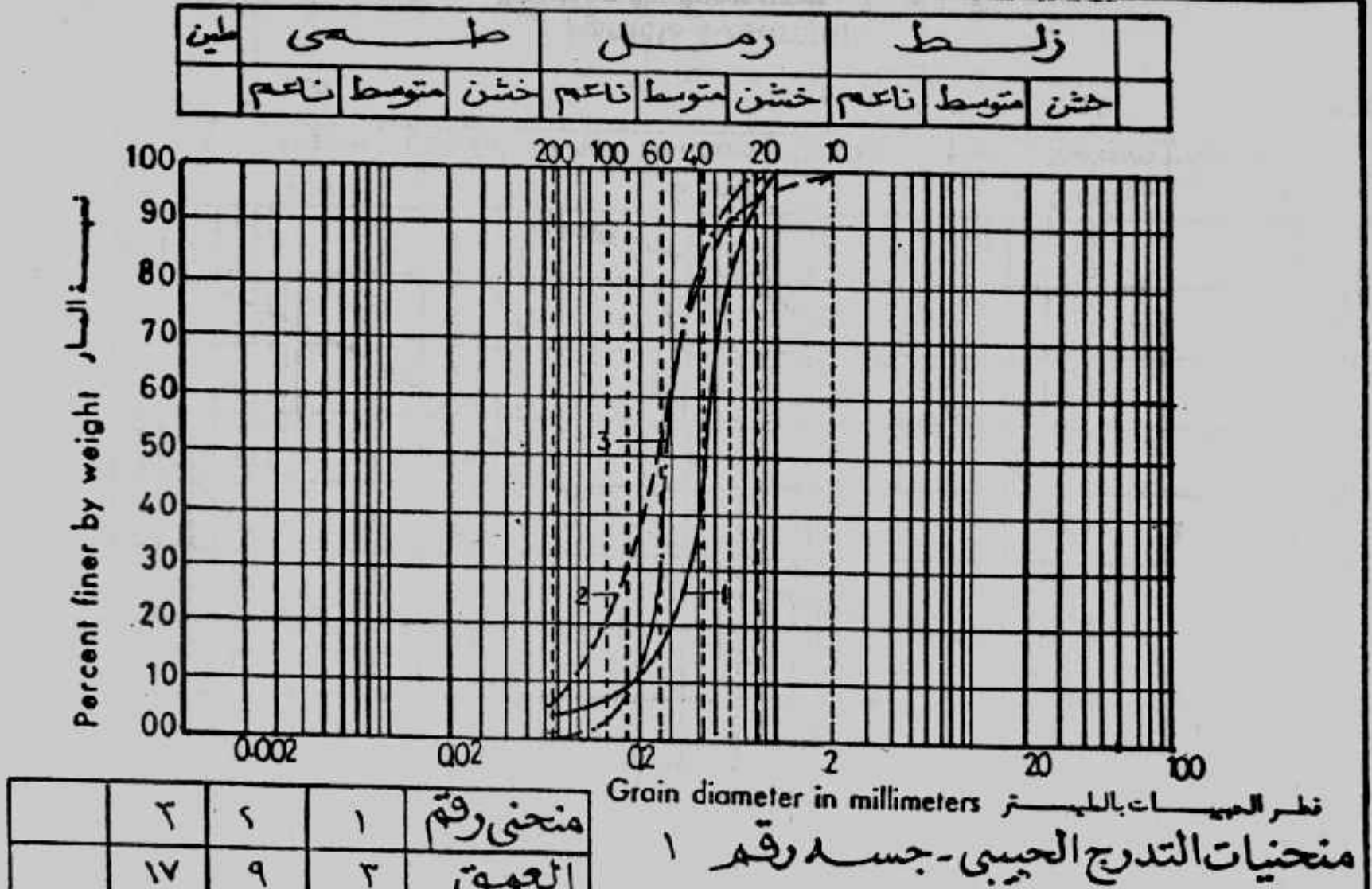
ج- إعداد قطاع الجesse : Preparation of Boring Log

البيانات والمعلومات المجمعة من كل جesse تم تنفيذها تقدم على شكل بياني يسمى قطاع الجesse Boring Log ويجب على منفذ الجesse أن يسجل هذه البيانات على قطاع الجesse :

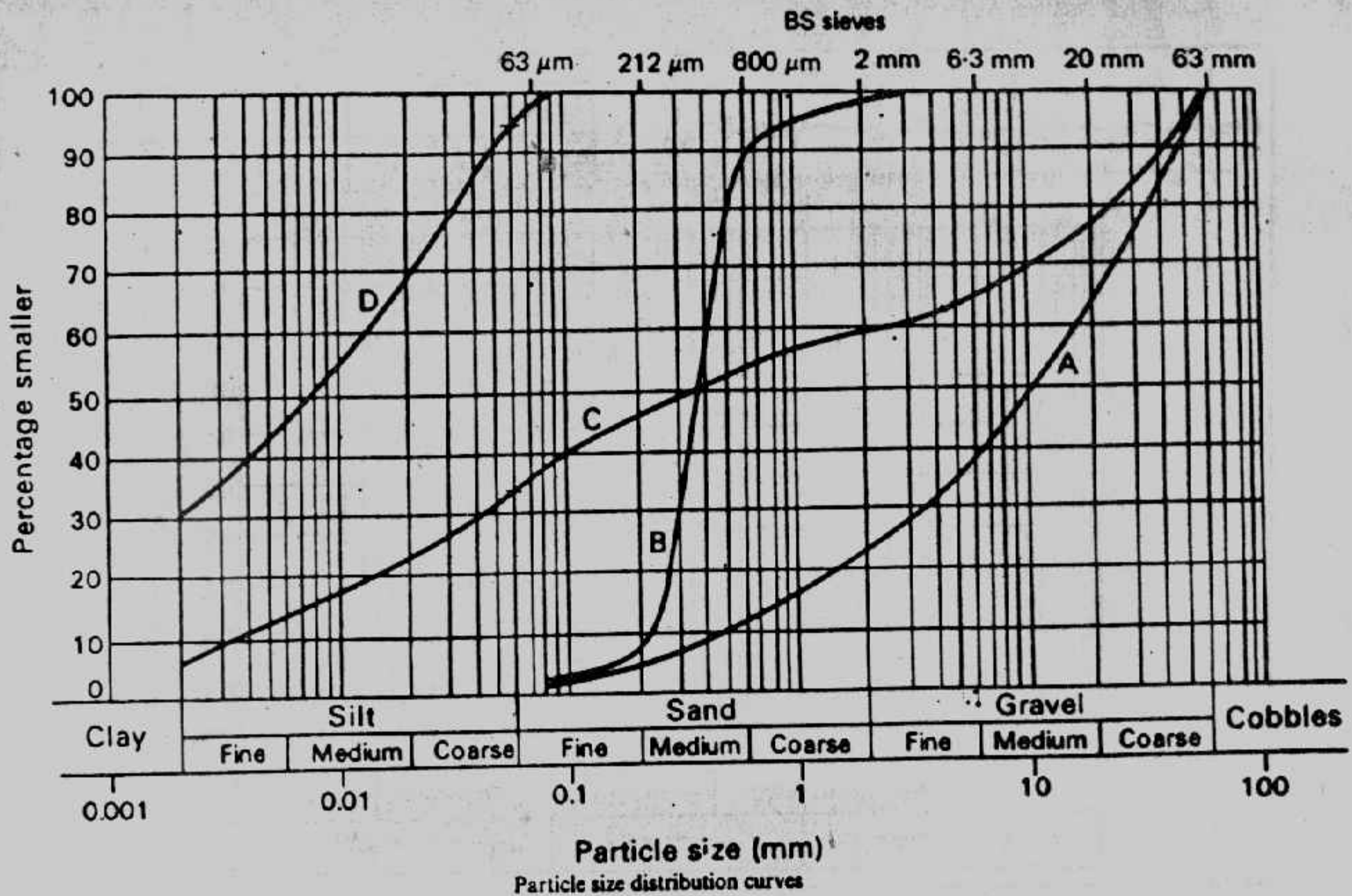
١- اسم وعنوان مقاول أو شركة الجسات .

- ٢- اسم منفذ الجسسة أو المشرف على تنفيذها.
 - ٣- اسم ورقم المشروع وعنوانه.
 - ٤- تاريخ تنفيذ الجسسة.
 - ٥- رقم الجسسة ومكانتها.
 - ٦- طبقات التربة في الموقع كما شوهدت أثناء تنفيذ الجسسة.
 - ٧- مناسبات المياه الابتدائية والنهاية كما ظهرت في الجسسة.
 - ٨- قيم تجارب الاختراق الموقعة ومناسباتها وكذلك نتائج التجارب الموقعة الأخرى.
 - ٩- عدد وأنواع وأعمق العينات المأخوذة.
 - ١٠- في حالة عينات الصخر يسجل نوع اسطوانة القطع.
- كما يجب أن يقدم منفذ الجسسة كروكي للموقع العام يوضح عليه أماكن الجسات وعددها ونوعها وعمقها، أشكال (٣٧-١)، (٣٨-١)، وبعد استكمال الاختبارات المعملية على العينات المستخرجة يقوم مهندس التربة والأساسات بإعداد شكل قطاع الجسسة النهائي الدقيق، والذي يضم بالإضافة للبيانات الموقعة لمنفذ الجسسة نتائج التجارب المعملية، وتضم أشكال قطاعات الجسسة إلى تقرير أبحاث التربة وهي تشكل جزءاً هاماً فيه، وتبيّن الأشكال (٣٩-١) إلى (٤٣) نماذجاً مختلفة لأشكال قطاع الجسسة.
- ويلاحظ أن نماذج قطاع الجسسة تضم المعلومات والبيانات الآتية :
- ١- اسم الموقع أو العملية.
 - ٢- رقم الجسسة.
 - ٣- قطاع التربة على طول الجسسة بالاستعانة برموز التربة شكل (٤٤-١).
 - ٤- مناسبات الطبقات وحدودها.
 - ٥- مناسبات المياه الجوفية.
 - ٦- اسم كل طبقة ولونها.
 - ٧- الصفات الجيوتكنيكية ومنها حدود أثربرج والكتافة والمحتوى المائي والانتفاخ.
 - ٨- الصفات الميكانيكية مثل مقاومة القص وقيمة الضغط الغير محصور وزاوية الاحتكاك الداخلي للتربة الخشنة.
 - ٩- نتائج الاختبارات الموقعة وأهمها اختبارات الاختراق.
 - ١٠- تاريخ تنفيذ الجسسة واسم منفذها.

شكل(٤-٣٥): مخطط التدرج الحبيبي



شكل (١-٦٣) : التسلسج الجيولوجي



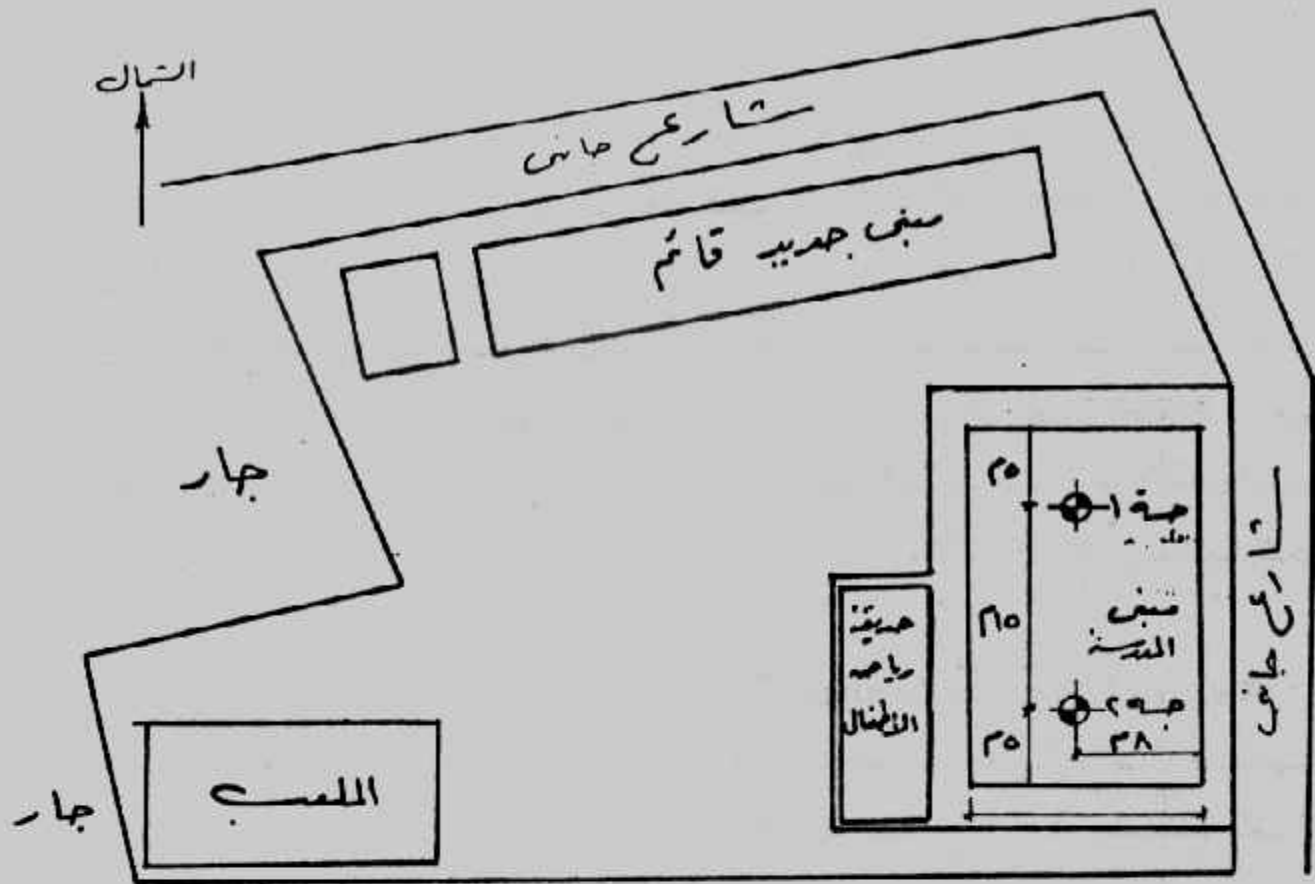
د- قطاع التربة في الموقع : Subsurface Profile

من أشكال قطاعات الجسات أو الحفر الاستكشافية في الموقع يمكن وضع تصور عام لشكل وتسلسل الطبقات في الموقع ويسمى هذا التصور بقطاع التربة Subsurface Profile شكل (٤١-٤٥) . وقد يتلزم رسم قطاع التربة عمل جسات إضافية أو حفر استكشافية إضافية . وهذا القطاع يساعد في إعطاء صورة أكثر وضوحاً لحالة الطبقات السطحية من حيث انتظامها أو اختلافها أو تغير سمكها أو بدايتها أو نهايتها كذلك بين القطاع حجم وحدود الطبقات الضعيفة والطبقات القوية . ويجب ملاحظة أن شكل القطاع في مناطق الجسات المنفذة هو الأصح أما في المناطق بين الجسات فإنها وقعت بالتصور وبالمقارنة بين مناطق الجسات وبعضها أشكال (٤٦-٤٧)، (٤٨-٤٩) .

هـ- دراسة التحليل الكيميائي للتربة وللمياه الجوفية : Study of Chemical Analysis تتأثر كثيرة خرسانة الأساسات بالماء الضارة الموجودة في الوسط المحيط بها . والوسط المحيط يعني الماء والتربة والغاز المحيط بالخرسانة المتصلدة . والعناصر الضارة بالخرسانة هي الأحماض الهرة (ويعبر عنها بالأس الهيدروجيني) والأحماض المعدنية ومنها كبريتيد الهيدروجين وثنائي أكسيد الكبريت وحمض الكربونيك وكذلك الأحماض العضوية الهرة والكبريتات وأملاح المغنيسيوم وأملاح الأمونيوم والدهون والزيوت النباتية والحيوانية والقار . وكل هذه المواد تعمل بأسلوب أو بأخر على إذابة المركبات الأساسية وبالتالي تفتت الخرسانة . وكذلك تعمل على تقوية العوننة الأساسية لمعانى الطوب . أما الكلوريادات فيكون تأثيرها على حديد التسليح حيث تساعد على الصدأ وقد تكون المواد الضارة في التربة وتشتت عند وصول المياه الجوفية لها أو مع حركتها ، وقد تكون المواد الضارة في المياه الجوفية نفسها . وبين جدول (٩-١) تقييم خطورة المكونات الضارة بالمياه .

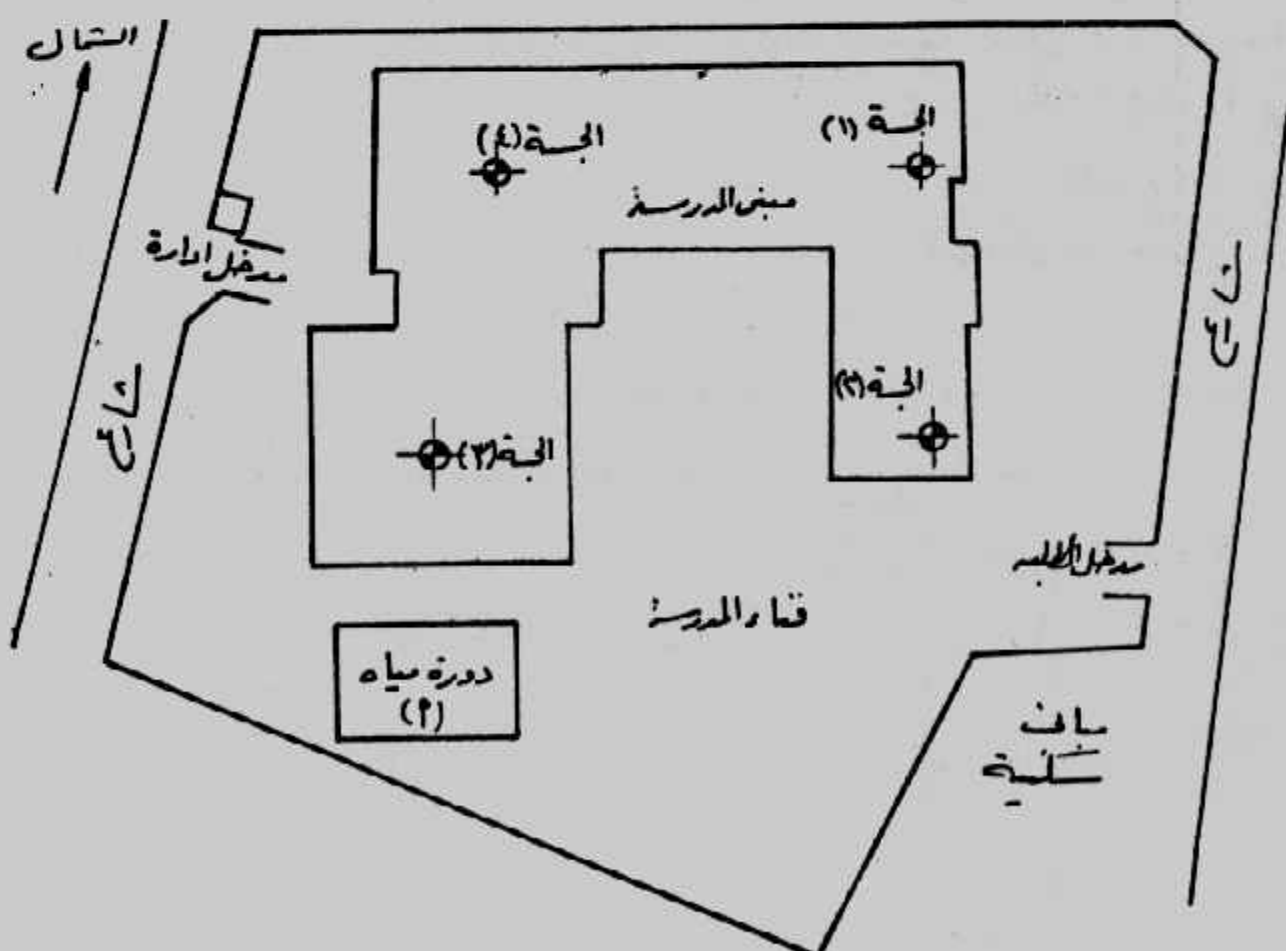
جدول (٩-١): حدود التقييم للمكونات الضارة بالمياه .

العنصر	الأجزاء			العنصر
	أجزاء ملليها	أجزاء نانوها	أجزاء نانوبلة	
الأس الهيدروجين	أعلى من ٤٠٠	٤٠٠ - ٤٠	٤٠ - ٦٠	١
حامض الكربونيك على مللي (أ.٢) مجم / لتر.	أعلى من ١٠	٩٠ - ٢٠	٢٠ - ١٥	٢
الألمنيا (نيد٤+) مجم / لتر	أعلى من ٦٠	٦٠ - ٣٠	٢٠ - ١٥	٣
الماغنيسيوم (ما٢+) مجم / لتر	أعلى من ١٥٠٠	١٥٠٠ - ٣٠٠	٣٠٠ - ١٠٠	٤
الكلوريات (كب أ.٢) مجم / لتر	أعلى من ٢٠٠٠	٢٠٠٠ - ٦٠٠	٦٠٠ - ٢٠	٥

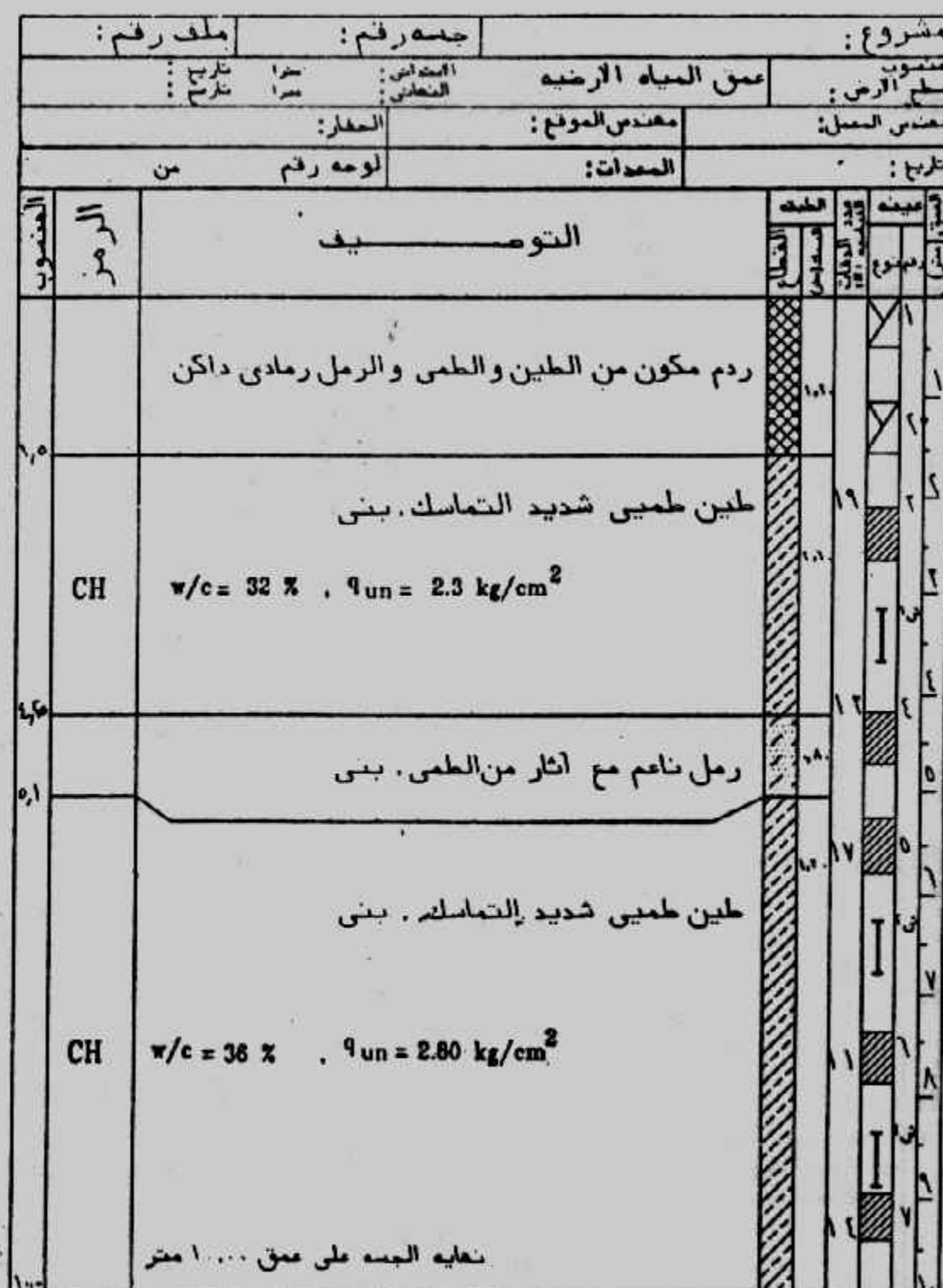


تاریخ ریسی

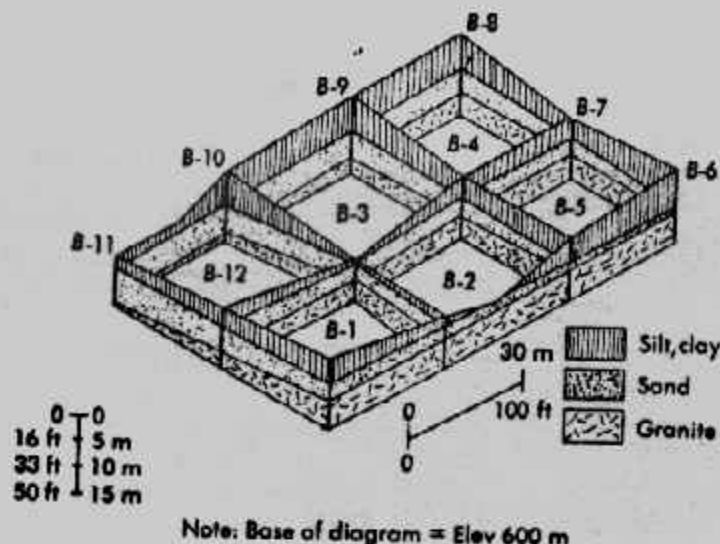
شكل (١-٣٧): كروكي للموقع العام وأماكن الجلسات



شكل (١٨-١): كروكي عام وأماكن الجلسات



شكل (١-٣٩): تسجيل البيانات في قطاع تمويني للجسات



شكل (٤٨) : قطاع التربة في ثلاثة اتجاهات .

أما التربة الضارة بالخرسانة فتكون دائما ذات لون يختلف عن اللون العادي للتربة . و يجب الحذر من التربة الرمادية خاصة إذا احتوت على صدأ بني مصفر أو التربة الرمادي الفاتح المائلة للبياض والمتواجدة تحت طبقة من التربة ذات لون بني غامق يميل إلى الأسود . كما تدل النباتات المتحلة على وجود الحامضية في التربة . ويجب أن يضم التحليل الكيميائي للتربة قيم الحامضية العضوية ومحتوى الكبريتات والكبريتيد للتربة المجففة بالهواء . ويبين جدول (١٠-١) تقييم خطورة التربة في مهاجمة الخرسانة .

جدول (١٠-١) : حدود وتقييم خطورة التربة المهاجمة على الخرسانة .

الخطورة		الاختبارات
خطورة جسمية	خطورة بسيطة	
-	أعلى من ٢٠ مللي	الحامضية طبقاً للنند (٢-٨-٩-١)
أعلى من ٤٢	٤٢ - ١٧	الكبريتات (كب ٣) للتربة المبردة هوانبا (%)

وبالإضافة إلى أهمية تصنيع الخرسانة جيداً لمقاومة الكبريتات فإنه يمكن استخدام الأسمدة المقاوم لل الكبريتات في الخلطات الخرسانية عندما تزيد نسبة الكبريتات في المياه أو في التربة المحبيطة عن الحدود المسموح بها في جداول الكود المصري جدول (١١-١)، جدول (١٢-١) كما يبين جدول (١٣-١) تأثير الكبريتات على الخرسانة في وجود الكبريتات، أما أملاح الكلوريدات فليس لها تأثير ضار مباشر على الخرسانة مهما كان تركيزها، إلا أن اختراق أملاح الكلوريدات للغطاء الخرساني يساعد على صدأ حديد التسليح، ولذلك يجب التأكيد على أهمية أن تكون الخرسانة كثيفة وسمك الغطاء الغرساني من ٥ إلى ٧ سنتيمترات ويفضل ٧ سنتيمترات وذلك في حالة زيادة كمية الكلوريدات عن ٣٠٠٠ جزء في المليون مع استخدام الأغطية العازلة أو الدهانات العازلة مثل الأسفلت أو البيوتومين أو تغليف الخرسانة بمادة غير منفذة للمياه، وعموماً فإن خرسانة الأساسات يمكن أن تقاوم التأثير الضار للكيميائيات في حالة ما إذا كانت الخرسانة عالية الكثافة وذات محتوى أسمدة غني مع زيادة سمك الغطاء الخرساني لحديد التسليح.

جدول (١١-١): تأثير الخرسانة بالترابة والمياه المحتوية على تركيزات مختلفة من الكبريتات

المياه الجوفية	التربة	ال الكبريتات
ال الكبريتات في المياه (كب ٤٪) جزء في المليون	ال الكبريتات القابلة للذريان في الماء (كب ٤٪) %	درجة العاشر
صغر - ١٢٥	٠٠٨ -	تأثير ضعيف
٨٠ - ١٢٥	٠١٧ - ٠٠٨	تأثير إيجابي
١٦٠ - ٨٠	*٠٤٢ - ٠١٧	تأثير محسوس
أكبر من ١٦٠	أكبر من ٠٤٢	تأثير خطير

* كبريتات مهاجمة للخرسانة

جدول (١٢-١): تأثير الخرسانة بال الكبريتات في وجود الكلوريدات

ال الكبريتات (كب ٤٪) اللائبة في الماء	مهاجمة المياه في		
	الظروف		درجة المهاجمة
	العادية	الخطيرة	
٢+ - الماخنثيوم (أيون)	٢+ ١٠٠ مجم / لتر ٣٤+ ١٠٠٥ مجم / لتر	٢+ ١٠٠ مجم / لتر ٣٤+ ١٠٠٥ مجم / لتر كل - ١٠٠٠ مجم / لتر	ملايين خطير
٣+ - الأمونيا (أيون)	٣+ ١٠٠ مجم / لتر	٣+ ١٠٠ مجم / لتر	ضعف المهاجمة
٤+ - كلور (أيون)	٤+ ١٠٠ مجم / لتر	٤+ ١٠٠ مجم / لتر	متوسط المهاجمة
	أقل من ١٠٠	أقل من ١٠٠	عال المهاجمة
	١٠ - ١٠	٣٥ - ٢٠	خطير المهاجمة
	٣٠ - ١٠	٦٠ - ٣٥	
	٦٠ - ٢٠	١٢٥ - ٦٠	
	أكبر من ٦٠	أكبر من ١٢٥	

تاسعاً : إعداد تقرير أبحاث التربة Preparation of Soil Investigation Report:

في نهاية برنامج استكشاف التربة يكون قد تجمع لدينا بيانات التربة، منها البيانات المجمعة من الموقع أو بالفحص البصري أو من التجارب المعملية، وتسجل كل هذه البيانات ودراستها ونتائج تحليلها في تقرير "أبحاث التربة والأساسات" الذي يعد لاستخدامه المهندس المصمم عند تعامله مع تربة الموقع أو عند تصميم الأساسات، ولذلك تكون هذا التقرير مرجعاً للأعمال المستقبلية في المبني فيما بعد، وبالرغم من اختلاف حجم التقرير وكمية البيانات به حسب حجم كل مشروع وأهميته وتკاليفه وكذلك حسب المهندس المعهود للتقرير إلا أن كل تقرير يجب أن يحتوى على :

- ١- مجال البحث ويشمل المقدمة ولجهة الطالبة وحجم برنامج أبحاث التربة.
 - ٢- وصف المبني المقترن تنفيذه بالموقع وطريقة تنفيذه.
 - ٣- وصف عام للموقع والمباني حوله وما يحيط به.
 - ٤- الوضع الجيولوجي للموقع.
 - ٥- تفاصيل العمل الموقعي وعدد الجسات وعمقها ونوعها.
 - ٦- وصف عام لطبقات التربة.
 - ٧- نتائج الاختبارات المعملية والموقعية.
 - ٨- حالة منسوب المياه الجوفية ونتائج تحليلها الكيميائي.
 - ٩- توصيات التأسيس وتشتمل :
 - ١- منسوب التأسيس المقترن.
 - ب- قدرة تحمل التربة المسماوح بها (جهد التربة).
 - ج- نوع الأساسات المناسب.
 - د- خطوات تنفيذ الأساسات.
 - هـ- اعتبارات التصميم مثل جهد الخرسانة ونوعها وطريقة العزل والخلطات الخرسانية، ونوع الحديد وسمك الغطاء الخرساني ونوع الأسمنت المستخدم وكيفيته.
 - ١٠- اعتبارات أخرى خاصة بطريقة الحفر وسد جوانبه وتطهير الموقع ونزح المياه الجوفية عند ظهورها.
 - ١١- خلاصة وحدود استخدام التقرير.
- ويجب إلزاق الأشكال والرسومات الآتية بالتقرير :
- ١- كروكي الموقع العام • Site Location Map

٢- موقع الجسات وعلاقتها بالمبنى المطلوب .

٣- قطاع الجسات وقطاع التربة .

٤- جداول نتائج الاختبارات المعملية والتحاليل الكيميائية .

٥- أى أشكال أخرى مثل منحنيات التدرج الحبيبي .

ونتاليه "أبحاث التربة والأساسات" يجب أن تصاغ بطريقة علمية لا ليس فيها وثائق جيدة من معدتها .

استكشاف التربة بالطرق الجيوفизيائية Geophysical Exploration

توجد أنواع أخرى من طرق استكشاف التربة تختلف في الأسلوب ومن هذه الطرق الاستكشاف الجيوفزيائي والذي يقدم بسرعة بيانات التربة ، والاستكشاف الجيوفزيائي يسمح باستكشاف المساحات الواسعة بتكلفة أقل من الطرق المعتادة المعروفة بالجسات ، ومع ذلك وفي حالات كثيرة يصعب الحصول على نتائج دقيقة وكاملة لطبقات التربة . وعلى ذلك فالطرق الجيوفزيائية تستخدم في الاستكشاف المبدئي للأعمال الكبيرة .

ومن طرق الاستكشاف الجيوفزيائي :

أ- طرق الاستكشاف الزلزالي Seismic Exploration ومنها طريقة المسح بالانكسار الزلزالي وطريقة المسح بالإنكسار الزلزالي ، وطريقة المسح الزلزالي بالحفر المقطعة .

ب- طرق الاستكشاف بالمسح الكهربى Resistivity Survey ومنها طريقة الجهد المتساوی وطريقة المقاومة الكهربية .

أولاً : طرق الاستكشاف الزلزالي Seismic Exploration

يعتمد الاستكشاف الزلزالي على التباين في خواص المرونة للصخور المكونة للفقرة الأرضية . وينشأ عن اختلاف معاملات المرونة للصخور انعكاسات وانكسارات للموجات الزلزالية تشبه انعكاس وإنكسار الأشعة الضوئية عند مرورها خلال مواد مختلفة التركيب . وبإحداث موجات زلزالية في التربة المفككة أو في الصخور وتسجيل سرعة انتقال هذه الموجات فيها بأجهزة خاصة يمكن استنتاج عمق ونوع وتوزيع وتركيب التربة .

١- المسح بالإنكسار الزلزالي Seismic Refraction Survey :

المسح بالإنكسار الزلزالي يستخدم في الحصول على البيانات المبدئية حول سماكة الطبقات المختلفة للتربة في الموقع وكذلك العمق للصخر أو للتربة الجامدة . وتتفذ هذه الطريقة بإحداث "صدمة" عند نقطة الصدم A، شكل (٤-١) ثم تسقبل أول موجة واصلة عن هذه

الصدمة بواسطة جهاز استقبال خاص يسمى جيفون Geophone موضوع عند عدة نقط على مسافات من A مثل نقطة D, C, B ... والصدمة الزلزالية يمكن إحداثها بواسطة الدق بمطرقة ضخمة أو تغير شحنة متجرات صغيرة.

والصدمة التي تم إحداثها على سطح الأرض تخلق نوعين من موجات الضغط هي موجات مستوية (Plane-waves p-waves) حيث تتحرك الجزيئات في اتجاه انتشار الموجات وموجلات قص (Shear-waves S-waves) حيث تتحرك الجزيئات في اتجاه عمودي على اتجاه انتشار الموجات. والموجلات المستوية تنتقل أسرع من موجلات القص ولذلك فستكون أسرع الموجات الوالصة عن الصدمة سوف تتنفس إلى الموجات المستوية P-waves في الطبقات المختلفة. وسرعة هذه الموجات في أي وسط تعين من :

$$v = \sqrt{\frac{E}{\gamma g}} \sqrt{\frac{(1-\mu)}{(1-2\mu)(1+\mu)}} \quad \dots \dots \dots \quad (1-15)$$

where : E = Young's modulus of the medium

γ = Unit weight of the medium

g = Acceleration due to gravity

μ = Poisson's ratio

ولتعيين سرعة الموجات المستوية (v) في الطبقات المختلفة وسمك هذه الطبقات يتبع الآتي :

- ١- يتم الحصول على زمن وصول أول موجة t_1, t_2, t_3, \dots على مسافات مختلفة X_3, X_2, X_1, \dots من نقطة الصدمة.
- ٢- ترسم علاقة الزمن - المسافة شكل (٤٩-١).
- ٣- تعين ميل الخطوط ab, bc, cd, \dots

$$\text{Slope of } ab = \frac{1}{v_1}$$

$$\text{Slope of } bc = \frac{1}{v_2}$$

$$\text{Slope of } cd = \frac{1}{v_3}$$

حيث v_1, v_2, v_3 هي سرعة الموجات المستوية في الطبقات I, II, III، على التوالي، شكل (٤٩-١).

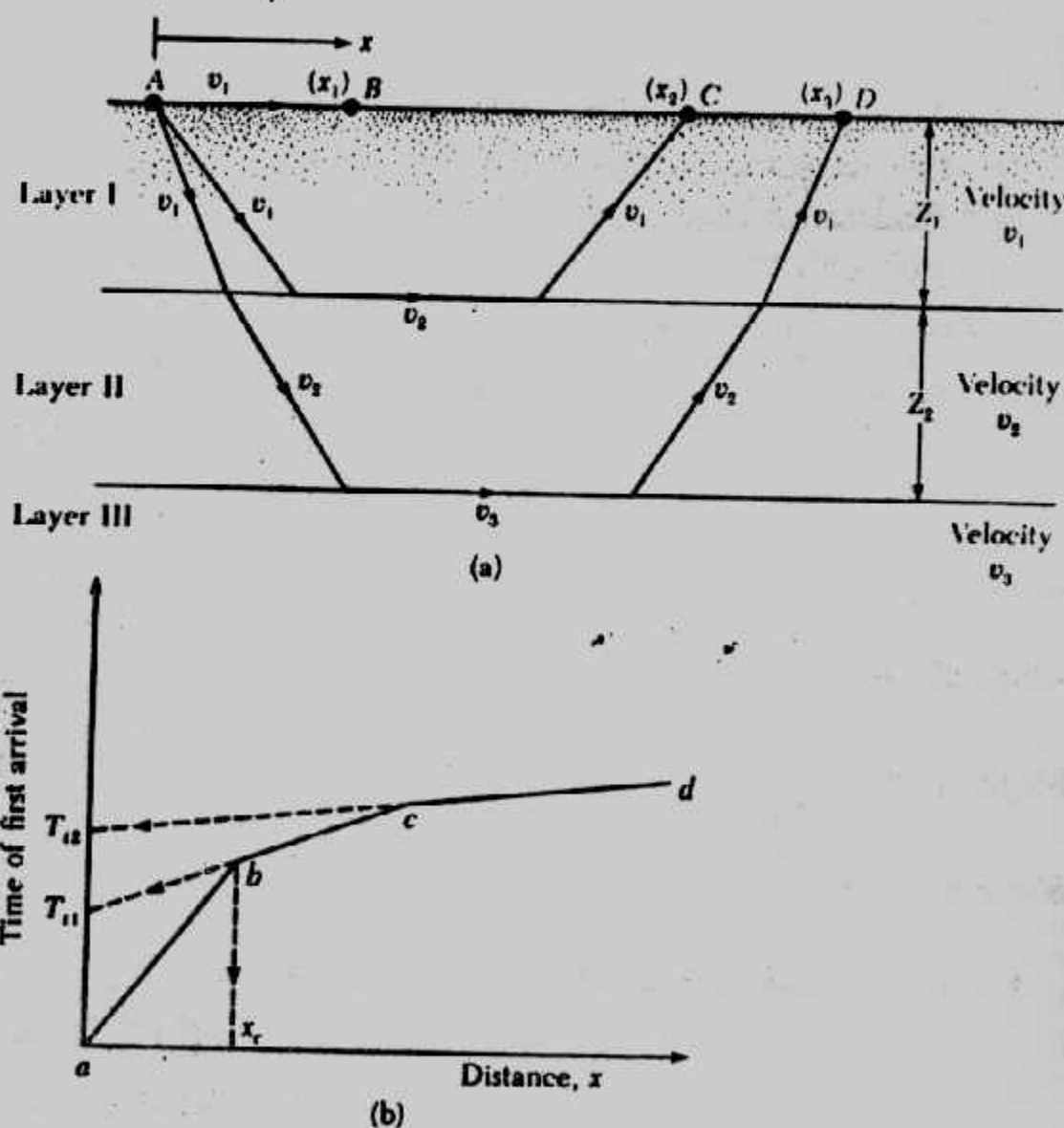
- ٤- يعين سمك الطبقة الطولية Z_1 من :

حيث x تعين من رسم علاقة الزمن - المسافة.

٥- يُعين سُمك الطبقة الثانية Z_2 من :

$$Z_2 = \frac{1}{2} \left[T_{I2} - 2Z_I \frac{\sqrt{v_3^2 - v_I^2}}{v_3 \cdot v_I} \right] \frac{v_3 \cdot v_2}{\sqrt{v_3^2 - v_2^2}} \quad \dots \dots \dots \quad (1-17)$$

حيث T_{12} تعين من رسم علاقة الزمن - المسافة.



شكل (٤-١): المسح بالانعكاس الزلزالي.

ويمكن التعرف على نوع التربة او الصخر المتواجد تحت سطح الأرض مباشرة، وبين جدول (١٤-١) سرعة الموجات المستوية لبعض أنواع التربة المختلفة، وعند تحليل نتائج هذه الطريقة يجب مراعاة أن $v_1 < v_2 < v_3$ عند استخدام المعادلات المذكورة في هذه الطريقة، كما يجب معرفة أن التربة المشبعة بالماء تحت منسوب المياه الجوفية تعطى نتائجاً خادعة، وسرعة الموجات المستوية في الماء هي ١٥٠٠ م/ثانية، وللتربة الجافة أو المتباعدة Loose تكون سرعة الموجات أقل من ١٥٠٠ م/ثانية بينما في حالة التربة المشبعة تكون سرعة الموجات حول ١٥٠٠ م/ثانية حيث تنتشر الموجات خلال الماء الموجود في فراغات التربة.

جدول (١٤-١): سرعة الموجات المستوية في التربة والصخور المختلفة.

Range of P-Wave Velocity in Various Soils and Rocks

Type of soil or rock	P-wave velocity		
	(m/sec)	ft/sec	
<i>Soil</i>			
Sand, dry silt, and fine-grained top soil	200 to 1,000	650– 3,300	
Alluvium	500 to 2,000	1,650– 6,600	
Compacted clays, clayey gravel, and dense clayey sand	1,000 to 2,500	3,300– 8,200	
Loess	250 to 750	800– 2,450	
<i>Rock</i>			
Slate and shale	2,500 to 5,000	8,200–16,400	
Sandstone	1,500 to 5,000	4,900–16,400	
Granite	4,000 to 6,000	13,100–19,700	
Sound limestone	5,000 to 10,000	16,400–32,800	

وهذه الطريقة صالحة الاستخدام حتى أعمق ٤٠ متراً.

Example 1-3 :

The results of a refraction survey at a site are given in the following table. Determine the velocity of P-waves and the thickness of the material encountered.

Distance from the source of disturbance (m)	Time of first arrival (sec $\times 10^3$)
2.5	11.2
5	23.3
7.5	33.5
10	42.4
15	50.9
20	57.2
25	64.4
30	68.6
35	71.1
40	72.1
50	75.5

Solution : Velocity : In Fig. (1-50) the time of first arrival are plotted against the distance from the source of disturbance. The plot has three straight-line segments. The velocity of the top three layers can now be calculated in the following manner :

$$\text{Slope of segment } 0a = \frac{1}{v_1} = \frac{\text{time}}{\text{distance}} = \frac{23 \times 10^{-3}}{5.25}$$

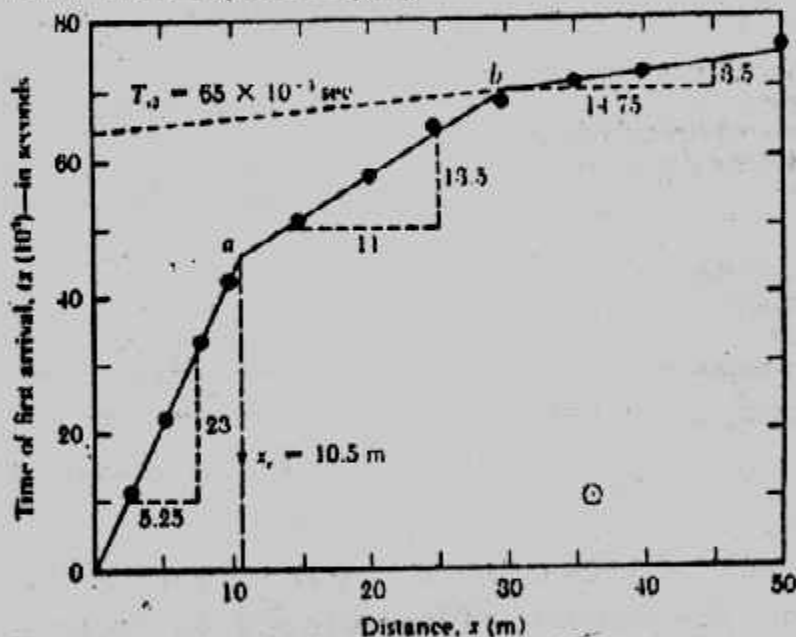
$$\text{or } v_1 = \frac{5.25 \times 10^3}{23} = 228 \text{ m/sec (top layer)}$$

$$\text{Slope of segment } ab = \frac{1}{v_2} = \frac{13.5 \times 10^{-3}}{11}$$

$$\text{or } v_2 = \frac{11 \times 10^3}{13.5} = 814.8 \text{ m/sec (middle layer)}$$

$$\text{Slope of segment } bc = \frac{1}{v_3} = \frac{14.75 \times 10^{-3}}{3.5}$$

$$v_3 = 4214 \text{ m/sec (third layer)}$$



شكل (١-٥٠) : مثال - علاقه الزمن والمسافة

Example 1-4 :

Comparing the velocities obtained here with those given in Table (1-14) it appears that the third layer is a rock layer.

Thickness of layers.

From Fig. (1-50), $x_c = 105 \text{ m}$. So

$$Z_i = \frac{1}{2} \sqrt{\frac{v_2 - v_1}{v_2 + v_1}} x_c \quad [\text{Eq. 1-16}]$$

$$\text{So } Z_1 = \frac{1}{2} \sqrt{\frac{814.8 - 228}{814.8 + 228}} \times 10.5 = 3.94 \text{ m}$$

Again, from Eq. (1-17)

$$Z_2 = \frac{l}{2} \left[T_{12} - \frac{2Z_1 \sqrt{v_3^2 - v_1^2}}{(v_3 \cdot v_1)} \right] \frac{(v_3)(v_2)}{\sqrt{v_3^2 - v_2^2}}$$

The value of T_{12} can be determined from Fig. (1-44) as 65×10^{-3} sec.

$$\text{So } Z_2 = \frac{1}{2} \left[65 \times 10^{-3} - \frac{2(3.94) \sqrt{(4214)^2 - (228)^2}}{(4214)(228)} \right] \frac{(4214)(814.8)}{\sqrt{(4214)^2 - (814.8)^2}}$$

$$= \frac{1}{2} (0.065 - 0.0345) 830.47 = 12.66 \text{ m}$$

Hence, the rock layer is located at a depth of $Z_1 + Z_2 = 3.94 + 12.66 = 16.60 \text{ m}$ measured from the ground surface.

٢- المسح الزلزالي بالحفر المقطعة : Cross-Hole Seismic Survey

سرعة موجات القص S-waves الناتجة عن أحداث صدمة على التربة يمكن تعينها بالمسح الزلزالي بالحفر المقطعة، شكل (١-٥) حيث يتم تقب حفريتين في التربة المسافة بينهما هي L . وفي قاع أحد الحفريتين يتم أحداث نبضة (أو ضربة) Impulse بواسطة قضيب النبض و تستقبل موجات القص الناتجة عن النبضة بواسطة محول طاقة حساس Transducer وتعين سرعة موجات القص v_s من :

$$v_s = \frac{L}{t} \quad \dots \dots \dots \quad (1-18)$$

Where : t = travel time of shear waves

كما يمكن تعين معامل الجسامه للتربة (معامل القص) من سرعة الموجات :

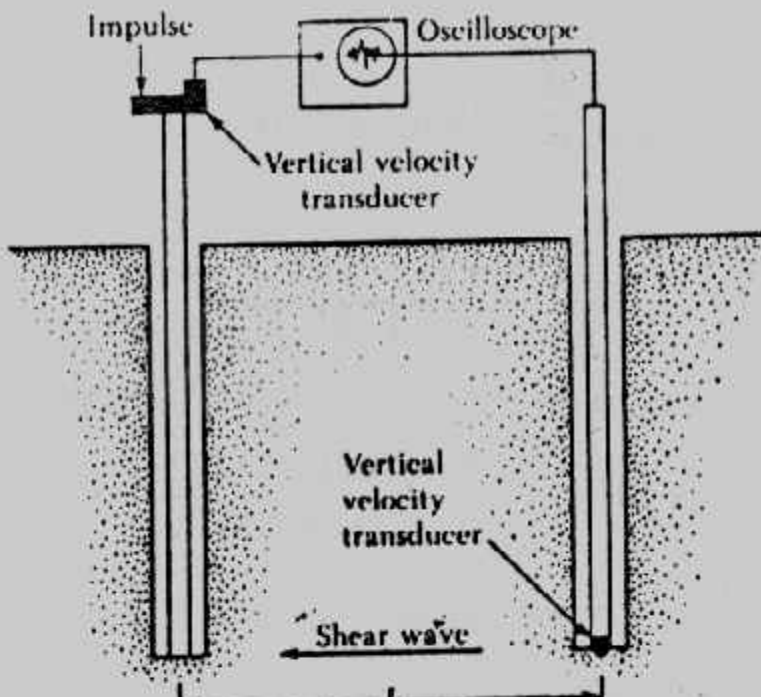
$$v_s = \sqrt{\left(\frac{G}{\gamma}\right)} \quad \dots \dots \dots \quad (1-19)$$

$$G = \frac{v_s^2 \gamma}{g} \quad \dots \dots \dots \quad (1-20)$$

where G = shear modulus of soil

γ = soil unit weight

g = acceleration due to gravity



شكل (١-٥١) : المسح الزلزالي بالحفر المقطعة .

٣- المسح بالانعكاس الزلزالي :

تستخدم هذه الطريقة لاستكشاف الطبقات التي يزيد عمقها عن ٣٠٠ مترا من سطح الأرض وهي أكثر استخداما في عمليات البحث عن البترول .

ثانياً : طرق الاستكشاف بالمسح الكهربائي :

تحتفل الخواص الكهربائية للتربة المكونة للقشرة الأرضية سواء كانت مفككة أو متماسكة . ويتوقف توصيل التربة للكهرباء على عوامل عديدة منها حجم الفراغات وحجم ونوع السوائل بها ، وكذلك تختلف في مقاومتها لمرور التيار الكهربائي بها . ومن طرق المسح الكهربائي طريقة المقاومة وطريقة الجهد المتساوي .

١- المسح بالمقاومة الكهربائية : Electrical Resistivity Survey

المقاومة الكهربائية P لأى وسط طوله L ومساحة مقطعة A تعرف كما يلى :

$$P = \frac{RA}{L} \quad \dots \dots \dots \quad (1-21)$$

where R = electrical resistance

والمقاومة الكهربائية لأنواع التربة المختلفة تعتمد أساسا على المحتوى العائلي للتربة وعلى تركيز الأيونات المتحللة بها . والطين المشبع له أقل مقاومة كهربائية وعلى العكس فإن التربة الجافة والصخر لها أعلى مقاومة كهربائية . ويعطى جدول (١٥-١) وجدول (١٦-١) المقاومة الكهربائية لبعض أنواع التربة .

وأغلب طرق قياس المقاومة الكهربائية للتربة تستخدم أربعة أقطاب Electrod تتدفق على سطح التربة على مسافات متساوية على خط واحد (Wenner Method) . والقطبان الخارجيان

جدول (١٥-١): المقاومة الكهربية لبعض الأنواع الرئيسية للترابة.

Material	Resistivity (ohm-m)
Sand	500-1500
Clays, saturated silt	0- 100
Clayey sand	200- 500
Gravel	1500-4000
Weathered rock	1500-2500
Sound rock	> 5000

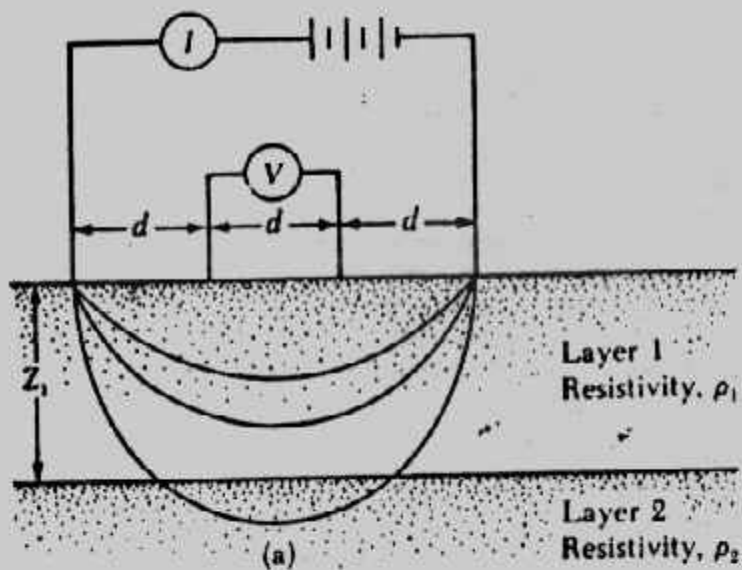
جدول (١٦-١): المقاومة الكهربية للترابة والصخور.

Material	Resistivity In Ohm-meters
Saturated organic clay or silt	5-20
Saturated inorganic clay or silt	10-50
Hard, partially saturated clays and silts:	
saturated sands and gravels	50-150
Shales, dry clays, and silts	100-500
Sandstones, dry sands, and gravels	200-2000
Crystalline rocks, sound	1,000-10,000

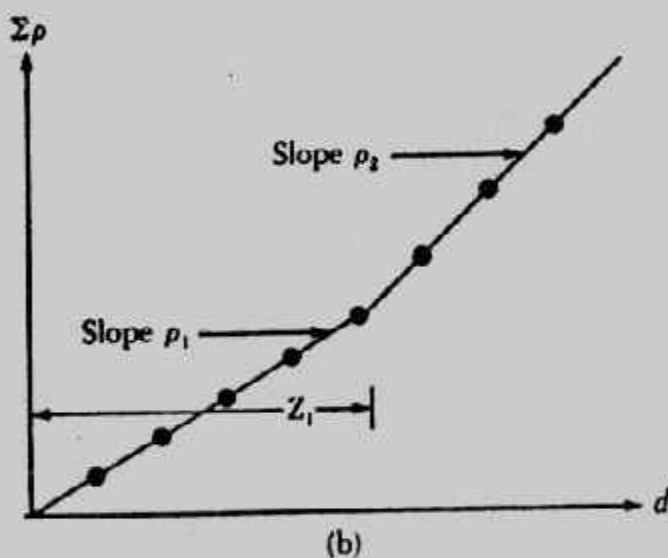
يستخدمان لامرار التيار الكهربى بهما I للترابة. ويكون التيار فى حدود من ٥٠ إلى ١٠٠ ميللى أمبير. وفرق الجهد V يقاس خلال القطبين الداخلين. وفي حالة تجانس التربة تكون المقاومة الكهربية.

$$P = \frac{2\pi V}{l} \quad \dots \dots \dots \quad (1-22)$$

في أغلب الحالات تكون التربة من عدة طبقات مختلفة لها مقاومات مختلفة. وفي هذه الحالة فإن المقاومة الناتجة من المعادلة السابقة تعطى المقاومة الظاهرة (أو المجمعة). ولإيجاد المقاومة الفعلية للطبقات المختلفة وتخاناتها فإنه تستخدم طريقة عملية. وهذه الطريقة تتلخص في إجراء اختبار المقاومة على مسافات بين الأقطاب مختلفة أى أن l هنا متغيرة ويمكن تجميع المقاومات الظاهرة وتمثيلها مع المسافة l كما هو مبين بالشكل (١-٥١) A) وسوف ينتج من العلاقة خطوط مستقيمة ويكون ميل هذه الخطوط معبرا عن المقاومة المفردة للطبقة الواحدة. أما سمك هذه الطبقات فيمكن تقديره كما هو مبين في شكل (١-٥١ ب). وهذه الطريقة مفيدة جدا في حالة الطبقات الزلطية المتداخلة في التربة الناعمة. كما أن هذه الطريقة تستخدم على نطاق واسع في حل كثير من المشكلات الهندسية مثل تعدين عمق الصخور الصلبة ومعرفة نوع التراكيب الجيولوجية تحت السطحية والتي قد تؤثر لدرجة كبيرة على تصميم وتنفيذ المنشآت الكبيرة كالسدود والخزانات وتقسيم الطبقات تحت السطحية من الناحية الهندسية إلى تربة وصخور



(a)



(b)

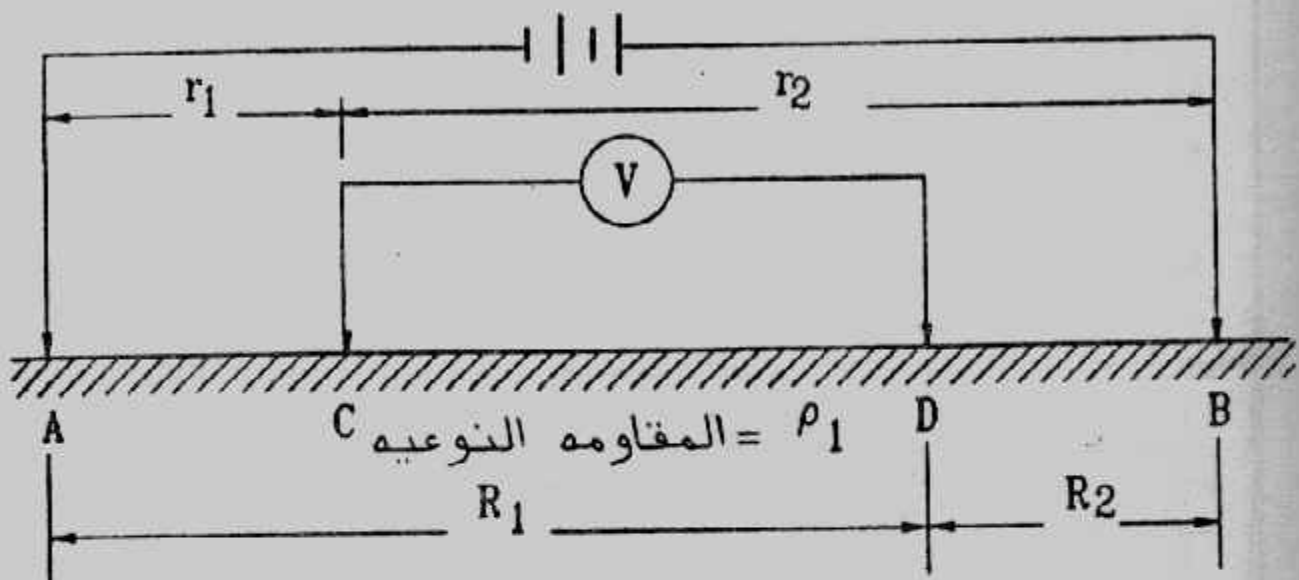
Electrical resistivity survey: (a) Wenner method; (b) empirical method for determination of resistivity and thickness of each layer

شكل (١-٥١): طريقة المسح بالمقاومة الكهربية .

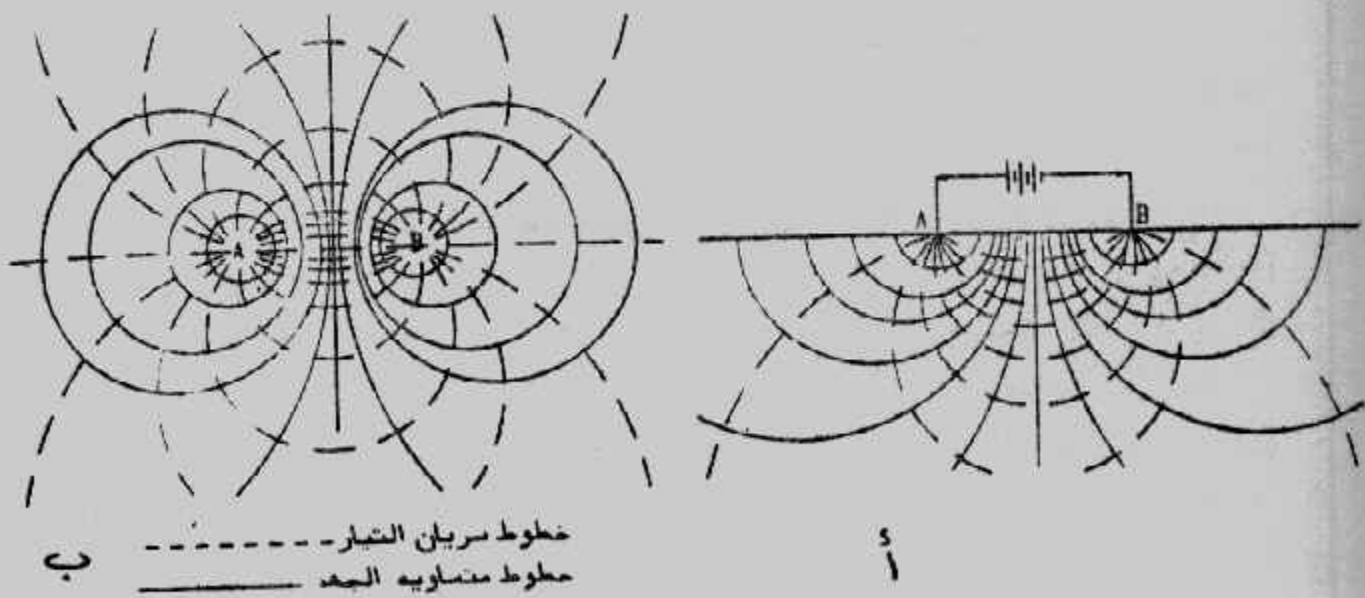
٢- طريقة الجهد المتساوی : **Equipotential Method**

يتم إمرار تيار كهربى فى الأرض بواسطه قطبى التيار فيمر التيار بينهما نتيجة لاختلاف الجهد ويتم رسم خطوط الجهد المتساوی بواسطه قطبين غير مستقطبين متصلين بمكابر يصل إلى سماعات خاصة، شكل (٥٢-١)، ويبقى أحد القطبين مثبتا فى الأرض بينما يحرك القطب الآخر حتى تستقبل فى السماعات أدنى درجة من الصوت وفي هذه النقط يكون القطب على نفس خط الجهد المتساوی . وفي حالة التربة المتجانسة تكون خطوط الجهد المتساوی مت Mata

في توزيعها حول القطبين، شكل (٥٣-١). أما في حالة وجود صخور جيدة أو رديئة التوصيل الكهربائي في التربة فإنه ينشأ انحراف في خطوط الجهد المتساوي، شكل (٥٤-١)، وفي حالة الصخور جيدة التوصيل الكهربائي فإن خطوط التيار تتجمع إليها بينما تتفرق منحنيات الجهد المتساوي، بينما يحدث عكس ذلك في حالة الصخور رديئة التوصيل الكهربائي واستكشاف التربة بهذه الطريقة مناسب لدراسة التكاوين الجيولوجية التي تفضلها حدود راسية أو شديدة الانحدار وقليلاً ما تستخدم هذه الطريقة في أعمال الهندسة المدنية.

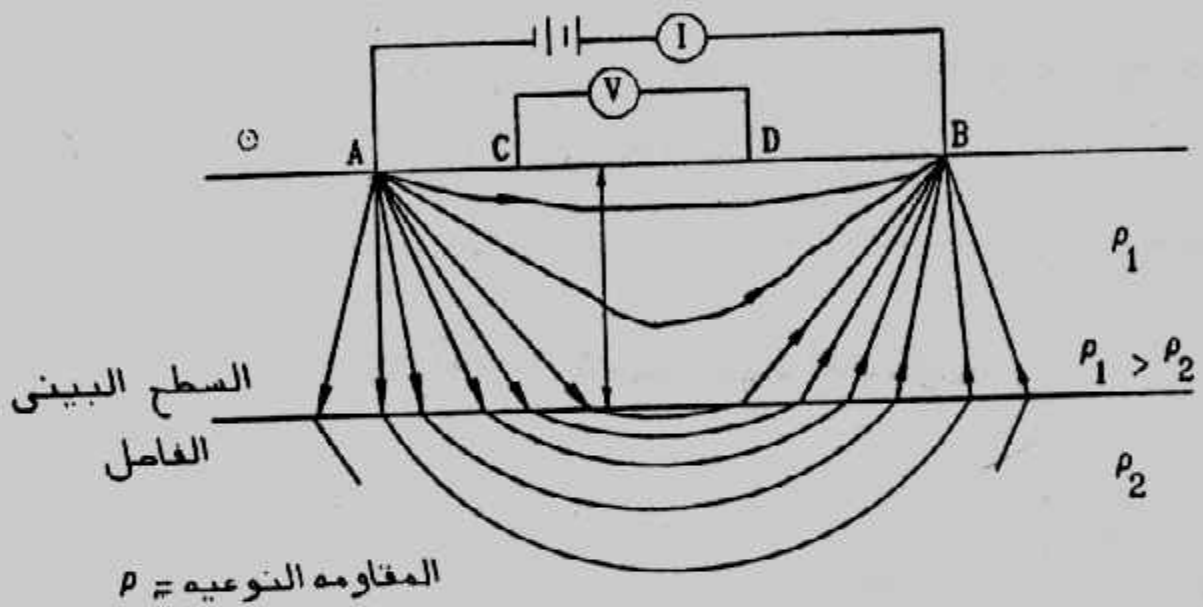


شكل (٥٢-١): طريقة الجهد المتساوي.



شكل (٥٣-١) : خطوط الجهد المتساوي في حالة الأرض المتجلسة.

أ- أسفل سطح الأرض في المستوى الرأسى للأقطاب، ب- على مستوى سطح الأرض - الأقطاب عند B, A .



شكل (١-٥٤): خطوط سريان التيار بين الطبقتين B,A في تربة ذات طبقتين

الباب الثاني

Bearing Capacity قدرة التحمل

مقدمة :

عندما يقوم المهندس المصمم بأعمال تصميم الأساسات أى تحديد أبعادها وتسليحها بالإضافة إلى عمق التأسيس فإنه يحتاج إلى معرفة مقدار ما تتحمله تربة التأسيس من أحصار وهو ما يطلق عليه قدرة التحمل (أو جهد التربة) .

والأساسات السطحية المصممة يجب أن تحقق ما يلى :

- أ- أن تكون آمنة تماما ضد الانهيار بالقص للترابة الحاملة لها.
- ب- أن لا تتعرض الأساسات للحركة أو للهبوط الضاربين.

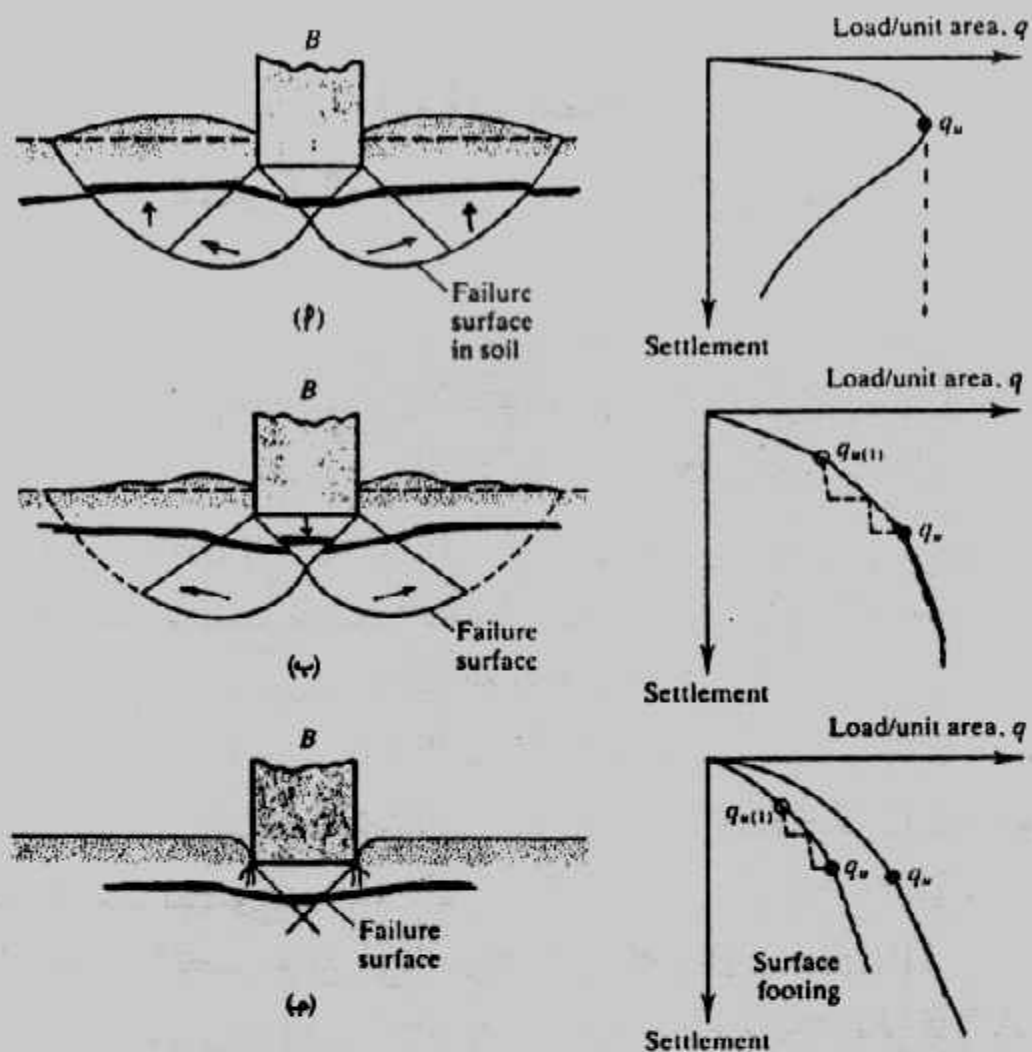
وفي هذا الباب نعرض الطرق المختلفة لتقدير قدرة تحمل التربة كما نلخص طرق حساب الهبوط والقيم المسموح بها له .

قدرة التحمل القصوى Ultimate Bearing Capacity

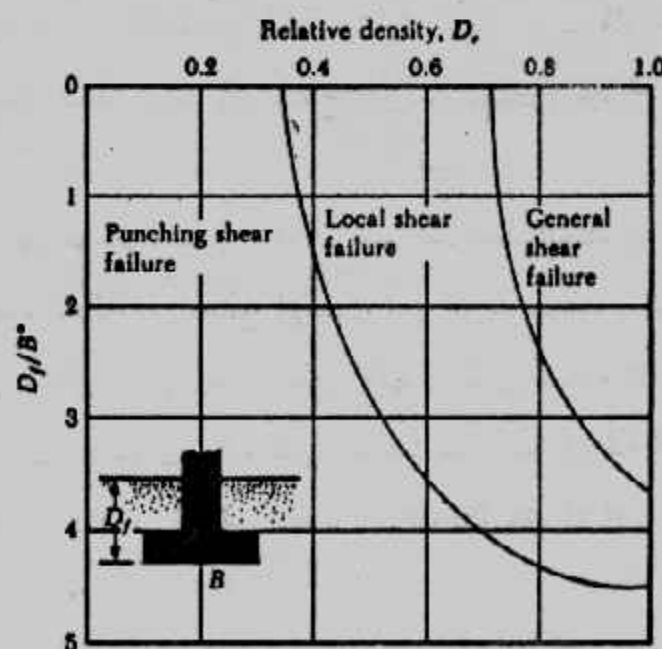
إذا اعتبرنا أساس شريطي مرتكز على سطح تربة ناعمة جامدة أو على رمل متقارب كما هو مبين بالشكل (١-٢) ولتكن عرض هذا الأساس هو B مع زيادة الحمل على الأساس يزداد معدل الهبوط وعند الوصول لقيمة σ_u (الحمل بالنسبة لوحدة المساحة) تنهار التربة الحاملة للأساس فجأة ويمتد سطح الانهيار إلى سطح التربة ، وهذه القيمة للإنجهاد σ_u التي حدث عنها الانهيار تسمى قدرة التحمل القصوى للأساس (وقد تسمى جهد التربة الأقصى) . وفي هذه الحالة وعندما يحدث الانهيار فجأة ويمتد إلى سطح الأرض يسمى انهيار عام بالقص General Shear Failure .

أما إذا كان الأساس مرتكزا على رمل أو طين متوسط الدملك فإن زيادة الحمل يصاحبها زيادة في الهبوط . وفي هذه الحالة فإن سطح الانهيار في التربة سوف يمتد لخارج الأساس ، شكل (٢-١ب) وحركة الأساس مطلوبة لكي يمتد سطح الانهيار إلى سطح الأرض (الجزء المنكسر) وهذا يحدث عند قدرة التحمل القصوى σ_u والتي بعدها يصاحب زيادة الحمل زيادة كبيرة في الهبوط ويسمى هذا الانهيار بالانهيار المحلي بالقص Local shear failure .

وإذا كان الأساس على رمل متبعاد أو تربة غير مدمومة فإن علاقة الحمل بالهبوط تكون كما في شكل (٢-١ج) حيث لا يمتد سطح الانهيار إلى سطح الأرض وبعد الوصول إلى



شكل (٢-١): طبيعة انهيار قدرة التحمل (أ) انهيار القص العام (ب) انهيار القص المحيط (ج) انهيار القص الخارق



شكل (٢-٢): نماذج انهيار الأسسات في الرمل

قدرة التحمل القصوى q_u تكون علامة الحمل - الهبوط خط مستقيم مائل وهذا النوع من الانهيار يسمى بانهيار القص الثاقب Punishing shear failure.

وبناءً على نتائج عملية قدم العالم فيزك تقسيماً للحالات التي يحدث بها أنواع الانهيار السابقة للرمل في شكل (٢-٢) حيث B^* في الشكل تعين من العلاقة الآتية :

$$B^* = \frac{2BL}{B+L} \quad (2-1)$$

Where : B = width of foundation

L = length of foundation

(Note : L is always greater than B .)

D_r = relative density of sand

D_f = depth of foundation measured from the ground surface.

وللأساس المربع يكون $L = B$ وللأساس الدائري :

$$B^* = B \quad \text{و تكون } B = L - \text{القطر}$$

ولقد وجد للأساسات القريبة من سطح الأرض حيث D_f/B تكون صغيرة فإن الانهيار بالقص العام يحدث عند ٤-١٠٪ من قيمة العرض B والانهيار بالقص المحلي أو بالقص الثاقب يحدث عند ٢٥-٣٥٪ من قيمة B عرض الأساس.

تعين قدرة التحمل : Determination of Bearing Capacity

تعين قدرة التحمل إما بالمعدلات الحسابية أو من التجارب الموقعة، والمعدلات الحسابية تعتمد على التحليل النظري لحركة الأساس في التربة وتوجد معدلات كثيرة ومتنوعة في هذا المجال وسوف نستعرض أهمها في الفقرات التالية، أما تعين قدرة التحمل من التجارب الموقعة فيتم من تجارب التحميل والاختراق القياسي والاختراق الديناميكي وسوف نقدم هذه الطرق أيضاً في هذا الباب.

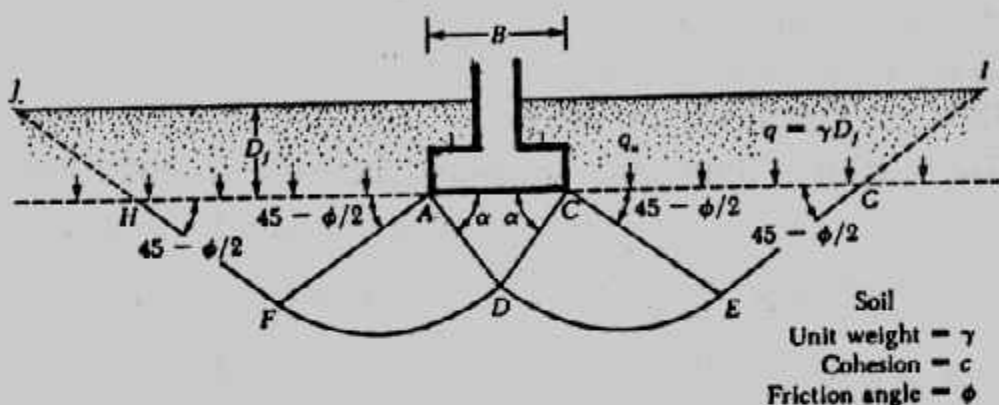
معادلة ترزاخي لقدرة التحمل :

Terzaghi's Bearing Capacity Equation

قدم ترزاخي (١٩٤٣) نظرية لقدرة التحمل للأساسات السطحية، ويعتبر ترزاخي الأساس سطحي Shallow إذا كان $D_f \leq B$ ، شكل (٣-٢) بينما اعتبر العلماء حيناً أن الأساس يكون سطحياً إذا كان $D_f \leq 3B$.

ولقد درس ترزاخي الأساس الشرطي المعنى Strip footing وقد شكل الانهيار كما هو في شكل (٣-٢)، ولقد استعراض ترزاخي عن التربة فوق منسوب التأسيس بحمل موزع q ، ومنطقة الانهيار أسفل الأساس يمكن تقسيمها إلى ثلاثة مناطق :

- Triangular zone
- المثلث ACD تحت الأساس مباشرة وهي تسمى Triangular zone
- المناطق ADF, CDE بمنحدرات حلوانية لوغاريفية وتسمى هذه المناطق بمناطق القص Radial shear zones
- المثلثات AFH, CEG و هي تسمى مناطق رانكين المقاومة Rankine passive zones
- و يلاحظ أن الزوايا CAD, ACD هي زاوية الإحتكاك الداخلي للترابة، كما يلاحظ أن ترزاجي قد أهمل مقاومة القص للترابة على الطولين HL, GI



شكل (٢) : انهيار قدرة التحمل تحت أساس شريطي ممتد.

ومن دراسة الإتزان قدم ترزاجي المعادلة الآتية لحساب قدرة التحمل للأساس الشريطي:

$$q_u = cN_c + qN_q + \frac{1}{2}\gamma BN_y \quad (\text{Strip foundation}) \quad (2-2)$$

Where : c = cohesion of soil.

γ = unit weight of soil.

$q = \gamma D_f$

N_c, N_q, N_y = bearing capacity factors that are nondimensional and are only functions of the soil friction angle, ϕ

ومعاملات قدرة التحمل تعرف من المعادلات الآتية :

$$N_c = \cot \phi \left[\frac{e^{2(3\pi/4 - \phi/2)} \tan \phi}{2 \cos^2 \left(\frac{\pi + \phi}{4} \right)} - 1 \right] \quad (2-3)$$

$$N_q = \frac{e^{2(3\pi/4 - \phi/2)} \tan \phi}{2 \cos^2 \left(45 + \frac{\phi}{2} \right)} \quad (2-4)$$

$$N_r = \frac{1}{2} \left(\frac{K_{py}}{\cos^2 \phi} - 1 \right) \tan \phi \quad \dots \dots \dots \quad (2-5)$$

Where : K_{py} = passive pressure coefficient.

كما أن هذه المعاملات يمكن إيجادها مباشرة من شكل (٤-٢).

ولتعيين قدرة تحمل الأساسات المربعة أو الدائرية تستخدم العلاقات الآتية :

$$q_u = 1.3cN_c + qN_q + 0.4\gamma BN_y \quad (\text{Square foundation}) \quad \dots \dots \dots \quad (2-6)$$

$$q_u = 1.3cN_c + qN_q + 0.3\gamma BN_y \quad (\text{Circular foundation}) \quad \dots \dots \dots \quad (2-7)$$

حيث B في المعادلة (٦-٢) هي طول ضلع الأساس، B قطر الأساس الدائري في المعادلة (٧-٢)

وبالنسبة لحالة الانهيار بالقص المطلي فلن تزاحى اقتراح استخدام المعادلات السابقة

ولكن بأخذ C' , ϕ' حيث :

$$C' = \frac{2}{3}C, \quad \phi' = \tan^{-1} \left(\frac{2}{3} \tan \phi \right) \quad \dots \dots \dots \quad (2-8)$$

او يمكن استخدام المعادلات الآتية :

$$q_u = 0.667cN'_c + qN'_q + 0.5\gamma BN'_y \quad (\text{Strip foundation}) \quad \dots \dots \dots \quad (2-9)$$

$$q_u = 0.867cN'_c + qN'_q + 0.4\gamma BN'_y \quad (\text{Square foundation}) \quad \dots \dots \dots \quad (2-10)$$

$$q_u = 0.867cN'_c + qN'_q + 0.3\gamma BN'_y \quad (\text{Circular foundation}) \quad \dots \dots \dots \quad (2-11)$$

وتوخذ في هذه المعادلات معاملات قدرة التحمل المعدلة من شكل (٥-٢) باستخدام

زاوية الإحتكاك الداخلي ϕ

ولقد قام فيزك بتعديل قيم المعامل المعدل $N'q$ بناءاً على تجارب متعددة وهو معطى

على شكل (٥-٢) على شكل منحنى منقط كما يمكن تعدينه من المعادلة الآتية:

$$N'q = (e^{1.8\tan \phi}) \tan^2 \left(45 + \frac{\phi}{2} \right) \quad \dots \dots \dots \quad (2-12)$$

كما يعطى جدول (١-٢) معاملات قدرة التحمل في حالة الانهيار بالقص العام.

تأثير المياه الجوفية على قدرة التحمل:

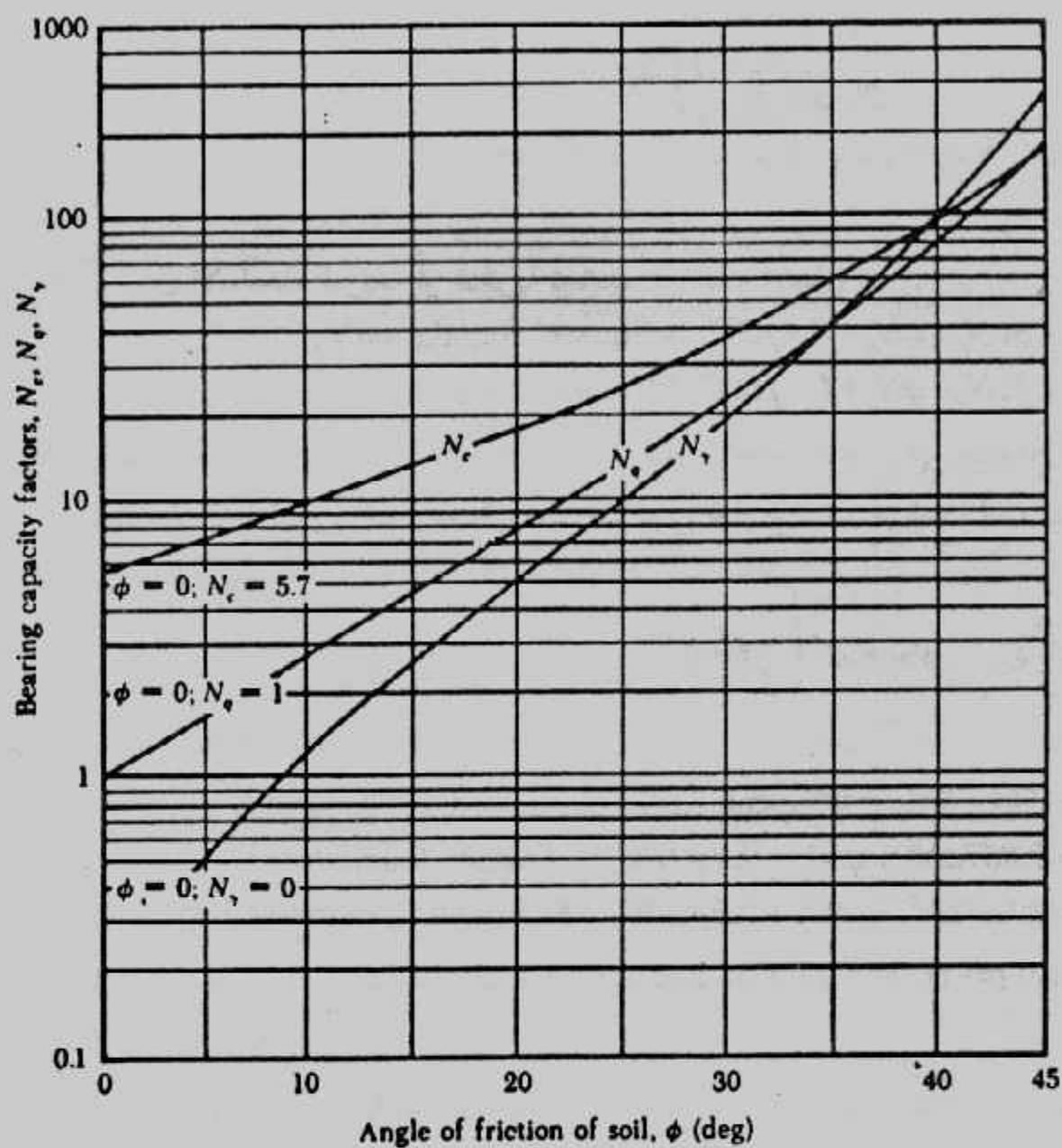
Effect of Water Table on Bearing Capacity

في معاملات تزاحي لقدرة التحمل يوجد جزئين من الأجزاء الثلاثة للمعادلات يضم

كتافة التربة وبذلك فإن كثافة التربة تؤثر على قدرة التحمل وفي الجزء الثاني من أي معادلة يكون

تأثير كثافة التربة المتواجدة فوق مستوى التأسيس وفي الجزء الثالث يكون تأثير كثافة التربة

المتواجدة أسفل منسوب التأسيس :



Terzaghi's bearing capacity factors for general shear failure.

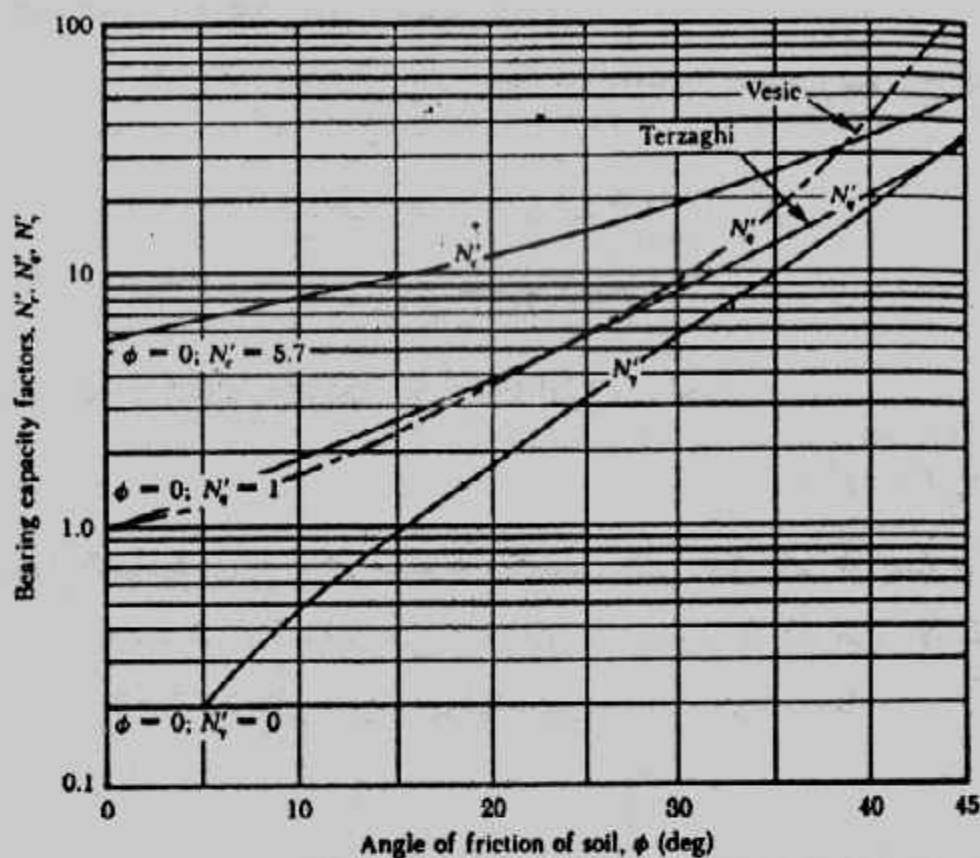
شكل (٤-٢) : توزيع معاملات قدرة التحمل (انهيار بالقص العام)

Bearing-capacity factors for the Terzaghi equations

Values of N , for ϕ of 34 and 48° are original Terzaghi values
and used to back-compute K_m , $t = 1.5\phi + 1$.

ϕ , deg	N_c	N_q	N_s	K_m
0	5.7	1.0	0.0	10.8
5	7.3	1.6	0.5	12.2
10	9.6	2.7	1.2	14.7
15	12.9	4.4	2.5	18.6
20	17.7	7.4	5.0	25.0
25	25.1	12.7	9.7	35.0
30	37.2	22.5	19.7	52.0
34	52.6	36.5	36.0	82.0
35	57.8	41.4	42.4	82.0
40	95.7	81.3	100.4	141.0
45	172.3	173.3	297.5	298.0
48	258.3	287.9	780.1	-
50	347.5	415.1	1153.2	800.0

جدول (١-٢) : معاملات قدرة التحمل لترازجي.



Terzaghi's modified bearing capacity factors: N_c , N'_c , N''_c ; and Vesic's N_v .

شكل (٢-٥): تعيين معاملات قدرة التحمل المعدلة (الانهيار بالقص الم المحلي)

$$q_u = cN_c + qN_q + \frac{1}{2}\gamma BN_y$$

تأثير التماسك للترابة تحت	تأثير الترابة فوق منسوب	تأثير الترابة أسفل منسوب
الأساس (جزء العمق)	الأساس (جزء العمق)	الأساس (جزء العرض
على خط الانهيار DFH	$q = \gamma_1 D$	والاحتراق)

وهذا يعني أن γ_1 هي وحدة الأوزان للترابة فوق منسوب الأساس و γ_2 هي وحدة الأوزان للترابة تحت منسوب الأساس، ومعدلات ترزاوي بشكلها السابق بنيت على أساس وجود المياه الجوفية على أعمق كثيرة أسفل منسوب الأساس، ولكن وجود المياه الجوفية فوق منسوب الأساس أو قريباً منه يؤثر على تركيب معدلات ترزاوي.

أ- وجود المياه الجوفية فوق منسوب الأساس :

حيث $D_f < D_1$ في شكل (٢-٦) وتكون q في معدلات ترزاوي في هذه الحالة :

$$q = \text{effective surcharge} = D_1\gamma + D_2(\gamma_{sat} - \gamma_w) \quad (2-13)$$

Where : γ_{sat} = saturated unit weight of soil.

γ_w = unit weight of water

ونكون وحدة الأوزان في الجزء الأخير من المعادلات :

$$\gamma' = \gamma_{sat} - \gamma_w \quad (2-14)$$

بـ- وجود العياء الجوفية أسفل منسوب التأسيس :

حينما تكون المياه الجوفية على عمق من منسوب التأسيس يتراوح بين صفر و B اي :

$$0 \leq d \leq B$$

في هذه الحالة لا يتأثر الجزء الثاني، في المعادلات أي

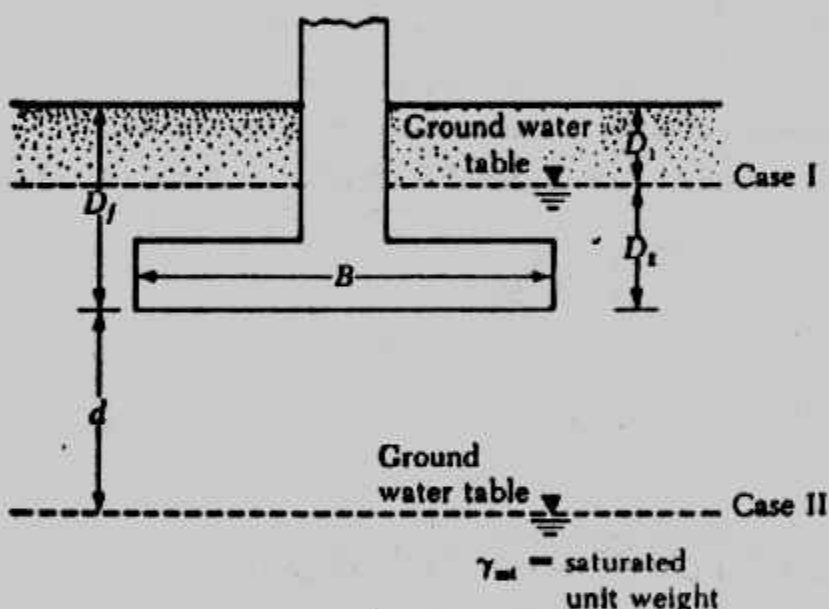
$$q = \gamma D_f \dots \quad (2-15)$$

$$\bar{\gamma} = \gamma' + \frac{d}{B}(\gamma - \gamma') \quad \dots \quad (2-16)$$

- وجود العيادة الجوفية أسفل منسوب التأسيس على عمق أكبر أو يساوي B :

إذا توأمت المياء الجوفية على عمق أكبر أو يساوي B (عرض الأساس) أسفل منسوب

التأسيس أي $B \geq d$ فلا تأثير للعباء الجوفية على معادلات قدرة التحمل.



شكل (٦-٢): تأثير المياه الجوفية على قدرة التحمل.

Example (2-1):

A square foundation is 1.5 m x 1.5 m in plan. The soil supporting the foundation has a friction angle of $\phi = 20^\circ$ and $c = 15.2 \text{ KN/m}^2$. The unit weight of soil, γ , is 17.8 kN/m^3 . Determine the allowable gross load on the foundation with a factor of safety (FS) of 4. Assume that the depth of the foundation (D_f) is 1 m and that general shear failure occurs in the soil.

Solution :

From Eq. (2-6)

$$q_u = 13cN_c + qN_q + 0.4\gamma BN_\gamma$$

From Figure (2-4) for $\phi = 20^\circ$

$$N_c = 17.7$$

$$N_q = 7.4$$

$$N_\gamma = 5$$

Thus

$$\begin{aligned} q_u &= (1.3)(15.2)(17.7) + (1 \times 17.8)(7.4) + (0.4)(17.8)(1.5)(5) \\ &= 349.75 + 131.72 + 53.4 = 534.87 \approx 535 \text{ kN/m}^2 \end{aligned}$$

So, allowable load per unit area of the foundation =

$$q_{all} = \frac{q_u}{FS} = \frac{535}{4} = 133.75 \text{ kN/m}^2$$

Thus, the total allowable gross load

$$Q = (133.75) B^2 = (133.75)(1.5 \times 1.5) = 300.9 \approx 300 \text{ kN}$$

Example 2-2 :

Repeat Example (2.1): Assuming that local shear failure occurs in the soil supporting the foundation

Solution :

From Eq. 2.10

$$q_u = 0.867 c N'_c + q N'_q + 0.4 \gamma B N'_\gamma$$

From figure (2.5) for $\phi = 20^\circ$

$$N'_c = 12$$

$$N'_q = 4$$

$$N'_\gamma = 1.7$$

So :

$$\begin{aligned} q_u &= (0.867)(15.2)(12) + (1 \times 17.8)(4) + (0.4)(17.8)(1.5)(1.7) \\ &= 158.1 + 71.2 + 18.2 = 247.5 \text{ kN/m}^2 \end{aligned}$$

$$q_{all} = \frac{247.5}{4} = 61.9 \text{ kN/m}^2$$

$$\text{Allowable gross load} = Q = (q_{all})(B^2) = (61.9)(1.5^2) = 139 \text{ kN}$$

معادلة مايرهوف لقدرة التحمل :

Meyerhof's Bearing Capacity Equation

قدم ترزاچی ثلاثة معادلات لأشكال الشريطي والمربع والدائري ولم يقدم معادلات للأساس المستطيل. كما أن المعادلات لم تأخذ في اعتبارها مقاومة القص على طول سطح الانهيار فوق منسوب التأسيس كما أنها لم تأخذ في الاعتبار أيضا حالات الأحمال العائلة. ولقد بحث مايرهوف كل هذه الأمور، شكل (٢-٢)، وقدم معادلة عامة لحساب قدرة التحمل.

$$q_u = c N_c S_c d_j c + q N_q S_q d_q j_q + \frac{1}{2} \gamma B N_\gamma S_\gamma d_\gamma j_\gamma \quad \dots \dots \dots \quad (2-17)$$

Where: c = cohesion

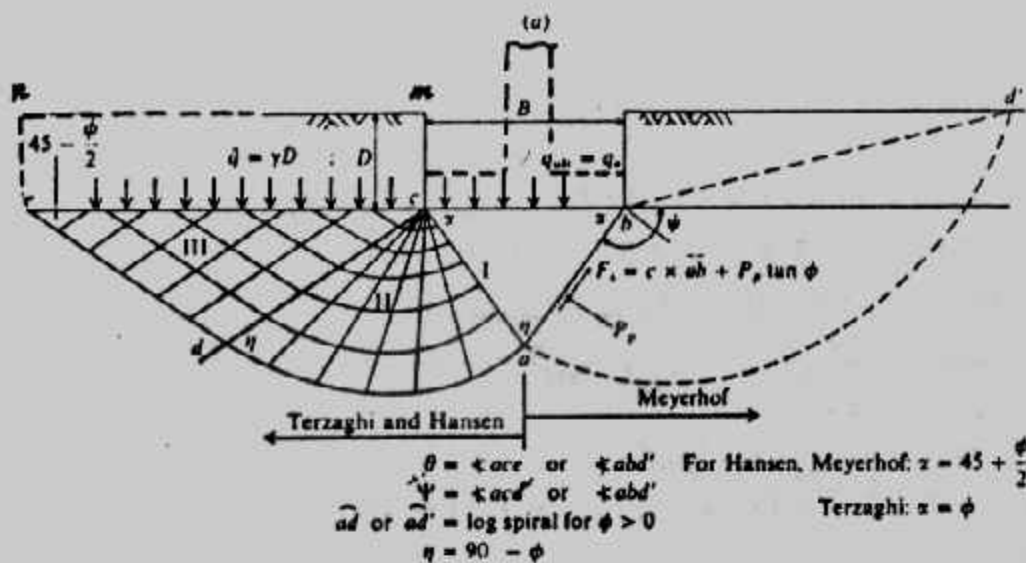
q = effective stress at the level of the bottom of foundation

γ = unit weight of soil

B = width of foundation (= diameter for a circular foundation)

S_c, S_q, S_γ = shape factors,

معاملات النكيل



شكل (٢-٢): انهيار قدرة التحمل لمایر هو夫.

d_C, d_q, d_γ = depth factors,

معاملات العمق

i_C, i_q, i_γ = inclination factors

معاملات الميل

$$N_q = e^{(\pi \tan \phi)} \tan^2 (45 + \frac{\phi}{2}) \quad \dots \dots \dots \quad (2-18)$$

$$N_c = (N_q - 1) \cot \alpha \quad \dots \dots \dots \quad (2-19)$$

$$N_\gamma = (N_q - 1) \tan (1.4\phi) \quad \dots \dots \dots \quad (2-20)$$

ويعطي جدول (٢-٢): معادلات لحساب معاملات الشكل والعمق والميل.

جدول (٢-٢): المعاملات المختلفة لمعادلة مایر هو夫.

Shape, depth, and inclination factors for the Meyerhof bearing-capacity equation

Factors	Value	For
Shape:	$s_s = 1 + 0.2K_r \frac{B}{L}$	Any ϕ
	$s_t = s_s = 1 + 0.1K_r \frac{B}{L}$	$\phi > 10^\circ$
	$s_q = s_t = 1$	$\phi = 0$
Depth:	$d_s = 1 + 0.2\sqrt{K_r} \frac{D}{B}$	Any ϕ
	$d_t = d_s = 1 + 0.1\sqrt{K_r} \frac{D}{B}$	$\phi > 10^\circ$
	$d_q = d_s = 1$	$\phi = 0$
Inclination:	$i_s = i_t = \left(1 - \frac{\theta^\circ}{90^\circ}\right)^2$	Any ϕ
	$i_q = \left(1 - \frac{\theta^\circ}{\phi^\circ}\right)^2$	$\phi > 0$
	$i_s = 0$	$\phi = 0$

Where $K_r = \tan^2 (45 + \phi/2)$

θ = angle of resultant measured from vertical without a sign

B, L, D = previously defined

اما قيم معاملات قدرة التحمل فهى معطاه فى جدول (٢-٣) .

جدول (٢-٣): معاملات قدرة التحمل لمعادلات مايرهوف وهانسن وفيري.

Bearing-capacity factors for the Meyerhof, Hansen, and Vesic bearing-capacity equations

Note that N_r and N_s are same for all three methods; subscripts identify author for N .

ϕ	N_r	N_s	N_{Mv}	N_{Hv}	N_{Vv}	N_s/N_r	$2 \tan \phi (1 - \sin \phi)^2$
0	5.14	1.0	0.0	0.0	0.0	0.195	0.000
5	6.49	1.6	0.1	0.1	0.4	0.242	0.146
10	8.34	2.5	0.4	0.4	1.2	0.296	0.241
15	10.97	3.9	1.2	1.1	2.6	0.359	0.294
20	14.83	6.4	2.9	2.9	5.4	0.431	0.315
25	20.71	10.7	6.8	6.8	10.9	0.514	0.311
26	22.25	11.8	7.9	8.0	12.5	0.533	0.308
28	25.79	14.7	10.9	11.2	16.7	0.570	0.299
30	30.13	18.4	15.1	15.7	22.4	0.610	0.289
32	35.47	23.2	20.8	22.0	30.2	0.653	0.276
34	42.14	29.4	28.7	31.1	41.0	0.698	0.262
36	50.55	37.7	40.0	44.4	56.2	0.746	0.247
38	61.31	48.9	56.1	64.0	77.9	0.797	0.231
40	75.25	64.1	79.4	93.6	109.3	0.852	0.214
45	133.73	134.7	200.5	262.3	271.3	1.007	0.172
50	266.50	318.5	567.4	871.7	761.3	1.195	0.131

Hansen's Bearing Capacity Equation معادلة هانسن لقدرة التحمل

قدم هانسن (سنة ١٩٧٠) معادلة عامة لحساب قدرة التحمل لأى شكل وعمق وميل :

$$q_u = C N_c S_c d_c i_c g_c + q N_q S_q d_q i_q g_q + \frac{1}{2} \gamma B N_y S_y d_y i_y g_y \quad (2-21)$$

$N = \text{same as Meyerhof} = Nq-1) \cot \phi$

$$N = \text{same as Meyerhof} = \tan^2 \left(45 + \frac{\phi}{2} \right) e^{\pi \tan \phi}$$

$$Ny = 1.5 (Nq-1) \tan \phi \quad (2-22)$$

وهذه المعاملات معطاه فى جدول (٢-٣) او شكل (٢-٨) أما باقى المعاملات فمعطاه فى جدول (٢-٤). أما المعاملات g فهى تمثل ميل سطح الأرض بالنسبة للأساس. ونظرًا لأهمية معادلة

هانزن لأنها أكثر المعادلات عمومية فقد أعطيت معاملاتها على الأشكال (٢-٨)، (٢-١٠)، (٢-١٢)، (٥-٢)، جدول (٢-٦).

معادلة فيزك لحساب قدرة التحمل:

Vesic's Bearing Capacity Equation

قام فيزك (سنة ١٩٧٣، سنة ١٩٧٤) بعمل بعض التعديلات في معاملات قدرة التحمل رغم استخدامه لمعادلة هانزن (٢-٢١) ولكنه غير $N\gamma$ لتصبح على النحو الآتي :

$$N\gamma = 2(Nq + 1) \tan \phi \quad (2-23)$$

أما N_C ، N_q فلم يغيرهما، ومعاملات قدرة التحمل معطاه في جدول (٤-٢) كما أنها معطاه في جدول (٧-٢). أما باقي المعاملات فهي معطاه في جدول (٢-٢) وجدول (٣-٢).

اختيار معادلة قدرة التحمل :

يلخص جدول (٨-٢) الطرق السابق ذكرها تفصيلاً لحساب قدرة التحمل ولا بد أن يختار المهندس المدنى عند حساب قدرة التحمل، أي الطرق يمكن أن يستخدمها، ومعادلة ترزاچى ما زالت تستخدم بتوسيع لأنها قليلة المعاملات وتفضل عند حساب قدرة التحمل لأساس عليه حمل رأس على أساس أفقى وللتربة منخفضة التماسك، كذلك تفضل حينما يكون عمق التأسيس مساوياً قيمة تتراوح بين $2B \rightarrow B/2$.

أما معادلات ماير هوف وهانزن فإنها تستخدم بصفة أساسية وعامة نظراً لاحتواها على جميع المتغيرات ويقترح استخدام المعاملات المعطاه في جدول (٩-٢) وهي مقدمة في أبسط الصور لتسهيل استخدامها. أما معادلة فيزك فإنها لا تستخدم كثيراً نظراً لتقاربها الشديد بمعادلة هانزن الأكثر انتشاراً.

ويجب مراعاة ما يلى عند استخدام معادلات قدرة التحمل :

- في التربة التماسكة يكون الجزء الأول من المعادلات (جزء التماسك) هو الأكثر تأثيراً في قيمة قدرة التحمل.
- في التربة الغير متتماسكة يكون الجزء الثاني من المعادلات (جزء العمق) هو الأكثر تأثيراً حيث تزيد قدرة التحمل بزيادة العمق.
- لا يجب وضع الأساس على سطح التربة الغير متتماسكة نظراً لهروب هذا النوع من التربة من أسفل حواف الأساس عند تحمله.

جدول (٤-٢) : المعاملات المختلفة في معادلات هانزن وفيري

Table 2-3 Factors apply to either method unless subscripted with (H) or (V). Use primed factors when $\phi = 0$

Shape factors	Depth factors	Inclination factors	Ground factors (base on slope)
$s_c = 0.2 \cdot \frac{B}{L}$	$d_c = 0.4k$	$i_{NH} = 0.5 - 0.5 \sqrt{1 - \frac{H}{A_f c_s}}$ $i_{NV} = 1 - \frac{mH}{A_f c_s N_r}$ $i_c = i_c - \frac{1 - i_c}{N_r - 1}$ (Hansen and Vesic)	$s_c = \frac{F}{147^{\circ}}$ for Vesic use $N_r = -2 \sin \beta$ for $\phi = 0$
$s_c = 1 + \frac{N_r \cdot B}{N_c \cdot L}$	$d_c = 1 + 0.4k$		$s_c = 1 - \frac{F}{147^{\circ}}$
$s_c = 1$ for strip			$s_{NH} = s_{NV} = (1 - 0.5 \tan \beta)^2$
$s_c = 1 + \frac{B}{L} \tan \phi$	$d_c = 1 + 2 \tan \phi (1 - \sin \phi) k$	$i_{NH} = \left(1 - \frac{0.5H}{V + A_f c_s \cot \phi}\right)^2$ $i_{NV} = \left(1 - \frac{H}{V + A_f c_s \cot \phi}\right)^2$	$s_{NV} = s_{NV} = (1 - \tan \beta)^2$
$s_c = 1 - 0.4 \cdot \frac{B}{L}$	$d_c = 1.00$ for all ϕ		Base factors (tilted base)
	$k = \frac{D}{B}$ for $\frac{D}{B} \leq 1$	$b_c = \frac{\eta}{147^{\circ}}$	
	$k = \tan^{-1} \frac{D}{B}$ for $\frac{D}{B} > 1$ (rad)	$b_c = 1 - \frac{\eta'}{147^{\circ}}$	

Where A_f = effective footing area $B' \times L'$

c_s = adhesion to base = cohesion or a reduced value

D = depth of footing in ground (used with B and not B')

e_x, e_y = eccentricity of load with respect to center of footing area

H = horizontal component of footing load with $H \leq V \tan \delta + c_s A_f$

V = total vertical load on footing

β = slope of ground away from base with downward = (+)

δ = friction angle between base and soil - usually $\delta = \phi$ for concrete on soil

η = tilt angle of base from horizontal with (+) upward as usual case

General: 1. Do not use s_c in combination with i_c .

2. Can use s_c in combination with d_c, ρ_c , and b_c .

3. For $L/B \leq 2$ use ϕ_r .

For $L/B > 2$ use $\phi_r = 1.5\phi_r - 17$

For $\phi \leq 34^\circ$ use $\phi_r = \phi_r$

$$i_{NH} = \left(1 - \frac{0.7H}{V + A_f c_s \cot \phi}\right)^2 \quad (\eta = 0)$$

$$i_{NV} = \left(1 - \frac{(0.7 - \eta'/450)H}{V + A_f c_s \cot \phi}\right)^2 \quad (\eta > 0)$$

$$i_{NV} = \left(1 - \frac{H}{V + A_f c_s \cot \phi}\right)^{2+1}$$

$$m = m_B = \frac{2 + B/L}{1 + B/L} \quad H \text{ parallel to } B$$

$$m = m_L = \frac{2 + L/B}{1 + L/B} \quad H \text{ parallel to } L$$

Note: $i_c, i_c > 0$

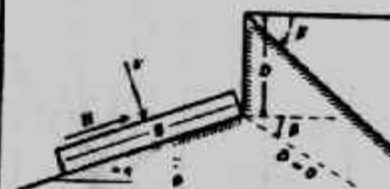
$$b_{NH} = \exp(-2\eta \tan \phi)$$

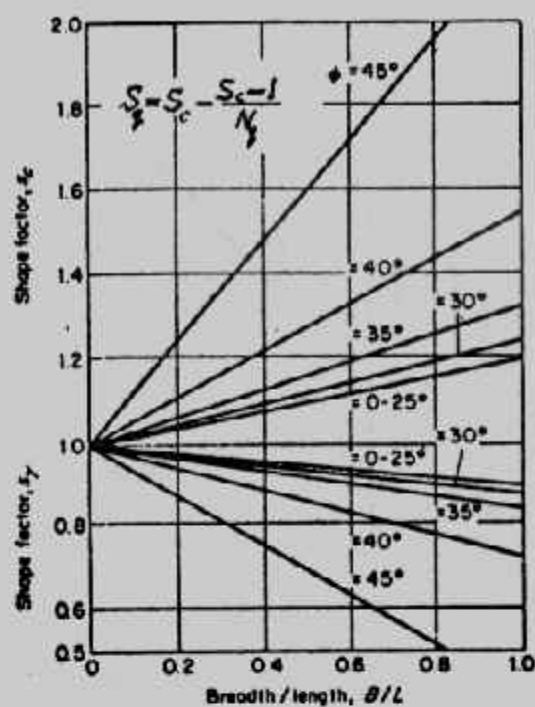
$$b_{NV} = \exp(-2.7\eta \tan \phi)$$

$$b_{NV} = b_{NV} = (1 - \eta \tan \phi)^2$$

Notes: $\beta + \eta \leq 90^\circ$

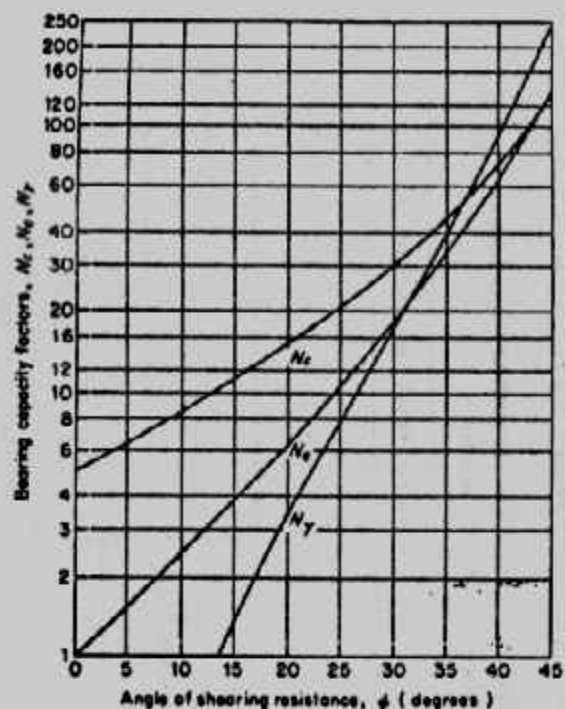
$\beta \leq \phi$





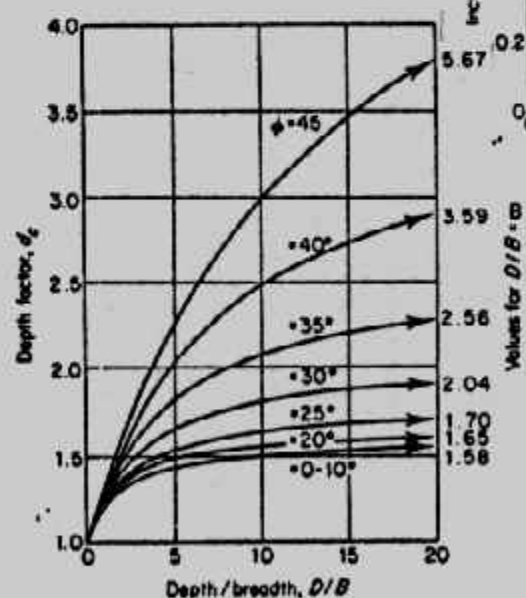
Shape factors s_x and s_y (after Brinch Hansen).

شكل (١٠-٢) معامل الشكل



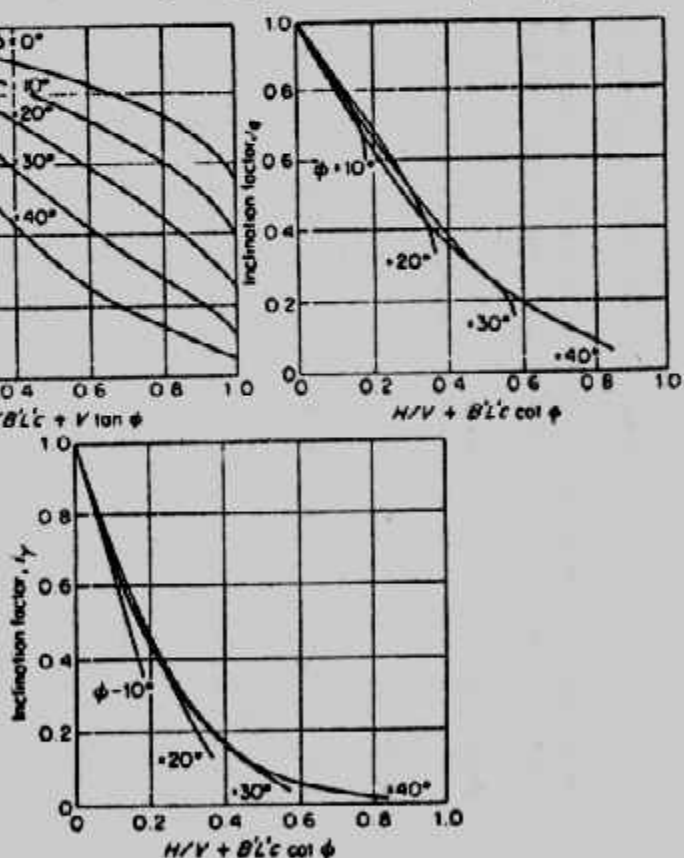
Bearing capacity factors N_z , N_u and N_q (after Brinch Hansen).

شكل (٨-٢) : معاملات هائزن لقدرة التحمل



Depth factor d_c (after Brinch Hansen). Inclination factors i_x , i_y , and i_z (after Brinch Hansen).

شكل (١١-٢) معامل العمق



شكل (٩-٢) : معامل الميل

جدول (٥-٢): قيم تقريرية لمعاملات الشكل يمكن استخدامها في معادلات هائز وفيري.

Shape factors for shallow foundations ($\phi > 0$)

Shape of footing	s_c	s_q	s_t
Strip	1.00	1.00	1.00
Rectangle	$1 + \left(\frac{B}{L}\right) \left(\frac{N_q}{N_c}\right)$	$1 + \left(\frac{B}{L}\right) \tan \phi$	$1 - 0.4 \left(\frac{B}{L}\right)$
Circle or square	$1 + \frac{N_q}{N_c}$	$1 + \tan \phi$	0.6

After DeBeer (1967) and Vesic (1970)

جدول (٦-١): معاملات قدرة التحمل لهايتنز

Bearing capacity factors ($\phi > 0$)

ϕ	N_c	N_q	N_t	ϕ	N_c	N_q	N_t	ϕ	N_c	N_q	N_t
0	5.14	1.00	0.00	15	11.0	3.94	1.42	30	30.1	18.4	18.1
1	5.38	1.09	0.00	16	11.6	4.34	1.72	31	32.7	20.6	21.2
2	5.63	1.20	0.01	17	12.3	4.77	2.08	32	35.5	23.2	24.9
3	5.90	1.31	0.03	18	13.1	5.26	2.49	33	38.6	26.1	29.3
4	6.19	1.43	0.06	19	13.9	5.80	2.97	34	42.2	29.4	34.5
5	6.49	1.57	0.09	20	14.8	6.40	3.54	35	46.1	33.3	40.7
6	6.81	1.72	0.14	21	15.8	7.07	4.19	36	50.6	37.8	48.1
7	7.16	1.88	0.19	22	16.9	7.82	4.96	37	55.6	42.9	56.9
8	7.53	2.06	0.27	23	18.1	8.66	5.85	38	61.4	48.9	67.4
9	7.92	2.25	0.36	24	19.3	9.60	6.89	39	67.9	56.0	80.1
10	8.34	2.47	0.47	25	20.7	10.7	8.11	40	75.3	64.2	95.5
11	8.80	2.71	0.60	26	22.3	11.9	9.63	41	83.9	73.9	114
12	9.28	2.97	0.76	27	23.9	13.2	11.20	42	93.7	85.4	137
13	9.81	3.26	0.94	28	25.8	14.7	13.10	43	105	99	165
14	10.4	3.59	1.16	29	27.9	16.4	15.40	44	118	115	199

Values of N_c after Prandtl

45 134 135 241

N_q after Reissner

46 152 159 294

N_t after Hansen

47 174 187 359

For $\phi=0$ soil see Fig. 11.5

48 199 222 442

49 230 266 548

50 267 319 682

N_c and N_q together with Hansen's values of N_t .

جدول (٧-٢): معاملات قدرة التحمل لفيزك

Bearing Capacity Factors*

ϕ	N_c	N_q	N_r	N_q/N_r	$\tan \phi$
0	5.14	1.00	0.00	0.20	0.00
1	5.38	1.09	0.07	0.20	0.02
2	5.63	1.20	0.15	0.21	0.03
3	5.90	1.31	0.24	0.22	0.05
4	6.19	1.43	0.34	0.23	0.07
5	6.49	1.57	0.45	0.24	0.09
6	6.81	1.72	0.57	0.25	0.11
7	7.16	1.88	0.71	0.26	0.12
8	7.53	2.06	0.86	0.27	0.14
9	7.92	2.25	1.03	0.28	0.16
10	8.35	2.47	1.22	0.30	0.18
11	8.80	2.71	1.44	0.31	0.19
12	9.28	2.97	1.69	0.32	0.21
13	9.81	3.26	1.97	0.33	0.23
14	10.37	3.59	2.29	0.35	0.25
15	10.98	3.94	2.65	0.36	0.27
16	11.63	4.34	3.06	0.37	0.29
17	12.34	4.77	3.53	0.39	0.31
18	13.10	5.26	4.07	0.40	0.32
19	13.93	5.80	4.68	0.42	0.34
20	14.83	6.40	5.39	0.43	0.36
21	15.82	7.07	6.20	0.45	0.38
22	16.88	7.82	7.13	0.46	0.40
23	18.05	8.66	8.20	0.48	0.42
24	19.32	9.60	9.44	0.50	0.45
25	20.72	10.66	10.88	0.51	0.47
26	22.25	11.85	12.54	0.53	0.49
27	23.94	13.20	14.47	0.55	0.51
28	25.80	14.72	16.72	0.57	0.53
29	27.86	16.44	19.34	0.59	0.55
30	30.14	18.40	22.40	0.61	0.58
31	32.67	20.63	25.99	0.63	0.60
32	35.49	23.18	30.22	0.65	0.62
33	38.64	26.09	35.19	0.68	0.65
34	42.16	29.44	41.06	0.70	0.67
35	46.12	33.30	48.03	0.72	0.70
36	50.59	37.75	56.31	0.75	0.73
37	55.63	42.92	66.19	0.77	0.75
38	61.35	48.93	78.03	0.80	0.78
39	67.87	55.96	92.25	0.82	0.81
40	75.31	64.20	109.41	0.85	0.84
41	83.86	73.90	130.22	0.88	0.87
42	93.71	85.38	155.55	0.91	0.90
43	105.11	99.02	186.54	0.94	0.93
44	118.37	115.31	224.64	0.97	0.97
45	133.88	134.88	271.76	1.01	1.00
46	152.10	158.51	330.35	1.04	1.04
47	173.64	187.21	403.67	1.08	1.07
48	199.26	222.31	496.01	1.12	1.11
49	229.93	265.51	613.16	1.15	1.15
50	266.89	319.07	762.89	1.20	1.19

* After Vesic (1973)

جدول (٢-٨): معاملات قدرة التحمل

Bearing-capacity equations by the several authors indicated

Terzaghi (see Table 2-1 for typical values and for K_p values)

$$q_{ult} = cN_c s_c + qN_q + 0.5\gamma BN_r s_r, \quad N_q = \frac{a^2}{2 \cos^2(45 + \phi/2)}$$

$$a = e^{(0.75\pi - \phi/2)\tan\phi}$$

$$N_c = (N_q - 1) \cot\phi$$

$$N_r = \frac{\tan\phi}{2} \left(\frac{K_p}{\cos^2\phi} - 1 \right)$$

For: strip round square

$$s_c = 1.0 \quad 1.3 \quad 1.3$$

$$s_r = 1.0 \quad 0.6 \quad 0.8$$

Meyerhof (see Table 2-2 for shape, depth, and inclination factors)

$$\text{Vertical load: } q_{ult} = cN_c s_c d_c + qN_q s_q d_q + 0.5\gamma BN_r s_r d_r,$$

$$\text{Inclined load: } q_{ult} = cN_c d_c i_c + qN_q d_q i_q + 0.5\gamma BN_r d_r i_r,$$

$$N_q = e^{\pi \tan\phi} \tan^2 \left(45 + \frac{\phi}{2} \right)$$

$$N_c = (N_q - 1) \cot\phi$$

$$N_r = (N_q - 1) \tan(1.4\phi)$$

Hansen (see Table 2-4 for shape, depth, and other factors)

$$\text{General: } q_{ult} = cN_c s_c d_c i_c h_c + qN_q s_q d_q i_q h_q + 0.5\gamma BN_r s_r d_r i_r h_r,$$

$$\text{when } \phi = 0$$

$$\text{use } q_{ult} = 5.14 s_c (1 + s'_c + d'_c - i'_c - h'_c - g'_c) + q$$

$$N_q = \text{same as Meyerhof above}$$

$$N_c = \text{same as Meyerhof above}$$

$$N_r = 1.5(N_q - 1) \tan\phi$$

Vesić (see Table 2-4 for shape, depth, and other factors)

Use Hansen's equations above

$$N_q = \text{same as Meyerhof above}$$

$$N_c = \text{same as Meyerhof above}$$

$$N_r = 2(N_q + 1) \tan\phi$$

قدّرة تحمل التربة الصافية والأمنة والمسوحة بها :

قدرة التحمل المحسوبة من المعادلات تسمى قدرة التحمل القصوى q_u
Bearing Capacity وهي أقل اتجاه كل مؤثر على قاع الأساس بسبب انهيار التربة تحت
الأساس، بالقصص، أما قدرة تحمل التربة القصوى الصافية Net Ultimate Bearing Capacity

q_{nu} هي أقل اجهاد صافي بسبب انهيار التربة بالقص.

وتعين قدرة التربة الصافية الآمنة من قسمة قدرة التربة القصوى الصافية على معامل الأمان.

$$q_{ns} = q_{nu}/F$$

F = Factor of safety معامل الأمان

q_{ns} = Net safe bearing capacity

كما يمكن تعين قدرة التحمل الآمنة q_s من Safe bearing capacity

ويجب ملاحظة أن الفرق بين قدرة التحمل القصوى وقدرة التحمل الصافية هو وزن عمود التربة ($q = \gamma D$) من سطح الأرض لمنسوب التأسيس ، ولقد حدد الكود المصرى لتصميم وتنفيذ الأساسات وميكانيكا التربة الصادر فى سنة ١٩٩٠ معاملات الأمان لقدرة التحمل فى الحالات الآتية :

الحالة (1): يؤخذ معامل الأمان $FS = 2.5$ إذا أخذت الأحمال الدائمة المؤثرة على الأساس الناتجة من الأحمال الميتة والأحمال الحية وضغط الماء وضغط التربة والأحمال المتحركة بصورة منتظمة.

الحالة (٢) : يؤخذ معامل الأمان $2 = FS$ إذا أخذت الأحمال غير الدائمة المؤثرة على الأساس، ضغط الراس، الأحمال المتعددة بالإضافة إلى الأحمال المذكورة في حالة التحميل رقم (١).

الحالة (٣): يؤخذ معامل الأمان $1.5 = FS$ إذا أخذت الأحمال النادرة الحدوث التي تترجم عن الزلازل والكوارث الطبيعية وذلك بالإضافة إلى حالة التحميل رقم (٢). وتطبق هذه الحالة المنشآت العامة وذات الطبيعة الخاصة.

اما قدرة التحمل المسموح بها q_a فهي أقصى قدرة آمنة لكل من انهيار القص والهبوط، بمعنى أنه يمكن حساب q_s أو q_{ns} وهي قيمة آمنة من انهيار القص، عند حساب الهبوط نجد أنه لكي يكون في حدود المسموح به فإنه يجب خفض الجهد المعرض

للترابة أى تخفيف من قيمة q_s أو q_{ns} فتصبح قيمهما q_a . وقد تخفيف قيمة q_s أو q_{ns} للحصول على أبعاد معقولة ومناسبة لتنفيذ الأساسات.

Example (2-3):

A shallow strip footing of breadth 3.5m is to be founded at a depth of 2.0 m in a soil which has the following properties :

$$c = 12 \text{ kN/m}^2 \quad \phi = 25^\circ \quad \gamma = 19.0 \text{ kN/m}^3$$

Determine the safe load/m run.

Solution :

First determine the net ultimate bearing capacity.

$$\text{From Table (2-6): } N_c = 20.7 \quad N_q = 10.7 \quad N_\gamma = 8.11$$

$$\begin{aligned} \text{So } q_{u(\text{net})} &= cN_c + \gamma D(N_q - 1) + \frac{1}{2}\gamma BN_\gamma \\ &= 12 \times 20.7 + 19.0 \times 2 \times 9.7 + \frac{1}{2} \times 19.0 \times 3.5 \times 8.11 \\ &= 886 \text{ kN/m}^2 \end{aligned}$$

From eqn 2-25, putting $F = 3$

$$\begin{aligned} \text{Safe bearing capacity, } q_s &= \frac{q_{u(\text{net})}}{F} + \gamma D \\ &= \frac{886}{3} + 19.0 \times 2.0 \\ &= 333 \text{ kN/m}^2 \end{aligned}$$

$$\text{Therefore safe load} \quad = 333 \times 3.5 = 1166 \text{ kN/m}$$

Example (2-4):

Determine the safe uniform load intensity for a rectangular foundation of breadth 8m, length 12 m and founded 2.4 m below the surface.

$$C_u = 25 \text{ kN/m}^2 \quad \phi_u = 10^\circ \quad \gamma = 18 \text{ kN/m}^3$$

Solution :

$$\text{From Tabel (2-6). } N_c = 8.34 \quad N_q = 2.47 \quad N_\gamma = 0.47$$

$$B/L = 8/12 = 0.667$$

Then from Table 2-5

$$S_c = 1 + 0.667 \times 2.47/8.34 = 1.20$$

$$S_q = 1 + 0.667 \tan 10^\circ = 1.12$$

$$S_\gamma = 1 - 0.4 \times 0.667 = 0.73$$

$$\begin{aligned} \text{So } q_{u(\text{net})} &= c_u N_c S_c + \gamma B N_\gamma s_g - \gamma D \\ &= 25.0 \times 8.34 \times 1.20 + 18 \times 2.4 \times 2.47 \times 1.12 \\ &\quad + \frac{1}{2} \times 18 \times 8 \times 0.47 \times 0.73 - 18 \times 2.4 \\ &= 351 \text{ kN/m}^2 \end{aligned}$$

Therefore the safe bearing capacity, $q_s = \frac{351}{3} + 18 \times 2.4 = 160 \text{ kN/m}^2$

Example (2-5):

A square footing vertically and concentrically loaded is to be placed on a cohesionless soil as shown in Fig. (2-12). The soil and other data are as shown :

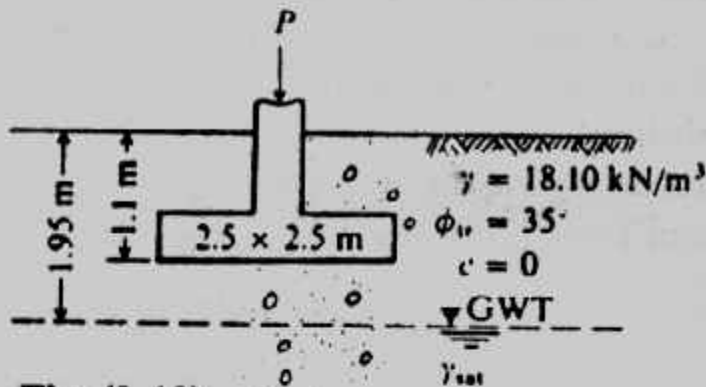


Fig. (2-12)

Required. What is the allowable bearing capacity using the Hansen equation and a SF = 2.0?

Solution :

We should note that B would, in general, not be known but would depend on the column load and the allowable soil pressure. We could, however, compute several values of q_a and make a plot of q_a versus B . Here we will compute a single value of q_a .

Step. 1. Since the effective soil unit weight is required, let us find these values. Estimate the "wet" soil has $W_w = 10$ percent and $G_s = 2.68$.

$$\gamma_{\text{dry}} = \frac{\gamma_{\text{wet}}}{1+w} = \frac{18.10}{1+0.10} = 16.45 \text{ kN/m}^3$$

$$V_s = \frac{\gamma_{\text{dry}}}{G_s(9.807)} = \frac{16.45}{2.68(9.807)} = 2.626 \text{ m}^3$$

$$V_v = 1.0 - V_s = 1.0 - 0.626 = 0.374 \text{ m}^3$$

The saturated unit weight is the dry weight + weight of water in voids

$$\gamma_{\text{sat}} = 16.45 + 0.374(9.807) = 20.12 \text{ kN/m}^3$$

From Fig. (2-12): we obtain $d = 0.85 \text{ m}$

$$\bar{\gamma} = (\gamma_{\text{sat}} - \gamma_w) = 20.12 - 9.81 = 10.31 \text{ kN/m}^3$$

$$\begin{aligned} \bar{\gamma} &= 10.31 + (0.85/2.5)(18.10 - 10.31) \\ &= 12.96 \text{ kN/m}^3 \end{aligned}$$

Step 2. Obtain bearing-capacity factors for the Hansen equation using D_0 not compute ϕ_{ps} , since footing is square. Computing,

$$N = 33 \quad N_y = 34$$

$$S_q = 1 + \frac{B}{L} \tan \phi = 1.70$$

$$S_\gamma = 1 - 0.4 \frac{B}{L} = 0.6$$

$$dq = 1 + 0.25 \frac{1.1}{2.5} = 1.11$$

$$d_\gamma = 1.10$$

From Table (2-1): and dropping any terms that are not used or are 1.0,

$$q_{ult} = \gamma D N_q S_q d_q + 0.5 \gamma_e B N_\gamma S_\gamma d_\gamma$$

Substituting values,

$$\begin{aligned} q_{ult} &= 18.10(1.1)(33)(1.70)(1.11) + 0.5 (12.96)(2.5)(34)(0.6)(1.0) \\ &= 1240 + 330 = 1570 \text{ kPa} \end{aligned}$$

$$q_a = \frac{1570}{2} = 785 \text{ kPa} \text{ (a very large bearing pressure).}$$

وهذه قيمة كبيرة للتصميم حيث ينصح لا تزيد قدرة التحمل الآمنة عن ٥٠٠ كيلو نيوتن/م٢ (٥ كجم/سم٢). وفي هذا المثل يمكن اهمال الجزء الثالث من المعادلة، كما يجب التأكد من أن قدرة التحمل المأخوذة في التصميم تعطى هبوطا مسماً به.

Example (2-6):

A square column foundation has to carry a gross allowable total load of 150 kN. The depth of the foundation is 0.7m. The load is inclined at an angle of 20° to the vertical (Fig. 2-13). Determine the width of the foundation, B . Use Eq. 2-21 and a factor of safety of 3.

Solution :

With $c = 0$, the ultimate bearing capacity [Eq. 2-21] becomes.

$$q_u = q N_q S_q d_q j_q + \frac{1}{2} \gamma B N_\gamma S_\gamma i_\gamma \quad (g = 1)$$

$$q = (0.7)(18) = 12.6 \text{ kN/m}^2$$

$$\gamma = 18 \text{ kN/m}^3$$

From Table (2-6), for $\phi = 30^\circ$

$$N_a = 18.4 \quad N_\gamma = 22.4$$

From Table (2-9)

$$S_q = 1 + \left(\frac{B}{L} \right) \tan \phi = 1 + 0.577 = 1.577$$

$$S_\gamma = 1 - 0.4 \left(\frac{B}{L} \right) = 0.6$$

$$\begin{aligned} dq &= 1 + 2 \tan \phi (1 - \sin \phi)^2 \frac{D_r}{B} \\ &= 1 + \frac{(0.289)(0.7)}{B} = 1 + \frac{0.202}{B} \end{aligned}$$

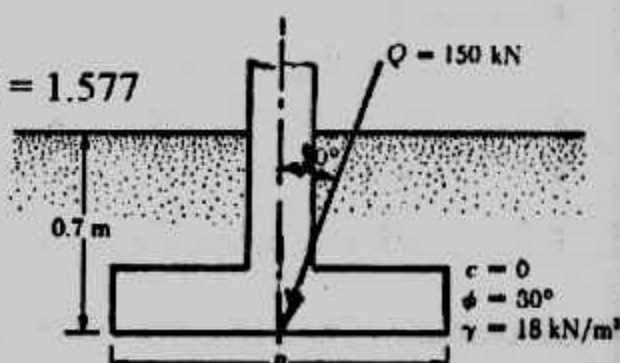


Fig.(2-13)

$$d_\gamma = 1$$

$$i_q = \left(1 - \frac{B}{90^\circ}\right)^2 = \left(1 - \frac{20}{90}\right)^2 = 0.605$$

$$i_\gamma = \left(1 - \frac{\beta}{\phi}\right)^2 = \left(1 - \frac{20}{30}\right)^2 = 0.11$$

Hence :

$$q_u = (12.6)(18.4)(1.577) \left(1 + \frac{0.202}{B}\right) (0.605) + (0.5)(18)(B)(22.4)(0.6)(1)(0.11) \\ = 212.2 + \frac{44.68}{B} + 13.3B \quad (a)$$

$$q_{all} = \frac{q_u}{B} = 73.73 + \frac{14.68}{B} + 4.43B \quad (b)$$

$$\text{Given } Q = \text{total allowable load} = q_{all} \times B^2 \text{ or } q_{all} = \frac{150}{B^2} \quad (c)$$

Equating the right-hand sides of Eqs. (b) and (c)

$$\frac{150}{B^2} = 73.73 + \frac{14.68}{B} + 4.43B$$

By trial and error, $B \approx 1.3 \text{ m}$

Example (2-7):

Refer to Example 2-6, Determine the net allowable load for the foundation using the definition of factor of safety. Use $FS = 4$.

Solution : From Example (2-6).

$$q_u = 535 \text{ kN/m}^2$$

$$q = (1)(17.8) = 17.8 \text{ kN/m}^2$$

$$q_{net(all)} = \frac{q_u - q}{FS} = \frac{535 - 17.8}{4} = 129.3 \text{ kN/m}^2$$

Hence :

$$Q_{net(all)} = (129.3)(1.5)(1.5) \approx 291 \text{ kN}$$

Example (2-8):

A footing load test. Produced the following data :

$$D = 0.5 \text{ m} \quad B = 0.5 \text{ m} \quad L = 2.0 \text{ m}$$

$$\gamma' = 9.31 \text{ kN/m}^3 \quad \phi_{triaxial} = 42.7^\circ \quad \text{cohesion } c = 0$$

$$P_{ult} = 1863 \text{ kN (measured)} \quad q_{ult} = \frac{P_{ult}}{BL} = \frac{1863}{0.5 \times 2} = 1863 \text{ kPa (computed)}$$

Required. Compute the ultimate bearing capacity by both Hansen and Meyerhof equations and compare computed with measured values.

Solution :

(a) Since $c = 0$, any factors with subscript c do not need computing. All g_j and b_j factors are 1.00; with these factors identified, the Hansen equation simplifies to :

$$q_{ult} = \gamma' D N_q S_q d_q + 0.5 \gamma B N_\gamma S_\gamma d_\gamma$$

$$\frac{L}{B} = \frac{2}{0.5} = 4 \rightarrow \phi_{ps} = 1.5(42.5) - 17 = 46.75^\circ, \text{ Use } \phi = 47^\circ$$

From a table of ϕ in 1° increments obtain : $N_q = 186.9$, $N_\gamma = 299$

Using linear interpolation of Table (2-3) gives 208.2 and 347.2. Using Table (2-4) get the $2 \tan \phi (1 - \sin \phi)^2$ part of d_q term from Table (2-3).

$$S_q = 1 + \frac{B}{L} \tan \phi = 1.27 \quad S_\gamma = 1 - 0.4 \frac{B}{L} = 0.9$$

$$d_q = 1 + 0.155 \frac{D}{B} \quad d_\gamma = 1.0 \\ = 1 + 0.155 \left(\frac{0.5}{0.5} \right) = 1.155$$

With these values obtain

$$q_{ult} = 0.31(0.5)(186.9)(1.27)(1.155) + 0.5(9.31)(0.5)(299)(0.9)(1) \\ = 1902.5 \text{ kPa vs 1863 measured}$$

(b) By Meyerhof equations of Tables (2-8) and (2-2) and $\phi_{ps} = 47^\circ$

Step. 1. Obtain $N_q = 186.9$ $N_\gamma = (N_q - 1) \tan (1.4\phi) = 413.6$

$$K_p = \tan 2 \left(45 + \frac{\phi}{2} \right) = 6.44 \rightarrow \sqrt{K_p} = 2.54$$

$$S_q = S_\gamma = 1 + 0.1 K_p \frac{B}{L} = 1 + 0.1(6.44) \frac{0.5}{2.0} = 1.16$$

$$d_q = d_\gamma = 1 + 0.1 \sqrt{K_p} \frac{D}{B} = 1 + 0.1(2.54) \frac{0.5}{0.5} = 1.25$$

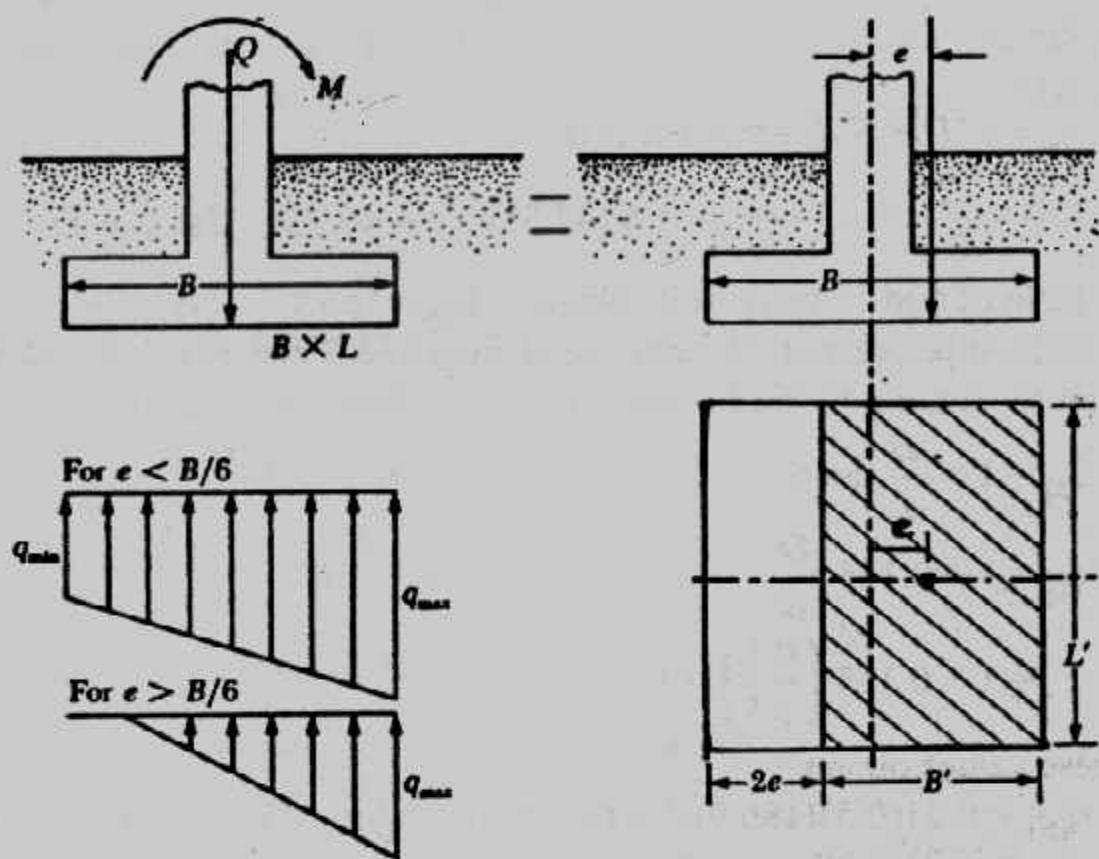
Step. 2. Substitute into the Meyerhof equation (ignoring any c subscripts)

$$q_{ult} = \gamma' D N_q S_q d_q + 0.5 \gamma B N_\gamma S_\gamma d_\gamma \\ = 0.31(0.5)(187)(1.16)(1.25) + 0.5(9.31)(0.5)(414)(1.16)(1.25) \\ = 1262 + 1397 = 2659 \text{ kPa}$$

الأساسات الغيرمركبة الحمل :

Foundations with Eccentric Loadings

قواعد الأساسات قد تكون غير مركبة الحمل بسبب عدم تمركز العمود في القاعدة أو بسبب وجود عمود متتركز في القاعدة بحمل محوري مع وجود عدم انتفأة ويكون عدم التمركز على محور واحد شكل (١٤-٢) أو على محورين شكل (١٥-٢)



شكل (١٤-٢) الأساسات الغير مركزية الحمل.

وحيثما تكون القاعدة غير متراكزة على محور واحد تحسب الإزاحة e من

$$e = \frac{M}{Q} \quad \dots \dots \dots \quad (2-26)$$

ويحسب الجهد على حافتي الأساس من المعادلات :

$$q_{\max} = \frac{Q}{BL} \left(1 + \frac{6e}{B} \right) \quad \dots \dots \dots \quad (2-27)$$

$$q_{\min} = \frac{Q}{BL} \left(1 + \frac{6e}{B} \right) \quad \dots \dots \dots \quad (2-28)$$

والمعادلات السابقة تستخدم عندما تكون $e < B/6$ و $q_{\min} = 0$. وتكون $e > B/6$ عندما تكون $q_{\min} = B/6$ حيث يتكون جزء من الشد من أحد الحواف، ولأن التربة لا تحمل الشد فإنه يحدث انفصال بين الأساس والتربة ويجب تجنب هذه الحالة بقدر الإمكان وهذا تحسب q_{\max} من :

$$q_{\max} = \frac{4Q}{3L(B - 2e)} \quad \dots \dots \dots \quad (2-29)$$

و تكون الاجهادات تحت الأساس منتظمة التوزيع إذا انطبقت نقطة تأثير محصلة الأحمال على مركز نقل الأساس ، وعلى ذلك ولتحويل الاجهادات الغير متساوية تحت القواعد الغير متراكزة إلى اجهادات منتظمة التوزيع توجد الأبعاد الفعالة L' ، B' :

وإذا كان عدم التمركز في الاتجاه الآخر تؤخذ :

$$L' = L - 2e$$

وتحسب قدرة التحمل بواسطة وباستخدام الأبعاد الفعالة L' , B , كما أن أقصى حمل يتحمله الأساس *Quilt* يحسب عن :

$$A' = \text{effective area} = B'L'. \quad (2-32)$$

وحيثما يكون الأساس غير متوازن في الاتجاهين أو عليه حل محور بالإضافة إلى M_x , M_y شكل (١٥-٢) فتحسب :

$$e_x = \frac{M_x}{V}, \quad e_y = \frac{M_y}{V}$$

$$\mathbf{B}' = \mathbf{B} - 2\mathbf{e}_x$$

$$L' = L - 2e_y$$

$$A' = B'L'$$

وتحسب قدرة التحمل باستخدام ' L' , وهذا يعني أن قيمة قدرة التحمل سوف تكون مخضبة، وقد اقترح ماير هوف طريقة أخرى لإيجاد نسبة التخفيض في قدرة التحمل هي R حيث تُخفيض قدرة التحمل في هذه الحالة وتصبح :

$$R_e = 1 - \left(\frac{e}{B}\right)^{\frac{1}{2}} \text{ (cohesionless soil)} \dots \quad (2-35)$$

(0 < e/B < 0.03)

Example (2-9):

A square foundation is shown in Fig. (2-16) assume that the load eccentricity $e = 0.15$ m. Determine the ultimate load, Q_{ult} .

Soltuion :

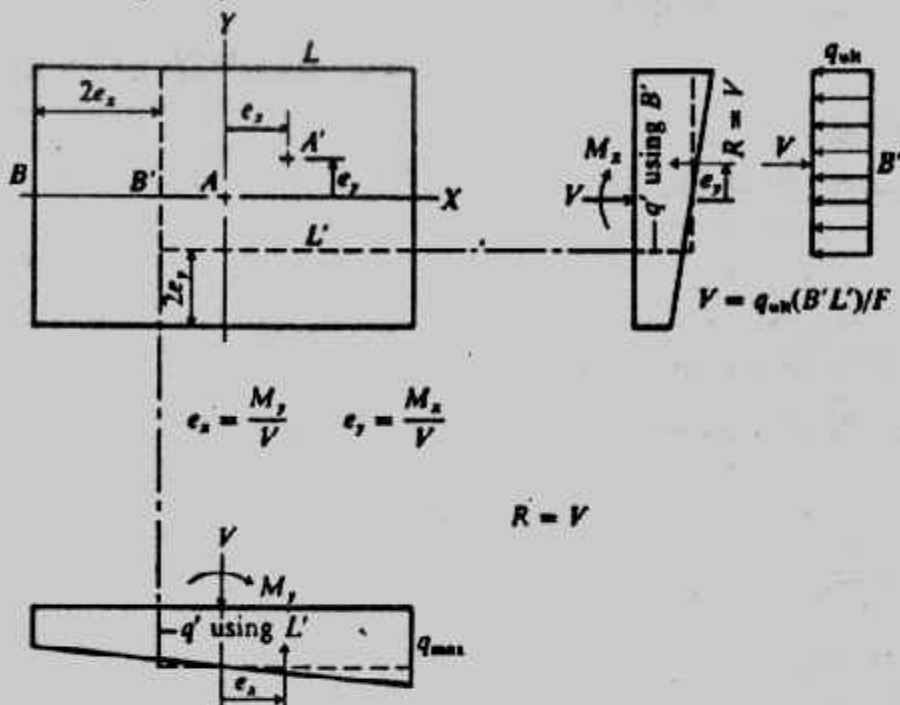
With $c = 0$, Eq. 2-21 becomes

$$q'_u = qN_q S_q d_q j_q + \frac{1}{2} \gamma B' N_\gamma S_\gamma d_\gamma i_\gamma \quad , \quad (g=1)$$

$$q = (0.7)(18) = 12.6 \text{ kN/m}^2$$

For $\phi = 30^\circ$, from Table (2-7) $N_q = 18.4$ and $N\gamma = 22.4$.

$$B' = 1.5 - 2(0.15) = 1.2m$$



شكل (٢-١٥) الأساس الغير متمركز في الاتجاهين .

$$L' = 1.5 \text{ m}$$

From Table (2-9)

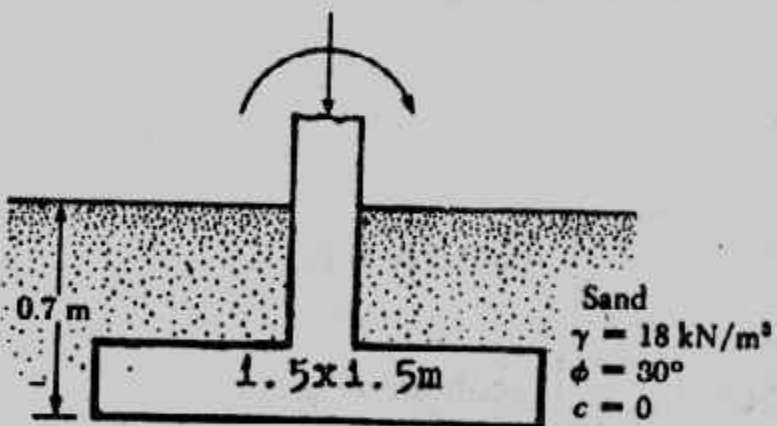


Fig. (2-16)

$$S_q = 1 + \frac{B}{L'} \tan \phi = 1 + \left(\frac{1.2}{1.5} \right) \tan 30^\circ = 1.462$$

$$d_q = 1 + 2 \tan \phi (1 - \sin \phi)^2 \frac{D_r}{B} = 1 + \frac{(0.289)(0.7)}{1.5} = 1.135$$

$$S_\gamma = 1 - 0.4 \left(\frac{B'}{L'} \right) = 1 - 0.4 \left(\frac{1.2}{1.5} \right) = 0.68$$

$$d\gamma = 1 \quad \text{So :}$$

$$q'_u = (12.6)(18.4)(1.462)(1.135) + \frac{1}{2} (18)(1.2)(22.4)(0.68)(1) \\ = 384.3 + 164.50 = 548.8 \text{ kN/m}^2$$

Hence

$$Q_{ult} = B'L' (q'_u) = (1.2)(1.5)(548.8) = 988 \text{ kN}$$

Example (2-10):

A footing $1.8 \times 1.8 \text{ m}$ square is loaded with an axial load of 1800 kN and $M_x = 20 \text{ kN.m}$, $M_y = 160 \text{ kN.m}$. Underained triaxial tests give $\phi = 36^\circ$ and $c = 9.61 \text{ kN/m}^2$. The footing depth $D = 1.8 \text{ m}$; the soil unit weight is 18 kN/m^3 , the water table is 6 m .

Solution :

Step 1. Compute eccentricity and adjusted dimensions.

$$e_x = \frac{M_y}{P} = \frac{160}{1800} = 0.089, 2e_x = 0.178, \frac{e_y}{B} = 0.08$$

$$e_y = \frac{270}{1800} = 0.15, 2e_y = 0.3, \frac{e_y}{B} = 0.08$$

$$B' = 1.8 - 0.3 = 1.5 \text{ m}, L' = 1.8 - 0.178 = 1.622 \text{ m}$$

$$\text{and } N_c = 51 \quad N_q = 38 \quad N_y = 40 \quad (\text{Table 2-3})$$

$$\frac{D}{B} = \frac{1.8}{1.8} = 1$$

$$S_c = 1 + \frac{N_q B'}{N_c L'} = 1.69 \quad d_c = 1 + 0.4 \frac{D}{B} = 1.4$$

$$S_q = 1 + \frac{B'}{L'} \tan \phi = 1.67 \quad d_q = 1 + 2 \tan \phi (1 - \sin \phi)^2 \frac{D}{B} = 1.25$$

$$S_y = 1 - 0.4 \frac{B'}{L'} = 0.63 \quad d_y = 1.00$$

$$\text{All } i = g = b = 1.0 \quad (\text{note if } H > 0 \text{ all } S_i = 1.0)$$

$$q_{ult} = c N_c S_c d_c + \bar{q} N_q S_q d_q + \frac{1}{2} \gamma B' N_y S_y d_y$$

$$= 9.61(51)(1.69)(1.4) + (18)(1.8)(38)(1.67)(1.25) + 0.5(1.8)(18)(40)(0.63)1.0 \\ = 1158 + 2568.5 + 338.1 = 4064.6 \text{ kN/m}^2$$

$$\text{With } SF = 3, \quad q_a = \frac{4064.6}{3} = 1354.9 \text{ kN/m}^2$$

The allowable load is based on the effective footing area to obtain

$$P_a = 1354.9 \times 1.5 \times 1.622 = 3296.5 \text{ kN.}$$

$$q_{act} = 1354.9 \times \frac{1800}{3296.5} = 739.8 \text{ kN/m}^2$$

By the alternative method using Meyerhof's reduction factor :
Use factors for cohesionless soil, as c is very small

$$R_{ex} = 1 - \left(\frac{e_x}{B} \right)^{\frac{1}{2}} = 1 - (0.05)^{\frac{1}{2}} = 0.78$$

$$R_{ey} = 1 - \left(\frac{e_y}{B} \right)^{\frac{1}{2}} = 1 - (0.08)^{\frac{1}{2}} = 0.72$$

(E) Recompute q_{ult} as for a centrally loaded footing; the depth factors are unchanged; the revised shape factors are:

$$S_c = 1 + \frac{N_g}{N_c} \frac{B}{L} = 1.75$$

$$S_q = 1 + \frac{B}{L} \tan \phi = 1.73$$

$$S_\gamma = 1 - 0.4 \frac{B}{L} = 0.60$$

$$q_{ult} = 9.61(51)(1.75)(1.4) + 18(1.8)(38)(1.73)(1.25) + 0.5(18)(1.5)(40)(0.6)(1.0) \\ = 1199.1 + 2660.8 + 386.2 = 4246.1 \text{ kN/m}^2$$

$$q_a = \frac{4246.1}{3} = 1415.4 \text{ kN/m}^2$$

$$P_a = q_a(BL)R_{ex}R_{ey} = 1415.4 \times 1.8 \times 1.8 \times 0.78 \times 0.72 = 2575.4 \text{ kN}$$

The reduced allowable pressure is

$$q_a = \frac{2575.4}{1.8 \times 1.8} = 794.9 \text{ kN/m}^2$$

The actual pressure is approximately $794.9 \text{ (1800 /2575.4)} = 555.6 \text{ kN/m}^2$

وهذه القيمة المسموح بها لقدرة التحمل عالية ويجب حساب الهبوط الذى قد يتلزم تخفيض هذه القيمة، وينصح ألا تزيد القيمة المسموح بها لقدرة التحمل التي تستخدم في التصميم عن ٥٠٠ كيلو نيوتن/ m^2 (٥ كجم/ cm^2).
 The actual pressure is approximately 500 N/m².

الأساسات على الطين : Foundation on Clay

لحساب قدرة التحمل للأساسات على التربة الطينية تستخدم أحد المعادلات المذكورة في هذا الباب على اعتبار $\phi = 0$. ولقد قدم سكبتون Skempton طريقة مبسطة لحساب قدرة التحمل للأساسات على الطين حيث :

حيث تُعين Nc من الشكل (٢-١٧) بالنسبة للأساسات الشريطية والدائريّة والمربعيّة أما بالنسبة للأساسات المستطيلة :

$$N_c \text{ rectangular} = (0.84 + 0.16 \frac{B}{L}) N_c \text{ square} \quad \dots \dots \dots \quad (2-38)$$

Example (2-11):

A rectangular footing of breadth 6 m and length 15 m is founded at a depth of 4.5 m in a cohesive soil having the following properties:

$$C_{11} = 40 \text{ kN/m}^2 \quad \phi_{11} = 0 \quad \gamma = 18 \text{ kN/m}^3$$

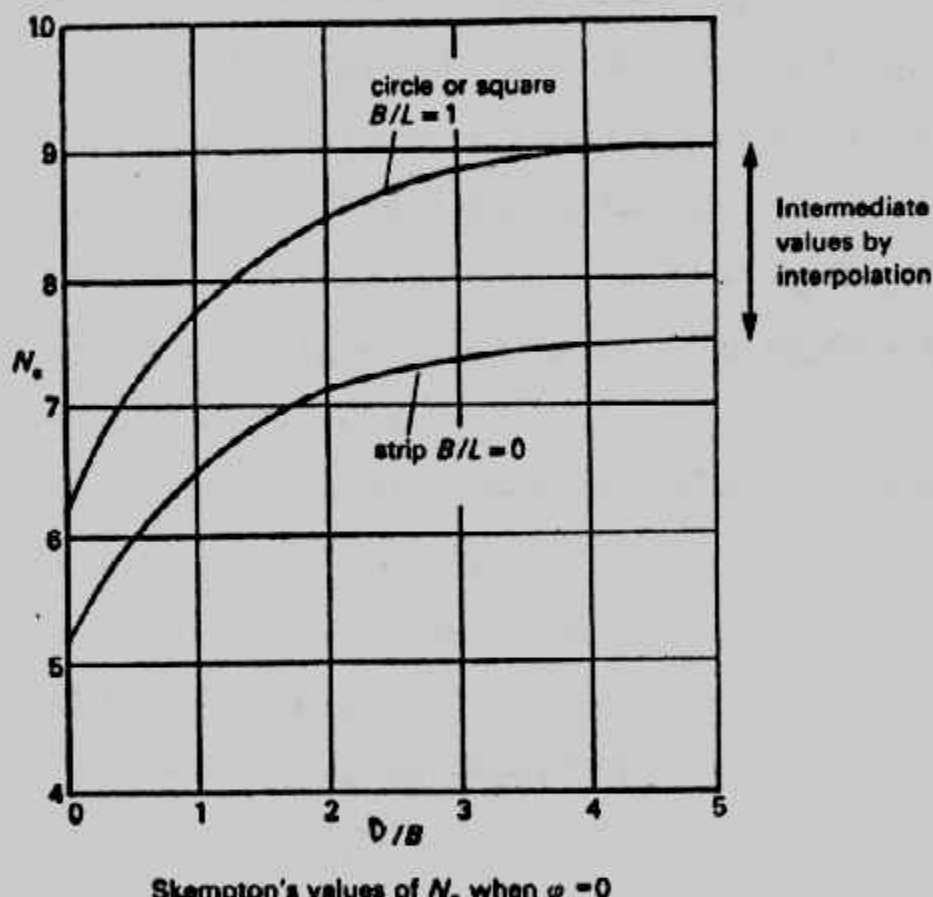
Determine the ultimate bearing capacity for the footing.

Solution :

$$D/B = 4.5/6.0 = 0.75 \quad B/L = 6/15 = 0.40$$

Using Skempton's N_c from Fig. (2-17) (interpolating): $N_c = 6.7$

$$\text{So : } q_{ij} = c_{ij} N_c + \gamma D$$



شكل (٢-١٧): معامل سكتون للأساسات على الطين.

$$= 40 \times 6.7 + 18 \times 4.5 = 349 \text{ kN/m}^2$$

Using eqn [2-38] :

$$N_c = 6.2 (0.8 + 0.16 \times 0.4) = 5.6$$

$$q_u = 40 \times 5.6 + 18 \times 4.5 = 305 \text{ kN/m}^2$$

Using the Hansen eqn [2.2] and factors from Tables 3.2 and 2.4 "

$$N_c = 5.14, \quad N_q = 1, \quad N_\gamma = 0$$

$$S_c = 1 + 0.40 \frac{1}{5.14} = 1.078, \quad S_q = 1.0$$

So : $S_q = 40 \times 5.14 \times 1.078 + 18 \times 4.5 = 303 \text{ kN/m}^2$

قدرة تحمل الصخر : Bearing Capacity of Rock

الصخور نوع من أنواع التربة المكونة للقشرة الأرضية تتميز بالصلابة والتماسك . وهي كثل شديدة الترابط لا تكسر بسهولة باليد ولا تتفتت بسهولة ويعتبر الصخر أفضل أنواع التربة للتأسيس عليه . ورغم ذلك يجب الاهتمام بتصميم الأساسات على الصخر حيث قد تجم مخاطر تؤدي إلى حركة صخرية كبيرة أو فشل مقاوى .

ويوجد في بعض أنواع الصخور ما يمكن معاملته تماماً كأى نوع عادي من أنواع التربة مثل الصخور اللينة أو ضعيفة التلامم (مقاومتها لضغط الغير محصور تقل عن ١٠ كجم/سم٢) والصخور التي يمكن الحفر فيها بالوسائل اليدوية والرمل أو الزلط المتحجر الغير مستمر التلامم والطباشير والطين الحجري والرماد البركاني والصخور المطحونة والصخور ذات الفواصل المستمرة المتقاربة والتربة المحتوية على كسر الصخور .

وتصنف الصخور طبقاً لمقارنة الضغط الغير محصور لها على النحو الآتي :

- صخور عالية المقاومة جداً وهي صخور مقاومتها أكبر بكثير من الخرسانة حيث تتعدى ٢٠٠ ميجانيوتن/م٢ (٢٠٠٠ كجم/سم٢) .
- صخور عالية المقاومة ومقاومتها أكبر من مقاومة الخرسانة حيث تتراوح بين ٥٠ - ٢٠٠ ميجانيوتن/م٢ (٥٠٠ إلى ٢٠٠٠ كجم/سم٢) .
- صخور متوسطة المقاومة : وهي التي مقاومتها تقترب من مقاومة الخرسانة بين ١٥-٥٠ ميجانيوتن/م٢ (١٥٠ - ٥٠٠ كجم/سم٢) .
- صخور ضعيفة المقاومة : وهي التي مقاومتها تقترب من مقاومة الطوب بين ٤-١٥ ميجانيوتن/م٢ (٤٠-١٥٠ كجم/سم٢) .
- صخور ضعيفة المقاومة جداً : وهي التي مقاومتها أقل من مقاومة الطوب ولا تتعدى ٤ ميجانيوتن/م٢ (٤٠ كجم/سم٢) .

كما تصنف الصخور طبقاً للمسافات بين الفواصل الصخرية بها على النحو الآتي :

- صخور ذات فواصل متباينة جداً وهي التي تزيد المسافات بين فواصلها عن ٣ متر .
- صخور ذات فواصل متباينة وهي التي تتراوح المسافات بين فواصلها من ١-٣ متر .

- ٠ صخور ذات فوائل متقاربة نسبياً وهي التي تتراوح المسافات بين فوائلها من ٣ - ١٠٠ متر.

- ٠ صخور ذات فوائل متقاربة وهى التى تتراوح المسافات بين فوائلها من ٣٠-٥ سم .
 - ٠ صخور ذات فوائل متقاربة جدا وهى التى تكون المسافات بين فوائلها أقل من ٥ سم .

كما تؤثر طبيعة الفوائل فى الصخور على تصنيفها من حيث عرض هذه الفوائل والمادة المالئة لها واتجاه هذه الفوائل ومدى تعرض اسطح تلامس الصخر للعوامل الجوية .

وتتأثر صلاحية الصخر للتأسيس باتجاه الفوائل بالنسبة لاتجاه الحمل حيث أن وجود فاصل تحت الأساس قد يقلل من قدرة تحمل التكوين الصخري . وقد يوصف الصخر بأنه يحتوى على فوائل ذات اتجاه حرج إذا كان هناك احتمال للانزلاق على سطح الفاصل تحت تأثير محصلة أحمال الأساس . والصخر يعتبر سليما إذا زادت المسافات بين فوائله عن ١,٠٠ متر وإذا زدت مقاومة الضغط الغير محصور له عن ١,٠٠٠ كيلو نيوتن/م^٢ (١٠ كجم/م^٢) ويشرط أن تكون الفوائل من النوع المقول والفوائل ذات اتجاه غير حرج .

و عند حساب قدرة التحمل قبل التصميم يجب دراسة ما يلى :

- * تحديد نوع وأماكن وجود الفوائل الواقعة في مجال تأثير الأساس بما في ذلك تحديد سعك هذه الفوائل.

* تحديد مقاومة مادة الصخر .

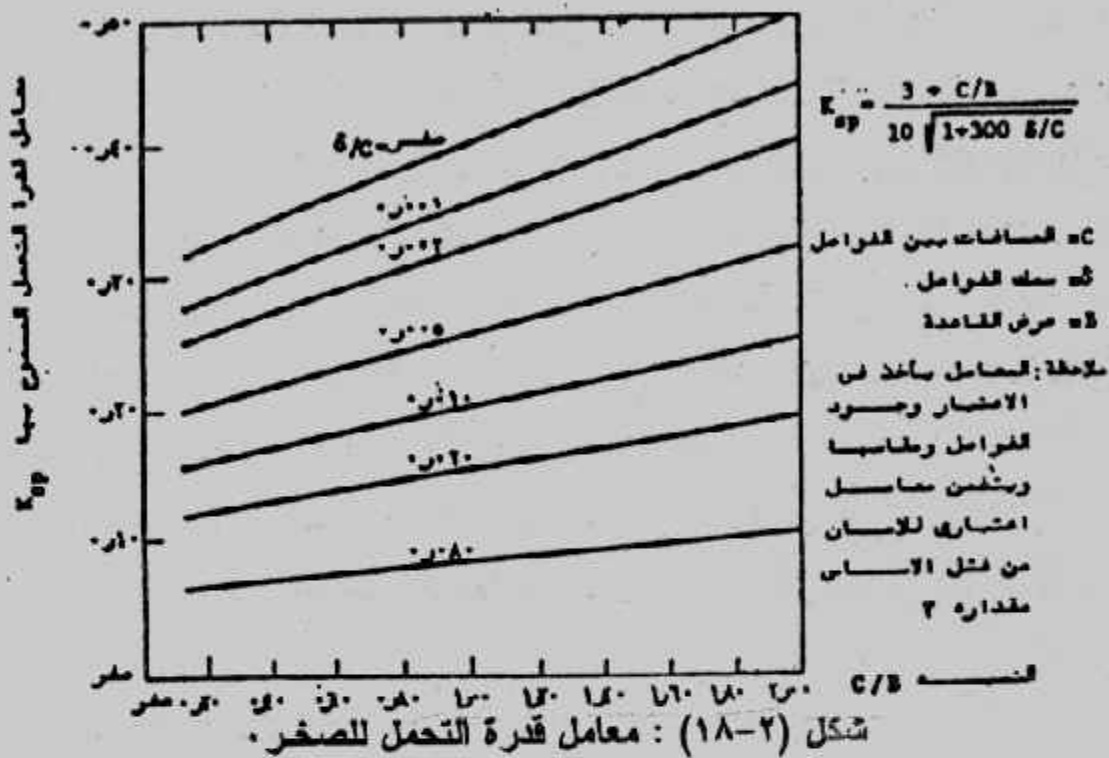
ويمكن تقدير قدرة التحمل المسموح بها للتكتونيات الصخرية ذى الخصائص الغير حرجة (أى الذى لا توجد به فواصل مفتوحة وسطح الصخر يكون عموديا على الأساس أى الحمل ليس له مرتبة معاشرة) من :

حيث q_{all} قدرة التحمل المسموح بها باعتبار معامل أمان مقداره $3^{q_{u-core}}$ مقاومة الضغط غير المحصور لعينات الصخر K_{sp} معامل يعتمد على المسافات بين الفوائل كما هو في جدول (٩-٢).

جدول (٩-٢) قيم المعامل K_{sp}

K_{sp}	المسافات بين الفوائل
٠.٦٠	متباينة جداً (< ٣ متر)
٠.٧٥	متباينة (١ - ٣ متر)
٠.٩٠	متقارنة نسبياً (٠.٣ - ١٠٠ متر)

ويمكن اعتبار الصخر المحتوى على فوائل متقاربة نسبياً (٣٠ - ١٠٠ متر) كحالة انتقالية من الصخر السليم والصخر الغير سليم، والعلاقة السابقة صالحة للصخور ذات الفوائل التي لا تقل المسافات بينها عن ٣٠ سم وسمكها أقل من ٥ سم أو سمكها أقل من ٢٥ سم لو كانت محتوية على مواد مالئة على الأقل عرض الأساس عن ٣٠ سم ويبين الشكل (١٨-٢) العوامل المؤثرة على قيمة المعامل K_{sp} وتأثير الفوائل على قدرة التحمل.



شكل (١٨-٢) : معامل قدرة التحمل للصخر.

أما في حالة الصخور الغير سليمة التي فيها فوائل شديدة التقارب أو كان الصخر مفتتاً أو منكسرًا فإن الصخر يعامل معاملة التربة الغير متغمسة في تعين قدرة التحمل، وهناك تصنيف آخر للصخور حسب صلابتها طبقاً لمقاومتها للضغط، وهذا التصنيف مبين في جدول (١٠-٢).

جدول (١٠-٢): تصنيف الصخر طبقاً لمقاومة الضغط

النسبة النسبية للمعادن التي صلابتها أكبر من ٥٠%				الترة الضغطية للصخر (مم/٣٠٠)
٦٠ - ٧٥	٧٥ - ٩٠	٩٠ - ٩٥	٩٥ - ٩٩	
لين	لين جداً			أقل من ٦٠
متسط الصلابة		لين		٦٠٠ - ٦٠٠
متسط الصلابة		لين		٦٤٠٠ - ٦٠٠
صلب		متسط الصلابة		٦٨٠٠ - ٦٤٠٠
صلب		متسط الصلابة		٧٠٠ - ٦٨٠٠
صلب	صلب	متسط الصلابة		أكبر من ٧٠٠

ويمكن تعين قدرة التحمل للصخر باستخدام معاللة ترزاچى على أن تكون معاملات قدرة التحمل على النحو الآتى :

$$N_q = \tan^6 \left(45 + \frac{\phi}{2} \right) \quad (2-40)$$

$$N_c = 5 \tan^4 \left(45 + \frac{\phi}{2} \right) \quad (2-41)$$

$$N_g = N_q + 1 \quad (2-42)$$

وتعين ϕ للصخر من اختبار الضغط الثلاثي العالى التحميل وغالبا لا تقل عن ϕ عن 40° درجة (ϕ للصخر من 40° إلى 55° درجة) وتتراوح c بين 2.5 إلى 35 ميجاباسكال MPa ومعادلات ترزاچى تعطى فيما عاليا لقدرة التحمل القصوى . وفي أغلب الحالات تؤخذ $\phi = 45^\circ$ ما عدا الحجر الجيرى فيؤخذ من $40-38^\circ$ كما تؤخذ $c=5$ MPa كقيمة مقابلة .

ولذلك يستخدم معامل جودة الصخور RQD فى Rock Quality Designation

حساب قدرة التحمل المطلوبة للتصميم q'_{ult} من :

$$q'_{ult} = q_{ult} (RQD)^2 \quad (2-43)$$

حيث q_{ult} هي المحسوبة من معادلات ترزاچى التي تعطى فيما عالية أما RQD فيعرف من :

مجموع أطوال القطع السليمة الخارجة من اسطوانة العينات وأكبر من 10 سم

RQD = _____ طول اسطوانة العينات

ومثلا لو كان طول اسطوانة العينات 150 سم خرج منها عينات طولها 131 سم من قطع الصخر السليمة والزلط والترب و كان مجموع أطوال القطع السليمة الأكبر من 10 سم هي 89 سم فلن :

$$RQD = 89/150 = 0.59$$

ويمكن تصنیف الصخر طبقا لقيمة RQD كما هو مبين في جدول (11-٢)

جدول (11-٢) تصنیف الصخر طبقا لقيمة RQD

RQD	Rock description
< 0.25	Very poor
0.25 - 0.50	Poor
0.50 - 0.75	Fair
0.75 - 0.90	Good
> 0.90	Excellent

Example (2-12) :

A drilled pier with a diameter = 1m to be founded at a depth of 3m. in a rock mass. From the cores the average RQD = 0.50 below the pier point.

Solution : Assume from inspection of the rock cores that :

$$\phi = 45^\circ \text{ and take } c = 5 \text{ kN/m}^2$$

The Terzaghi shape factors are $S_c = 1.3$ and $S_y = 0.6$

Assume the unit weight of the dense rock $\gamma = 25 \text{ kN/m}^3$

$$N_c = 5 \tan^4 (45 + \frac{45}{2}) = 170$$

$$N_q = \tan^6 (45 + \frac{45}{2}) = 198$$

$$N_y = N_q + 1 = 199$$

$$q_{ult} = cN_cS_c + qN_q + 0.5\gamma BN_y S_y$$

$$= 5 \times 170 \times 1.3 + 25 \times 3 \times 198 + 0.5 \times 25 \times 1 \times 199 \times 0.6$$

$$= 17447.5 \text{ kN/m}^2$$

Use $FS = 3$ and for $RQD = 0.5$ obtain the reduced allowable bearing

$$\text{capacity as : } q_a = \frac{q_{ult} (RQD)^2}{3} = \frac{17447.5 (0.5)^2}{3} = 1453 \text{ kN/m}^2 \approx 15 \text{ kg/cm}^2$$

قدرة التحمل للأساسات على التربة الطبقية :

Bearing Capacity for Footings on Layered Soils :

حينما يوضع الأساس على طبقات متتالية بحيث تكون الطبقة العلوية غير كافية لاحتواء منطقة الانهيار بالكامل تحت الأساس فإن قدرة التحمل القصوى يجب أن تعدل :

والحالات الآتية يمكن أن نقابلها بالنسبة للتربة الطبقية :

١- الأساسات على تربة طبقية طينية ($\phi = 0$) .

أ- الطبقة العلوية أضعف من الطبقة السفلية $C_1 < C_2$.

ب- الطبقة العلوية أقوى من الطبقة السفلية $C_1 > C_2$.

٢- الأساسات على تربة طبقية رملية أو طبقية طينية .

أ- رمل أسفله طين .

ب- طين أسفله رمل .

٣- الأساسات على تربة طبقية عامة ($C-\phi$) .

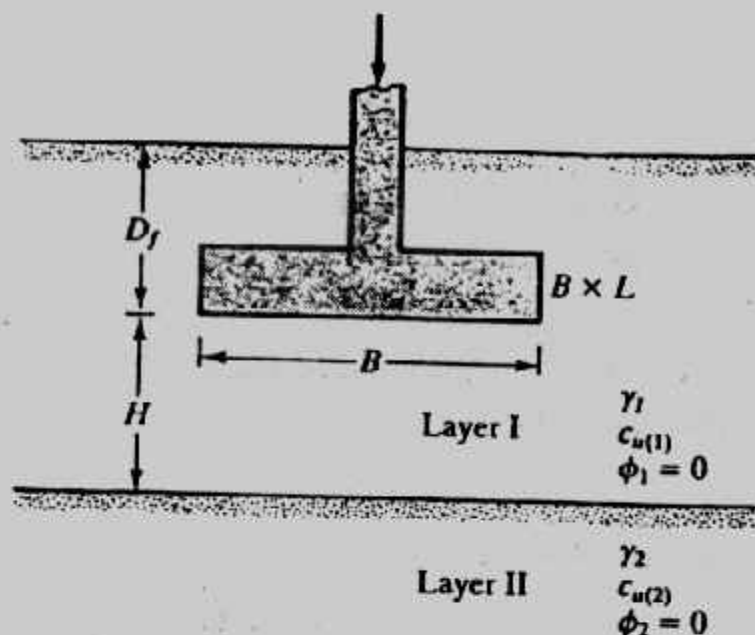
أ- الطبقة العلوية أضعف من الطبقة السفلية .

ب- الطبقة العلوية أقوى من الطبقة السفلية .

أولاً : الأساسات على تربة طبقية طينية $\phi = 0$:

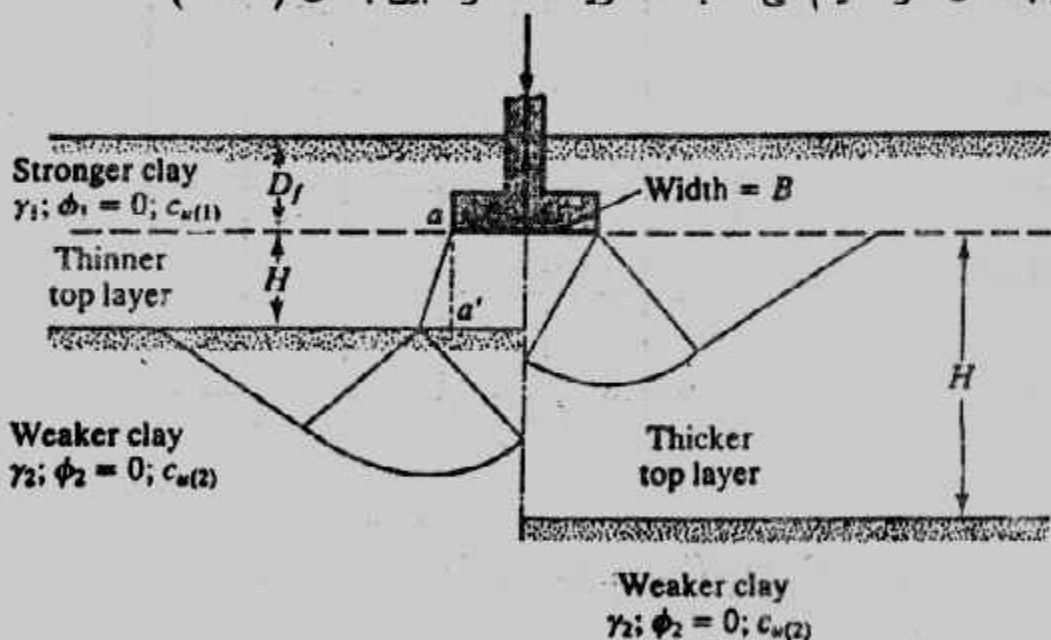
يبين الشكل (١٨-٢) أساس طحي على تربة مكونة من طبقتين طينيتين العلوية منها تمتد

إلى عمق H أسلف منسوب التأسيس والطبقة السفلية تمتد إلى امتداد كبير .



شكل (١٨-٢) : الأساسات على تربة طبقية طينية

فإذا كانت $C_u(1) > C_u(2)$ فإن الأساسات ترتكز على طبقة طينية قوية أسفلها طبقة طينية ضعيفة، وإذا كانت H/B صغيرة نسبياً فإن انهيار التربة تحت الأساس سوف يتم بالاختراق في الطبقة العلوية وبالقص العام في الطبقة السفلية، أما إذا كانت H/B كبيرة نسبياً فإن الانهيار بالكامل سوف يتم في الطبقة العلوية كما هو مبين بشكل (١٩-٢).



شكل (١٩-٢) قدرة التحمل لطبقة طين قوية على طبقة ضعيفة.

ويمكن حساب قدرة التحمل من :

$$q_u = \left[1 + 0.2 \left(\frac{B}{L} \right) \right] C_{u(2)} N_c + \left(1 + \frac{B}{L} \right) \left(\frac{2c_u H}{B} \right) + \gamma_1 D_f$$

من انهيار القص من انهيار الاختراق

من انهيار الاختراق

على الطبقة العلوية العام على الطبقة السفلية

من انهيار القص العام على الطبقة العلوية

Where B = width of foundation

L = length of foundation

$N_c = 5.4$ (bearing capacity factor for $\phi = 0$)

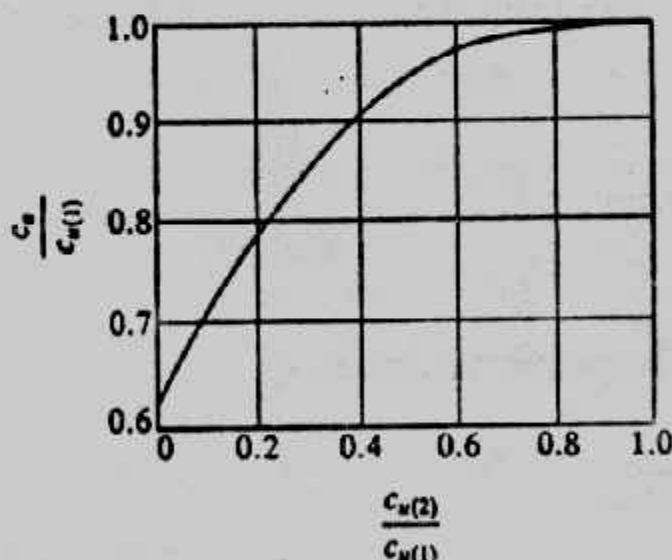
C_a = adhesion along the interface aa'

ويبين شكل (٢٠-٢) التغير في $C_{\text{a}}/C_{\text{u}(1)}$ مع $C_{\text{u}(2)}/C_{\text{u}(1)}$ أما إذا كانت $1 < C_{\text{u}(1)}/C_{\text{u}(2)}$ فإن الأساسات ترتكز على طبقة طينية ضعيفة أسفلها طبقة طينية قوية وتحسب قرة التحمل في هذه الحالة من :

$$q_u = q_t + (q_b - q_t) \left(1 - \frac{H}{H_f}\right)^2 \geq q_t \quad \dots \dots \dots \quad (2-45)$$

Where :

$$q_t = \left[I + 0.2 \left(\frac{B}{L} \right) \right] C_{u(t)} N_c + \gamma_f D_f \dots \quad (2-46)$$



شكل (٢٠-٢) التغير في $C_u/C_{u(1)}$ مع $C_a/C_{u(1)}$

$$q_b = \left[1 + 0.2 \left(\frac{B}{L} \right) \right] C_{u(2)} N_c + \gamma_r D_r \dots \quad (2-47)$$

$$H_f \approx B$$

Note that $N_c = 5.14$ since $\phi = 0$

ثانياً : الأساسات على الرمل المدموك وأسفله طين ناعم :

حيثما ترتكز الأساسات على رمل مدموك أو متقارب متبع بطين ناعم فإنه في حالة ما يكون سمك طبقة الرمل أسفل الأساس صغير نسبياً فإن سطح الإنهاي يمتد إلى طبقة الطين الناعم ، شكل (٢١-٢) وإذا كانت طبقة الرمل تحت الأساس كبيرة نسبياً فإن سطح الإنهاي سوف يقع في طبقة الرمل . وتحسب قدرة التحمل من :

$$q_u = cN_c + \gamma H^2 \left(I - \frac{2D_f}{H} \right) K_s \frac{\tan \phi}{B} + \gamma D_f \quad \dots \dots \dots \quad (2-48)$$

وبقيمة قصوى

$$q_u = \frac{I}{2} \gamma B N_c + \gamma D_f N_q \quad \dots \dots \dots \quad (2-49)$$

Where ϕ = angle of friction of top sand layer

γ = unit weight of sand

K_s = punching shear resistance coefficient

وتعين N_c ، N_q بواسطة ϕ من الجداول أو المنحنيات . وعندما تكون $0 = \phi$ تؤخذ

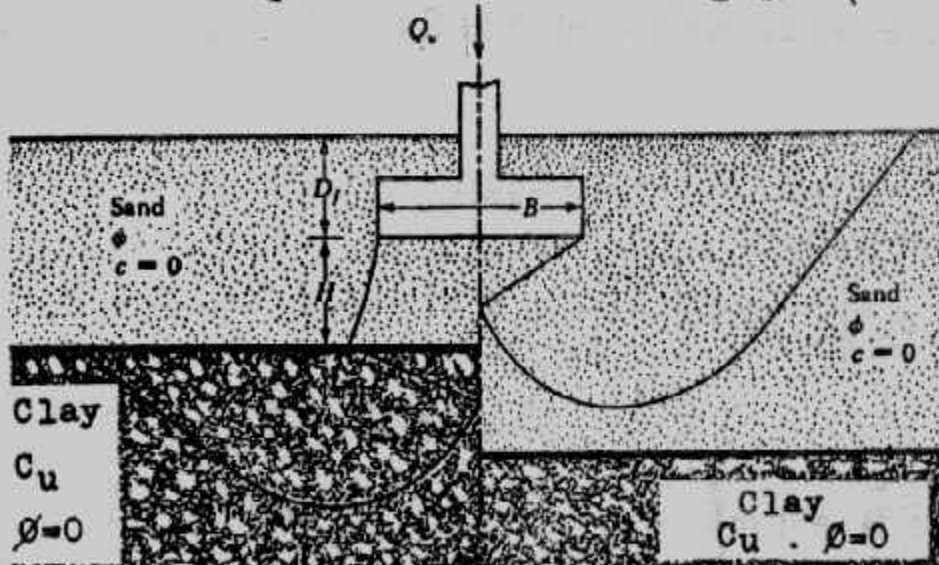
5.14 أما بالنسبة للأساس المستطيل :

$$q_u = \left(I + 0.2 \frac{B}{L} \right) C_u N_c + \left(I + \frac{B}{L} \right) \gamma H^2 \left(I + \frac{2D_f}{H} \right) K_s \frac{\tan \phi}{B} + \gamma D_f \quad \dots \dots \dots \quad (2-50)$$

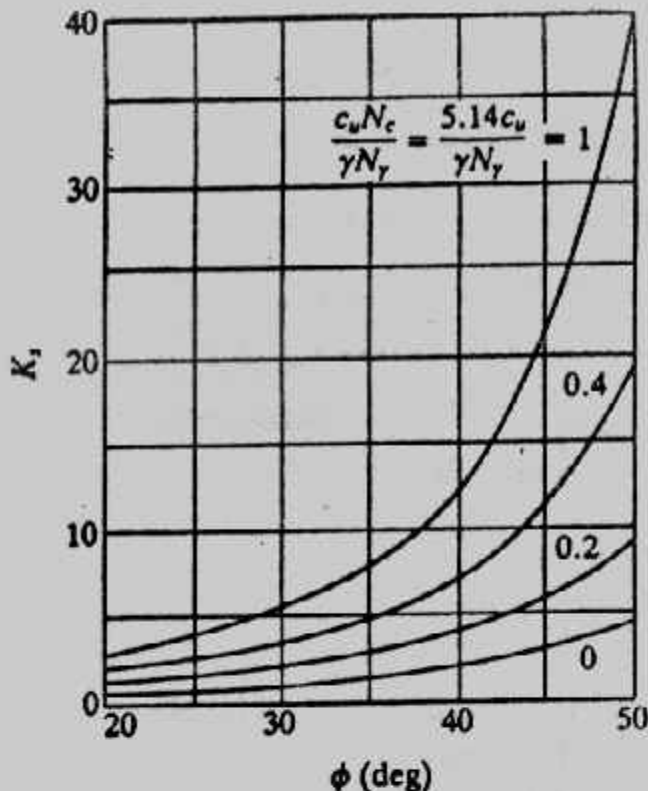
وبقيمة قصوى

$$q_u = \frac{I}{2} \left(1 - 0.4 \frac{B}{L} \right) \gamma B N_c + \gamma D_f N_q \quad \dots \dots \dots \quad (2-51)$$

ويبين شكل (٢٢-٢) التغير في معامل مقاومة اختراق القص مع ϕ .



شكل (٢١-٢) أساس مرتكز على رمل مدموك أسفله طين .



شكل (٢٢-٤) تغير مع K_s في ϕ

Example (2-13):

Refer to Fig. (2-18) a foundation $1.5 \text{ m} \times 1 \text{ m}$ is located at a depth (D_f) of 1 m in a clay. A soft clay layer is located at a depth (H) of 1 m measured from the bottom of the foundation Given:

For top clay layer :

Undrained shear strength = 120 kN/m^2

Unit weight = 16.8 kN/m^3

For bottom clay layer :

Undrained shear strength = 48 kN/m^2

Unit weight = 16.2 kN/m^3

Determine the gross allowable load for the foundation with a factor of safety of 4.

Solution :

Given : $C_u(1) = 120 \text{ kN/m}^2$; $C_u(2) = 48 \text{ kN/m}^2$. Since $C_u(1)/C_u(2) > 1$, Eq. 2-44 will apply, or :

$$q_u = \left[1 + (0.2 \left(\frac{B}{L} \right)) \right] C_{u(2)} N_c + \left(1 + \frac{B}{L} \right) \left(\frac{2c_s H}{B} \right) + \gamma_i D_f \\ \leq \left[1 + (0.2 \left(\frac{B}{L} \right)) \right] C_{u(1)} N_c + \gamma_i D_f$$

Where : $B = 1 \text{ m}$

$L = 1.5 \text{ m}$

$$D_f = 1 \text{ m}$$

$$H = 1 \text{ m}$$

$$N_c = 5.14$$

$$\gamma_1 = 16.8 \text{ kN/m}^3$$

From Fig. (2-20) for $C_u(2)/C_u(1) = 48/120=0.4$, the value of $C_a/C_u(1) \approx 0.9$

$$\text{So : } C_a = (0.2)(120) = 108 \text{ kN/m}^2$$

$$\begin{aligned}\text{So } q_u &= \left[1 + (0.2) \left(\frac{B}{L} \right) \right] C_{u(2)} N_c + \left(1 + \frac{B}{L} \right) \left(\frac{2c_s H}{B} \right) + \gamma_1 D_f \\ &= \left[1 + (0.2) \left(\frac{1}{1.5} \right) \right] (48)(5.14) + \left(1 + \frac{1}{1.5} \right) \left[\frac{(2)(108)(1)}{1} \right] (16.8)(1) \\ &= 279.6 + 460 + 16.8 = 656.4 \text{ kN/m}^2\end{aligned}$$

Now check :

$$\begin{aligned}q_u &= \left[1 + (0.2) \left(\frac{B}{L} \right) \right] C_{u(2)} N_c + \gamma_1 D_f \\ &= \left[1 + (0.2) \left(\frac{1}{1.5} \right) \right] (120)(5.14) + (16.8)(1) \\ &= 699 + 16.8 = 715.8 \text{ kN/m}^2\end{aligned}$$

So, $q_u = 656.4 \text{ kN/m}^2$ (that is, the smaller of the two values calculated above)

$$q_{all} = \frac{q_u}{FS} = \frac{656.4}{4} = 164.1 \text{ kN/m}^2$$

Total allowable load is

$$(q_{all})(1 \times 1.5) = 246.15 \text{ kN}$$

Example : 2-14

Refer to Fig. (2-21) Given :

For sand :

$$\gamma = 18.6 \text{ kN/m}^3$$

$$\phi = 40^\circ$$

For clay :

$$C_u = 19.15 \text{ kN/m}^2$$

For foundation :

$$B = 1 \text{ m} \quad L = 1.5 \text{ m} \quad D_f = 1 \text{ m} \quad H = 1.2 \text{ m}$$

Determine the gross ultimate bearing capacity of the foundation.

Solution :

Since the foundation is rectangular, Eqs. 2-50 and 2-51 will apply.

For $\phi = 40^\circ$, from Table (2-7) $N_\gamma = 109.41$.

$$\frac{C_u N_c}{\gamma N_\gamma} = \frac{19.15 \times 5.14}{18.6 \times 109.41} = 0.05$$

From Fig. (2-22) for $C_u N_c / \gamma N_\gamma = 0.05$ and $\phi = 40^\circ$, the value of $K_s \approx 3.1$

Using Eq. (2-50):

$$\begin{aligned}
 q_u &= \left[1 + (0.2) \left(\frac{B}{L} \right) \right] C_u N_c + \left(1 + \frac{B}{L} \right) \gamma H^2 \left(1 + \frac{2D_f}{H} \right) K_s \frac{\tan \phi}{B} + \gamma D_f \\
 &= \left[1 + (0.2) \left(\frac{1}{1.5} \right) \right] (19.15)(5.14) + \left(1 + \frac{1}{1.5} \right) (18.6)(1.2)^2 \\
 &\quad \times \left[1 + \frac{(2)(1)}{1.2} \right] (3.1) \frac{\tan 40}{1} + (18.6)(1) \\
 &= 111.56 + 309.8 + 18.6 = 439.96 \text{ kN/m}^2
 \end{aligned}$$

Again, from Eq. 2-51 :

$$q_u = \frac{1}{2} \left[1 - (0.4) \left(\frac{B}{L} \right) \right] \gamma B N_\gamma + \gamma D_f N_q$$

For $\phi = 40^\circ$, $Nq = 64.20$ (Table 2-7).

$$\text{So } q_u = (0.5) \left[1 - (0.4 \left(\frac{1}{1.5} \right)) \right] (18.6)(1)(109.41) + (18.6)(1)(64.20) \\ = 746.18 + 1194.1 = 1940.3 \text{ kN/m}^2$$

Hence :

$$q_u = 439.96 \text{ kN/m}^2$$

اما بالنسبة للأساسات المرتكزة على طين متبع برملي فتحسب قدرة التحمل بالطريقة الآتية والتي يمكن استخدامها أيضاً للأساسات المرتكزة على طين ملأسفله طين:

- تحسب القيمة H حيث :

وذلك باستخدام ϕ للتربية العلية.

- إذا كانت $d_1 > H$ في شكل (٢٢-٢) فتحسب q_{ult} كما يلى :

- توجد q_{ult} بأى معادلة من المعادلات المعروفة وباستخدام بيانات الطبقة العلوية،
بفرض أن انهاي الاختراق المرتبط بمحيط القاعدة وزن التربة q_1 والناتج عن d_1 تحسب
 q_{ult} للطبقة السفلية باستخدام هذا المحيط. ويمكن زيادة q_{ult} بإضافة احتكاك مقاومة القص
على محيط الاختراق.
 - تقلن q_{ult} و q' وتستخدم الأصغر قيمة.
 - الخطوات السابقة يمكن تعميمها للمعادلة الآتية :

Where -

q_{ult} = bearing capacity of top layer from equations in Table (2-8).

q_{ult} = bearing capacity of lower layer computed as for q_{ult} but using

B = footing dimension, $\bar{q} = \gamma d_1$; c, ϕ of lower layer.

P = total perimeter for punching [may use $2(B + L)$ or $\pi \times \text{diam.}$]

P_v = total vertical pressure from footing base to lower soil computed as $\int_a^d \gamma h (dh) + \bar{q}d$,

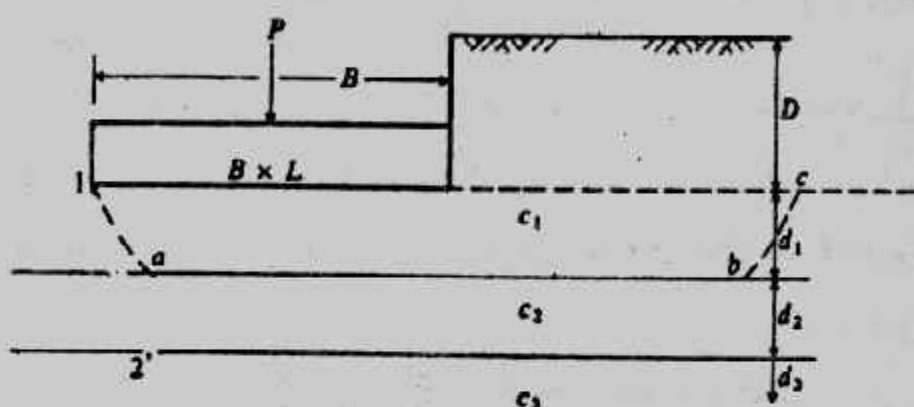
K_s = lateral earth pressure coefficient which may range from
 $\tan^2 \phi = (45 + \phi/2)$ or use K_0 .

$\tan \phi$ = coefficient of friction between $P_v K_s$ and perimeter shear zone wall.

Pd₁c = cohesion on perimeter as a force.

A_f = area of footing (converts perimeter shear forces to a stress).

والمعادلة السابقة يمكن أن تطبق لجميع أنواع التربية.



شكل (٢٣-٢): الأساسات على طين متبوّع برملي أو العكس.

ثالثاً : الأساسات على تربة طبقية عامة (C- ϕ soil)

هناك طرق متعددة لحساب قدرة التحمل على تربة طبقية عامة وأبسطها ما يقترح إيجاد

فيم C ، ϕ العدلة بالنحو الآتي :

• تَحْسِبُ H' بِالْمُعَاوِلَةِ :

$$H' = 0.5 B \tan(45 + \frac{\phi}{2}) \dots \quad (2-56)$$

باستخدام ϕ للطبيقة العليا.

• إذا كان $d_1 > H$ تحسب قيمة ϕ المعدلة كما يلى :

$$\phi' = \frac{d\phi_1 + (H - d)\phi_2}{H} \quad \dots \quad (2-55)$$

تحس C المعدلة بنفس الطريقة التي حسست بها ϕ للحصول على C' :

$$C' = \frac{d_1 c_1 + (H' - d) C_2}{H'} \dots \quad (2-56)$$

* تستخدم أي معادلة في المعادلات المذكورة في أول هذا الباب لتعيين q_{ult} باستخدام ϕ :

* إذا كانت التربة الطوبية أضعف أى ϕ , أقل فيجب التأكيد من :

$$q_{ult} = 4c + \gamma D \quad (2-57)$$

وتصلح هذه الطريقة لأى امتداد من الطبقات المتواالية، ويوجد حل آخر للتربة الطوبية العامة المكونة من طبقات رقيقة بأخذ C , المتوسطة لهذه الطبقات ثم استخدام أحد المعادلات المذكورة في هذا الباب :

$$C_{av} = \frac{C_1 H_1 + C_2 H_2 + C_3 H_3 + \dots + C_n H_n}{S H_i} \quad (2-58)$$

$$\phi_{av} = \tan^{-1} \frac{H_1 \tan \phi_1 + H_2 \tan \phi_2 + \dots + H_n \tan \phi_n}{S H_i} \quad (2-59)$$

where : C_i = cohesion in stratum of thickness H_i ; c may be 0

ϕ_i = angle of internal friction in stratum of thickness H_i ; ϕ may be zero

رابعاً : طريقة تقريرية لحساب قدرة التحمل للتربة الطوبية :

إذا كانت الطبقات السفلية ذات مقاومة متساوية أو أعلى من مقاومة الطبقة السطحية التي يرتكز عليها الأساس فلا تلزم دراسة تحمل الطبقات السفلية حيث أن جزءاً صغيراً من حمل الأساس سوف ينتقل إلى تلك الطبقات وسوف يكون من السهل لها أن تحمل هذا الجزء الوافر إليها.

أما إذا كانت الطبقات السفلية ذات تحمل أقل أو أضعف فيتم اتباع الآتي :

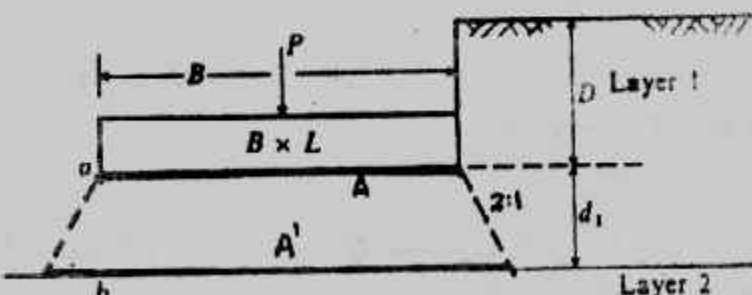
* يوزع حمل الأساس بأى طريقة من طرق حساب الإجهاد الرأسى وأبسطها طريقة ٢ :

وتعين مساحة التحميل عند سطح الطبقة السفلية ولتكن 'A' شكل (٢٤-٢).

* تحسب q_{ult} للطبقة السفلية على اعتبار الحمل الوافر إليها على مساحة 'A' وبأى طريقة من طرق الحساب المذكورة بهذا الباب ومنها :

$$q_{a.net} = \frac{q_{ult} - \gamma D}{FS} = \Delta \delta \quad (2-60)$$

* تحسب القيمة المسموح بها عند منسوب التأسيس من العلاقة :



(٢٤-٢) : توزيع الأحمال

$$q_a = \Delta \delta \cdot \frac{A'}{A} \quad \dots \dots \dots \quad (2-61)$$

* تعتبر أقل قيمة ناتجة من المعادلات السابقة هي قدرة التحمل المسموح بها.

قدرة تحمل الأساسات على المنحدرات :

Bearing Capacity of Footing on Slopes :

تقل قدرة التحمل حينما تتفق الأساسات على منحدرات أو قريباً وتنقص قدرة التحمل كلما زاد ميل هذا الإنحدار وهذا التأثير يكون أكبر في حالة التربة غير المتماسكة، وتحسب قدرة التحمل القصوى لأساسات شريطية Strip footings معرضة لحمل رأسى مركب على منحدر أو قريباً منه، شكل (٢٥-٢) بالخطوات الآتية :

- تحدد نقطة e على المنحدر، وحيث أن خط الإنحدار يمثل مستوى أساسى Principal plane فإن الزاوية α تساوى $(45 - \phi/2)$

- يحدد معامل قدرة التحمل المنخفض N'_c من :

$$N'_c = N_c \frac{L_1}{L_0} \quad \dots \dots \dots \quad (2-62)$$

حيث : L_1 = طول خط الإنزلاق ade في شكل (٢٥-٢).

L_0 = طول خط الإنزلاق ade في شكل (٧-٢)

- يحسب معامل قدرة التحمل المخفض $N'q$ من :

$$N'q = N_q \frac{A'}{A} \quad \dots \dots \dots \quad (2-63)$$

حيث : A_1 : مساحة الجزء gfE في شكل (٥٢-٢)(ا).

أو مساحة الجزء $hgFE$ في شكل (٢٥-٢)(ب)

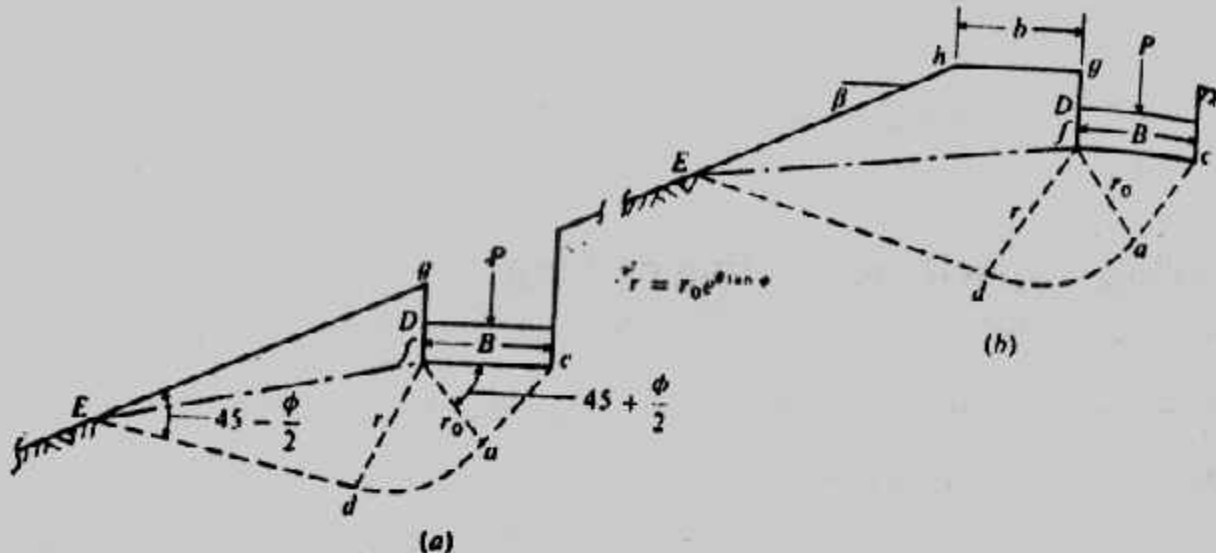
A_0 : مساحة الجزء $ecnm$ في شكل (٧-٢)

- تؤخذ N'_q دون تغيير من جداول معايير هائزون، حيث أن قيمة $N\gamma$ لا تتأثر حيث أنها ترتبط بجزء الاختراق fca .

- تحسب قدرة التحمل باستخدام N'_c ، N'_q ، $N\gamma$ في معادلة هائزون :

$$q_{ult} = cN'_c S_{c,j_c} + qN'_q S_{q,j_q} + \frac{1}{2}\gamma BN'_q d_{q,j_q}$$

ولقد قدم باولسى جداول (٢) لتعيين N'_c ، N'_q مباشرة بدلالة عرض الأساس وبعدة عن المنحدر ومنسوب التأسيس وزاوية الاحتكاك الداخلى وزاوية ميل المنحدر.



شكل (٢٥-٢) الأسس على الميل أو بجوارها.

ولتعيين قدرة التحمل للأساس غير شريطي على منحدر أو قريب منه تستخدم العلاقة الآتية :
 ولأساس شريطي على سطح أفقى q_{ult} للأساس شريطي على سطح منحدر

q_{ult} للأساس غير شريطي على سطح أفقى q_{ult} للأساس شريطي على سطح منحدر
 كما يجب التأكيد من ثبات الميل تحت تأثير الأسسات على المنحدرات أو قربا منها :

Example (2-15):

Given : A strip footing near the edge of a slope. The angle of internal friction is obtained from interpretation of the reference figure of ϕ versus confining pressure.

Slope = 1 on 2 ($\beta = 26.5^\circ$) and "compact sand"

$$\phi_t = 36^\circ \quad c = 0 \quad \gamma = 14.85 \text{ kN/m}^3$$

Case I : $b/B = 0.75$, $D/B = 1.50$

Case II : $b/B = 1.50$, $D/B = 0.0$

Required : q_{ult}

Soltuion : Case I :

$$(a) \text{ By cited method, } q_{ult} = cN_c + \frac{1}{2}\gamma BN_{eq}$$

$$\text{and } N\gamma q \approx 120$$

$$q_{ult} = \frac{1}{2} (14.86)(120) B = 891B$$

- (b) Using the Hansen Ny. Do not adjust ϕ_{tr} to ϕ_{ps} . For strip footing
 $S_q = S_c = S_\gamma = d_\gamma = 1.0$
 $D = 1.5B$

$$q_{ult} = \gamma D N_q + \frac{1}{2} B N_\gamma$$

$N'_q = 27$ (obtained and not direct linear interpolation)

$N_\gamma = 38$ (direct computation of Hansen value)

$$\begin{aligned} q_{ult} &= \bar{q} N_q + \frac{1}{2} \gamma B N_\gamma \\ &= 14.85 (1.5B)(27) + \frac{1}{2} (14.85) B(38) \\ &= 601 B + 282B = 883B < 891B \end{aligned}$$

Case II: For a footing on the surface ($D/B = 0$) and at $1.5B$ from the edge of slope ($b/B = 1.5$). Experimentally.

$$q_{ult} = \frac{1}{2} (14.85)(B)(35) = 260B \text{ kpa}$$

By Bowles, $\bar{q} = 0$ and $N_\gamma = 38$ (computed)

$$q_{ult} = \frac{1}{2} (14.85)(B)(38) = 282B \text{ kpa}$$

The largest difference is obtained at $D/B = 0$ and $b/B = 0$. These experimental results will be greatly influenced by lack of confinement at $D/B = 0$ and produce results which are different from theory. Note, however, no one would place a footing at $D/B = 0$ on sand.

(Bowles): معاملات قدرة التحمل للأسasات على الميل أو القريب منها (جدول ١٢-٢)

β	$D/B = 0$					$b/B = 0$					$D/B = 0.75$					$b/B = 0$					$D/B = 1.00$					$b/B = 0$				
	$\phi = 0$	10	20	30	40	$\phi = 0$	10	20	30	40	$\phi = 0$	10	20	30	40	$\phi = 0$	10	20	30	40	$\phi = 0$	10	20	30	40	$\phi = 0$	10	20	30	40
0	$N_q =$ $N_\gamma =$	5.14 1.03	8.33 2.47	14.83 6.40	30.14 18.40	73.31 64.20	5.14 1.03	8.33 2.47	14.83 6.40	30.14 18.40	73.31 64.20	5.14 1.03	8.33 2.47	14.83 6.40	30.14 18.40	73.31 64.20	5.14 1.03	8.33 2.47	14.83 6.40	30.14 18.40	73.31 64.20	5.14 1.03	8.33 2.47	14.83 6.40	30.14 18.40	73.31 64.20				
10		4.89 1.03	7.80 2.47	13.37 6.40	26.80 18.40	64.42 54.20	5.14 1.03	8.33 2.47	14.83 6.40	30.14 18.40	73.31 64.20	5.14 1.03	8.33 2.47	14.83 6.40	30.14 18.40	73.31 64.20	5.14 1.03	8.33 2.47	14.83 6.40	30.14 18.40	73.31 64.20	5.14 1.03	8.33 2.47	14.83 6.40	30.14 18.40	73.31 64.20				
20		4.63 1.03	7.28 2.47	12.39 6.40	23.78 18.40	55.01 44.20	5.14 1.03	8.33 2.47	14.83 6.40	30.14 18.40	66.51 56.20	5.14 1.03	8.33 2.47	14.83 6.40	30.14 18.40	73.31 64.20	5.14 1.03	8.33 2.47	14.83 6.40	30.14 18.40	73.31 64.20	5.14 1.03	8.33 2.47	14.83 6.40	30.14 18.40	73.31 64.20				
30		4.31 1.03	6.72 2.47	11.82 6.40	22.34 18.40	50.80 44.20	5.14 1.03	8.33 2.47	14.83 6.40	30.14 18.40	58.76 48.20	5.14 1.03	8.33 2.47	14.83 6.40	30.14 18.40	73.31 64.20	5.14 1.03	8.33 2.47	14.83 6.40	30.14 18.40	73.31 64.20	5.14 1.03	8.33 2.47	14.83 6.40	30.14 18.40	73.31 64.20				
40		4.38 1.03	6.72 2.47	11.28 6.40	21.03 18.40	46.33 40.20	5.14 1.03	8.33 2.47	14.83 6.40	30.14 18.40	57.76 48.20	5.14 1.03	8.33 2.47	14.83 6.40	30.14 18.40	73.31 64.20	5.14 1.03	8.33 2.47	14.83 6.40	30.14 18.40	73.31 64.20	5.14 1.03	8.33 2.47	14.83 6.40	30.14 18.40	73.31 64.20				
60		3.42 1.03	5.33 2.47	8.33 6.40	14.34 18.40	28.56 34.20	4.70 0.37	6.83 0.63	10.55 1.17	17.85 2.34	34.84 3.52	5.14 1.03	8.33 2.47	14.83 6.40	30.14 18.40	73.31 64.20	5.14 1.03	8.33 2.47	14.83 6.40	30.14 18.40	73.31 64.20	5.14 1.03	8.33 2.47	14.83 6.40	30.14 18.40	73.31 64.20				
	$D/B = 0$					$b/B = 0.75$					$D/B = 0.75$					$b/B = 0.75$					$D/B = 1.00$					$b/B = 1.00$				
	$\phi = 0$	10	20	30	40	$\phi = 0$	10	20	30	40	$\phi = 0$	10	20	30	40	$\phi = 0$	10	20	30	40	$\phi = 0$	10	20	30	40	$\phi = 0$	10	20	30	40
10		5.14 1.03	8.33 2.47	14.34 6.40	28.02 18.40	66.80 54.20	5.14 1.03	8.33 2.47	14.83 6.40	30.14 18.40	73.31 64.20	5.14 1.03	8.33 2.47	14.83 6.40	30.14 18.40	73.31 64.20	5.14 1.03	8.33 2.47	14.83 6.40	30.14 18.40	73.31 64.20	5.14 1.03	8.33 2.47	14.83 6.40	30.14 18.40	73.31 64.20				
20		5.14 1.03	8.31 2.47	13.90 6.40	26.19 18.40	59.21 44.20	5.14 1.03	8.33 2.47	14.83 6.40	30.14 18.40	71.11 53.20	5.14 1.03	8.33 2.47	14.83 6.40	30.14 18.40	73.31 64.20	5.14 1.03	8.33 2.47	14.83 6.40	30.14 18.40	73.31 64.20	5.14 1.03	8.33 2.47	14.83 6.40	30.14 18.40	73.31 64.20				
30		5.14 1.03	8.27 2.47	13.49 6.40	24.27 18.40	53.16 44.20	5.14 1.03	8.33 2.47	14.83 6.40	30.14 18.40	57.76 48.20	5.14 1.03	8.33 2.47	14.83 6.40	30.14 18.40	73.31 64.20	5.14 1.03	8.33 2.47	14.83 6.40	30.14 18.40	73.31 64.20	5.14 1.03	8.33 2.47	14.83 6.40	30.14 18.40	73.31 64.20				
40		5.14 1.03	8.27 2.47	13.17 6.40	20.43 18.40	50.44 44.20	5.14 1.03	8.33 2.47	14.83 6.40	30.14 18.40	57.76 48.20	5.14 1.03	8.33 2.47	14.83 6.40	30.14 18.40	73.31 64.20	5.14 1.03	8.33 2.47	14.83 6.40	30.14 18.40	73.31 64.20	5.14 1.03	8.33 2.47	14.83 6.40	30.14 18.40	73.31 64.20				
	$D/B = 0$					$b/B = 1.00$					$D/B = 0.75$					$b/B = 1.00$					$D/B = 1.00$					$b/B = 1.00$				
	$\phi = 0$	10	20	30	40	$\phi = 0$	10	20	30	40	$\phi = 0$	10	20	30	40	$\phi = 0$	10	20	30	40	$\phi = 0$	10	20	30	40	$\phi = 0$	10	20	30	40
10		5.14 1.03	8.35 2.47	14.83 6.40	29.24 18.40	68.78 54.20	5.14 1.03	8.35 2.47	14.83 6.40	30.14 18.40	73.31 64.20	5.14 1.03	8.35 2.47	14.83 6.40	30.14 18.40	73.31 64.20	5.14 1.03	8.35 2.47	14.83 6.40	30.14 18.40	73.31 64.20	5.14 1.03	8.35 2.47	14.83 6.40	30.14 18.40	73.31 64.20				
20		5.14 1.03	8.35 2.47	14.83 6.40	28.59 18.40	63.80 54.20	5.14 1.03	8.35 2.47	14.83 6.40	30.14 18.40	73.31 64.20	5.14 1.03	8.35 2.47	14.83 6.40	30.14 18.40	73.31 64.20	5.14 1.03	8.35 2.47	14.83 6.40	30.14 18.40	73.31 64.20	5.14 1.03	8.35 2.47	14.83 6.40	30.14 18.40	73.31 64.20				
30		5.14 1.03	8.35 2.47	14.83 6.40	28.33 18.40	61.41 54.20	5.14 1.03	8.35 2.47	14.83 6.40	30.14 18.40	72.80 53.20	5.14 1.03	8.35 2.47	14.83 6.40	30.14 18.40	73.31 64.20	5.14 1.03	8.35 2.47	14.83 6.40	30.14 18.40	73.31 64.20	5.14 1.03	8.35 2.47	14.83 6.40	30.14 18.40	73.31 64.20				
40		5.14 1.03	8.35 2.47	14.83 6.40	28.09 18.40	59.44 54.20	5.14 1.03	8.35 2.47	14.83 6.40	30.14 18.40	70.32 56.41	5.14 1.03	8.35 2.47	14.83 6.40	30.14 18.40	73.31 64.20	5.14 1.03	8.35 2.47	14.83 6.40	30.14 18.40	73.31 64.20	5.14 1.03	8.35 2.47	14.83 6.40	30.14 18.40	73.31 64.20				
	$D/B = 0$					$b/B = 1.00$					$D/B = 0.75$					$b/B = 1.00$					$D/B = 1.00$					$b/B = 1.00$				
	$\phi = 0$	10	20	30	40	$\phi = 0$	10	20	30	40	$\phi = 0$	10	20	30	40	$\phi = 0$	10	20	30	40	$\phi = 0$	10	20	30	40	$\phi = 0$	10	20	30	40
10		5.14 1.03	8.35 2.47	14.83 6.40	29.24 18.40	68.78 54.20	5.14 1.03	8.35 2.47	14.83 6.40	30.14 18.40	73.31 64.20	5.14 1.03	8.35 2.47	14.83 6.40	30.14 18.40	73.31 64.20	5.14 1.03	8.35 2.47	14.83 6.40	30.14 18.40	73.31 64.20	5.14 1.03	8.35 2.47	14.83 6.40	30.14 18.40	73.31 64.20				
20		5.14 1.03	8.35 2.47	14.83 6.40	28.59 18.40	63.80 54.20	5.14 1.03	8.35 2.47	14.83 6.40	30.14 18.40	73.31 64.20	5.14 1.03	8.35 2.47	14.83 6.40	30.14 18.40	73.31 64.20	5.14 1.03	8.35 2.47	14.83 6.40	30.14 18.40	73.31 64.20	5.14 1.03	8.35 2.47	14.83 6.40	30.14 18.40	73.31 64.20				
30		5.14 1.03	8.35 2.47	14.83 6.40	28.33 18.40	61.41 54.20	5.14 1.03	8.35 2.47	14.83 6.40	30.14 18.40	72.80 53.20	5.14 1.03	8.35 2.47	14.83 6.40	30.14 18.40	73.31 64.20	5.14 1.03	8.35 2.47	14.83 6.40	30.14 18.40	73.31 64.20	5.14 1.03	8.35 2.47	14.83 6.40	30.14 18.40	73.31 64.20				
40		5.14 1.03	8.35 2.47	14.83 6.40	28.09 18.40	59.44 54.20	5.14 1.03	8.35 2.47	14.83 6.40	30.14 18.40	70.32 56.41	5.14 1.03	8.35 																	

قدرة التحمل من اختبار الاختراق القياسي : Bearing Capacity from SPT

اختبار الاختراق القياسي من الاختبارات الهامة التي تجرى في الموقع أثناء تنفيذ الجسات ولذلك فمن الأهمية تعين قدرة التحمل من نتائج هذا الاختبار على اعتبار حدوث هبوط مقداره ٢٥ مم :

$$\text{For } B \leq 1.2 \text{ m} : q_{\text{net.all}} = 11.98 \text{ N kN/m}^2 \quad (2-64)$$

$$\text{For } B > 1.2 \text{ m} : q_{\text{net.all}} = 7.88 \text{ N} \left(\frac{3.28B+1}{3.28B} \right)^2 \text{ kN/m}^2 \quad (2-65)$$

N = corrected standard penetration number

ويقترح بولس Bowles زيادة قدرة التحمل الصافية المسموح بها بمقدار لا يقل عن ٥٠٪ لتصبح القيم المعد لها على النحو الآتي :

$$\text{For } B \leq 1.2 \text{ m} : q_{\text{net.all}} = 19.16 \text{ N } F_d \left(\frac{S}{25.4} \right) \text{ kN/m}^2 \quad (2-66)$$

$$\text{For } B > 1.2 \text{ m} : q_{\text{net.all}} = 11.98 \text{ N} \left(\frac{3.28B+1}{3.25B} \right)^2 F_d \left(\frac{S}{25.4} \right) \text{ kN/m}^2 \quad (2-67)$$

$$F_d = \text{depth factor} = \left(1 + 0.33 \frac{D_f}{B} \right) \leq 1.33$$

ويمكن حساب قدرة التحمل الصافية المسموح بها من الأشكال (٢٦-٢، ب، ج) كما يمكن حساب قدرة التحمل المسموح بها من :

$$\text{For } B \leq 1.2 \text{ m} : q_{\text{all}} = \frac{N}{0.05} F_d \text{ kN/m}^2 \quad (2-68)$$

$$\text{For } B > 1.2 \text{ m} : q_{\text{all}} = \frac{N}{0.08} \left(\frac{B+0.3}{B} \right)^2 F_d \text{ kN/m}^2 \quad (2-69)$$

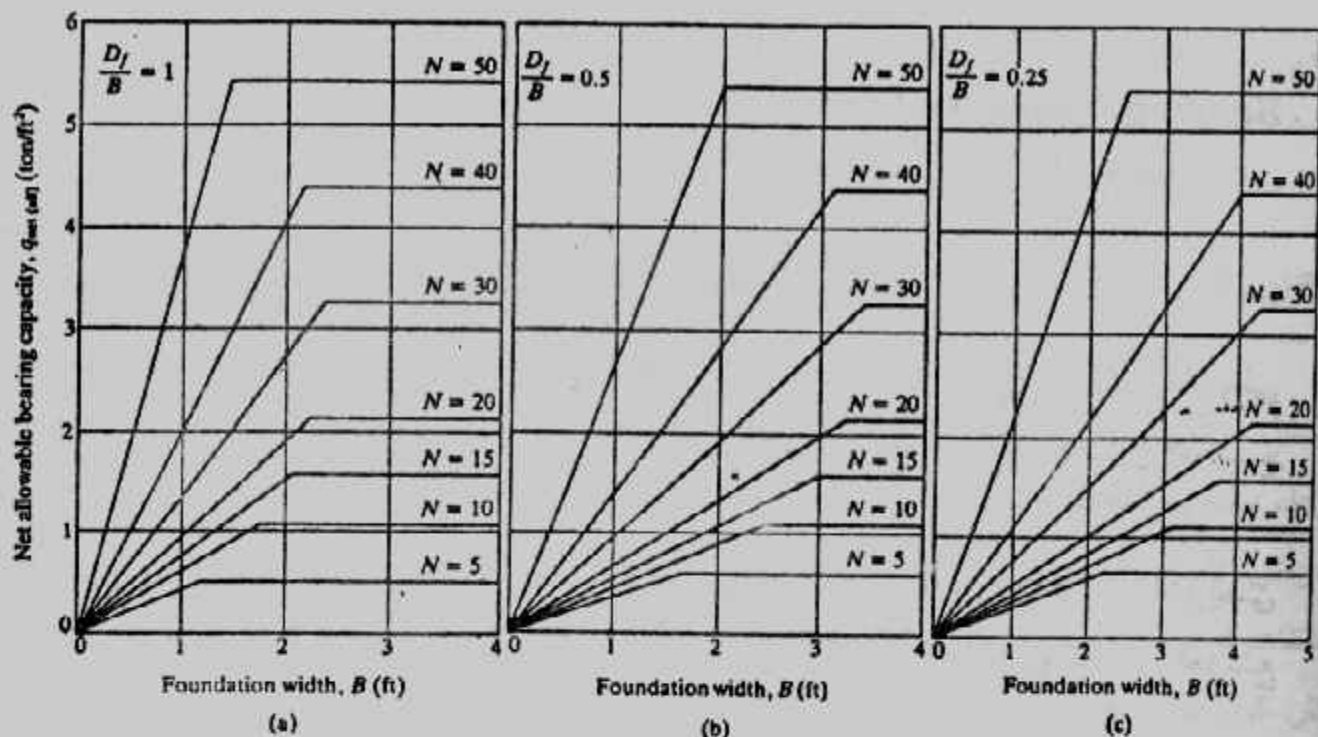
وفي حالة الحساب لهبوط يختلف عن ٢٥ مم تستخدم :

$$q_{\text{all}} = \frac{S}{25} q_{\text{all}} \quad (\text{إي هبوط } S) \quad (2-70)$$

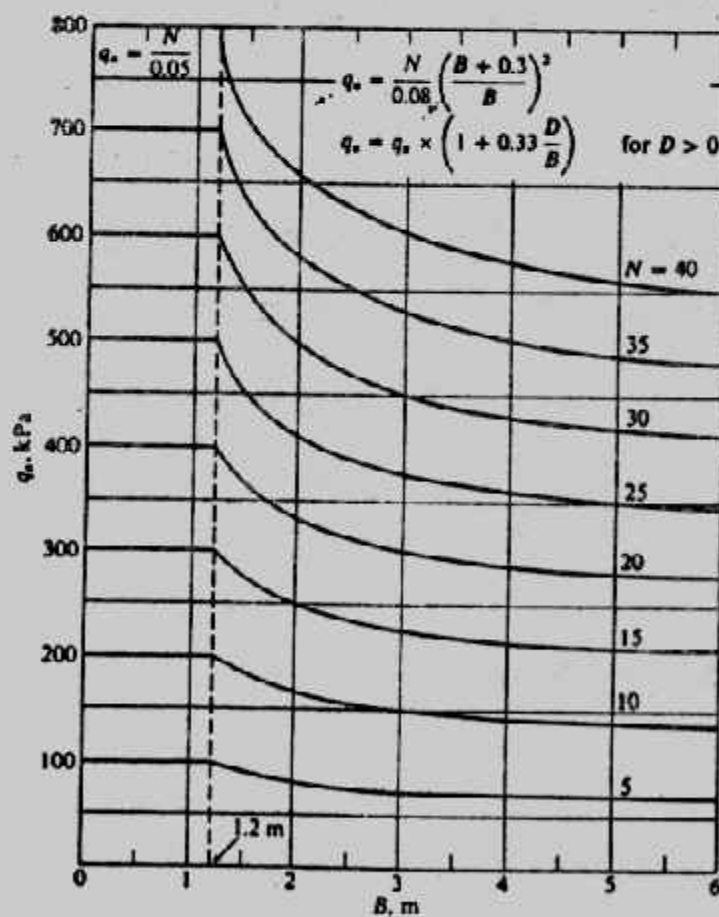
S = Settlement in mm.

كما يمكن تعين q_{all} من المنحنيات في شكل ٢ - ٢٧ طبقاً لقيم N ، B كما يجب ملاحظة أن N المستخدمة في العلاقات السابقة وفي المنحنيات هي N بعد إجراء التصحيحات الازمة . كما قدم بارى Parry معادلة عامة :

$$q_{\text{ult}} = 30 \text{ N kN/m}^2 (D \leq B) \quad (2-71)$$



شكل (٢-٢): تعيين قدرة التحمل الصافية الآمن من N



شكل (٢-٢٧): قدرة التحمل المسموح بها لهبوط أقصى ٤٥ مم

قدرة التحمل من اختبار الاختراق بالمخروط :

Bearing Capacity from CPT

اما إذا أجري اختبار الاختراق بالمخروط في الموقع فإنه يمكن تقدير قدرة التحمل من نتيجة هذا الاختبار q_{ij} :

$$q_{ult} = 28 - 0.0052 (300 - q_c)^{1.5} \quad \text{kg/cm}^2 \quad \dots \dots \dots (2-72)$$

$$q_{ult} = 48 - 0.009 (300 - q_c)^{1.5} \quad \text{kg/cm}^2 \quad \dots \dots \dots (2-73)$$

وَلِلرَّبَّةِ الطَّيِّبَةِ :

$$q_{ult} = 2 + 0.28 q_c \quad \text{kg/cm}^2 \quad \dots \dots \dots (2-74)$$

$$q_{ult} = 5 + 0.34 q_c \quad \text{kg/cm}^2 \quad \dots \dots \dots (2-75)$$

كما يمكن تعين قدرة التحمل الآمنة الصافية من :

$$\text{For } B > 1.2 \text{ m, } q_{\text{net all}} = \frac{q_c}{25} \left(\frac{3.28B + 1}{3.28B} \right)^2 \quad \dots \dots \dots (2-77)$$

S = 25.4 mm هبوط مقدار ها

كما يمكن تعين قدرة التحمل المسموحة بها من :

B ≤ 1.2m للقواعد المربيعة والشرطيّة، حينما يكون:

B > 1.2 m للقواعد المربعة والشريطية، حينما يكون

$$q_{all} = 2.1 q_c \left(1 + \frac{1}{B}\right)^2 \text{ kN/m}^2 \approx \frac{q_c}{50} \left(1 + \frac{1}{B}\right)^2 \text{ kg/cm}^2 \quad \dots \dots \dots (2-79)$$

نَصْفَةُ عَامَةٍ :

$$q_{all} = 2.7 q_c \text{ kN/m}^2 \approx \frac{q_c}{40} \text{ kg/cm}^2 \quad \dots \dots \dots \quad (2-80)$$

كما يُعْكَن إِيجاد N من b :

ومن N يمكن تعين قدرة التحمل بأى من الطرق المذكورة سالفاً، ويجب ملاحظة أن القيم السابقة تخضع للنصف إذا كان الرمل المتأثر بالأساس مغموراً، وتضاعف في حالة أساس اللبسة أو الدعامات.

تعين قدرة التحمل من اختبار التحميل الموقعي : Field Load Test

قدرة التحمل القصوى وكذلك قدرة التحمل الآمنة للهبوط يمكن تعبيئهما من اختبار تحميل موقعى يسمى التحميل باللوح Plate Load Test ويفضل إجراء هذا الاختبار فى الموقع وعند منسوب التأسيس المقترن فى حالة تجانس التربة وعند كل طبقة حتى عمق يساوى ضعف عرض الأساس المقترن أسفل منسوب التأسيس إذا كانت التربة متعددة الطبقات وفي هذا الاختبار يستخدم لوح من الصلب تختانه ٢٥ مم وبقطر أو طول ضلع يتراوح بين ١٥ إلى ٧٥ سم وإن كان أشهر لوح مستخدم هو 30.5×30.5 سم (مربع الشكل).

وعند تنفيذ الاختبار يتم الحفر إلى عمق التأسيس أو إلى عمق لا يقل عن أربع أمثال عرض لوحة اللوح ثم يوضع اللوح في مركز الحفرة ويتم تحميشه على مراحل تعادل ١/٤ إلى ٥/١ الحمل الأقصى المحسوب باستخدام رافعة هيدروليكيّة شكل (٢٨-٢)، وكل مرحلة تحميشه سجل الهبوط باستخدام مقياس الانفعال Dial gauge وتؤثر كل مرحلة تحميشه لفترة لا تقل عن ساعة واحدة قبل التأثير بالحمل التالي . ويستمر التحميل للوصول إلى مرحلة الإنهيار أو حدوث هبوط مقداره ٢٥ مم . وتمثل العلاقة بين الأحمال والهبوط ومنها يتم الحصول على أقصى حمل لوحدة المساحة من اللوح وهو الذي يحدث عنده تغير كبير في ميل المنحنى بمقاييس لوغاريتmic شكل (٢٨-٢) .

ومن نتائج هذا الاختبار يمكن تعين قدرة التحمل القصوى وفقا لنوع التربة :

بالنسبة للثانية المتداشكة :

بالنسبة للترابة الغير متماسكة :

where : B_F = width of the foundation

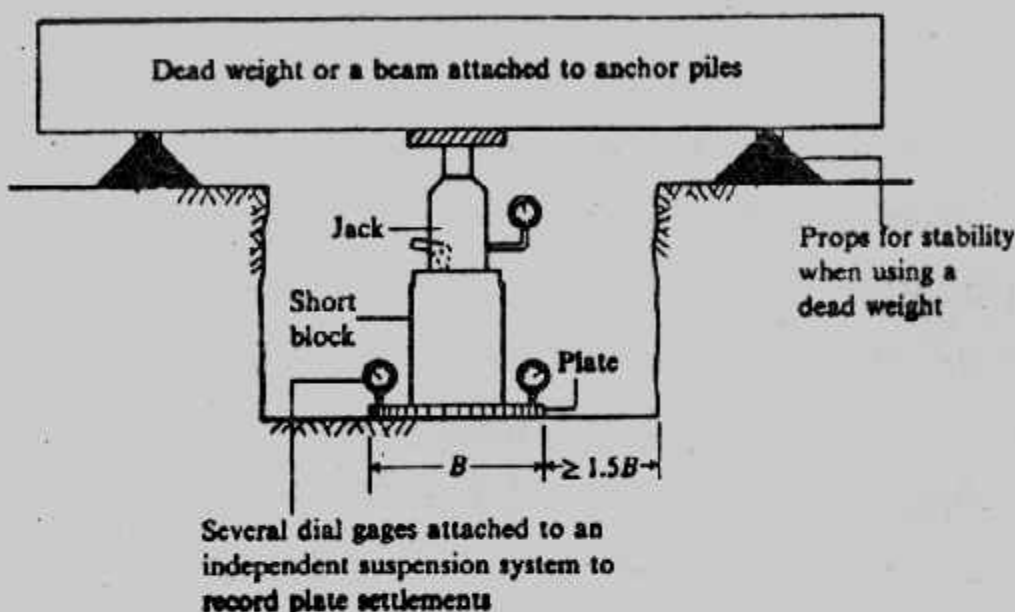
B_p = width of the test plate

$q_u(F)$ = ultimate bearing capacity of proposed foundation.

$q_u(P)$ = ultimate bearing capacity of the test plate.

ولحصول على قدرة التحمل المسموح بها باعتبار الهبوط في الحساب تستخدم المعادلات الآتية:

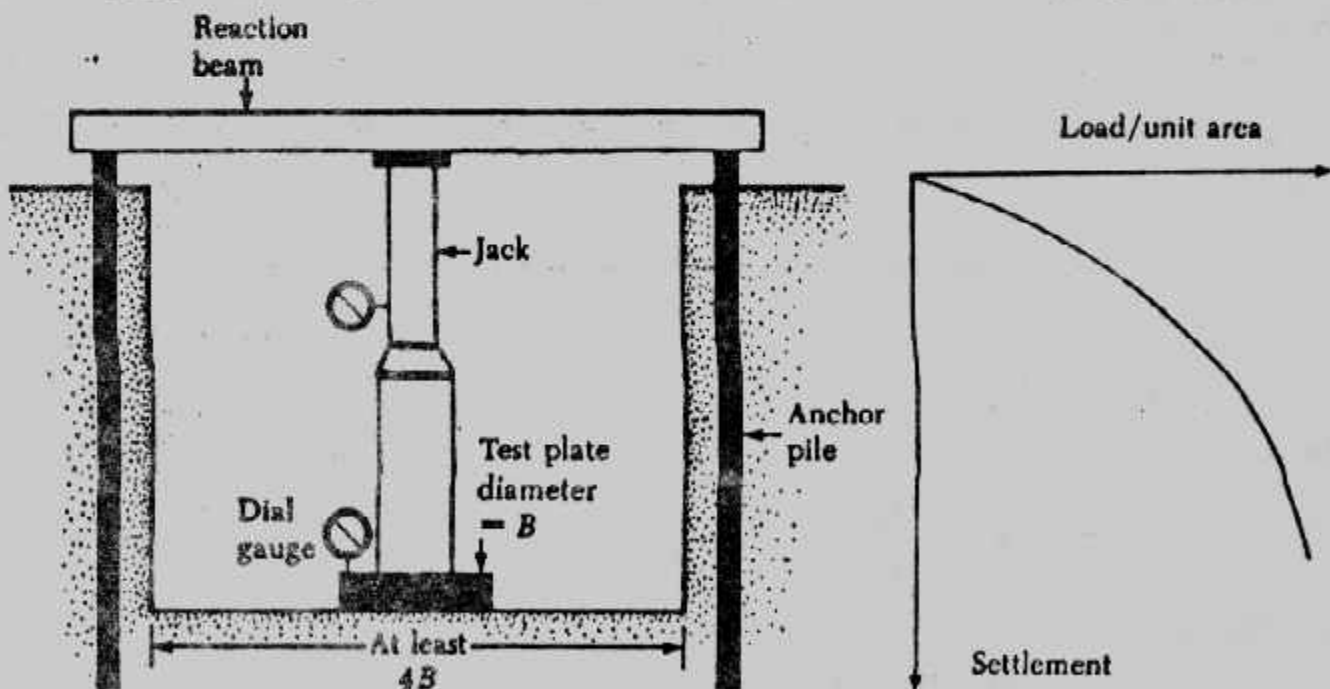
$$S_F = S_p \left(\frac{B_F}{B_p} \right)^2 \left(\frac{3.28 B_p + 1}{3.28 B_p + 1} \right)^2 \quad (\text{for sandy soil}) \dots \quad (2-85)$$



أ- اختبار التحميل باجمال

بـ- اختبار التحميل بخوازيق

جـ- عـلـاقـةـ الـهـبـوتـ بـالـحـمـلـ



شكل (٨-٢) اختبار التحميل الموقعي

ويمكن حساب قدرة التحمل باعتبار الهبوط في الحساب بتنفيذ اختيار التحميل على لوحين مفردين أبعادهما B_1 ، B_2 ويتم الحصول على أقصى حمل لكل منها Q_1 ، Q_2 ونجد أن :

where : A_1, A_2 = areas of the plates No. 1 and No.2, respectively

P_1, P_2 = perimeters of the plates No. 1 and No.2, respectively.

m , n = two constants that correspond to the bearing pressure and perimeter shear, respectively.

وقيمة m, n تعنيان بحل المعادلتين السابقتين ولائي أساس في هذا الموقع يكون :

where : A = area of the foundation

P = perimeter of the foundation

ومن هذه المعادلة يمكن تعدين عرض الأرض من مساحته :

Example 2-16 :

The results of a plate load test in a sandy soil are shown in Fig. (2-29). The size of the plate is 0.305 m x 0.305 m. Determine the size of a square column foundation that should carry a load of 2500 kN with a maximum settlement of 25 mm.

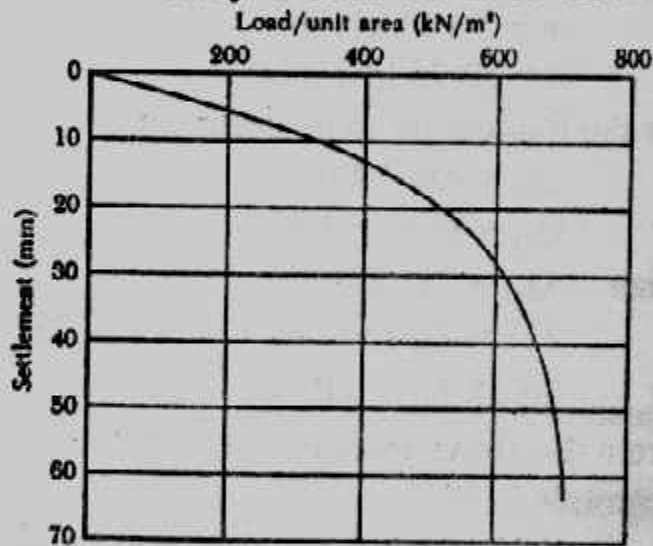


Fig. (2-29)

Solution :

The problem has to be solved by a trial and error procedure. Use the following table and Eq (2-85).

Q (kN) (1)	Assume width B_f , (m) (2)	$\epsilon_0 = \frac{Q}{B_f^2}$ (kN/m ²) (3)	S_p corresponding to ϵ_0 in Col. 3 (mm) (4)	S_p from Eq. (3.116) (mm) (5)
2500	4.0	156.25	4.0	13.80
2500	3.0	277.80	8.0	26.35
2500	3.2	244.10	6.8	22.70
2500	3.1*	260.10	7.2	23.86

* So, a column footing with dimensions of 3.1 m x 3.1 m will be appropriate.

* So, a column footing with dimensions of 3.1 m x 3.1 m will be appropriate.

Example 2-17 :

The results of two plate load tests are given in the following table.

Plate diameter, B (m)	Total load, Q (kN)	Settlement (mm)
0.305	32.2	20
0.610	71.8	20

A square column foundation has to be constructed to carry a total load of 715 kN. The tolerable settlement is 20 mm. Determine the size of the foundation.

Solution :

Referring to Eqs. (2-86) and (2-87)

$$32.2 = \frac{\pi}{4} (0.305)^2 + \pi(0.305)n \quad \dots \dots \dots \text{(a)}$$

$$71.8 = \frac{\pi}{4} (0.610)^2 m + \pi(0.610)n \quad \dots \dots \dots \text{(b)}$$

From the preceding two equations,

$$m = 50.68 \text{ kN/m}^2$$

$$n = 29.75 \text{ kN/m}$$

for the foundation to be designed

$$Q_o = Am + Pn$$

$$\text{or } Q_o = B_f^2 m + 4 B_f n$$

$$\text{Given : } Q_o = 715 \text{ kN. So,}$$

$$715 = B_f^2 (50.68) + 4 B_f (29.75)$$

$$\text{or } 50.68 B_f^2 + 119 B_f - 715 = 0$$

From the above equation, $B_f \approx 2.8 \text{ m}$

Example 2-18 :

A footing $3 \text{ m} \times 3 \text{ m}$ is existing over a sandy soil. The maximum settlement allowed is 15 cm. Two load tests are made of the site, one with a $1 \text{ m} \times 1 \text{ m}$ test plate and the other with a $2.0 \text{ m} \times 2.0 \text{ m}$ plate. For 1.5 cm settlements, the corresponding loads for the two tests were found to be 10 tonnes and 30 tonnes respectively. Calculate the bearing capacity of the soil. What load the $5 \text{ m} \times 5 \text{ m}$ footing shall be able to carry on the same soil?

Solution : Following equation has been given by Housel to determine bearing capacity of the soil.

$$W = Ap = Am + Pn$$

where : W = total load in kg.

A = area in m^2 .

P_o = perimeter in metres.

p = bearing capacity in kg/m^2 .

m = comp. stress on soil in column directly below the foundation in kg/m^2 .

n = perimeter shear in kg/m.

For 1 m x 1 m test plate

$$A = 1 \times 1 = 1 \text{ m}^2$$

$$P = 4 \times 1 = 4m$$

$$W = Am + Pn \text{ or } 10,000 = x + 4y \dots \quad (1)$$

For 2.0 m x 2.0 m test plate

$$A = 2.0 \times 2.0 = 4.0 \text{ m}^2$$

$$P = 4 \times 2.0 = 8.0 \text{ m}$$

Taking 2nd case

$$30,000 = 4m + 8n$$

Solving for m and n (2)

$$\text{and } 20,000 = 2m + 8n$$

For which, we get $m = 5000$ and $n = 1250$

Now for 5 m x 5 m footing

$$A = 5 \times 5 = 25 \text{ m}^2$$

$$\text{and } P = 4 \times 5 = 20\text{m}^2$$

Now, we have $\mathbf{AP} = \mathbf{Ax} + \mathbf{Py}$

$$\text{or } \mathbf{P} = \mathbf{m} + \frac{\mathbf{P}}{A} \mathbf{n}$$

$$= 5000 + \frac{20}{25} \times 1250$$

$$= 5000 + 1000 = 6000 \text{ kg/m}^2$$

The maximum load which the footing of 5 m x 5 m size can take with a maximum settlement of 1.5 cm.

$$W = p A = 6000 \times 5 \times 5$$

Hence, bearing capacity of the soil is 6000 kg/m^2 and the given footing will be able to take 150 tonnes of load.

Example 2-19 :

A structure was built on a raft foundation. The raft rested at the ground surface on a stratum of uniform soft clay ($\phi = 0$) which extended to a depth of 50 m. If failure occurred at a uniformly distributed load of 25 tonnes sq. m, and size of the raft was 20m x 20m, calculate the average value of c for the clay.

Solution : From equation 2-6 bearing capacity for a square footing is given by

$$q = 1.3cN_c + \gamma d N_d + 0.4\gamma b N_y$$

Since the foundation is at ground surface $d = 0$ and hence 2nd term of the equation will vanish.

Again for $\phi = 0$, bearing capacity factors $N_c = 5.70$, $N_q = 1.00$ and $N_y = 0$ hence we are having above expression as $q = 1.3 c N_c$

Since at stress of 25 tonnes/m^2 failure occurred hence this may be taken as ultimate value of bearing capacity.

$$\therefore 25 = 1.3 c \times 5.70$$

$$\therefore c = \frac{25}{5.7 \times 1.3} = 3.37 \text{ tonnes/m}^2.$$

\therefore Average value of cohesion for the clay = 3.37 t/m^2 .

Example 2-20 :

Size of an isolated footing is to be limited to 1.5 metres square. Calculate the depth at which the footing should be placed to take a load of 200 tonnes, with a factor of safety 3. The soil is having angle of internal friction $\phi = 30^\circ$.

Given : Weight of the footing 5% of the external load.

Weight of the soil 2.1 gm/c.c.

Bearing capacity factor for $\phi = 30^\circ$, $N_q = 22$ and $N_y = 20$

Solution: The soil is sandy, therefore, it is assumed that there is no cohesion in the soil.

From equation (2-6) allowable bearing capacity of a square footing.

$$qa = \frac{1}{F} [\gamma \cdot d (N_q - 1) + 0.4 \gamma b N_y] + \gamma \cdot d$$

$$\text{Now total load} = 200 + \frac{200 \times 5}{100} = 210 \text{ tonnes.}$$

$$\therefore \frac{210}{1.5 \times 1.5} = \frac{1}{3} [2.1 \times d (22-1) + 0.4 \times 2.1 \times 1.5 \times 20] + 2.1 \times d$$

$$= \frac{1}{3} [2.1 \times 21 \times d + 25.2] + 2.1 d$$

$$= [14.7 d + 8.4 + 2.1 d]$$

$$\text{or } 16.8 d = 93.4 - 8.4 = 85$$

$$d = \frac{85.0}{16.8} = 5.6 \text{ metres.}$$

\therefore The footing will be placed at 5.6 metres below the ground level.

Example 2-21 :

A load test was made with a 35 cm square plate at a depth of one metre below the ground level in soil with $\phi = 0$. The watertable was located at a depth 5 metres below the ground level. Failure occurred at a load of 5200 kg. What would be the ultimate bearing capacity per unit area for a 1.6

metres wide continuous footing with its base located at the same depth in the same soil? Unit weight of soil was 1.9 gm/c.c. above watertable. For $\phi = 0$, $N_c = 5.7$, $N_q = 1$ and $N_y = 0$.

Solution : For square footing ultimate bearing capacity

$$q_u = [1.3 c N_c + \gamma d N_q + 0.4 \gamma b. N_y]$$

Taking the case of load test.

$$b = 0.35 \text{ m}, d = 1 \text{ and since } \phi = 0, N_y = 0$$

and hence the term containing N_y of the above equation will be zero.

$$q_u = 1.3 c N_c + \gamma d. N_q$$

$$\text{or } \frac{5200}{1000 \times 0.35 \times 0.35} = 5.7 \times 1.3c + 1.9$$

$$\text{or } \frac{5.2}{0.35 \times 0.35} = 5.7 \times 1.3c + 1.9$$

$$7.42c = 42.5 - 19 = 40.6$$

$$c = \frac{40.6}{7.42} = 5.47 \text{ tonnes/m}^2.$$

Now taking the case of continuous footing of width 1.6 m. Ultimate bearing capacity.

$$\begin{aligned} q_u &= c N_c - \gamma d N_q + \frac{1}{2} \gamma b. N_y \\ &= 5.47 \times 5.7 + 1.9 \times 1 \times 1 + 0 \\ &= 31.2 + 1.9 = 33.1 \text{ tonnes/m}^2. \end{aligned}$$

Example 2-22 :

A 3.0 metres strip footing rests 2.5 metres below ground level over sandy clay having unit weight of 2250 kg/m^3 . Quick tests in a shear box apparatus gave shear strength of $0.37 \text{ and } 0.50 \text{ kg/cm}^2$ for normal stress of $0.75 \text{ and } 1.5 \text{ kg/m}^2$ respectively. Find out the cohesion and angle of internal friction. From Terzaghi's formula calculate the ultimate load per metre run of the foundation.

Given that $N_c = 9$, $N_q = 3.5$ and $N_y = 2$

Solution : We have the Coulomb equation $\tau = c + \sigma \tan \phi$. For first case of shear test.

$$0.37 = c + 0.75 \tan \phi \quad \dots \dots \dots \text{(i)}$$

and for second case shear test

$$0.50 = c + 1.5 \tan \phi \quad \dots \dots \dots \text{(ii)}$$

Solving Eqs. (i) and (ii) for ϕ and c

$$\tan \phi = 0.1733 \therefore \phi = 9.83^\circ \text{ and } c = 0.25 \text{ kg/cm}^2.$$

From Eq. (8.11) ultimate bearing capacity

$$\begin{aligned}
 q_c &= cN_c + \frac{1}{2} d N_q + \frac{1}{2} \gamma b N_\gamma \\
 &= \frac{0.25 \times 100 \times 100}{1000} \times 9 + \frac{2250}{1000} \times 2.5 \times 3.5 + \frac{1}{2} \\
 &\quad \times \frac{2250}{1000} \times 3 \times 2 \\
 &= 2.5 \times 9 + 2.25 \times 2.5 \times 3.5 + 2.25 \times 3 \\
 &= 22.5 + 19.7 + 6.75 = 48.95 \text{ tonnes/m}^2.
 \end{aligned}$$

Ultimate load per metre run of the foundation.

$$= 48.95 \times 3.0$$

$$= 146.85 \text{ tonnes per metre length.}$$

قيمة إسترشادية لقدرة التحمل

كثير من الكودات والمواصفات العامة تقدم قيمة لقدرة التحمل المسموح بها لاستعين بها المهندسون كقيمة إرشادية أو تقديرية، وفي المبانى الصغيرة أو المؤقتة قد تكون هذه القيم كافية، ولكن للمبانى والمنشآت الكبيرة تكون هذه القيم استرشادية وبدانة فقط وذلك لأن هذه القيم لم تأخذ فى الاعتبار تاريخ إجهاد التربة ووضع المياه الجوفية ومنسوب التأسيس المحتمل.

ويبيّن جدول (١٢-٢) القيم التقديرية الاسترشادية لقدرة التحمل المسموح بها الواردة في الكود المصرى الميكانيكا التربة وتصنيع الأساسات الصادر في سنة ١٩٩١، كما تبيّن جداول (١٣-٢)، (١٤-٢) القيم التقديرية لقدرة التحمل الواردة في بعض الكودات الأخرى.

جدول (١٣-٢) قيم استرشادية لقدرة التحمل المسموح بها

Material*	N ⁺ (Standard Penetration Resistance)	kN/m ²	kips/ft ²	kg/cm ²
Loose sand, dry	5-10	70-140	1.5-3	0.75-1.5
Firm sand, dry	11-20	150-300	3-6	1.5-3
Dense sand, dry	31-50	400-600	8-12	4-6
Loose sand, inundated	5-10	40-80	0.8-1.6	0.4-0.8
Firm sand, inundated	11-20	80-170	1.6-3.5	0.8-1.8
Dense sand, inundated	31-50	240+	5+	2.5+
Soft clay	2-4	30-60	0.6-1.2	0.3-0.6
Firm clay	5-8	70-120	1.5-2.5	0.8-1.2
Stiff clay	9-15	150-200	3-4.5	1.5-2.2
Hard clay	30+	400+	8+	4+
Loose mica silty sand, damp	5-10	120-200	2.5-4.5	1.2-2.0
Firm mica silty sand, damp	11-20	200-350	4.5-7.5	2.2-3.8
Badly fractured or partially weathered rock	50+	500-1200	10-25	5-12
Hard rock, occasional soft seams	RQD† = 50%	1500-5000	30-100	15-50
Massive hard rock	RQD† = 90%	10,000+	200+	100+

جدول (١٢-٢) قيم إسترشادية لقدرة التحمل المسمو بها في الكود المصري

ملاحظات	قدرة التحمل كيلو نيوتن/م ^٢ (كجم/سم ^٢)	الوصف	نوع التربة
	٥٠٠ - ١٠٠٠ (٥٠ - ١٠٠).	صخور سليمة	تكوينات كريستالية من الصخور النارية والمحولة
	٤٠٠ - ٢٠٠ (٤٠ - ٢٠)	صخور سليمة	صخور رقائقية مت حولة
	٣٥٠٠ - ١٠٠٠ (٣٥ - ١٠)	صخور سليمة	صخور رسوبية (حجر طمي - حجر رملي - حجر جيري)
مالم تكن تتأثر بالماء	١٠٠٠ - ٥٠٠ (١٠ - ٥)	صخور رخوة	الصخور المعرضة للعوامل الجوية والخصوص الطينية
عرض الأساس لا يقل عن ١,٠ متر	$\begin{cases} ٧٠٠ - ٥٠٠ \\ ٦٠٠ - ٤٠٠ \\ ٤٠٠ - ٢٠٠ \end{cases}$ $\begin{cases} ٧-٥ \\ ٦-٤ \\ ٤-٢ \end{cases}$	على الدمع متوسط الدم سائل ب	زلط - خليط من الزلط والرمل أو خليط من الزلط والرضم (١)
	$\begin{cases} ٥٠٠ - ٣٠٠ \\ ٣٠٠-١٥٠ \\ ٢٠٠-١٠٠ \end{cases}$ $\begin{cases} ٥-٣ \\ ٣-١,٥ \\ ٢-١ \end{cases}$	كثيف جداً متوسط إلى كثيف سائل ب	رمل خشن إلى متوسط أو رمل مع قليل من الزلط (١)
عرض الأساس لا يقل عن ١,٠ متر	$\begin{cases} ٤٠٠-٢٠٠ \\ ٢٥٠-١٥٠ \\ ١٥٠-١٠٠ \end{cases}$ $\begin{cases} ٤,٠-٢,٠ \\ ٢,٥-١,٥ \\ ١,٥-١,٠ \end{cases}$	كثيف جداً متوسط إلى كثيف سائل ب	رمل ناعم إلى متوسط أو رمل متوسط إلى خشن طمي أو طيني (١)
عمق التأسيس من ٨ و إلى ١,٥ متر وأكثر	(٢-١) ٢٠٠-١٠٠		طمي غير عضوي أو طمي رملي
هذه المجموعة عرضة للهبوط نتيجة التضاغط على المدى الطويل	$\begin{cases} < ٤٠٠ \\ ٤٠٠-٢٠٠ \\ ٢٠٠-١٠٠ \\ ١٠٠-٥٠ \\ ٥٠-٢٥ \\ > ٢٥ \end{cases}$ $\begin{cases} < ٤,٠ \\ ٤,٠-٢,٠ \\ ٢,٠-١,٠ \\ ١,٠-٠,٥ \\ ٠,٥-٠,٢٥ \\ > ٠,٢٥ \end{cases}$	صلب شديد التماسك، متماسك، متوسط التماسك ضعيف ضعيف جداً	طين متحانس غير عضوي أو طين رملي أو طين طمي أو طيني (٢)

(١) القيم الواردة في هذا الجدول تسرى في حالة التربة غير المغمورة وتؤخذ نصف هذه القيمة

في حالة ما إذا كانت التربة مغمورة أسفل منسوب المياه الأرضية.

(٢) القيم الواردة في هذا الجدول تسرى في حالة التربة كاملة التشبع.

هبوط الأساسات السطحية : Settlement of shallow foundation

هبوط الأساسات يحدث نتيجة حدوث هبوط في طبقات التربة أسفل منسوب التأسيس.

وهبوط طبقات التربة يحدث نتيجة زيادة الإجهادات عليها شكل (٣١-٢)، (٣٢-٢) وهبوط

الأساسات يجب أن يحسب بدقة عالية للمباني والكباري والأبراج والمصانع والسدود. ولقد

جدول (١٤-٢) قيم قدرة التحمل مع هبوط لا يزيد عن ٥٠ مم.

(a) Strip foundations not exceeding 3 m wide, length not more than 10 times width, bearing on surface of rock

<i>Rock group</i>	<i>Strength grade</i>	<i>Discontinuity spacing (mm)</i>	<i>Presumed allowable bearing value (kN/m^2)</i>
Pure limestones and dolomites, carbonate sandstones of low porosity	Strong	60 to > 1000	> 12500 ¹
		> 600	> 10000 ³
	Moderately strong	200 to 600	7500 to 10000
		60 to 200	3000 to 7500
		600 to > 1000	> 5000 ¹
	Moderately weak	200 to 600	3000 to 5000
		60 to 200	1000 to 3000
		> 600	> 1000 ¹
	Weak	200 to 600	750 to 1000
		60 to 200	250 to 750 ²
Very weak			
Igneous, oolitic, and marly limestones; well-cemented sandstones; indurated carbonate mudstones; metamorphic rocks (including slates and schists with flat cleavage/foliation)	Strong	200 to > 1000	10000 to > 12500 ¹
		60 to 200	5000 to 10000
	Moderately strong	600 to > 1000	8000 to > 10000 ¹
		200 to 600	4000 to 8000
		60 to 200	1500 to 4000
	Moderately weak	600 to > 1000	3000 to > 5000 ¹
		200 to 600	1500 to 3000
		60 to 200	500 to 1500
	Weak	600 to > 1000	750 to > 1000 ¹
		< 200	²
Very weak			

(b) Foundations in non-cohesive soils at a minimum depth of 0.75 m below ground level

<i>Description of soil</i>	<i>N-value in standard penetration test</i>	<i>Presumed bearing value (kN/m^2 or $\text{kgf}/\text{cm}^2 \times 100$) for foundation of width</i>		
		<i>1 m</i>	<i>2 m</i>	<i>4 m</i>
Very dense sands and gravels	> 50	600	500	400
Dense sands and gravels	30-50	350-600	300-500	250-400
Medium-dense sands and gravels	10-30	150-350	100-300	100-250
Loose sands and gravels	5-10	50-150	50-100	50-100

Notes: (1) Corrections to N-values to be applied to observed N-value before using this table
(2) The water table is assumed not to be close to base of foundation. If the water table is at the base of the foundation or within a depth equal to the width of the foundation then these presumed bearing values should be halved.

(c) Foundations in cohesive soils at a minimum depth of 1 m below ground level

Description	Cohesive strength (kN/m ² or kgf/cm ² × 100)	Presumed bearing value (kN/m ² or kgf/cm ² × 100) for foundation of width		
		1 m	2 m	4 m
Hard boulder clays, hard fissured clays (e.g. deeper London and Gault clays)	> 300	800	600	400
Very stiff boulder clay, very stiff 'blue' London Clay	150-300	400-800	300-500	150-250
Stiff fissured clays (e.g. stiff 'blue' and brown London clay), stiff weathered boulder clay	75-150	200-400	150-250	75-125
Firm normally consolidated clays (at depth), fluvio-glacial and lake clays, upper weathered 'brown' London clay	40-75	100-200	75-100	50-75
Soft normally consolidated alluvial clays (e.g. marine, river and estuarine clays)	20-40	50-100	25-50	Negligible

تعرضنا لموضوع الهبوط باختصار في الباب التاسع من كتابنا "ميكانيكا التربة". وفي الفقرات القادمة سوف نتعرض لهذا الموضوع بالتفصيل.

وعادة ما يحدث الهبوط نتيجة زيادة الأحمال الإستاتيكية أو الأحمال الحية على طبقات التربة، وكذلك عند إنخفاض مستوى المياه الجوفية والذي يترتب عليه زيادة الإجهاد الفعال وبالتالي زيادة الإجهاد على التربة. كذلك يحدث الهبوط عند إحداث تغير في الإجهاد الفعال على طبقات التربة مثلاً يحدث في أعمال المناجم والأنفاق. والهبوط ثلاثة أنواع هي الهبوط الفوري (المرن) و هبوط التصلب والهبوط الثانوي. ويكون الهبوط الكلي هو مجموع الأنواع الثلاثة من الهبوط.

- الهبوط الفوري (المرن) : Immediate (Elastic) Settlement, S_i

الهبوط الفوري أو المرن هو أثناء تنفيذ المبني وينتهي بانتهاء تنفيذه أو فور الانتهاء من تنفيذه، توجد عدة طرق لحساب الهبوط المرن منها طريقة هار (Harr, 1966) التي تستخدم للأساسات المرنة، شكل (٢٣-٢) :

$$s_i = \frac{Bq_o}{E_s} (1 - \mu_s^2) \frac{\alpha}{2} \quad (\text{corner of the flexible foundation}) \dots\dots\dots (2-89)$$

$$s_i = \frac{Bq_o}{E_s} (1 - \mu_s^2) \alpha \quad (\text{center of the flexible foundation}) \dots\dots\dots (2-90)$$

$$\text{where } \alpha = \frac{1}{\pi} \left[\ln \left(\frac{\sqrt{1+m^2} + m}{\sqrt{1+m^2} - m} \right) + m \ln \left(\frac{\sqrt{1+m^2} + 1}{\sqrt{1+m^2} - 1} \right) \right]$$

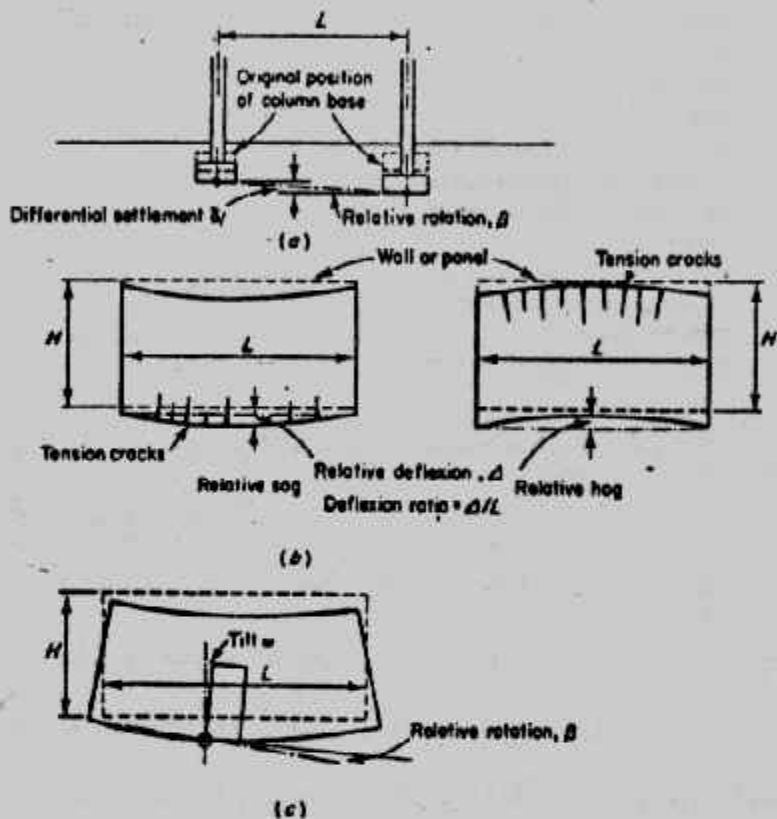
$$m = B/L$$

B = width of foundation

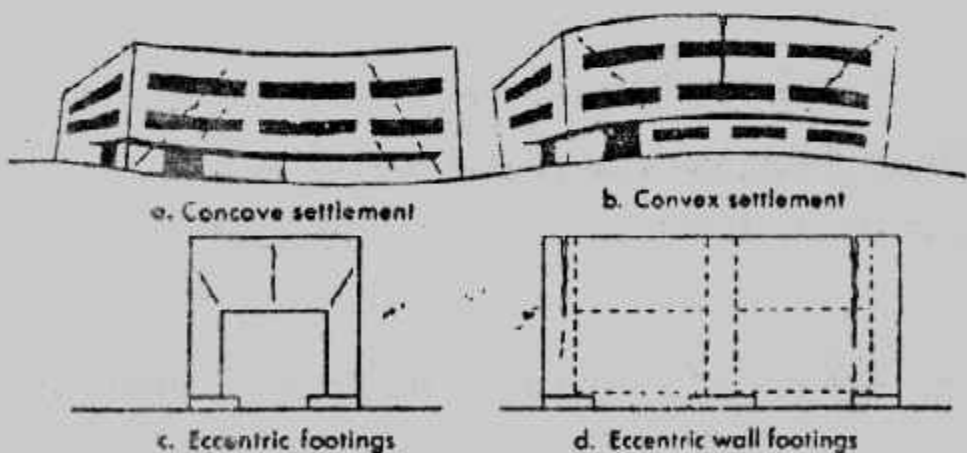
L = length of foundation

وعلاقة α بقيمة L/B مبينة في الشكل (٢٤-٢) كما يمكن تعريف الهبوط الفوري للأساس المرن من :

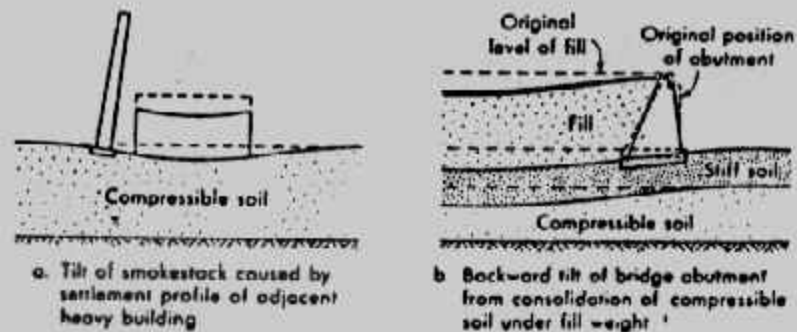
$$s_f = \frac{Bq_o}{E_s} (1 - \mu_s^2) \alpha_f \quad (\text{rigid foundation}) \dots\dots\dots (2-91)$$



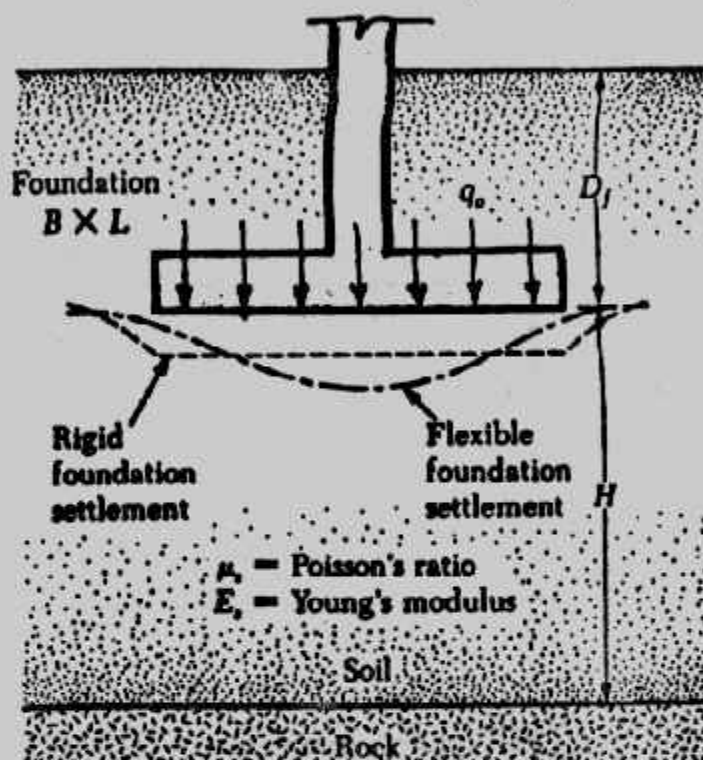
شكل (٢٤-٢) تعاريف الهبوط والهبوط المتغير



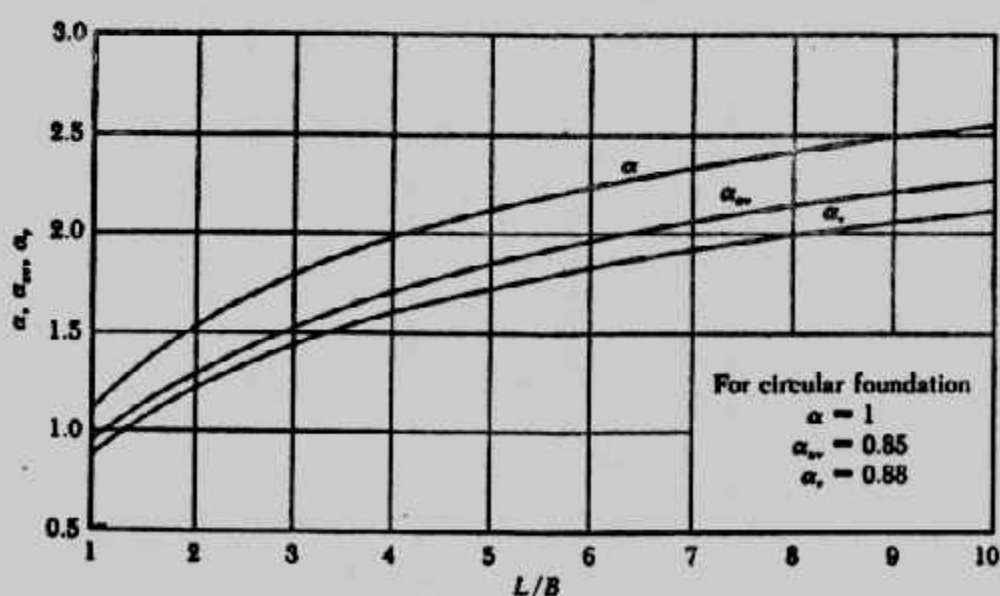
شكل (٣١-٦) شروح الهبوط في المباني



شكل (٢-٢) الهبوط في المنشآت الثقيلة



شكل (٣-٢) الهبوط المرن للأساس المرن والجليدي



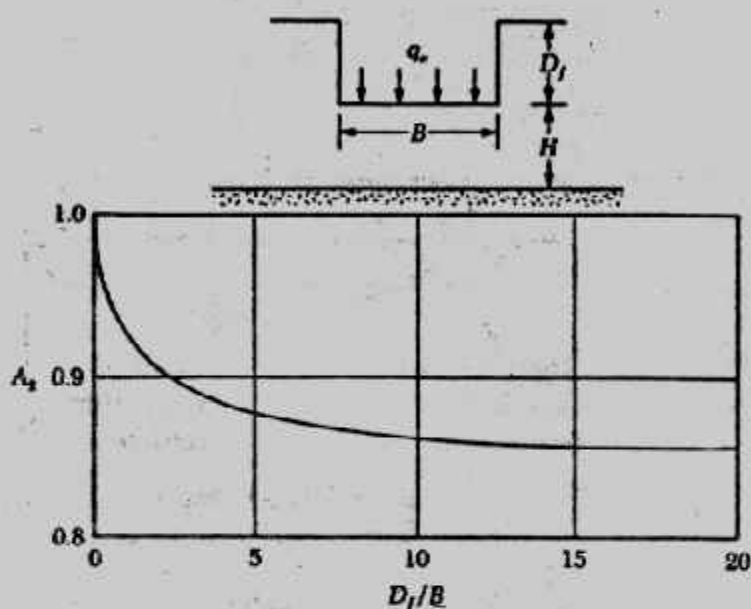
شكل (٣-٢) علاقه α بـ L/B

وفي حالة الأساسات الخاصة تستخدم العلاقة :

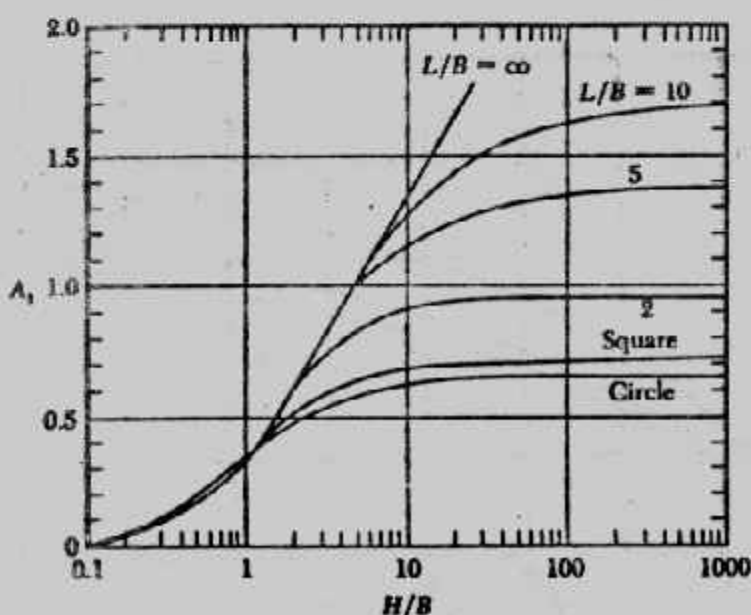
$$s_i = \frac{Bq_o}{E_s} (1 - \mu_s^2) \alpha_{av} \quad (\text{average for flexible foundation}) \quad \dots \dots \dots (2-92)$$

ولحساب الهبوط المرن على الطين المشبع للأساسات المرنة تستخدم المعادلة الآتية :

حيث A_1 ، A_2 تعينان من شكل (٢-٣٥)، شكل (٢-٣٦) ويجب ملاحظة أنه قد أخذ في المعاملة السابقة $0.5 - \mu$ حيث للطين تكون نسبة بواسن مساوية ٠.٥



شكل (٢-٣٥) تعيين A₂ (كريستيان وكاريير ١٩٧٨)



شكل (٤-٣٦) تعيين A₁ (كريستيان وكاريير ١٩٧٨)

ويمكن تعريف الهبوط العرن للترابة الرملية باستخدام معامل تأثير الانفعال باستخدام الطريقة المقترنة من شمرتمن وهيرثمان (١٩٧٨).

$$s_i = C_1 C_2 (\bar{q} - q) \sum_{z=0}^{z=2} \frac{I}{E_s} \Delta z \quad \dots \dots \dots \quad (2-94)$$

where : I_z = strain influence factor

C_1 = a correction factor for the depth of foundation embedment = $1 - 0.5 [q / (\bar{q} - q)]$

C_2 = a correction factor to account for creep in soil
= $1 + 0.2 \log (\text{time in years}/0.1)$

\bar{q} = stress at the level of the foundation

$$q = \gamma D_f$$

وتغير معامل تأثير الانفعال مع العمق تحت الأساس معطى في الشكل، ويلاحظ أنه للأساس المربع وال دائري يكون :

$$I_z = 0.1 \text{ at } z = 0$$

$$I_z = 0.5 \text{ at } z = z_1 = 0.5B$$

$$I_z = 0 \text{ at } z = z_2 = 2B$$

$$I_z = 0.2 \text{ at } z = 0$$

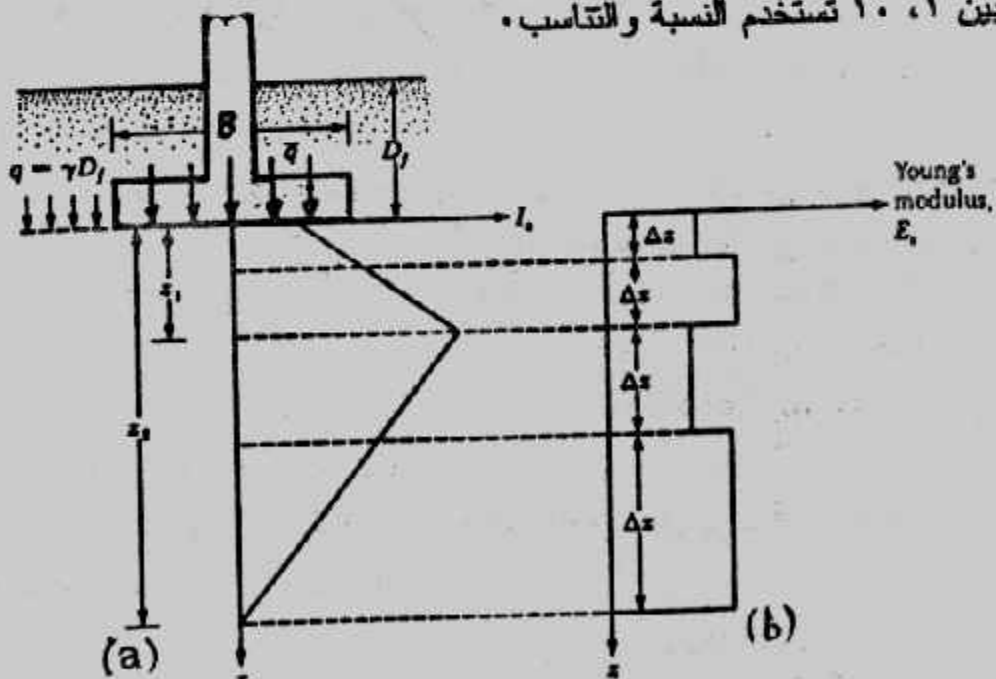
وبالمثل للأساس الذي له $L/B \geq 10$ يكون :

$$I_z = 0.5 \text{ at } z = z_1 = B$$

$$I_z = 0 \text{ at } z = z_2 = 4B$$

where : B = width of the foundation and L = length of the foundation.

ولقيم L/B بين ١ ، ١٠ تستخدم النسبة والتناسب.



شكل (٣٧-٢) معامل المرنة مع العمق

وفي هذه الطريقة يقدر معامل المرونة مع العمق كما في شكل (٢-٣٧ـب) ويمكن ذلك باستخدام رقم الاختراق القياسي N أو مقاومة الاختراق للمخروط، وتقسم طبقة التربة إلى طبقات عديدة حيث يعين الهبوط المرن لكل طبقة منها ويكون الهبوط المرن الكل Si مجموع الهبوطات المرونة للطبقات، وهناك طرق أخرى عديدة لحساب الهبوط المرن وفي أحد لبحاث المؤلف ثم تجميع هذه الطرق لحساب الهبوط المرن للرمل وهي مخططة في جدول (٢-١٥)، ويلاحظ أن حساب الهبوط المرن يحتاج إلى معاملات المرونة للتربة وهي معامل ينبع ونسبة بواس و يقدم جدول (٢-١٦) فيما يسترشادية لهما، كما يقدم الكود المصري فيما يسترشادية لمعامل ينبع في جدول (٢-١٧)، وكثير من العلماء ربط بين معامل المرونة للتربة ورقم الاختراق القياس N أو مقاومة اختراق المخروط q_c ، ويتعطى جداول (٢-١٨)، (٢-١٩)، (٢-٢٠) العلاقات الرابطة بين معامل المرونة وكل من N ، q_c كما جمعها المؤلف في أحد لبحاته، وللتربة المتماسكة قدم المؤلف في جدول (٢-٢١) المعادلات الرابطة بين معامل المرونة ومقاومة القص Cu .

وقدم شمرتعان المعادلة الآتية :

$$E_s (\text{kN/m}^2) = 766N \quad (2-95)$$

وقدم المؤلف (١٩٩١) المعادلة الآتية وهي أكثر واقعية :

$$E_s (\text{kN/m}^2) = 15000 + 900 N \quad (2-96)$$

ونقدم بعض المراجع العلاقة الآتية للربط بين q_c ، E_s :

$$E_s = 2q_c \quad (2-97)$$

where : q_c = static cone penetration resistance

بينما ثبت المؤلف أن العلاقة التالية أكثر دقة وأقرب للواقع :

$$E_s = 3q_c \text{ (for sand)} \quad (2-97')$$

وقدم العلاقات الآتية لأنواع التربة الأخرى :

$$E_s = 5 \rightarrow 6 q_c \text{ (for coarse sand and gravel)} \quad (2-98)$$

$$E_s = 1 \rightarrow 4 q_c \text{ (for silty sand)} \quad (2-99)$$

$$E_s = 3 \rightarrow 6 q_c \text{ (for clayey sand)} \quad (2-100)$$

$$E_s = 1.8 \rightarrow 3 q_c \text{ (for clayey silt)} \quad (2-101)$$

$$E_s = 5 \rightarrow 8 q_c \text{ (for clay)} \quad (2-102)$$

وللتربة الطينية عادي التصلب يحسب E_s من :

$$E_s = 250c \text{ to } 500c \text{ (for normally consolidated clay)} \quad (2-103)$$

Over consolidated clay

$$E_s = 750c \text{ to } 1000c \quad (2-104)$$

وفي جدول (٢-٢١) قدم المؤلف علاقات أخرى، كما قدم الكود المصري الجدول (٢-٢٢)

جدول (٤-١٥) الطرق المختلفة لحساب الهبوط المرن

Methods for computing the elastic settlements .

Method No	References	Relationship
1	Steinbrenner , 1934	$S_i = q_n B \frac{(1-\mu^2)}{E} I_p$
2	Buisman - De Beer 1965[9,10]	$S_i = \frac{2.3H}{\alpha_c} \log_{10} \frac{\sigma'_0 + \Delta\sigma'}{\sigma'_0}$ $\alpha_c = \frac{Bq_c}{\sigma'_0}$ $B = 1$ for medium sand. $B = 1.5$ for all sand (De Beer) $B = 1.9$ for all sand. (Meyerhof)
3	Schmertmann,1970	$S_i = C_1 C_2 \Delta\sigma'_0 \sqrt{2B} \frac{1}{E} \frac{z}{z} \cdot \Delta H$ C_1 = depth correction factor C_2 = creep factor.
4	Parry, 1971,	$S_i = 100 C_0 C_1 W_Y \cdot q_n B \left(\frac{1-\mu^2}{E} \right)$ C_0 = coefficient depends on breadth and depth of foundation. C_1 = coefficient depends on the thickness of the layer below foundation. W_Y = correction factor for water table.
5	D'Appolonia,1971	$S_i = 100 C_0 C_1 q_n B \left(\frac{1-\mu^2}{E} \right)$ C_0 = coefficient depends on breadth and depth of foundation. C_1 = coefficient depends on the thickness of the layer below the foundation.
6	Giroud ,1972,	$S_i = \frac{q_n \cdot B}{E} P_{Hm}$ P_{Hm} = dimensionless coefficient depending on μ , L/B and B/H
7	Winter korn ,1975,	$S_i = C_d q_n B \left(\frac{1-\mu^2}{E} \right)$ C_d = shape and rigidity factor
8	Christian and Carrier 1978.	$S_i = \mu_0 \mu_1 \frac{q_n \cdot B}{E}$ μ_0 = coefficient depends on breadth and depth of the foundation μ_1 = coefficient depends on the thickness of the layer below the foundation
9	Burland and Surbridge , 1985	$S_i = f_s \cdot f_t [q_n - \frac{1}{2} \sigma'_0] \times B^{0.7} \times I_c$ f_s = shape factor f_t = correction factor for depth f_t = time factor. I_c = compressibility index.
10	Bowles,1987,	$S_i = q_n B \left(\frac{1-\mu^2}{E} \right) I_s I_f$ I_s = Steinbrenner settlement influence factor. I_f = Fox depth correction factor.

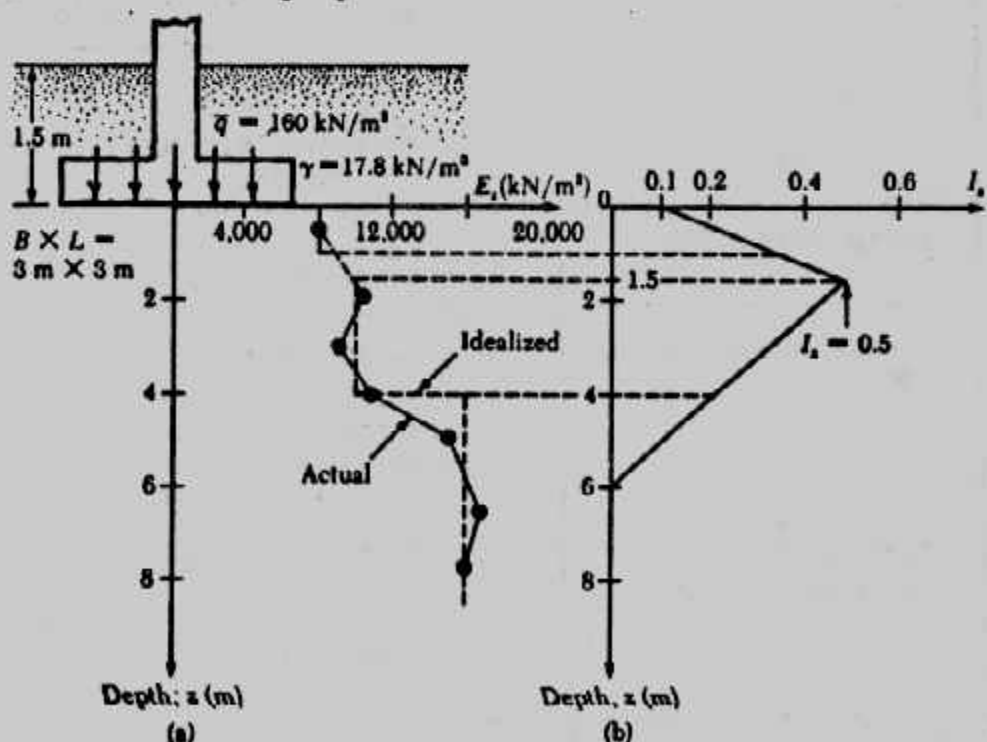
جدول (٢-٦) معايير المرونة للتربة

Type of soil	Young's modulus, E_s , MN/m ²	Poisson's ratio, μ
Loose sand	10.35– 24.15	0.20–0.40
Medium dense sand	17.25– 27.60	0.25–0.40
Dense sand	34.50– 55.20	0.30–0.45
Silty sand	10.35– 17.25	0.20–0.40
Sand and gravel	69.00–172.50	0.15–0.35
Soft clay	2.07– 5.18	
Medium clay	5.18– 10.35	0.20–0.50
Stiff clay	10.35– 24.15	

Example 2-23 :

Fig.(3.26a) shows a shallow foundation on a deposit of sandy soil that is $3 \text{ m} \times 3 \text{ m}$ in plan. The actual variation of the values of Young's modulus with depth determined by using the standard penetration numbers of Eq (2-95) are also shown in Fig. (2-38a). Using the strain influence factor method, estimate the settlement of the foundation five years after construction.

Solution : By observing the actual variation of Young's modulus with depth, one can plot an estimated idealized form of the variation of E_s as shown in Fig. (2-38a) Fig. (2-38b) shows the plot of the strain influence factor. The following table can now be prepared.



شكل (٣٨-٤) مثل (٢-٣٨)

Depth (m)	Δz (m)	E_s (kN/m ²)	Average I_e	$\frac{I_e}{E_s} \cdot \Delta z$ (m ³ /kN)
0-1	1	8,000	0.233	0.291×10^{-4}
1.0-1.5	0.5	10,000	0.433	0.217×10^{-4}
1.5-4	2.5	10,000	0.361	0.903×10^{-4}
4.0-6	2	16,000	0.111	0.139×10^{-4}
				$\Sigma = 1.55 \times 10^{-4}$

$$C_1 = 1 - 0.5 \left(\frac{q}{q - q} \right) = 1 - 0.5 \left[\frac{17.8 \times 1.5}{160 - (17.8 \times 1.5)} \right] = 0.9$$

$$C_2 = 1 + 0.2 \log \left(\frac{5}{0.1} \right) = 1.34$$

Hence :

$$S_e = C_1 \cdot C_2 \left(\bar{q} - q \right) \sum_{\sigma} \frac{I_e}{E_s} \Delta z$$

$$= (0.9)(1.34) [160 - (17.8 \times 1.5)] (1.55 \times 10^{-4})$$

$$= 249.2 \times 10^{-4} \text{ m} \approx 24.9 \text{ mm}$$

جدول (١٧-٢) قيم إسترشادية لمعامل المرونة لأنواع التربة المختلفة.

E_s معامل الاتضفاط		الوصف	نوع التربة
كجم / سم ²	ميجا نيوتن / م		
٢٠ - ٦	٢ - ٠.٩	جاف	طين
٦٠ - ١٥	٦ - ١.٥		
١٠٠ - ٢٥	١٠ - ٢.٥		
٢٠٠ - ٤٠	٢٠ - ٤		
٤٠٠ - ٨٠	٤٠ - ٨		
٣٠٠ - ٣٠	٣٠ - ٣	طين	رمل
٢٥٠ - ١٠٠	٢٥ - ١٠		
٧٥٠ - ٢٥٠	٧٥ - ٢٥		
١٠٠٠ - ٧٥٠	١٠٠ - ٧٥		
٤٠٠ - ١٠٠٠	٤٠٠ - ١٠٠	كتيف جلا	رمل
٤٠٠ - ١٠٠٠	٤٠٠ - ١٠٠		
٢٠ - ٦	٢ - ٠.٩	تربة عرضية أو بنابها نهائية	

جدول (١٨-٢) تعيين معامل المرونة من رقم الإختراق القياسي.

Rel.No	Soil type	Relationship	Remark
1	sand	$E_s = 500(N+15)$	kpa
2	sand	$E_s = 18000 + 750 N$	kpa NCS
3	sand	$E_s = 41600 + 1090 N$	kpa OCS
4	sand	$E_s = 1200(N+6)$	kpa
5	sand	$E_s = 5 N$	kg/cm^2
6	sand	$E_s = 13500 N$	kpa
7	sand	$E_s = 7.5(1 - \gamma)^2 N$	kg/cm^2
8	sand	$E_s = (15200 \text{ to } 22000) \ln N$	kpa
<hr/>			
9	gravel with sand	$E_s = 12(N+6)$	$\text{kg/cm}^2 \quad N < 15$
10	gravel with sand	$E_s = 40 + 12(N-6)$	$\text{kg/cm}^2 \quad N > 15$
11	dry sand	$E_s = V \delta_0^{0.522}$ $V = 246.2 \log N - 263.4 \delta_0 + 375.6 \pm 57.6$	$0 < \delta_0 < 1.2$
12	silty sand	$E_s = 300(N+6)$	kpa
13	silt with sand	$E_s = 23(N+6)$	$\text{kg/cm}^2 \quad N < 15$
14	silt with sand	$E_s = 40 + 3(N-6)$	$\text{kg/cm}^2 \quad N > 15$
15	clayey sand	$E_s = 320(N+15)$	kpa
16	clayey sand	$E_s = 3.33(N+5)$	kg/cm^2

جدول (٢٠-٢) تقدير معامل الانضغاط (E_s) من تجربة المخروط الاستاتيكي

معامل الانضغاط	نوع التربة
$E_s = 1.5 q_{cone}$	طمي ورمل
$= 2 q_{cone}$	رمل متوسط الكثافة
$= 3 q_{cone}$	رمل كثيف
$= 4 q_{cone}$	رمل وزلط
$E_s = (3-8) q_{cone}$	طين

جدول (١٩-٢) : تعيين معامل المرونة من مقاومة الاختراق بالمخروط.

Rel.No	Soil types	Relationship	Remarks	Reference
1	coarse sand	$E_s = (1.5 \text{ to } 3) q_o$		Trofimenkov,
2	coarse sand, sand+gravel	$E_s = 5 q_o$		Schmertmann,
3	sandy gravel, gravel	$E_s = 6 q_o$		Schmertmann,
4	sandy gravels	$E_s = 1.5 q_o$		Trofimenkov,
5	sandy gravel, gravely sand	$E_s = (5 \text{ to } 7) q_o$	$q_o > 40 \text{ kg/cm}^2$	Bogdanovic,
6	dry sand	$E_s = V \frac{70.522}{q_o}$ $V = 301.1 \log q_o - 382.36 + 60.3 + 50.3$	$0 < q_o < 8 \text{ kg/cm}^2$ $q_o = 0.778 \text{ for } 90 \text{ tests}$	Schultze and Melzer,
7	Submerged sand	$E_s = 2.5(q_o + 30)$	t/ft^2	Wel.
8	submerged sand	$E_s = 2(q_o + 25)$		Schmertmann,
9	fine sand	$E_s = (1.5 \text{ to } 2) q_o$		Trofimenkov,
10	fine to medium sand	$E_s = 2.5(q_o + 3200) \text{ kN/m}^2$	South African pr. De Beer,	
11	fine to medium sand	$E_s = 3.5 q_o$		Schmertmann,
12	fine to medium sand	$E_s = (2 \text{ to } 4) q_o$		Trofimenkov,
13	silty sand	$E_s = (1 \text{ to } 2) q_o$		Vesic,
14	silty sand	$E_s = (2 \text{ to } 4) q_o$		Trofimenkov,
15	silty sand	$E_s = (1.3 \text{ to } 1.9) q_o$		Bachelier and Parez,
16	silty sat. sand	$E_s = (1.5 \text{ to } 1.8) q_o$	$20 < q_o < 40$	Bogdanovic,
17	silty sand	$E_s = (2 \text{ to } 3.5) q_o$		Schmertmann,
18	clayey sand	$E_s = (3 \text{ to } 6) q_o$		Vesic,
19	clayey sand	$E_s = (3.8 \text{ to } 5.7) q_o$		Bachelier and Parez,
20	clayey sand	$E_s = 1.67(q_o + 1600) \text{ kN/m}^2$	$I_p < 15\%$	De Beer,
21	sub. clayey sand	$E_s = 1.67(q_o + 15)$		Webb,
22	silt	$E_s = (1.5 \text{ to } 2) q_o$		Trofimenkov,
23	silt, sandy silt	$E_s = 2 q_o$		Schmertmann,
24	clayey silt	$E_s = (1.8 \text{ to } 2.5) q_o$	$10 < q_o < 20$	Bogdanovic,
25	clayey silt	$E_s = (2.5 \text{ to } 3) q_o$	$5 < q_o < 10$	Bogdanovic,
26	sandy clay, stiff clay	$E_s = (5 \text{ to } 7) q_o$	U.S.S.R practices	Trofimenkov,
27	clay	$E_s = 7 q_o$	U.S.S.R practices	Trofimenkov,
28	soft clay	$E_s = (6 \text{ to } 8) q_o$		Vesic,
29	soft clay	$E_s = 7.7 q_o$		Bachelier and Parez,

جدول (٢١-٢) معامل المرونة للتربة بدلالة قوة التماسك

Rel. No	Soil types	Relationship	Reference
1	clay	$E_u = (500 \text{ to } 1500) c$	Bjerrum,
2	lean organic clays	$E_u = (1000 \text{ to } 1500) c$	D'Appolonia et al.,
3	soft sensitive clays	$E_u = 500 c$	NRC of Canada,
4	fine to stiff clays	$E_u = 1000 c$	NRC of Canada,
5	very stiff clays	$E_u = 1500 c$	NRC of Canada,
6	clay $I_p > 30$, or organic	$E_u = (100 \text{ to } 500) c$	Bowles,
7	.. $I_p < 30$, or stiff	$E_u = (500 \text{ to } 1500) c$..
8	.. $1 < OCR < 2$	$E_u = (800 \text{ to } 1200) c$..
9	.. $OCR > 2$	$E_u = (1500 \text{ to } 2000) c$..

جدول (٢٢-٢) : معامل الانضغاط بدلالة قوة التماسك C_u بواسطة تجربة القص بالمرinda

نوع التربة	معامل الانضغاط
طين ضعيف التماسك	$E = 50 (c_u)$
طين متوسط التماسك إلى متمسك	$E = 100 (c_u)$
طين شديد التماسك	$E = 150 (c_u)$

أما في حالة الأساسات المعرضة لحمل غير مرکزى فإنه يحدث بها بالإضافة للهبوط الفورى الرأسى S_e دوران τ ولقد اقترح جورجيانس وبترفيلد (١٩٨٨) الطريقة الآتية لحساب الهبوط والدوران :

١- ليكن الحمل Q والإرادة e والمطلوب إيجاد τ , S_e شكل (٣٩-٢).

٢- يحسب أقصى حمل $Q_{ult}(e)$ يمكن أن يتحمله الأساس.

٣- يعين معامل الأمان للحمل الغير مرکزى :

$$FS = \frac{Q_{ult}(e)}{Q} = F_1$$

٤- يعين $Q_{ult}(e = 0)$ لنفس الأساس كما لو كان $e = 0$.

$$\frac{Q_{ult}(e=0)}{F_1} = Q_{(e=0)}$$

حيث $Q_{(e=0)}$ هي الحمل المسموح به للأساس بمعامل أمان F_1

أ- باستخدام $Q_{(e=0)}$ تعين الهبوط الفوري $S_e(e=0)$

و-الآن يمكن تعين t , S_e من :

$$S_e = S_{e(e=0)} \left[1 - 2 \left(\frac{e}{B} \right) \right]^2 \quad (2-105)$$

$$t = \tan^{-1} \left[CS_c \left(\frac{e/B}{\sqrt{BL}} \right) \right] \quad (2-106)$$

where : $C = \beta_1 \beta_2$

β_1, β_2 = factors dependent on the L/B ratio

وتعدين t , S_e من شكل (٢-٢) أو B_2, B_1

Example 2-24 :

A square foundation is shown in Fig. (2-41). It is subjected to a load of 180 kN and a moment of 27 kN-m. Determine the settlement of the foundation (S_e and t) according to the presented method.

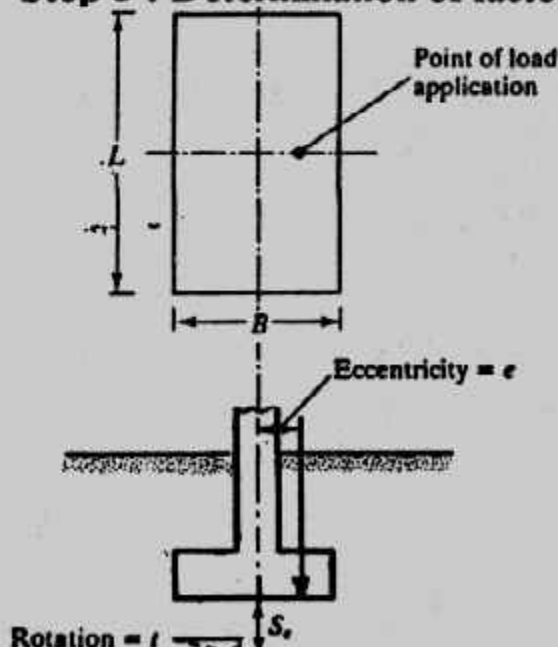
Solution :

Step 1: Given : $Q = 180$ kN and moment $= M = 27$ kN-m, load eccentricity $= e = M/Q = 27/180 = 0.15$ m.

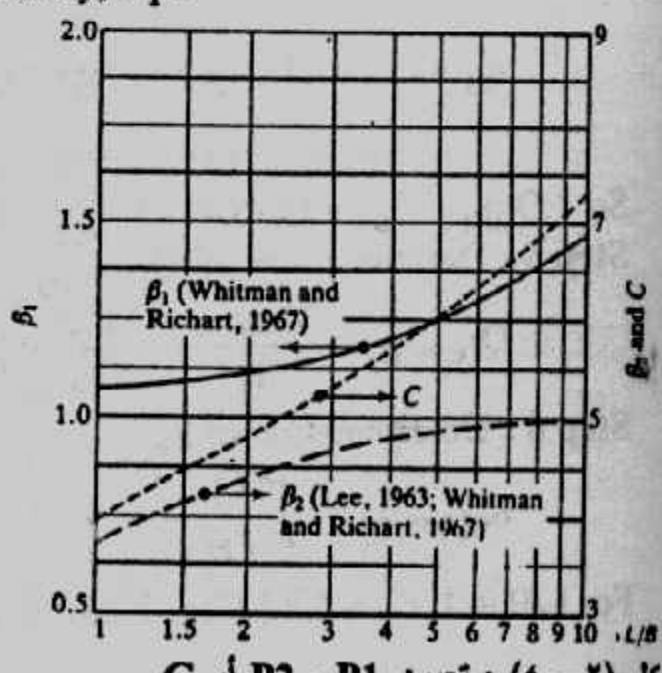
Step 2 : The magnitude of $Q_{ult}(e)$ has been calculated in Example 2-9.

$$Q_{ult}(e) = 988$$
 kN

Step 3 : Determination of factor of safety, F_1 :



شكل (٢-٣٩) : أساس غير مركزي للحمل



شكل (٢-٤٠) : تعدين t , S_e من B_2 أو B_1

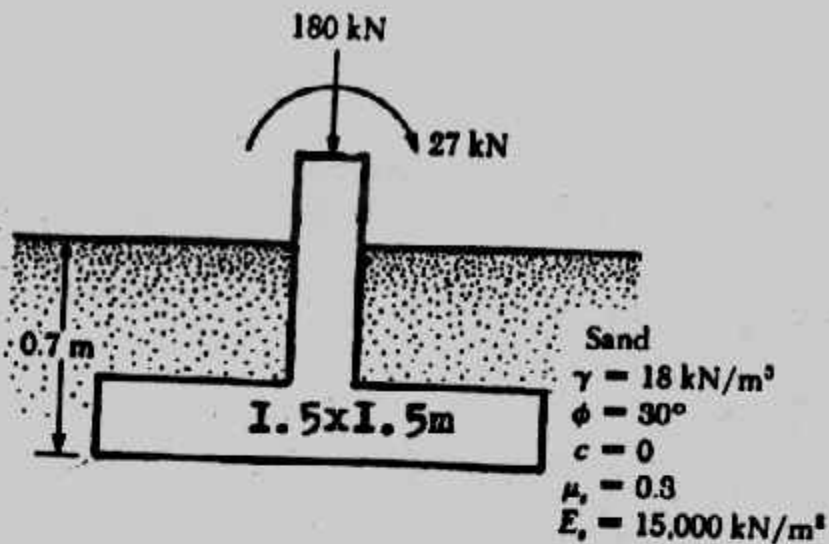


Fig. (2-41)

$$\text{Factor of safety} = F_1 = \frac{Q_{ult}(e=0)}{Q} = \frac{988 \text{ kN}}{180} = 5.49$$

Step 4 : Determination of $Q_{ult}(e=0)$: From Eq. (2-17), because $c = 0$,

$$q_u = q N_q S_q d_q + \frac{1}{2} \gamma B N_\gamma S_\gamma d_\gamma , \quad q_u = 12.6 \text{ kN/m}^2$$

From $\phi = 30^\circ$ (From Table (2-7), $N_q = 18.4$ and $N_\gamma = 22.4$), From Table 3.4,

$$S_q = 1 + \frac{B}{L} \tan \phi = 1 + \left(\frac{1.5}{1.5} \right) \tan 30 = 1.577$$

$$d_q = 1 + 2 \tan \phi (1 - \sin \phi)^2 \frac{D_f}{B} = 1 + \frac{(0.289)(0.7)}{1.5} = 1.135$$

$$S_\gamma = 1 - 0.4 \left(\frac{B}{L} \right) = 1 - 0.4 \left(\frac{1.5}{1.5} \right) = 0.6 , \quad d_\gamma = 1$$

$$q_u = (12.6)(18.4)(1.577)(1.135) + \left(\frac{1}{2} \right) (18)(1.5)(22.4)(0.6)(1) \\ = 414.97 + 181.44 = 596.41 \text{ kN/m}^2$$

$$\text{So : } Q_{ult}(e=0) = (596.41)(1.5) \times 1.5 = 1342 \text{ kN}$$

Step 5 : Determination of $Q(e=0)$:

$$Q(e=0) = \frac{Q_{ult}(e=0)}{F_1} = \frac{1342}{5.49} = 244.4 \text{ kN/m}^2$$

Step 6 : Determination of $S_e(e=0)$:

$$S_e(e=0) = \frac{B(Q_{e=0})}{E_s(BxL)} (1 - \mu_s^2) \alpha_r$$

For $L/B = 1$, $\alpha_r \approx 0.82$ (Fig. 2-35). Given $\mu_s = 0.3$ and $E_s = 15,000 \text{ kN/m}^2$,

$$S_e(e=0) = \frac{(1.5)(244.4)}{(15,000)(1.5 \times 1.5)} (1 - 0.3^2) 0.82 = 0.0081 \text{ m} = 8.1 \text{ mm}$$

Step 7 : From Eq (2-105)

$$S_e = S_{e(0)} \left[1 - 2 \left(\frac{e}{B} \right) \right]^2$$

$$= (8.1) [1 - (2)(0.1)]^2 = 5.18 \text{ mm}$$

From Eq. (2-106)

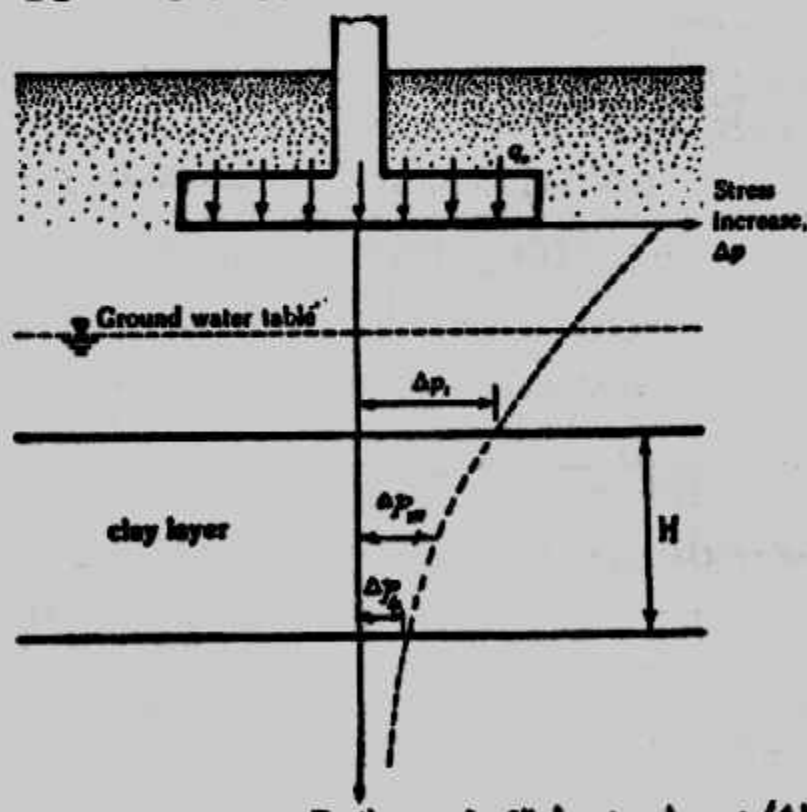
$$t = \tan^{-1} \left[CS_o \left(\frac{e/B}{\sqrt{BL}} \right) \right]$$

For $B/L = 1$, $C \approx 3.95$ (from Fig. 3.28). So

$$t = \tan^{-1} \left[(3.95) \left(\frac{5.18 \text{ mm}}{1000} \right) \left(\frac{0.1}{\sqrt{(1.5)(1.5)}} \right) \right] = 0.078 \text{ deg}$$

بـ- هبوط التصلب : Consolidation Settlement

هبوط التصلب يحدث مع الزمن للترابة الطينية المشبعة عند تعرضها لزيادة التحميل عليها ويتكون هذا الهبوط من شقين مما هبوط التصلب الرئيسي Primary consolidation settlement ، هبوط التصلب الثانوي Secondary consolidation settlement ، والهبوط الثانوى يحدث بعد انتهاء حدوث الهبوط الرئيسي ويكون الهبوط الرئيسي مؤثراً أكثر في حالة التربة الطينية والتربة الطينية غير العضوية بينما للتربة العضوية يكون الهبوط الثانوى هو الأكثر تأثيراً.



شكل (٤-٤) : حساب هبوط التصلب

ويحسب هبوط التصلب، شكل (٤٢-٢) من :

$$S_\sigma = \int \epsilon_v : dz$$

where : ϵ_v = vertical strain

$$= \frac{\Delta c}{1 + e_o}$$

$$\Delta_e = \text{change of void ratio} \\ = f(P_o, P_c, \text{and } \Delta P)$$

So

$$S_c = \frac{C_c H_c}{I + c_n} \log \frac{P_o + \Delta P_{sv}}{P_a} \text{ (for normally consolidated clays)} \dots \text{ (2-108)}$$

$$S_C = \frac{C_s H_c}{I + e_c} \log \frac{P_c}{P_o} + \frac{C_e H_e}{I + e_o} \log \frac{P_o + \Delta P_{av}}{P_o} \quad \dots \dots \dots \quad (2-110)$$

(for overconsolidated clays with $P_o < P_c < P_o + \Delta P_{av}$)

where : P_0 =average effective pressure on the clay layer before the construction of the foundation.

ΔP_{av} = average increase of pressure on the clay layer caused by the foundation construction.

P_c = preconsolidation pressure.

e_0 = initial void ratio of the clay layer.

C_c = compression index.

0.007 (LL-10%)

للترابة زائدة التصلب

0.009 (LL - 10%)

للتربة عادلة التصلب

LL = Liquid limit

للترية العضوية

Lw = water content

C_s = swelling index.

H_c = thickness of the clay layer.

زيادة الإجهاد P في طبقة الطين تقل بزيادة العمل ولذلك يمكن قياس زيادة

الاجهاد المتوسطة من :

حيث ΔP_t ، ΔP_m ، ΔP_b هى الزيادة فى الإجهاد على قمة الطبقة وفى وسطها وفى قاعها على الترتيب . ولحساب هذه القيم يرجع إلى الباب السادس من كتابنا "ميكانيكا التربة" . كما يمكن حساب الهبوط باستخدام معامل التغير الحجمي من :

$$S_c = \int \frac{\Delta e}{I + e_c} dz = \int m \Delta P_{(I)} dz \quad \dots \quad (2-112)$$

where : S_c = consolidation settlement

$\Delta P(1)$ = vertical stress increase

m_v = volume coefficient of compressibility

وـلـلـطـبـقـاتـ الصـغـيرـةـ الـتـيـ لـاـ يـزـيدـ سـمـكـهـاـ عـنـ ٣ـ مـتـرـاـ يـمـكـنـ اـسـتـخـدـامـ :

$$S_C = m_V \cdot \Delta P(1) \cdot H \dots \quad (2-113)$$

حيث H هو سمك الطبقة، أما الهبوط الثانوى (وهو مثل ظاهرة الزحف Creep في الخرسانة)

فیحسب بعد زمن معین مقداره $t_1 + \Delta t = t_2$ من :

$$S_s = H_f C_\alpha \log \frac{t_i + \Delta t}{t_i} \dots \quad (2-114)$$

Hi = thickness of laboratory sample

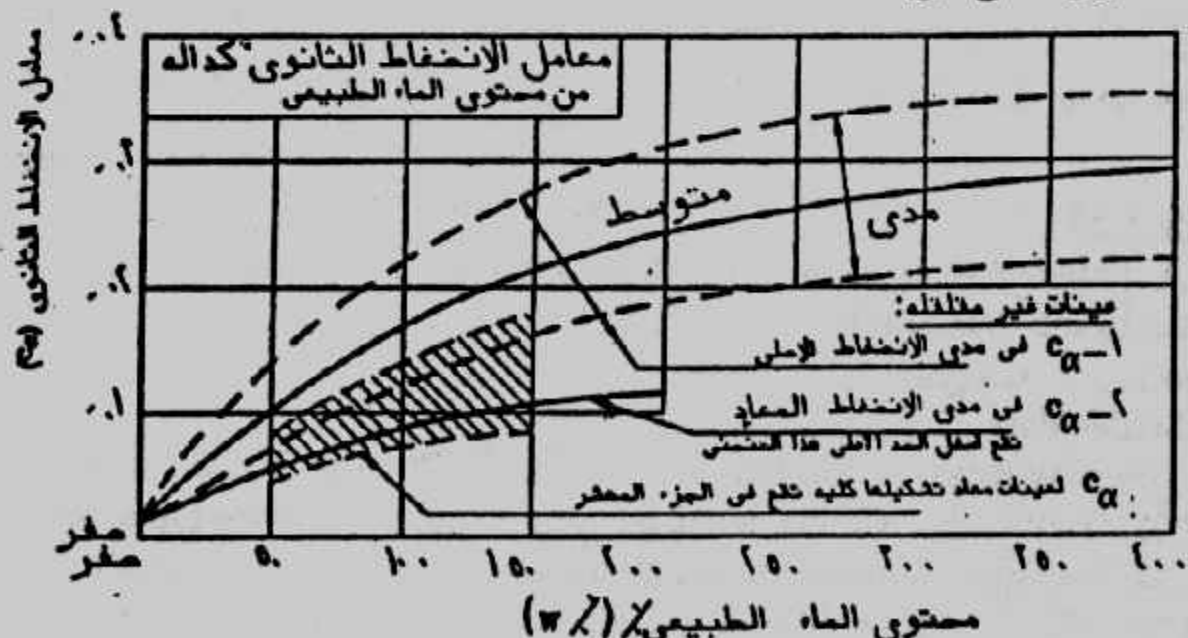
جذب

ΔH_s = change in laboratory sample thickness from t1, to t2

H_f = thickness of field consolidation stratum.

$$C_\alpha = \frac{\Delta H_s / H_i}{\log t_2 / t_1}$$

وفي حالة عدم توافر قيم للمعامل $C\alpha$ يمكن الاستعانة بالعلاقات المبينة في شكل (٤-٢) باستخدام المحتوى المائي للتربة.



شكل (٤-٢): تعيين C_{α} من المحتوى الثنائي

الهبوط النسبي أو المتفاوت : Differential Settlement

عندما يتعرض مبني أو أساس لهبوط غير متساوٍ فلابننا نقول أن الهبوط هنا متفاوت أو نسبي، ويحدث ذلك بسبب اختلاف الأحمال المؤثرة على الأجزاء المختلفة للمبني أو الأساس أو نتيجة لاختلاف أعماق أو بعد أو أشكال الأساس أو لاختلاف خواص التربة وسمك طبقاتها أو لاختلاف زمن الإنشاء . وإذا كان الهبوط المتساوٍ للأساسات لا يسبب أضراراً لسلامة المنشآت مثل الشروخ أو التصدعات فإن الهبوط النسبي أو المتفاوت يلحق أضراراً كبيرة بالمباني قد تصل إلى الانهيار الكامل . أما إذا كان الهبوط المتساوٍ كبيراً فقد يؤثر ذلك على سلامة وصلات المياه والمجاري ومظهر المنشآت معمارياً . ويحدد الكود المصري (١٩٩١) أنه يجب ألا تتجاوز قيمة أقصى هبوط كلّي للأساسات السطحية القيمة المذكورة في الجدول (٢٣-٢) .

جدول (٢٣-٢) : أقصى هبوط كلّي مسموح به للأساسات السطحية

نوع الأساس	نوع التربة	أقصى هبوط (مم)
قواعد منفصلة	متمسكة (طينية)	٧٠
قواعد منفصلة	غير متمسكة (رملية)	٥٠
لبشنة	متمسكة	١٥٠
لبشنة	غير متمسكة	١٠٠

و عملياً توجد علاقة بين قيمة الهبوط الكلّي والهبوط المتفاوت الذي قد يلحق أضراراً بالمنشآت، و عموماً فإن عدم تجاوز المنشآت لقيمة الهبوط المذكورة بالجدول السابق يكون كافياً لتحمله الهبوط المتفاوت بدون أضرار . و يعطى الكود المصري أيضاً قيمة الهبوط المتفاوت المسموح به بدلالة زاوية الدوران للمنشآت المختلفة حيث تعرف زاوية الدوران بأنها الهبوط المتفاوت بين عمودين مثلاً مقسوماً على المسافة بينهما ، جدول (٢٤-٢) و بدراسة حوالي مائتين مبني قدم بعض العلماء الجدول (٢٥-٢) لقيم الهبوط والهبوط المتفاوت المسموح بهما . كما تقدم بعض المراجع الجداول (٢٦-٢)، (٢٧-٢)، (٢٨-٢) لقيم المسموح بها والمعمول بها في بعض الدول للهبوط والهبوط المتفاوت .

Example 2-25 :

A foundation 1x 2 m in plan is shown in Fig. 2- Estimate the total settlement of the foundation.

Solution :

Elastic Settlement :

The clay layer is located at a depth of 2 m that is, 2B below the foundation. From Fig. (2-44), it can be seen that the soil located at a depth $z > 2B$ has very little influence on the elastic settlement. Hence, if Eq. (2-91) is used for the elastic settlement calculation, it is reasonable to use the Young's modulus and Poisson's ratio values of the sand layer. Thus :

جدول (٢٤-٢) : الهبوط النسبي أو المتفاوت المسموح به للمنشآت

تصنيف الحالة	الهبوط بدلالة ظل زاوية الدوران
الخد المتوقع عنده وجود مشاكل للمachines الحساسة للهبوط المتفاوت.	٧٥٠ : ١
الخد المتوقع عنده حدوث شروخ كبيرة في الإطارات من المغسانة المسلحة الغير محددة استاتيكياً بدرجة كبيرة.	٦٠٠ : ١
الخد المطلوب للمنشآت المراد خلوها من آية شروخ على وجه العموم.	٥٠٠ : ١
الخد المتوقع عنده حدوث شروخ بالحوائط في المباني الهيكلية وصعوبات في المنشآت المحتوية على أنواع.	٣٠٠ : ١
الخد الذي يمكن عنده ملاحظة ميل المباني العالية بالعين المجردة.	٢٥٠ : ١
الخد المتوقع عنده حدوث شروخ كبيرة في حوائط المباني الهيكلية.	١٥٠ : ١
الخد المتوقع عنده حدوث شروخ في الحوائط الحاملة من الطوب أو الحجر (نسبة ارتفاع الحائط إلى طوله أقل من ٢٥٪).	
الخد الذي يحدث عنده أضرار في هيكل المنشآت.	

جدول (٢٥-٢) : قيم الهبوط الكلى والنسبة المقترنة.

لبسة	قواعد منفصلة	نوع الهبوط والتربة
	٣٠٠/١	• زاوية الدوران • الهبوط النسبي أو المتفاوت - للتربة الطينية - للتربة الرملية
	٤٠ مم - ٣٠ - ٢٥ مم	• الهبوط الكلى - للتربة الطينية - للتربة الرملية
١٣٠ - ٨٠ ٨٠ - ٥٠	٨٠ ٥٠	

جدول (٢٦-٢) : الهبوط المسموح به للمباني المختلفة.

Kind of building	Allowable average settlement, in inches (millimeters)
Building with plain brick walls $L/H \geq 2.5$	3 (80)
$L/H \leq 1.5$	4 (100)
Building with brick walls, reinforced with reinforced concrete or reinforced brick	6 (150)
Framed building	4 (100)
Solid reinforced concrete foundations of smokestacks, silos, towers, and so on	12 (300)

* After Wahl, 1981

جدول (٢٧-٢) : قيم مسموح بها للهبوط

Type of Movement	Limiting Factor	Maximum Settlement
Total settlement	Drainage and access	0.15 to 0.6 m (0.5 to 2 ft)
	Probability of differential settlement	
	Masonry walls	25 to 50 mm (1 to 2 in.)
	Framed buildings	50 to 100 mm (2 to 4 in.)
Tilting	Tower, stacks	0.004B†
	Rolling of trucks, stacking of goods	0.01S†
	Crane rails	0.003S†
Curvature	Brick walls in buildings	0.0005S to 0.002S†
	Reinforced concrete building frame	0.003S†
	Steel building frame, continuous	0.002S†
	Steel building frame, simple	0.005S†
Maximum permissible settlement	Front slab, 100 mm thick	0.02S†

* B is base width; S is column spacing.

† Differential settlement in distance B or S.

جدول (٢-٢٨) : القيم المسموح بها للهبوط في بعض الكوادت

All values to be multiplied by L = length between two adjacent points under consideration. H = height of wall above foundation.

Structure	On sand or hard clay	On plastic clay	Average max. settlement, mm
Crane runway	0.003	0.003	
Steel and concrete frames	0.002	0.002	100
End rows of brick-clad frame	0.0007	0.001	150
Where strain does not occur	0.005	0.005	
Multistory brick wall L/H to 3	0.0003	0.0004	25 $L/H \geq 2.5$ 100 $L/H \leq 1.5$
Multistory brick wall L/H over 5	0.0005	0.0007	
One-story mill buildings	0.001	0.001	
Smokestacks, water towers, Ring foundations	0.004	0.004	300
Structures on permafrost			
Reinforced concrete	0.002-0.0015		150 at 40 mm/year*
Masonry, precast concrete	0.003-0.002		200 at 60 mm/year
Steel frames	0.004-0.0025		250 at 80 mm/year
Timber	0.007-0.005		400 at 120 mm/year

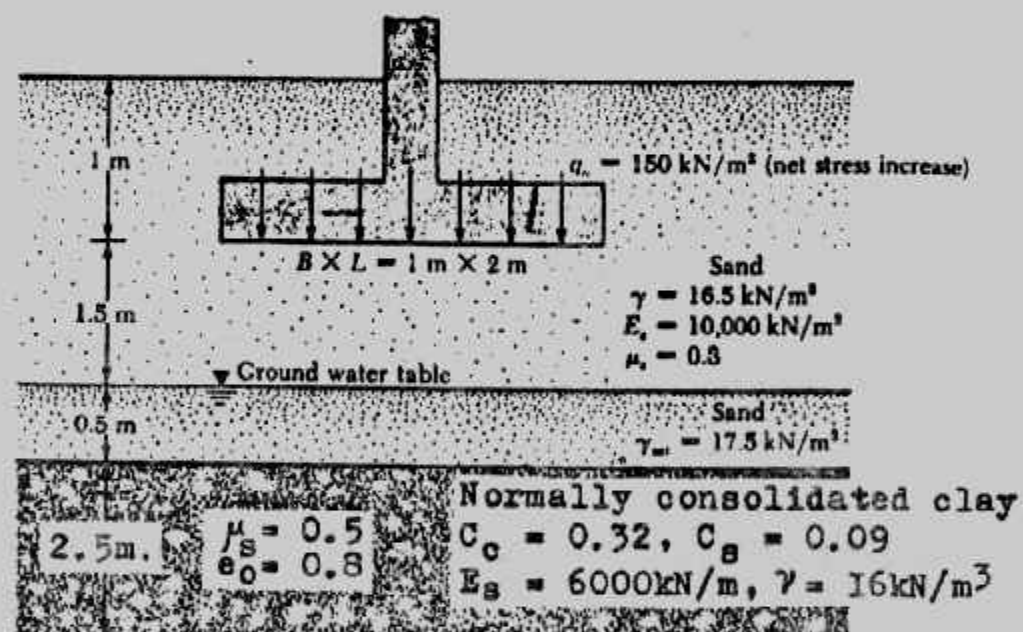


Fig.(2- 44)

$$S_e = \frac{Bq_o}{E_s} (1 - \mu_s^2) \alpha_r$$

Given : $q_o = 150 \text{ kN/m}^2$, $E_s = 10,000 \text{ kN/m}^2$, $\mu_s = 0.3$, and ≈ 1.2 (Fig. 2-34). So

$$S_e = \frac{(1)(150)}{10,000} (1 - 0.3^2)(1.2) = 0.0163 \text{ m} = 16.38 \text{ mm}$$

Consolidation Settlement

The clay is normally consolidated.

$$S_c = \frac{C_c H}{1+e_o} \log \frac{P_o + \Delta P_{av}}{P_o}$$

$$P_o = (2.5)(16.5) + (0.5)(17.5 - 9.81) + 1.25 (16 - 9.81)$$

From Eq. 2-111 :

$$\Delta P_{av} = \frac{1}{6} (\Delta P_t + 4\Delta P_m + \Delta P_b)$$

Using the 2 : 1 method

$$\Delta P = \frac{q_o \times B \times L}{(B+z)(L+z)}$$

For the top of the clay layer, $z = 2m$, so

$$\Delta P_t = \frac{(150)(1)(2)}{(1+2)(2+2)} = 25 \text{ kN/m}^2$$

Similarly :

$$\Delta P_m = \frac{(150)(1)(2)}{(1+3.25)(2+3.25)} = 13.45 \text{ kN/m}^2$$

and

$$\Delta P_b = \frac{(150)(1)(2)}{(1+4.5)(2+4.5)} = 8.39 \text{ kN/m}^2$$

Thus

$$\Delta P_{av} = \frac{1}{6} [25 + 4(13.45) + 8.39] = 14.53 \text{ kN/m}^2$$

So

$$S_e = \frac{(0.32)(2.5)}{1+0.8} \log \left(\frac{52.84 + 14.53}{52.84} \right) = 0.0469 \text{ m} = 46.90 \text{ mm}$$

Hence, total settlement = $S = S_e + S_c = 16.38 + 46.90 = 63.28 \text{ mm}$

Note : The total settlement just calculated may exceed the tolerable settlement of the foundation. In order to reduce the settlement, the foundation size may be changed so that it will carry the same total load of 300 kN but cause less settlement.

الباب الثالث

الأساسات السطحية

Shallow foundations

الأساسات والفرض منها :

الأساس هو الجزء السفلي من المنشأ والمتحصل بالأرض، والأساس هو العنصر الإنشائي الذي ينقل أحمال المنشأ سواء كانت حية أو ميتة أو غيرها بطريقة آمنة إلى تربة الأرض، وعامة تنفذ الأساسات أسفل مستوى سطح الأرض وإن كانت في بعض الأحيان قد تمتد إلى أعلى سطح الأرض.

والأساسات عند تصميمها وتنفيذها يجب أن تحقق الأغراض الآتية :

- ١- تحمل بأمان وزن المنشأ وأحمال الأخرى المعرض لها المنشأ مثل أحمال الرياح أو الزلازل أو أي أحمال أخرى تحدد حسب نوع المنشأ واستخدامه.
- ٢- توزيع ونقل جميع الأحمال الواسعة للأساسات إلى مساحة أكبر من التربة تحت الأساس وبما لا يسبب إجهادات على التربة أكبر من قدرة تحمل هذه التربة.
- ٣- مقاومة الهبوط النسبي المتفاوت لأجزاء المنشأ ومقاومة انتفاخ التربة.
- ٤- تحقيق الإتزان والاستقرار للمنشأ ضد أي تأثير خارجي مثل الرياح والأمطار والزلازل وضغط المياه وصدام الأمواج.
- ٥- مقاومة تأثير المياه الجوفية أو التأثيرات البيئية المحيطة بالأساسات.

أنواع الأساسات : Types of Foundations

الأساسات تتقسم إلى نوعين أساسيين ويضم كل نوع عدة أشكال للأساسات :

أ- الأساسات السطحية : Shallow Foundations

وهي الأساسات التي تنفذ على أعماق قريبة من سطح الأرض حيث يكون عمق التأسيس أقل من ضعف عرض الأساس، والأساسات السطحية تضم القواعد المنفصلة والأساسات الشريطية المستمرة والقواعد المشتركة واللبنة، ويضم شكل (١-٣) أنواع الأساسات السطحية المختلفة، والأساسات السطحية تمثل في الأساسات الجزء الأكثر استخداماً والأشهل تنفيذاً والأكثر اقتصاداً، وفي أغلب الأحوال ينصح باستخدام الأساسات السطحية إلا إذا

تعذر ذلك بسبب طبيعة التربة ونوع المنشأ وأحماله فيضطر إلى استخدام الأسسات العميقة الأكثر تكلفة والأصعب تنفيذاً.

ويمكن استخدام الأسسات السطحية عند وجود طبقة من التربة ذات قدرة تحمل مناسبة وقريبة من سطح الأرض مع عدم وجود طبقات عالية الإنضغاط على أعماق قريبة من منسوب التأسيس حتى يكون الهبوط المحسوب للأساس في حدود القيم المسموح بها.

بـ- الأساسات العميقة : Deep Foundations

حينما يتعدى الحصول على طبقة صالحة للتأسيس بالقرب من سطح الأرض لتنفيذ أساسات سطحية يتم اللجوء اضطراراً إلى اختراق التربة لأعماق كبيرة للحصول على العمق الصالح للتأسيس. ويتم ذلك بتنفيذ أساسات عميقة مثل الأساسات الخازوقية وأساسات الدعامات والقيسونات شكل (٢-٣) وتستخدم الأساسات العميقة في الحالات الآتية :

أـ- حينما تكون الطبقات السطحية من التربة ضعيفة درجة لا تسمح لها بتحمل الإجهادات المنقولة إليها من الأساسات.

بـ- حينما يكون تنفيذ الأساسات السطحية صعباً مثل التنفيذ في قاع البحر أو في الأنهر.

جـ- حينما تكون أحmal المنشأ كبيرة بدرجة لا تكفي معها استخدام الأساسات السطحية على كامل موقع المنشأ.

دـ- حينما تتواجد أحمال جانبية كبيرة مؤثرة على المنشأ مما يستلزم تنفيذ نظام إنشائي للأساسات يتحمل المركبات الأفقية المنقولة للأساسات مثل استخدام الخوازيق المائلة.

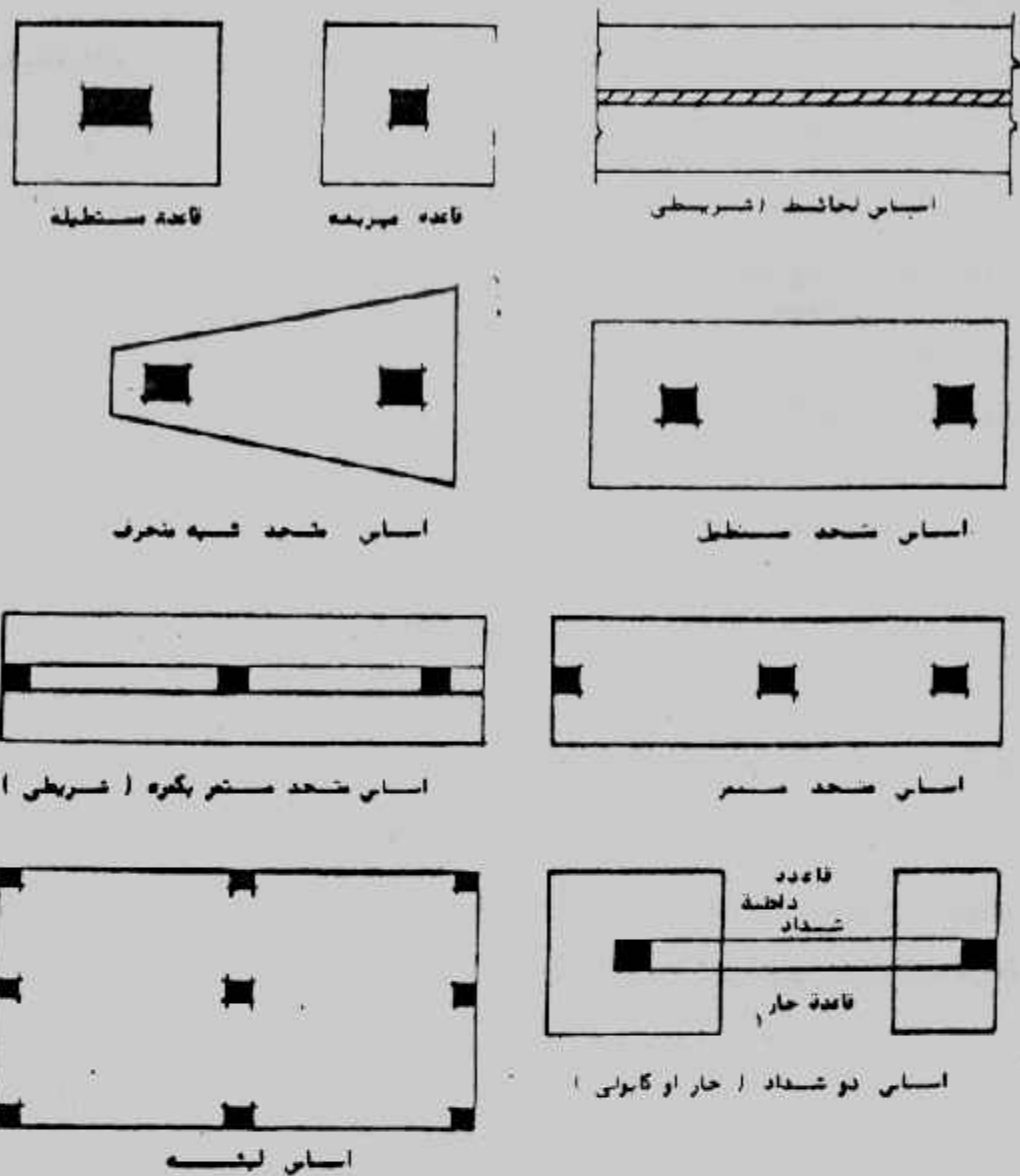
اختيار نوع الأساس : Type of Foundation

يتم اختيار نوع الأساس المناسب طبقاً للعوامل الآتية :

١- المتطلبات الإنشائية مثل نوع المنشأ ووظيفته واستخدامه وأبعاده الرئيسية وحساسيته للهبوط العكفاوي.

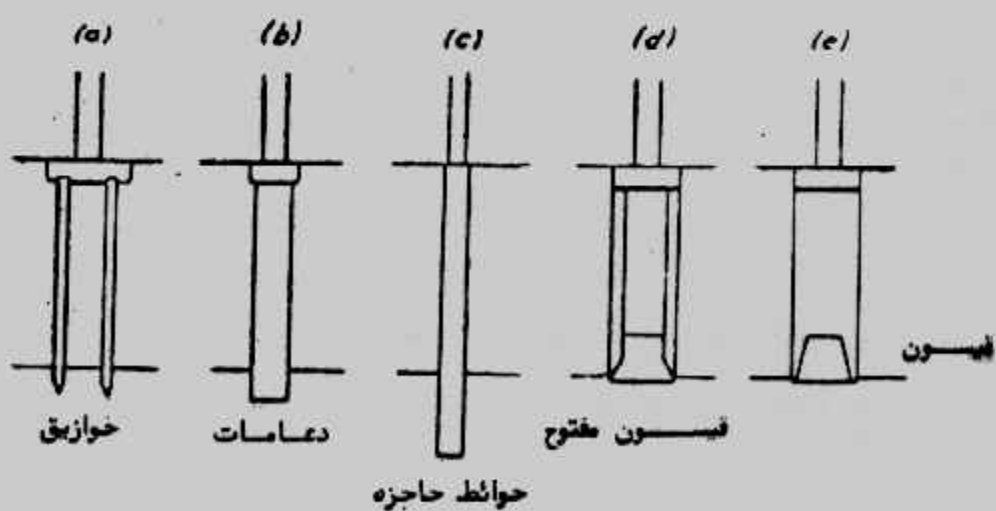
٢- أحمال الأساس مثل قيمة الأحمال الحية والميته وأنواع وقيمة الأحمال الأخرى وكيفية توزيع هذه الأحمال وانتقالها للتربة.

٣- حالة التربة وتشمل مقاومتها وإنضغاطها وخصائصها الانتفاخية أو الإلتهابية وكيفية انتقال الأحمال فيها ووجود طبقات الردم وحجمها وتأثير وجود الكيماويات بالترابة.



Shallow Foundation $D_f < 2B$

شكل (١-٣) : الأساسات السطحية



Deep Foundation

شكل (٢-٣) الأساسات العميقة

- ٤- المياه الجوفية وتشمل منسوبها وتغيراتها وتأثيرها على خواص التربة المحيطة بالأساسات وكذلك تأثيرها على الأساسات نفسها وما تحتويه من كيماويات .
- ٥- الموقع وحالته المناخية من حيث طبوغ رافيتة ومدى تأثره بحرارة مياه البحر أو الفيضان أو الأمطار أو الجليد كذلك التأثيرات الحرارية والزلزال .
- ٦- متطلبات التنفيذ مثل زمن التنفيذ وأساليب التنفيذ في الحفر وسد جوانب وتصريف المياه والتأثيرات الناتجة عن تنفيذ الأساسات .
- ٧- الناحية الاقتصادية والتكاليف المقدرة لتنفيذ المنشآت وكذلك تكلفة المواد والمعدات الداخلة في تنفيذ الأساسات .

١٠ تحديد عمق التأسيس : Foundation Depth

عند اختيار عمق أو منسوب التأسيس يجب مراعاة ما يلى :

- ١- أن يكون الأساس أسفل خط المتجمد Forst Line في المناطق المعرضة للأجواء الباردة نظراً للتغيرات الحجمية المصاحبة .
 - ٢- أن يكون الأساس أسفل مناطق التغير الحجمي الكبير حيث لا ينصح بالتأسيس على الردم وكذلك على التربة الطينية أو الطميية ذات التغيرات الحجمية العالية Fill High إلى العالية جداً Very High الموضح حدود أتربرج لها في جدول (١-٣) .
- جدول (١-٣) التغير الحجمي للتربة

Potential soil volume change as related to the plasticity index I_p and the liquid limit w_L

Potential for volume change	Plasticity index I_p	Shrinkage limit w_s , %	Liquid limit w_L , %
Low	< 18	> 15	20-35
Medium	18-28	10-15	35-50
High	28-41	7-12	50-70
Very high	> 41	< 11	> 70

- ٣- أن يكون الأساس أسفل التربة السطحية Topsoil أو المواد العضوية .
- ٤- تجنب التأسيس على الطبقات الضعيفة مثل التربة العضوية Peat .
- ٥- موقع الطبقات الضعيفة والقوية .

- ٦- موقع منسوب المياه الجوفية حيث ينصح بالتأسيس اسفل المنسوب الأدنى لتبدد سطح المياه الجوفية حيث تكون التربة في منطقة تبدد المياه فيها أقل ثباتاً ومقاومة.
- ٧- التربة ذات المشاكل مثل التربة الإنهيارية والتربة القابلة للإنفاس، ويجب الحذر في التأسيس على التربة الإنهيارية والتي تحتاج عادة إلى معالجة وتحسين لخواصها قبل التأسيس عليها. كما يجب الحذر عند التأسيس على التربة الجافة القابلة للإنفاس والتي قد تتنفس عند هطول الأمطار أو وصول المياه إليها من أي مصدر آخر. وعند التأسيس على طبقات طينية جافة يجب ألا يقل عمق التأسيس عن ١,٥ متر.
- ٨- في حالة وجود فراغات صناعية في التربة تحت منسوب التأسيس مثل خطوط المجاري أو الأنفاق أو خزانات الصرف . يتم ملء هذه الفراغات برمدها بتربة أقوى مثل الزلط أو الرمل مع الدمل الجيد أو النزول بمنسوب التأسيس أسفل هذه الفراغات.
- ٩- موقع الأساسات المجاورة حيث يجب بعد الأساسات الجديدة عنها بمسافة تحدد كما في شكل (٣-٣) لتجنب تراكم وتدخل الإجهادات حيث يكون $Z_f > m$.
و عموماً يجب ألا يقل عمق التأسيس عن ٠,٨ مترًا تحت منسوب سطح الأرض وذلك لضمان عدم تأثير التربة عند منسوب التأسيس بالعوامل الجوية ويمكن أن يقل هذا العمق في حالات التربة الصخرية السليمة والمباني المؤقتة أو الصغيرة.

الأحمال على الأساسات : Loads on Foundations

الأساسات يجب أن تصمم على الأحمال الميتة (الدائمة) والأحمال الحية وأحمال الرياح والزلزال والحرارة وغيرها.

١- **الأحمال الميتة (الدائمة)** Dead Loads : الأحمال الميتة هي مجموع الأحمال الثابتة والمستديمة سواء منها الأثقال الذاتية للعناصر الإنسانية أو الأثقال الثابتة المحمولة بواسطة هذه العناصر الحاملة. ويدخل ضمن هذه الأحمال وزن الأرضية وقوة دفعها الجانبية وكذلك الأرضيات والحوائط الحاملة والتركيبات. وبحسب الحد الأدنى للأحمال والقوى لتصميم المنشآت من جداول الأحمال المختلفة أو تفاصيل الأوزان الفعلية.

٢- **الأحمال الحية Live Loads** : الأحمال الحية هي الأحمال المتغيرة والمتحركة التي يتعرض لها أي جزء من المنشأ بما في ذلك الأحمال الموزعة والمركزة وأحمال الصدم والاهتزازات والقصور الذاتي وهي تشمل :

أ- أوزان الأشخاص مستعملى المنشآت مثل صالات الاجتماعات.

بـ- أحمال الماكينات واهتزازاتها .

جـ- أحمال الآلات والأجهزة والآلات غير المثبتة ومواد التخزين، وكذلك أوزان الشدات والأوناش والمعدات المستخدمة في التنفيذ .

ويعطى جدول (٢-٣) الحدود الدنيا للأحمال التي يجب أن تؤخذ في الاعتبار عند التصميم . ويحدد المهندس المصمم القيم الفعلية التي قد تتجاوز تلك القيم حسب المتطلبات الفنية للمنشأ . وفي المبانى السكنية متعددة الطوابق التي تزيد عن خمسة أدوار يراعى تخفيض الأحمال الحية وفقاً للجدول (٣-٣) عند حساب الأحمال على نقط الارتكاز كالجدران والأعمدة والأساسات . وفي حالة الأحمال الحية الناتجة عن الماكينات أو الأوناش أو أى جهاز له تأثير ديناميكى يؤخذ تأثير هذا الحمل في الاعتبار بأن يزيد الحمل الحى المحسوب بنسبة مئوية محددة ما لم يذكر خلاف ذلك في المواصفات الخاصة بالماكينة كالتالى :

توربينات، مصاعد	١٠٠%
أوناش متحركة كهربائية	٢٥%
أوناش متحركة يدوية	١٠%
ماكينات ثابتة تحدث اهتزازات	٥٠%

٣- أحمال الرياح Wind Loads : يجب تصميم المبانى العالية والعربيضة لمقاومة أحمال الرياح ولقد بينت الكودات المصرية للخرسانة والأحمال تفاصيل حساب القوى الناتجة عن الرياح . وبهمل تأثير أحمال الرياح للمبانى ذات الارتفاع المساوى أو أقل من عرضه .

٤- أحمال الزلازل Earthquake Loads : تصميم الأساسات لمقاومة الزلازل حسب المنطقة الزلزالية الموجودة بها المبنى . وسوف نفرد فصلاً مستقلاً لتصميم الأساسات المقاومة للزلازل . كما أن أحمال الرياح والزلازل لا تؤخذان معاً في نفس الوقت وذلك بعد احتمال تواجد أحمال الرياح في وجود الزلازل .

توزيع ضغط التماس تحت الأساسات السطحية :

Pressure Distribution Under Shallows Foundation (Contact Pressure)

توزيع ضغط التماس بين الأساس وتربة التأسيس من المتطلبات الرئيسية لتصميم الأساسات السطحية حيث أنه بمعرفة الأحمال المؤثرة على الأساس وتوزيع ضغط التماس أسفله يمكن حساب القوى الداخلية من قص وعزوم باستخدام نظرية الإنشاءات . ونظراً للحساسية الكبيرة في عزومن الإنحناء نتيجة أي تغير بسيط في توزيع ضغط التماس فإنه يجب اختيار توزيع

جدول (٢-٣) : الحدود الدنيا للأعمال الحية

نوع النشاط	المهل كجم/م²
أ- اسطح نهائية أقليّة لا يوصل إليها (غير مستحبة) متللة (زائدة المهل أكثر من ١٠٢٠ لا يوصل إليها (غير مستحبة)) أقلّية أو متللة يوصل إليها في ميائس سكتبة أقلّية يوصل إليها في ميائس عادة	١٠٠ - ٩٠: ٢٠٠ ٤٠٠
ب- الميائس السكتبة غرف سكتبة سلالم مكرونة	٤٠٠ ٣٠٠ ٣٠٠
ج- الميائس الإدارية غرف مكاتب سلالم مكرونة أرشيف (الوراق ومستحبات تحت الملاحظ)	٣٠٠ ٤٠٠ ٤٠٠ ١٠٠٠-٥٠٠
د- المستحبات غرف علاج المرضى سلالم طرقات مكرونة عنابر علاج المرضى غرف المراجحة غرف الأشعة	٣٠٠ ٤٠٠ ٤٠٠ ٤٠٠ ٩٠٠ - ٣٠٠ ٨٠٠ - ٥٠٠
هـ- المطلوب لصوّل تعليمية سلالم وطرقات مساكن مكتبات صالات رياضية	٣٠٠ ٤٠٠ ٤٠٠ ٤٠٠ ٤٠٠

تابع جدول (٢-٣) : الحدود الدنيا للأعمال الحية

العمل كجم/م ²	نوع العمل
٥٠٠	د- التلعبات والصالات الناعمات والصالات ذات اللقاعد الثابتة
٦٠٠	الناعمات والصالات ذات اللقاعد غير الثابتة
٨٠٠ أو أكثر	ز- محلات البيع بالتجاويف محلات البيع بالجملة والمخازن (حسب نوع للرائد المخزنة والألات)
١٠٠٠ أو أكثر	ح- النساج
٤٠٠	غرف النزلاء.
٤٠٠	غرف للخدمة المسامة
٦٠٠	السلام والطرقات
٤٠٠	غرف الطعام والطعام
٤٠٠	ط- السكبات
٤٠٠	غرف الإطلاع
٩٠٠	غرف المحفظ للكتب
٨٠٠	ج- المسارح وصالات السينما
٢٠٠	الطرقات والسلام
٨٠٠	غرف خلع للناس
٤٠٠	الشترفات
٤٠٠	الناعمة الرئيسية والبلكرنات (ذات اللقاعد الثابتة)
٦٠٠	الناعمة الرئيسية والبلكرنات (ذات اللقاعد غير الثابتة)

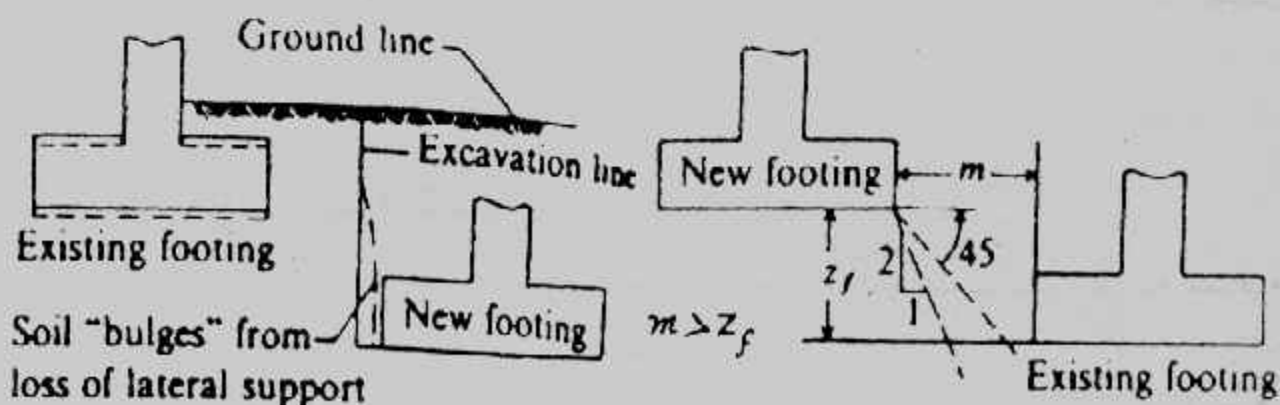
تابع جدول (٢-٣) : الحدود الدنيا للأحمال الحية

نوع النشاط الحمل كجم /م ²	
	لـ السفن يجب حساب الأحمال طبقاً لاستخدام المنس بالإضافة إلى التأثير الديناميكي لارتفاع الماكينات التي يجب أن يوضع لها الإعتبار.
٢٠٠	مـ المراeras جراجات لمعبئات الركوب (لا يزيد الارتفاع الصالح هنا داخل عن ٦٢ م)
٤٠٠	جراجات لمعبئات الركوب والمعبئات المساعدة والأتوبيسات المراد للجراجات المذكورة
٨٠٠	

جدول (٣-٣) : تخفيض الأحمال الحية في المباني السكنية

قيمة الحمل الإضافي	موقع السقف
P	السقف الأعلى أو السطح
P	السقف الأول تحت السطح
0.9 P	السقف الثاني تحت السطح
0.8 P	السقف الثالث تحت السطح
0.7 P	السقف الرابع تحت السطح
0.6 P	السقف الخامس تحت السطح
0.5 P	السقف السادس تحت السطح

ويحتفظ بمعامل التخفيض (0.5) لكل من الطوابق المأهولة.



شكل (٣-٢) : موقع الأساسات الجديدة بالنسبة للمجاورة

ضغط التماس الذى يمثل السلوك الفعلى للأساس والذى يؤدى إلى تنفيذه بأبعاد اقتصادية . ولقد بيّنت الدراسات التحليلية لنظرية المرونة وبعض الدراسات المعمليّة والموقعيّة أن جهد التماس تحت الأساس - المحمول بحمل منتظم - لا يكون منتظمًا وتوزيع الإجهادات تحت الأساس يعتمد على :

- ١- جسمة الأساس ونوعه .
- ٢- نوع تربة التأسيس .

ويبين شكل (٣-٤) وشكل (٣-٥) أشكال ضغط التماس حيث يكون تحت مركز الأساس قيمة قصوى للتربة الخشنة وقيمة دنيا للتربة الناعمة . ولقد تبيّن أن هذا التوزيع يكون واضحاً حينما يكون الأساس على سطح الأرض ، ويتأثر هذا التوزيع بعمق التأسيس ودرجة دمك التربة والهبوط . ولقد اتضح أنه كلما زاد عمق التأسيس وأحيط الأساس بالترابة من جميع الاتجاهات وكان الأساس جاسناً فإن توزيع صفط التماس يقترب من الحالة الخطية ويصبح أكثر انتظاماً لكن من التربة الناعمة والخشنة .

و عموماً فعند تصميم الأساسات يؤخذ ضغط التماس خطياً و منتظماً تحت الحمل المتمرّز في مركز الأساس وخطي التوزيع بينما يكون الحمل غير مرکز في شكل (٦-٣) و عند تصميم المقاطع الحرسانية تأخذ بعض المواصفات والقواعد (مثل AASHTO و ACI) قيم الاحيادات المسموح بها للخرسانة دون تخفيض . بينما تأخذ كودات أخرى مثل AREA الجمعية الأمريكية ل الهندسة السكة الحديد الإجهادات بعد تخفيضها بنسبة ١٠٪ ذلك عند اعتبار صفط التماس منتظم التوزيع .

ولقد أعطى الكود المصري بالتفصيل عدة طرق لحساب ضغط التماس (التلامس) للأنواع المختلفة للأساسات ولقد أوردنا هذه الطرق في نهاية هذا الباب . وتبين الأشكال (٣-٦)، (٣-٧) بعض توزيعات ضغط التماس أسفل نموذج أساس ، وكذلك أسفل أساسات عند تحمل مختلف .

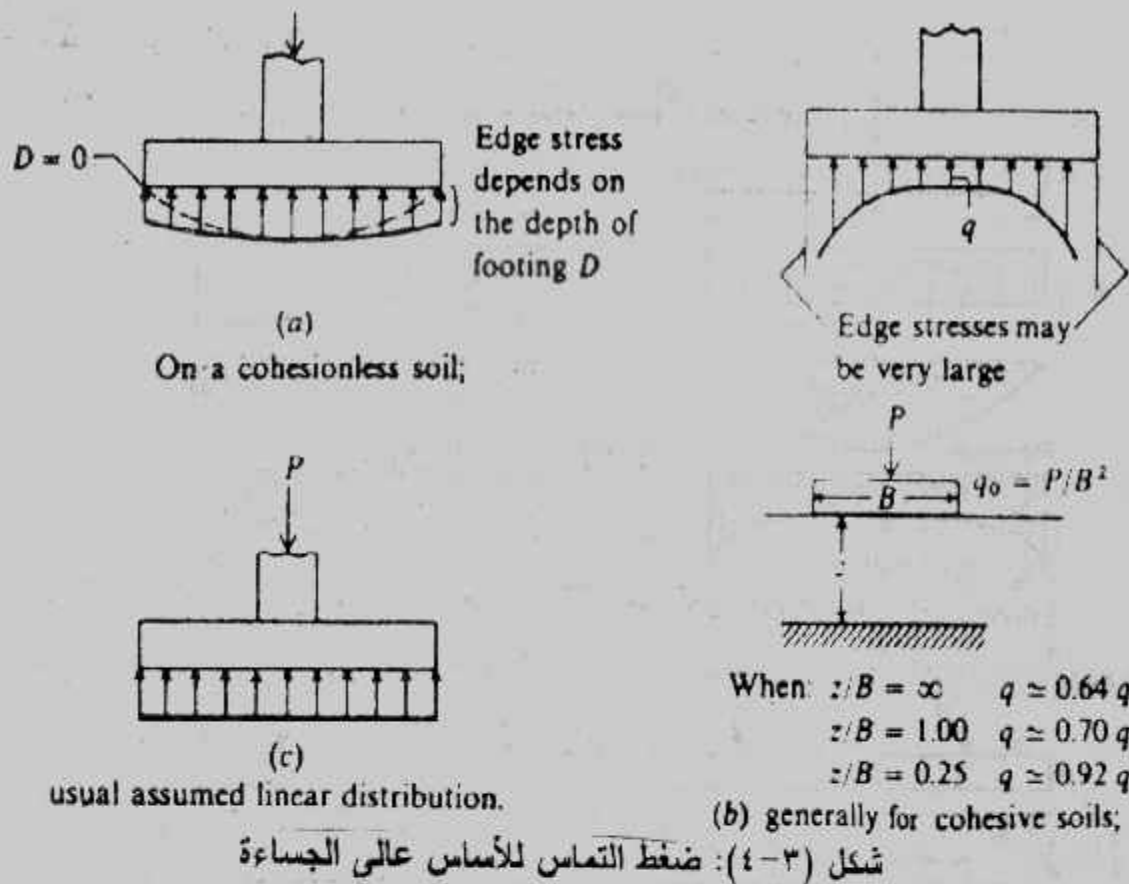
مساحة الأساس وقدرة التحمل :

تحسب الأحمال للمنشأ عند منسوب سطح الأرض P ، فإذا كانت قدرة التربة الصافية الآمنة q_{nA} معلومة فإن مساحة الأساس A تحسب من :

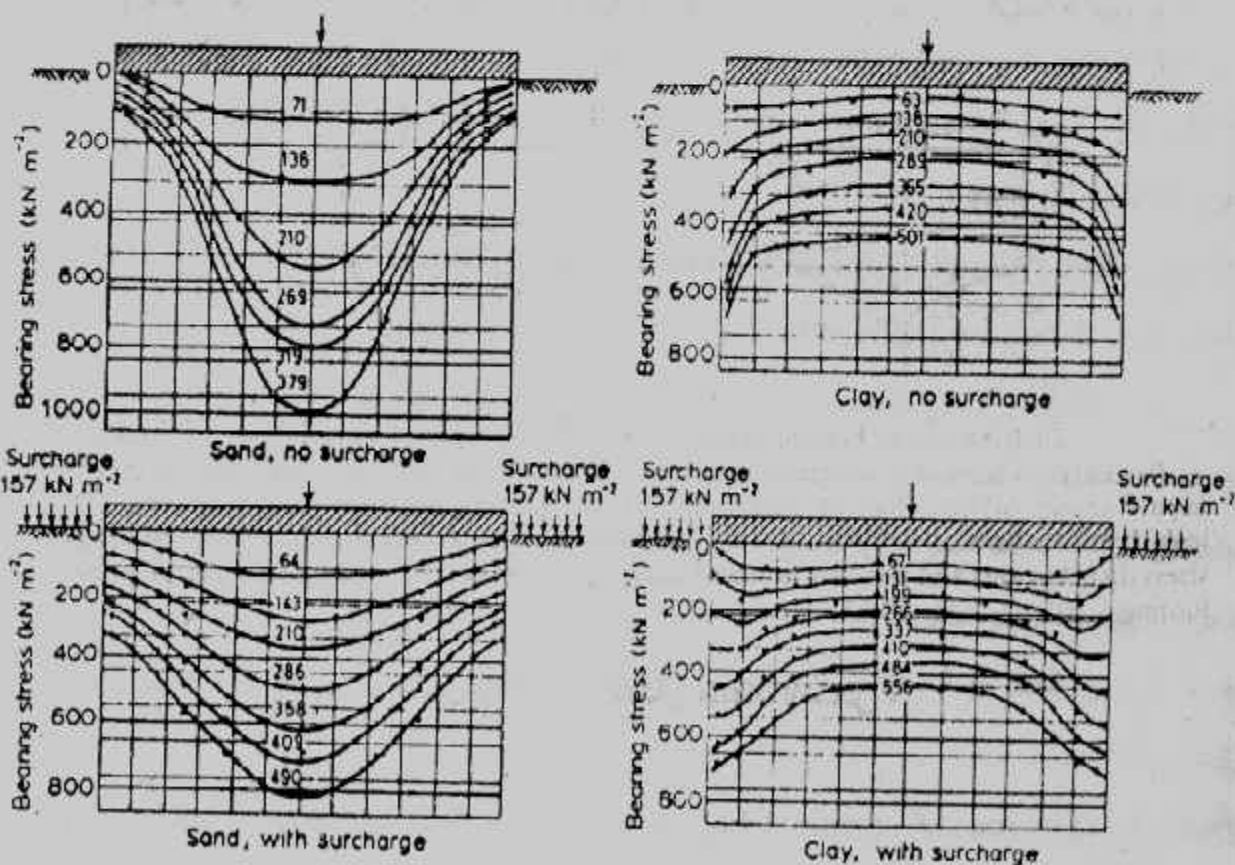
$$A = P/q_{nA}$$

فإذا كانت قدرة تحمل التربة q_a هي المعطاة فإن مساحة الأساس تحسب من

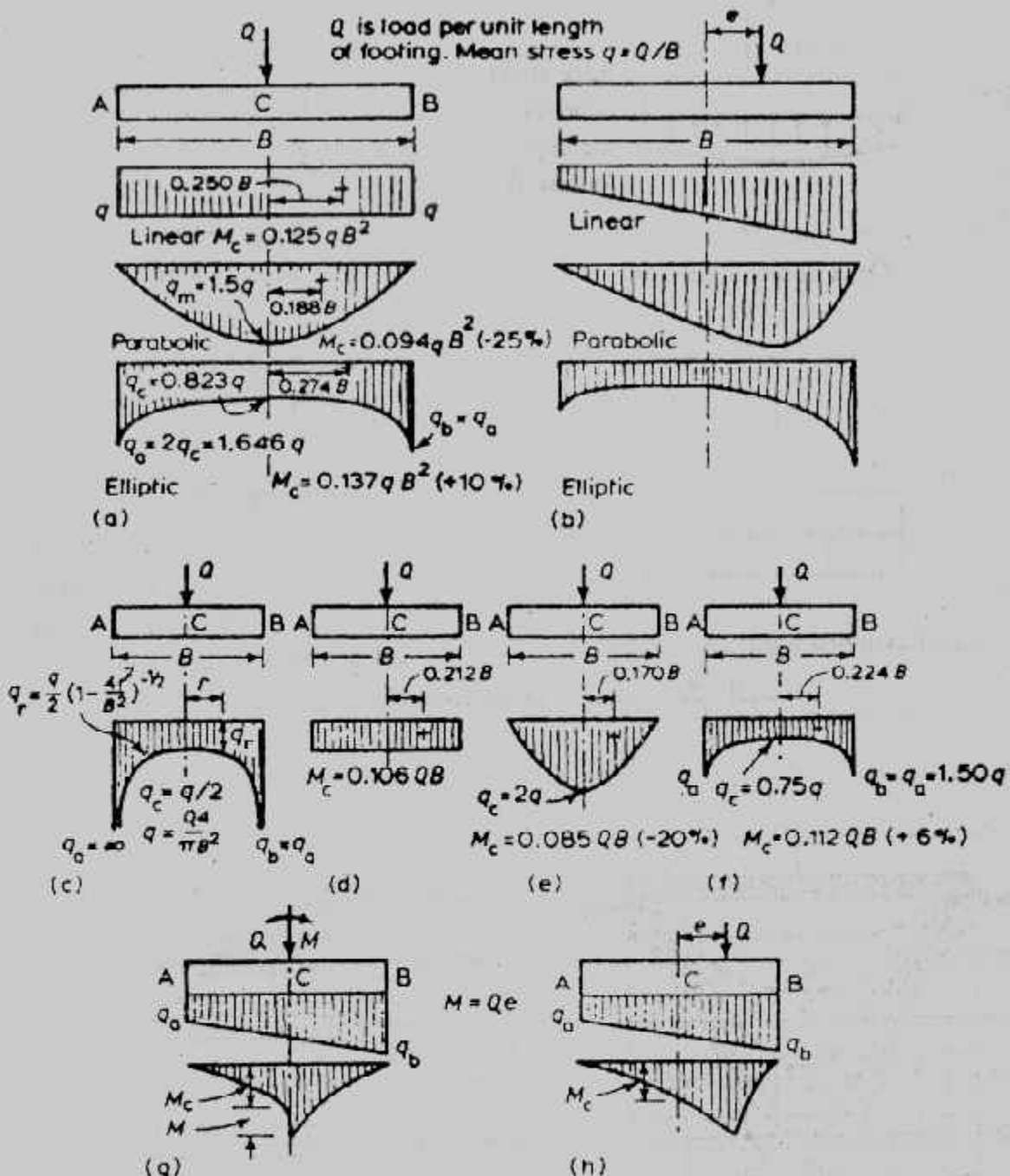
$$A = P / q_a - \gamma_a D$$



شكل (٤-٣): ضغط التماس للأساس على الجسام



شكل (٤-٥): توزيع ضغط التماس أسفل نموذج أساس



Distribution of bearing stress beneath foundations. Centres of stress marked

+ Percentage increase or decrease in M , compared with M_0 , for linear distribution given in parentheses. (a) Strip footing, axial load; (b) strip footing, eccentric load; (c) elastic; (d) linear; (e) parabolic; (f) elliptic; (g) to (f) circular footing, axial load; (g) and (h) bearing stress distributions and bending moment diagrams for eccentric loading on a rectangular footing.

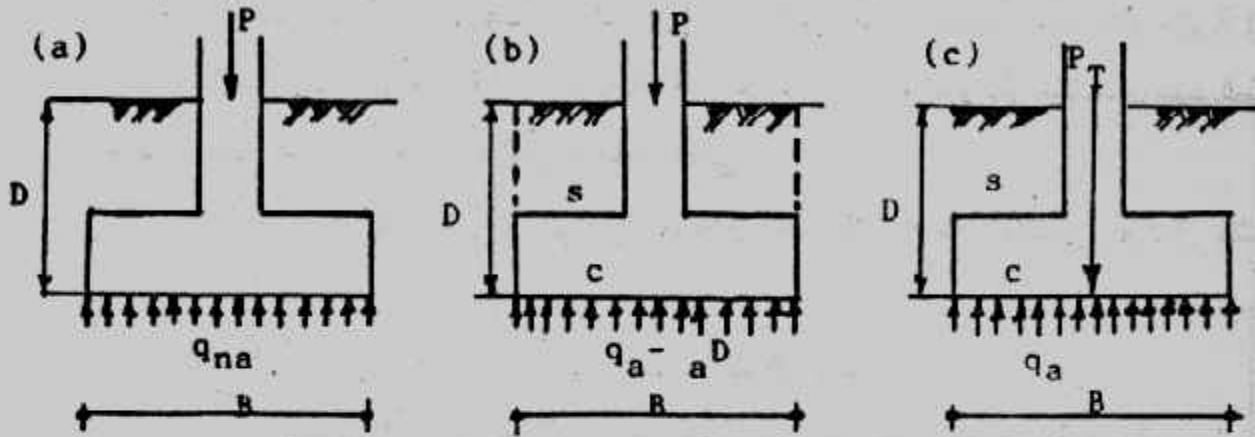
شكل (٦-٣): أشكال ضغط التماس.

حيث D هو عمق منسوب التأسيس، γ_a هي الكثافة المتوسطة بين كثافة خرسانة الأساس (1.9 kg/cm^2) و على ذلك فنأخذ γ_a مساوية (2.2 kg/cm^2) لتسهيل الحسابات شكل (٧-٣) أما إذا حسب الحمل الكلى P_T عند منسوب التأسيس حيث :

$$P_T = P + \gamma_a D$$

فإن مساحة الأساس تحسب من :

$$A = P_T - q_a$$



شكل (٧-٣): مساحة الأساس وقدرة التحمل

طرق تصميم القطاعات : Design Methods of Section

عند تصميم قطاعات العناصر الخرسانية للأساسات يلزم مسبقا اختيار طريقة التصميم . ويسمح الكود المصري لتصميم وتنفيذ المنشآت الخرسانية المسلحة لسنة ١٩٨٩ باستعمال إحدى الطريقتين التاليتين للتصميم :

- طريقة المرونة(طريقة اجهادات التشغيل) (Working Stress Method)

- طريقة حالات الحدود (Limit States Method)

ويمكن تلخيص أسس التصميم لكل من الطريقتين المذكورتين فيما يلى :

أ- تحديد الخواص والمقاومات للمواد الداخلة في تركيب الخرسانات وكذلك تحديد العوامل المؤثرة عليها ، تحديد الخواص المميزة التي يتم تصميم المنشأ على أساسها وتحديد معاملات الأمان الكافية أثناء مرحلة الإنشاء والتشغيل .

ب- تحديد القوى الخارجية والأحمال الثابتة والمتحركة التي تؤثر على المنشأ في مرحلة الإنشاء والتشغيل .

ج- الأفعال الداخلية Straining Actions في عناصر المنشأ المختلفة (عزم الانحناء - قوى القص وللتي - القوى المحورية) الناجمة عن القوى والأحمال المذكورة في الفقرة (ب) .

ويجب أن تضمن طريقة التصميم أن يحقق المنشآت في أجزائها المختلفة ومجموعاته كوحدة متكاملة متطلبات الاستعمال والتشغيل التي نفذ من أجلها طوال فترة استخدامه مع ضمان عدم حدوث تشوهات أو شروخ معيبة وتوافر معامل أمان كاف ضد الإنهيار وعدم الإتزان.

٢٧) التصميم بطريقة المرونة (طريقة إجهاد التشغيل)

: Elastic (Working Stress) Design Method

طريقة المرونة (طريقة إجهاد التشغيل) ما زالت تستخدم في عدة بلاد نامية (منها مصر) حيث الإمكانيات متواضعة وتكنولوجيا تنفيذ الخرسانة محدودة وعند استخدام هذه الطريقة في التصميم يجب استيفاء شروط الأمان بتحقيق الآتي :

أ- أن لا تتعذر قيم الإجهادات في كل من الخرسانة وصلب التسليح تحت تأثير أحصار التشغيل قيم الإجهادات المسموح بها.

ب- أن يتم استيفاء الشروط الخاصة بحالات حدود التشكيل والترخيم.

ويبين الجدول (٣-٤) الإجهادات المسموح بها لتشغيل الخرسانة وصلب التسليح لخرسانة تتراوح إجهاداتها المميزة بعد ٢٨ يوماً بين ١٥٠، ٣٠٠ كجم/سم^٢،

جدول (٤-٣) إجهادات التشغيل للخرسانة والصلب

أوجهات التشغيل وفقاً لنوع الفرستة حسب ملحوظتها بعد ٢٨ يوماً كجم/سم٢									المصطلح	نوع الإجهاد	
مقاومة الفرستة المحسورة $(c = c_{min})$									Fcu	ذات	
الانهاء لـ الضغط كبير للأمر الـ مركبة bending or comp. + big ecc.									fc	ذات	
عمرك وبلاطك ts > 20 m 12 < ts ≤ 20 cm 10 < ts ≤ 12 cm 8 < ts ≤ 10 cm ts ≤ 8 cm									fc	ذات	
الانهاء لـ الضغط صغير للأمر الـ مركبة bending or comp. + small ecc. $e/t = 0.1$ $e/t = 0.2$ $e/t = 0.3$ $e/t = 0.4$ $e/t = 0.5$									fc	ذات	
القص أو إلى المقاومة الخرسانية : • بدون تسلیح في البلاطات والقواعد • بدون تسلیح في الأضلاع الأخرى • وجود تسلیح جذعي في جميع الأضلاع للقص والتي مما يصل إلى إذا كان									qc	ذات	
القص قذاف punishing									qb	ذات	
مقداره التفاصلي bond									bearing	bearing = 0.3 fc	
مقداره عند الترشيح $fctc = 0.75 (fcu) 3/2$									fcr	اجهاد	
fctc = $fcr = 0.75 (fctc) 3/2$									fcr	اجهاد	
الشدة المحسورة $fctc = fcr / 1.7$									fctc	اجهاد	
الانهاء البسيط $fct (M) = fctc / \eta$									fct	اجهاد	
N ≤ 10cm N = 20cm N = 40cm N ≥ 60 cm									fct	اجهاد	
نـدة اللـد الـ اـلـ كـزـى $fct = [fct (N) + fct (M)] \leq fctc / \eta$									tv	اجهاد	
tv = $t [1 + fct (N) / fct (M)]$									tv	اجهاد	
ذيلك الملحوم ٥٧/١٥									tv	اجهاد	
ذيلك الملحوم ٥٧/١٥									tv	اجهاد	
ذيلك الملحوم ٥٧/١٥									tv	اجهاد	
ذيلك الملحوم ٥٧/١٥									tv	اجهاد	
ذيلك الملحوم ٥٧/١٥									tv	اجهاد	
ذيلك الملحوم ٥٧/١٥									tv	اجهاد	
ذيلك الملحوم ٥٧/١٥									tv	اجهاد	
ذيلك الملحوم ٥٧/١٥									tv	اجهاد	
ذيلك الملحوم ٥٧/١٥									tv	اجهاد	
ذيلك الملحوم ٥٧/١٥									tv	اجهاد	
ذيلك الملحوم ٥٧/١٥									tv	اجهاد	
ذيلك الملحوم ٥٧/١٥									tv	اجهاد	
ذيلك الملحوم ٥٧/١٥									tv	اجهاد	
ذيلك الملحوم ٥٧/١٥									tv	اجهاد	
ذيلك الملحوم ٥٧/١٥									tv	اجهاد	
ذيلك الملحوم ٥٧/١٥									tv	اجهاد	
ذيلك الملحوم ٥٧/١٥									tv	اجهاد	
ذيلك الملحوم ٥٧/١٥									tv	اجهاد	
ذيلك الملحوم ٥٧/١٥									tv	اجهاد	
ذيلك الملحوم ٥٧/١٥									tv	اجهاد	
ذيلك الملحوم ٥٧/١٥									tv	اجهاد	
ذيلك الملحوم ٥٧/١٥									tv	اجهاد	
ذيلك الملحوم ٥٧/١٥									tv	اجهاد	
ذيلك الملحوم ٥٧/١٥									tv	اجهاد	
ذيلك الملحوم ٥٧/١٥									tv	اجهاد	
ذيلك الملحوم ٥٧/١٥									tv	اجهاد	
ذيلك الملحوم ٥٧/١٥									tv	اجهاد	
ذيلك الملحوم ٥٧/١٥									tv	اجهاد	
ذيلك الملحوم ٥٧/١٥									tv	اجهاد	
ذيلك الملحوم ٥٧/١٥									tv	اجهاد	
ذيلك الملحوم ٥٧/١٥									tv	اجهاد	
ذيلك الملحوم ٥٧/١٥									tv	اجهاد	
ذيلك الملحوم ٥٧/١٥									tv	اجهاد	
ذيلك الملحوم ٥٧/١٥									tv	اجهاد	
ذيلك الملحوم ٥٧/١٥									tv	اجهاد	
ذيلك الملحوم ٥٧/١٥									tv	اجهاد	
ذيلك الملحوم ٥٧/١٥									tv	اجهاد	
ذيلك الملحوم ٥٧/١٥									tv	اجهاد	
ذيلك الملحوم ٥٧/١٥									tv	اجهاد	
ذيلك الملحوم ٥٧/١٥									tv	اجهاد	
ذيلك الملحوم ٥٧/١٥									tv	اجهاد	
ذيلك الملحوم ٥٧/١٥									tv	اجهاد	
ذيلك الملحوم ٥٧/١٥									tv	اجهاد	
ذيلك الملحوم ٥٧/١٥									tv	اجهاد	
ذيلك الملحوم ٥٧/١٥									tv	اجهاد	
ذيلك الملحوم ٥٧/١٥									tv	اجهاد	
ذيلك الملحوم ٥٧/١٥									tv	اجهاد	
ذيلك الملحوم ٥٧/١٥									tv	اجهاد	
ذيلك الملحوم ٥٧/١٥									tv	اجهاد	
ذيلك الملحوم ٥٧/١٥									tv	اجهاد	
ذيلك الملحوم ٥٧/١٥									tv	اجهاد	
ذيلك الملحوم ٥٧/١٥									tv	اجهاد	
ذيلك الملحوم ٥٧/١٥									tv	اجهاد	
ذيلك الملحوم ٥٧/١٥									tv	اجهاد	
ذيلك الملحوم ٥٧/١٥									tv	اجهاد	
ذيلك الملحوم ٥٧/١٥									tv	اجهاد	
ذيلك الملحوم ٥٧/١٥									tv	اجهاد	
ذيلك الملحوم ٥٧/١٥									tv	اجهاد	
ذيلك الملحوم ٥٧/١٥									tv	اجهاد	
ذيلك الملحوم ٥٧/١٥									tv	اجهاد	
ذيلك الملحوم ٥٧/١٥									tv	اجهاد	
ذيلك الملحوم ٥٧/١٥									tv	اجهاد	
ذيلك الملحوم ٥٧/١٥									tv	اجهاد	
ذيلك الملحوم ٥٧/١٥											

وتعمل الأحمال التشغيل بأنها الأحمال المنتظر حدوثها تحت ظروف التشغيل والتى تكون احتمالات الزيادة فى قيمتها لا تتعذر ٥٪ وتشمل هذه الأحمال كل الأحمال الحية والدائمة وضغط الرياح والأتربة والسوائل والأحمال الديناميكية وأيضاً تأثيرات فرق الهبوط وأفعال الرزف والانكماس وتغيرات درجة الحرارة، ويؤخذ تأثير الزلازل فى الأجزاء المعرضة لها.

التصميم بطريقة حالات الحدود : Limit States Design Method

لا يجوز استخدام هذه الطريقة للتصميم فى حالة ما إذا كانت مقاومة الممیزة للخرسانة بعد ٢٨ يوماً أقل من ٢٠٠ كجم/سم^٢ (الكود المصرى) أو أقل من ٢١٠ كجم/سم^٢ (ACI) . وفي هذه الطريقة يتم استيفاء شروط استخدام معاملات أمان كافية لأحمال وأفعال التشغيل للحصول على الأحمال والأفعال القصوى التى يبلغ عندها المنشآت حداً من حالات الحدود ويؤخذ عند حساب هذه الحدود كافة العوامل التى تؤثر سلباً على مقدرة المنشآت فى مقاومة الأحمال والناتجة عن عوامل تخفيض لمقاومات المواد والتفاوتات المقبولة سواء فى التنفيذ أو فى الحسابات على ألا يتجاوز ذلك الحدود المسموح بها، ويمكن تحديد حالات الحدود فيما يلى :

- حالة حد المقاومة القصوى Ultimate Strength Limit State وهو الحد الذى يضمن عدم حدوث انهيار المنشآت أو لأجزاء منه والناتجة عن وصول القطاع إلى حد المقاومة القصوى له، وهذا الحد يتحكم فى طبيعة انهيار أجزاء المنشآت.
- حالة حد الإتزان Stability Limit State وهو الحد الذى يضمن عدم حدوث انهيارات ناتجة عن الإبلاج Buckling أو الإنقلاب Overturning أو الطفو Uplift أو الانزلاق Sliding للمنشآت.

- حالات حدوث التشغيل Serviceability Limit State وهى الحدود التى يؤثر تجاوزها سلباً على استخدام المنشآت ومتانته وهى تضم حالات حدود التشكيل والترخيم وهى الحالات التى تضمن عدم حدوث تشکلات أو ترخيم يتجاوز الحدود المسموح بها والتى تؤثر على كفاءة استخدام عناصر المنشآت، كما تضم حالات حد التسرب وهى الحالة التى تضمن عدم حدوث شروخ باتساع يؤثر سلباً على كفاءة المنشآت أو تحد من صلاحيته أو ملول لفترة هذه الصلاحية أو تؤثر على المظهر العام لأجزاءه.

وفي هذه الطريقة تحسب الأحمال والأفعال القصوى على عناصر المنشآت المختلفة بضرب أحمال التشغيل - المعرفة فى طريقة إجهاد التشغيل - فى معاملات زيادة الأحمال كما هو مبين فى جدول (٣-٥) .

جدول (٥-٣) : الأحمال القصوى .

كود المعهد الأمريكية للخرسانة ACI	الكود المصرى للمنشآت الخرسانية .	حالة التجمل
$U = 1.4 D + 1.7 L$	$U = 1.4 D + 1.6 L$	$L > 0.75 D$
$U = 1.4 D + 1.7 L$	$U = 1.5 (D + L)$	$L \leq 0.75 D$
$U = 0.75 (1.4 D + 1.7 L + 1.7 W)$ $U = 0.9 D + 1.3 W$	$U = 0.8 (1.4 D + 1.6 L + 1.6 W)$ $U = 0.9 D + 1.3 W$	الحمل الحى + ضغط الرباح (W)
$U = 0.75 (1.4 D + 1.7 L + 1.7 S)$ $U = 0.9 D + 1.3 S$	$U = 0.8 (1.4 D + 1.6 L + 1.6 S)$ $U = 0.9 D + 1.3 S$	الحمل الحى + حمل الزلازل (S)
	$U = 0.8 (1.4 D + 1.6 L + 1.4 T)$ $U = 1.4 (D + T)$	الحمل الحى + تأثير التغيرات الحرارية، الزحف، الإنكماش هبوط الركائز (T)
	$U = 1.4 D + 1.6 L + 1.6 K$	الحمل الحى + الأحمال الдинاميكية (K)

D - الأحمال الدائمة (الميئية)، L - الأحمال الحية

معنى تصميم الأساس :

تصميم الأساس يعني إيجاد المعلومات الآتية :

- عمق ونسبة التأسيس .
- مساحة الأساس وأبعاده من حيث الطول والعرض .
- سمك الأساس ومنها تحديد الغطاء الخرساني .
- حديد التسلیح اللازم للأساس وتوزيعه .
- عمل التأكيدات الازمة ليتحمل الأساس إجهادات القص والتقب والتماسك .

كما يجب على مصمم الأساس تحديد :

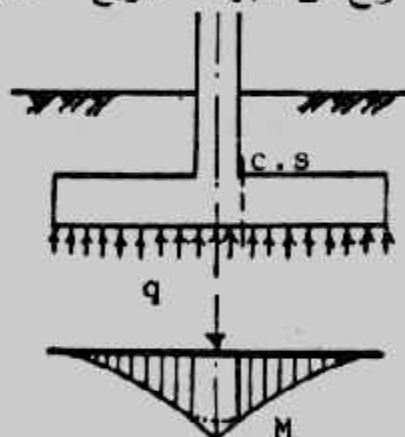
- إحتياطات الحفر وسد جوانبه .
- الإحتياطات الواجب تنفيذها لحماية مبانى وأساسات الجيران .
- إحتياطات تربة التأسيس مثل الدك أو الإحلال أو التحسين .
- طريقة وكيفية نزح المياه الجوفية .

- طريقة حماية الأساسات من الظروف المحيطة بها مثل العزل بالمواد الغير منفذة.
- مكونات خرسانة الأساسات ونوع الأسمنت المستخدم وطريقة التنفيذ.
- مادة الردم حول الأساسات وكيفية تنفيذه.
- بيان الكرمات الرابطة للأساسات وتفاصيلها الإنشائية وكذلك السملات الحاملة للحوائط.
- أي احتياطات أخرى لتنفيذ الأساسات.

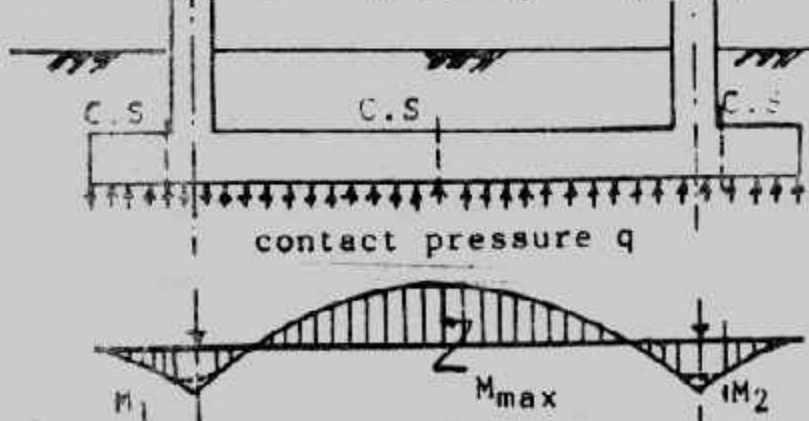
المقاطع الحرجة لتصميم الأساسات : Critical Sections

بعد تحديد عمق التأسيس وتعيين مساحة الأساس بمعرفة الحمل وضغط التماس يعين عزم الانحناء وتؤخذ أقصى قيمة له . وعادة يكون المقطع الحرجة للعزم للأساس المفرد حول العمود شكل (٨-٣) أما للأساسات المتحدة فيتم رسم عزم الانحناء وتعيين القيمة القصوى منه شكل (٩-٣) .

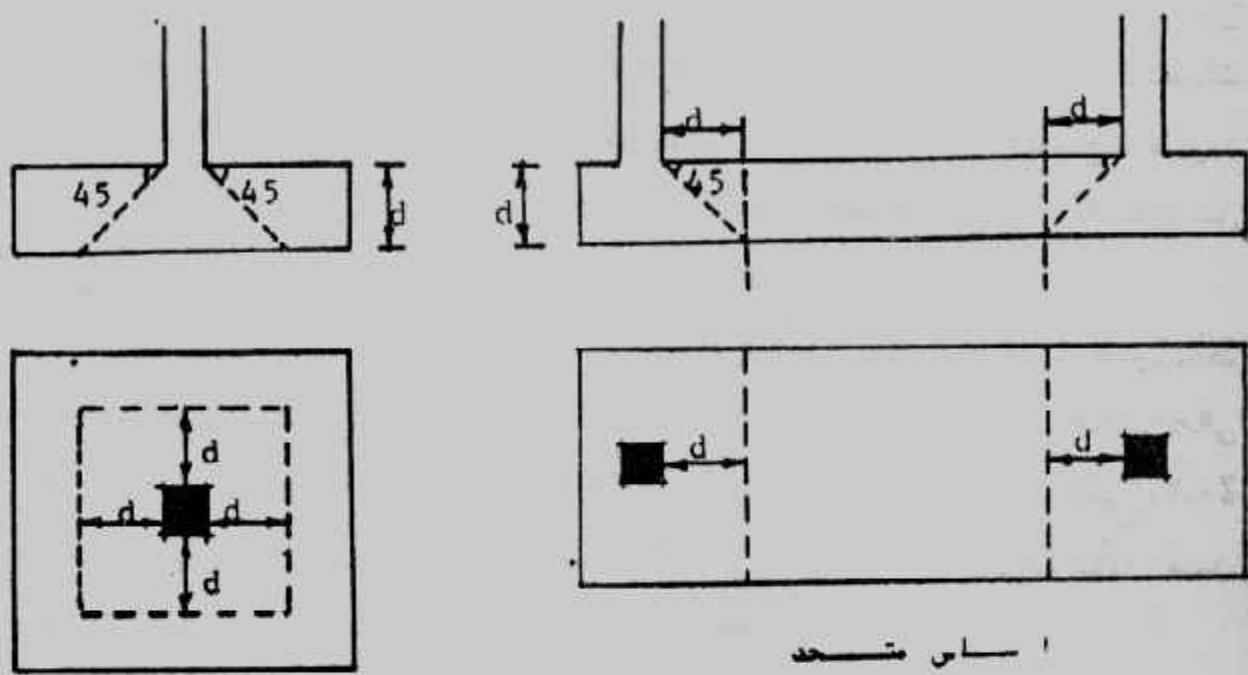
أما المقطع الحرجة للقص Shear فيؤخذ على بعد d من وجه العمود شكل (١٠-٣) أما المقطع الحرجة للقص الثاقب Pounding فيؤخذ حول العمود على بعد $d/2$ ويلاحظ أن المقطع الحرجة للقص الثاقب لعمود الركن يكون من اتجاهين فقط ولعمود الحافة من ثلاثة اتجاهات أما العمود الداخلى فيكون المقطع الحرجة من الجهات الأربع شكل (١١-٣) .



شكل (٨-٣): المقطع الحرجة في الأساس المفرد .



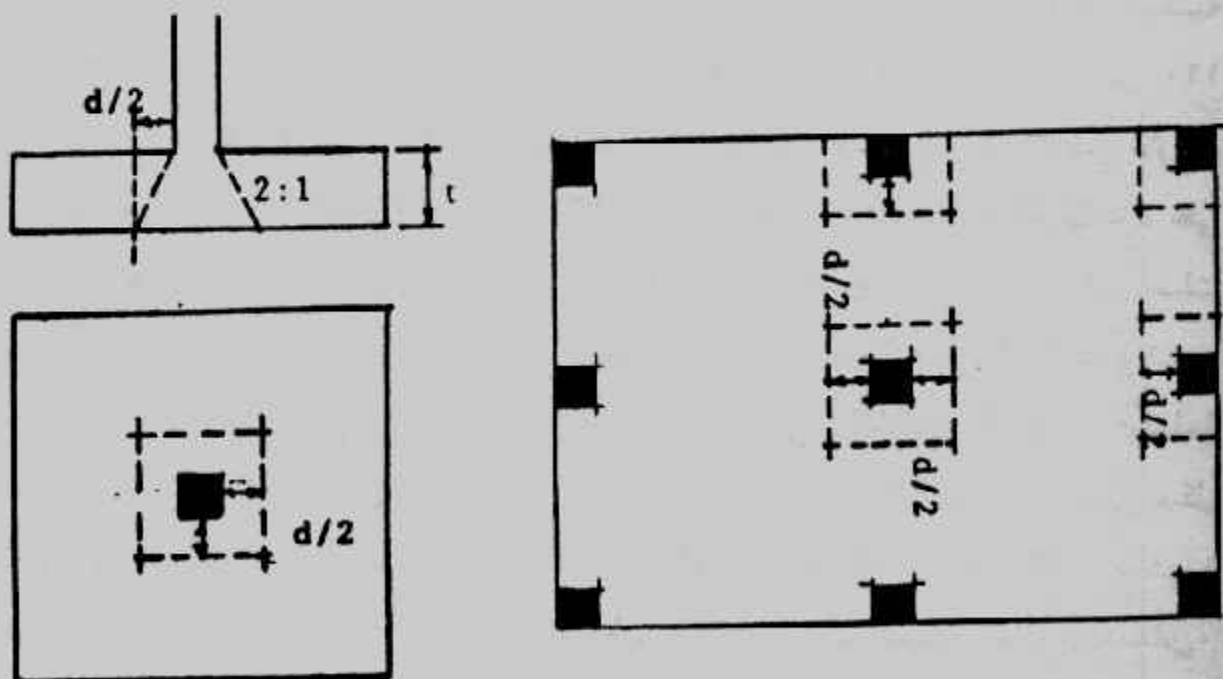
شكل (٩-٣): المقاطع الحرجة للعزم للعزوم للأساسات المتحدة .



١- سار متعدد

سار مفرد

شكل (١٠-٣): المقاطع العرجية للقص.



شكل (١١-٣): المقاطع العرجية للقص الناقب.

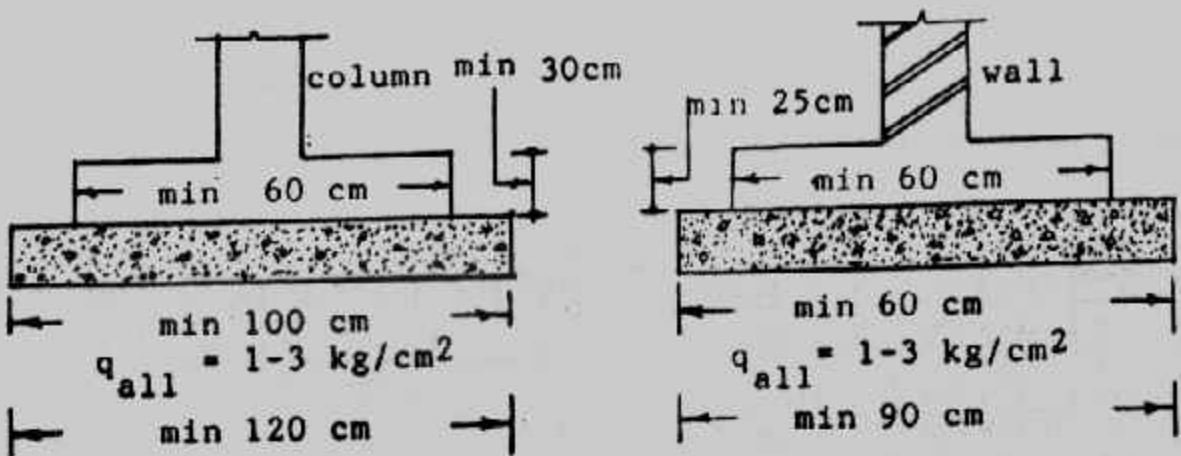
حديد التسليح للأساسات : Foundation Reinforcements

الأساسات تعامل معاملة البلاطات حيث يجب أن تسلح بما لا يقل عن خمسة أسياخ في المتر في التصميم بطريقة إجهادات التشغيل على أن يكون التسليح شبكة (أى في الاتجاهين). كما يجب ألا يقل قطر أسياخ التسليح عن 13 mm . كما يجب ألا تقل المسافة بين أسياخ التسليح عن 20.5 cm أو 10.33 cm من المقاس الاعتباري الأكبر (ACI) وتحدد بعض الكودات العربية (مثل السورى) مسافة ٨ سم كأقل مسافة بين حديد التسليح وعلى ذلك فينصح بألا يزيد عدد الأسياخ عن ١٢ سيخاً في المبانى الإعتيادية ويجب ألا تزيد المسافة بين أسياخ التسليح عن ٢٠ سم في جميع الحالات عند التصميم بطريقة إجهادات التشغيل .

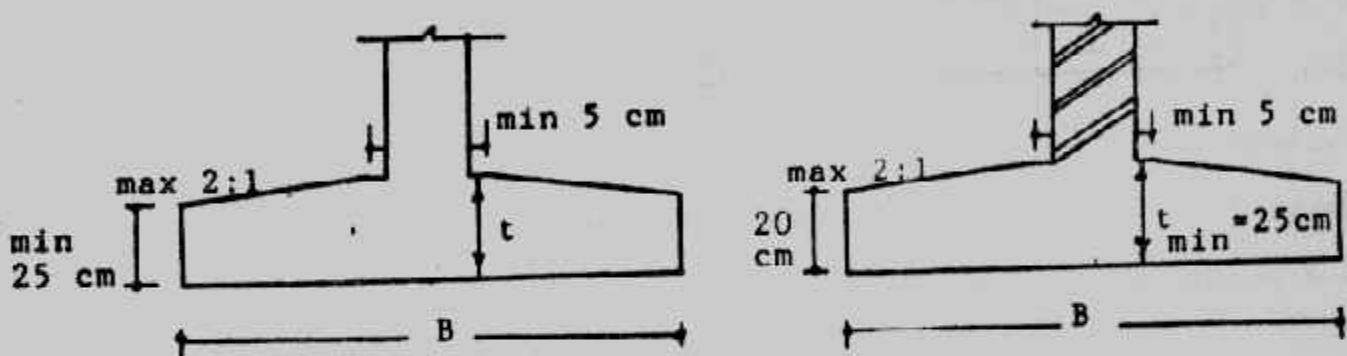
أما عن أدنى نسب حديد تسليح في الأساسات فقد اختلفت فيها الكودات بعضها يأخذ نسبة 0.25% من مساحة المقطع الخرسانى للصلب الطرى $35/24$ و 0.15% للصلب عالي المقاومة (الكود المصرى) وبعضها الآخر يأخذ أقل نسبة حديد تسليح بين 0.18% إلى 0.20% من مساحة القطاع الخرسانى حسب قيمة إجهاد الخضوع لحديد التسليح F_y (ACI) وتبين الجداول (٦-٣، ٧-٣)أسياخ حديد التسليح التي يمكن استخدامها .

أبعاد خرسانية : Concrete Dimensions

تحسب من التصميم الأبعاد الخرسانية مثل مساحة الأساس وتخانته كما تقتصر قيمة الغطاء الخرسانى . وأقل أبعاد لأساس الخرسانة المسلحة الغير حامل والمستعمل أسفل الشدادات الطويلة هي $60\text{ cm} \times 30\text{ cm} \times 30\text{ cm}$ سم سماكة وتسليح $\phi 13$ في كل اتجاه . أما بالنسبة لأساسات الأعمدة فلا يقل البعد الأصغر لها عن 100 cm للترابة القوية ($q_{n_a} < 3$) . وعن 120 cm في التربة الضعيفة ($1\text{ kg/cm}^2 \leq q_{all}$) هذا بالنسبة لأساسات المرتكزة على الأرض مباشرة (أساسات الخرسانة العادية) أما بالنسبة لأساسات الخرسانة المسلحة المرتكزة على لخرسانة العادية فلا يقل البعد الأصغر لها عن 60 cm وبالنسبة لأساسات الحوائط أو الأساسات الشريطية المرتكزة على التربة مباشرة فلا يقل عرضها عن 60 cm في التربة القوية ولا عن 90 cm في التربة الضعيفة شكل (١٢-٣) . أما الحد الأدنى لسمك (تخانة) الأساسات المسلحة فيجب ألا يقل عن 25 cm لأساس الحوائط أو الشريطية وألا يقل عن 30 cm لباقي الأنواع شكل (١٢-٣) . أما القواعد الهرمية ذات الميل فلا يقل سماكة الأساس عند الحافة عن القيم المذكورة في الفقرة السابقة ولا يزيد الميل عن $1:2$ وألا تطلب عمل شدات للسطح العلوى لأساس . كما يجب أن يترك سطح الأساس أفقياً حول العمود بمسافة لا تقل عن 5 cm وذلك لتسهيل تنفيذ الشدة الخشبية الرأسية للعمود ، شكل (١٣-٣) .



شكل (١٢-٣) : الأبعاد الدنيا للقواعد .



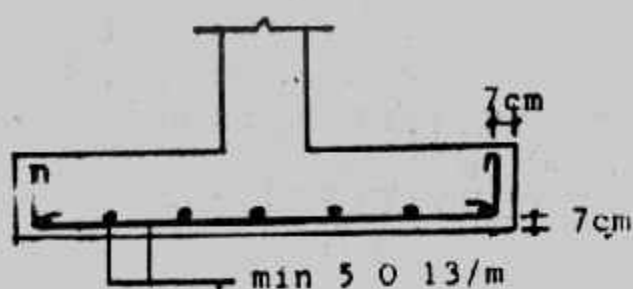
شكل (١٣-٣) : القاعدة الهرمية .

ويحدد سمك الأساس من التصميم بحيث يغطي جهد التماسك للأثابير الواسعة من تسليح العمود للأساس، جهد الثقب أو اختراق العمود بالقاعدة، جهد القص والعزوم . ويجب تحديد سماكة الغطاء الخرساني بحيث يكون كافيا لحماية حديد التسليح من التآكل . وبالنسبة لأعمال الخرسانة المعرضة للتربة بشكل مستمر يجب ألا يقل الغطاء الخرساني عن ٥ سم . أما الأعمال الخرسانية المعرضة لتأثير الكيماويات في التربة أو المياه الجوفية فيجب ألا يقل هذا الغطاء عن ٧ سم . ويحدد معهد الخرسانة الأمريكي (ACI) سماكة الغطاء الخرساني للأساسات بقيمة ٧,٥ سم . وعموما فإننا ننصح بألا يقل الغطاء الخرساني للأساسات عن ٧ سم . شكل (١٤-٣) .

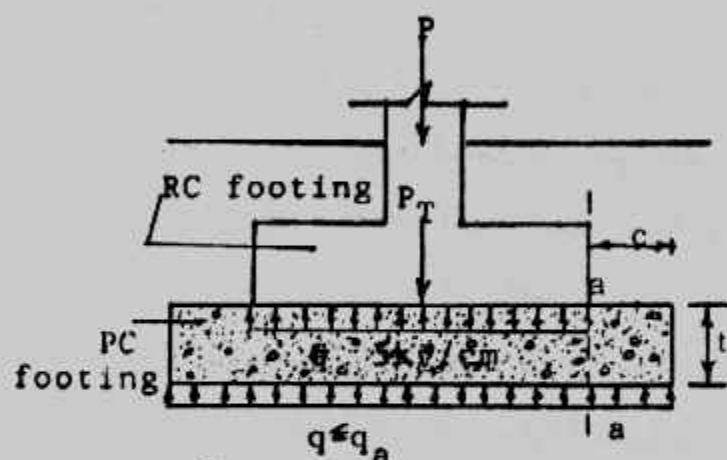
الخرسانة العاديّة للأساسات : Foundation Plain Concrete

لا تتفذ القواعد المسلحة للأساسات على تربة التأسيس مباشرة بل تتفذ على فرشة من الخرسانة العاديّة أو فوق قواعد من الخرسانة العاديّة أو لبنة من الخرسانة العاديّة . وفائدته الخرسانة العاديّة أسفل الخرسانة المسلحة للأساسات متعددة، منها عدم اختلاط الخرسانة المسلحة بالتربة وكذلك تسوية سطح التأسيس بالخرسانة العاديّة ثم استخدامها في إعداد سطح مستوى نظيف

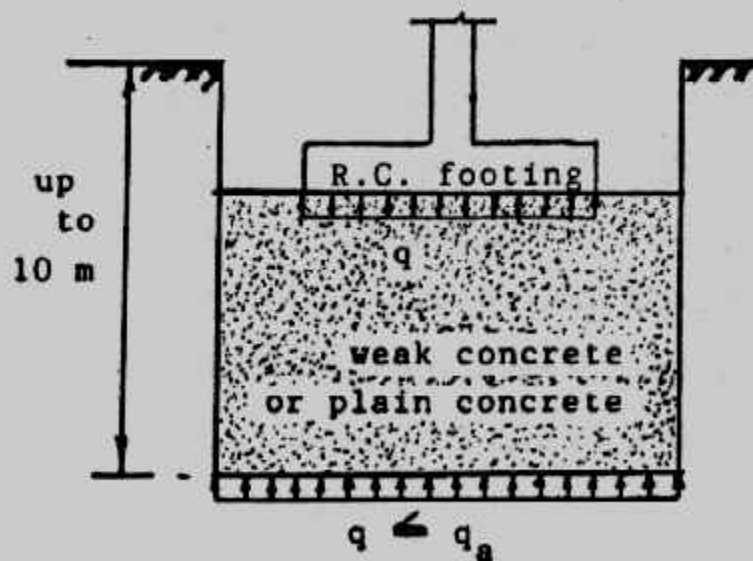
لتنفيذ أعمال الحداقة والشدات للخرسانة المسلحة . إضافة إلى ذلك فتستخدم الخرسانة العادي في توزيع الأحمال الواسلة من الخرسانة المسلحة للتربة . وقد تستخدم لنقل الحمل لطبقة من التربة على بعد غير سطحي وللخرسانة العادي أسفل الخرسانة المسلحة عدة حالات نوردها فيما يلى :



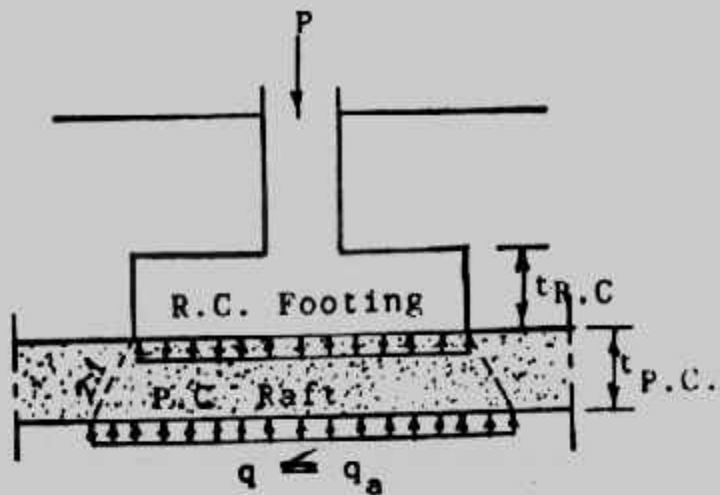
شكل (١٤-٣) : الغطاء الخرساني .



شكل (١٥-٣) : قاعدة من الخرسانة العادي .



شكل (١٦-٣) : الآبار الإسكندرانى .



شكل (١٧-٣) : لبسة من الخرسانة العادية .

الحالة الأولى : فرشة من الخرسانة العادية :

توضع فوق تربة التأسيس طبقة نظافة من الخرسانة العادية بسمك ٢٠-١٥ سم وتعمل هذه الطبقة كطبقة نظافة فقط ولا تؤثر على قدرة التحمل أو على إجهادات التصميم ولذلك فتحسب مساحة الأساس من حمل العمود وقدرة التحمل للتربة (جهد التربة) وفي هذه الحالة يكفي أن يكون بروز الخرسانة العادية عن المسلحه بمقدار ٢٠-١٥ سم .

الحالة الثانية : قواعد منفصلة من الخرسانة العادية بسمك ك ٣٠ سم :

توضع فوق تربة التأسيس قاعدة منفصلة من الخرسانة العادية بسمك أكبر أو يساوى ٣ سم وتتدنى فوقها القواعد المسلحة . وتعمل قاعدة الخرسانة العادية على توزيع الإجهاد الواصل إليها من القاعدة المسلحة إلى قيمة أقل من الجهد إلى التربة بينما يتناصف مع قدرة تحملها . وفي هذه الحالة تحسب مساحة القاعدة الخرسانية العادية من :

$$A_{p.c} = P_T / q_a \quad , \quad q = P_T / A_{p.c} \text{ actual}$$

ثم يفرض سماكة الخرسانة العادية بقيمة أكبر أو يساوى ٣٠ سم حسب منسوب تربة التأسيس وجهد التربة المراد الوصول إليه ويجب أن يكون جهد الشد في الخرسانة العادية عند المقطع a.a في شكل (١٥-٣) أقل من جهد الشد المسموح به لنوعية الخرسانة العادية المستعملة وهو يساوى حوالي ٣ إلى ٤ كجم/سم٢ . ويأخذ العزوم عند المقطع a.a

$$M = 0.5 q_a^2$$

حيث q_t هي الإجهادات الفعلية للترابة الناتجة من قسمة الحمل على المساحة الفعلية المأخوذة لقاعدة العادية (بعد تفريغ أبعادها لأقرب 5 سم) وهي قيمة مساوية أو أقل قليلاً من حهد الترابة (قدرة التحمل) q_{all} .

واجهادات الشد القصوى على قاع المقطع $a.a$ هي :

$$q_t = \frac{6M}{t^2}$$

$$\therefore q_t = \frac{3qC^2}{t^2}$$

ومن ذلك نجد أن :

$$C = t \sqrt{\frac{q_t}{3q}}$$

وعلى اعتبار أن $q_t = 4 \text{ kg/cm}^2$ للخرسانة فإن :

$$C = t \sqrt{\frac{1.33}{q}}$$

وعلى ذلك فرفرة الخرسانة العادية عن المسلحه C تكون

$q \approx q_{all} = 1$	1.25	1.5	2	2.5	3	kg/cm^2
$C = 1.15$	1.06	0.94	0.82	0.73	0.67	t

وبمعرفة C يمكن تحديد مساحة القاعدة المسلحة ثم يعين ضغط التماس بين الخرسانة العادية والمسلحه q حيث :

$$q = P_T / A_{R.C.} \leq 5 \text{ kg/cm}^2$$

ويجب ألا يزيد ضغط التماس بين الخرسانة العادية والمسلحه عن 5 كجم/سم² وإذا زاد هذا الضغط عن 5 كجم/سم² فيجب زيادة مساحة القاعدة وتصمم القاعدة المسلحة على ضغط التماس بينها وبين الخرسانة العادية وتستخدم هذه الحالة إلى سمك يصل إلى 1000 متراء وتستخدم هذه الحالة أيضاً لرفع منسوب التأسيس بالخرسانة العادية بقيمة تصل إلى 1000 متراء.

الحالة الثالثة : آبار من الخرسانة العادية (الآبار الإسكندراني) :

حينما يزيد سمك القواعد العادية عن 1000 متراء للوصول للطبقة القوية التي تحمل الإجهادات المطلوبة والتي قد يصل عمقها إلى 10 أمتار فإن الخرسانة العادية تشكل بنرا عميقاً شكل (١٦-٣) ولتعين مساحة مقطع البنر تستخدم الطريقة المبينة في الحالة الثانية ويحدد عمق البنر حسب بعد الطبقة التي تحمل الإجهادات الوائلة من العمود. ونظراً للعمق الكبير للبنر فإن جهد التماس بين الخرسانة العادية للبنر والخرسانة المسلحة فوقها يؤخذ بقيمة مرتفعة تتراوح

بين ٥ إلى ١٠ كجم/سم^٢ وتتوقف هذه القيمة في اختيارها على عمق البئر ونوعية الخرسانة وطريقة التنفيذ. ويطلق على آبار الخرسانة العادية هذه الآبار الإسكندراني، وهي حل وسط بين الأساسات السطحية والعميقة وتستخدم الآبار الإسكندراني في حالة عدم وجود مياه أرضية وينفذ حفر البئر بدوياً وبدون سند للجوانب إلا نادراً ويملاً البئر بخرسانة عادية فقيرة أو رمل مثبت أو طبقات مدمجة من الرمل والزلط وعادة لا تقل قطراتها عن ١,٥ متراً والعمق إلى القطر يكون أقل من ١٠ .

الحالة الرابعة : لبسة من الخرسانة العادية :

حينما تتقرب القواعد الخرسانية العادية المنفصلة من بعضها فإنه يمكن عمل قاعدة واحدة تغطي الموقع كله أو جزء منه تسمى لبسة من الخرسانة العادية، كذلك تستخدم اللبسة العادية حينما تربط القواعد المسلحة بميد الربط والشدادات في نفس منسوب القواعد المسلحة، لأن ميد الربط يجب أن تتفذ على خرسانة عادية أيضاً، وفي هذه الحالة يعين ضغط التماس بين التربة واللبسة من تأثير كل الأحمال على مساحة اللبسة ويجب أن تكون أكبر قيمة لضغط التماس أقل من الجهد الأمثل للتربة، كذلك الفروق في ضغط التماس يجب ألا تكون كبيرة حتى لا تتعرض اللبسة إلى فرق كبير في الإجهادات وبالتالي هبوط نسبي متفاوت، كما لا يسمح بتكون إجهادات شد بأي حال من الأحوال، وحينما تكون المسافات بين القواعد المسلحة كبيرة نسبياً فإن ضغط التماس بين اللبسة والتربة أقل كل عمود يجب أن يكون متساوياً ويتم ذلك بتحديد المساحة من اللبسة أسفل العمود المعرضة لضغط التماس حيث يتم توزيع العمل من القاعدة المسلحة إلى اللبسة بمول ٢ : ١ شكل (١٧-٣) ويتم تحديد هذه المساحة من قسمة العمل على جهد التربة وبالراغب يمكن تعين مساحة القاعدة المسلحة وضغط التماس بينها وبين اللبسة والذي يجب ألا يتعدى ٥ كجم/سم^٢ وتصمم القاعدة المسلحة على هذه القيمة، وإذا تعددت ضغط التماس بين القاعدة المسلحة واللبسة هذه القيمة يراد سمك اللبسة العادية.

طبقات الإحلال : Replacement Layers

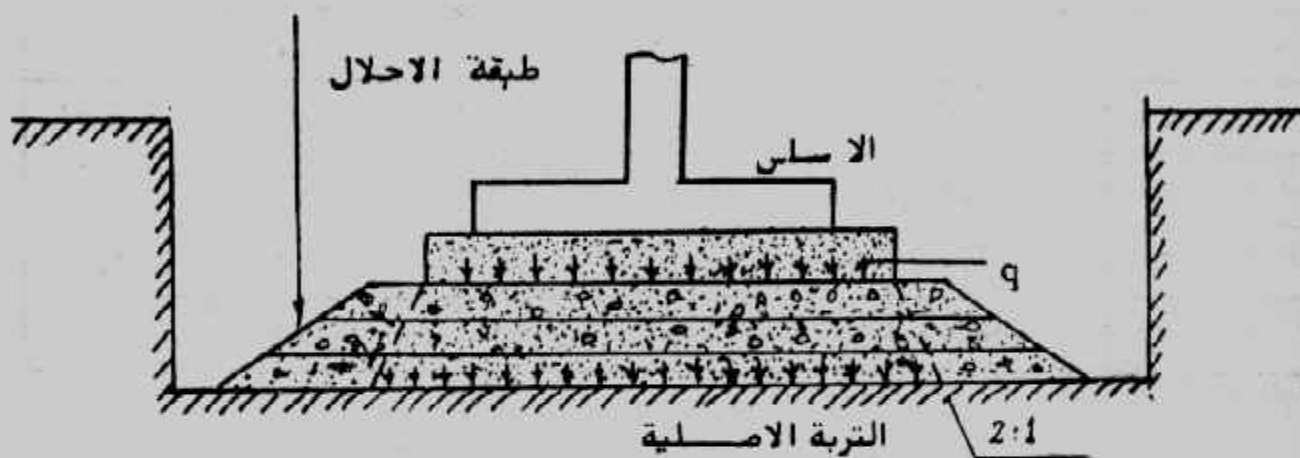
عند تنفيذ الأساسات على التربة قد يستلزم الأمر رفع منسوب التأسis أو زيادة قدرة تحمل التربة أو بعد عن منطقة تأثير المياه الجوفية أو حماية الأساسات من تأثيرها، وتحقيق هذا كله أو بعضه باستخدام طبقات إحلال من تربة أخرى تورد وتتفذ على تربة الموقع، وعادة ما تتفذ تربة الإحلال من تربة أقوى من التربة الأصلية في الموقع أو على الأقل مساوية لها، كما تتفذ تربة الإحلال على طبقات سمك كل منها لا يتعدى ٣٠ سم حيث يتم دمك كل طبقة إلى قيم ٩٤-٩٥٪ من أقصى كثافة جافة معيشية ويستلزم ذلك بطبيعة الحال إتمام الدمك بإحدى الوسائل

المعروفة مع الرش بالمياه بالمحتوى المانى الأمثل (OMC) للوصول إلى أقصى دمك بأقل جهد دمك .

وتوجد عدة أنواع لتربة أو طبقات الإحلال حسب الغرض منها :

١- الإحلال بتربة الزلط والرمل :

حيثما يراد رفع منسوب التأسيس أو زيادة قدرة تحمل التربة عند منسوب التأسيس تستخدم طبقات إحلال من خليط الزلط والرمل بنسبة ٢ : ١ أو ١ : ١ حسب نوع كل من الزلط والرمل شكل (١٨-٣) .



شكل (١٨-٣): طبقات الإحلال .

وفي حالة القواعد المنفصلة فإن طبقات الإحلال تلعب دوراً كبيراً في تخفيف الإجهاد الواسع من القواعد إلى التربة الأصلية حيث تصمم القواعد على جهد تربة الإحلال q_0 والتي تتوقف على نوع مادة الإحلال وتقوم طبقات الإحلال بتوزيع الجهد q_0 بنسبة ٢ : ١ خاللها لتصل إلى التربة بمقدار q_1 التي يجب أن تكون أقل أو تساوى قدرة تحمل التربة الأصلية . وبطريقة عكسية يحدد سمك طبقة الإحلال التي تعطى قيمة معقولة لجهد التربة التصميمى عند منسوب التأسيس أعلى طبقة الإحلال .

فإذا كان جهد التربة الأصلية هو ٤٠ كجم/سم٢ ومطلوب تحديد سمك طبقة الإحلال من الزلط والرمل للحصول على جهد تصميمى أعلى طبقة الإحلال مقداره ١ كجم/سم٢ لقواعد مساحة التماس لها ٢ × ٢ متراً فإن :

$$q_1 = q_0 A_0 / A_1$$

$$0.4 = 1 \times 2 \times 2 / (2 + y) (2 + y)$$

ومن ذلك فإن سماك طبقة الإحلال لا يكون ١٠.٢ متراً يحقق المطلوب ويبين الجدول (٨-٣) قيم

تحفيض الإجهاد $\frac{q_a}{q_1}$ للقواعد المربعة عند التخانات المختلفة لطبقات الإحلال.

جدول (٨-٣) قيم $\frac{q_a}{q_1}$ المناظرة لسمك طبقة الإحلال للقواعد المربعة.

عرض القاعدة المربعة بالمتر					سمك طبقة الإحلال بالمتر
٣	٢٠٥	٢	١٠٥	١	
٠.٧٣	٠.٦٩	٠.٦٤	٠.٥٦	٠.٤٤	٠.٥
٠.٥٦	٠.٥١	٠.٤٤	٠.٣٦	٠.٢٥	١.٠٠
٠.٤٤	٠.٣٩	٠.٣٣	٠.٢٥	٠.١٦	١.٥٠
٠.٣٦	٠.٣١	٠.٢٥	٠.١٨	٠.١١	٢.٠٠
٠.٣٠	٠.٢٥	٠.٢٠	٠.١٤	٠.٠٨	٢.٥٠
٠.٢٥	٠.٢١	٠.١٦	٠.١١	٠.٠٦	٣.٠٠

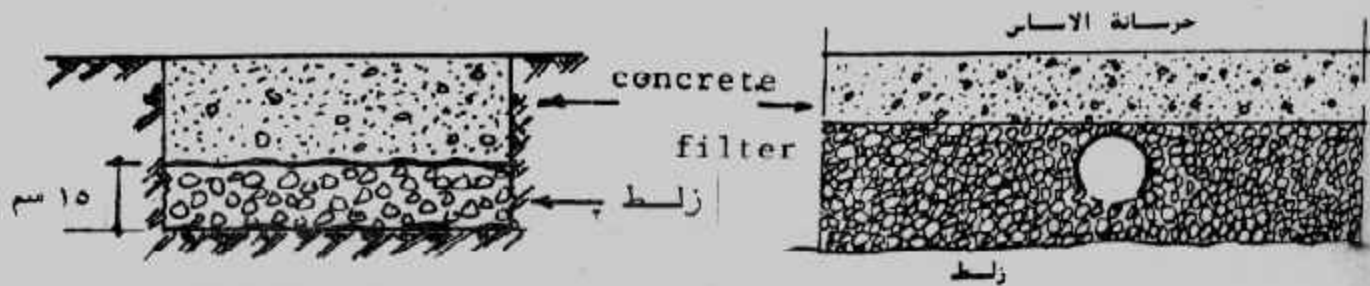
يلاحظ أنه في حالة أساسات الباحة فإن طبقات الإحلال تكون عديمة الجدوى في تحفيض الإجهادات على التربة الأصلية ولكن تستخدم طبقات الإحلال في هذه الحالة لرفع منسوب التأسيس فقط، وقد يكون رفع منسوب التأسيس بغرض إبعاد الأساسات المسلحة عن منطقة تذبذب منسوب المياه الجوفية، أو قد يكون بغرض رفع الأساسات المسلحة فوق منسوب المياه الجوفية.

٢- الإحلال بترابة الزلط :

تستخدم تربة الإحلال بالزلط أسفل الأساسات لعمل نظام لتصريف المياه الجوفية أو لأبعد المياه الجوفية عن خرسانة الأساسات، ١٥ سم من التربة الزلطية كافية لتحقيق هذا الغرض وفي هذه الحالة تعمل تربة الزلط كمرشح Filter حيث تتحرك المياه أفقياً لاستقبالها أنظمة الصرف إلى الشبكات العمومية أو إلى مصدر آخر للصرف وشكل (١٩-٣) يبين بعض حالات استخدام تربة المرشح لتحريك المياه الجوفية أسفل الأساسات.

٣- الإحلال بالخرسانة الضعيفة : (الإحلال العثب) :

قد لا تجدى وسائل تصريف المياه الجوفية في التخلص من كل المياه الجوفية بعد الحفر للتأسيس ولذلك تتفقد طبقة إحلال من الخرسانة الضعيفة الأسمنت القليلة الماء (المفلطة) التي وقد



شكل (١٩-٣): الإحلال بتربة الزلط

ترمى بالموقع والذى به بعض المياه الجوفية التى تدخل فى خلطة الخرسانة الضعيفة، وقد تعمل هذه الطبقة على كتم المياه الجوفية لحين إتمام تنفيذ الأساسات.

٤- الإحلال بتربة الرمل :

قد يستخدم الرمل فى الإحلال لرفع المنسوب أو لتخفيض الإجهادات على التربة الأصلية نظراً للرخص ثمن الرمل ولكن الرمل يستخدم أساساً حينما تكون التربة الأصلية تربة قابلة للانفاس، ويعمل الرمل الخشن عند استخدامه كتربة إحلال في هذه الحالة كطبقة مرنّة يمكنها امتصاص الإنفاس الناتج من التربة الأصلية السفلية.

٥- طبقة النظافة :

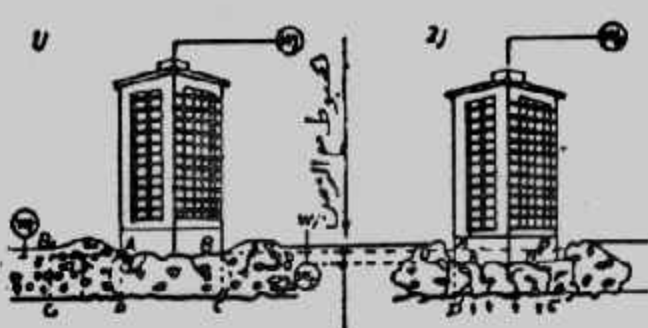
عند الحفر للأساسات قد يحدث ترويب للتربة الناعمة أو فوران للتربة الرملية وذلك فى وجود المياه الجوفية ويمكن هنا استخدام طبقة رقيقة من الرمل أو الزلط والرمل كطبقة نظافة لتنفيذ الأساسات فوقها ويكون سمك هذه الطبقة من ١٠ إلى ٢٥ سم.

أسباب فشل الأساسات السطحية :

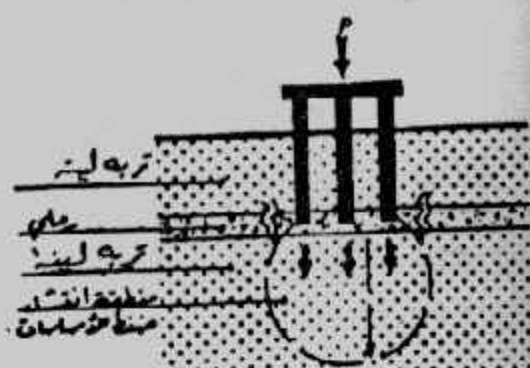
كثير من تصدعات وانهيارات المنشآت ترجع إلى تصدع أو فشل الأساسات وفيما يلى بعض أسباب فشل أو تصدع الأساسات :

- ١- عدم القيام بدراسة الموقع وأبحاث التربة أو الدراسة الغير سليمة من حيث عدد الجسات وأعمقها ونوعها.
- ٢- التوصيف الخاطئ للتربة الموقع.
- ٣- عدم مراعاة الدقة في تحديد خواص التربة.
- ٤- التغير مستقبلاً في خواص التربة وفي منسوب المياه الجوفية.
- ٥- عدم إجراء تحليل كيميائى للتربة وللمياه الجوفية.
- ٦- الحفر لعمق يزيد عن أعماق أساسات المنشآت المجاورة بدون عمل الدراسات والاحتياطات اللازمة أو اختلاف مستوى التأسيس أو الحفر بجوار مبنى قديم.

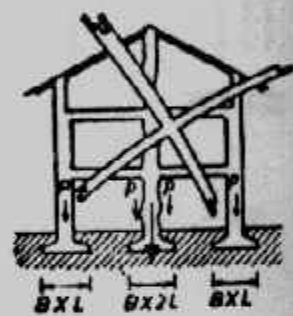
- ٧- استخدام طريقة غير مناسبة لنزح المياه الأرضية أو سحب مياه جوفية من بئر المجاورة تسرب المياه الجوفية من حفرة المجاورة .
- ٨- وجود مصدر لاهتزازات زائدة أو مرور مركبات ثقيلة بجوار مبني قائم .
- ٩- عدم إتزان القوى الأفقية أو تعرض طبقة التأسيس للهزات الأرضية .
- ١٠- التحميل الزائد على التربة أو على المبني أو جزء منه أو بجوار المبني .
- ١١- الهبوط الكلى للترابة والهبوط النسبي المتفاوت .
- ١٢- استخدام أنواع غير مناسبة من الأساسات أو عدم تناسب أبعاد الأساسات مع العمل .
- ١٣- تأسيس الأجزاء المختلفة لنفس المنشأ على طبقة مختلفة من التربة أو نفذت بطريقة سيئة .
- ١٤- طفح المياه داخل البدرومات .
- ١٥- صدأ حديد التسليح في الأساسات والعناصر القريبية من التربة .
- ١٦- نفخة الخرسانة العادي والمسلحة المعرضة للمياه الأرضية .
- ١٧- تسرب المياه إلى الحوازي والأرضيات والبدرومات مما يؤدي إلى هبوط الأرضيات وتلف توصيلات الكهرباء والتليفون وتدهور البياض والرخام .
- وتلعب المياه الأرضية مع التربة دوراً كبيراً في تكوين وسلوك الظروف المحيطة بالأساسات حيث تتعرض العناصر الإنسانية الملامسة للتربة أو الواقعة قرب وتحت منسوب المياه الجوفية لأضرار متعددة بسبب التأثير الكيميائي للرطوبة والأملال بها أو في التربة وخاصة :
- إذا تلوثت المياه الجوفية بمياه مجاري ولمدة غير بسيطة .
 - عندما تكون العناصر الإنسانية غير محمية تماماً بمواد عازلة أو مقاومة للرطوبة والأملال، وغالباً ما يكون هذا التأثير الكيميائي بطينا بحيث يحتاج إلى عدة سنوات كي يشكل خطراً حقيقياً على استقرار هذه العناصر ومقاومتها للأحمال الواقعة عليها . ولقد اعتقد كثير من المهندسين هذا التأثير لأنه لا يمثل خطراً إلا على المدى البعيد خلال خمس سنوات أو أكثر، وتنوقف سرعة هذا التأثير على عدة عوامل بعضها يختص بالترابة مثل التركيب الكيميائي وتركيز الأملاح في المياه الأرضية وفي التربة، ومسامية التربة والبخر ودرجة الحرارة وبعضها الآخر يختص بالعناصر الإنسانية نفسها مثل جودة ونوعية المواد العازلة ونفاذية الخرسانة ونوعية المواد المستعملة وكمية الأملاح الموجودة فيها ونوع الأسمنت والإضافات .



٢ - الهبوط



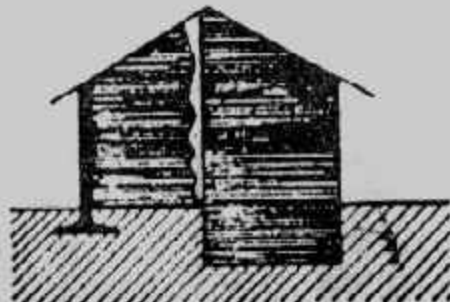
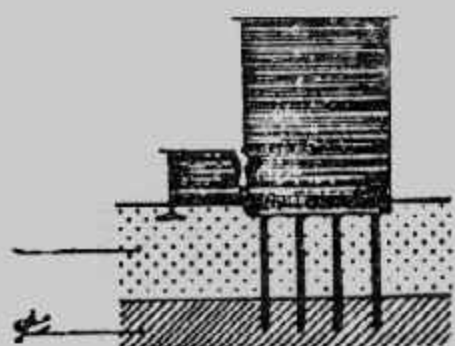
١- التأسيس على طبقة غير سميكه .



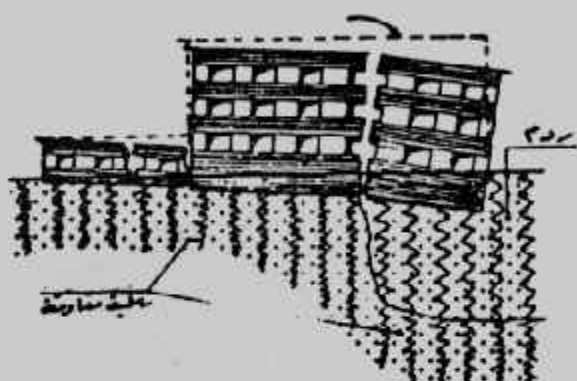
٣- الخطأ في تصميم القواعد (المساحة، العمق، التسلیح) .



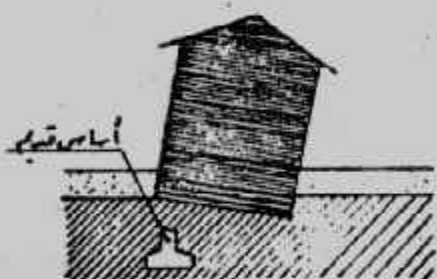
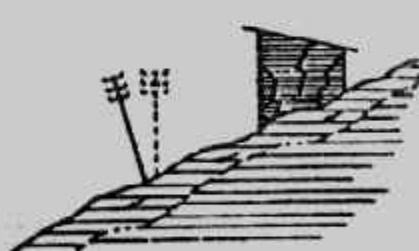
٤- تنفيذ مبان صغيرة ملاصقة لمبانى عالية (أساسات مفردة أو ثبقة) .



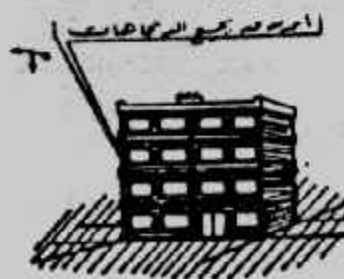
٥- اختلاف مناسيب التأسيس.



٦- تأسيس جزء من المبني على ردم أو تربة لينة أو عضوية.

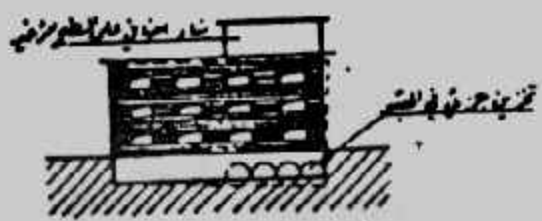


٧- التأسيس على إنشاءات قديمة.

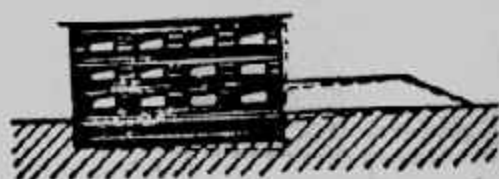


٨- التأسيس على تربة قابلة للإنزلاق.

٩- التأسيس على هضبة متزلجة بجمع الاتجاهات.



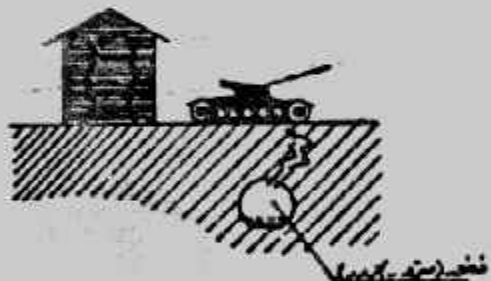
١٢- التحميل على جزءٍ من المبني.



١١- التحميل بجانب المبني.



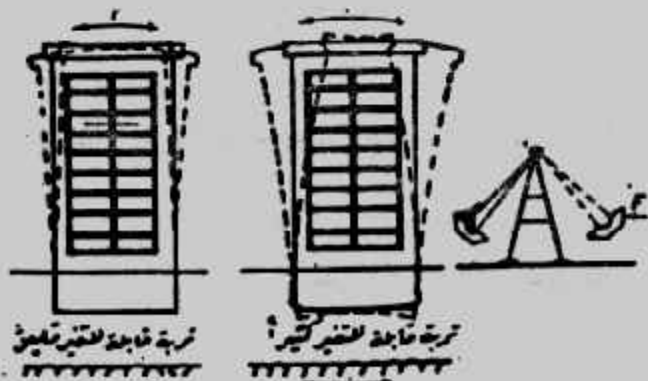
١٣- عمل حفر بجوار مبني لمبني جديد أو لأعمال المجاري أو المياه.



١٥- مرور مركبات ثقيلة بجوار المبني.



١٤- انهيار التدعيم المجاور لمبني.



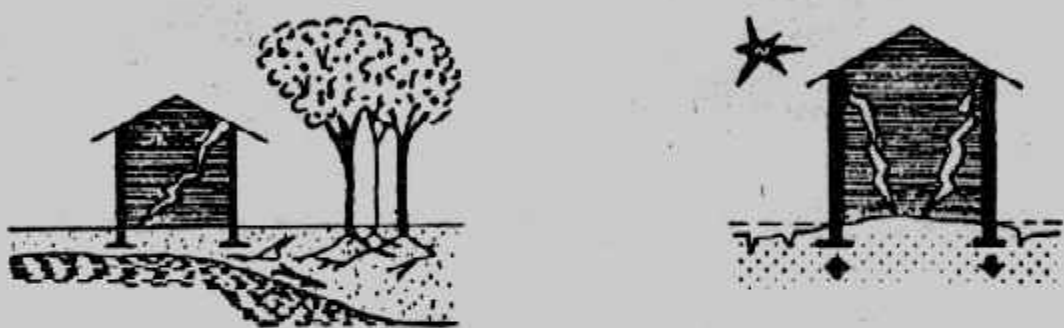
١٧- تعرض تربة الأساس للهزات الأرضية.



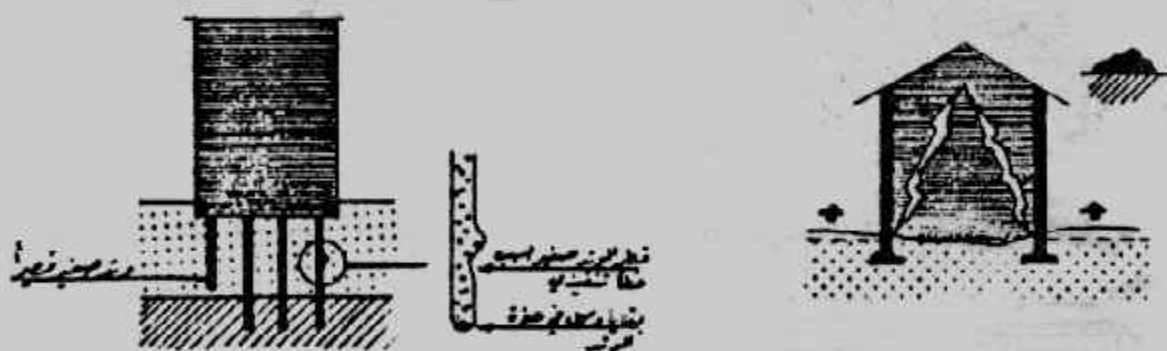
١٦- تدفق خوازيق بجوار مبني قديم.



١٨- تسرب المياه الجوفية من بئر مجاورة .



٢٠- إكمال تربة الأساس المحاطة .



٢١- إنفصال تربة الأساس المحاطة .

شكل (٢٠-٣): أسباب فشل الأسسات .

وتعتبر الكبريتات التي توجد بالترابة والمياه الجوفية وكذلك الأحماض الموجودة في التربة العضوية من أكثر الكيماويات الضارة بخرسانة الأساسات . وكقاعدة عامة فإن الأساسات يمكن أن تقاوم التأثير الضار لهذه الكيماويات في حالة ما إذا كانت الخرسانة المستخدمة في الأساسات عالية الكثافة، ذات محتوى أسمنتى غنى مع زيادة سmek الغطاء الخرساني لحدى التسلیح .

ولقد بینا بالباب الأول الاحتياطات الواجب مراعاتها في تصميم الخلطات الخرسانية المسلحه للأساسات لمقاومة الكبريتات . أما بالنسبة للكلوريدات فليس لها تأثير ضاراً مباشراً على الخرسانة مهما كان تركيزها إلا أن اختراق أملاح الكلوريدات للغطاء الخرساني يساعد على صدأ حديد التسلیح . ولذلك يجب التأكيد على أهمية أن تكون الخرسانة كثيفة وسمك الغطاء الخرساني من ٥-٧ سم ويفضل ٧ سم في حالة زيادة كمية الكلوريدات عن ٣٠٠٠ جزء في المليون مع استخدام غطاء عازل لخرسانة الأساسات مثل الأسفلت أو البيتومين أو تغليف الأساس بمادة غير منفذة للمياه .

ولحماية الأساسات الخرسانية من تأثير المياه الجوفية التي تحتوى على نسب عالية من الأملام تتبع الخطوات الآتية :

١- يجب أن تكون الخرسانة المستخدمة ذات تكوين يعطى كثافة عالية ونفاذية قليلة ويتم ذلك بأن تحتوى الخرسانة المستعملة على نسب عالية من الأسمنت لا تقل عن $350 \text{ كجم}/\text{م}^3$ ولا تقل مقاومة الإضغاط لخرسانة عن $200 \text{ كجم}/\text{سم}^2$ بعد ٢٨ يوماً . كما يضاف إلى الخرسانة أحد الإضافات التي تقلل من نفاذية الخرسانة . كما يجب أن يكون الركام المستخدم في الخرسانة من النوع السيلسي الحالى من الشواوب الكلسية . كما يمكن استعمال الأسمنت البورتلاندى العادى فى الحالات التي لا تزيد درجة تركيز أملاح الكبريتات فى المياه الجوفية عن ٣٠٠ جزء في المليون ، أما فى الحالات التي تزيد فيها درجة تركيز أملاح الكبريتات عن ذلك فتستخدم أنواع خاصة من الأسمنت مثل الأسمنت المقاوم للكبريتات .

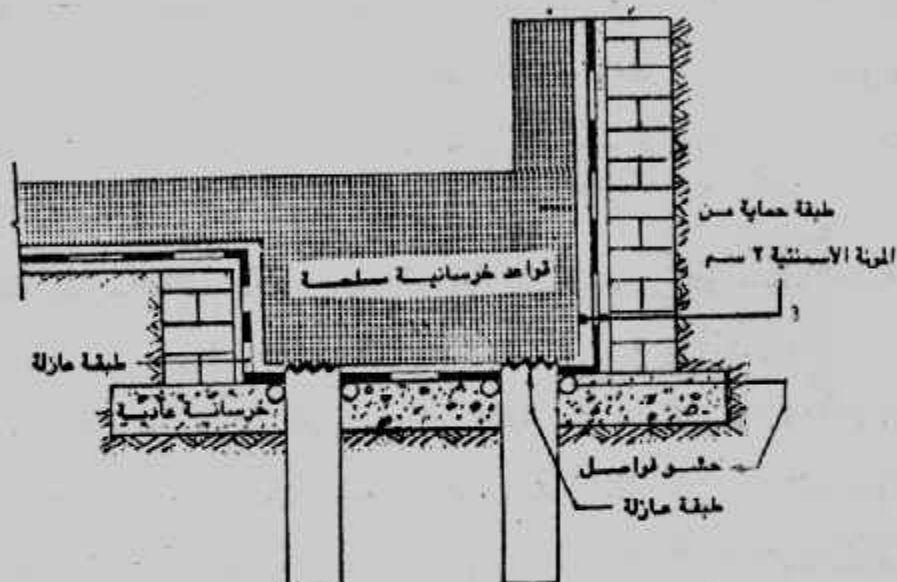
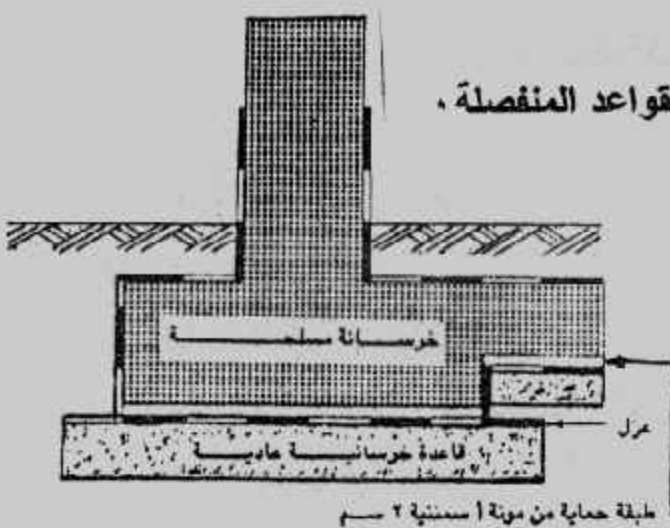
٢- يتم عمل طبقة عازلة للأساسات من مستحلبات بيتومينية أو من البيتومين المؤكسد الغير قابل للتشقق درجة $25/85$. ويمكن استخدام طبقة حماية من مونة أسمنتية سmek ٢ سم على الأسطح الأفقية الواقعه بين الخرسانة العادي والمسلحه شكل (٢١-٣) ، وشكل (٣-٢٢) .

تخطيط الموقع والحفر وتنفيذ الأساسات :

تخطيط الموقع للحفر وتنفيذ الأساسات يمر بالمراحل الآتية :

١- تحديد الموقع بواسطه الأجهزة المساحية (مثل التيوودوليت) ودق الأوتاد التي تحدد الموقع .

شكل (٣-٢١) : عزل القواعد المنفصلة .



شكل (٢٢-٣) : عزل الأساسات الخا Zhaoqie .

- ٢- عمل ميزانية شبكية للموقع لتحديد مناسب الأماكن المراد التنفيذ عليها .
- ٣- إعداد الخزيررة ودق المحاور عليها بدقة .
- ٤- تحديد القواعد بالجير .
- ٥- الحفر مع استعمال الميزان في تحديد مناسب الحفر .
- ٦- تنفيذ طبقات الإحلال إن وجدت .
- ٧- تنفيذ الخرسانة العادية أو الدكات ومعالجتها بالمياه .
- ٨- تنفيذ المرحلة الأولى للعزل الأفقي بين الخرسانة العادية والمسلحة إذا لزم .
- ٩- تنفيذ شدات الخرسانات المسلحة للأساسات .
- ١٠- رص حديد التسليح للأساسات بعد تنظيف مكانها .
- ١١- صب الخرسانة المسلحة للأساسات ومعالجتها بالمياه بالمدة الكافية .
- ١٢- تنفيذ المرحلة الثانية للعزل .

و عند تنفيذ الأساسات يجب مراعاة ما يلى :

- ١- تزال من الموقع جميع المواد الضارة بالعمال أو بالمجانى .
- ٢- إذا كان بالموقع أساسات أو مبانى قديمة تزال وإذا تم عند الإزالة النزول أسفل منسوب التأسيس يتم الردم على طبقات مكان الأعمال المزالة بالرمل الخشن إلى منسوب التأسيس مع الدملك الجيد .
- ٣- يجب أن يكون الأساس مرتکزا على طبقة متجانسة في جميع أجزائه ولا يستحب التأسيس على أنواع مختلفة من التربة وإذا اضطر للتأسيس على أنواع مختلفة من التربة فيجب عمل فوائل هبوط بين الأجزاء وبعضها .
- ٤- يجب أن يكون توزيع الأحمال على الأرض أسفل الأساسات منتظما بحيث يكون الضغط الواقع على التربة في جميع أجزاء المبنى واحدا .
- ٥- تجنب أسباب فشل الأساسات المذكورة تفصيلا بهذا الباب .

رسومات الأساسات :

لوحة الأساسات يجب أن تضم التفاصيل الإنسانية للأساسات وهي موقع القواعد من المحاور وأماكن الأعمدة وأشكال القواعد والكمارات والميد الرابطة والشدادات وأبعاد جميع العناصر الإنسانية كما يمكن عمل جداول باللوحة لتلخيص بيانات القواعد مثل مساحاتها وسمكها وحديد التسليح . كما يجب بيان تفاصيل وشكل حديد التسليح . وفي أساسات اللبنة يجب إيضاح تفاصيل تسليحها على المساقط المختلفة . كما يجب أن تضم لوحة الأساسات ملاحظات التنفيذ والتي تضم :

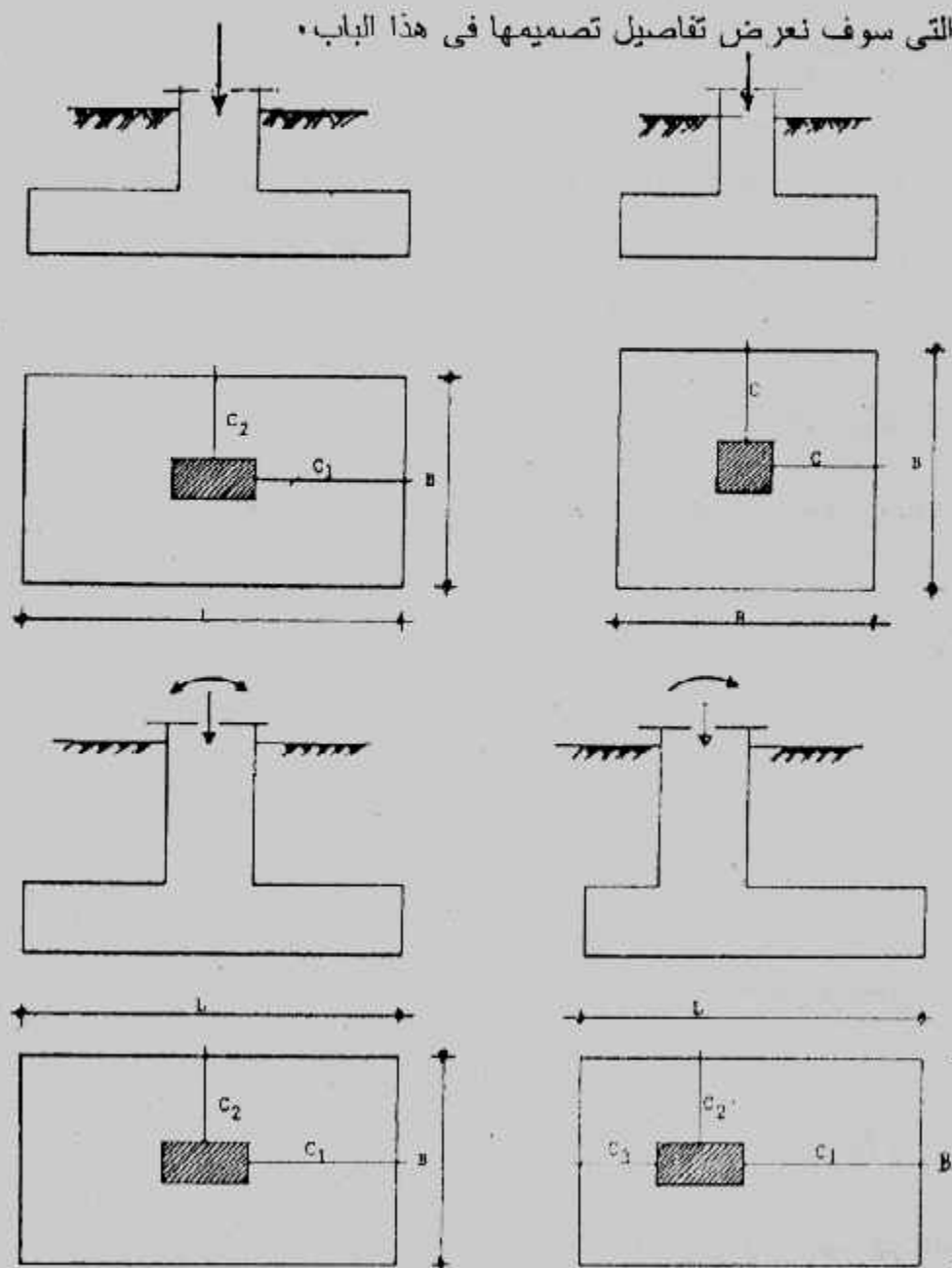
- ١- جهد التربة المستخدم في تصميم الأساسات .
 - ٢- عدد الأدوار التي صممت الأساسات عليها .
 - ٣- طريقة العزل المستخدمة للأساسات .
 - ٤- نوع ومكونات الخرسانة العادية المستخدمة .
 - ٥- نوع ومكونات الخرسانة المسلحة ودرجتها .
 - ٦- نوع حديد التسليح المستخدم .
 - ٧- منسوب التأسيس .
 - ٨- إحتياطات طبقة التأسيس .
 - ٩- كيفية تنفيذ طبقة الإحلال إن وجدت .
- كما يجب تحديد منسوب الصفر للعملية وربطه بالمنسوب المساوى إن وجد .

الباب الرابع

تصميم القواعد المنفصلة

Design of Isolated Footing

القواعد المنفصلة تستخدم حينما يمكن تنفيذ قاعدة مستقلة واحدة لكل عمود وقد تكون القواعد المنفصلة مربعة الشكل أو مستطيلة. وتتفىذ القواعد المنفصلة للأعمدة الحاملة لحمل محوري أو حمل غير محوري (حمل محوري وعزم معاً). وبين شكل (٤-١) أنواع القواعد المنفصلة والتي سوف نعرض بعض تفاصيل تصميمها في هذا الباب.



شكل (٤-١) أنواع القواعد المنفصلة.

وعادة فإن الأساس المربع هو أبسط أنواع الأساسات للعمود المربع، أما إذا كان العمود مستطيل فيفضل له أساس مستطيل. كما تتفق القواعد المنفصلة المستطيلة للأعمدة المربعة في الحالات الأضطرارية التي لا تصلح فيها القواعد المربعة، وتساوي الرفرفة في القواعد المستطيلة (أى $C_1 = C_2$) بيسط خطوات التصميم.

تصميم القواعد المربعة بطريقة المرونة (اجهاد التشغيل) :

عند تصميم القواعد المربعة بطريقة المرونة (اجهاد التشغيل) تتبع الخطوات الآتية :

- ١- حساب أقصى حمل متوقع في العمود من الأحمال الحية والدائمة إلى منسوب سطح الأرض P أو إلى منسوب التأسيس P_T
- ٢- الحصول على قدرة تحمل التربة الآمنة (جهد التربة الآمن) q_a أو الأمانة الصافية q_{na}
- ٣- حساب مساحة القاعدة من :

$$\text{Area of footing} = B^2 = \frac{P}{q_{na}} \text{ or } \frac{P}{q_a - \gamma_a D} \text{ or } \frac{P_T}{q_a} \quad \dots \dots \dots \quad (4-1)$$

حيث D عمق التأسيس، γ_a الكثافة المتوسطة لخرسانة وترابة الردم، ويُعين عرض الأساس B بعد تقريره لأقرب ٥ سم.

$$\text{offset } C = \frac{B - b}{2} \quad \dots \dots \dots \quad 4$$

حيث b عرض العمود.

- ٤- حساب الرفرفة C من :

$$q = \frac{P}{B_{\text{actual}}^2} \quad \dots \dots \dots \quad (4-2)$$

- ٥- حساب جهد التربة الفعلى اللازم للتصميم q :
- ٦- حساب عزم الانحناء عند المقطع الحرج على وجه العمود شكل (٤-٤) حيث تعتبر القاعدة بلاطة كابولية في ناحيتي العمود، ويمكن حساب عزم الانحناء من عزم مساحة المستطيل حول المقطع الحرج، شكل (٤-٣-أ) كما يلى :

$$M_{\max} = q \cdot A_{abcd} \cdot \frac{C}{2} \quad \dots \dots \dots \quad (4-3)$$

- كما يمكن حساب عزم الانحناء منأخذ عزم شبه المنحرف $abgf$ حول المقطع الحرج، شكل (٤-٣-ب) كما يلى :

$$M_{\max} = q \cdot A_{abgf} \cdot C' \quad \dots \dots \dots \quad (4-4)$$

حيث 'C' بعد مركز نقل شبه المنحرف عن وجه العمود ،

٧- تعين عمق الأساس d المقاوم للعزم من :

$$d = k_1 \sqrt{\frac{M_{\max}}{b'}} \quad (4-5)$$

وإذا استخدمنا العزم في المعادلة (4-3) تكون b مساوية لعرض الأساس وهذا يعطى d صغيرة :
 $b' = B$

وإذا استخدمنا العزم في المعادلة (4-4) تكون b مساوية عرض العمود مضاعفاً إليه ٢٠ سم ، أي

$$b' = b + 20 \text{ cm}$$

ويمكن اختبار d للأساس وسط بين القيمتين الناتجتين ، أو أخذ قيمة d المناسبة لإعطاء كميات مناسبة من الخرسانة أو حديد التسليح ، وفي حالة استخدام حديد تسليح عالي المقاومة يفضل استخدام $B = b'$.

٨- التأكد من أن العمق المحسوب من العزم كاف لمقاومة القص الثاقب فإن لم يكن يزيد العمق ، كما يمكن حساب العزم المقاوم للقص الثاقب مباشرة ، واختبار العمق الأكبر من كل من عمق العزم وعمق القص الثاقب ، وتحسب اجهادات القص الثاقب q_p من :

$$q_p = \frac{Q_b}{d \cdot b} \geq q_p \text{ allowable} \quad (4-6)$$

حيث b طول محيط القطاع الحرج ، والقطاع الحرج يقع على بعد $d/2$ من محيط تأثير القوة المركزية (أي على بعد $d/2$ من وجه العمود) ، و Q_b هي قوة القص الثاقب عند القطاع الحرج .

٩- تعين تخانة الأساس t حيث $t = d + \text{cover}$ حيث cover من ٥ إلى ٧ سم ويفضل ٦ سم ،

١٠- تعين حديد التسليح من :

$$A_s = \frac{M}{k_2 d} \quad (4-7)$$

١١- التأكد من أن الحديد المطلوب لا يقل عن النسبة الأدنى لحديد التسليح وتنصح بآلا نقل عن ٠،٠٠٢ من مساحة قطاع الأساس

$$\mu = \frac{A_s}{bd} > 0.002$$

١٢- التأكد من أن اجهادات التماسك bond في حدود المسماوح به وتحسب اجهادات التماسك q_b من :

$$q_b = \frac{Q_b}{0.87d \Sigma o} \geq q_{b\text{ allowable}} \quad \dots \dots \dots \quad (4-8)$$

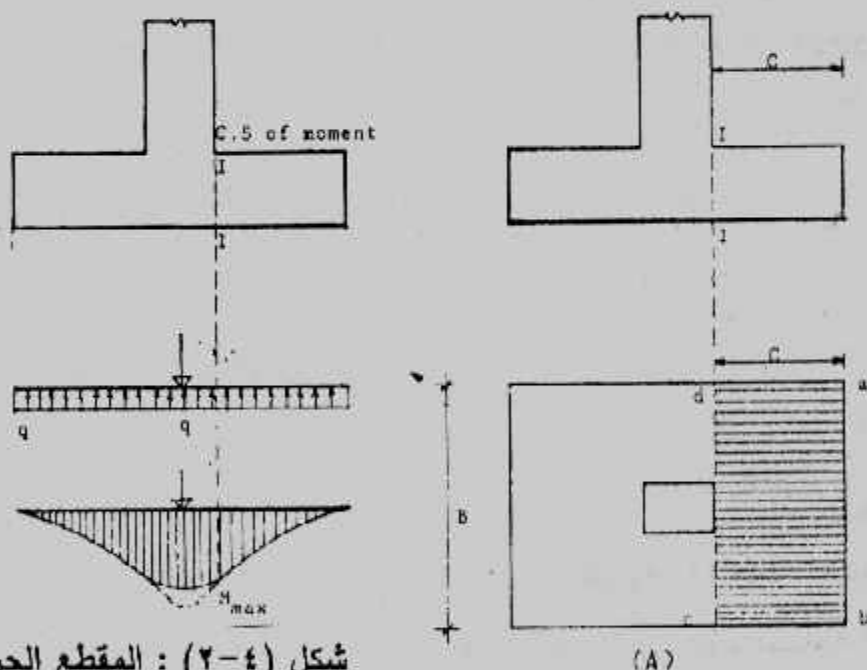
حيث Q_b هي القوة المُسَبِّبة للعزوم عند المقطع الحرج للعزوم، Σo هي محيط أسياخ حديد التسلیح عند المقطع الحرج للعزوم، ويجب الإشارة إلى أن قيم q_b المسموح بها تتوقف على شكل نهاية السيخ كما هو معطى في الشكل (٤-٤)، وإن لم تكن اجهادات التماسك في حدود المسموح به فـيمكن استخدام أقطار أقل لحديد التسلیح أو زيادة عددها أو زيادة العمق أو استخدام حديد تسلیح ذو نتوءات (مشترش) وهو ذو مقاومة عالية للتماسك.

١٣- التأكد من أن اجهادات القص shear في حدود المسموح به أو يزداد العمق وتحسب اجهادات القص q_s من :

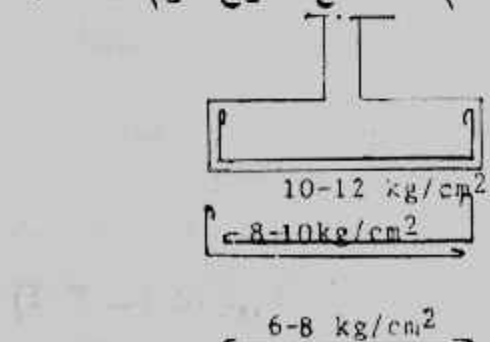
$$q_s = \frac{Q_s}{b \cdot d} \geq q_{s\text{ allowable}} \quad \dots \dots \dots \quad (4-9)$$

حيث Q_s = قوة القص عند مقطع القص الحرج.

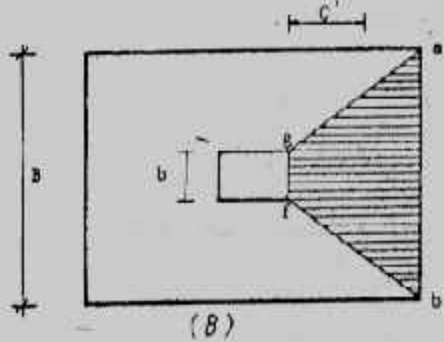
b = عرض مقطع القص الحرج.



شكل (٤-٤) : المقطع الحرج لعزم الانحناء



شكل (٤-٤) التماسك



شكل (٤-٤) حساب عزم الانحناء

Example (4-1):

Design a square footing to support a column 0.4×0.4 m reinforced by $8 \phi 16$ carries a load of 80t. The net allowable soil pressure is 1.25 kg/cm^2 . Use working stresses method. Take $f_c = 55 \text{ kg/cm}^2$, $f_s = 1400 \text{ kg/cm}^2$, $q_{sh} = 6 \text{ kg/cm}^2$, $q_p = 8 \text{ kg/cm}^2$, and 20 cm plain concrete.

Solution :

$$A = \frac{80}{12.5} = 6.4 \text{ m}^2$$

$$B = \sqrt{A} = \sqrt{6.4} = 2.53 \text{ m}$$

take $B = 2.6 \text{ m}$

$$q = \frac{80}{2.6 \times 2.6} = 11.83 \text{ t/m}^2$$

$$C = \frac{B - b}{2} = \frac{2.6 - 0.4}{2} = 1.1 \text{ m}$$

Maximum bending moment at the column face

$$M_{\max} = q B \frac{C^2}{2} = 11.83 \times 2.6 \times \frac{(1.1)^2}{2} = 18.6 \text{ mt}$$

$$d = k_1 \sqrt{\frac{M}{B}} \quad (\text{American codes})$$

$$= 0.334 \sqrt{\frac{18.6 \times 10^5}{260}} = 28.2 \text{ cm}$$

$$d = k_1 \sqrt{\frac{M}{b}} \quad (\text{Continental codes})$$

$$= 0.334 \sqrt{\frac{18.6 \times 10^5}{(40 + 20)}} = 58.8 \text{ cm}$$

take $t = 50 \text{ cm}$

and $d = 50 - 7 = 43 \text{ cm}$

$$A_s = \frac{M}{K_2 d} = \frac{18.6 \times 10^5}{1227 \times 43} = 35.3 \text{ cm}^2$$

Choose $18 \phi 16$ in each side (36.2 cm^2).

Check minimum percentage of steel :

$$\mu = \frac{A_s}{A_c} = \frac{A_s}{Bd} = \frac{35.91}{260 \times 43} = 0.0032 > 0.002 \text{ safe}$$

Check punching :

$$Q_p = q [B^2 - (b + d)^2] \\ = 11.83 [2.6^2 - (0.4 + 0.43)^2] = 71.82 \text{ t}$$

$$q_p = \frac{Q_p}{d b_o} = \frac{71.82 \times 1000}{43(40+43) 4} = 5.03 \text{ kg/cm}^2 < 8 \text{ kg/cm}^2 \text{ safe}$$

Check bond :

$$Q_b = q \times B \times C = 11.83 \times 2.6 \times 1.1 = 33.83 \text{ t}$$

$$q_b = \frac{Q_b}{0.87 d \Sigma o} = \frac{33.83 \times 1000}{0.87 \times 43 \times 18 \times 5.03} = 9.99 \text{ kg/cm}^2$$

If L - shape reinforcements is used, $q_b \geq 10 \text{ kg/cm}^2$. This reinforcements mean 7 φ 16 in each metre of breadth in two directions.

$$\text{Anchorage length } d_d = \frac{A_s f_s}{\rho \cdot q_b} = \frac{2.01 \times 1400}{\rho \times 1.6 \times 10} = 55.98 \text{ cm} < 110 \text{ cm}$$

Check shear :

$$Q_{sh} = q [B^2 - (b + 2d)^2] \\ = 11.83 [(2.6)^2 - (0.4 + 2 \times 0.43)^2] = 61.19 \text{ t}$$

$$q_{sh} = Q_{sh}/db_o = \frac{61.19 \times 1000}{43 \times 4 (40 + 2 \times 43)} = 2.82 \text{ kg/cm}^2 < 8 \text{ kg/cm}^2 \text{ safe.}$$

Details of the footing are shown in Fig. (4-5).

Example 4.2 :

Redesign the footing required in example 4.1 using 40cm plain concrete.

Solution :

$$A_{pc} = \frac{80}{12.5} = 6.4 \text{ m}^2$$

$$B_{pc} = \sqrt{6.4} = 2.53 \text{ m}$$

take $B_{pc} = 2.6 \text{ m}$

$$= \frac{80}{2.6 \times 2.6} = 11.83 \text{ t/m}^2 < 12.5 \text{ t/m}^2$$

$$C_{pc} = t \sqrt{\frac{f_t}{3f_n}} = 0.4 \sqrt{\frac{40}{3 \times 11.83}} = 0.425 \text{ m}$$

take $C_{pc} = 0.4 \text{ m}$

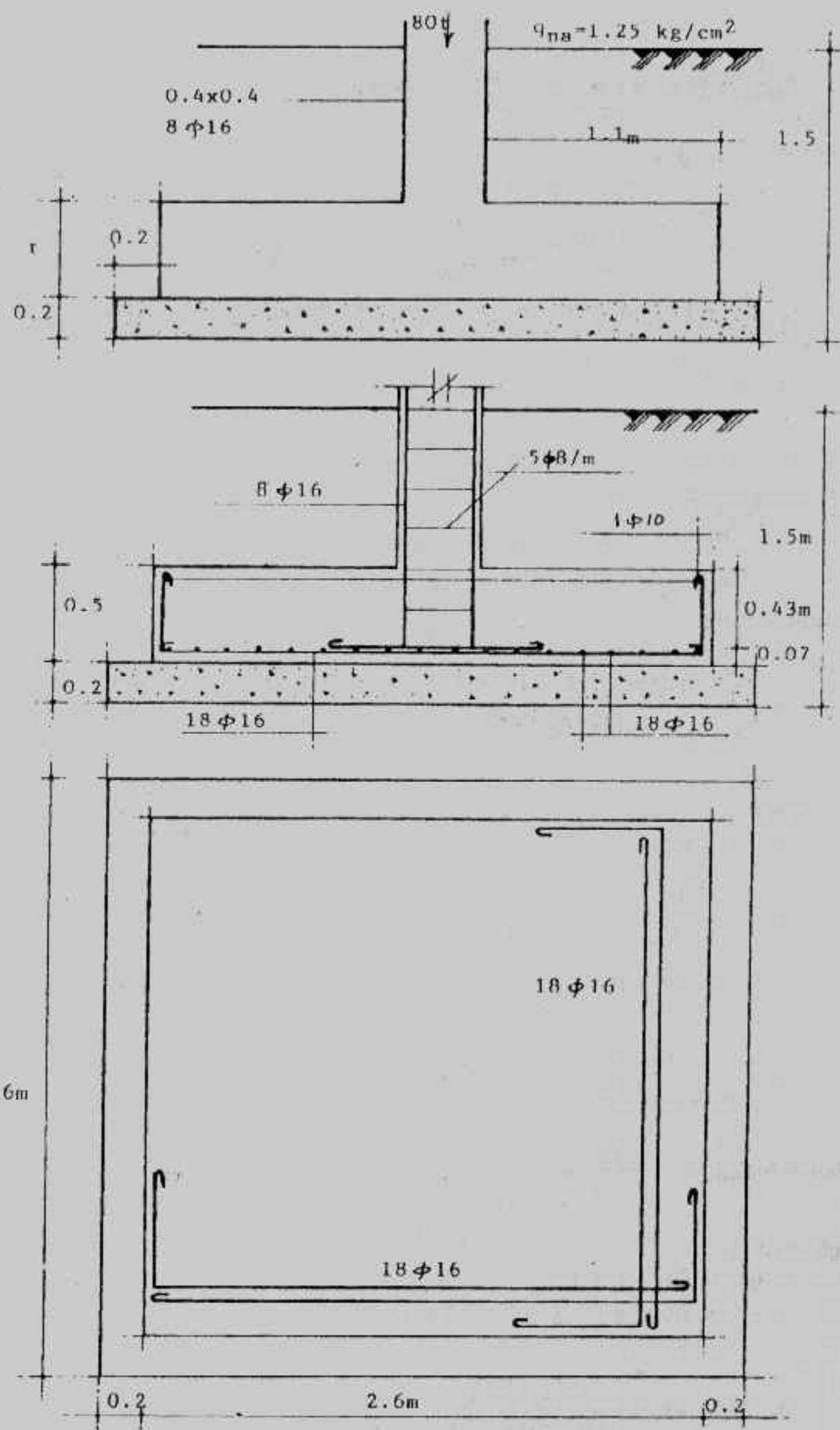
$$B_{RC} = 2.6 - 2 \times 0.4 = 1.8 \text{ m}$$

use RC footing $1.8 \times 1.8 \text{ m}$

q between plain concrete and reinforced concrete.

$$= \frac{80}{1.8 \times 1.8} = 24.69 \text{ t/m}^2$$

$$C_{RC} = 1.8 - 0.4 = 0.7 \text{ m}$$



شكل (٤-٥) مثال (١-٤)

$$M_{max} = 24.69 \times 1.8 \times (0.7)^2 / 2 = 10.89 \text{ ml}$$

$$d = 0.334 \sqrt{\frac{10.89 \times 10^5}{180}} = 25.99 \text{ cm}$$

$$d = 0.334 \sqrt{\frac{10.89 \times 10^5}{(40+20)}} = 45 \text{ cm}$$

take $d = 43 \text{ cm}$ and $t = 50 \text{ cm}$

$$A_s = \frac{10.89 \times 10^5}{1227 \times 43} = 22.5 \text{ cm}^2$$

take 12 $\phi 16$ in each side (24.12 cm^2)

check minimum percentage of steel :

$$\mu = \frac{A_s}{A_c} = \frac{24.12}{180 \times 43} = 0.0031 > 0.002 \quad \text{safe}$$

Check punching :

$$Q_p = f_n [B^2 - (b+d)^2] \\ = 24.59 [1.8 \times 1.8 - (0.4 + 0.43)^2] = 62.99 \text{ t}$$

$$q_p = Q_p / db_o = \frac{62.99 \times 1000}{43 \times 4 (40+43)} = 4.41 \text{ kg/cm}^2 < 8 \text{ kg/cm}^2 \quad \text{safe}$$

Check bond :

$$Q_b = f_n \times B \times C_{RC} = 24.69 \times 1.8 \times 0.7 = 31.11 \text{ t}$$

$$q_b = \frac{Q_b}{0.87 d \Sigma o} = \frac{31.11 \times 10^3}{0.87 \times 43 \times 12 \times 5.03} = 13.78 \text{ kg/cm}^2 > 10 \text{ kg/cm}^2$$

take 17 $\phi 16$ in each side (L-shape), that means 9 $\phi 16$ in each metre of breadth in each side.

$$q_b = \frac{31.11 \times 10^3}{0.87 \times 43 \times 17 \times 5.03} = 9.73 \text{ kg/cm}^2 < 10 \text{ kg/cm}^2$$

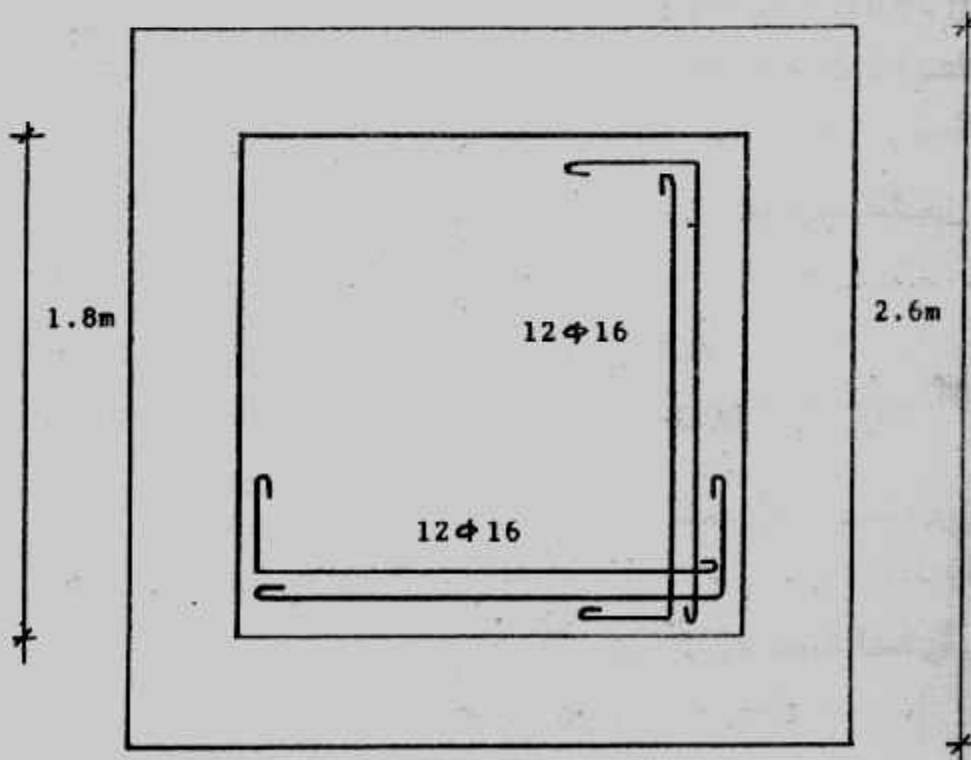
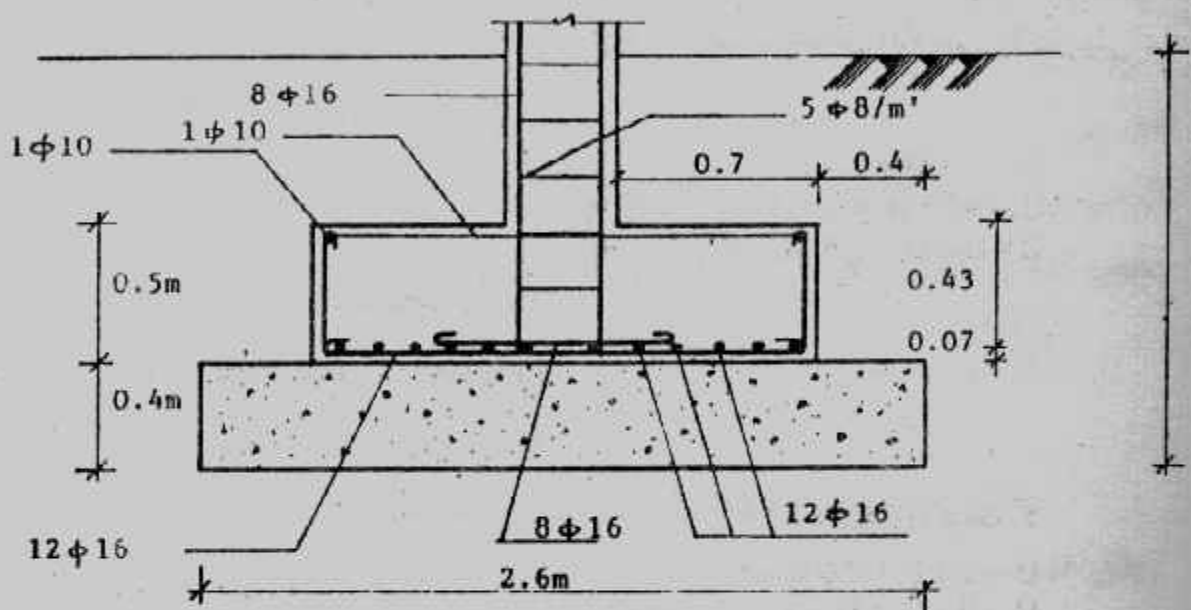
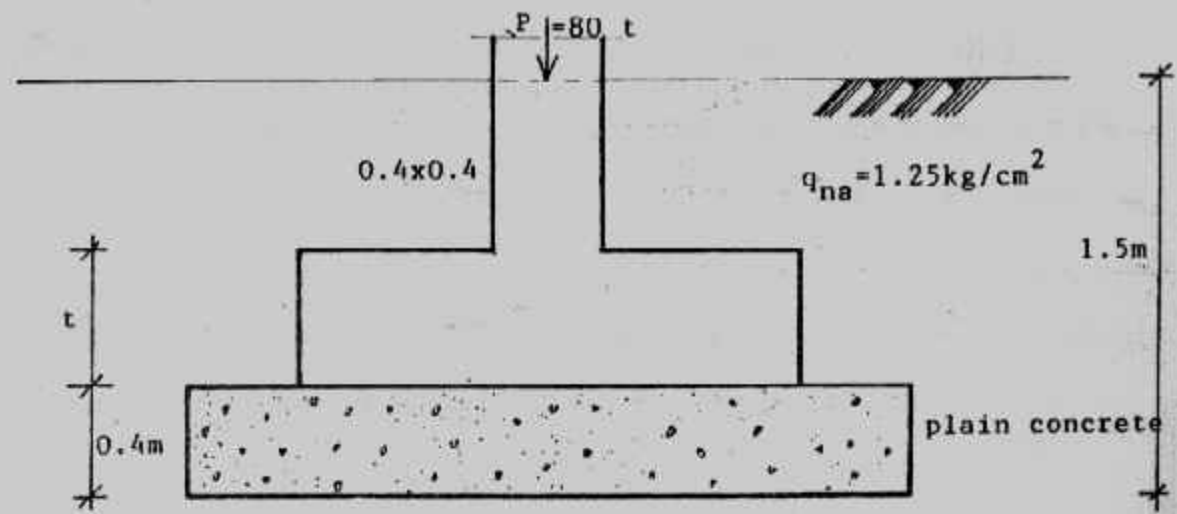
$$\text{Anchored length } d_a = \frac{A_s}{\rho q_b} = \frac{2.01 \times 1400}{\pi \times 1.6 \times 10} = 55.98 \text{ cm} < 70 \text{ cm}$$

Check shear :

$$Q_{sh} = f_n [B^2 - (b+2d)^2] \\ = 24.69 [1.8 \times 1.8 - (0.4 + 2 \times 0.43)^2] \\ = 40.8 \text{ t}$$

$$q_{sh} = Q_{sh} / db_o = \frac{40.8 \times 1000}{43 \times 4 (40+2 \times 43)} = < 1.88 \text{ kg/cm}^2 < 8 \text{ kg/cm}^2$$

Details of the footing are shown in Fig. (4-6).



شكل (٤-٦) مثال (٤-٤)

: التصميم بطريقة المقاومة القصوى (USD) : Ultimate Strength Design (USD)

اتجهت كثير من الدول المتقدمة إلى طريقة التصميم بحد المقاومة القصوى، وتضم أغلب الكودات الآن تفاصيل التصميم بهذه الطريقة، وفي مصر توجد الآن مرحلة انتقالية من التصميم بطريقه اجهاد التشغيل إلى التصميم بطريقه المقاومة القصوى. ومع تقدم تكنولوجيا تنفيذ الخرسانة وزيادة الإمكانيات المادية والتكنيكية سوف تودع في القريب طريقه اجهاد التشغيل ولتحل محلها طريقه المقاومة القصوى في كل أعمال التصميم بما فيها الأبراج.

الأحمال : Loads

المقاومة القصوى تتطلب تحويل أحمال التشغيل إلى الأحمال القصوى عن طريق استخدام معاملات تحمیل Load factors تحدى فى كل كود، ويحسب الحمل الأقصى U كما يلى : طبقاً لكود معهد الخرسانة الأمريكي ACI :

$$H = 14.0 \pm 1.7 \text{ J} \quad (4-10)$$

$$U = 0.25(1.4D + 1.7L + 1.7W) \quad (4-11)$$

$$U = 0.9D + 1.3W \quad (\text{IF } L=0)$$

حيث : D = الحمل الدائم Dead load

Live load الحمل الحي = L

Wind load = حمل الرياح

أما الكود المصرى لتصميم وتنفيذ المنشآت الخرسانية المسلحة ١٩٨٩ (ECOP) فهو :

$$H = \frac{1}{2} B_0^2 I^2 \quad \text{.....(4-12)}$$

$$U = 0.8(1.4D + 1.6L + 1.6W) \dots \quad (4-14)$$

$$U = 0.9 D + 1.6 W \text{ (If } L = 0\text{)} \dots$$

- بينما يختلف الكود السورى عن الكود المصرى بأن أخذ المعامل 1.5 بدلًا من 1.4 والمعامل 1.8 بدلًا من 1.6 .

والتصميم بالمقاومة القصوى يخفض مقاومة الخرسانة لاعتبارات التشغيل وغيرها باستخدام معامل التخفيض ϕ أو γ :

ACI : الكود الامريكي : Design strength = ϕ (theoretical strength)

ECOP : الكعده المقصوده : Design strength = theoretical strength / γ

ويحدد جدول (٤-٤) قيم ϕ في الحالات المختلفة.

جدول (٤-٤) قيم معامل التخفيض ϕ

Condition	Value of ϕ
a. Axial tension; flexure with or without axial tension.	0.9
b. Shear or torsion, bond, anchorage.	0.85
c. Axial compression with or without flexure, spiral reinforcement.	0.75
d. Axial compression with or without flexure, tied reinforcement.	0.7
e. Bearing on concrete.	0.7
f. Flexure in plain concrete.	0.65

لما الكود المصرى فيأخذ معاملات خفض المقاومة للخرسانة $\gamma_c = 1.15$ ولصلب التسليح $\gamma_s = 1.5$ لتأثيرات قوة الشد المحورية وقوى الشد الامرکزية وعزم الانحناء وقوى القص واللى والارتكاز والتماسك كما يلى :

أما في حالة عزوم الانحناء المصحوبة بقوى ضغط محورية (ضغط لا محوري) فتؤخذ معاملات خفض المقارنة المميزة كما يلى :

$$\gamma_c = 1.75 - 0.50 \text{ (e/t)} \geq 1.5 \quad \dots \quad (4-15)$$

$$\gamma_s = 1.36 - 0.43 (e/t) \geq 1.15 \dots \quad (4-16)$$

$c/t \geq 0.05$ حيث :

ولتأثيرات الترخيم والتشكل والتشريح يكون :

ويتفق الكود السوري تقريباً مع الكود الأمريكي في معاملات التخفيض.

- اعتبارات تصعيم القطاع الخرساني تحت تأثير العزوم :

بين شكل (٤-٧) مقطع خرساني معروف عليه الرموز المستخدمة في معادلات طريقة

• المقاومة القصوى USD بالكود الأمريكى

Compressive force

$$C = 0.85 f_{sv} a b$$

Tensile force

$$\mathbf{T} = \mathbf{A}_x \mathbf{f}_v$$

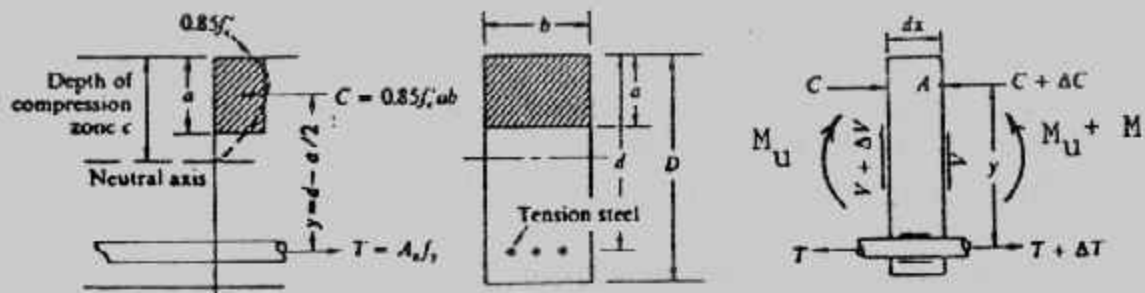
$$C = T$$

$$0.85 f_{cu} \cdot a \cdot b = A_s f_y$$

ويأخذ العزوم والضرب في معامل التخفيض تحصل على العزوم القصوى M_{u1} :

$$M_u = \phi A_s f_y (d - a/2) \dots \quad (4-18)$$

وبافتراض أن نسبة الحديد هي μ حيث



شكل (٤-٧) القطاع الخرسانى فى طريقة المقاومة القصوى

$$M_u = \phi b d^2 f_{cu} \cdot \frac{\mu f_y}{f_{cu}} (1 - 0.59 \frac{\mu f_y}{f_{cu}})$$

$$M_u = \phi b d^2 \cdot \mu f_y (1 - 0.59 \frac{\mu f_y}{f_{cu}}) \quad \dots \dots \dots (4-19)$$

ويفرض نسبة التسلیح μ يمكن من هذه المعادلة حساب العمق d اللازم للعزوم . حيث
يمكن تحديد قيمتها :

$$M_u = b d^2 R \quad \dots \dots \dots (4-20)$$

$$\text{Where : } R = \phi \cdot \mu f_y (1 - 0.59 \frac{\mu f_y}{f_{cu}})$$

$$d = \sqrt{\frac{M_u}{b \cdot R}} \quad \dots \dots \dots (4-21)$$

وعند الاتزان قد يحدث الانهيار المفاجئ بتهشيم الخرسانة ووصول الحديد على
الخضوع وتكون نسبة الحديد عند الاتزان هي μ_m وعلى اعتبار أن الانفعال الأقصى هو 0.003
وأخذ معامل المرونة لصلب التسلیح هو 200 MN/m^2 يكون :

$$\mu_b = \frac{0.85 f_{cu}}{f_y} \beta \left(\frac{600}{600 + f_y} \right)$$

f_{cu}, f_y in MN/m^2

ولتجنب الانهيار المفاجئ بدون تحذير يأخذ نسبة حديد التسلیح القصوى بالقيمة :

$$M_{max} = 0.76 M_u$$

ويعطى الجدول (٤-٢) قيم نسبة حديد التسلیح القصوى بدلالة f_{cu}, f_y .

أما الكود المصرى فقد استخدم المعادلة (4-18) الخاصة بالعزم الحدى الأقصى على الصورة

$$(d - a/2) \frac{\frac{A_s f_y}{\gamma_s}}{M_u} = \text{الآتية :}$$

ويتم حساب عمق المستطيل المكافئ a من :

جدول (٤-٤) قيم M_{max}

f_y	f_{cu}			
MN/m ²	21 MN/m ²	28 MN/m ²	35 MN/m ²	42 MN/m ²
276	0.0284	0.0378	0.0445	0.0501
345	0.0209	0.0279	0.0329	0.0370
414	0.0163	0.0217	0.0255	0.0287

$\beta = 0.85 \quad \beta = 0.85 \quad \beta = 0.80 \quad \beta = 0.75$

وأعلى قيم مسموح بها للعزم M_{max} ولنسبة ملء التسليح μ_{max} في مقاطع خرسانية مسلحة جهة الشد فقط ومعرضة لعزم انحناء هي :

$$M_{u\max} = R_{\max} \cdot f_{cu} \cdot b \cdot d^2 / \gamma c$$

$$\mu_{\max} = \frac{A_s}{b \cdot d} = [0.67 (f_{cv}/\gamma_c)/(f_y/\gamma_s) (a_{\max}/d)]$$

$$d = \sqrt{\frac{M_u \gamma_c}{R_{max} f_{cu} b}}$$

$$A_s = \frac{M_u}{0.87 f_y \cdot Z}$$

حيث : σ = هو مقاومة الضغط المميزة للخرسانة.

- هو اجهاد الخصو ع للصلب .

جدول (٤-٣)

قيمة X_{max}/d , μ_{max} , R_{max} بدون توزيع للعزم

Type of steel	F_y (kg/cm ²)	X _{max} /d	μ_{max}	R _{max}
24/35	2400	0.5	$8.56 \times 10^{-5} f_{cu}$	0.214
28/45	2800	0.48	$7.0 \times 10^{-5} f_{cu}$	0.208
36/52	3600	0.44	$5.0 \times 10^{-5} f_{cu}$	0.190
40/60	4000	0.42	$4.31 \times 10^{-5} f_{cu}$	0.187
45/52	4200	0.41	$3.65 \times 10^{-5} f_{cu}$	0.180

كما يجوزأخذ طول التماسك من الجدول (٤-٩) مع مراعاة قيمة α كما يجب ألا يقل طول تمسك أسياخ الصلب الملساء عن ٤٠ سم والأسياخ ذات النتوءات فيجب ألا يقل عن طول التماسك لها عن ٣٠ سم (شكل ٤-٨).

جدول (٤-٧) قيم معامل التصحيح α

المعامل α في التماسك		شكل طرد "B"	عنصر
١	١	١- مستقيم	
١	-٠.٧٥	٢- جزء على خط D	أسياخ
١	-٠.٧٥	٣- جزء على خط L High grade steel	النحو
١	-٠.٧٥	٤- جزء على خط γ High grade steel	
١	١	٥- اسياخ مفخمة ولا يوجد سعف ورقة في الطول	النحو
-٠.٧	-٠.٦	٦- اسياخ مفخمة ويوجد ورقة في الطول	المعلوم
غير	غير	٧- اسياخ مفخمة ويوجد سعف مرصباً في الطول	

$D = 4 \phi$ for steel 24/35

$D = 6 \phi$ for 0 nm through 25 mm high grade steel.

$D = 8 \phi$ for more than 25 mm high grade steel.

b. Reinforcement with $f_y > 414 \text{ M}_{\text{pu}}$	$2 - \frac{414}{f_y (\text{MN/m}^2)}$
c. For lightweight concrete.	1.33
d. Reinforcement spaced at least 152 mm on center and at least 76 mm from all sides.	0.8
e. Reinforcement in excess of that required	$\begin{cases} \text{as required} \\ \text{as provided} \end{cases}$

وفي أي حالة يجب ألا يقل طول التماسك L_d عن ٣٠ سم، أما طول التماسك في الأسياخ الضغط (مثل الأشواير بين الأعمدة والأساسات) فيحسب من :

$$0.25 f_y d_s / \sqrt{f_{cu}} \text{ or } 0.044 f_y d_b \text{ or } 200 \text{ mm}$$

ويمكن استخدام الجنس لتخفيف قيمة L_d . ولكن الجنس لا يستخدم عادة في الأساسات، أما الكود المصري فقد أعطى معادلة واحدة لحساب طول التماسك بها عدد من العوامل تعالج الحالات المختلفة للتسليح :

$$L_d = \phi \cdot \alpha \cdot \beta \cdot \eta \left(\frac{f_y}{\gamma_c} \right) / 4 f_{bu}$$

وهذا الطول يقاس من المقاطع الحرجة التي يحدث عنها أقصى إجهاد شد أو ضغط في الأسياخ وكذلك التي ينتهي أو تكسح عندها الأسياخ حيث :

φ - القطر الأسماي للسيخ.

η - للأسياخ العلوية لصلب التسليح الرئيسي التي يزيد سمك الخرسانة المصبوبة تحتها على ٣٠ سم.

γ - لجميع الحالات الأخرى لصلب التسليح.

β - إجهاد التماسك الحدي للخرسانة مع صلب التسليح ويحسب من

$$f_{bu} = 0.87 \sqrt{f_{cu} / \gamma_c} \text{ kg/cm}^2$$

α : معامل تصحيح يتوقف على شكل طرف السيخ (بجنس أو بدون جنس) ومعطى في جدول (٧-٤).

β : معامل التصحيح يتوقف على نوعية سطح السيخ (أملس أو ذو نتوءات) ومعطى في جدول (٨-٤).

$$V_c = 0.17 \sqrt{f'_c \cdot bd} \quad (\text{for member subjected to shear and flexure})$$

and

$$V_c = 0.34 \sqrt{f_c' bd} \quad (\text{for member subjected to diagonal tension})$$

where : f_c is in MN/m², V_c is in MN, and b and d are in m.

ويلاحظ أن :

where, τ_c is the shear stress

وبناء على ذلك نحصل على مقاومة القص المسموح بها.

ويعطى جدول (٤-٦) قيم ϕ/\sqrt{v} في المعادلتين السابقتين .

جدول (٤-٦) قيم V_s/ϕ

Equation number	f_c (MN/m ²)			
	21	28	35	42
Eq. (4-24)	0.78	0.90	1.0	1.1
Eq. (4-25)	1.56	1.80	2.0	2.2

أما بالنسبة لطول التماسك Development length فهو الطول اللازم لمنع انفصال الخرسانة عن أسياخ التسلیم المعرضة لاجهاد الشد أو الضغط ويعطى كود ACI طول التماسك لحدید الشد على النحو الآتی :

- | | |
|---|------------------------------|
| a. 35-mm bar and smaller but
not less than | $0.019 A_b f_y / \sqrt{f_c}$ |
| b. 43-mm bar | $0.058 d_b f$ |
| c. 57-mm bar | $26 f_y / \sqrt{f_c}$ |

where A_b = area of the individual bar (mm^2)

d = nominal diameter of the bar (mm)

وتؤخذ f_y بوحدات MN/m^2 تؤخذ L بالمليمتر وقيمة طول التماسك يجب أن تضرب في المعاملات الآتية لتكون ممكنة التطبيق :

a. top reinforcement.

14

جدول (٤-٤)

قيم X_{max}/d , μ_{max} , R_{max} في حالة إعادة توزيع عزوم $\pm 10\%$

Type of steel	F_y (kg/cm ²)	X_{max}/d	μ_{max}	R_{max}
24/35	2400	0.4	$6.85 \times 10^{-5} f_{cu}$	0.18
28/45	2800	0.38	$5.58 \times 10^{-5} f_{cu}$	0.178
36/52	3600	0.34	$3.88 \times 10^{-5} f_{cu}$	0.157
40/60	4000	0.32	$3.29 \times 10^{-5} f_{cu}$	0.15
45/52	4200	0.30	$2.74 \times 10^{-5} f_{cu}$	0.142

وعند تحديد قيمة f_y , f_{cu} عند التصميم يراعى أن أساسات المبانى نادراً $f_{cu} \leq 210 \text{ kg/cm}^2$ ولا أساسات الكبارى $f_{cu} \leq 28 \text{ Mpa}$ ($f_{cu} \leq 280 \text{ kg/cm}^2$) وبغض النظر عن أن المقاومة المنخفضة تخفض من تكاليف الخرسانة إلا أن الأكثر أهمية لخفض مقاومة الخرسانة هو الحصول على أساسات بتخانات أكبر لتعطى جسأة عالية، أما عند تصميم أساسات اللبسة فيمكن استخدام خرسانة عالية المقاومة، وبالنسبة لقيمة f_y فقد تصل إلى $(f_y \approx 4000 \text{ kg/cm}^2)$ ولكن الحديد الأكثر انتشاراً يعطى $f_y \approx 400 \text{ Mpa}$ (5500 kg/cm^2) 550 Mpa ويحدد الكود المصرى ألا تزيد f_y عن 4000 kg/cm^2 (400 Mpa) للحديد ذو التنوءات أما للصلب الأملس فيؤخذ $f_y = 2400 \text{ kg/cm}^2$ ($f_y = 240 \text{ Mpa}$) حتى لو أعطت الاختبارات قيمة أكبر من ذلك.

جدول (٤-٥) تعين قيمة Z

$K = \frac{M}{bd^2 f_{cu}}$	0.044	0.054	0.063	0.072	0.081	0.092	0.095	0.100	0.108	0.118	0.121	0.128	0.133	0.137	0.144
Z/d	0.948	0.936	0.924	0.912	0.900	0.880	0.880	0.870	0.860	0.844	0.840	0.830	0.820	0.812	0.800
X/d	0.130	0.160	0.190	0.220	0.250	0.290	0.300	0.320	0.350	0.390	0.400	0.430	0.450	0.470	0.500

أما بالنسبة للقص فإن مقاومة القص النظرية للقطاع V_n فإنه تحسب من :

$$V_n = V_c + V_s$$

where : V_c = nominal shear strength of concrete.

V_s = nominal shear strength of reinforcement.

أما مقاومة القص المسموح بها فهى :

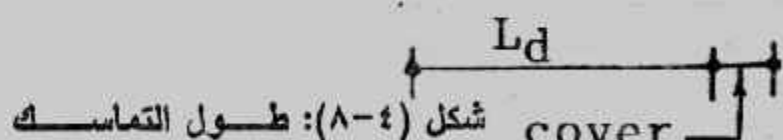
$$V_u = \phi V_n = \phi (V_c + V_s)$$

جدول (٤-٨) قيم معامل التصحيح β

نوع سيخ التسلیح	في الضغط	في الشد	في الضغط
١- سيخ ملمس.	٠,٧٠	١,٠٠	
٢- سيخ ذو نتوءات.	٠,٥٠	٠,٧٥	
٣- سيخ ذو نتوءات في حزمة مؤلفة من سيخين.	٠,٧٥	١,١٠	
٤- سيخ ذو نتوءات في حزمة مؤلفة من ثلاثة أسياخ.	٠,٨٠	١,٢٠	

جدول (٤-٩) طول التماسك مضاعف من قطر السيخ ($\eta = 1.0$)

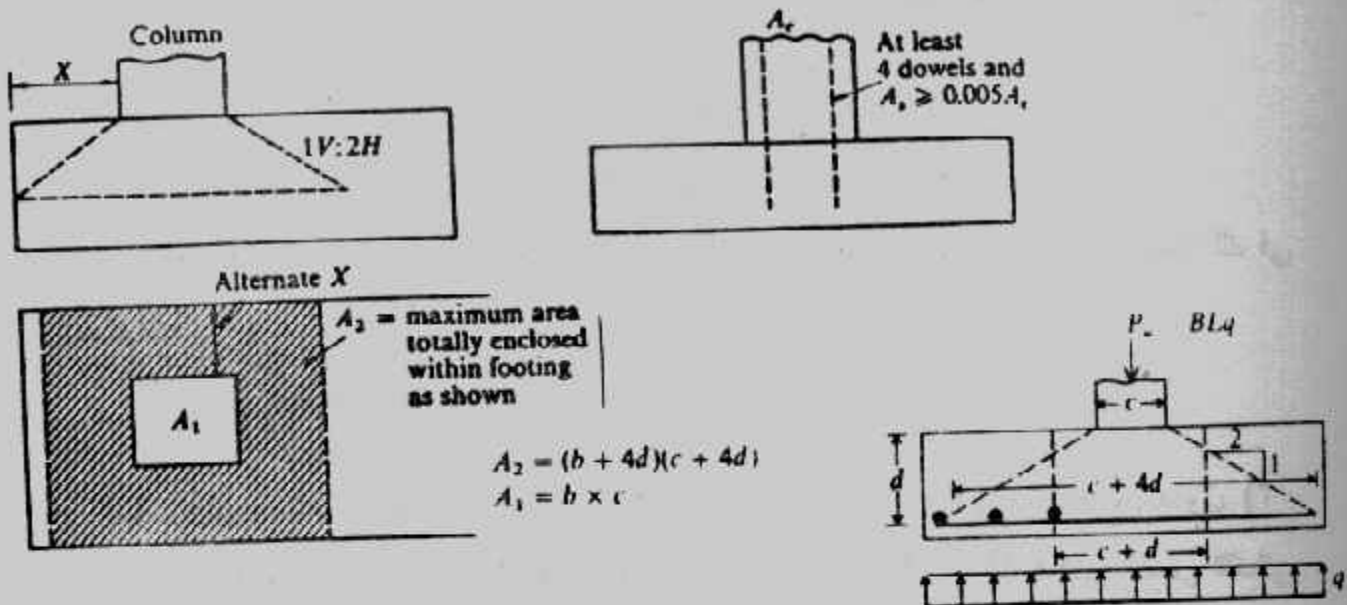
ضفط	شد		نوع الصلب
للحالتين	مجنس	مستقيم	
٣٥	٤٠	--	أسياخ ملمس $35/24$
٣٥	٤٠	٥٠	أسياخ ذات نتوءات $45/28$
٤٥	٥٠	٦٥	أسياخ ذات نتوءات $52/36$
٤٥	٥٥	٧٠	أسياخ ذات نتوءات $60/40$



أما بالنسبة لمقاومة التحميل (الارتكاز) Bearing Strength بين العمود والأساس فإنها قد تختلف في تقدير عمق الأساس وخاصة إذا كانت مقاومة الضغط لخرسانة الأعمدة أكبر من مقاومة الضغط لخرسانة الأساسات، ومقاومة الارتكاز وفقاً ل קוד ACI يجب الالتزام بـ :

$$f_c \leq 0.85 f_{cv} \sqrt{A_2 / A_1} \quad \dots \dots \dots \quad (4-26)$$

حيث $\sqrt{A_2 / A_1}$ يجب ألا تتعدي 2 وقيمة ϕ تؤخذ 0.70، A_1 هي مساحة العمود (التحميل)، A_2 هي أكبر مساحة للتوزيع من المسطح المقاوم والمتناهية في الشكل مع مسطح التحميل والمحورية معه والتي تصنع ميلاً مقداره 2 : 1 شكل (٤-٩).



شكل (٤-٩) مقاومة التحمل

والأشایر تستخدم لربط العمود بالأساس . وقد تستخدم الأشایر لنقل إجهاد العمود للأساس وخاصة إذا كانت خرسانة العمود أقوى من خرسانة الأساس . والأشایر تكون ضرورية إذا زاد إجهاد التماس بين العمود والأساس عن :

$$f_c = 0.85 \phi f_{cu} \sqrt{A_2 / A_1}$$

وفي هذه الحالة تحسب أقل مساحة لحديد الأشایر من :

Minimum area of steel = 0.005 A_c
where A_c = area of column

ويفضل أخذ قطر حديد التسلیح من نفس قطر حديد العمود على الأقل ، أما الكود المصرى فلم يختلف عن الكود ACI السابق إلا في معادلة مقاومة الارتكاز ، وهي :

$$f_c = 0.67 f_{cu} \sqrt{A_2 / A_1} / 70 \quad (4-27)$$

وبالتسبة لحديد التسلیح فإن كود ACI يحدد المسافة الصافية بين الأشایر بما لا يقل عن ٢٥،٤ مم (بوصة واحدة) ولا تزيد عن ثلاثة أضعاف تخانة الحاطن أو البلاطة أو ٤٥٧ مم (١٨ بوصة) . والغطاء الخرساني cover لا يقل عن ٧٦ مم (٣ بوصة) للعناصر الخرسانية المعرضة للتربة (عناصر الأساسات) .

ويبيّن جدول (٤-١٠) اعتبارات التصميم بطريقة مقاومة القصوى طبقاً لكود معهد الخرسانة الأمريكي ACI

تصميم القواعد المربعة بطريقة المقاومة القصوى :

يمكن تلخيص خطوات تصميم القواعد المربعة كما يلى :

- حساب مساحة الخرسانة العادية (لو كانت تحيطها ٣٠ متر أو أكبر) أو مساحة الخرسانة المسلحة من جهد التربة باستخدام الأحمال الفعلية :

$$\text{Area} = A = \frac{P}{q_{na}} \text{ or } \frac{P_T}{q_a}$$

- تعين جهد التربة التصميمى باستخدام الأحمال القصوى وهو الذى سوف يستخدم بعد ذلك فى الحسابات :

$$q = \frac{P_u}{A}$$

- حساب مقاومة القص الثنائية المسموح بها V_c two-way action shear stress من جدول (٣-١١) أو تحسب من المعادلات الخاصة بها . كما بين شكل (١٠-٣) حالى القص الثنائى التأثير Two-way action ، والأحادى wide beam - ثم يحسب العمق d من تجميع القوى الرئيسية ومسارتها بالصفر بما فى ذلك قوى القص : $\sum Y = 0$ أى أن للقص الثنائى التأثير يكون :

[الحمل الأقصى - جهد التربة التصميمى \times مساحة المقطع العرض للقص - مقاومة القص على محيط المقطع العرض = صفر]
وبالرجوع لشكل (١٠-٣) نجد أن :

$$P_u - q(c + d)(b + d) + 2dV_c [(b + d) + (c + d)] = 0$$

وبوضع $q = P_u / BL$ للعمود المستطيل والأساس المستطيل يكون :

$$d^2(4V_c + q) + (2V_c + q)(b + c)d = (BL - cb)q \quad (4-28)$$

وهذه المعادلة للأساس المستطيل . وتصبح للأساس المربع على الشكل الآتى :

$$d^2(4V_c + q) + 2(V_c + q)bd = (B^2 - b^2)q \quad (4-29)$$

ويمكن اختصار معادلة الأساس المستطيل إذا أهمل تأثير جهد التربة على القص القطرى فتحصل على :

$$4d^2 + 2(b + c)d = BL q/V_c \quad (4-30)$$

جدول (١٠-٣) اعتبارات التصميم بطريقة المقاومة القصوى طبقاً للكود ACI

Summary of ACI 318-83 Code Requirements (Revised 1986)

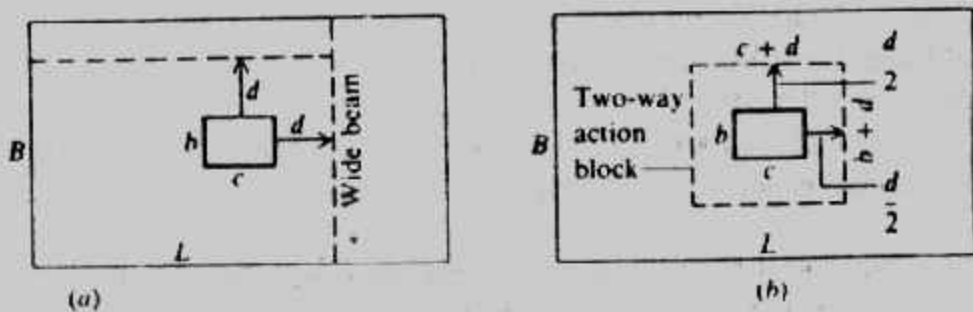
Principles	Design items	Code requirements	Code section
General	Load	$U = 1.4D + 1.7L$ $U = 0.75(1.4D + 1.7L + 1.7W)$ $U = 0.9D + 1.3W$	9.2
	Load factor, ϕ	Flexure: 0.9 Shear and torsion: 0.85 Bearing: 0.7 Flexure in plain concrete: 0.65	9.3
	Flexure	$M_c = \phi A_s f_y \left[d - \frac{0.59 A_s f_y}{f_y b} \right]$	10.2
	Maximum flexure reinforcement	$s_{max} = 0.75 s_b$	10.3.3
	Minimum flexure reinforcement—steel percentage	$s_{min} = \frac{1.4}{f_y (\text{MN/m}^2)}$	10.5
	Shrinkage and temperature reinforcement—steel percentage	Uniform thickness: use steel percentage equal to that required for shrinkage and temperature For $f_y = 275 \text{ MN/m}^2$ (40 ksi) or 345 MN/m^2 (50 ksi); $s_a = (0.002)(\text{gross concrete area})$ For $f_y = 414 \text{ MN/m}^2$ (60 ksi); $s_a = (0.0018)(\text{gross concrete area})$	7.12
	β factor	$\beta = 0.85$ for $f'_y \leq 28 \text{ MN/m}^2$ (4000 lb/in. ²) and reduces by 0.05 for every 7 MN/m^2 (1000 lb/in. ²) in excess of 28 MN/m^2 . Minimum value = 0.65	10.2.7
	Shear reinforcement	Refer to ACI Code	11.11
	Development length, L_d	See Section	12.2
	Reinforcement spacing	Clear distance not less than diameter of bar or 25.4 mm (1 in.) Walls and slabs: not to be spaced farther apart than 3 times the wall or slab thickness or 457 mm (18 in.)	7.6.1 7.6.5
	Minimum reinforcement cover	76 mm (3 in.) for concrete cast against and permanently exposed to earth	7.7.1
	Modulus of elasticity of concrete, E_c	SI system: $E_c (\text{MN/m}^2) = (W_c^{1.5})(0.043)\sqrt{f_y (\text{MN/m}^2)}$ W_c = density of concrete (for 1440 kg/m ³ to 2480 kg/m ³) $E_c (\text{MN/m}^2) = 4730\sqrt{f_y (\text{MN/m}^2)}$ (for normal weight concrete)	8.5

جدول (١١-٤) قيم مقاومة القص المسماوح بها

$\phi = 0.85$	20 (200)	225 (225)	25 (250)	27.5 (275)	30 (300)	32.5 (325)	35 (350)
Wide beam	0.65	0.685	0.722	0.758	0.79	0.824	0.855
$0.17 \phi \sqrt{f_{cu}}$							
Two-way action	1.30	1.37	1.445	1.516	1.58	1.648	1.71
$0.34 \phi \sqrt{f_{cu}}$							

جدول (٣-١٠) اعتبارات التصميم بطريقة المقاومة القصوى طبقاً للكود ACI

Principles	Design items	Code requirements	Code section
	Shear strength	$v_s = \frac{V_s}{bd}$ <i>Wide beam:</i> $v_s (\text{MN/m}^2) = 0.17\sqrt{f'_c (\text{MN/m}^2)}$ $v_s (\text{lb/in.}^2) = 2\sqrt{f'_c (\text{lb/in.}^2)}$ <i>Diagonal tension:</i> $v_c (\text{MN/m}^2) = 0.34\sqrt{f'_c (\text{MN/m}^2)}$ $v_c (\text{lb/in.}^2) = 4\sqrt{f'_c (\text{lb/in.}^2)}$	11.3 11.11
	Bearing strength	$\text{Bearing strength} = 0.85\phi f'_c A_1$ $\phi = 0.7$ <i>Exceptions:</i> when supporting surface is wider on all sides than the loaded area, the bearing strength on the loaded area is equal to $0.85\phi f'_c A_1 \sqrt{A_2/A_1}$. Limit of $\sqrt{A_2/A_1} \leq 2$. A_1 = loaded area; A_2 = area of the portion of the supporting surface that is concentric and geometrically similar to the loaded area	10.15
FOUNDATIONS			
Footings	General considerations	See ACI Code	15
	Maximum moment	See ACI Code	15.4
	Shear	$v_c (\text{MN/m}^2) = 0.083 \left(2 + \frac{4}{\beta_c} \right) \sqrt{f'_c (\text{MN/m}^2)}$ $\leq 0.34\sqrt{f'_c (\text{MN/m}^2)}$	11.11.2.1, 15.5
	Minimum footing depth	β_c = ratio of long side to short side of concentrated load or reaction area Not less than 152 mm (6 in.) above the bottom of reinforcement for footing on soil. Not less than 305 mm (12 in.) for footing on piles	15.7
	Transfer of force at base of column or reinforced pedestal	Area of reinforcement ≥ 0.005 gross area of supported member	15.8.2.1
	Round columns	Treat as square columns with same area for location of critical sections for moment, shear, and development of reinforcement in footings	15.3
WALLS			
	General considerations	Refer to ACI Code	14
	Minimum thickness	Not less than $\frac{1}{2}s$, the supported height or length, whichever is shorter; not less than 102 mm (4 in.)	14.5.3.1
		Exterior basement walls and foundation walls not less than 191 mm (7.5 in.)	14.5.3.2
	Grade beam	See ACI Code	14.7
	Reinforcement	Horizontal: $A_s \geq 0.0025A_g$ of wall Vertical: $A_s \geq 0.0015A_g$ of wall A_g = area of reinforcement A_g = gross area of the wall	14.3.3 14.3.2



شكل (٤-١٠) حالتا القص.

ومن هذه المعادلات يمكن تعين عمق الأساس d بحل معادلة من الدرجة الثانية. وفي حالة الأساس المستطيل يعمل تأكيد على القص الأحادي wide - beam ويؤخذ العمق الأكبر من الحالتين .

٤- حساب عزم الانحناء على المقطع الحرج على وجه العمود M_u وكذلك حساب a حيث :
 $M_u = \phi A_s f_y (d - a/2)$

ويعرض عن A_s بدلاً من a :

$$A_s = 0.85 a f_{cu}$$

 فتنتج معادلة من الدرجة الثانية في a وبالراجع يمكن تعين A_s والتي يجب ألا تتعدي النسبة الأدنى المسموح بها وهي $bd / 0.0018$. كما يجب ألا تزيد عن النسبة القصوى المسموح بها والمبينة في جدول (٤-١٢) .

جدول (٤-١٢) نسبة الحديد القصوى المسموح بها

f_{cu}, MP_a	f_y, MP_a		
	275	345	400
21	0.028	0.021	0.016
24	0.032	0.024	0.019
28	0.037	0.028	0.021
35	0.044	0.032	0.025

٥- عمل تأكيد على طول التماسك والتي يجب ألا تقل عن ٣٠ سم بأى حال .

٦- عمل تأكيد على مقاومة التحميل (الارتکاز) وحساب الأشایر . وإذا كانت مقاومة التحميل أقل من المسموح به (والمحسوب من المعادلة الخاصة بذلك) تستخدم أقل نسبة أشایر وهي 0.005 A_c أما إذا زادت مقاومة التحميل عن المسموح به فتحسب الأشایر من الفرق بين المقاومة الفعلية والمقاومة المسموح بها للتحميل مضروبا في مساحة العمود، ثم يقسم الناتج على A_c فنحصل على مساحة الأشایر المطلوبة للتحميل . أى أنه في هذه الحالة .

مساحة حديد الأشایر = $\frac{1}{f_y} (\text{مقاومة التحميل الفعلية} - \text{مقاومة التحميل المسموح بها})$

٧- تبين نتائج التصميم تصصيلا على الرسومات بقطاعات مختلفة .

Example (4-3):

Figure (4-11) shows a square column foundation with the following conditions :

Live load = 450 kN, Dead load = 350 kN

Allowable gross soil-bearing capacity $q_{all} = 152.5 \text{ kN/m}^2$

Column size = $0.5 \times 0.5 \text{ m}$

$$f_c = 22.5 \text{ MN/m}^2 (225 \text{ kg/cm}^2), f_y = 240 \text{ MN/m}^2 (2400 \text{ kg/cm}^2)$$

Design the foundation according to ultimate strength design (USL).

Solution:

Let the average unit weight of concrete and soil above foundation level be 22 kN/m^3

$$q_{net\ all} = q_{all} - \gamma_s D_f = 152.5 - 1.25 \times 22 = 125 \text{ kN/m}^2$$

$$A = B^2 = \frac{D + L}{q_{net\ all}} = \frac{350 + 450}{125}$$

Use a foundation with dimension of $2.6 \times 2.6 \text{ m}$

$$\text{The factored load } U = 1.4 D + 1.6 L \quad (\text{ECOP})$$

$$= 1.4 \times 350 + 1.6 \times 450 = 1210 \text{ kN}$$

$$q = U/A = 1210 / 2.6 \times 2.6 = 179 \text{ kN/m}^2 = 0.179 \text{ MN/m}^2$$

Punching (two-way action shear):

$$V_c = 0.85 (0.34) \sqrt{f_c} \\ = 0.85 \times 0.34 \sqrt{22.5} = 1.37 \text{ MN/m}^2$$

for square footing

$$d_2 (V_c + \frac{q}{4}) + d (V_c + \frac{q}{2}) b = (A_f - A_c) \frac{q}{4}$$

$$d^2 (1.37 + \frac{0.179}{4}) + d (1.37 + \frac{0.179}{2}) 0.5 = (2.6 \times 2.6 - 0.5 \times 0.5) \frac{0.179}{4}$$

$$1.41 d^2 + 0.73 d - 0.29 = 0$$

$$d^2 + 0.52 d = 0.206$$

completing the square

$$(d + 0.26)^2 = 0.206 + 0.26^2 = 0.2736$$

$$d + 0.26 = \pm \sqrt{0.2736}$$

$$\therefore d = \pm 0.523 - 0.26$$

$$= 0.263 \text{ m}$$

Not necessary to check wide-beam shear :

The approximate footing depth is :

$$d^2 + bd = B^2 q/4 V_c$$

$$d^2 + 0.5 d = \frac{2.6^2 \times 0.179}{4 \times 1.37} = 0.221$$

Completing the square :

$$(d + 0.25)^2 = 0.221 + 0.25^2 = 0.284$$

$$\therefore d = 0.283 \text{ m}$$

take $t = 0.50 \text{ m}$ and $d = 0.43 \text{ m}$

$$c = \frac{2.6 - 0.5}{2} = 1.05 \text{ m}$$

$$\begin{aligned} Mu &= q B C^2 / 2 = 179 \times 2.6 \times 1.05^2 / 2 \\ &= 256.6 \text{ kN.m} \end{aligned}$$

$$a = \frac{A_s f_y}{0.85 f_{cu} B}$$

$$A_s = 0.85 a f_{cu} B / f_y = 0.85 \times 22.5 \times 2.6 a / 240 = 0.207 a$$

$$Mu = \phi A_s f_y (d - a/2)$$

$$\text{with } \phi = 0.9 \text{ and } A_s = 0.207 a$$

$$\therefore M_u = 0.9 \times 0.207 a \times 240000 (0.43 - a/2)$$

$$256.6 = 19226.2a - 22356 a^2$$

$$a^2 - 0.86 a + 0.0115 = 0$$

$$a = \frac{0.86 \pm \sqrt{(0.86)^2 - 4 \times 0.0115}}{2}$$

$$a = 0.0136$$

$$A_s = 0.207 \times 0.0136 = 0.0028 \text{ m}^2 = 28 \text{ cm}^2$$

Check percent steel :

$$\mu = \frac{A_s}{Bd} = \frac{0.0028}{2.6 \times 0.43} = 0.0025$$

$\mu > \mu_{\min} = 0.0018$ (ACI code)

use 14 φ 16 in each side

check development length :

$$L_d = 0.019 Ab \frac{f_y}{\sqrt{f_c}} = 0.019 \times 201 \times \frac{240}{\sqrt{22.5}} = 193.2 \text{ mm}$$

$$\text{also } L_d \geq 0.05 d b f_y = 0.058 \times 16 \times 240 = 222.7 \text{ mm}$$

$$\text{So } L_{d\min} = 300 \text{ mm controls}$$

$$\text{Actual } L_d = C - \text{over} = 105 - 0.075 = 0.975 \text{ m} > 300 \text{ mm}$$

Check for bearing strength and dowels :

$$\sqrt{\frac{A_2}{A_1}} = \sqrt{\frac{(0.5 + 4 \times 0.43)^2}{0.5 \times 0.5}} = 2.9$$

$$\text{So use } \sqrt{A_2 / A_1} = 2 \text{ and } \phi = 0.7.$$

$$\begin{aligned} \text{The design bearing strength} &= 0.85 \phi f_c A_1 \sqrt{A_2 / A_1} \\ &= 0.85 \times 0.7 \times 22.5 \times 0.5 \times 0.5 \sqrt{2} \\ &= 4.733 \text{ MN} = 4733 \text{ kN} \end{aligned}$$

The factored column load

$$u = 1210 \text{ kN} < 4733 \text{ kN}$$

So, a minimum area of dowels should be provided across the interface of the column and foundation. Minimum area of steel

$$= 0.005 \text{ (area of column)} = 0.005 \times 40 \times 40 \\ = 8 \text{ cm use } 4 \phi 16 \text{ as dowels}$$

The final design section is shown in Fig. (4-11).

Example (4-4):

Redesign the footing given in example (4-3) using 40 cm plain concrete.

Solution :

$$q_{\text{net all}} = q_{\text{all}} \cdot \gamma_a D_f = 152.5 \cdot 1.25 \times 22 = 125 \text{ kN/m}^2$$

$$A_{pc} = \frac{350 + 450}{125} = 6.4 \text{ m}^2$$

Take plain concrete 2.6 x 2.6 m and $C_{pc} = 0.4$

$$B_{RC} = 2.6 - 2 \times 0.4 = 1.8 \text{ m}$$

Use RC footing 1.8 x 1.8 m

The factored load.

$$U = 1.4 D + 1.6 L \\ = 1.4 \times 350 + 1.6 \times 450 = 120 \text{ kN}$$

$$q = \frac{U}{A_{RC}} = \frac{1210}{1.8 \times 1.8} = 373.5 \text{ kN/m}^2 = 0.3735 \text{ MN/m}$$

Punching (two-way action shear)

$$V_c = 0.85 (0.34) \sqrt{f_c} \\ = 0.85 \times 0.34 \sqrt{22.5} = 1.37 \text{ MN/m}^2$$

For square footing :

$$d^2 \left(V_c + \frac{q}{4} \right) + d \left(V_c + \frac{q}{2} \right) b = (A_f - A_c) \frac{q}{4} \\ d^2 \left(1.37 + \frac{0.3735}{4} \right) + d \left(1.37 + \frac{0.3735}{2} \right) 0.5 = (1.8 \times 1.8 - 0.5 \times 0.5) \frac{0.3735}{4}$$

$$1.46 d^2 + 0.78 d = 0.28$$

$$d^2 + 0.5 d = \frac{1.8^2 \times 0.3735}{4 \times 1.37} = 0.221$$

$$\therefore d = 0.283 \text{ m}$$

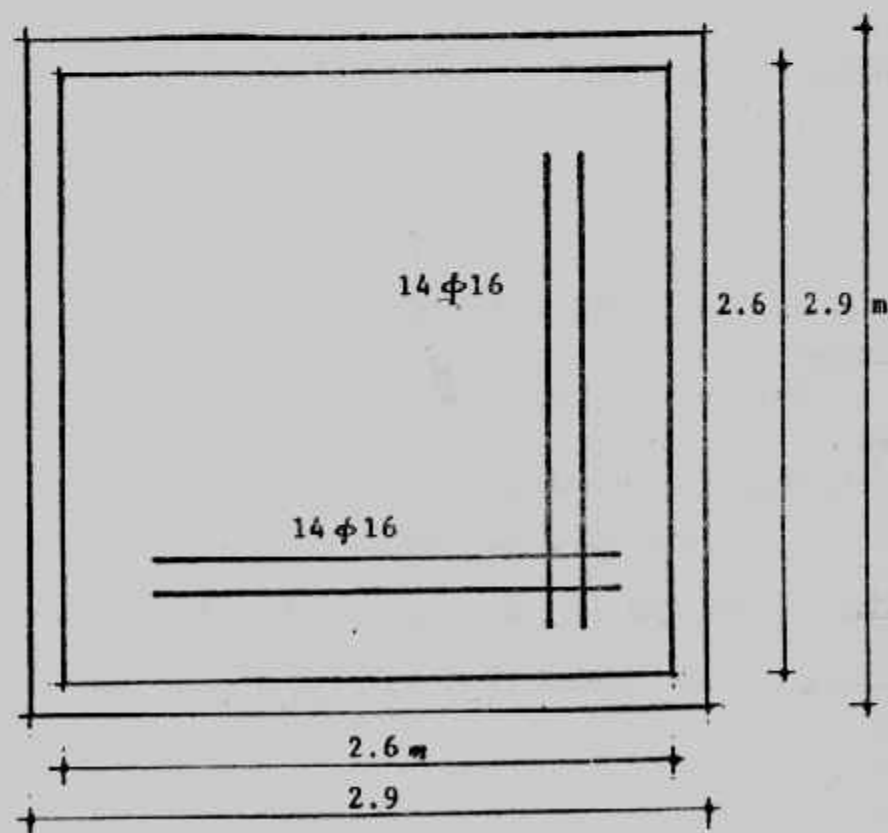
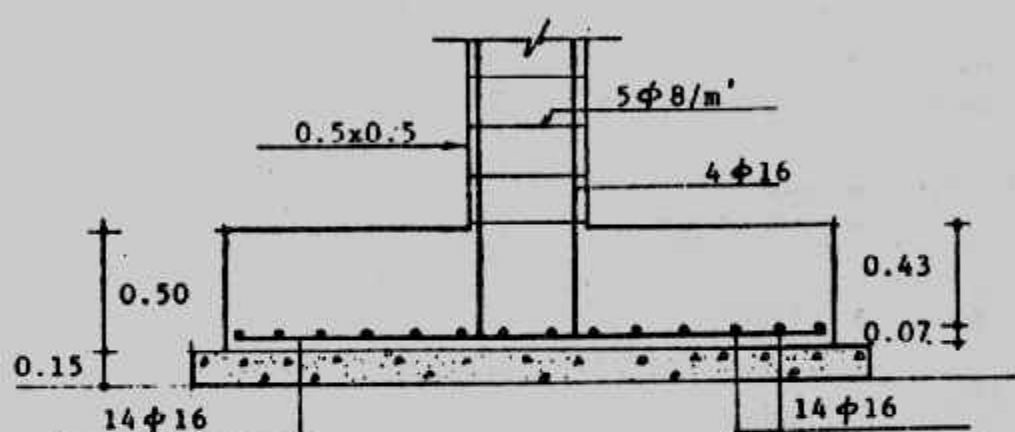
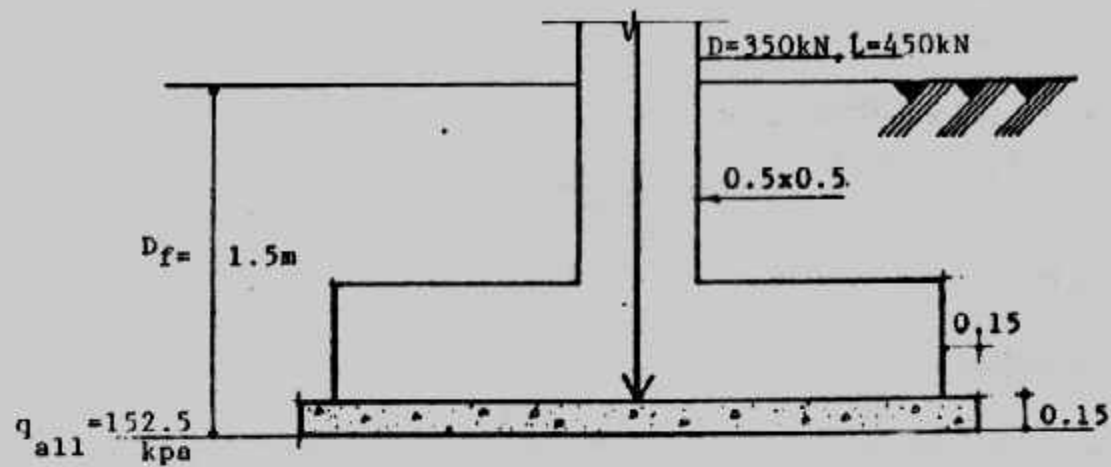
If we take $t = 0.5 \text{ m}$ and $d = 0.43$

$$c = \frac{1.8 - 0.5}{2} = 0.675 \text{ m}$$

$$M_u = q BC^2/2 - 373.5 \times 1.8 \times 0.675^2/2 = 257.4 \text{ kN.m}$$

$$A_s = 0.85 a f_y = 0.85 \times 22.5 \times 1.8 a/240 = 0.143 a$$

$$M_u = \phi A_s f_y (d - a/2)$$



شكل (١١-٤) مثال (٣-٤)

with $\phi = 0.9$ and $A_s = 0.143a$
 $M_u = 0.9 \times 0.143a \times 240000 (0.43 - a/2) = 257.4$
 $15444 a^2 - 13281.8a + 257.4 = 0$

Solution of this equation gives :

$$a = 0.0199 \\ A_s = 0.143 \times 0.0199 = 0.0028 \text{ m}^2 = 28 \text{ cm}^2 \\ \mu = \frac{A_s}{Bd} = \frac{0.0028}{1.8 \times 0.43} = 0.0036 > \mu_{min} = 0.0018$$

use 14 φ 16 in each side

Check development length :

$$L_d = 0.019 A_b \frac{f_y}{\sqrt{f_c}} = 0.019 \times 201 \times \frac{240}{\sqrt{225}} = 193.2 \text{ mm}$$

also $L_d \geq 0.058 d_b f_y = 0.058 \times 16 \times 240 = 222.7 \text{ mm}$

So $L_{dmin} = 300 \text{ mm}$ controls

Actual $L_d = c\text{-cover} = 0.875 - 0.075 = 0.8 \text{ m} > 300 \text{ mm}$

Check for bearing capacity :

$$\sqrt{\frac{A_2}{A_1}} = \sqrt{\frac{(0.5+x \cdot 0.43)}{0.5 \times 0.5}} = 2.93$$

So use $\sqrt{\frac{A_2}{A_1}} = 2$ and $\phi = 0.7$

$$\begin{aligned} \text{The design bearing strength} &= 0.85 \phi f_c A_1 \sqrt{\frac{A_2}{A_1}} \\ &= 0.85 \times 0.7 \times 22.5 \times 0.5 \times 0.5 \sqrt{2} \\ &= 4.733 \text{ MN} = 4733 \text{ kN} \\ &> U = 1210 \text{ kN} \quad \text{o.k.} \end{aligned}$$

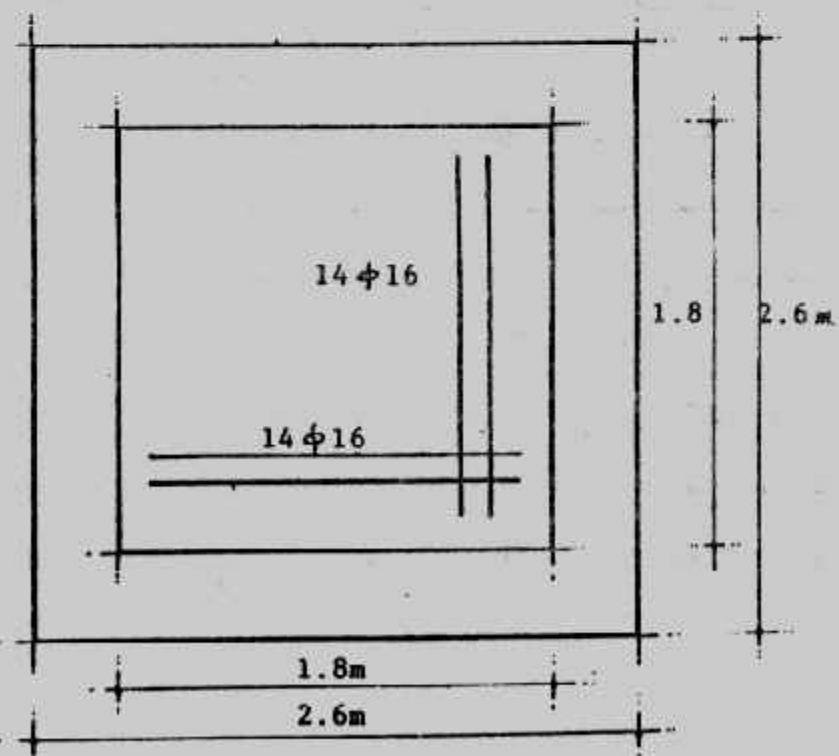
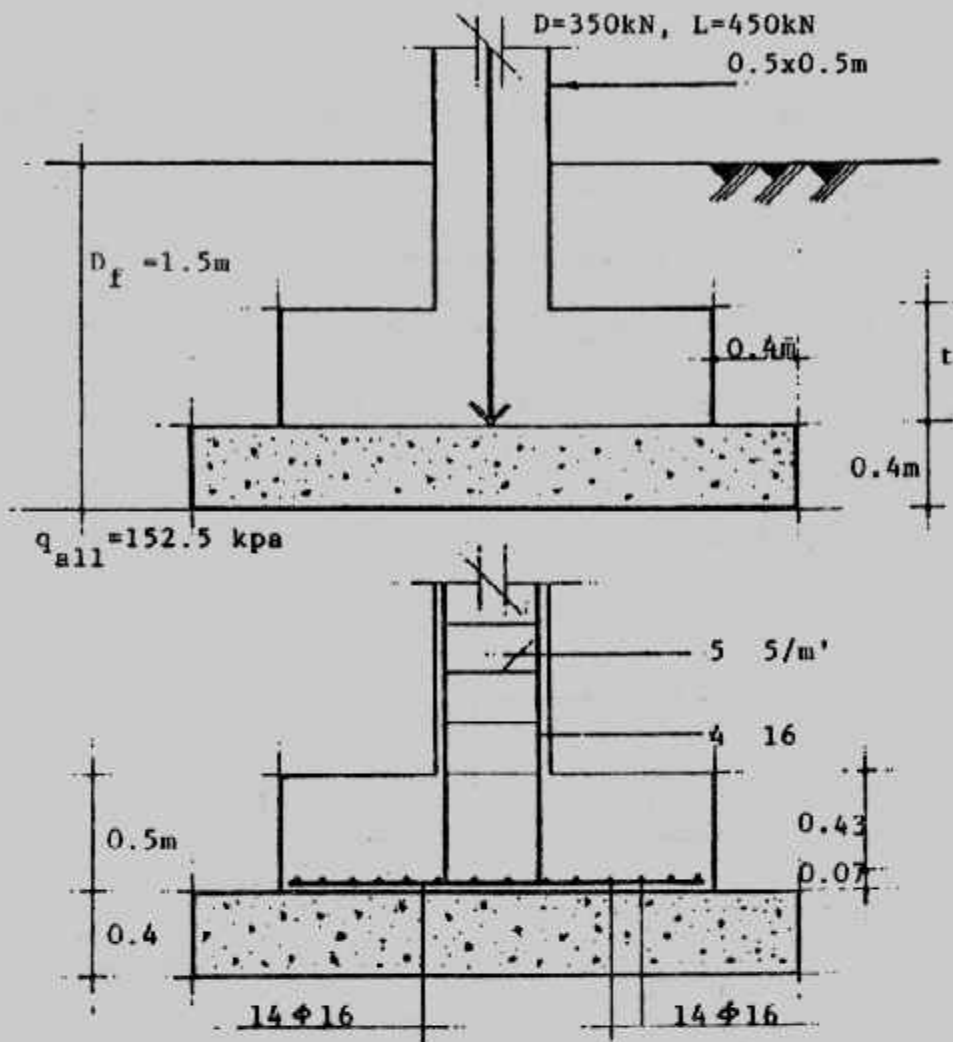
So, a minimum area of dowels should be provided across the interface of the column and foundation :

Minimum area of steel = $0.005 A_1 = 0.005 \times 40 \times 40 = 8 \text{ cm}^2$

So, use 4 φ 16 as a dowels.

The final design section is shown in Fig. (4-12).

ملحوظة : قطر حديد الأشایر dowels يجب ألا يقل عن قطر حديد تسلیح العمود .
 • ومن خلال الأمثلة السابقة وبمقارنة نتائج الحلول في طريقة اجهادات التشغيل والمقاومة القصوى يجب ملاحظة أن حديد التسلیح المستخدم في طريقة المقاومة القصوى غالباً يكون



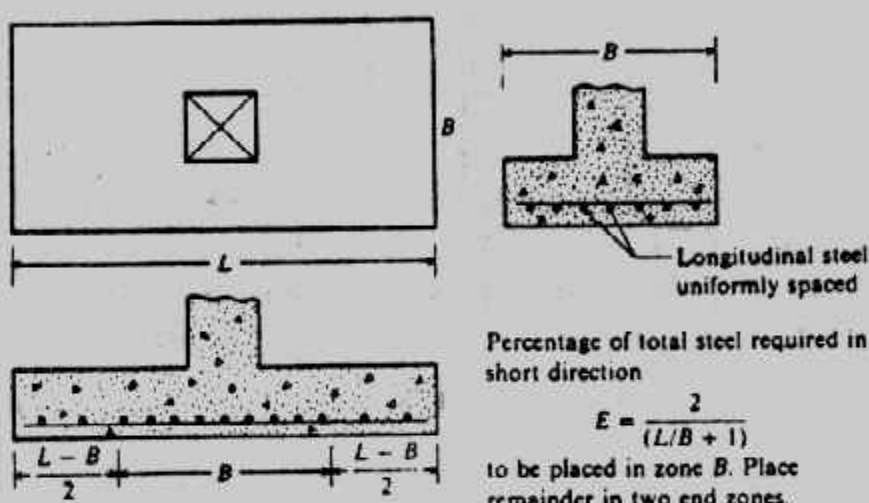
شكل (٤-٤) مثال (١٢-٤)

حديد عالي المقاومة والمفروض في هذه الطريقة (طريقة المقاومة القصوى) أن ينتج من التصميم تخانات للأساس أقل وكمية أكبر من حديد التسليح.

تصميم القواعد المستطيلة : Design of Rectangular Footings

تستخدم القواعد المستطيلة في الحالات الأضطرارية التي لا يصلح معها استخدام القواعد المربعة بسبب تقارب المسافات بين الأعمدة وتدخل القواعد المربعة معاً، كما تستخدم القواعد المستطيلة للأعمدة المعروضة لعزم انحصار حيث تكون هي الأكثر اقتصاداً.

ومع تشابه خطوات تصميم القواعد المستطيلة مع القواعد المربعة إلا أن الحديد الطولى قد يختلف عن الحديد العرضى، ونظراً لأن المنطقة من الأساس المحيطة بالعمود فى مساحة x B تكون أكثر تأثيراً في مقاومة عزم الانحناء فإن الحديد العرضي تركز منه نسبة معينة ومحددة في مسافة B أسفل العمود كما هو مبين في شكل (١٣-٤).



شكل (١٣-٤) تركيز الحديد في القواعد المستطيلة

وعند استخدام طريقة المرونة (اجهاد التشغيل) فإن خطوات التصميم للقواعد المستطيلة تتشابه مع القواعد المربعة إلا أن الخطوات تتكرر للاتجاهين الطولى والعرضى عند حساب العزوم وحديد التسليح والتماسك ويحسب العمق من العزم الأكبر تأثيراً.

وعند استخدام طريقة الحدود القصوى فإن خطوات التصميم تتشابه أيضاً مع القواعد المربعة حيث يكون التنسق هو المتحكم في العمق ما عدا في حالات القواعد المستطيلة المعروضة لعزم أو التي يكون فيها L/B أكبر كثيراً من 1 فإن القص الأحادي wide-beam يكون هو الأكثر تأثيراً في العمق.

Example (4-5) :

Design a rectangular footing to support a square column 40 x 60 cm reinforced by 8 φ 19 mm carries a load of 100 t. The net allowable bearing pressure on the soil is 1.5 kg/cm². Assume f_c = 60 kg/cm², f_s = 1400 kg/cm², q_s = 7 kg/cm², q_p = 10 kg/cm², use working stress method. Plain concrete is taken 40 cm, depth of foundation 2.0 m.

Solution :

$$A_{pc} = 100 / 15 = 6.67 \text{ m}^2$$

take plain concrete 2.3 x 3 m and C_{pc} = 40 cm

Use RC footing 1.5 x 2.2 m

$$\text{Stress between plain and reinforced concrete is } q = \frac{100}{1.5 \times 2.2} = 30.3 < 50 \text{ t/m}^2$$

وعلى اعتبار أن المقطع الحرج للقص الناتج يكون حول العمود فإن :

$$d_p = \frac{P - A_{c,q}}{b_o \times q_p} = \frac{100 - 0.4 \times 0.6 \times 30.3}{2(0.4 + 0.6) \times 100} = 0.46 \text{ m}^2$$

وبحساب العزوم عند المقاطع الحرجية في الاتجاهين

$$M_x = 30.3 \times 2.2 \times 0.552/2 = 10.08 \text{ mt} = 4.58 \text{ mt/m'}$$

$$M_y = 30.3 \times 1.5 \times 0.82/2 = 14.54 \text{ mt} = 9.69 \text{ mt/m'}$$

$$d_m = 0.313 \sqrt{\frac{0.69 \times 100000}{100}} = 30.81 \text{ cm}$$

$$\text{and } d_m = 0.313 \sqrt{\frac{14.54 \times 100000}{(40+20)}} = 48.72 \text{ cm}$$

as L > B it is preferable to compute the depth required for shear

$$d_{sh} = \frac{Q_{sh}}{b \times q_{sh}}$$

$$d_{sh} = \frac{(0.80 - d_{sh}) \times 1 \times 30.3}{1 \times 70} \quad \therefore d_s = 0.24 \text{ m}$$

take d = 53 cm and

$$t = 53 + 7 = 60 \text{ cm}$$

steel in long direction.

$$A_s = \frac{M_y}{k_2 d} = \frac{14.54 \times 10^5}{1217 \times 53} = 22.5 \text{ cm}^2 \quad \text{take } 12 \phi 16 (24.12 \text{ cm}^2)$$

$$\text{percentage of steel } \mu = \frac{24.12}{150 \times 53} = 0.003 > 0.002$$

Check bond stresses : Q_b = 30.3 x 0.8 x 1.5 = 36.36 t/m².

$$q_b = \frac{Q_b}{0.87 \times d \Sigma_0}$$

$$= \frac{36.36 \times 1000}{0.87 \times 54 \times 12\pi \times 16} = 12.82 \text{ kg/cm}^2 > 12 \text{ kg/cm}^2$$

increase the reinforcement to 14 φ 16 by U-shape.

$$q_b = \frac{36.36 \times 1000}{0.87 \times 54 \times 12\pi \times 16} = 10.99 \text{ kg/cm}^2$$

$$\text{Anchorage length } d_a = \frac{A_s f_s}{\rho q_b} = \frac{2.01 \times 1400}{\pi \times 1.6 \times 11} = 50.9 \text{ cm} < 80 \text{ cm.}$$

Steel in short direction :

$$A_s = \frac{M_x}{k_2 d} = \frac{10.08 \times 10^5}{1217(54 - 16)} = 15.81 \text{ cm}^2$$

$$\text{minimum } A_s = 0.002 \times 54 \times 2.20 = 23.76 \text{ cm}^2$$

$$E = \frac{2}{(2.2 / 1.5 + 1)} = 0.81$$

$$\begin{aligned} \text{Area of steel in central zone of width } B &= 0.81 \times 23.76 \\ &= 19.25 \text{ cm}^2 \end{aligned}$$

Use 10 φ 16 in 1.5 m middle zone.

Use 2 φ 16 in each 0.35m end zone.

Check bond stresses :

$$Q = 30.3 \times 0.55 \times 2.2 = 36.66 \text{ t}$$

$$q_b = \frac{36.66 \times 1000}{0.87 \times 52.6 \times 14\pi \times 16}$$

use 14 φ 16 in U-shape

$$\text{Anchorage length } d_a = \frac{A_s f_s}{\rho q_b} = \frac{2.01 \times 1400}{0.87 \times 52.6 \times 14\pi \times 16} = 50.9 \text{ cm} < 55 \text{ cm}$$

Details of the footing are shown in Fig. (4 -15).

Example : (4 -6):

Design a rectangular reinforced concrete footing for the following :

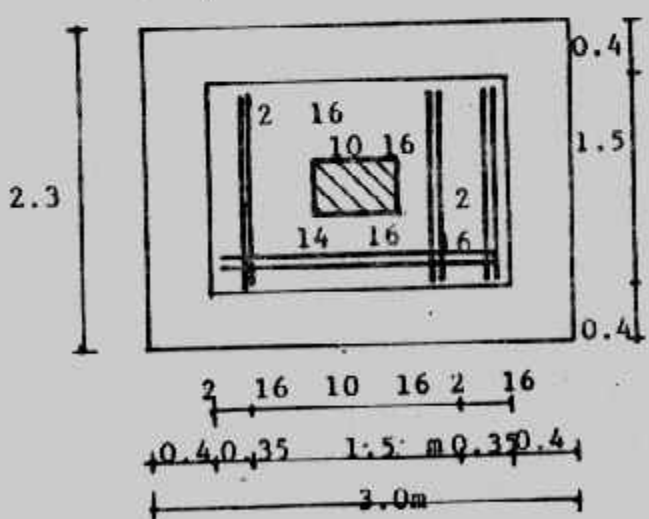
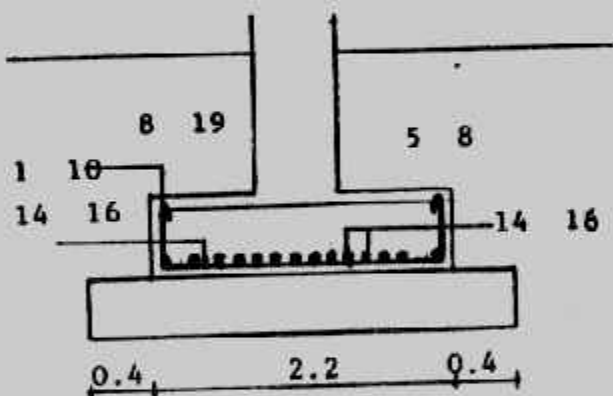
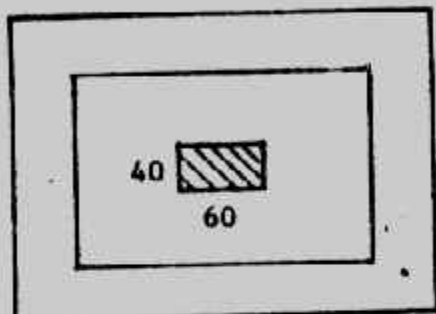
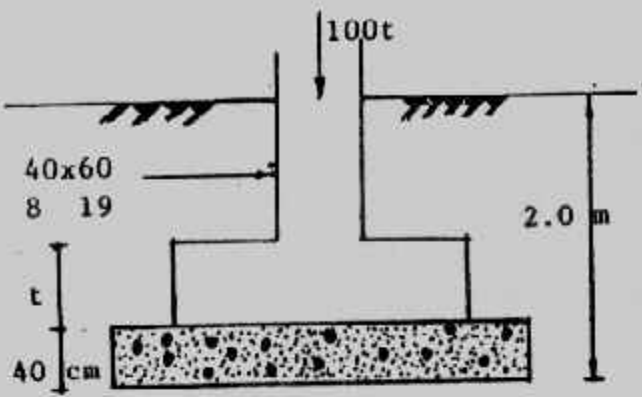
D = 1100 kN, L = 1000 kN at foundation level at 2m

footing : B = 2.2m, q_a = 240 kPa, f_c = 21 Mpa, f_y = 400 Mpa

Solution :

$$P = 1100 + 1000 = 2100 \text{ kN}$$

$$A = \frac{2100}{240} = 8.75 \text{ m}^2$$



شكل (٤-٥) مثال (١٥-٤) تفاصيل الخرسانة والحديد

$$L = A/B = \frac{8.75}{2.2} = 3.98m$$

Use $L = 4.0\text{ m}$

$$U = 1.4 \times 1100 + 1.7 \times 1000 \quad (\text{ACI code}) \\ = 1540 + 1700 = 3240\text{ kN}$$

$$q = \frac{3240}{2.2 \times 4} = 368.2\text{ kPa}$$

Depth for shear (wide-beam action)

$$V_c = 0.17 \phi \sqrt{f_c} = 0.17 \times 0.85 \sqrt{21} = 0.65\text{ MPa}$$

$\Sigma F = 0$ on a 1 m wide section on right end of footing

$$\text{gives : } d(1.0) V_c - \left(\frac{4.0 - 0.45}{2} - d \right) q = 0$$

$$0.65d + 0.368d = 0.654$$

$$1.018d = 0.654$$

$$d = 0.642\text{ m} \quad \text{taken } 0.65$$

Use this value of d to check the two-way action :

Perimeter of two-way action block = $(0.45 + 0.65) 4 = 4.4\text{ m}$

$$P_s = \text{Perimeter} \times d \times V_c = 4.4 (0.65) \times 0.34 \times 0.85 \sqrt{21} \\ = 3788\text{ kN} > 3291.4\text{ kN}$$

$$C_1 = \frac{4.0 - 0.45}{2} = 1.775\text{ m}$$

$$M_u = M_u = q C_1^2 / 2 = \frac{368.2 \times 1.775}{2} = 580.03\text{ kN.m}$$

$$a = \frac{A_s A_y}{0.85 f_c B} = \frac{400 A_s}{0.85 \times 21 \times 1} = 22.41 A_s$$

$$M_u = \phi A_s f_y (d - a/2)$$

$$\frac{580.03}{1000} = 0.9 A_s \times 400 \left(0.65 - \frac{22.41}{2} A_s\right)$$

Cleaning up, we obtain

$$A_s^2 - 0.058 A_s + 0.0014 = 0$$

$$A_s = 0.0025\text{ m}^2/\text{m'}$$

$$\text{Check percent steel : } \mu = \frac{0.0025}{1 \times 0.65} = 0.0038 > 0.0018 < 0.016$$

$$\text{total steel } A_s = 0.0025 \times 2.2 = 0.0055\text{ m}^2 = 55\text{cm}^2$$

Use 20 φ 19 as a longitudinal reinforcements.

Check development length :

$$L_d = 0.019 A_b f_y / \sqrt{f_c} = 0.019 \times 284 \times 400 / \sqrt{21} = 471\text{ mm}$$

$$\text{also } L_d \geq 0.058 d_b f_y = 0.058 \times 19 \times 400 = 440.8\text{mm}$$

$$L_d \text{ actual} = C\text{-cover} = 1775 - 75 = 1700 \text{ mm} > 471 \text{ mm}$$

Short direction :

Assuming short bars also $\phi 19$ mm

$$d' = 0.65 - 0.019 = 0.631 \text{ m}$$

$$C_2 = \frac{2.2 - 0.45}{2} = 0.875 \text{ m}$$

$$M_u = \frac{368.2 \times 0.875^2}{2} = 140.95 \text{ kN.m}$$

a = same as before = 22.41 A_s

$$M_u = \phi A_s f_y (d - a/2)$$

$$0.14095 = 0.9 A_s \times 400 (0.631 - \frac{22.41}{2} A_s)$$

$$A_s^2 - 0.0563 A_s + 0.000035 = 0$$

$$A_s = 0.00063 \text{ m}^2/\text{m of width}$$

$$\text{Check percent steel : } \mu = \frac{0.00063}{1 \times 0.631} = 0.000998 < 0.0018$$

$$A_s \text{ required} = 0.0018 \times 1 \times 0.631 = 0.0011 \text{ m}^2/\text{m}$$

$$A_s \text{ total} = 0.0011 \times 4.0 = 0.0044 \text{ m}^2 = 44 \text{ cm}^2$$

use 16 $\phi 19$ or 24 $\phi 16$

This reinforcement may be distributed by :

$$\text{In the central zone of } 2.2 \text{ m} = A_s \times \frac{2}{S+1} = A_s \times (2 / \frac{4}{2.2} + 1) \approx 17 \phi 16 \text{ and in each out}$$

side zone of 0.9 m $\approx 4 \phi 16$

it is not necessary to check L_d.

Check bearing and design dowels :

$$A_1 = 0.45 \times 0.45 = 0.2025 \text{ m}^2$$

$$A_s = (0.45 + 4 \times 0.65)^2 = 9.30 \text{ m}^2$$

$$\sqrt{A_2 / A_1} = \sqrt{\frac{9.30}{0.2025}} = 6.8 >> 2$$

$$\text{so use } \sqrt{A_2 / A_1} = 2 \text{ and } \phi = 0.7$$

$$\begin{aligned} \text{design bearing strength} &= 0.85 \phi f_y A_1 \sqrt{A_2 / A_1} \\ &= 0.85 \times 0.7 \times 21 \times 0.2025 \times 2 \\ &= 5.06 \text{ MN} = 5060 \text{ kN} \end{aligned}$$

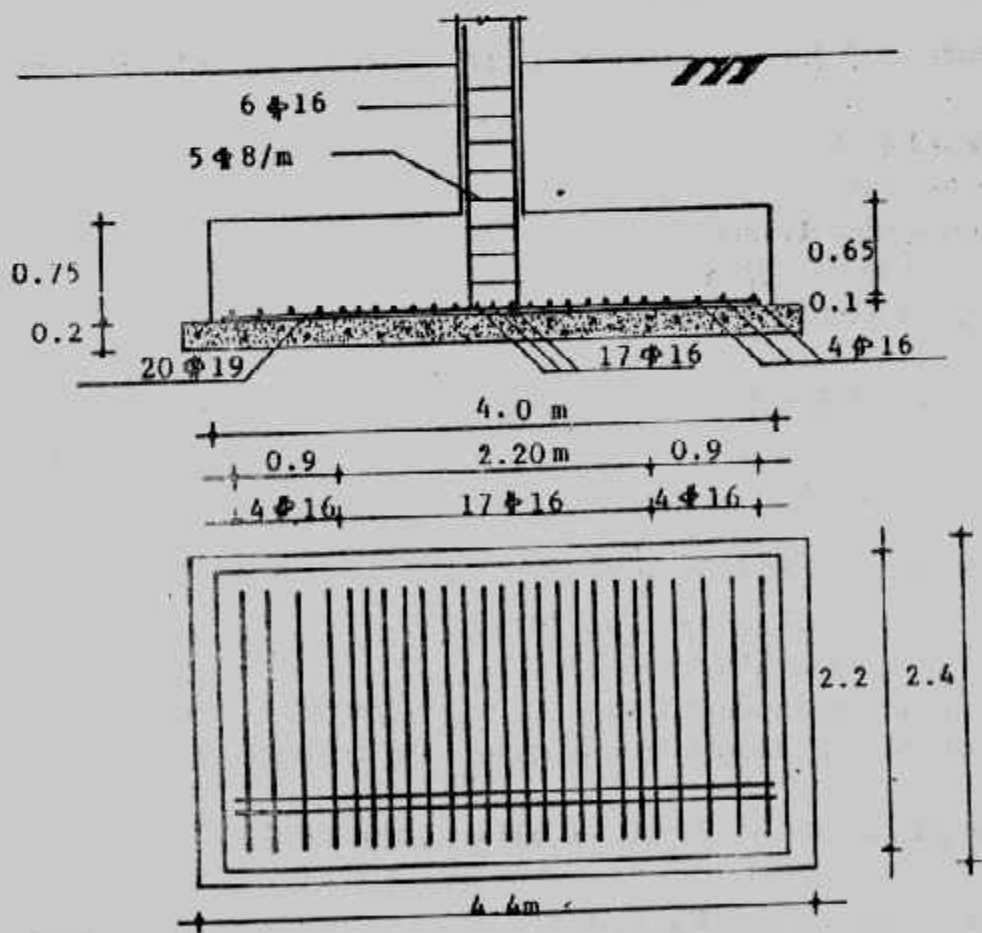
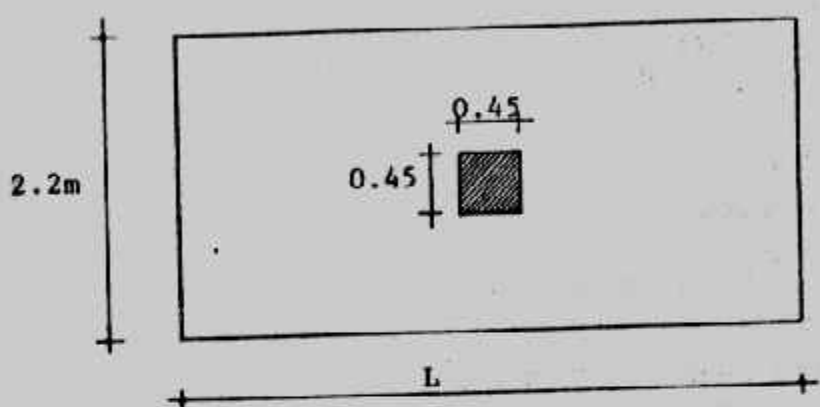
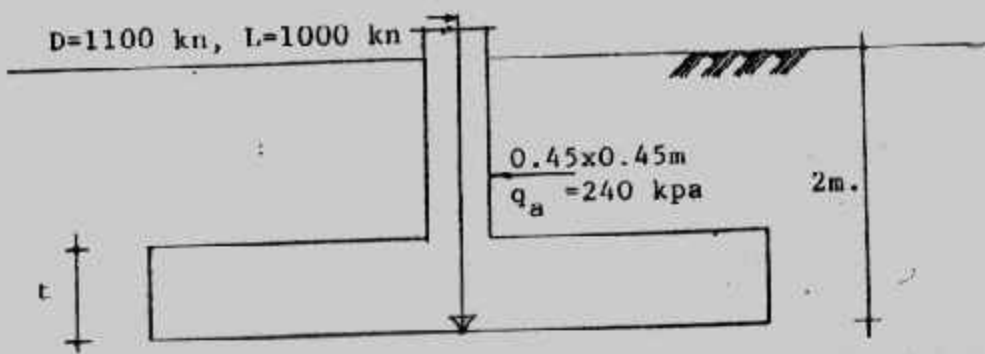
The factored column load U = 3240 kN < 5060 kN

minimum area of dowels should be used across the interface of the column and foundation:

$$\text{Minimum area of steel} = 0.005 A_1 = 0.005 \times 0.2025 = 10.1$$

so, use 6 $\phi 16$

The final design section is shown in Fig. (4-16).



شكل (٤-٦) مثال (٤-٦) تفاصيل الخرسانة وال الحديد

القواعد المعرضة لعزم انحناء : Footing Subjected to Moment

القواعد تتلقى الأحمال المحورية للترابة وإضافة لذلك فإنها قد تتعرض لعزم انحناء حول محور أو محوريين . ومن أمثلة هذه القواعد : قواعد الكبارى والحوائط الساندة وقواعد الإطارات والمبانى العالية ... وغيرها ، وينتج عن الأحمال والعزم - المعرضة لها القواعد - اجهادا على التربة خطى غير منظم التوزيع . ويجب ألا ينطوى هذا الاجهاد الجهد المسموح به للترابة ، وحينما يتعرض الأساس لحمل غير مركزى أو عزم حول أحد محاوره فإنه يمكن حساب توزيع ضغط التماس أسفله من حساب الإنشاءات شكل (٤-١٧) . وعندما تقع محصلة الأحمال في الثلث الأوسط من القاعدة فإنه توزيع الإجهاد أسفل الأساس يأخذ شكل شبه منحرف ويحسب من :

$$q_2 = \frac{P}{BL} \left(1 \pm \frac{6e}{L} \right) \quad (4-45)$$

$$e = \frac{M}{P}$$

و حينما تقع محصلة الأحمال على حدود الثلث الأوسط تماما حيث $e = L/6$ فإن توزيع الإجهاد أسفل الأساس يأخذ شكل مثلث حيث :

$$q_1 = \frac{2P}{BL}, q_2 = 0 \quad (4-46)$$

و حينما تقع محصلة الأحمال خارج الثلث الأوسط للقاعدة فإن توزيع الإجهاد أسفل الأساس سوف يكون من جزئين : شد وأخر ضغط وحيث أن التربة لا تحمل الشد فإن القاعدة سوف تتعرض لاجهادات الضغط فى جزء منها وتحسب من :

$$q_1 = \frac{2P}{3B(L/2 - e)} \quad (4-47)$$

و حينما تتعرض القاعدة لعزم انحناء على محورين فيها فإن الإجهاد أسفلها يحسب من المعادلة العامة للإجهادات :

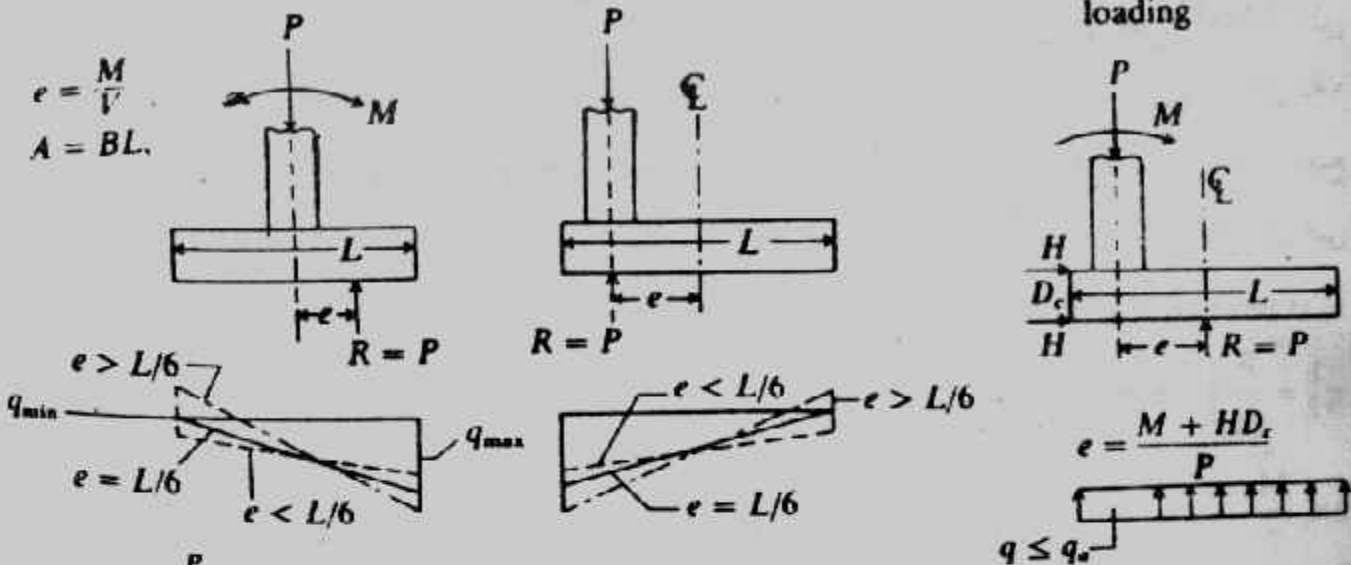
$$q_1 = \frac{P}{A} \pm \frac{M_x \cdot y}{I_x} \pm \frac{M_y \cdot x}{I_y} \quad (4-48)$$

وسوف نقدم أمثلة على نوعين من القواعد المعرضة لعزم الانحناء . النوع الأول للقواعد المعرضة لعزم انحناء متعاكش أي يغير اتجاهه حسب التحميل ولهذا النوع يفترض أن العزم فى اتجاه واحد فقط ينتج عنه اجهاد شبه منحرف أسفل القاعدة ويتم التصميم على ذلك للجانب الحرج ثم تطبق نتائج التصميم على الجانب الآخر عندما يغير العزم اتجاهه للعكس . والنوع الثانى للقواعد المعرضة لعزم دائم (أى اتجاه واحد فقط) ولهذا النوع نجعل محصلة

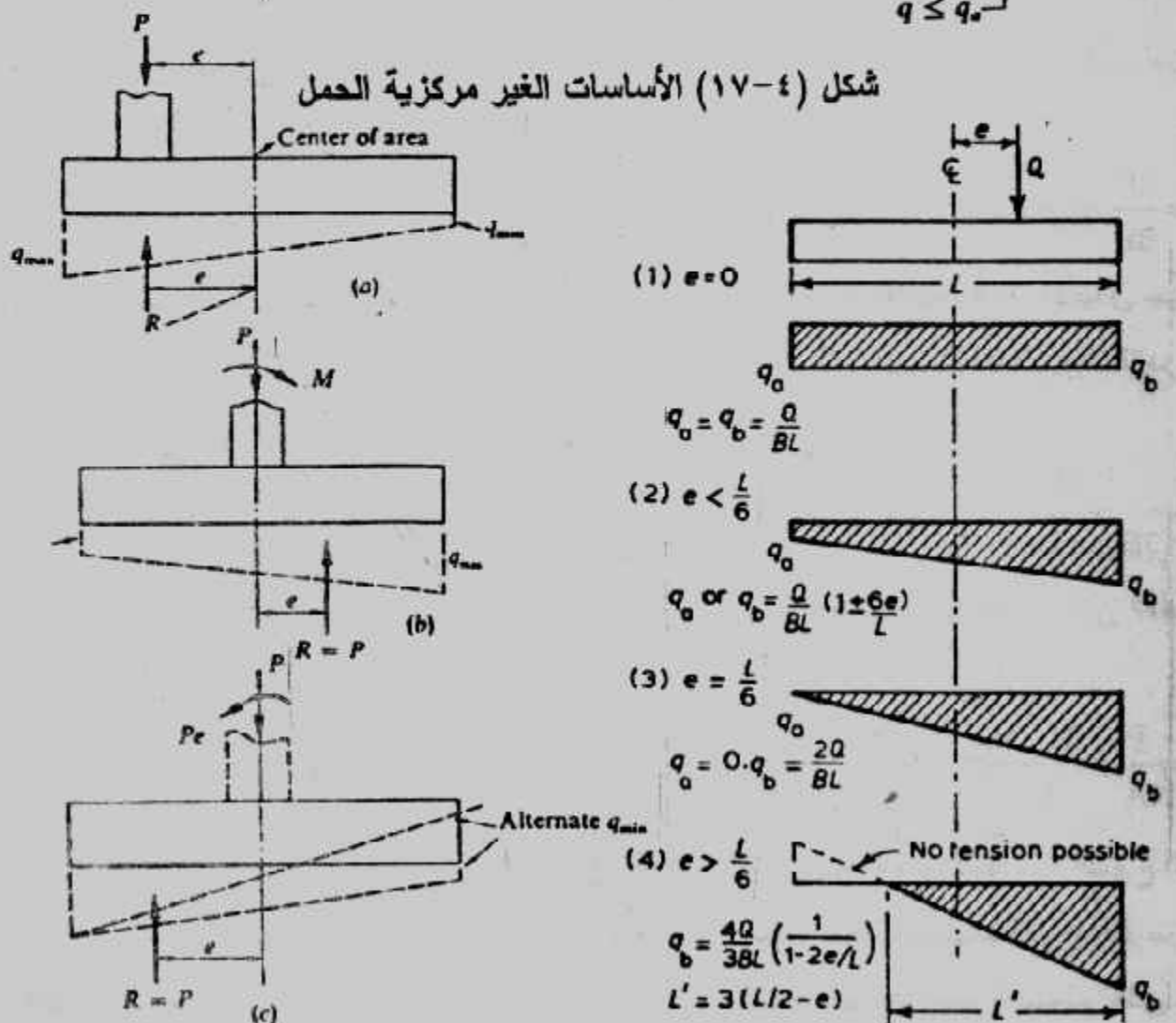
الأحمال في مركز نقل الأساس وهذا يجعل العمود مرحلة عن مركز الأساس، وفي هذه الحالة يتعرض الأساس لاجهاد منتظم بسبب توافق محصلة الأحمال في مركز نقل الأساس.

Eccentrically loaded bases. In all cases $q_{max} \leq q_0$.

H = shear from col.
moments or other
loading



شكل (١٧-٤) الأساسات الغير مركزية الحمل



شكل (١٨-٤) الإجهادات أسلف القواعد الغير مركزية التحميل

Example (4-7):

Design a reinforced concrete footing for a column 30 x 60 cm carrying a load of 80 t and reversible bending moment of 24 mt. The net allowable soil pressure is 1.2 kg/cm². Take : $f_c = 55 \text{ kg/cm}^2$ ($f_{cu} = 250 \text{ kg/cm}^2$), $f_s = 1400 \text{ kg/cm}^2$, $q_s = 9 \text{ kg/cm}^2$ $q_p = 9 \text{ kg/cm}^2$ (use working stress method).

Solution :

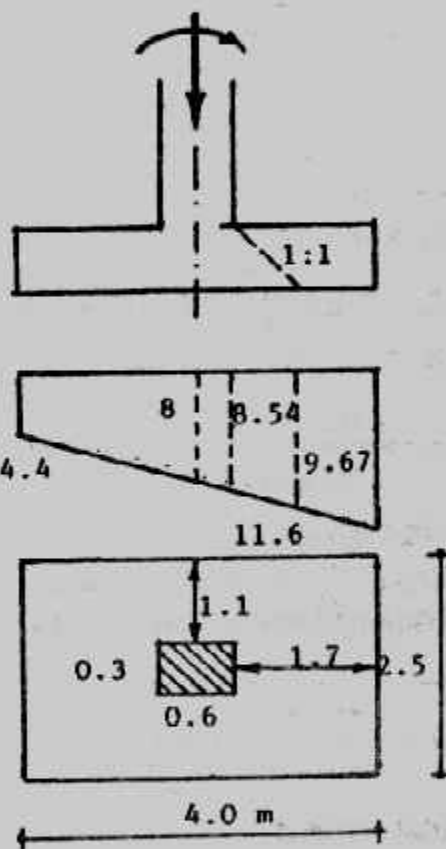
$$e = M/P = 24/80 = 0.3 \text{ m}$$

$$q_2 = \frac{P}{BL} \left(1 \pm \frac{6e}{L}\right)$$

$$q_{\max} = \frac{P}{BL} \left(1 \pm \frac{6e}{L}\right)$$

$$12 = \frac{80}{BL} \left(1 \pm \frac{6 \times 0.3}{L}\right)$$

$$B = 6.67 \left(1 \pm \frac{L \times 1.8}{L^2}\right)$$



شكل (٤-٤) مثال (٧-٤) أبعاد

By trial and error :

L	B	L.B
2	6.34	12.68
2.5	4.59	11.48
3	3.56	10.68
3.5	2.89	10.12
4	2.42	9.68
4.5	2.08	9.36
5	1.81	9.05

Take $4 \times 2.5\text{m}$

$$q_1 = \frac{80}{4 \times 2.5} \left(1 + \frac{6.03}{4} \right) = 11.6 \text{ t/m}^2$$

$$q_2 = \frac{80}{4 \times 2.5} \left(1 - \frac{6.03}{4} \right) = 4.4 \text{ t/m}^2$$

q at any distance x from maximum pressure is given by :

$$q = 11.6 - 1.8(x)$$

$$q \text{ at the centre of column} = 11.6 - 1.8 \times 2 = 8 \text{ t/m}^2$$

$$q \text{ at the face of column} = 11.6 - 1.8 \times 1.7 = 8.54 \text{ t/m}^2$$

$$dp = \frac{P - A_c q}{b_o q_o} = \frac{80 - 0.3 \times 0.6 \times 8.54}{2(0.6+0.3) \times 100} = 0.436\text{m}$$

Long direction :

$$M_{\max} = 8.54 \times 2.5 \times 107^2 / 2 + (11.6 - 8.54) \times 2.5 \times \frac{1.07}{2} \times \frac{2}{3} \times 1.7$$

$$= 30.85 + 7.37 = 38.22 \text{ mt}$$

$$d_m = k_1 \sqrt{M/b} = 0.334 \sqrt{38.22 \times 10^5 / 250} = 41.3 \text{ cm}$$

If we take $b = bc + 20 = 30 + 20 = 50 \text{ cm}$

$$d_m = 0.334 \sqrt{38.22 \times 10^5 / 250} = 92.3 \text{ cm}$$

take $t = 70 \text{ cm}$ and $d = 63 \text{ cm}$

$$A_s = \frac{38.22 \times 10^5}{63 \times 1227} = 49.44 \text{ cm}^2$$

take 18 ϕ 19 L-shape.

Since the moment is reversed the area of steel is placed in both direction, so 18 ϕ 19 or run through out the length of the footing.

$$\mu = \frac{49.44}{250 \times 63} = 0.0031 > 0.002$$

Check bond stresses

$$Q \text{ at the face of column} = 8.54 \times 2.5 \times 1.7 + (11.6 - 8.54) \times 2.5 \times \frac{1.7}{2}$$
$$= 36.3 + 6.5 = 42.8 \text{ t}$$

$$q_b = \frac{42.8 \times 10^3}{0.87 \times 63 \times 18 \pi \times 1.9} = 7.27 \text{ kg/cm}^2$$

Check shear

$$\text{Critical section of shear at } x = 1.7 - 0.63 = 1.07 \text{ m}$$

$$q \text{ at critical section of shear} = 11.6 - 1.8 \times 1.07 = 9.67 \text{ t/m}$$

$$Q_{sh} = 9.67 \times 2.5 \times 1.07 + (11.6 \cdot 9.67) \times 1.07 \times 2.5 \times \frac{1}{2}$$

$$q_{sl} = \frac{28.45 \times 10^3}{250 \times 63} = 1.81 \text{ kg/cm}^2$$

$$\text{Anchorage length } d_s = \frac{A_s f_s}{\rho q_b} = \frac{2.835 \times 1400}{5.98 \times 10} = 66.4 \text{ cm} < 1.7 \text{ m}$$

$$M = \left(\frac{19.36 \times 10^5}{1227 \times 63} \right) = 25.04 \text{ cm}^2$$

$$\text{min. } A_s = 0.002 \times 400 \times 63 = 50.4 \text{ cm}^2 > 25.8 \quad \text{take } 25 \phi 16$$

check of bond stresses

$$Q_b = 8 \times 4 \times 1.1 = 35.2 \text{ t}$$

$$d = 63 - \frac{1.9}{2} - \frac{1.6}{2} = 61.25 \text{ cm}$$

$$q_b = \frac{35.2 \times 10}{0.87 \times 61.25 \times 25 \pi \times 1.6} = 5.26 \text{ kg/cm}^2$$

$$\text{Anchorage length } dd = \frac{A_s f_s}{\rho q_b} = \frac{2.01 \times 1400}{5.03 \times 10} = 55.9 \text{ cm} < 1.1 \text{ mm}$$

Details of the footing are shown in Fig. (4-20)

Example (4-8) :

Design a footing for a concentric column load and a reversible moment. Given data :

$$P = 800 \text{ D} + 800 \text{ L} = 1600 \text{ kN}, M = 800 \text{ kN.m}, q_{sa} = 200 \text{ kpa}, f_c = 21 \text{ Mpa}$$

$f_y = 400 \text{ Mpa}$ (use ultimate strength method).

Solution :

$$q_1 = \frac{P}{BL} \left(1 \pm \frac{6e}{L} \right)$$

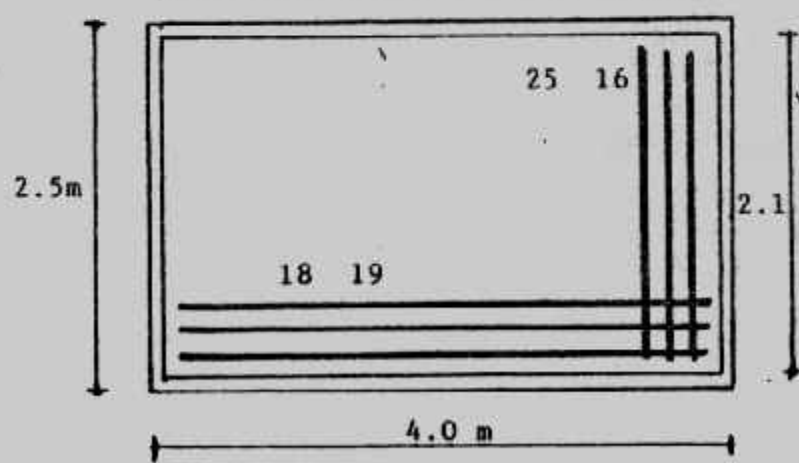
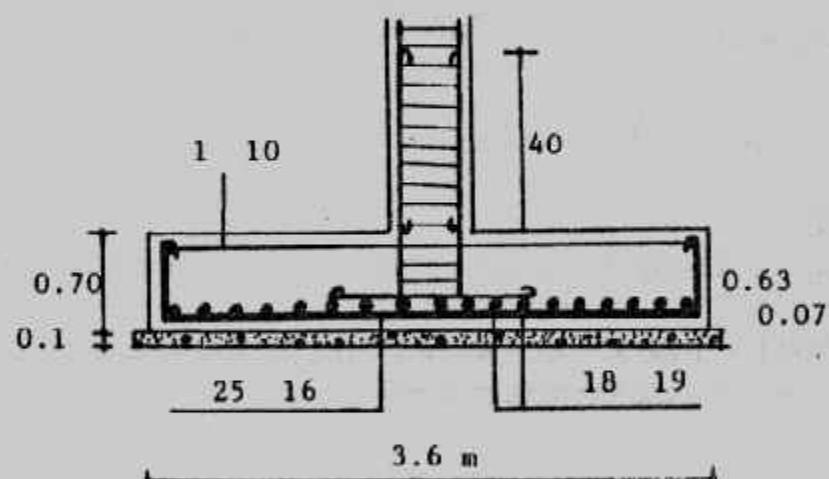
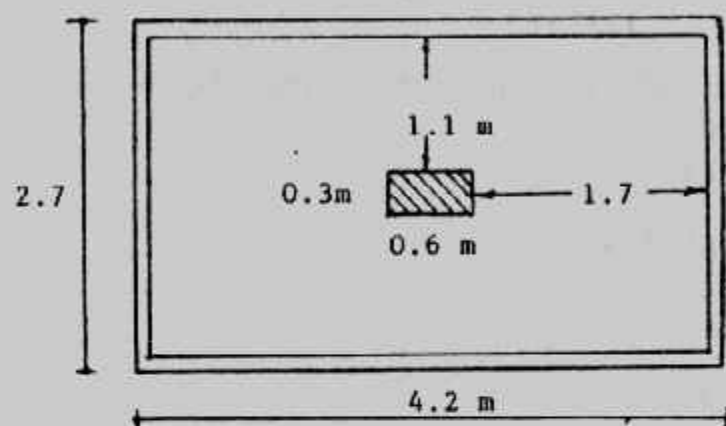
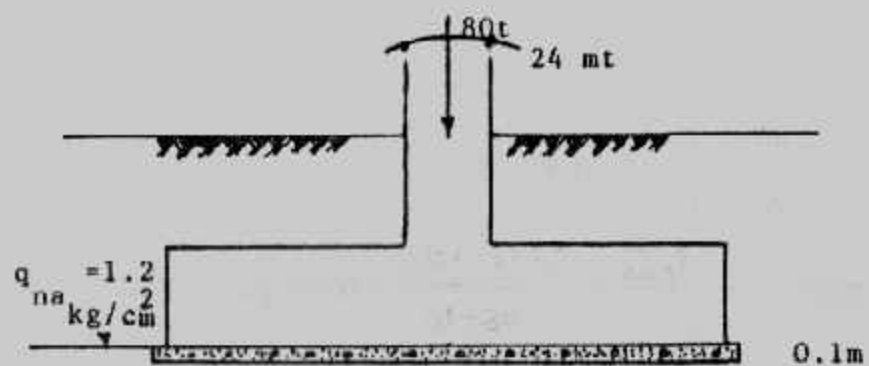
$$e = M/P = 800 / 1600 = 0.5 \text{ m}$$

$$200 = \frac{1600}{BL} \left(1 \pm \frac{6 \times 0.5}{L} \right)$$

by solving for B

$$B = \frac{8}{L} \left(1 \pm \frac{3}{L} \right)$$

$$\text{for } e \leq \frac{L}{6}, L \text{ must } \geq 3 \text{ m}$$



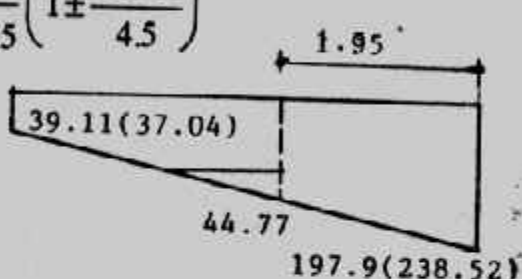
شكل (٢٠-٤) مثال (٤)

L, m	B, m	L x B, m ²
3	5.33	16
4	3.5	14
4.5	2.96	13.3
5	2.56	12
6	2	12

suggested footing size :

$$B = 3.0 \text{ m}, L = 4.5 \text{ m}$$

$$q_1 = \frac{1600}{3 \times 4.5} \left(1 \pm \frac{6 \times 0.5}{4.5} \right)$$



$$q_1 = 197.9 \text{ kpa}, q_2 = 39.11 \text{ kpa} < q_a = 200 \text{ kpa}$$

$$P_u = 0.75 (1.4 \times 800 + 1.7 \times 800) = 1860 \text{ kN}$$

$$q_{ult} = \frac{P_u}{BL} \left(1 \pm \frac{6e}{L} \right) = \frac{P_u}{BL} \pm \frac{6M_u}{BL^2}$$

$$= \frac{1860}{3 \times 4.5} \pm \frac{6 \times 1020}{3 \times 4.5^2}$$

$$q_{ult1} = 238.52 \text{ kpa}$$

$$q_{ult2} = 37.04 \text{ kpa}$$

Depth for shear (wide - beam action)

$$V_c = 0.17 \phi \sqrt{f_c} = 0.17 \times 0.85 \sqrt{21} = 0.65 \text{ Mpa} = 650 \text{ kpa}$$

$\Sigma F = 0$ on a 1m wide section on right end of footing gives :

$$d (1.0) V_c - \left(\frac{4.5 - 0.6}{2} - d \right) q = 0$$

$$q = \frac{P_u}{BL} \pm \frac{1860}{3 \times 4.5} = 137.78 \text{ kpa}$$

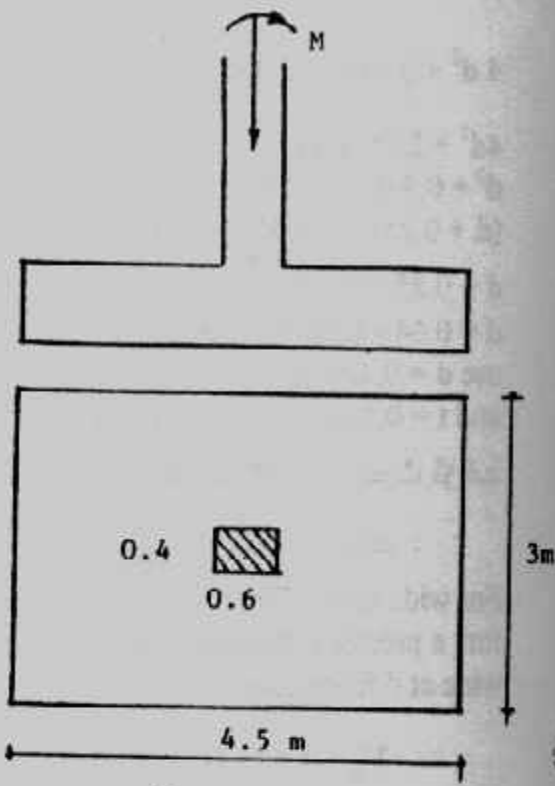
$$650 d - (1.95 - d) 137.78 = 0$$

$$787.78 d = 286.871$$

$$d = 0.36$$

d for two-way action using approximate equation can be found for

$$V_c = 0.34 \phi \sqrt{f_c} = 0.34 \times 0.85 \sqrt{21} = 1.32 \text{ Mpa}$$



شكل (٢١-٤) مثال (٨-٤) أبعاد

(ACI code)

$$4d^2 + 2(b+c) = \frac{BLq}{V_c}$$

$$4d^2 + 2(0.6 + 0.4)d = \frac{3 \times 4.5 \times 137.78}{1320}$$

$$4d^2 + 2d = 1.41$$

$$d^2 + 0.5d = 0.352$$

$$(d + 0.25)^2 = 0.352 + 0.25^2 = 0.41$$

$$d + 0.25 = \pm \sqrt{0.41} = 0.64$$

$$d = 0.64 - 0.25 = 0.39 \text{ m}$$

$$\text{use } d = 0.425 \text{ m}$$

$$\text{and } t = 0.5 \text{ m (cover = 7.5cm)}$$

كان يمكن إيجاد d بأحد الطرقتين السابقتين وعمل تأكيد check على الطريقة الأخرى حيث تؤخذ

المعنية من two-way وتعمل تأكيد بها على wide-beam shear وهذا هو الأفضل ولذلك :

For wide beam shear $V_c = 1.32 \text{ Mpa} = 1320 \text{ kpa}$

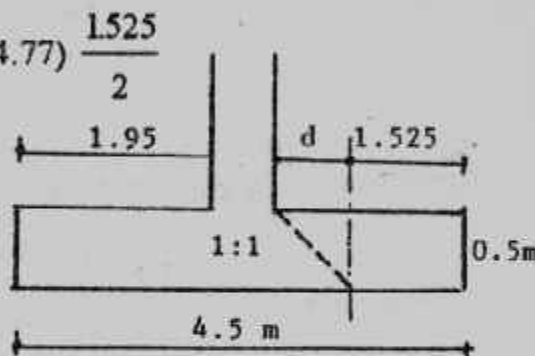
for a pressure diagram varying from 37.04 to 238.52 in 4.5 m, the shear V_u for a strip 1m wide at d from column face :

$$V_u = 1.525 [238.5 - 1.525(44.77)] + 1.525(44.77) \frac{1.525}{2}$$

$$= 311.65 \text{ kpa}$$

$$V_u = \frac{V_u}{bd} = \frac{311.65}{1 \times 0.425} = 733.3$$

$$< V_c = 1320$$



شكل (٤-٤) مثال (٤-٢٢) القص

Determination of A_s for side with large toe pressure, 1.95m use integration because of pressure diagram.

$$M_u = \int_0^{1.95} V dx = \int_0^{1.95} \left(238.52x - \frac{44.77x^2}{2} \right) dx$$

$$= \left[\frac{238.52x^2}{2} - \frac{44.77x^3}{6} \right]_0^{1.95} = 398.16 \text{ kN.m}$$

$$a = \frac{A_s f_y}{0.85 f_c B} = \frac{400 A_s}{0.85 \times 21 \times 1}$$

$$M_u = \phi A_s f_y (d - a/2)$$

$$\frac{398.16}{1000} = 0.9 A_s \times 400 (0.425 - \frac{22.41 A_s}{2})$$

cleaning up, we obtain

$$A_s^2 - 0.038 A_s + 0.000099 = 0$$

$$A_s = 0.0028 \text{ m}^2/\text{m}$$

$$\begin{aligned}\text{check percent steel } \mu &= \frac{0.0028}{1 \times 0.425} \\ &= 0.0066 > 0.0018 \\ &< 0.016\end{aligned}$$

total steel $A_s = 0.0028 \times 3 = 0.0084 \text{ m}^2 = 84 \text{ cm}^2$

use 30 φ 19 as a longitudinal reinforcements.

Check development length :

$$L_d = 0.019 A_b f_y / \sqrt{f_c} = 0.019 \times 284 \times 400 \sqrt{21} = 471 \text{ mm}$$

also $L_d \geq 0.058 d d_f y = 0.058 \times 19 \times 400 = 440.8 \text{ mm}$

$$L_{d, \text{actual}} = C - \text{cover} = 1950 - 75 = 1875 \text{ mm} > 471 \text{ mm}$$

Short direction :

Assuming short bars also φ 19 mm

$$d' = 0.425 - 0.019 = 0.406 \text{ m}$$

$$C_2 = \frac{3 - 0.4}{2} = 1.3 \text{ m}$$

$$q_{\text{average}} = \frac{238.52 + 37.04}{2} = 137.78 \text{ kpa}$$

$$M_u = \frac{137.78 \times 1.3^2}{2} = 116.42 \text{ kN.m}$$

a = same as before = 22.41

$$M_u = \phi A_s f_y (d - a/2)$$

$$0.1164 = 0.9 A_s \times 400 (0.406 - \frac{22.41}{2} A_s)$$

Cleaning up, we obtain

$$A_s^2 - 0.036 A_s + 0.00029 = 0$$

$$A_s = 0.00082 \text{ m}^2/\text{m}$$

$$\text{Check percent steel : } \mu = \frac{0.00082}{1 \times 0.406} = 0.002 > 0.0018$$

< 0.016

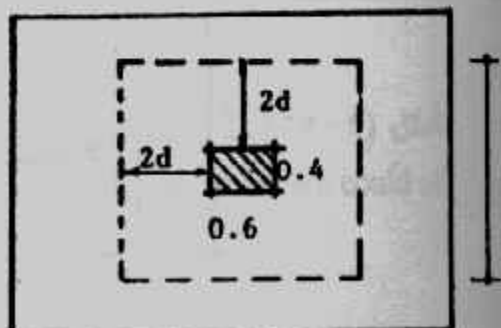
$$A_s \text{ total} = 0.002 \times 4.5 = 0.009 \text{ m}^2 = 90 \text{ cm}^2$$

use 32 φ 19

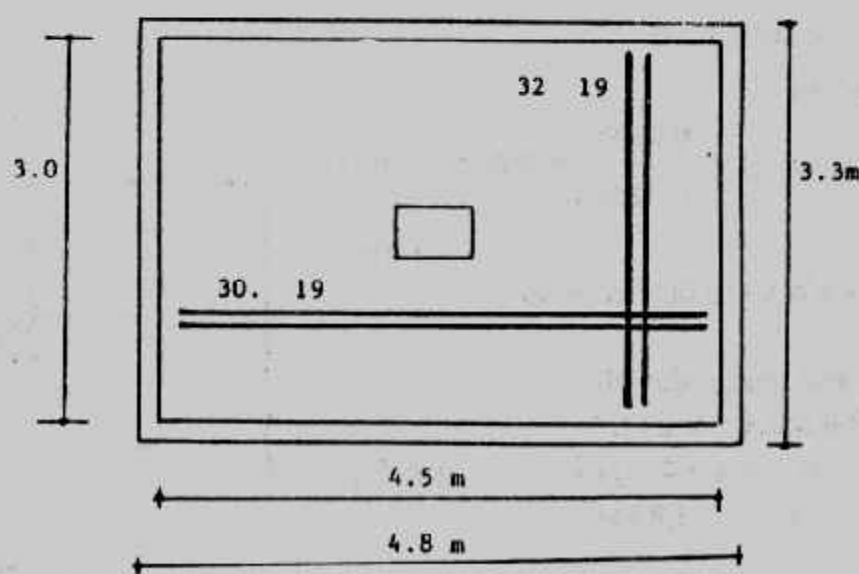
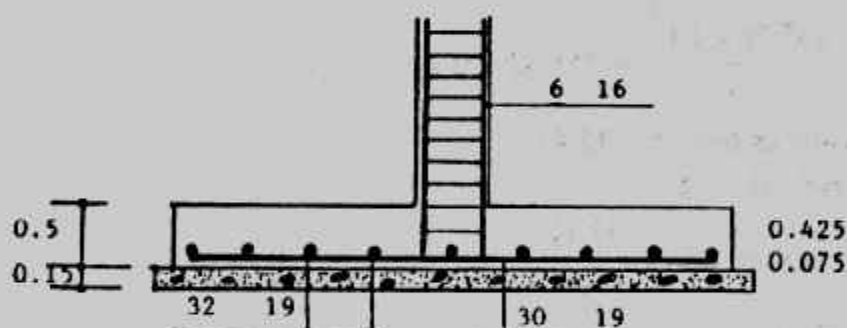
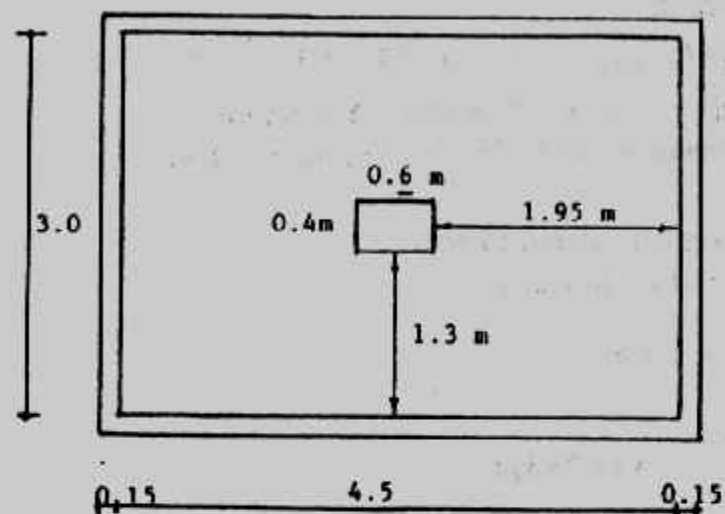
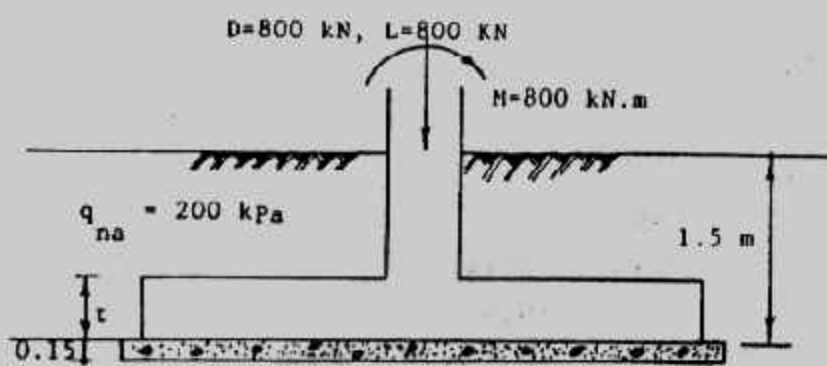
Check bearing and design dowels

$$A_l = 0.6 \times 0.4 = 0.24 \text{ m}^2$$

$$\begin{aligned}A_l &= [(0.6 + 4 \times 0.425) (0.4 + 4 \times 0.425)] \\ &= 2.3 \times 2.1 = 4.83 \text{ m}^2\end{aligned}$$



شكل (٤٣-٤) التحمل



شكل (٤-٤) مثال (٤-٨) تفاصيل الخرسانة والحديد

$$\sqrt{\frac{A_2}{A_1}} = \sqrt{\frac{4.83}{0.24}} = 4.49 >> 2$$

use $\sqrt{\frac{A_2}{A_1}} = 2$ and $\phi = 0.7$

$$\begin{aligned} \text{design bearing strength} &= 0.85 \phi f_c A_1 \sqrt{\frac{A_2}{A_1}} \\ &= 0.85 \times 0.7 \times 21 \times 0.24 \times 2 \\ &= 5.998 \text{ MN} = 5998 \text{ kN} > P_u = 1860 \text{ kN} \end{aligned}$$

A minimum area of dowels should be used across the interface of the column and foundation:

$$\text{Minimum area of dowels} = 0.005 A_1 = 0.005 \times 0.24 = 12 \text{ cm}^2$$

so, use 6 φ 16

The final design section is shown in Fig. (4-24)

Example (4-9):

Design a footing for a column 40 x 60 carrying a load $D = 400 \text{ kN}$, $L = 500 \text{ kN}$ and a permanent moment $M_D = 130 \text{ kN.m}$, $M_L = 140 \text{ kN.m}$ in plane parallel to the longer side of column and it always acting in one direction. The net allowable soil pressure is 150 kPa. Use ultimate strength design (USD) and take:

Column : $f_c = 28 \text{ MPa}$, $f_y = 400 \text{ MPa}$, steel 8 φ 25

Footing : $f_c = 21 \text{ MPa}$, $f_y = 400 \text{ MPa}$

Solution : $P = 400 + 500 = 900 \text{ kN}$

$$A = 900/150 = 6 \text{ m}^2$$

$$\text{take } L/B = 60/40 = 1.5$$

$$A = 6 = 1.5 B \times B = 1.5 B^2$$

$$B = 2 \text{ m}, L = 3 \text{ m}$$

$$M = M_D + M_L = 130 + 140 = 270 \text{ kN.m}$$

$$e = M/P = 270/900 = 0.3 \text{ m} < L/6 = 3/6 = 0.5 \text{ m}$$

$$q = 1.4(400) + 1.7(500)/2 \times 6 = 235 \text{ kPa}$$

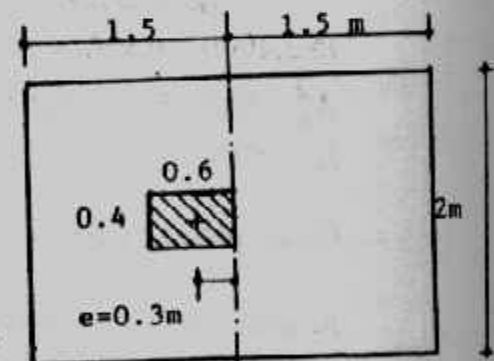
Depth for two-way (use approximate equation)

$$4d^2 + 2(b+c)d = BLq/V_c, \quad V_c = 1.30 \text{ MPa}$$

$$4d^2 + 2(0.6 + 0.4)d = 1410/1300$$

$$d^2 + 0.5d = 0.271$$

$$d = 0.33 \text{ m}$$



شكل (٤-٩) مثال (٤-٢٥) أبعاد

Depth for wide-beam shear at d from column for strip 1m wide. We could of course, check $d = 0.33 \text{ m}$, but it is about as easy to compute the required d .

$$d(1)(V_c) = 1(1.5 - d)q$$

$$V_c = 0.65 \text{ MPa} = 650 \text{ kPa}$$

$$650d = 1(1.5 - d)235$$

$$d = 0.398 \text{ m}$$

$$\text{take } t = 50 \text{ cm}, d_{act} = 0.425 \text{ m}$$

$$M_c = q C_1 / 2 = 235 \times 1.5 / 2 = 263.4 \text{ kN m}$$

$$a = A_s f_y / 0.85 f_c B = 400 A_s / 0.85 \times 21 \times 2 = 11.2 A_s$$

$$M_u = \phi A_s f_y (d - a/2)$$

$$263.4 / 1000 = 0.9 A_s \times 400 [0.425 - (11.2 A_s / 2)]$$

Cleaning up, we obtain

$$A_s^2 - 0.076 A_s + 0.00013 = 0$$

$$A_s = 0.0018 \text{ m}^2/\text{m}$$

$$\text{Check percent steel : } \mu = \frac{0.0018}{1 \times 0.425} = 0.0042 > 0.0018 \\ < 0.016$$

$$\text{total steel} \quad A_s = 0.0025 \times 2 = 0.005 \text{ m}^2 \\ = 50 \text{ cm}^2$$

use 18 ϕ 19 as a longitudinal reinforcement check development length

$$L_d = 0.019 A_b f_y / \sqrt{f_c} = 0.019 \times 284 \times 400 \sqrt{21} = 471 \text{ mm}$$

$$\text{also } L_d \geq 0.058 d_b f_y = 0.058 \times 19 \times 400 = 440.8 \text{ mm}$$

$$L_{d, \text{actual}} = c - \text{cover} = 1500 - 75 = 1425 > 471$$

Short direction :

Assuming short bars also ϕ 19 mm

$$d' = 0.425 - 0.019 = 0.406 \text{ cm}$$

$$c_2 = \frac{2 - 0.4}{2} = 0.8 \text{ m}$$

$$M_u = 235 \times 0.8^2 / 2 = 75.2 \text{ kN.m}$$

$$a = \text{same as before} = 11.2 A_s$$

$$M_u = \phi A_s f_y (d - a/2)$$

$$75.2 / 1000 = 0.9 A_s \times 400 (0.406 - 11.2 A_s / 2)$$

$$A_s^2 - 0.0725 A_s + 0.000037 = 0$$

$$A_s = 0.001 \text{ m}^2/\text{m}$$

$$\text{Check percent steel : } \nu = \frac{0.001}{1 \times 0.406} = 0.0025 < 0.0018$$

$$A_s, \text{total} = 0.001 \times 3 = 0.003 \text{ m}^2 = 30 \text{ cm}^2$$

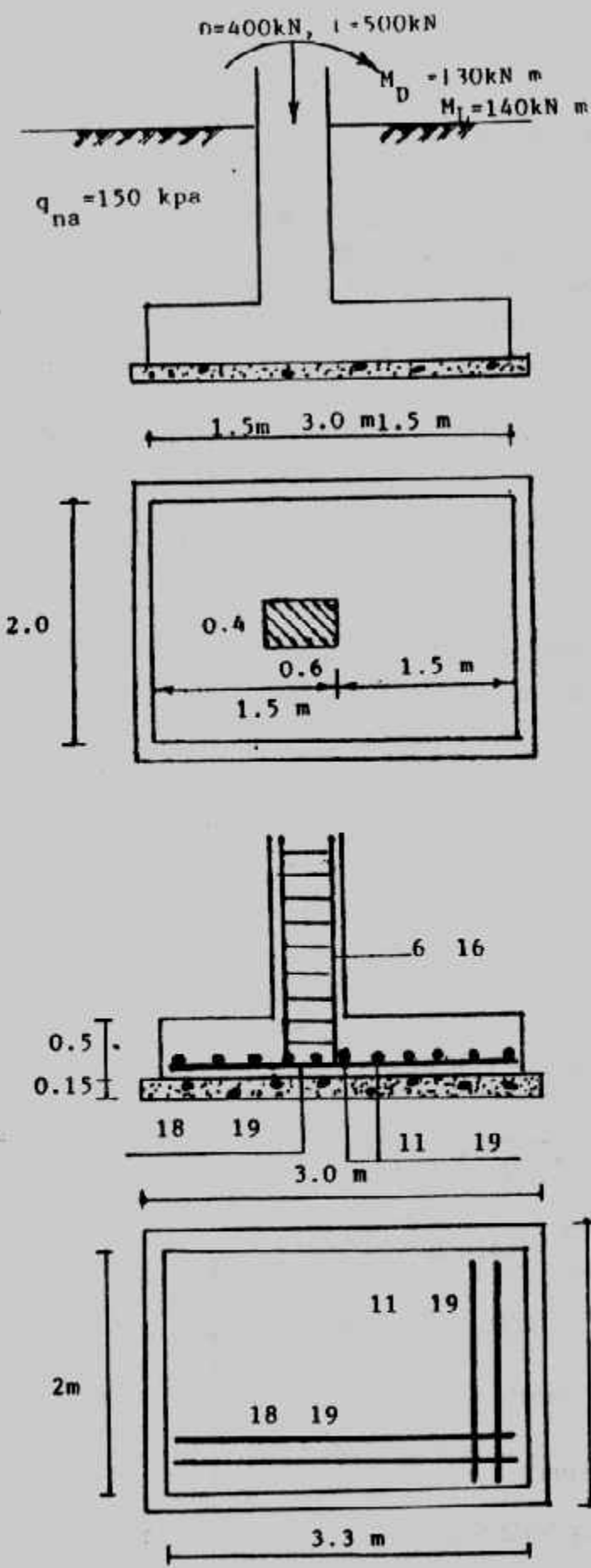
use 11 ϕ 19 or 15 ϕ 16

check bearing and design dowels

$$A_1 = 0.6 \times 0.4 = 0.24 \text{ m}^2$$

$$A_2 = (0.6 + 4 \times 0.425) (0.4 + 4 \times 0.425) = 4.83 \text{ m}^2$$

$$\sqrt{\frac{A_2}{A_1}} = \sqrt{\frac{4.83}{0.24}} = 4.49 > 2$$



شكل (٤-٤) مثال (٤-٩) تفاصيل الخرسانة والحديد

so use $\sqrt{\frac{A_2}{A_1}} = 2$ and $\phi = 0.7$

$$\begin{aligned} \text{design bearing strength} &= 0.85 \phi f_c A_1 \sqrt{\frac{A_2}{A_1}} \\ &= 0.85 \times 0.7 \times 21 \times 0.24 \times 2 \\ &= 5.998 \text{ MN} = 5998 \text{ kN} \end{aligned}$$

$$\begin{aligned} \text{the factored column load } U &= 1.4(400) + 1.7(500) \\ &= 1410 \text{ kN} < 5998 \text{ kN} \end{aligned}$$

A minimum area of dowels should be used across the interface of the column and foundation.

$$\begin{aligned} \text{Minimum area of steel} &= 0.005 A_1 \\ &= 0.005 \times 0.24 = 12 \text{ cm}^2 \end{aligned}$$

So use 6 φ 16

The final design section is shown in Fig. (4-26).

Example (4-10):

Redesign example by using the working stress method take :

$$f_c = 550 \text{ kN/m}^2 (f_{cu} = 2500 \text{ kN/m}^2), f_s = 140 \text{ MN/m}^2, q_s = 90 \text{ kN/m}^2$$

Solution :

$$c = M/P = 270 / 900 = 0.3 \text{ m}$$

$$A = 900/50 = 6 \text{ m}^2$$

$$\text{take } \frac{L}{B} = \frac{60}{40} = 1.5 \text{ m}$$

$$q = \frac{900}{3 \times 2} = 150 \text{ kN/m}^2$$

Long direction

$$M_{yy} = 150 \times 2 \times 1.5^2 / 2 = 337.5 \text{ kN.m}$$

$$\begin{aligned} d_m &= k_1 \sqrt{M/b} \\ &= 0.334 \sqrt{337.5 \times 10^4 / 200} = 43.4 \text{ cm} \end{aligned}$$

$$d_p = \frac{900 - 200 \times 0.6 \times 0.4}{2(0.4 + 0.6)1000} = 0.426 \text{ m} = 42.6 \text{ cm}$$

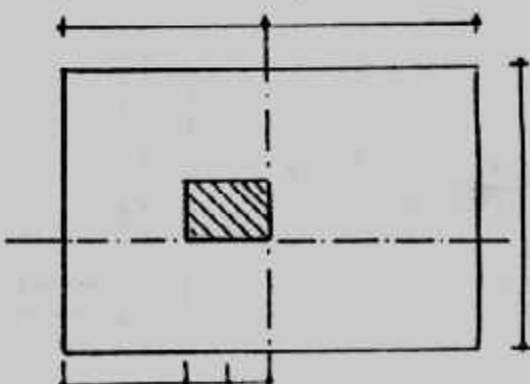
$$\text{Take } d = 55 \text{ cm} \quad \text{and} \quad t = 48 \text{ cm}$$

$$A_s = \frac{337.5 \times 10^4}{1227 \times 48} = 57.3 \text{ cm}^2$$

take 21 φ 19 mm (59.5 cm^2)

$$\mu = \frac{A_s}{bd} = \frac{59.5}{200 \times 55} = 0.0054 > 0.002$$

check of bond stress



شكل (٤-٢٧) مثال (٤-١٠) أبعاد

$$Q = 150 \times 2 \times 1.5 = 450 \text{ kN}$$

$$q_b = \frac{450}{0.87 \times 0.48 \times 21\pi \times 0.019} = 860 \text{ kN/m}^2$$

use L - shape reinforcement

$$\text{Anchorage length } d_d = A_s f_y / \rho q_b = \frac{0.02835 \times 140000}{0.0598 \times 1000} = 66.4 \text{ cm} < 90 \text{ cm}$$

Steel in short direction

$$M_x = 150 \times 3 \times 0.8^2 / 2 = 96 \text{ kN/m}^2$$

$$A_s = \frac{96 \times 10^4}{1227 \times 48} = 16.3 \text{ cm}^2$$

$$A_{s \min} = 0.002 \times 300 \times 55 = 33 \text{ cm}^2$$

use 17 φ 16

Check of bond

$$Q = 150 \times 3 \times 0.8 = 360 \text{ kN}$$

$$q_b = \frac{360}{0.87 \times 0.48 \times 17\pi \times 0.016} = 1008.8 \text{ kN/m}^2$$

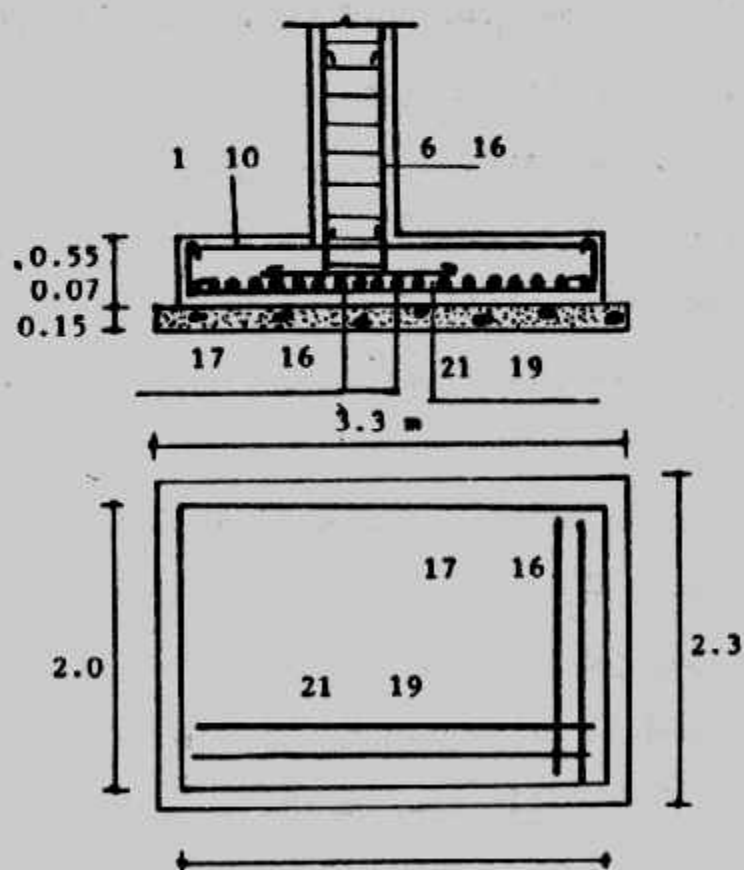
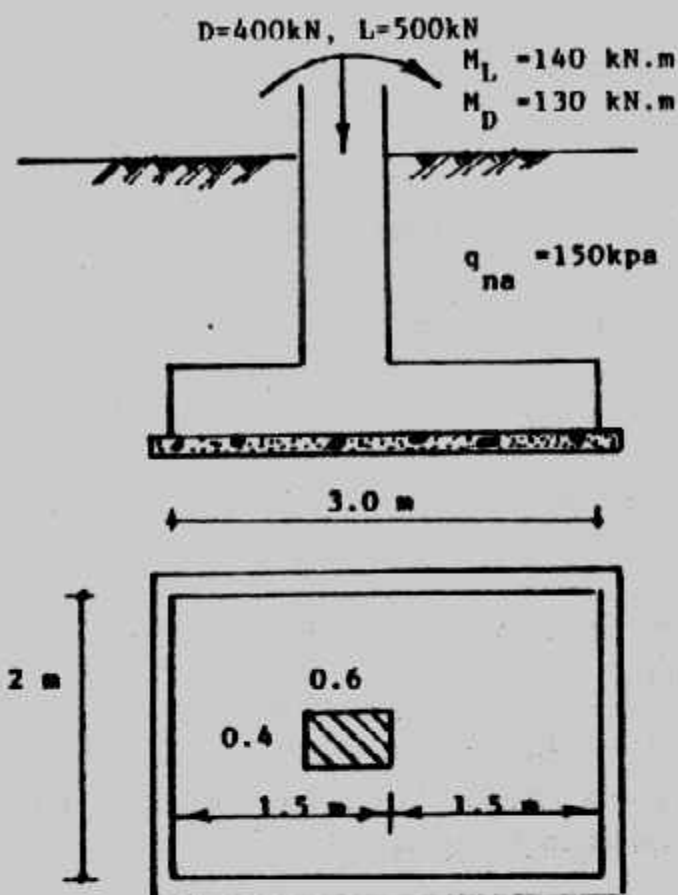
$$d_d = A_s f_y / \rho q_b = 2.01 \times 140000 / 5.03 \times 1000 = 55.9 \text{ cm} < 80 \text{ cm}$$

Details of the footing are shown in Fig. (4-28).

السملات والمعيد الرابطة : Semelles and Tie-beams

لا يجوز بناء حوائط الدور الأرضى على التربة مباشرةً تجنبًا لهبوطها أو تصدعها أو شرخها ولذا تتفذ كمرات لحملها تسمى السملات. كما تتفذ هذه السملات أحصار الحوائط إلى الأعمدة أو القواعد. وهذه السملات قد تتفذ بين الأعمدة شكل (٤-٢٩) أو فوق القواعد مباشرةً شكل (٤-٢٩ ب) أو في نفس منسوب القواعد شكل (٤-٢٩ ج). عادة تكون السملات على عمق لا يقل عن ٢٠ سم أدنى منسوب سطح الأرض وتكون عرض أكبر من عرض الحائط الذي تحمله بقيمة ٥ سم.

وتصمم السملات كالكمارات العادي تحت أحصار الحوائط فوقها أو الأتربة إن وجدت حيث يؤخذ مثلك من حمل الحائط بميل بزاوية ٦٠° إذا كان ارتفاع الحائط كبيراً شكل (٤-٣٠) أو شبه منحرف كما في شكل (٤-٣٠ ب) وذلك على اعتبار تكون عقد arch داخل الحائط ينقل جزء من الحائط إلى الأعمدة مباشرةً بالاحتكاك والجزء الآخر ينقل للسمل مباشرةً. أما في حالة وجود باب أو شباك في الحائط أو في حالة عدم ضمان التصاق جوانب الحائط بالأعمدة فيؤخذ وزن الحائط بالكامل على السمل بالإضافة إلى وزن السمل نفسه.

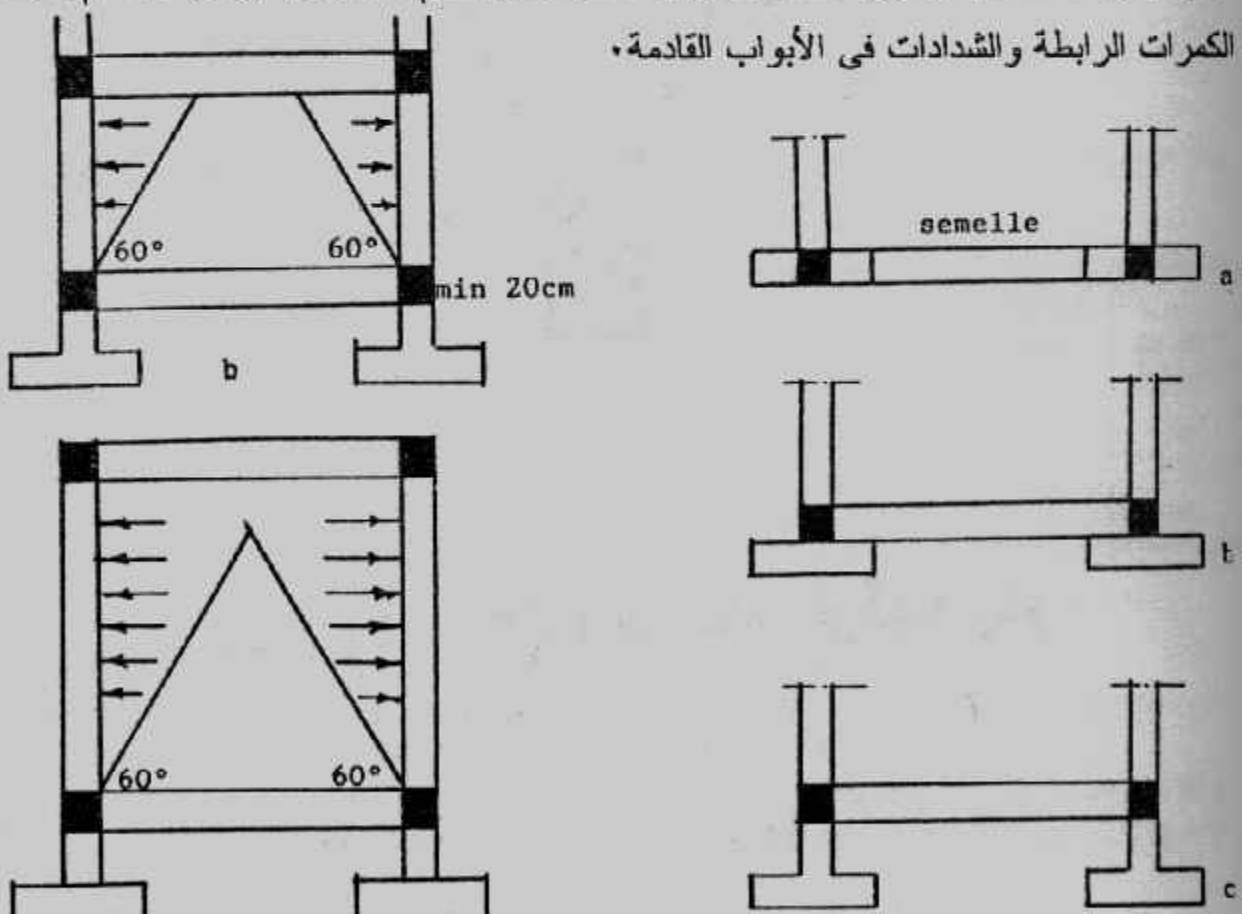


شكل (٤) : تفاصيل مثال (١٠-٤)

أما إذا كان السمل لا يحمل حاطط فيصمم على منشور تربة الردم فوقه والتى تأخذ شكل منشور تميل جوانبه بنسبة ٢ : ١ شكل (٤-٣١) ويفضل أن تصمم السملات على أنها بسيطة الارتكاز وتسلح على أنها كمرات مستمرة تسلح بحديد علوي مساو للحديد السفلى (المحسوب) أو نصفه.

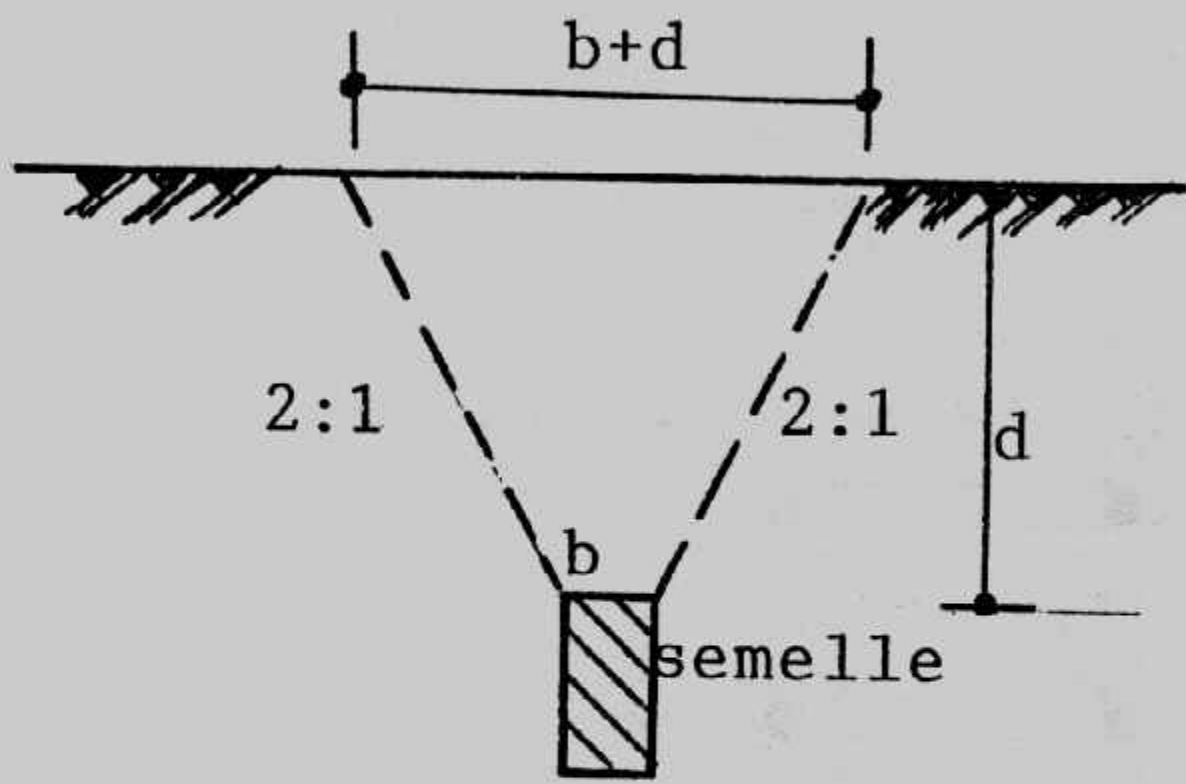
ويجب ألا تتفذ السملات على التربة مباشرة بل توضع خرسانة عادية بسمك ١٥-١٠ سم تحت السملات، وتكون خرسانة السملات من نفس خرسانة القواعد وباجهاداتها، ويجب ملاحظة الفرق بين السملات والكمرات الرابطة التي تستخدم لربط القواعد المنفصلة والتي تكون ذات جسامه عالية (العمق لا يقل عن ١ : ٨ البحر) لمقاومة الأجهادات الناتجة عن تحركات هذه القواعد أو دورانها أو الهبوط المتقاول، وهذه الكمرات تصمم بحيث تقاوم هذه الأجهادات، وتقييد الكمرات الرابطة في أنها تجعل القواعد المنفصلة تعمل معا كوحدة واحدة في تحركها، وعند استخدام الميد الرابطة يمكن الاستغناء عن السملات إذا كانت هذه الميد قريبة من سطح الأرض.

كما يجب ملاحظة الفرق بين السملات والكمرات الرابطة والشدادات التي تربط قواعد الجار بالقواعد الداخلية وتكون الشدادات جزءاً أصلياً من نظام التأسيس، وسوف تقدم تفاصيل الكمرات الرابطة والشدادات في الأبواب القادمة.



شكل (٤-٣٠) : أحوال السملات.

شكل (٤-٢٩) : أوضاع السملات.



شكل (٤-٣١) : سلالات فوقها ردم .

الباب الخامس

تصميم الأساسات الشريطية

Design of Strip Foundations

أنواع الأساسات الشريطية :

الأساسات الشريطية هي بلاطة مستمرة من الخرسانة المسلحة أسفل حائط خرساني أو حجر أو طوب أو لأعمدة واقعة على صف واحد خاصة إذا كانت أحمال هذه الأعمدة متقاربة والبعور بينها متقاربة، ووظيفة الأساسات الشريطية توزيع أحمال الحوائط أو الأعمدة إلى التربة بحيث لا تتعدي الإجهادات المنقولة إلى منسوب التأسيس قدرة تحمل التربة المسموح بها. وبين شكل (١-٥) أنواع الأساسات الشريطية المختلفة.

الأساسات الشريطية للحوائط :

أساسات الحوائط تكون بلاطة خرسانية مسلحة شريطية بعرض أكبر من عرض الحائط. وتأخذ هذه الأساسات عدة أشكال، شكل (٢-٥) وقد تكون بلاطة بسمك لا يقل عن ٢٥ سم للأحمال الصغيرة في التربة المنتظمة أو حينما تكون قدرة تحمل التربة جيدة (a) وحينما تكون التربة غير منتظمة يستخدم الشكل المبين في (b) أما الأشكال c, d

e فتستخدم للحوائط ذات الأحمال الثقيلة.

تصميم الأساسات الشريطية للحوائط بطريقة المرونة (اجهاد التشغيل) :

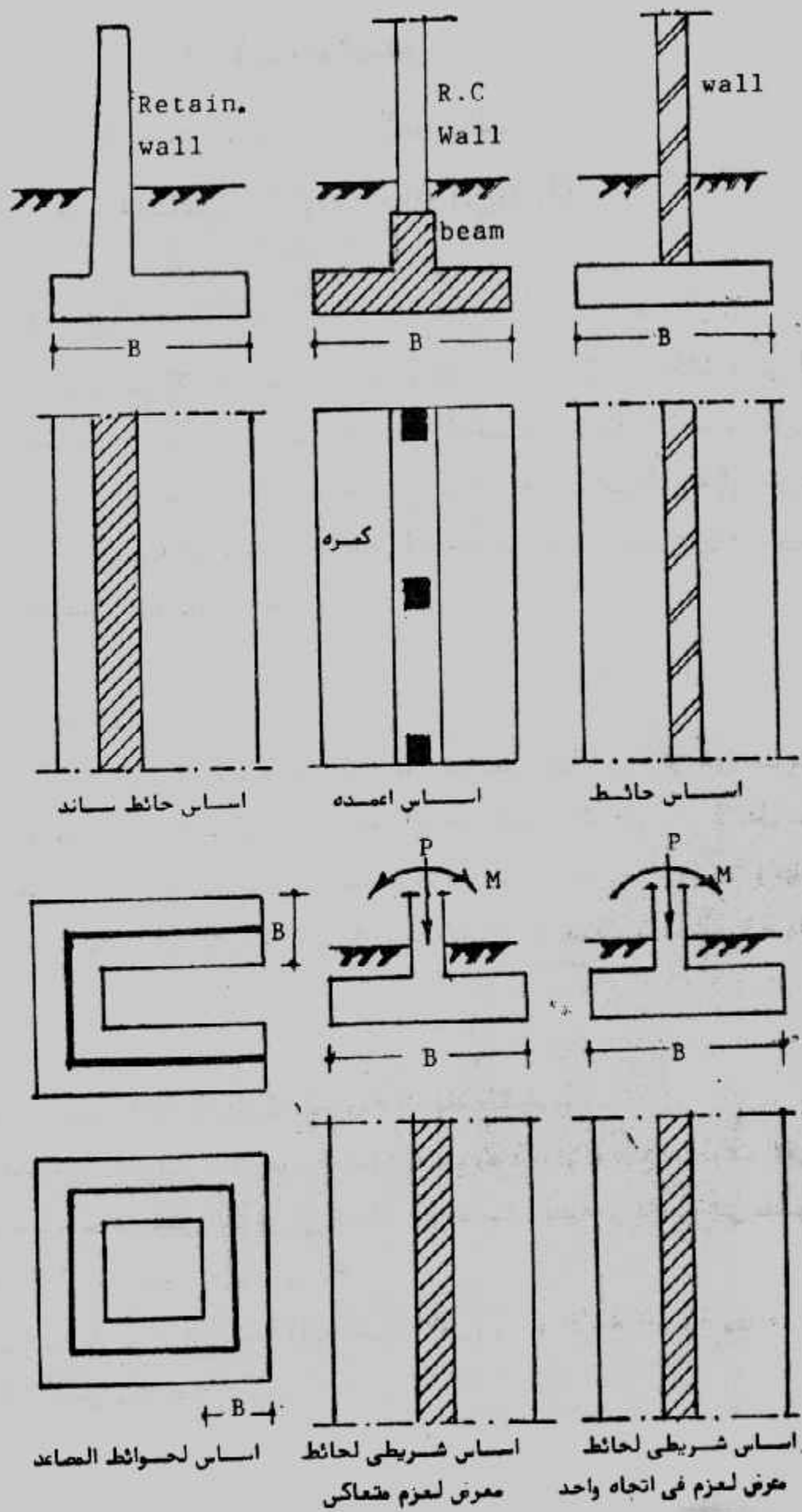
عند تصميم الأساسات الشريطية بطريقة المرونة (اجهاد التشغيل) تتبع الخطوات الآتية:

١- حساب أقصى حمل متوقع للمنزل الطولى في الحائط من الأحمال الحية والدائمة إلى منسوب

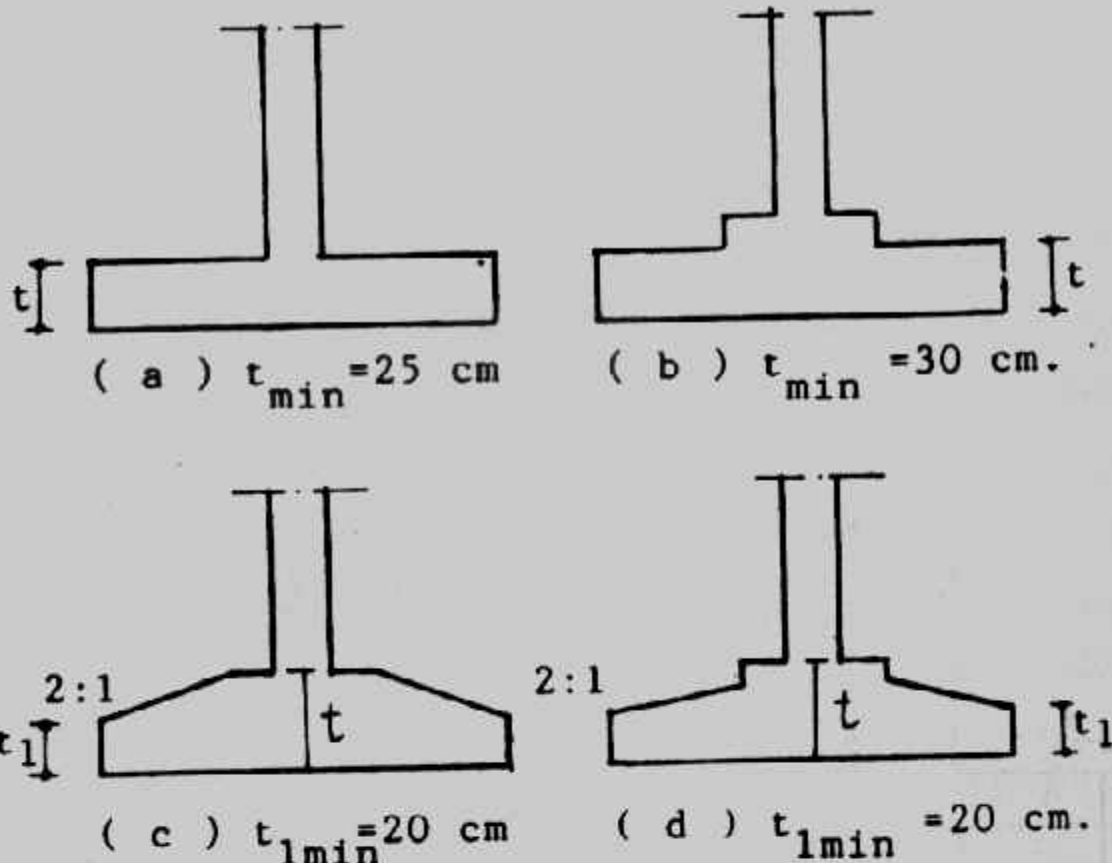
سطح الأرض P_1 أو إلى منسوب التأسيس P_T .

٢- الحصول على قدرة تحمل التربة الآمنة (جهد التربة الآمن) q_s أو الأمانة الصافية q_u .

٣- حساب مساحة الأساس وعرضه



شكل (١-٥) أنواع الأسس الشريطية



شكل (٢-٥) : أشكال أساسات الحوائط.

$$A = \frac{P}{q_{so}} \text{ or } \frac{P}{q_a - D\gamma_a} \text{ or } P_T / q_s$$

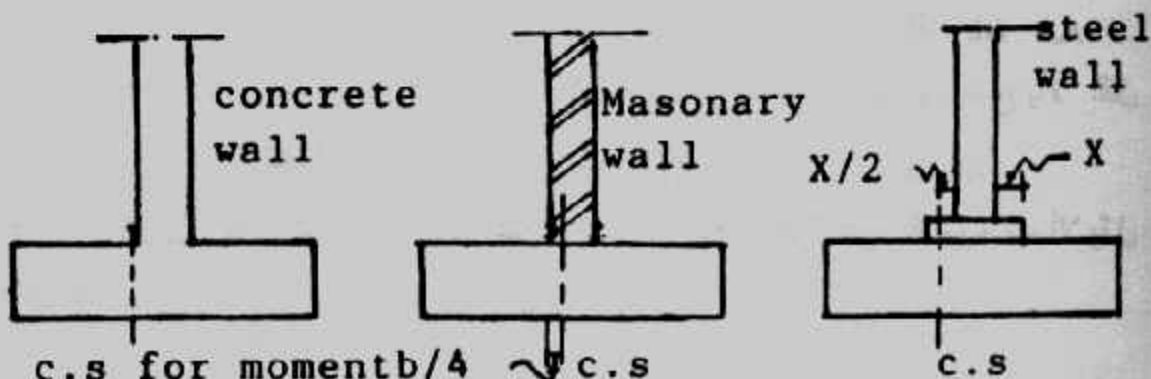
$$B = \frac{A}{l}$$

وتقرب B لأقرب ٥ سم

٤- تحسب الرفرفة C من : $C = \frac{B-b}{2}$ حيث b عرض الحائط.

٥- حساب جهد التربة الفعلى اللازم للتصميم q : $q = \frac{P}{A} = \frac{P}{B \times l}$

٦- تحديد المقطع الحرج لعزم الانحناء كما هو مبين بالشكل (٣-٥) :



شكل (٣-٥) المقطع الحرج لعزم الانحناء

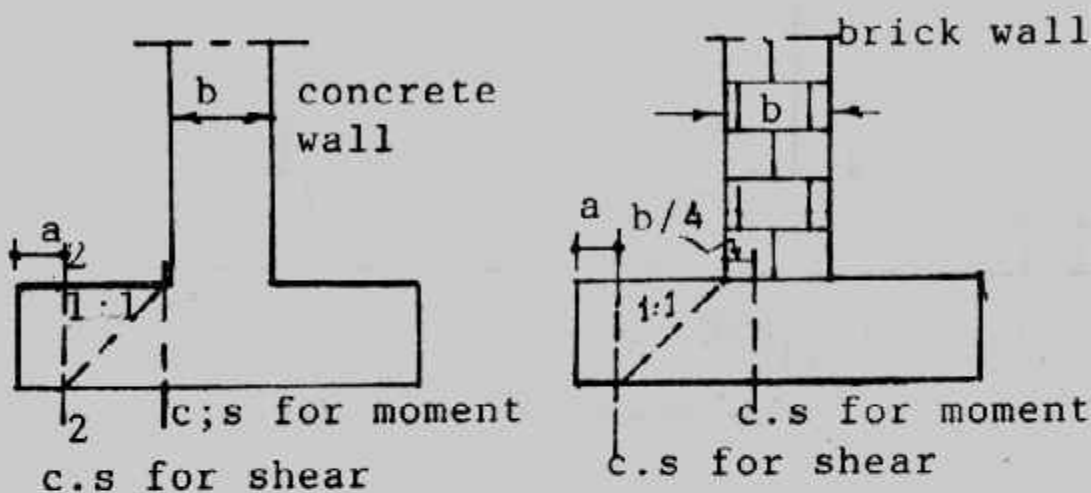
ثم يحسب عزم الانحناء من :

$$M_{max} = q C^2 / 2 = q (B - b)^2 / 2 \text{ (for concrete wall)}$$

٧- تعين عمق الأساس d المقاوم للعزم :

$$d_m = k_1 \sqrt{M_{max} / b}, b = 100 \text{ cm}$$

٨- تحديد المقطع الحرج للقص كما هو مبين بالشكل (٤-٥) .



شكل (٤-٥) المقطع الحرج للقص .

ثم تحسب قوى القص Q_{sh} من :

$$Q_{sh} = a \times 1 \times q = [(B - b)/2 - d] q$$

ثم يحسب عمق الأساس المقاوم للقص :

$$b = 100 \text{ cm}$$

٩- يتم اختيار العمق الأكبر d_{sh} or d_m .

١٠- تعين تخانة الأساس t حيث :

حيث يؤخذ الغطاء الخرساني cover من ٥ إلى ٧ سم ويفضل ٦ سم .

١١- تعين حديد التسلیح من :

$$A_s = M / k_2 d$$

١٢- التأكد من أن الحديد المطلوب لا يقل عن النسبة الأدنى لحديد التسلیح وننصح بـ لا تقل عن ٣٠٠٠٢ من مساحة القطاع الأساسي .

١٣- الحديد الثانوي A_s يؤخذ كنسبة ٢٠ إلى ٣٠ % من الحديد الرئيسي A ويجب ألا يقل عن ٤ مم / م .

٤- التأكيد من اجهادات التماسك bond في حدود المسموح به . وتحسب اجهادات التماسك q_b

من :

$$q_b = \frac{Q_t}{0.87 d \Sigma o} > q_b \text{ allowable}$$

حيث Q_t هي القوة المسببة للعزوم عند المقطع الحرج للعزم ، Σo هي محيط أسياخ حديد التسليح عند المقطع الحرج . ويجب ألا تقل قطرار الحديد عن ١٣ مم . ولمنع الشروخ الناتجة عن الهبوط أسفل الحائط نفسه فإنه يمكن استخدام حديد تسليح إضافي في الأساسات أشكال U, C في شكل (٢-٥) بنسبة ١% من مساحة المقطع تحت الحائط وتوزع بالتساوي على سفلى .

٥- التأكيد من كفاية طول الأشواير بين الحائط والأساس .

Example (5-1):

A 25 cm concrete wall supports a net load of 50 t/m the depth of the footing below ground level is 1.5 m. The net allowable pressure is 1.5 kg/cm². Design R.C. footing for this wall, using $f_c = 50 \text{ kg/cm}^2$, $f_s = 1400 \text{ kg/cm}^2$, $q_{sh} = 6 \text{ kg/cm}^2$. Use plain concrete equals 20 cm.

Solution : $A = \frac{P_{net}}{q_{ns}} = \frac{50}{15} = 3.33 \text{ m}^2$

$$B = 3.33/1 = 3.33 \text{ m}$$

$$B_{act} = 3.35 \text{ m}$$

$$\text{net stress } q = 50/3.35 = 14.9 \text{ t/m}^2$$

$$c = (B - b)/2 = (3.35 - 0.25)/2 = 1.55 \text{ m}$$

$$M_{max} = qc^2/2 = 14.9 \times 1.55^2/2 = 17.9 \text{ mt/m}$$

$$d_m = k_1 \sqrt{\frac{M}{B}} = 0.361 \sqrt{\frac{17.9 \times 10^5}{100}} = 48.3 \text{ cm}$$

$$Q_{sh} = (1.55 - d_{sh}) 14.9$$

$$d_{sh} = Q_{sh} / b \times q_s = \frac{(1.55 - d_{sh}) 14.9}{1 \times 50}$$

$$\therefore d_{sh} = 0.34 \text{ m}$$

take $t = 60 \text{ cm}$

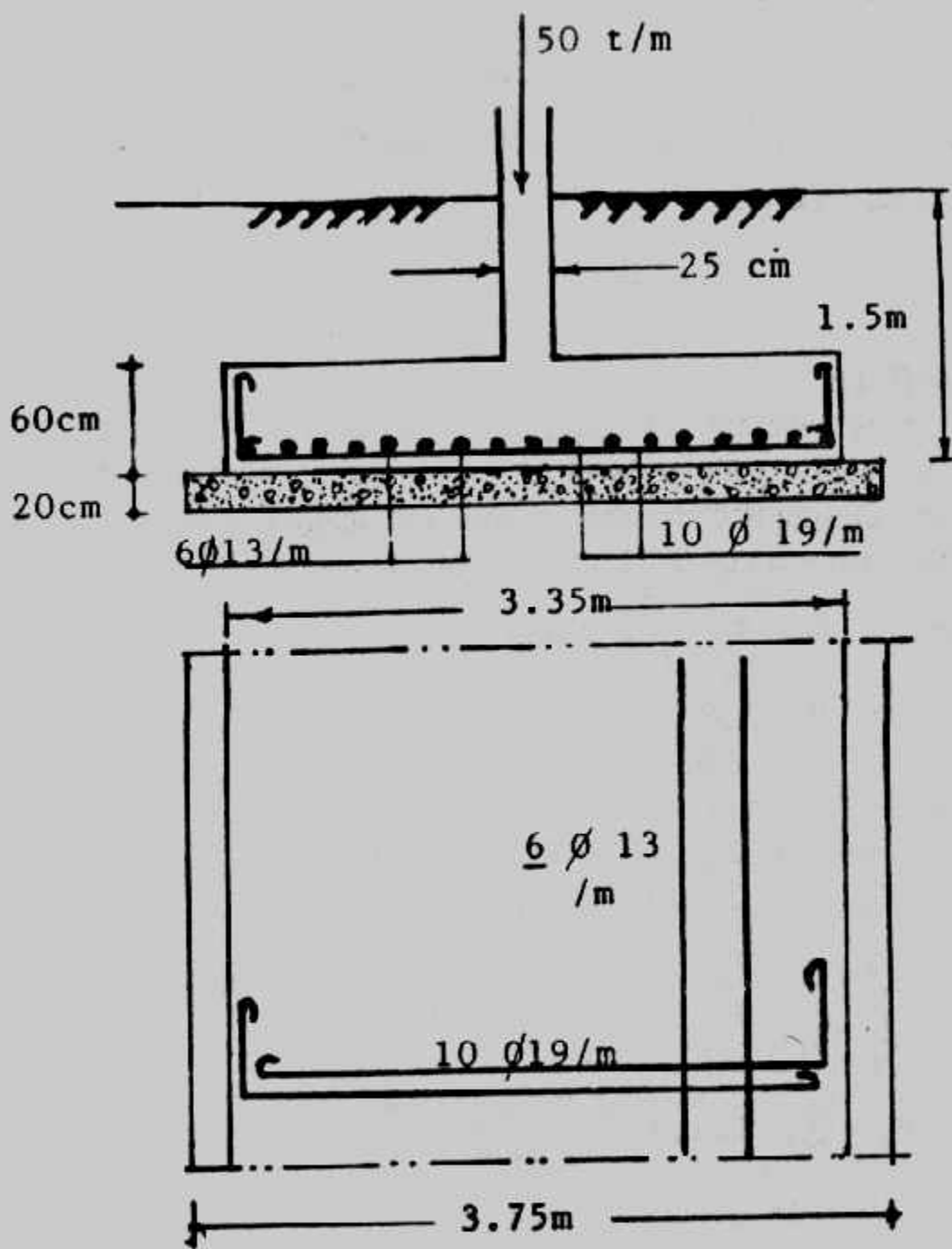
$$d_{act} = 60 - 7.5 = 52.5 \text{ cm.}$$

$$A_s = M/k_2, d_{act} = 17.9 \times 105/1237 \times 52.5 = 27.6 \text{ cm}^2$$

take 10 φ 19/m` (28.4 cm²)

$$A_s/A_c = 28.4/100 \times 52.5 = 0.0054 > 0.002$$

$$A_s = 0.25 \times 28.4 = 7.1 \text{ cm}^2$$



شكل (٥-٥) : مثال (١-٥) تفاصيل.

take 6 ϕ 13/m

$$Q_b = 14.9 \times 1.55 \times 1 = 23.1$$

$$q_b = \frac{23.1 \times 1000}{0.87 \times 52.5 \times 10 \times 5.98} = 8.46 \text{ kg/cm}^2$$

take L-shape reinforcements

$$d_d = \frac{A_s f_s}{\rho q_b} = \frac{2.835 \times 1400}{5.98 \times 10} = 0.66 \text{ m} < C$$

Details of the footing are shown in Fig. (5-5).

Example (5-2):

Redesign the footing required in example 5-1 using 50cm plain concrete.

Solution :

$$A_{pc} = 50/15 = 3.33 \text{ m}^2$$

For plain concrete : $B_{act} = 3.35 \text{ m}$

$$C_{pc} = t \sqrt{\frac{q_t}{4q}} = 50 \sqrt{\frac{4}{3 \times 1.5}} = 47.14 \text{ cm}$$

take $C_{pc} = 45 \text{ cm}$

$$B_{RC} = 3.35 - 2 \times 0.45 = 2.45 \text{ m}$$

$$C = \frac{2.45 - 0.25}{2} = 1.1 \text{ m}$$

net stress $q = 50/2.45 = 20.41 \text{ t/m}^2$ (between P.C. and R.C.)

$$M = q C^2 / 2 = 20.41 \times 1.1^2 / 2 = 12.35 \text{ mt/m}$$

$$d_m = K_1 \sqrt{M/b} = 0.361 \sqrt{12.35 \times 10^5 / 100} = 40.12 \text{ cm}$$

shear force $Q_{sh} = (1.1 - d_{sh}) 20.41$

$$d_{sh} = Q_{sh} / b \quad q_{sh} = (1.1 - d_{sh}) 20.41 / 50 \\ = 0.32 \text{ m}$$

take $t = 50 \text{ cm}$

$$d_{act} = 50 - 7.5 = 42.5 \text{ cm}$$

$$A_s = \frac{M}{K_2 d_{act}} = \frac{12.35 \times 10^5}{1237 \times 42.5} = 23.5 \text{ cm}^2$$

take 9 ϕ 19/m (25.5 cm^2)

$$A_s/A_c = 25.5 / 100 \times 42.5 = 0.006 < 0.002$$

$$A_s = 0.25 \times 25.5 = 6.4 \text{ cm}^2$$

take 5 ϕ 13/m

$$Q_b = 20.41 \times 1.1 \times 1 = 22.451 \text{ t}$$

$$q_b = \frac{22.45 \times 1000}{0.87 \times 42.5 \times 9\pi / 19} = 11.28 < 12 \text{ kg/cm}^2$$

take U-shape for main reinforcement

$$d_b = \frac{A_s f_y}{\pi q_b} = \frac{2.01 \times 1400}{5.03 \times 10} = 0.55 \text{ m} < C$$

Details of the footing are shown in Fig. (5-6)

تصميم الأساسات الشريطية للحوائط بطريقة المقاومة القصوى :

يمكن تلخيص خطوات تصميم الأساسات الشريطية للحوائط بطريقة المقاومة القصوى كما يلى :

- ١- حساب مساحة الخرسانة العادية (لو كانت تخانتها ٣٠٠ متر أو أكبر) أو مساحة الخرسانة المسلحة (لو كانت تخانة الخرسانة العادية أقل من ٣٠٠ متر) باستخدام جهد التربة ومجموع الأحمال الفعلية :

$$A = B \times l = \frac{P}{q_{us}} \text{ or } \frac{P_T}{q_u}$$

ومن المساحة يمكن إيجاد عرض الأساس B والذي يقرب لأقرب ٥ سم.

- ٢- يعين جهد التربة التصميمي باستخدام الأحمال القصوى والذي يستخدم في الحسابات فيما بعد:

$$q = P_u/A$$

- ٣- يفرض سمك الأساس d ومنه يقدر عمق الأساس الفعال d على ألا يقل سمك الأساس عن ٢٠ سم.

- ٤- يعمل تأكيد على القص الأحادي wide beam حيث تحسب القوى المقاومة للقص فى الأساس V_c ثم تحسب مقاومة القص V_u والتي يجب أن تكون أقل من المقاومة المحسوبة من :

$$V_c = 0.17 \phi \sqrt{f_c}$$

- ويجب مراعاة أن المقطع الحرج للقص على بعد d من وجه الحائط الخرسانى وعلى وجه حائط الطوب (أو البلوكات) مباشرةً.

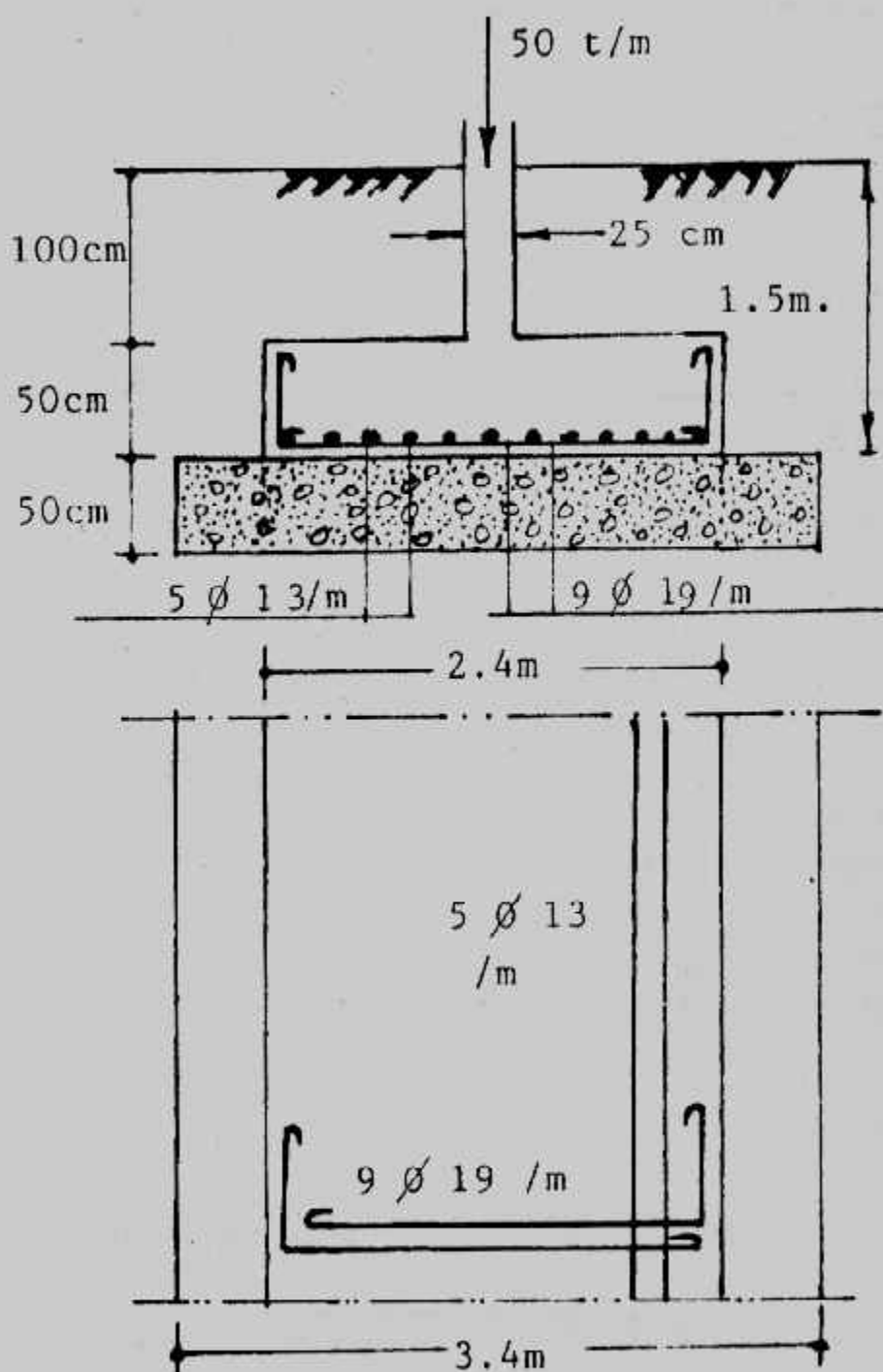
- ٥- حساب عزم الانحناء M_u عند المقطع الحرج وكذلك :

$$M = \phi A_s f_y \left(d - \frac{a}{2} \right)$$

$$a = A_s f_y / 0.85 f_c b$$

حيث :

تم تعين حديد التسليح الرئيسي من حل المعادلات السابقة ويجب ألا يقل عن القيمة الدنيا للتسليح.



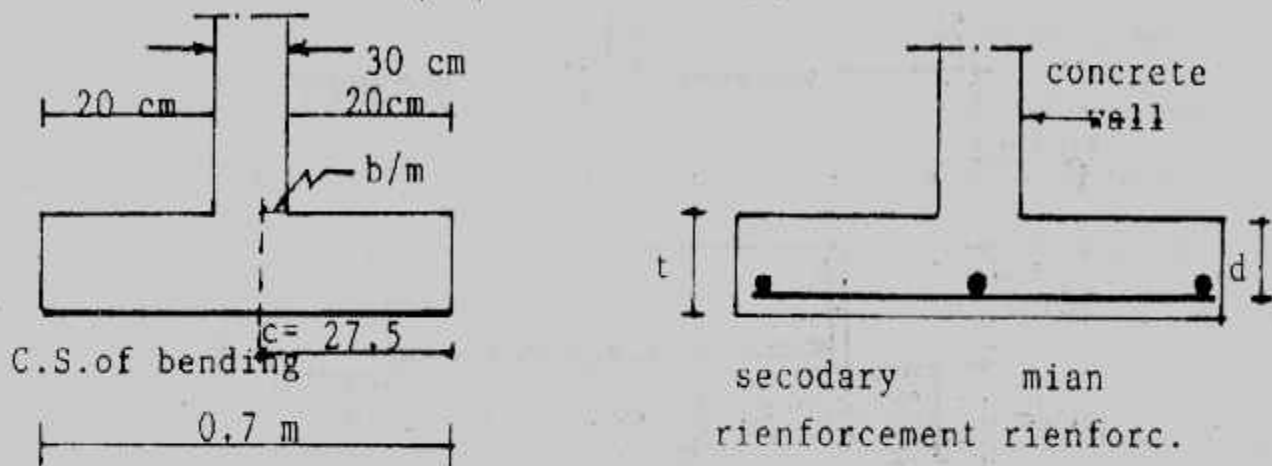
شكل (٦-٥) : مثال (٦-٥) تفاصيل .

$$A_{smm} = 0.0018 \times d \times l$$

٦- الحديد الطولي يؤخذ كنسبة القيمة الدنيا لتسليح المقطع وذلك لمقاومة الإنكمash والتآثرات الحرارية :

$$A_s = 0.0018 Bd$$

وفي الحوائط الخرسانية يوضع هذا الحديد أسفل الأساس وأعلى الحديد الرئيسي أما في أساسات الحوائط من الطوب أو التلوكات فيوضع الحديد الطولي أعلى الأساس ويفضل أن يأخذ ربع الحديد في الناحية السفلية والباقي في الناحية العلوية، شكل (٧-٥).



شكل (٧-٥) تفاصيل التسليح.

٧- عمل تأكيد على طول التماسك والذي يجب ألا يقل عن ٣ سم.

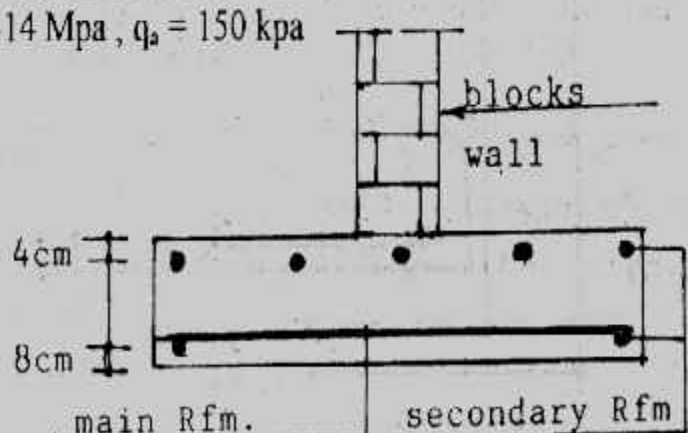
٨- نقدم الرسومات التفصيلية للأساس بالمقاطع المختلفة.

Example (5-3):

Design the wall footing for the following data:

Wall load consists in 100 kN/m ($D = 60$, $L = 40$ kN/m) including wall floor, and roof contribution, wall of concrete block $20 \times 30 \times 40$ cm.

$f_c = 21$ Mpa , $f_y = 414$ Mpa , $q_a = 150$ kpa



شكل (٨-٥) مثال (٣-٥).

Solution :

$$B = \frac{100}{150} = 0.67 \text{ m}$$

take $B = 0.70 \text{ m}$

We will arbitrarily make the depth of footing 40 cm deep overall ($d = 32\text{cm}$).

$$\text{The ultimate soil pressure } q = \frac{1.4 \times 60 + 1.7(40)}{0.7} = 217.14 \text{ kPa (ACF)}$$

Check wide - beam shear at the face of the wall as :

$$V_u = 0.2 \times 217.14 = 43.4 \text{ kN}$$

$$v_s = \frac{43.4}{1 \times 0.32} = 135.63 << 650 \text{ kPa}$$

$$C' = 0.2 + \frac{0.3}{4} = 0.275 \text{ m}$$

$$M = q C'^2 / 2 \\ = 217.14 \times \overline{0.275}^2 / 2 = 8.21 \text{ kN.m}$$

$$a = \frac{A_s f_y}{0.85 f_c b} = 400 A_s / 0.85 \times 21 \times 1 = 23.19 A_s$$

$$M_u = \phi A_s f_y (d - a/2)$$

$$\frac{M_u}{\phi f_y} = A_s (d - a/2)$$

$$\frac{8.21}{0.9 \times 414 \times 1000} = A_s (0.32 - 11.6 A_s)$$

$$A_s^2 - 0.0276 A_s = 1.897 \times 10^{-6}$$

$$A_s = 0.069 \times 10^{-3} \text{ m}^2$$

$$\text{For shrinkage } A_s = 0.0018 (0.32) = 0.58 \times 10^{-3} \text{ m}^2 > 0.069 \times 10^{-3} \\ = 5.8 \text{ cm}^2$$

use 5 $\phi 13$ / width B

Minimum reinforcement should be furnished in the long direction to offset shrinkage and temperature effects.

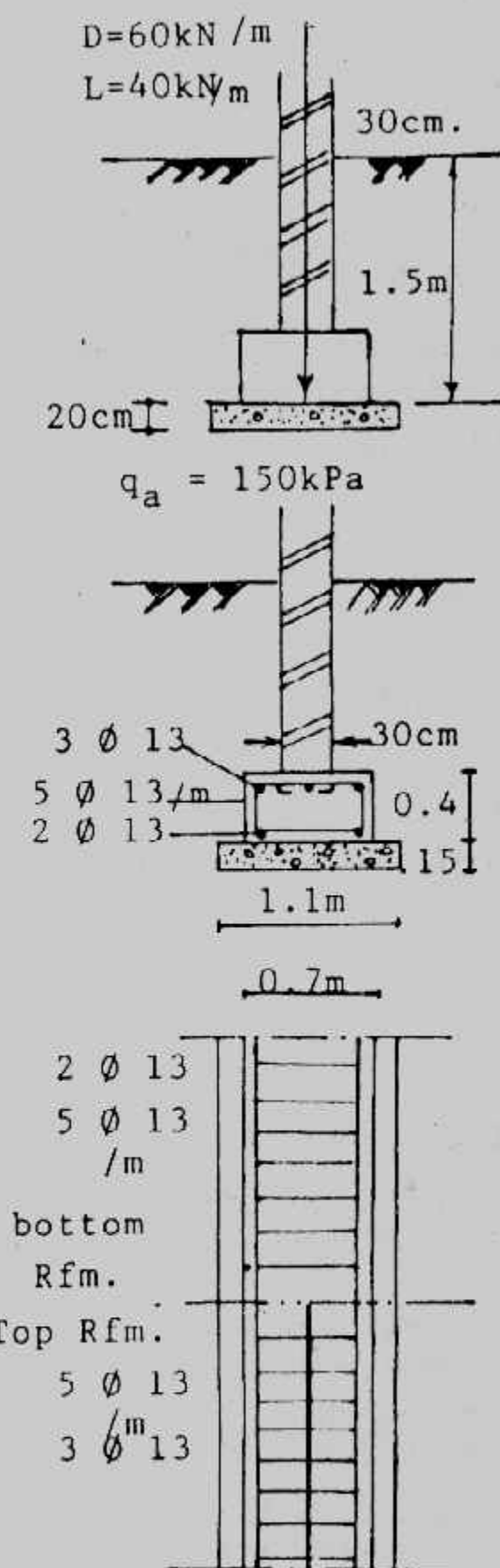
$$A_s = 0.0018 B d = 0.0018 \times 0.7 \times 0.32 = 4.032 \times 10^{-4} \text{ m}^2 \\ = 4.032 \text{ cm}^2$$

use 5 $\phi 13$ with 3 $\phi 13$ at 4 cm from top, 2 $\phi 13$ at 8 cm from bottom.

Details of design are shown in Fig. (5-9).

Example (5-4):

Design a concrete footing for a load - bearing wall with the following characteristics :



شكل (٥-٩) تفاصيل التصميم لمثال (٥-٣)

Dead load D = 50 kN/m, live load L = 30 kN/m Gross allowable bearing capacity of soil = 110 kPa
 $f_y = 400 \text{ Mpa}$, $f_c = 21 \text{ Mpa}$
 unit weight of soil = 17 kN/m³
 unit weight of concrete = 25 kN/m³
 thickness of wall = 0.3 m
 Depth of foundation = 1.5 m

Solution :

The thickness of foundation is 30 cm, and the steel bars to be used are assumed $\phi 13 \text{ mm}$, so :

$$d = 0.30 - 0.075 - \frac{0.0013}{2} = 0.224 \text{ m}$$

weight of foundation = $0.3 \times 25 = 7.5 \text{ kN/m}^2$

weight of soil above the foundation = $1.2 \times 17 = 20.4 \text{ kN/m}^2$

$$q_{\text{net all}} = 110 - 7.5 - 20.4 = 82.1 \text{ kpa}$$

$$B = (d + L) / q_{\text{all}} = (50 + 30) / 82.1 = 0.974 \text{ m}$$

take B = 1.00 m

$$U = 1.4 D + 1.6 L = 1.4 \times 50 + 1.6 \times 30 = 118 \text{ kN (ECOP)}$$

$$q = \frac{118}{1.00 \times 1} = 118 \text{ kN}$$

Check wide - beam shear where the shear occurs at a distance d from the face of the wall

$$V_u = (0.4 - 0.224) 118 = 20.77 \text{ kN}$$

$$V_c = 0.17 \sqrt{f_c b d}$$

$$= 0.17 \sqrt{21 \times 0.224 \times 1} = 0.175 \text{ MN}$$

$$\phi V_c = 0.85 \times 0.175 = 0.149 \text{ MN} = 149 \text{ kN} > V_u$$

$$M_u = \frac{118(0.35)^2}{2} = 7.23 \text{ kN.m}$$

$$a = A_s f_y / 0.85 f_c b = 400 A_s / 0.85 \times 21 \times 1 = 22.41 A_s$$

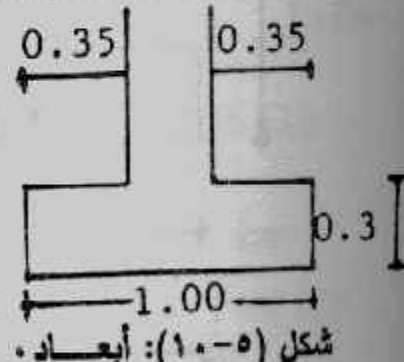
$$\frac{M_u}{\phi f_y} = A_s (d - a/2)$$

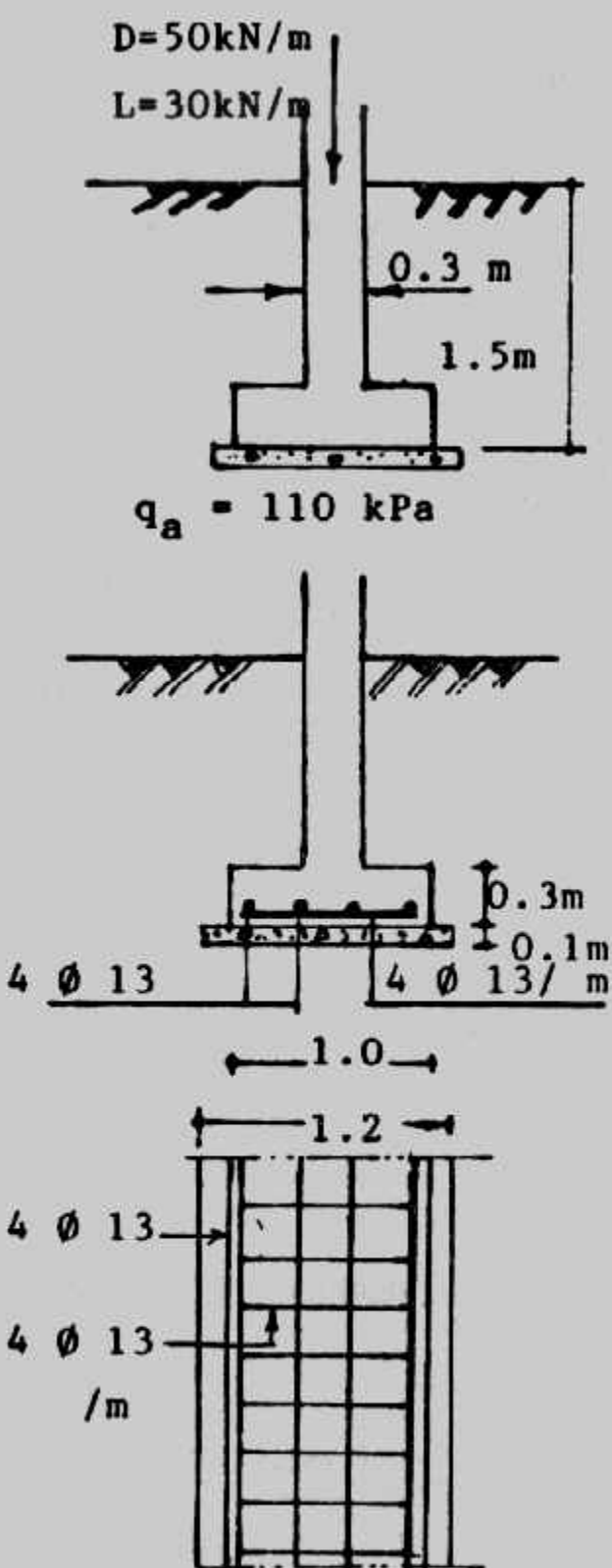
$$\frac{7.23}{0.9 \times 400 \times 100} = A_s \left(0.224 - \frac{22.41}{2} A_s \right)$$

$$A_s^2 - 0.01999 A_s = 1.79 \times 10^{-6}$$

$$A_s = 0.891 \times 10^{-4} \text{ m}^2$$

$$\begin{aligned} \text{For shrinkage } A_s &= 0.0018 (0.224) = 0.4032 \times 10^{-3} \text{ m} > 0.1122 \times 10^{-3} \\ &= 4.03 \text{ cm}^2 \end{aligned}$$





شكل (١١-٥) : مثال (٤-٥) تفاصيل .

use $\phi = 1.3$ m

Development length of reinforcement bars

$$l_d = 0.019 A_{bf} \sqrt{f}$$

$$= 0.019 \times 133 \times 400 \sqrt{21} = 22.06 \text{ m}$$

$$L_d = 0.058 \times 13 \times 400 = 30.16 \text{ cm}$$

$$\text{take } L_d = 30.16 < 40 - 7.5 = 32.5 \text{ cm}$$

The final design sketch is shown in Fig. (5.11)

الأساسات الشريطية المعرضة لعزم الانحناء :

تعامل الأساسات الشريطية المعرضة لعزم الانحناء دائم الاتجاه أو المنعكس معاملة

الأساسات المفردة المعرضة لهذه العزوم.

Example (5-5):

Design a strip footing to carry concrete wall subjected to vertical load with 25 t/m and reversible moment 5 mt/m Given the following data

Allowable bearing capacity = 3 kg/cm²

Depth of foundation = 1.2 m

$f_c = 50 \text{ kg/cm}^2$, $f_s = 1400 \text{ kg/cm}^2$

Solution :

take $\gamma_a = 2 \text{ g/cm}^3$

$$P_T = \frac{P}{q_a - D\gamma_a} q_a$$

$$= \frac{25}{30 - 1.2 \times 2} \times 30 = 27.2 \text{ t/m}$$

$$e = M/N = 0.2 \text{ m}$$

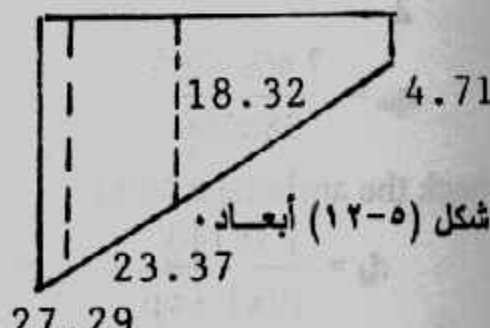
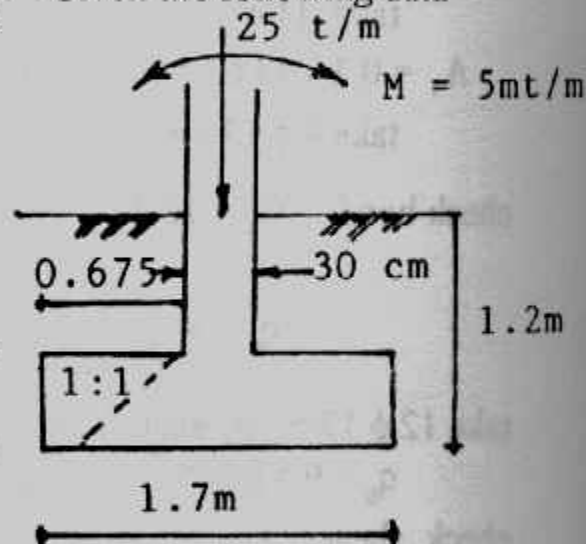
$$q_a = \frac{P_T}{B \times 1} \left(1 + \frac{6e}{B} \right)$$

$$30 = \frac{27.2}{B} \left(1 + \frac{6 \times 0.2}{B} \right)$$

$$30B^2 - 27.2B - 39168 = 0$$

Solving this equation gives $B = 1.68 \text{ m}$

take $B = 1.7 \text{ m}$



شكل (١٢-٥) أبعاد.

$$q_1 = 27.29 \text{ t/m}$$

$$q_2 = 4.71 \text{ t/m}$$

$$M = 18.32 \times \frac{0.675}{2} + \frac{1}{2} \times 8.97 \times 0.675 \times 0.675 \times \frac{2}{3}$$
$$= 4.174 + 1.36 = 5.54 \text{ mt/m}$$

$$d = 0.361 \sqrt{\frac{5.54 \times 10^5}{100}} = 26.87 \text{ cm}$$

take $t = 40 \text{ cm}$, $d = 33 \text{ cm}$

$$A_s = \frac{5.54 \times 10^5}{1237 \times 33} = 13.57 \text{ cm}^2$$

$$A_{smin} = 0.002 \times 33 \times 100 = 6.6 \text{ cm}^2$$

take $11 \phi 13/\text{m}$ (14.63 cm^2)

$$A_s = 0.3 \times 14.63 = 4.39 \text{ cm}^2$$

take $4 \phi 13/\text{m}$ (5.3 cm^2)

check bond $Q_b = 18.32 \times 0.675 + \frac{1}{2} \times 8.97 \times 0.675 = 15.39 \text{ t}$

$$q_b = \frac{15.39 \times 10^3}{0.87 \times 33 \times 11 \times 13\pi} = 11.93 \text{ kg/cm}^2 > 10 \text{ kg/cm}^2$$

take $12 \phi 13/\text{m}$ (L-shape) and $t = 45 \text{ cm}$, $d = 38 \text{ cm}$

$$q_b = 9.5 \text{ kg/cm}^2 < 10 \text{ kg/cm}^2$$

check shear $Q_{sh} = 23.37 (0.675 - 0.38) \times 1 + (27.29 - 23.37) \times (0.675 - 0.38) \frac{1}{2} = 6.89 + 0.578 + 0.578 = 7.468 \text{ t}$

$$q_{sh} = \frac{7.468 \times 10^3}{38 \times 100} = 1.97 < 6 \text{ kg/cm}^2 \quad \text{OK}$$

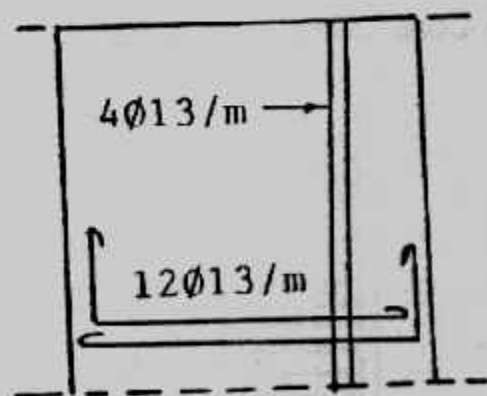
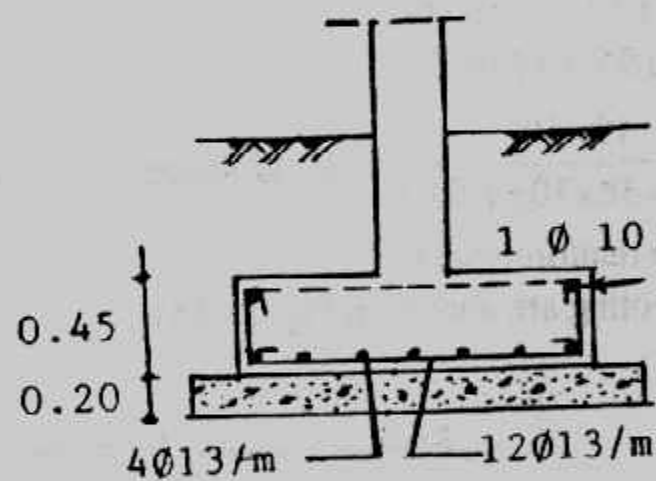
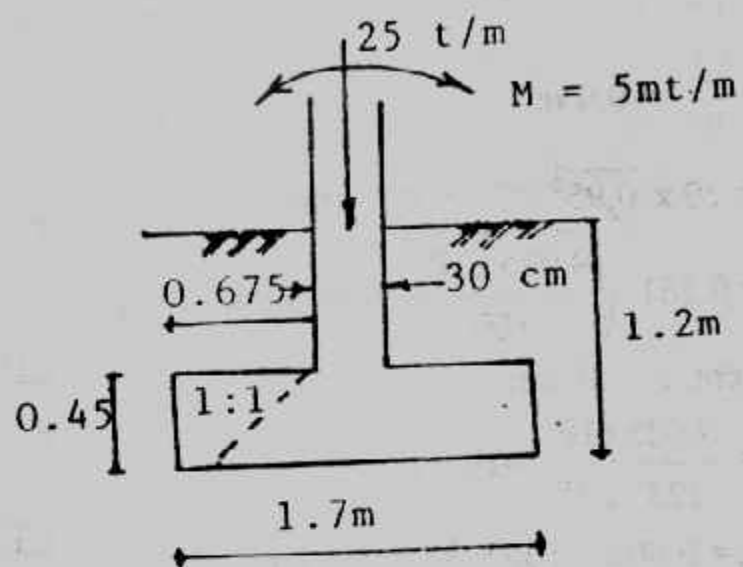
check the anchorage bond

$$d_d = \frac{13 \times 1400}{10 \times 13 \times p} = 44.56 < 67.5 \text{ cm}$$

Details of the footing are shown in Fig. (5-13)

Example (5-6):

Design a footing for a wall carrying a load 30 t/m and moment of 15 mt/m always acting in one direction. The net allowable soil pressure is 15 kg/cm^2 . Take $f_c = 50 \text{ kg/cm}^2$, $f_s = 1400 \text{ kg/cm}^2$



شكل (١٣-٥) : مثال (٥-٥) تفاصيل .

Solution :

$$A = 30/20 = 1.5 \text{ m}^2$$

take $B = 1.5 \text{ m}$

$$q = \frac{30}{1.5 \times 1} = 20 \text{ t/m}$$

$$e = \frac{12}{30} = 0.4 \text{ m}$$

$$M = 20 \times \frac{0.95^2}{2} = 9.025 \text{ t/m}$$

$$d = 0.361 \sqrt{\frac{9.025 \times 10^5}{100}} = 34.3 \text{ cm}$$

take $t = 45 \text{ cm}$, $d = 38 \text{ cm}$

$$A_s = \frac{9.025 \times 10^5}{1237 \times 38} = 19.2 \text{ cm}^2$$

$$A_{\min} = 0.002 \times 100 \times 38 = 7.6 \text{ cm}^2$$

use 10 φ 16/m

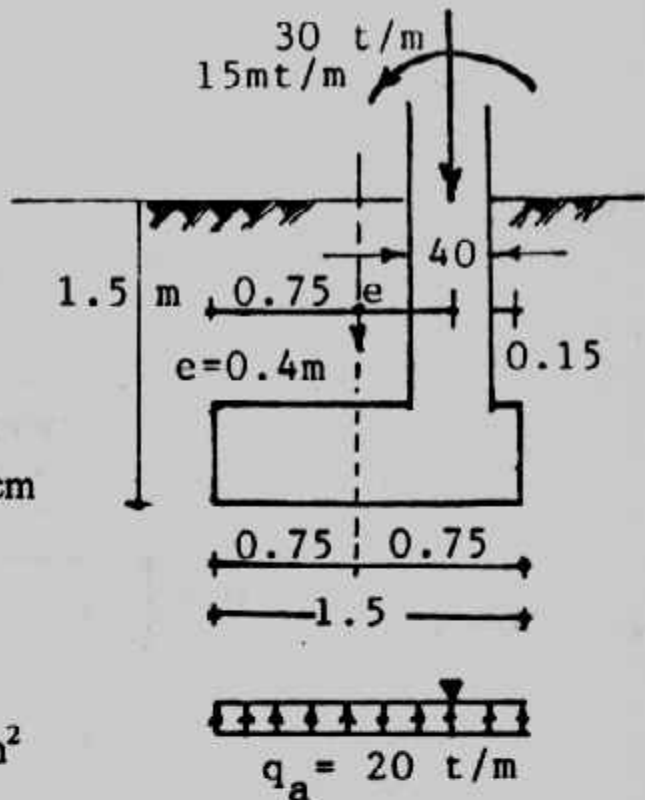
$$A_s = 0.3 \times 19.2 = 5.76 \text{ cm}^2$$

$$q_b = 20 \times 0.95 = 19 \text{ t/m}$$

$$q_b = \frac{19 \times 10^3}{0.87 \times 38 \times 10 \times 1.6 \times \pi} = 11.43 \text{ kg/cm}^2 < 12 \text{ kg/cm}^2$$

use U-shape reinforcement

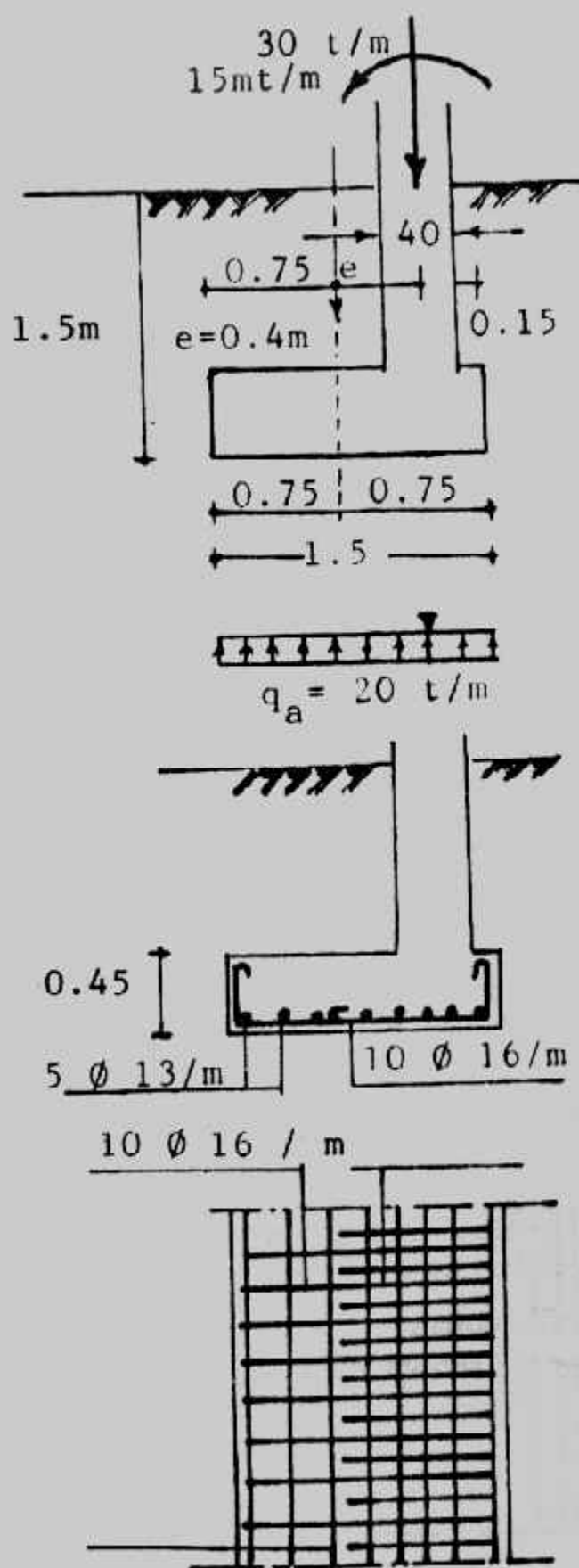
Details of footing are shown in Fig. (5-15)



شكل (١٤-٥) : أبعاد

استخدام القواعد الشريطية لحوائط المصاعد ولب المباني :

تستخدم القواعد الشريطية كأساس للحوائط الخرسانية للمصاعد سواء شكلها كان على شكل \square أو شكل L . كما تستخدم القواعد الشريطية للب Core المبني ولحوائط القص وتصعيم بنفس طرق التصميم السابق تقديمها .



شكل (١٥-٥) مثال (٦-٥) تفاصيل

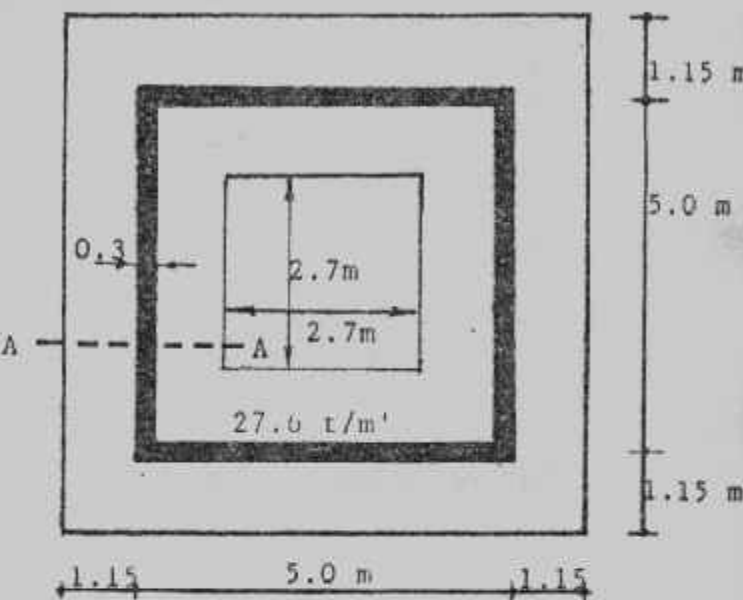
Example (5-7):

Design a footing for a buliding core carrying a load $30 \text{ t} / \text{m}^2$, Fig. (5-16). Net allowable bearing capacity is 15 kg/cm^2 . Take $f_c = 50 \text{ kg/cm}^2$, $f_s = 1400 \text{ kg/cm}^2$.

Solution :

$$\text{Total load} = 27.6 \times 5 \times 5 = 690 \text{ t}$$

take the area of footing as shown in Fig. (5-16)



$$A = 7.3 \times 7.3 - 2.7 \times 2.7 = 46 \text{ m}^2$$

$$q = \frac{690}{46} = 15 \text{ t/m}^2 = q_{\text{na}}$$

$$M = 15 \times 1^2 / 2 = 7.5 \text{ mt/m}$$

$$d = 0.361 \sqrt{\frac{7.5 \times 10^5}{100}} = 31.25 \text{ cm}^2$$

take $t = 40 \text{ cm}$, $d = 33 \text{ cm}$

$$A_s = \frac{7.5 \times 10^5}{1237 \times 33} = 18.37 \text{ cm}^2$$

$$A_{\text{min}} = 0.002 \times 100 \times 33 = 6.6 \text{ cm}^2$$

take $10 \phi 16$

$$A_s = 18.37 \times 0.3 = 5.51 \text{ cm}^2 \text{ take } 5 \phi 13/\text{m}$$

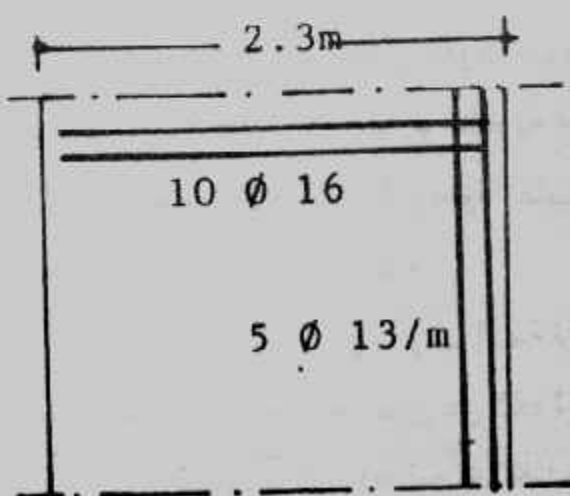
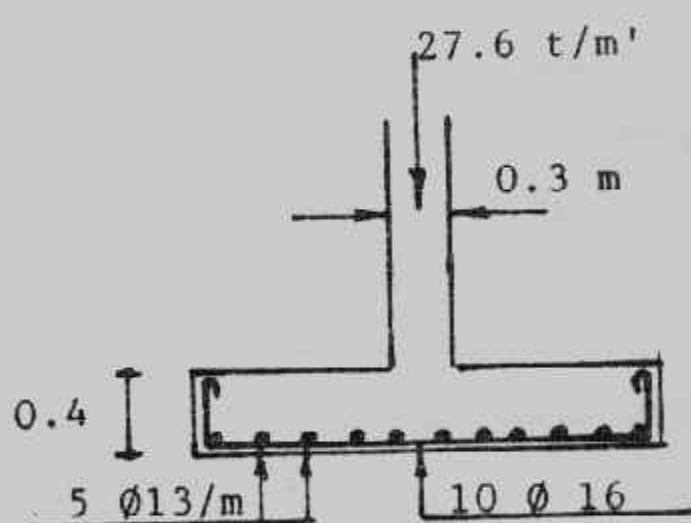
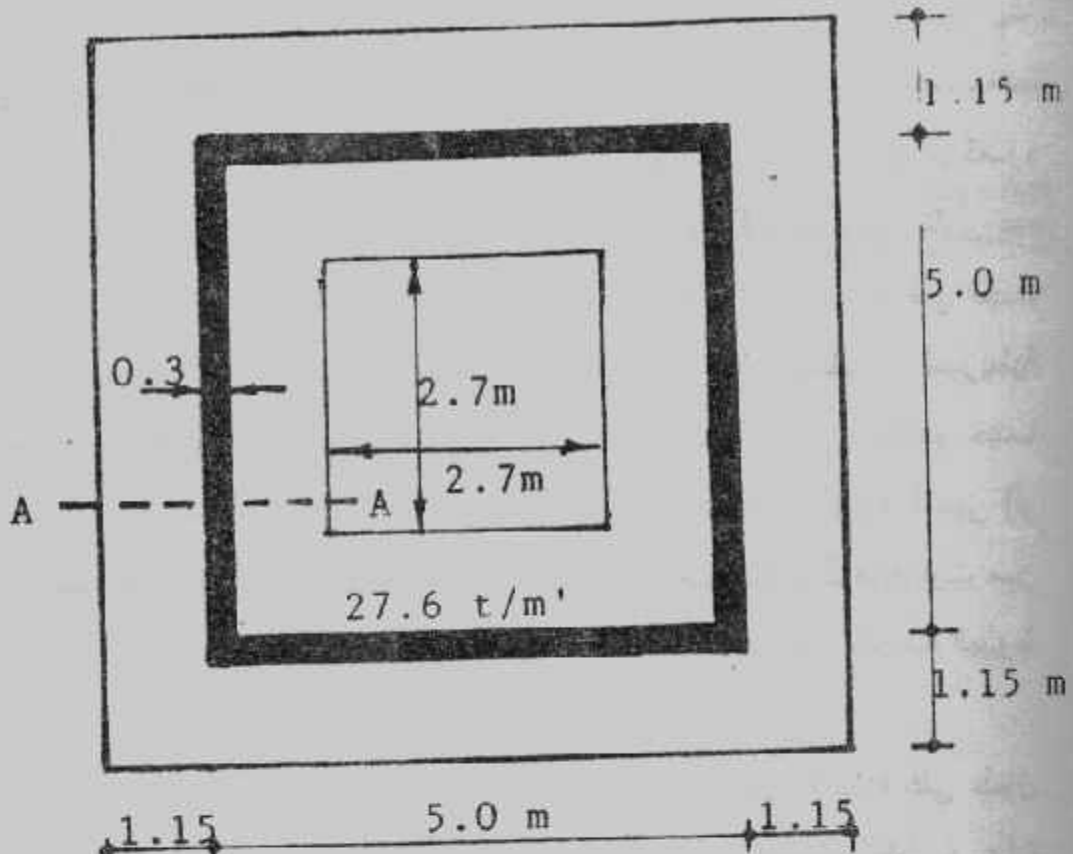
$$Q_b = 15 \times 1 = 15 \text{ t/m}$$

$$q_b = \frac{15 \times 1000}{0.87 \times 33 \times 10 \times 1.6 \times \pi} = 10.39 < 12 \text{ kg/cm}^2$$

use U-shape reinforcement

Details of footing are shown in Fig. (5-17)

شكل (٥-٥) أبعاد



Sec. A - A

شكل (١٧-٥) مثال (٧-٥) تفاصيل.

يمكن استخدام الأساسات الشريطية للتأسيس تحت صفوف الأعمدة باستخدام كمرة مستمرة بينهم وفي هذه الحالة يسمى الأساس بالشرطي على شكل حرف T مقلوب وقد تكون هذه الأساسات الشريطية في اتجاه المحاور الطولية أو في اتجاه المحاور العرضية أو في اتجاه المحورين معاً، والحالة الأخيرة تقترب من حالة اللبسة الكمرية. و تستعمل الأساسات الشريطية كحل وسط بين الأساسات المنفصلة وبين أساسات اللبسة ولذا فالأساسات الشريطية تستخدم حينما يكون جهد التربة ضعيفاً أو متوسطاً، كما تستخدم الأساسات الشريطية لمقاومة الهبوط النسبي (أو المتفاوت) لترابة التأسيس حيث أن الأساسات الشريطية أكثر مقاومة للهبوط المتفاوت من الأساسات المنفصلة وتقع الأساسات الشريطية في المرتبة الثانية بعد اللبسة في مقاومة الهبوط المتفاوت.

وتصميم الأساسات الشريطية ذات المحور الواحد على تحمل أحجام الأعمدة على طول محورها، أما الأساسات الشريطية ذات المحورين أو الأساسات الشريطية المتقاطعة فتصمم عادة على افتراض أن كل محور أو اتجاه يحمل حمل العمود كله أي لا يحدث توزيع لحمل العمود في الاتجاهين ورغم أن هذا الافتراض لا يتفق مع الواقع الفعلى إلا أنه يغطي جميع احتمالات التصميم المختلفة، أما طرق التصميم المتقدمة والأكثر دقة فيتم فيها توزيع حمل العمود على الاتجاهين ويصمم كل محور أو اتجاه على الأحمال الفعلية الواردة إليه من الأعمدة، وهذه الطرق المتقدمة تحتاج إلى دراسات دقيقة في حساب ضغط التماس، وتحتاج أسلوب تصميم الأساسات الشريطية حسب جساعتها المطلوبة وفقاً لطبيعة تربة التأسيس والهبوط المتفاوت المتوقع، وسوف نعرض هنا أسلوبين لتصميم الأساسات الشريطية :

- **الأسلوب الأول** (في المثال ٨-٥) يتمثل في تصميم الأساسات الشريطية على أنها غير عالية الجسام، وهي تستخدم للتربة المجانسة أو القوية والتي لا يخشى حدوث هبوط متفاوت بها، كما تستخدم حينما تكون أحجام الأعمدة وبمحورها عديدة متساوية أو متقاربة القيمة.
- **الأسلوب الثاني** (في المثال ٩-٥) يتمثل في تصميم الأساسات الشريطية عالية الجسام وهي تستخدم للتربة الضعيفة أو الغير متجانسة وفي المحور قليلة العدد، وسوف نقدم أسلوب آخر لتصميم أكثر تقدماً وأدق في أبواب قادمة إن شاء الله، وجدير بالذكر أن الأساس الشرطي الذي نحن بصدده يتكون من شفة أو بلاطة خرسانية مسلحة تتدخل معها كمرة رأسية مستمرة وتصمم الشفة أو البلاطة المسلحة كما جاء بهذا الباب

و على اعتبار ان الكمرة تمثل الحاطن، أما الكمرة المستمرة فتصصم على أنها مرتكزة على الأعمدة
 و تصصم مقاطعها على أنها Rectangular section أو T-section

Example (5-8) :

Design a footing of row of columns shown in Fig. (5-18). Net allowable bearing capacity is 1.5 kg/cm². Take f_c = 60 kg/cm, f_s = 1400 kg/cm²

Solution :

Design of slab :

$$\text{Area} = \frac{3 \times 120 + 2 \times 80}{15} = \frac{360 + 160}{15} = \frac{520}{15} = 34.67 \text{ m}^2$$

$$B = \frac{34.67}{4 \times 6} = 1.44 \text{ m, take } B = 1.5 \text{ m, take } B = 1.5 \text{ m}$$

$$q = \frac{520}{1.5 \times 4 \times 6} = 14.44 \text{ t/m}^2$$

$$C = (1.5 - 0.4)/2 = 0.55 \text{ m}$$

$$M = 14.44 \times 0.55^2/2 = 2.18 \text{ mt}$$

$$d_m = 0.315 \sqrt{\frac{2.18 \times 10^5}{100}} = 14.71 \text{ cm}^2$$

$$Q_{sh} = (0.55 - d_{sh}) 14.4$$

$$d_{sh} = \frac{Q_{sh}}{b \times q_s} = \frac{(0.55 - d_{sh})}{1 \times 50}$$

$$d_{sh} = 0.123 \text{ m}$$

$$\text{take } t = 30 \text{ cm, } d = 0.23 \text{ m}$$

$$A_s = 2.18 \times 105 / 1237 \times 23 = 7.66 \text{ cm}^2$$

$$A_{smin} = 0.002 \times 100 \times 23 = 4.6 \text{ cm}^2$$

$$\text{take } 6 \phi 13/\text{m' } (7.96 \text{ cm}^2)$$

$$A_s = 0.25 \times 7.66 = 1.915 \text{ cm}^2$$

$$\text{take } 4 \phi 13/\text{m'}$$

$$Q_b = 14.4 \times 0.55 = 7.92 \text{ t}$$

$$q_b = \frac{7.92 \times 1000}{0.87 \times 23 \times 6 \pi \times 1.3} = 12.23 \text{ t/m}^2$$

$$\text{take } 8 \phi 13/\text{m' with L-shape, then } q_b = 9.17 \text{ t/m}^2$$

Design of beam :

The beam is designed as a rectangular section load /m' = $\frac{520}{24} = 21.67 \text{ t/m'}$

the moment calculated by

$$M = ql^2/12 = 21.67 \times 62/12 = 65 \text{ mt}$$

$$d = 0.315 \text{ cm}, d = 128 \text{ cm}$$

$$A_s = \frac{65 \times 10^3}{1217 \times 128} = 41.73 \text{ cm}^2$$

use 11 $\phi 22$

The critical sect. of shear is at d from the face of edge column

$$Q_{sh} = 47.93 \text{ t}$$

$$q_{sh} = \frac{47.93 \times 1000}{40 \times 128} = 9.36 \text{ kg/cm}^2$$

use 4 branches stirrup $\phi 10$ at 15 cm in shear zone

$$q_{st} = \frac{4 \times 0.785 \times 1400}{15 \times 40} = 7.33 \text{ kg/cm}^2$$

The remainder can be resisted by bent up bar 4 $\phi 22$.

The details of footing are given in Fig. (5-18)

Example (5-9):

Design a continuous strip footing for the three columns given in Fig. (5-19). The net allowable bearing capacity is 1.3 kg/cm, $f_c = 60 \text{ kg/cm}^2$, $f_s = 2000 \text{ kg/cm}^2$, $q_{sh} = 6 \text{ kg/cm}^2$

Solution :

$$R = 120 + 80 + 1000 = 300 \text{ t}$$

$$X = \frac{120 \times 5 + 100 \times 11}{300} = 5.67 \text{ m}$$

$$e = 5.67 - 5.00 - 0.67 \text{ m}$$

$$A = 300/13 = 23.08 \text{ m}^2$$

$$\text{From Fig. (5-19)} L = 11.94 \text{ m}$$

$$B = \frac{23.08}{11.94} = 1.93 \text{ m} \quad \text{taken } 2.0 \text{ m}$$

$$q = \frac{300}{11.94 \times 2} = 12.56 \text{ t/m}^2$$

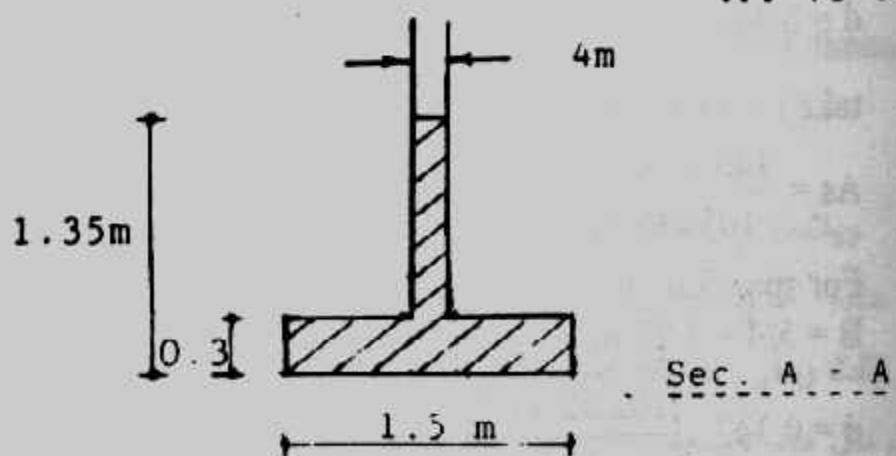
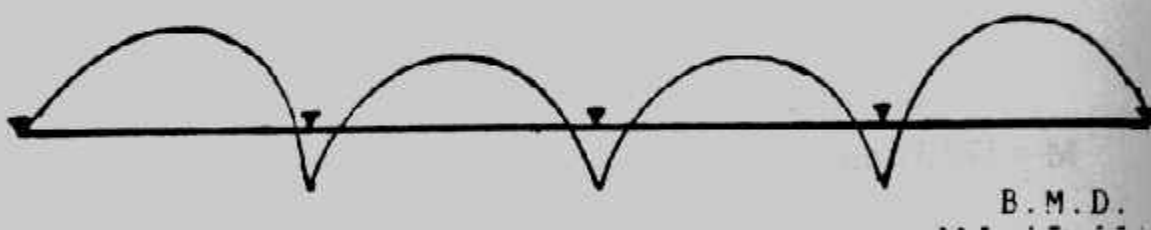
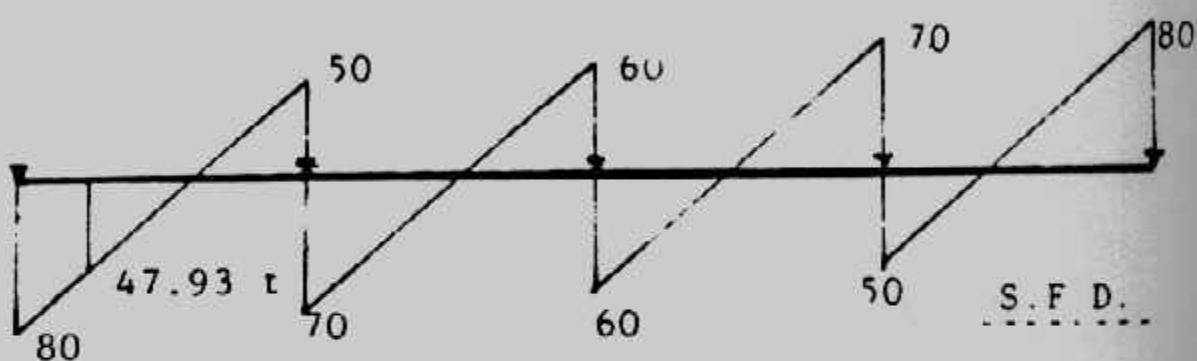
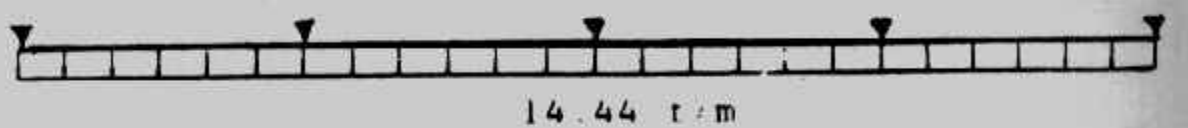
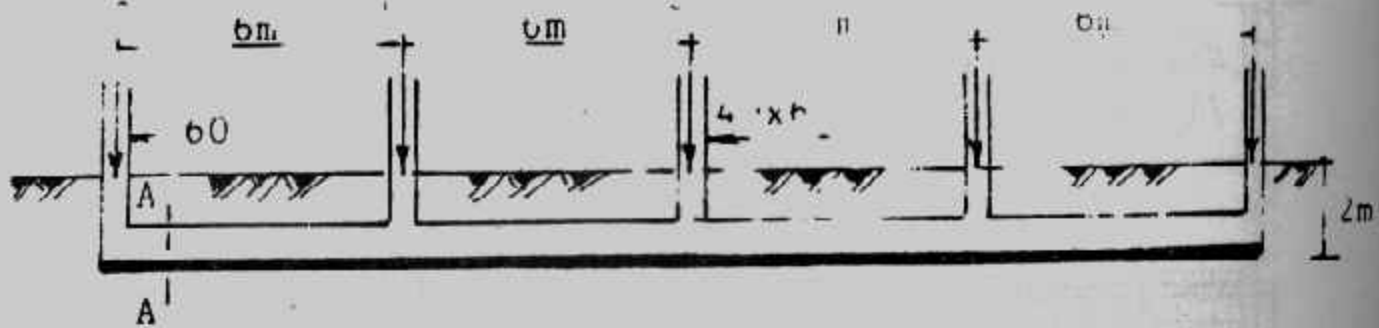
Design of beam

If the footing is very rigid, the contact pressure can be assumed as uniformly distributed and the beam is statically determined. The internal forces are shown in Fig. (5-19). The beam is designed as a T-sec. The effective width B of T-section equals the smallest of the width of slab or 4 times breadth of beam web or 1/4 of smallest span.

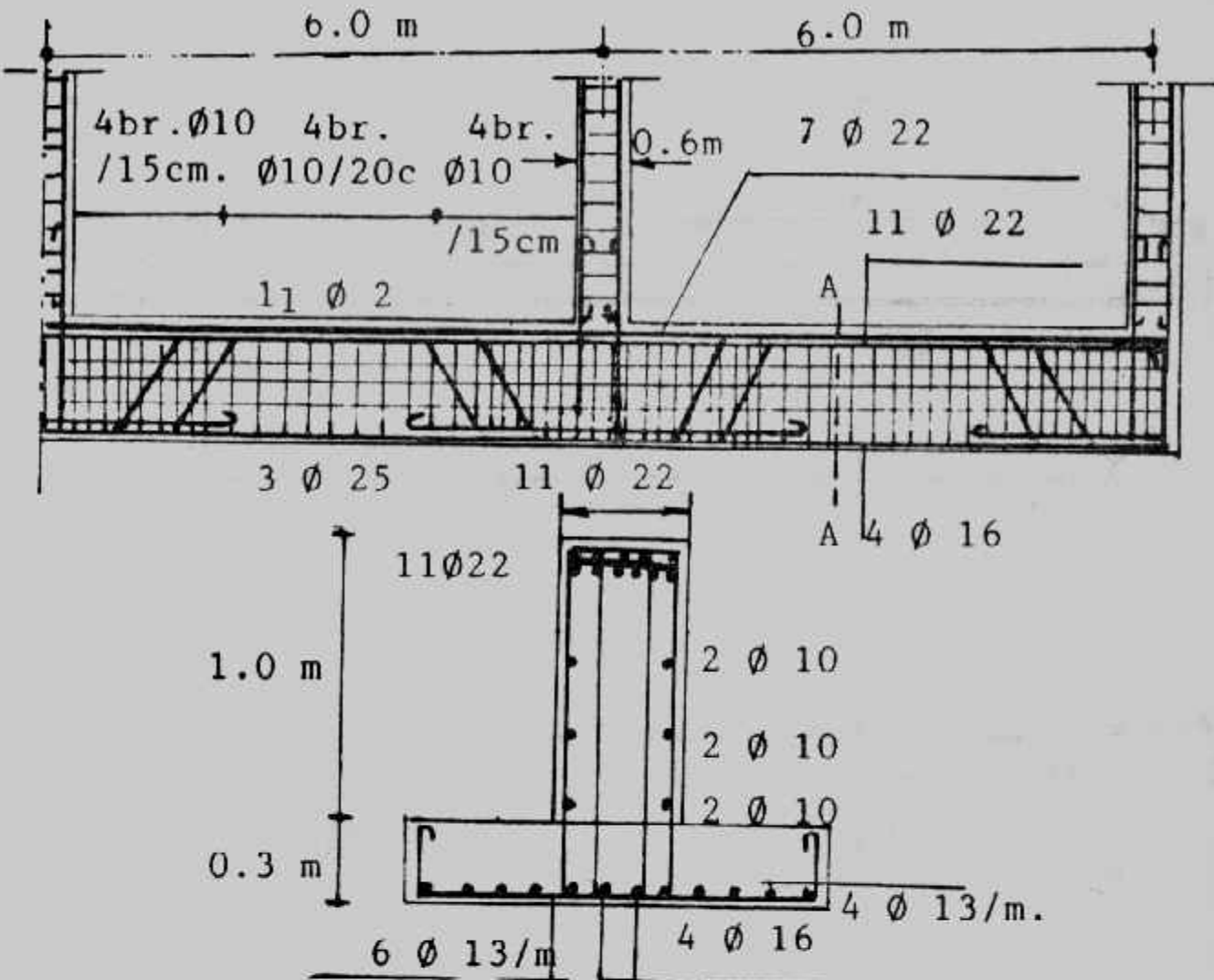
For span 6.0 m.

$$B_{\text{slab}} = 2.00 \text{ m} \quad \text{or } 4 \times 0.5 = 2.00 \text{ or } 6/4 = 1.5 \text{ m}$$

take $B = 1.5 \text{ m}$ (the smallest value).



شكل (١٥) مثل (١٨) ابعاد وتفاصيل .



تابع شكل (١٨-٥): مثال (٨-٥) أبعاد وتفاصيل

$$M = 133.37 \text{ mt}$$

$$d = 0.347 \quad \sqrt{\frac{133.37 \times 10^5}{150}} = 103.5 \text{ cm}$$

take $t = 110$ and $d = 105 \text{ cm}$

$$A_s = \frac{133.37 \times 10^5}{105 \times 1804} = 70.4 \text{ cm}^2 \quad 15 \phi 25$$

For span 5.0 ms

$$B = 5/4 = 1.25 \text{ m}$$

$$d = 0.347 \sqrt{\frac{102.32 \times 10^5}{125}} = 99.28 \text{ cm}$$

take the same thickness $t = 110 \text{ cm}$, and $d = 105 \text{ cm}$

$$A_s = \frac{102.32 \times 10}{1804 \times 105} = 54 \text{ cm}^2 \quad 11 \phi 25$$

The critical section of shear is at d from the face of edge column.

$$Q_{sh \max} = 57.53 \text{ t}$$

$$q_{sh} = \frac{57.53 \times 1000}{50 \times 105} = 10.96 \text{ kg/cm}^2$$

use 4 branches stirrup $\phi 10$ at 15 cm in shear zone :

$$q_{st} = \frac{4 \times 0.785 \times 2000}{15 \times 50} = 8.37 \text{ kg/cm}^2$$

The remainder can be resisted by bent up bars.

Design of slab

$$C = (25 - 0.5)/2 = 0.75 \text{ m}$$

$$M = 12.56 \times 0.75^2 / 2 = 3.53 \text{ mt}$$

$$d_m = 0.347 \sqrt{\frac{3.53 \times 10^5}{100}} = 20.62 \text{ cm}$$

$$Q_{sh} = (0.75 - d_{sh}) 12.56$$

$$d_{sh} = \frac{Q_{sh}}{b \times q_s} = \frac{(0.75 - d_{sh})}{1 \times 60}$$

$$d_{sh} = 0.13 \text{ m}$$

$$\text{take } t = 30 \text{ cm}, \quad d = 0.23 \text{ cm}$$

$$A_s = 3.53 \times 105 / 1804 \times 23 = 4.6 \text{ cm}^2$$

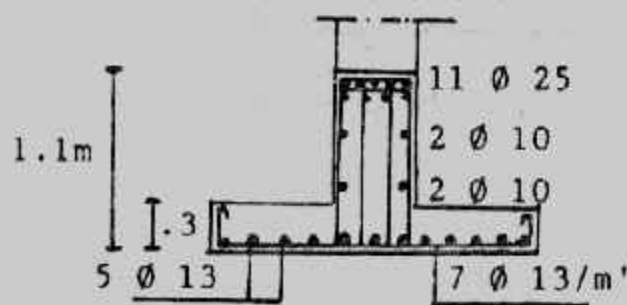
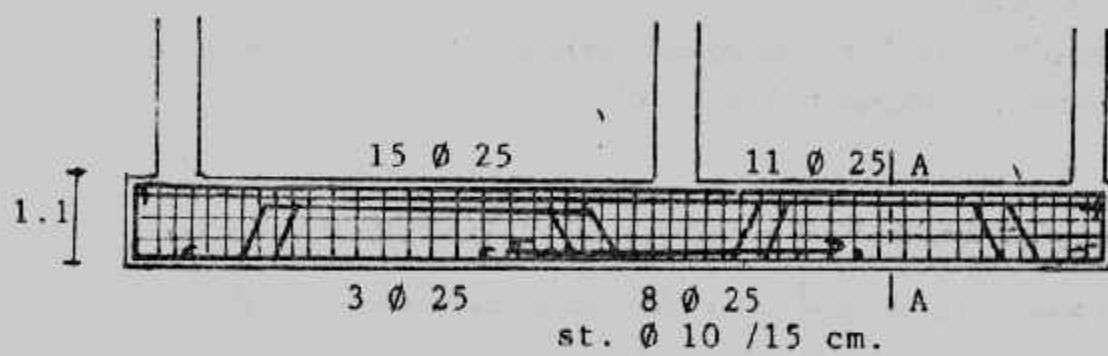
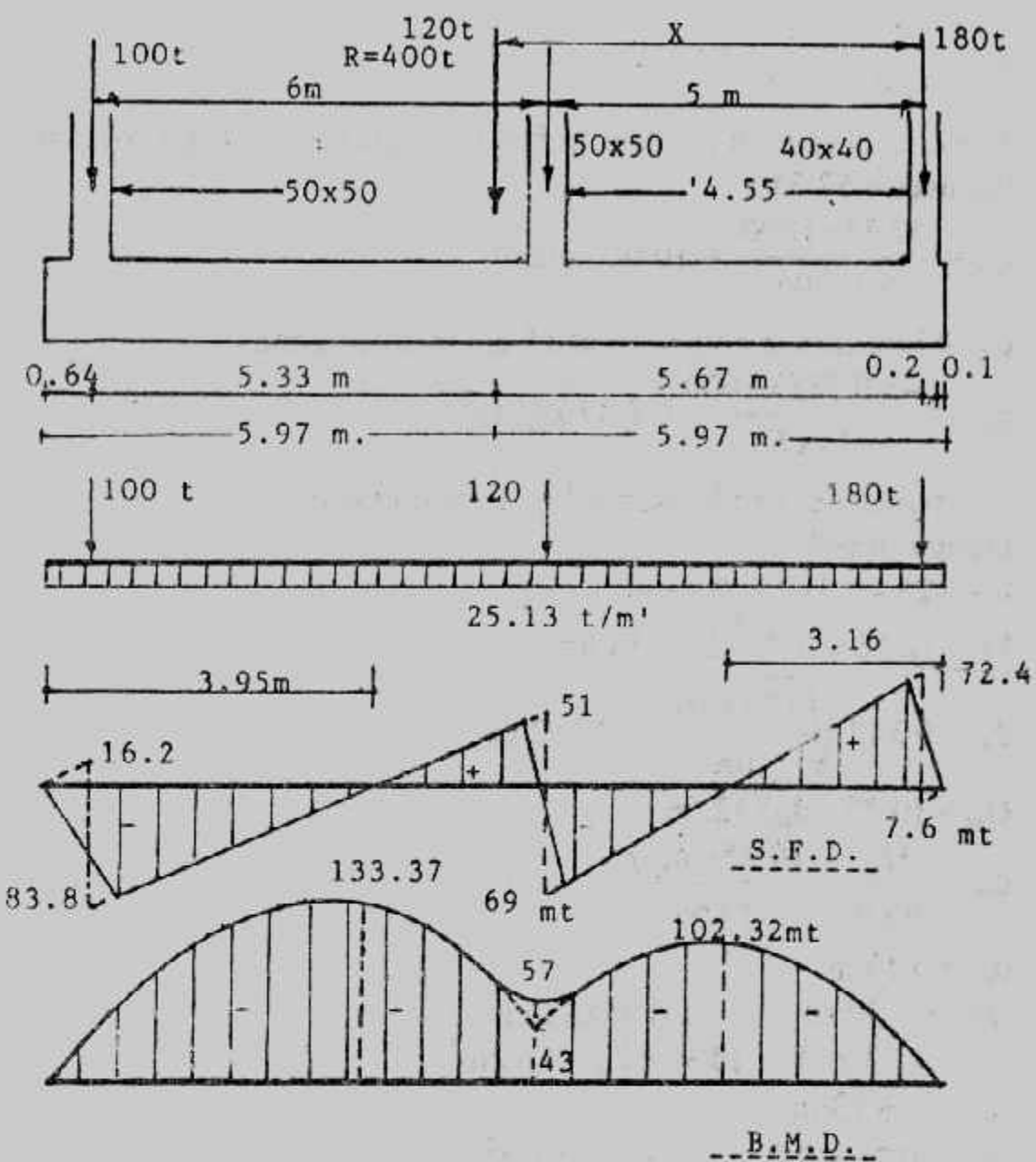
$$\text{take } 7 \phi 13/\text{m}^2$$

$$A_s = 0.25 \times 8.5 = 2.125 \text{ cm}^2$$

$$\text{take } 4 \phi 13/\text{m}^2$$

The deformation bars will be safe in bond. The details of dimensions and reinforcements are shown in Fig. (5-19).

ويلاحظ من المثال السابق أن افتراض التوزيع المنظم لضغط التماس يعطى عادة قوى داخلية عالية. أما إذا تم تصميم هذا الأساس ككرة على أساس مرن فإن عزم الانحناء ينخفض بمقدار الثلث وعلى ذلك فإن كمية الخرسانية والتسلیح تتحفظان بمقدار ٢٠٪ ولذا فإننا ننصح بتصميم مثل هذه الأساسات على أنها كرة على أساس مرن. وهذا ما سوف نتعرض له في أبواب قادمة مرة أخرى.

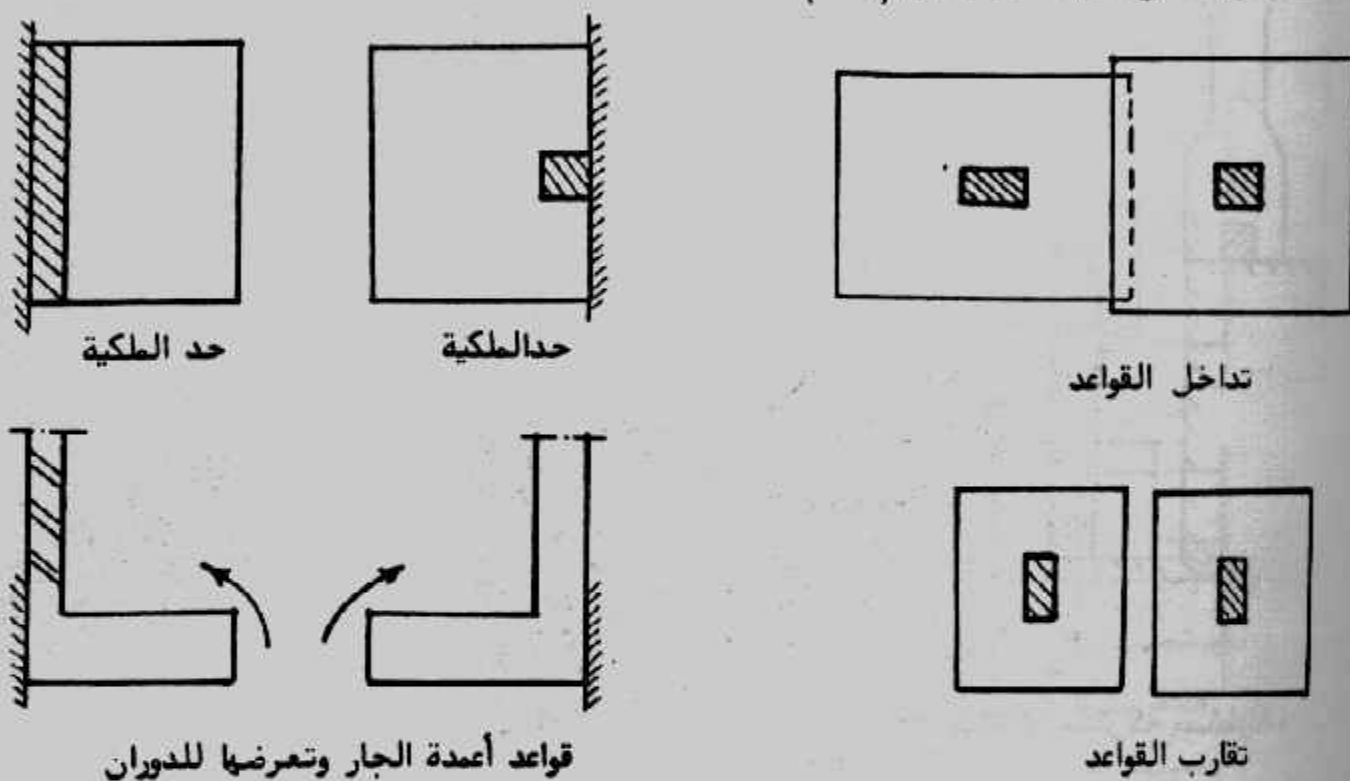


شكل (١٩-٥) مثال (٩-٥) أبعاد وتفاصيل .

الباب السادس

القواعد المشتركة Combined Footings

عند التأسيس باستخدام القواعد المنفصلة تظهر بعض المشاكل التي تحول دون استخدام أسلوب القواعد المنفصلة مثل تداخل قاعدين معاً، أو تقارب قاعدين لبعضهما، كما أن قواعد أعمدة الجار تمثل مشكلة في حد ذاتها حيث أنها معرضة للدوران لو تم تنفيذها كقواعد منفصلة شكل (٦-١) .



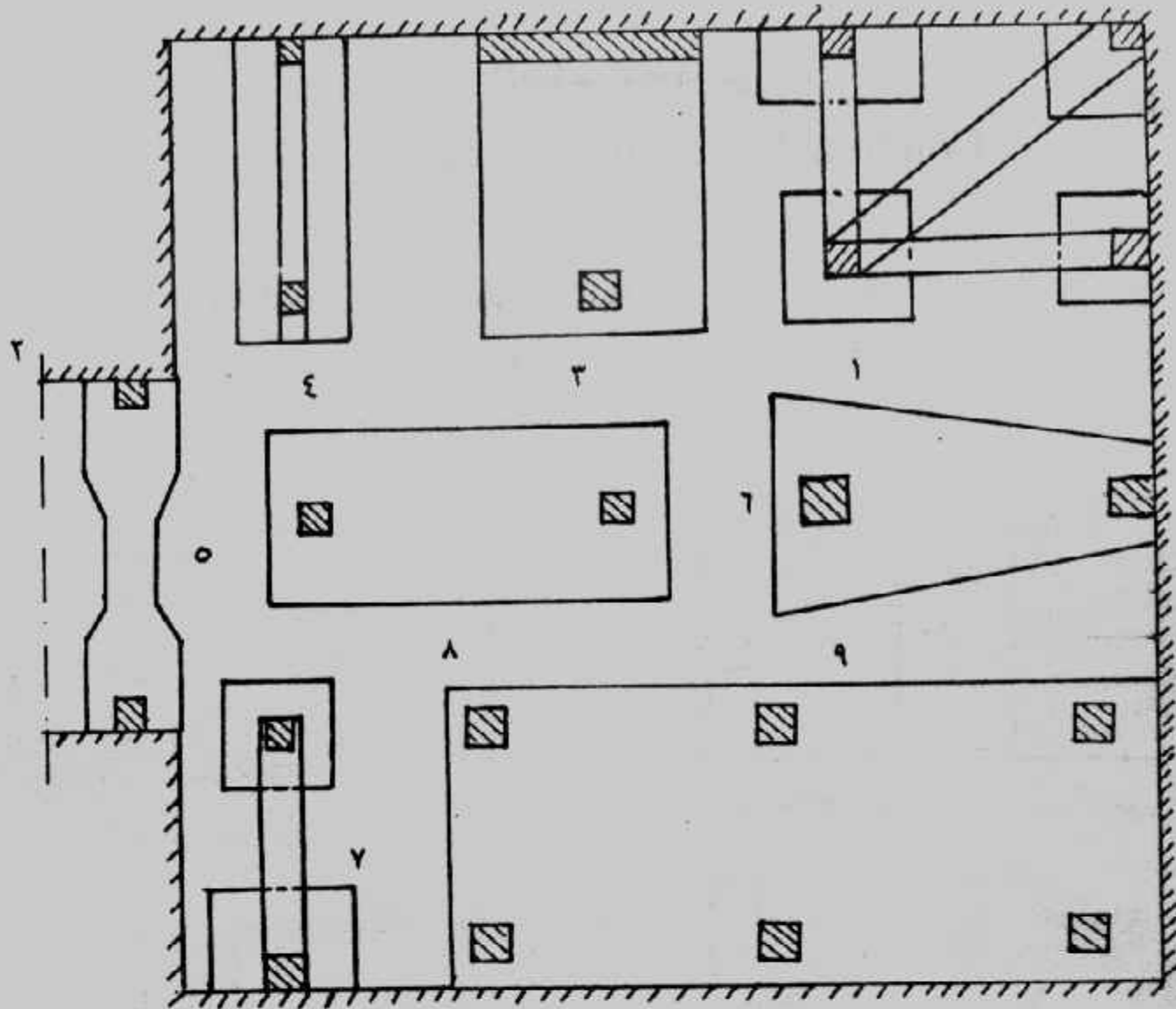
شكل (٦-١) مشاكل التأسيس بالقواعد المنفصلة

ويمكن التغلب على هذه المشاكل باستخدام نظام التأسيس بالقواعد المشتركة، والقواعد المشتركة يمكن تعريفها بأنها قاعدة أو أساس واحد تحمل أكثر من عمود على نفس الخط، والقواعد المشتركة تصنف من الأساسات السطحية.

وتأخذ القواعد المشتركة أشكالاً متعددة موضحة بمجملها في شكل (٢-٦)

ويمفردها في شكل (٣-٦) وأكثر أشكالها استخداماً هي :

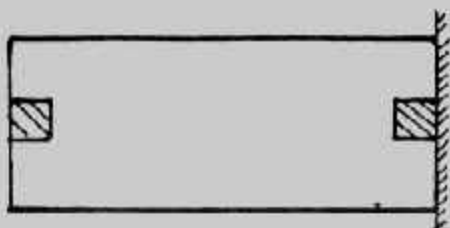
- قواعد مشتركة مستطيلة الشكل Rectangular combined footing
- قواعد مشتركة شبه منحرف الشكل Trapizoidal combined footing
- قواعد مشتركة كابولية (strap footing)



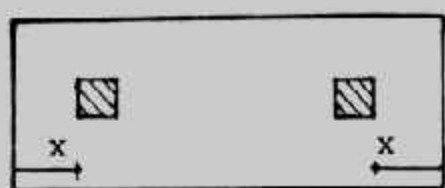
شكل (٢-٦) القواعد المشتركة واللبسة .

- ١- قاعدة مشتركة مستطيلة داخلية .
- ٢- قاعدة جار مشتركة مستطيلة .
- ٣- قاعدة حاطن جار مشتركة مع عمود .
- ٤- قاعدة مشتركة بـ T مقبولة (أو قاعدة مشتركة بكمرة) .
- ٥- قاعدة مشتركة غير منتظمة .
- ٦- قاعدة مشتركة شبه منحرف .
- ٧- قواعد مشتركة كابولييه معاً .
- ٨- قواعد مشتركة كابولييه معاً .
- ٩- لبسة .

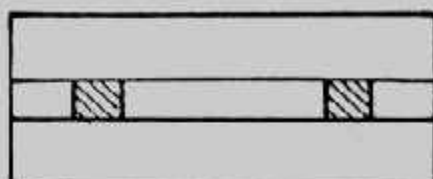
والقواعد المشتركة تستخدم حينما لا تسمح المسافة بين عمودين باستخدام قواعد منفصلة ، أو حينما يوجد عمود خارجي على حد الملكية لا يصلح معه تنفيذ أساس منفصل فيتم ربط هذا العمود الخارجي بأخر داخلي باى نظام من أنظمة القواعد المشتركة حيث يمكن التغلب على الامرکزية في الأساس المنفصل الخارجي التي قد تسبب دوران أو هبوط متفاوت كبير أو زيادة كبيرة في الاجهادات المنقوله إلى التربة قد تفوق قدرة تحملها . وشكل (٤-٦) يبين أنواع القواعد المستخدمة في ربط عمود الجار بعمود آخر داخلي .



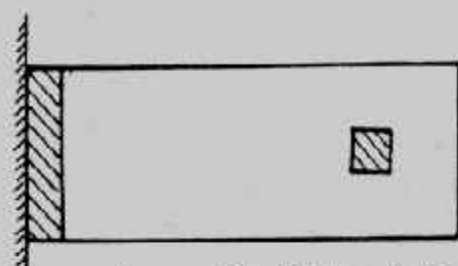
قاعدة مشتركة لعمود جار



قاعدة مشتركة داخلية (أو متماثلة)



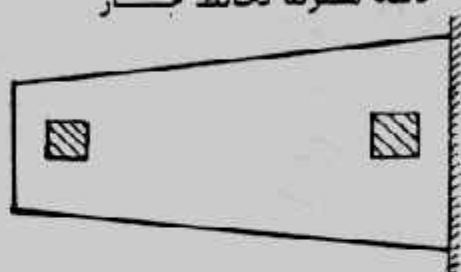
قاعدة مشتركة بكرة



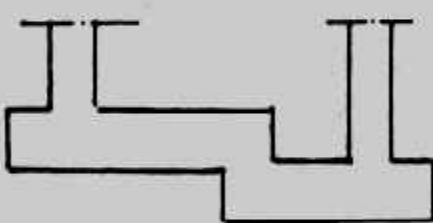
قاعدة مشتركة لحائط جار



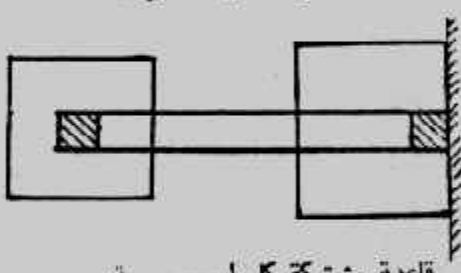
قاعدة مشتركة غير منتظمة



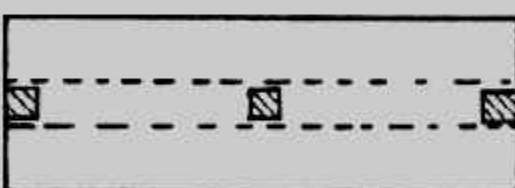
قاعدة مشتركة شبه محرف



قاعدة مشتركة غير مستوية



قاعدة مشتركة كابولي

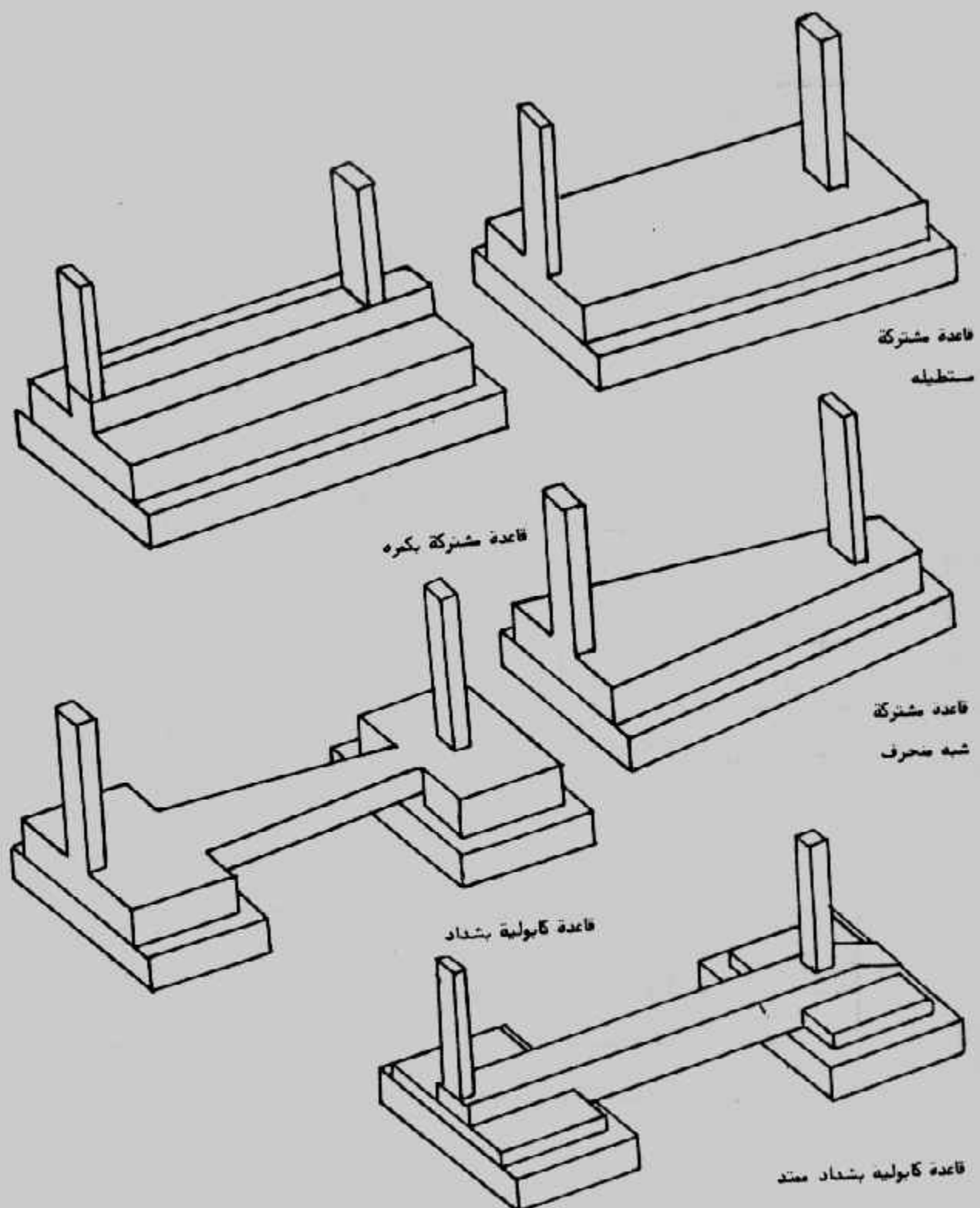


قاعدة مشتركة صفراء (بكرة وبدون)



قاعدة مشتركة لحائطيين

شكل (٣-٦) : أنواع القواعد المشتركة



شكل (٤-٦): القواعد المشتركة لربط عمود الجار بآخر داخلي

$$\bar{X} = P_2 S/R$$

ويمكن تحديد نصف طول الأساس $L/2$ من :

$$L/2 = X + Y_1$$

$$L = 2(\bar{X} + Y_1)$$

ويجب مراعاة أن قيمة Y_1 معلومة من :

$$Y_1 = y + (a_1/2)$$

حيث لا يقع على حد الملكية وهذا القيمة تساوى صفرًا لو أن وجه العمود الخارجي يقع على حد الملكية تماماً. كما يجب ملاحظة عدم المبالغة في تقرير الطول L تجنبًا لحدوث إجهادات غير منتظمة للتوزيع أسفل الأساس ولذلك فيكفي التقرير لأقرب ٥ سم أو ١٠ سم.

٢- تحديد عرض الأساس من :

$$B = \frac{R}{q_{ns}} \quad \text{or} \quad B = \frac{R_t}{q_s}$$

ونقرب B لأقرب ٥ سم.

٣- يعين جهد التصميم من :

$$q = \frac{R}{L \times B}$$

٤- تعتبر القاعدة المشتركة محددة استاتيكياً ولذا يمكن رسم مخطط قوى القص ثم يعين مكان القص المساو للصفر Zero shear.

٥- يرسم مخطط عزم الانحناء ويعلن أقصى انحناء المقابل للقص الصفرى.

٦- يحدد عمق الأساس المقاوم للعزم d_m وكذلك المقاوم للقص d_h بدون تسليح للقص.

ويحدد العمق المقاوم للعزم باستخدام العزم الأقصى M_{max} كما أن المقطع الحرج للقص يكون على مسافة d من وجه العمود الذي له قص أكبر (العمود أو الحمل الأكبر أى الداخلى)، شكل (٦-٦) كما يجب تحديد عمق الأساس المقاوم للقص الثاقب d_p علماً بأن المقطع الحرج للقص الثاقب يقع على بعد $d/2$ حول العمود كما هو مبين بشكل (٧-٦) وتحسب قوى القص الثاقب كما يأتي :

$$Q_{p1} = P_1 - q(b_1 + d_p)(a_1 + d_p/2 + y)$$

$$Q_{p2} = P_2 - q(b_2 + d_p)(a_2 + d_p)$$

وأما عمق القص الثاقب فيحسب من :

$$d_p = Q_p / q_p \cdot \Sigma$$

حيث Σ هو محيط المقطع الحرج وهو في هذه الحالة.

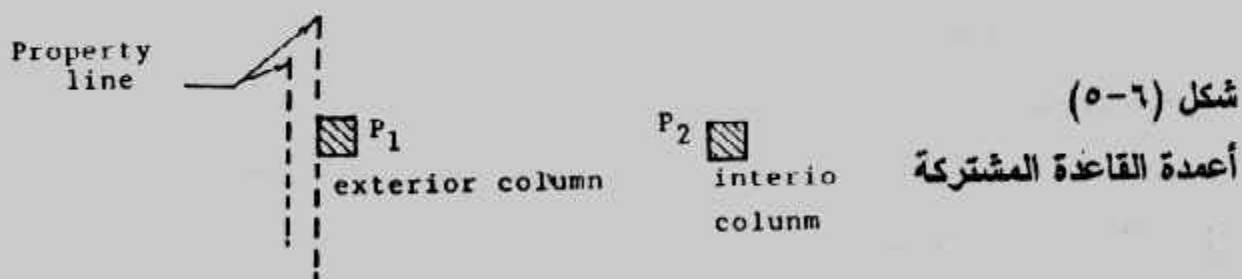
وعادة ما تقسم القواعد المشتركة على اعتبار أن القاعدة نفسها عالية الجسامية Rigid Beam on an elastic media أو على اعتبار القاعدة تمثل كرة على وسط مرن والاعتبار الأول يمثل الطريقة التقليدية في التصميم حيث يفترض أن محصلة الأحمال الواسطة من الأعمدة لقاعدة المشتركة تؤثر في مركز تقل هذه القاعدة مما يضمن التوزيع المنظم للإجهادات على التربة، أما الاعتبار الثاني فهو الأكثر دقة ويحتاج إلى مجهود أكبر في التصميم كما أنه يحتاج إلى طرق تحليل عالية المستوى بالإضافة إلى ضرورة استخدام الحاسوبات الآلية في الحل.

وسوف نركز في هذا الباب على الاعتبار الأول في التصميم وهي القواعد المشتركة الجاسنة، وسوف نركز في باب قادم على الاعتبار الثاني في التصميم. ويجب ملاحظة أن القواعد المشتركة في الاعتبار التقليدي للتصميم ولأى عدد من الأعمدة تعتبر محددة استاتيكيا حيث أحتمل الأعمدة معروفة وهي تمثل ردود أفعال الدعامات (إلى أسفل) أما الأحمال فهي جهد التربة المنتظم والمؤثر من أسفل إلى أعلى.

تصميم القواعد المشتركة المستطيلة : Rectangular Combined Footings

تستخدم القواعد المشتركة المستطيلة في الحالات الآتية :

- حينما يحد العمود الخارجي حد ملكية أو جار أو خطوط مياه أو صرف أو أى عمل هندسى آخر يمثل عائقاً لامتداد أساسه المنفصل إذا نفذ له شكل (٥-٦).



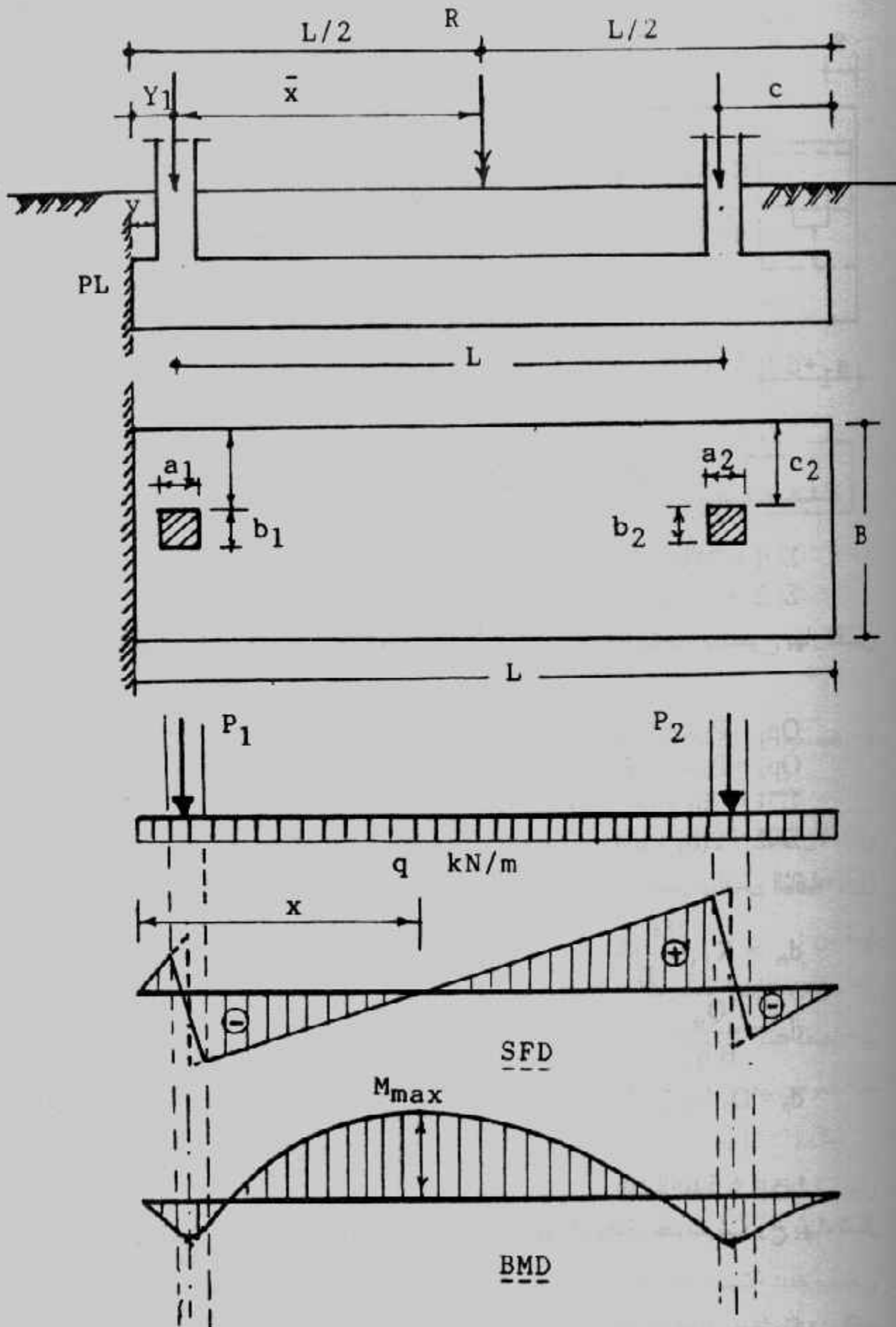
ويشترط أن يكون حمل العمود الخارجي أقل من حمل العمود الداخلي

$$P_1 < P_2$$

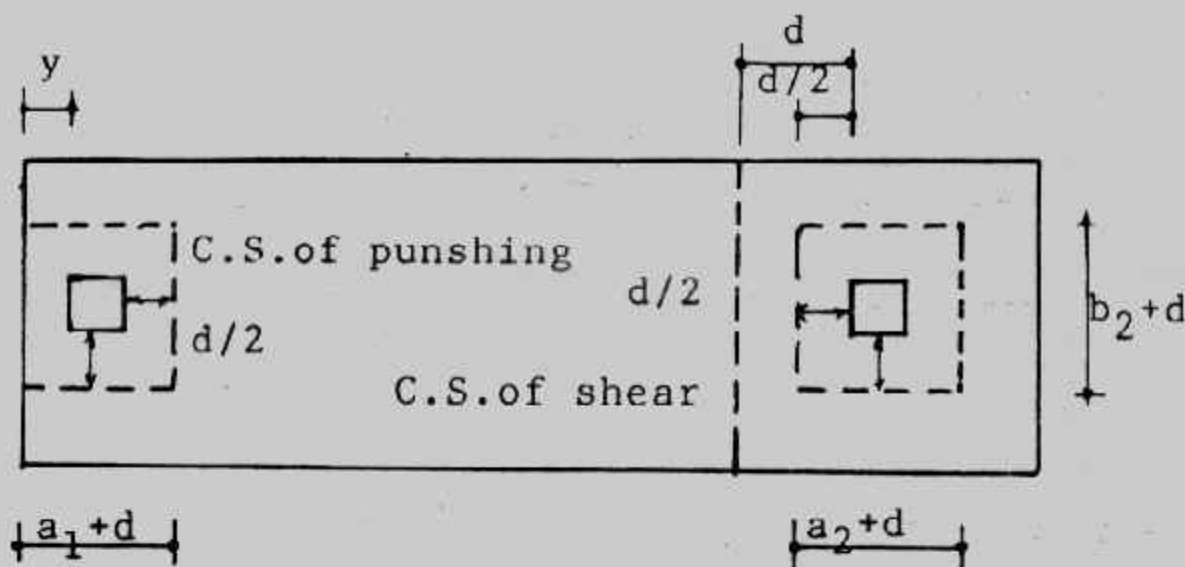
- حينما تكون المسافة بين عمودين داخليين لا تسمح بتنفيذ أساس منفصل لكل منها. ويبين شكل (٦-٦) خطوات تصميم القواعد المشتركة المستطيلة باستخدام إجهادات التشغيل والتي تمثل في الخطوات الآتية :

١- تعين محصلة أحمال الأعمدة R وكذلك نقطة تأثيرها \bar{X}

$$R = P_1 + P_2$$



شكل (٦-٦) : القاعدة المشتركة المستطيلة



شكل (٦-٧) : مقاطع القص والقص الثاقب

$$\Sigma \square 1 = 2(b_1 + d_p) + (a_1 + dp/2 + y)$$

$$\Sigma \square 2 = 2[(b_2 + d_p) + (a_2 + d_p)]$$

كما يمكن أخذ المقطع الحرج حول العمود مباشرة مع زيادة الاجهادات المسموحة بها للقص الثاقب وفي هذه الحالة يكون :

$$Q_{p1} = P_1 - q b_1 a_1$$

$$Q_{p2} = P_2 - q b_2 a_2$$

$$\Sigma \square 1 = 2b_1 + (a_1 + y)$$

$$\Sigma \square 2 = 2(b_2 + a_2)$$

ويختار أكبر عمق d من القيم الثلاثة للسمك المعينة من العزم والقص والقص الثاقب.

$$d_m = K_1 \sqrt{\frac{M_{\max}}{B}}$$

$$d_{sh} = \frac{Q_{sh}}{B \cdot q_{sh}}$$

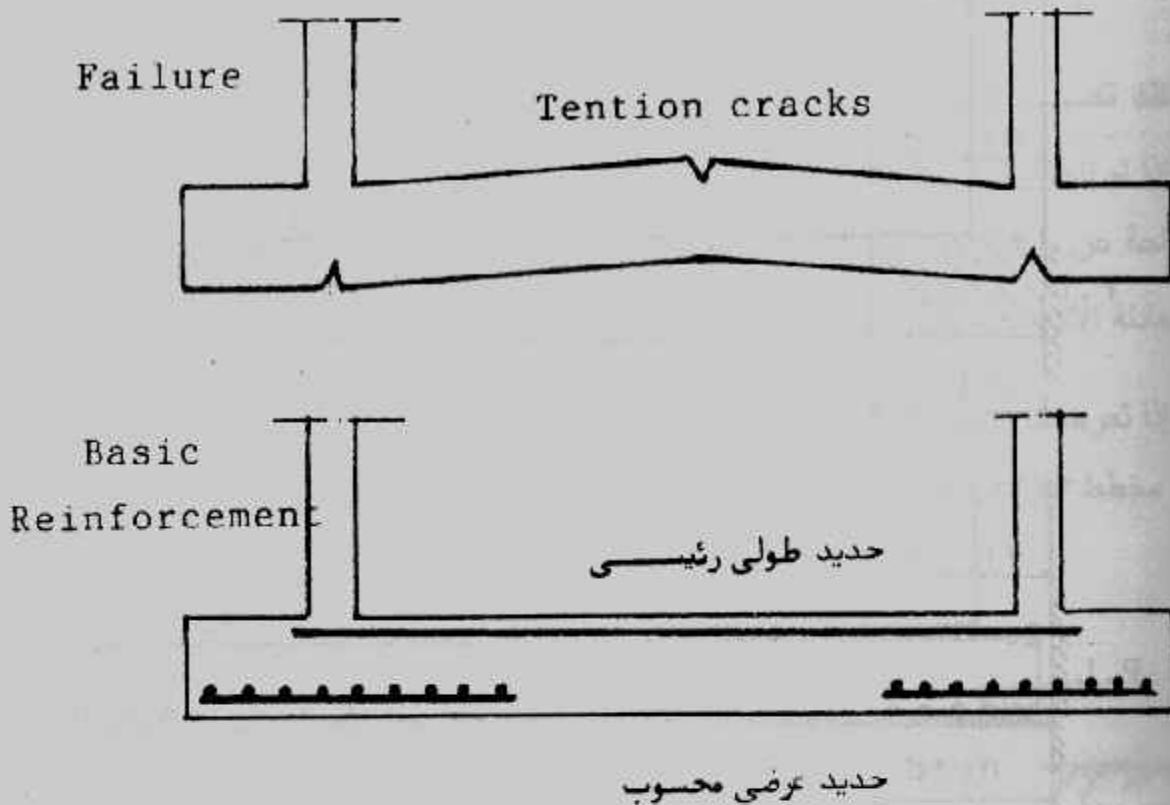
$$d_p = Q_p / q_p \cdot \Sigma \square$$

تم تعين تخانة الأساس t من :

$$t = d + 5 \text{ to } 8 \text{ cm}$$

٧- يحسب الحديد الطولى الرئيسي وهو يعطى المناطق المحتمل حدوث شروخ بها، شكل (٨-٦).

ويهمل هنا حساب قوى التماسك وبالتالي اجهادات التماسك حيث تكون القوى العظمى للعزوم متواجدة مع القطاع الحالى من قوى القص وهى نفسها تكون قوى التماسك.



شكل (٨-٦) : الانهيار والتسلیج الرئیسی

٨- التصميم في الاتجاه العرضي . Transverse Direction
تصمم القاعدة المشتركة في الاتجاه العرضي كقاعدة منفصلة لكل عمود على حدة وذلك لأن أحمال الأعمدة توزع في الاتجاه العرضي أيضا تحت الأعمدة وتعمل المنطقة تحت الأعمدة عرضيا ككرات مدفونة ويؤخذ عرض هذه الكرات العرضية المدفونة أقل قيمة من :

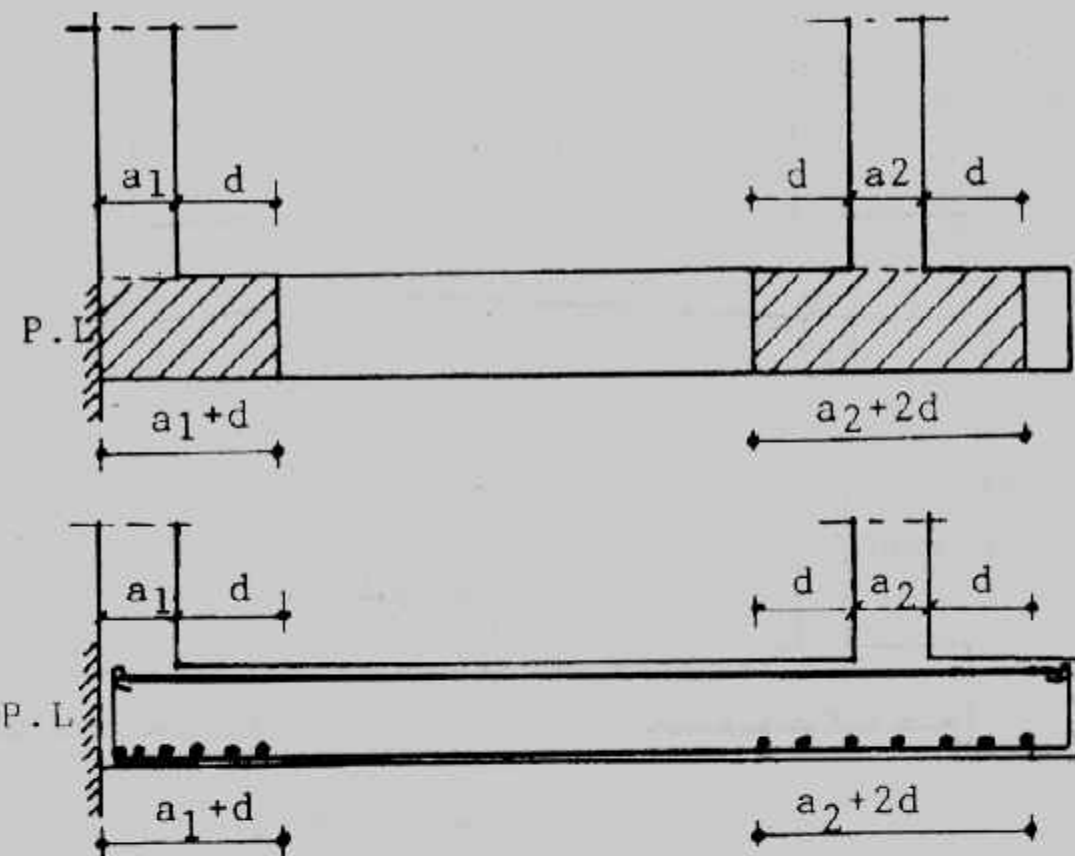
- أ - عرض القاعدة المشتركة B .
- ب- نصف بعْر العمودين المجاورين .
- ج- العرض المحدد بمسافة d من وجہی كل عمود بما فيها عرض العمود نفسه .

شكل (٩-٦) (يمكن هناأخذ $d/2$ بدلا من d كما جاء بكود ACI) .

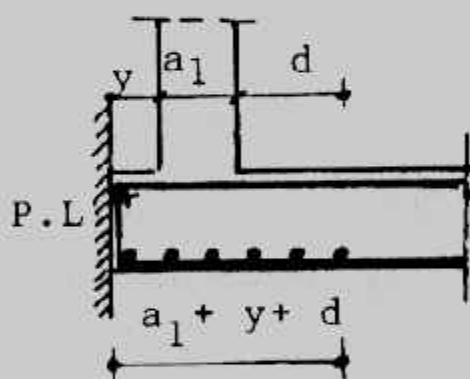
وتحسب العزوم العرضية من :

$$M_1 = P_1 C_1^2 / B , M_2 = P_2 C_2^2 / B$$

ويحسب حديد التسلیج اللازم للعزوم M_1 ويوضع أسفل الكمرة العرضية B_1 ويحسب حديد التسلیج اللازم للعزوم M_2 ويوضع أسفل الكمرة العرضية B_2 .



شكل (٦-٩) : عرض الكمرات
المدفونة عرضيا



اما الحديد العرضى العلوي والسفلى وكذلك الحديد الطولى فى المقاطع الأخرى الغير محسوبة فيوضع بالنسبة الأدنى التى تحقق وجود حديد بقيمة لا تقل عن 0.002 من مساحة أى مقطع .

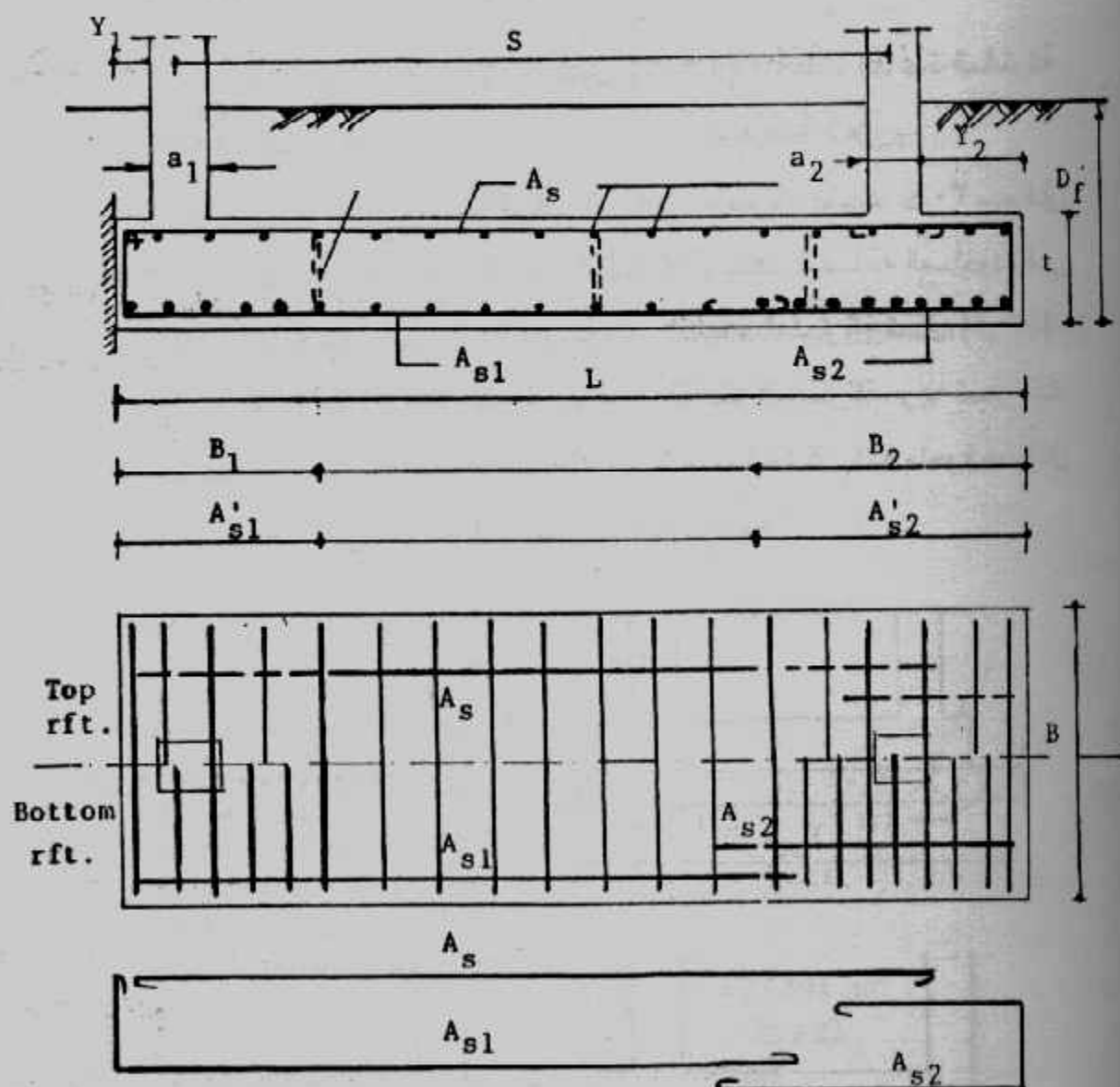
٩- توقع جميع الأبعاد الخرسانية وتفاصيل حديد التسلیح على رسومات هندسية تصصيلية مرسومة بمقاييس رسم مناسب شكل (٦-١٠) .

وعند تصميم القواعد المشتركة يجب ملاحظة الآتى :

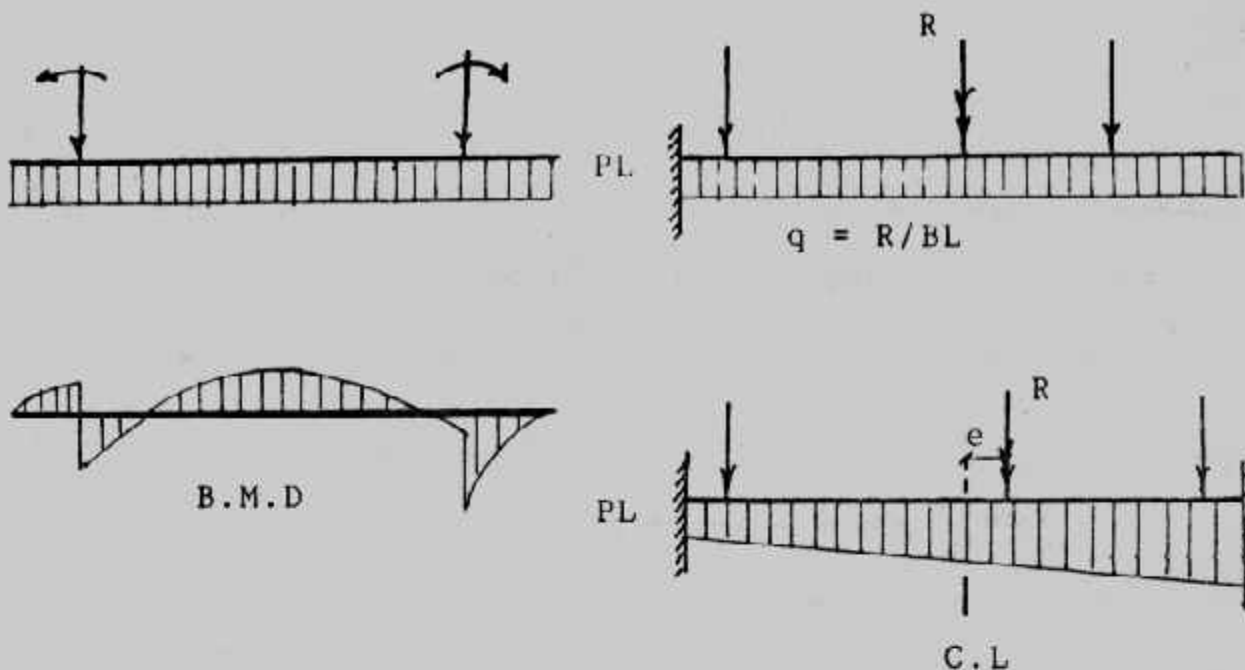
* إذا لم تتطبق محصلة الأحمال R على مركز نقل القاعدة فإن القاعدة تكون معرضة لقوة مزاحمة عن مركز النقل بمسافة e شكل (٦-١١) وتحسب اجهادات التربة أسفل الأساس من

$$q = \frac{R}{L \cdot B} \left(1 \pm \frac{6e}{L} \right) \quad \text{المعادلة الآتية :}$$

* إذا تعرضت أعمد القاعدة المشتركة لعزم فان هذه العزوم تدخل فى حساب ورسم مخطط العزوم للقاعدة . شكل (٦-١١) ثم تتفذ خطوات التصميم كما تقدم .

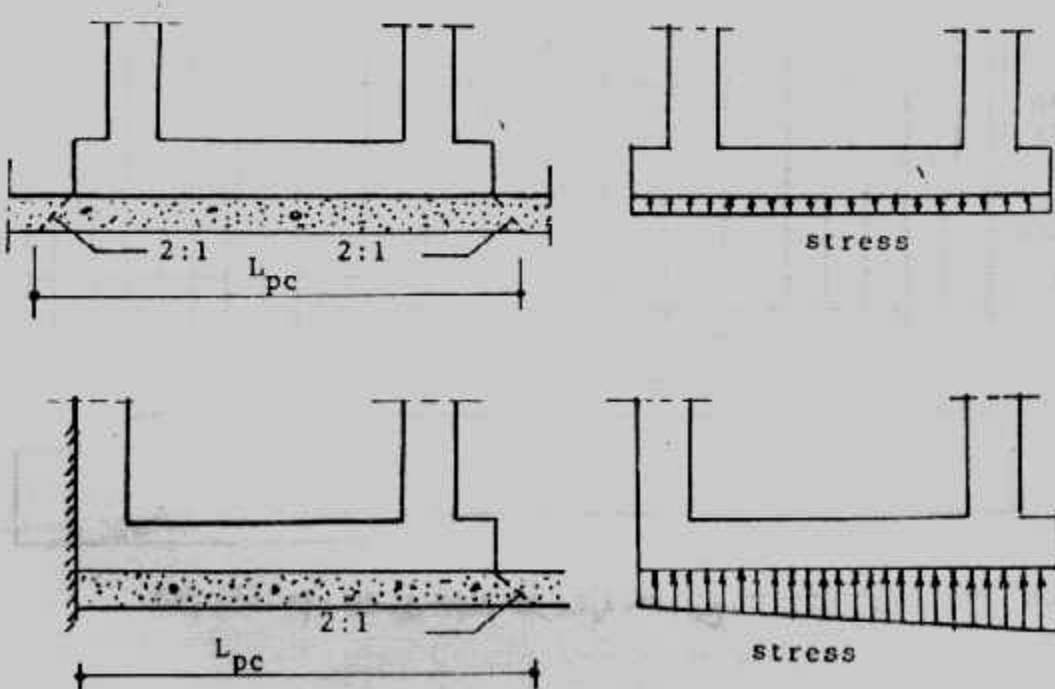


شكل (٦-١٠) : تفاصيل الأبعاد الخرسانية والتسلیح .



شكل (١٢-٦) : الأحمال غير المتمرزة على القاعدة المشتركة
المعرضة للعزوم .

عند استخدام لبنة من الخرسانة العادي أسفل القواعد المشتركة بسمك ≤ 30 سم فإن الخرسانة العادي تدخل في تصميم القاعدة المشتركة وتحدد المساحة المأخوذة في الاعتبار من هذه اللبنة من ميل ٢:١ من حدود القاعدة المشتركة شكل (١٣-٦). ويجب مراعاة المحافظة على انتظام الإجهادات أسفل القاعدة المشتركة، وإذا تعذر ذلك فتصمم القاعدة على الإجهادات الفعلية التي تأخذ في هذه الحالة شكل شبه منحرف، مثال (٦-٤) بينما الإجهادات على القواعد الخرسانية العادي منتظمة.



شكل (١٣-٦) : إدخال الخرسانة العادي في تصميم القاعدة المشتركة

Example (6-1) :

Design a combined footing for an exterior column 40×40 cm carrying a load of 90 t and interior column 60×40 carrying 140 t. The distance centre to centre of column is 4.5 m. The outside edge of the footing can be extension 40 cm beyond the outer face of the exterior column. The net allowable soil pressure is 1.5 kg/cm^2 . Data : $f_c = 50 \text{ kg/cm}^2$, $f_s = 1400 \text{ kg/cm}^2$, $q_{sh} = 6 \text{ kg/cm}^2$, $q_p = 8 \text{ kg/cm}^2$, $k_1 = 0.361$ and $k_2 = 1237$.

Solution :

From Fig. (6-14)

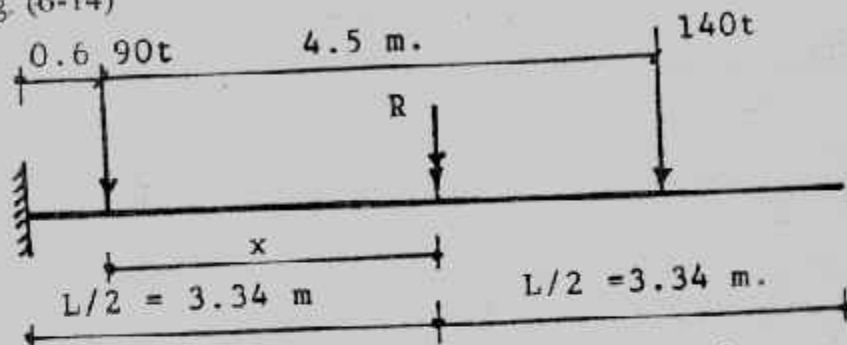


Fig. (6-14)

Taking moment about the centre line of exterior column gives :

$$230 \quad \bar{x} = 140 (4.5)$$

$$\bar{x} = 2.74 \text{ m}$$

$$L = (2.74 + 0.2 + 0.4) = 6.68 \text{ m}$$

$$A = 230 \div 15 = 15.333 \text{ m}^2$$

$$B = 15.333 \div 6.68 = 2.295 \text{ m} \quad \text{taken } 2.3 \text{ m}$$

$$q = 230 / (2.3 \times 6.68) = 14.97 \text{ t/m}^2$$

Shearing force and bending moment diagrams are drawn and shown in Fig. (6-15). To find the location of zero shear :

$$(14.97 \times 2.3) \cdot x' = 90$$

$$x' = 90 \div 34.43 = 2.614 \text{ m}$$

$$M_{max} = 34.431 \times 2.614/2 - 90 (2.614 - 0.6) = 63.627 \text{ mt}$$

$$d_m = 0.361 \sqrt{63.527 \times 10^5 / 230} = 60 \text{ cm}$$

Critical section of shear is at d from the face of interior column :

$$Q_{sh} = 75.272 - 34.431/d_{sh}$$

$$d_{sh} = \frac{75.272 - 34.431d_{sh}}{0.87 \times 60 \times 2.3}$$

$$120.06 d_{sh} = 75.275 - 34.431 d_{sh}$$

$$d_{sh} = 75.275 / 154.491 = 48.72 \text{ cm}$$

$$d_m > d_{sh}$$

$$\text{take } d = 60 \text{ cm, } t = 65 \text{ cm}$$

Longitudinal reinforcement :

$$A_s \text{ top} = M/k_2 d = 63.527 \times 10^5 / 1237 \times 60 = 85.593 \text{ cm}^2$$

22 ϕ 22

$$A_s \text{ bottom} = 28.2 \times 10^5 / 1237 \times 60 = 37.995 \text{ cm}^2$$

20 ϕ 16

Transverse direction :

$$\text{Load under interior column/m} = 90/203 = 39.3 \text{ t/m}$$

$$C_1 = (2.3 - 0.4)/2 = 0.95 \text{ m}$$

$$= 17.66 \text{ mt}$$

$$M_1 = 39.13 \times 0.95^2 / 2$$

$$A_{s1} = 17.66 \times 10^5 / 1237 \times 60 = 23.79 \text{ cm}^2$$

13 φ 16/1.4 m

$$\text{Load under interior column/m'} = 140/2.3 = 60.87 \text{ t/m'}$$

$$C_2 = (2.3 - 0.4)/2 = 0.95 \text{ m}$$

$$M_2 = 60.87 \times 0.95^2/2 = 27.47 \text{ mt}$$

$$A_{s2} = 27.47 \times 10^5 / 1237 \times 60 = 37.01 \text{ mt}$$

20 φ 16/1.08m

لاحظ هنا أخذنا مسافة d من وجه العمود لحساب عرض الكمرة المدفونة تحت كل عمود وذلك لكتلة كمية حديد التسلیح المستخدم في الكمرات المدفونة.

Check punching for interior column ($P = 140 \text{ t}$)

$$Q_{p1} = 140 - 14.97 (1.2 \times 1.00) = 122.04 \text{ t}$$

$$q_{p1} = \frac{122.04 \times 10^3}{60 \times 2(120 + 100)} = 4.62 \text{ kg/cm}^2 < 8 \text{ kg/cm}^2$$

Check punching for exterior column ($P = 90 \text{ t}$)

$$Q_{p2} = 90 - 14.97 (1.2 \times 1) = 75.1 \text{ t}$$

$$q_{p2} = \frac{75.1 \times 10^3}{60 \times 2(100 + 100)} = 3.13 \text{ kg/cm}^2 < 8 \text{ kg/cm}^2$$

Details are shown in Fig. (6-16)

Example (6-2) :

Two interior columns each $30 \times 50 \text{ cm}$ and carries a load of 90 t and reinforced by $8 \phi 19 \text{ mm}$, are to be supported by a rectangular combined footing of width equal to 2.5 m . The distance centre to centre of columns is 4.5 m . If the net allowable pressure on soil is 1.2 kg/cm^2 , design the footing using the following data

$$q_{sh} = 6 \text{ kg/cm}^2, q_p = 10 \text{ kg/cm}^2, f_c = 50 \text{ kg/cm}^2, \text{ and } f_s = 1400 \text{ kg/cm}^2$$

Solution :

$$R = 90 \times 2 = 180 \text{ t}$$

$$A = 180/120 = 15 \text{ m}^2$$

$$\text{take } B = 2.5 \text{ m}$$

$$L = 15/2.5 = 6 \text{ m}$$

$$q = 180/2.5 \times 6 = 12 \text{ t/m}^2$$

Shearing force diagram :

$$Q_1 = 30 \times 0.5 = 15 \text{ t}, \quad Q_2 = 90 - 30 \times 1 = 60 \text{ t}$$

Zero shear is at mid of foundation.

Bending moment diagram :

$$M_1 = 30 \times 0.52/2 = 3.75 \text{ mt}$$

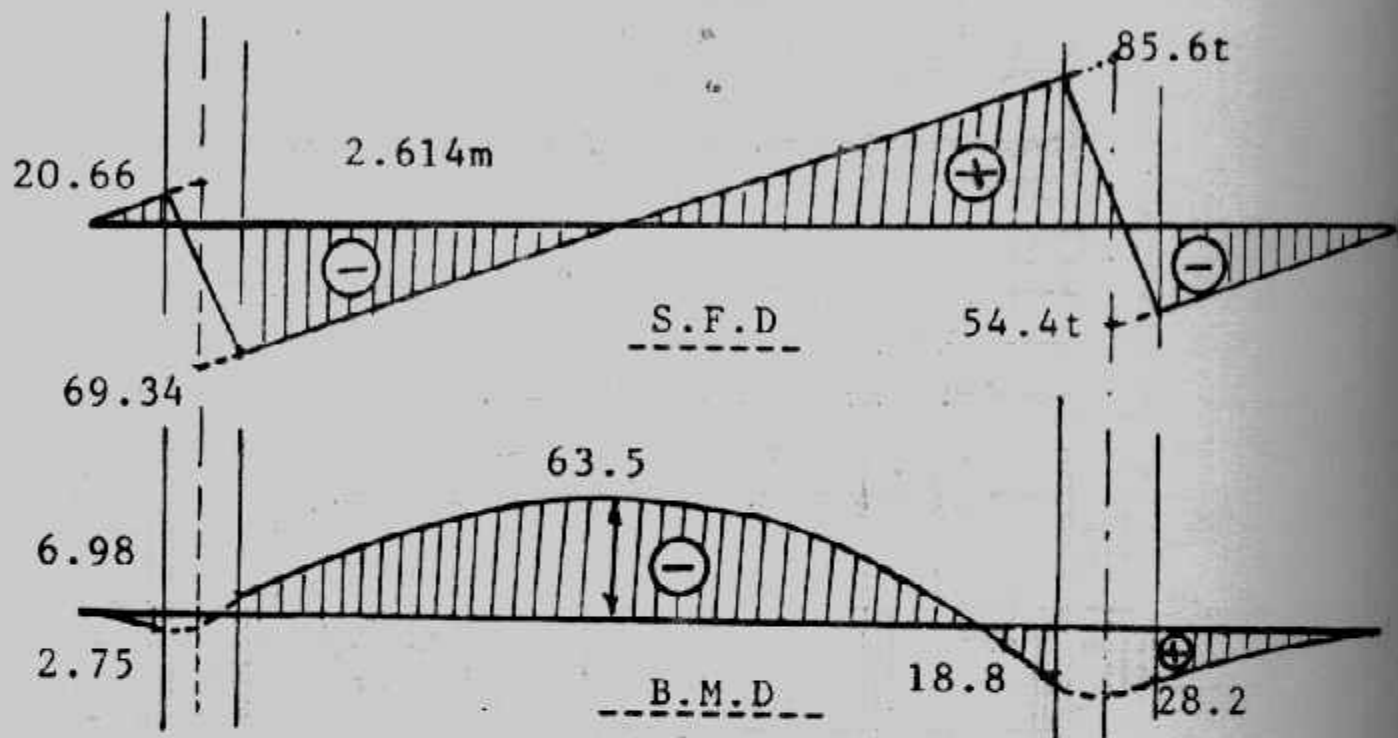
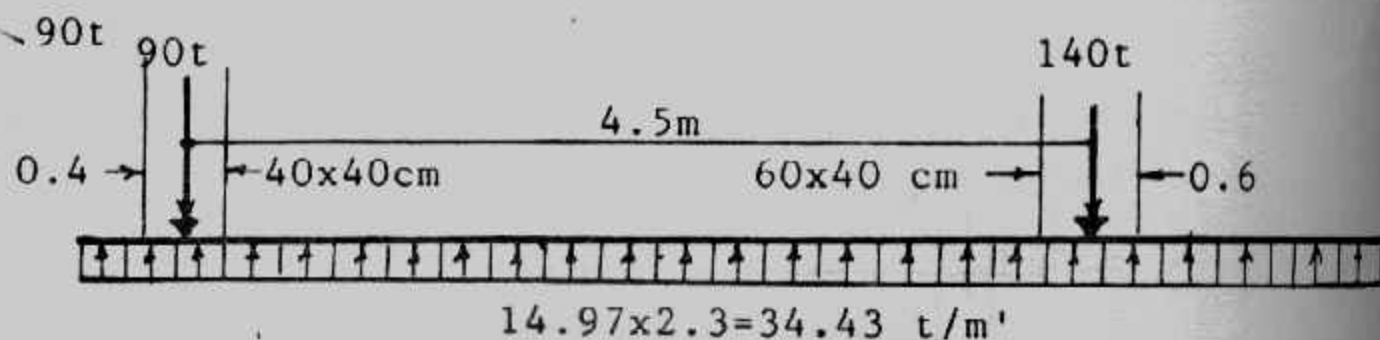
$$M_2 = 90 \times 0.25 - 30 \times 12/2 = 22.5 - 15 = 7.5 \text{ mt}$$

$$M_{\max} = 90 \times 2.25 - 30 \times 32/2 = 202.5 - 135 = 67.5 \text{ mt}$$

To find d_{sh} :

$$Q_{sh} = 60 - 2.5 \times 12 d = 60 - 30 d$$

$$d_{sh} = \frac{60 - 30 d_{sh}}{60 \times 2.5}$$



شكل (٦-١٥): القص والعزم في مثال (٦-٢)

$$150 d_{sh} = 60 - 30 d_{sh}$$

$$d_{sh} = 60/180 = 0.33 \text{ m}$$

Take critical section of punching at the face of column

$$Q_p = 90 - 12 \times 0.5 \times 0.3 = 88.2 \text{ t}$$

$$d_p = \frac{88.2 \times 10^3}{10 \times 2 (30 + 50)} = 55.125 \text{ cm}$$

$$d_m = 0.361 \sqrt{67.5 \times 10^5 / 250} = 59.32 \text{ cm}$$

take $t = 70 \text{ cm}$, $d = 63 \text{ cm}$

Longitudinal reinforcement

$$A_s \text{ top} = 67.5 \times 105 / 1237 \times 63 = 86.62 \text{ cm}^2$$

23 φ 22

$$A_s \text{ bottom} = 3.75 \times 103 / 1237 \times 63 = 4.8 \text{ cm}^2$$

Take 5 φ 13/m (as a minimum)

Short Direction :

$$\text{Load /m'} = 90/2.5 = 3 \text{ t/m'}$$

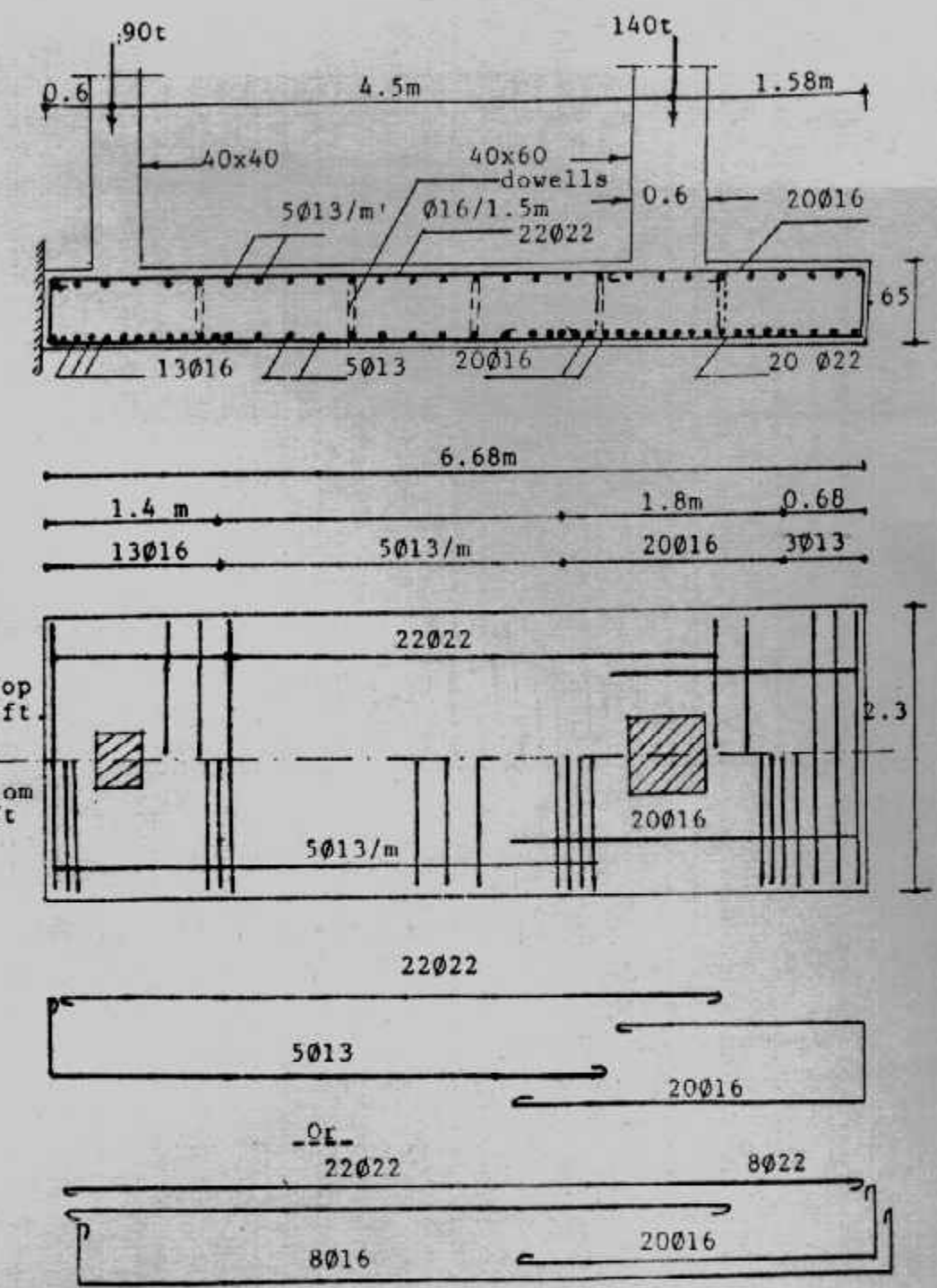
$$C_1 = C_2 = (2.5 - 0.3)/2 = 1.1 \text{ m}$$

$$M_1 = M_2 = 36 \times 1.12/2 = 21.78 \text{ mt/m'}$$

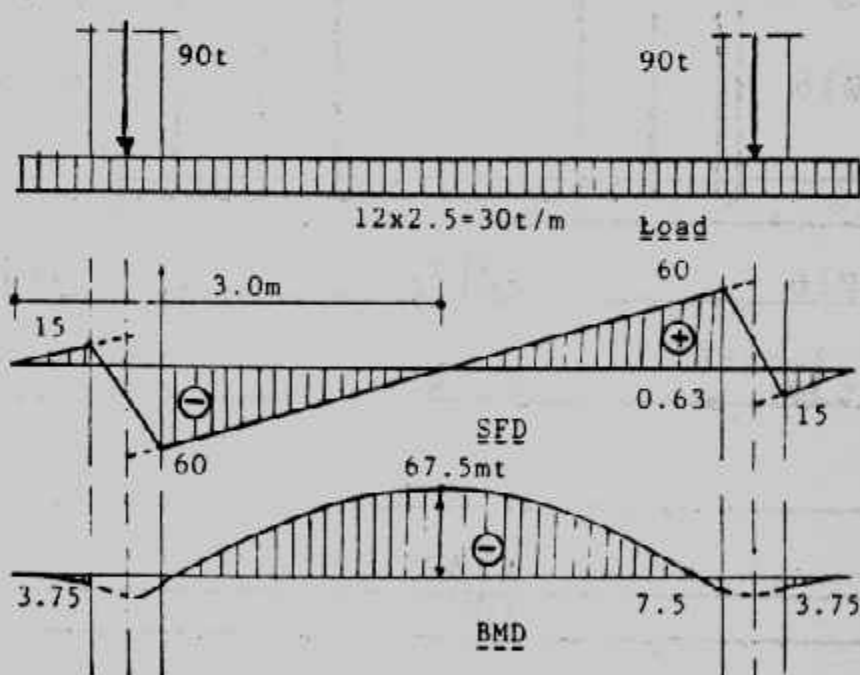
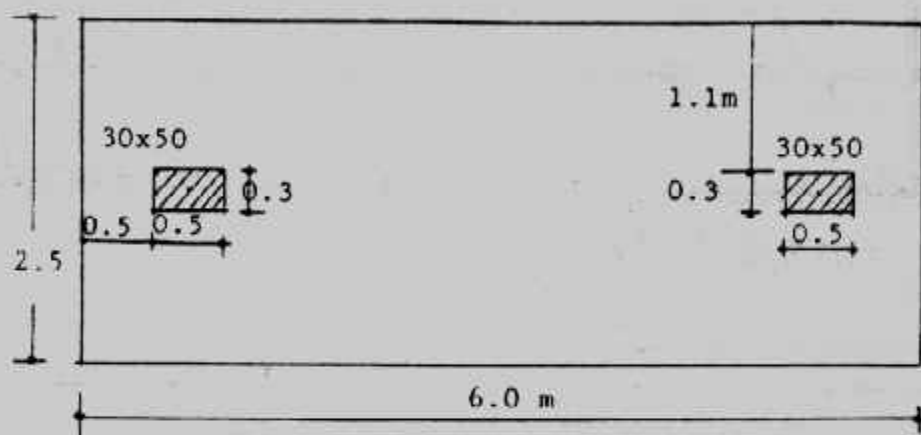
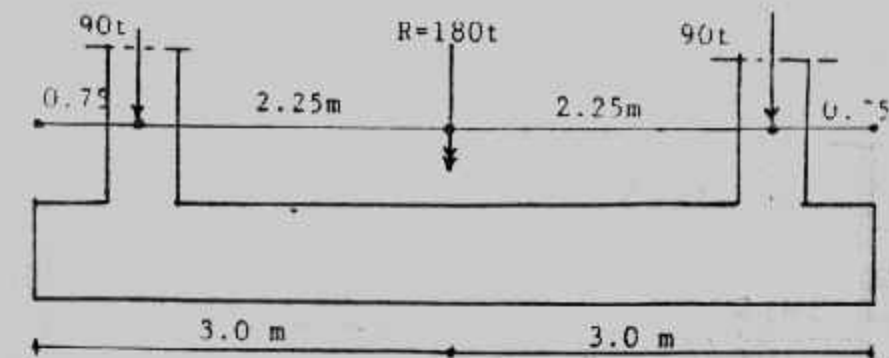
$$A_{s1} = A_{s2} = 21.78 \times 105 / 1237 \times 63 = 27.94 \text{ cm}^2$$

$$14 \phi 16/163 \text{ cm}$$

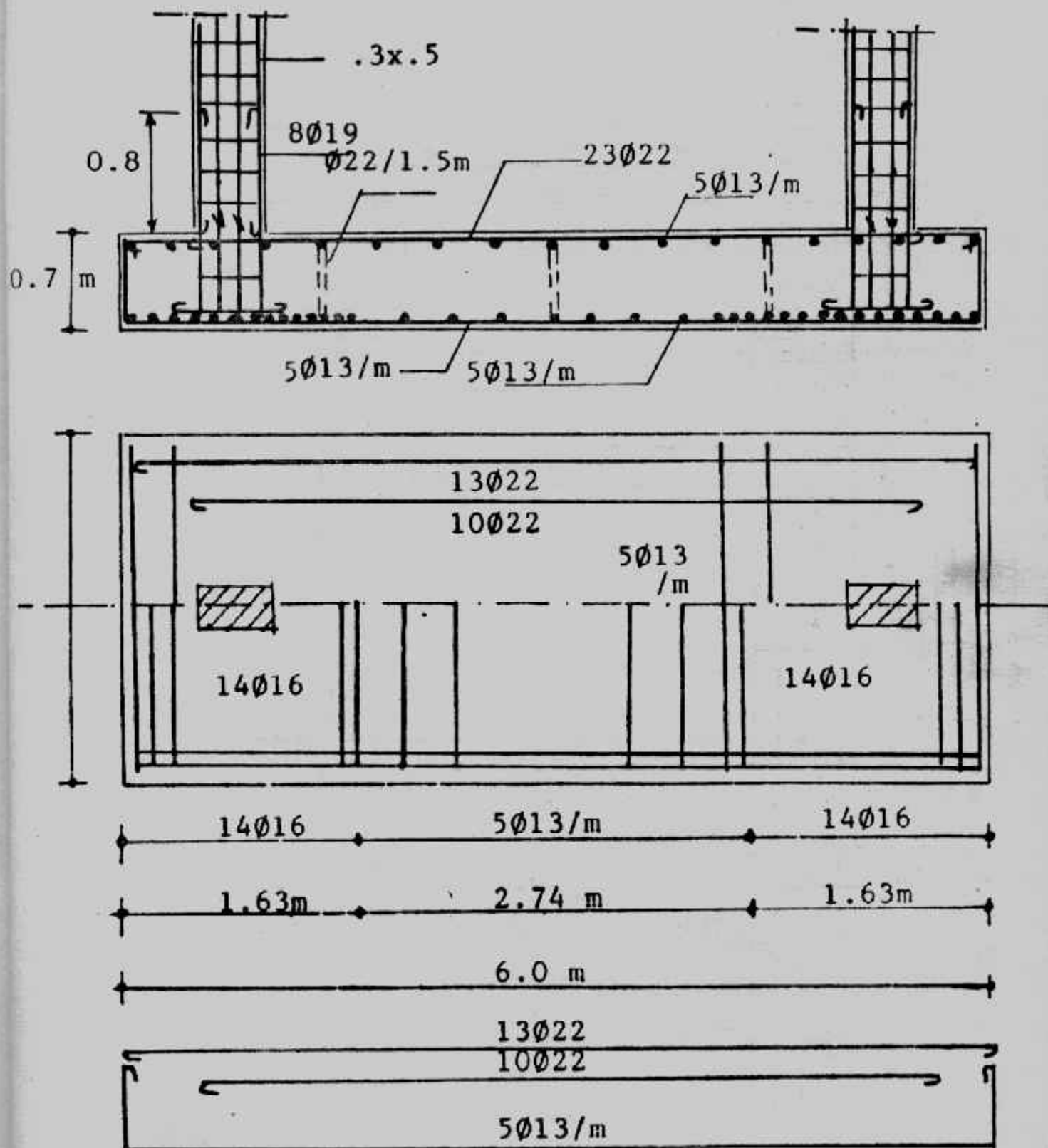
Design details are shown in Fig. (6-18)



شكل (٦-٦) : أبعاد وتفاصيل التسلیح لمثال (٦-٦)



شكل (٦-١٧) : الأبعاد والقوى الداخلية في مثال (٦-٦)



شكل (٦-١٨) : تفاصيل التسلیح لمثال (٦-٦)

Example (6-3):

Redo example (6-3) using plain concrete 40 cm thickness Data $f_c = 65 \text{ kg/cm}^2$, $f_s = 2000 \text{ kg/cm}^2$, $q_{sh} = 9 \text{ kg/cm}^2$, $q_p = 9 \text{ kg/cm}^2$, $k_1 = 0.324$ and $k_2 = 1782$, $q_p = 9 \text{ kg/cm}^2$, $k_1 = 0.324$ and $k_2 = 1782$.

Solution :

$$R = 90 + 140 = 230 \text{ t}$$

$$230 x = 140 (4.5)$$

$$x = 2.74 \text{ m}$$

$$L_{pc} = 2(2.74 + 0.2 + 0.4) = 6.68 \text{ m}$$

$$A_{pc} = 230/15 = 15.333 \text{ } 2.295 \text{ m}$$

$$B_{pc} = 15.333 / 6.68 = 2.295 \text{ taken } 2.3 \text{ m}$$

$$q = 230 / 2.3 \times 6.68 = 14.97 \text{ t/m}^2$$

$$c = t \sqrt{1.33 / qa} = 0.4 \sqrt{1.33 / 1.5} = 0.38 \text{ m} \quad \text{taken } 0.4 \text{ m}$$

$$L_{Re} = 6.68 - 0.4 = 6.28 \text{ m}$$

$$B_{Re} = 2.3 - 2 \times 0.4 = 1.5 \text{ m}$$

Contact stress between plain concrete and reinforced concrete

$$= 230/6.28 \times 1.5 = 24.42 \text{ t/m}^2 < 50 \text{ t/m}^2 \quad \text{o.k}$$

$$\text{The eccentricity } e = (6.28/2) - (0.4 + 0.2 + 2.74) = 0.2 \text{ m}$$

$$q_2^1 = \frac{230}{6.28 \times 1.5} \left(1 \pm \frac{6 \times 0.2}{6.28} \right)$$

$$= 24.42 (1 \pm 0.19)$$

$$q_1 = 29.06 \text{ t/m}^2$$

$$q_2 = 19.78 \text{ t/m}^2$$

The maximum field moment M_{max} lies at point of zero shear which lies at a distance x' from the left edge of the footing :

$$19.67 x' - (43.59 - 29.67) x' / 6.28 \cdot x' / 2 = 90$$

$$29.67 x' + 1.11 x'^2 = 90$$

$$x' = 2.75 \text{ m}$$

$$M_{max} = 90 (2.75 - 0.6) - 29.67 x 2.75/2 - (43.59 - 29.67) 275/6.28 \times 2.75/3$$

$$= 75.72 \text{ mt} = 75.72/1.5 = 50.48 \text{ mt/m}^3$$

$$M_1 = 29.67 \times 0.4^2/2 + (43.59 - 29.67) 0.4/6.28 \times 0.4/3 = 2.26 \text{ mt}$$

$$M_2 = 90 \times 4.8 + 140 \times 0.3 - 29.67 \times 5.4^2/2 + (43.59 - 29.67) 5.4 / 6.28 \times 5.4 / 3 \\ = 19.87 \text{ mt}$$

$$dm = 0.324 \sqrt{\frac{75.72 \times 100000}{150}} = 72.8 \text{ cm}$$

$$\text{take } t = 80 \text{ cm}, \quad d = 73 \text{ cm}$$

shearing forces :

$$Q_{s1} = 29.67 \times 0.4 + (43.59 - 29.67) 0.4/6.28 \times 0.4/2 \\ = 29.67 \times 0.4 + 1.11 \times 0.42 = 12.31 \text{ t}$$

$$Q_{s3} = 29.67 \times 4.8 + 1.11 \times 4.82 - 90 = 77.99 \text{ t}$$

$$Q_{s2} = 29.67 \times 5.4 + 1.11 \times 5.42 - 90 - 140 = -37.41 \text{ t}$$

$$Q_{s4} = 29.67 \times 0.8 + 1.11 \times 0.82 - 90 = -37.55 \text{ t}$$

Critical section of shear is at d from the face of interior column

$$Q_s = 29.67 \times 4.07 + 1.11 \times 4.072 - 90 = 49.14 \text{ t}$$

$$q_s = \frac{49.14 \times 10^3}{150 \times 73} = 4.49 \text{ kg/cm}^2 < 9 \text{ kg/cm}^2$$

Longitudinal reinforcement

$$A_s \text{ top} = \frac{75.72 \times 100000}{73 \times 1782} = 58.2 \text{ cm}^2 \quad 16 \phi 22$$

$$A_s \text{ bottom} = \frac{19.87 \times 100000}{73 \times 1782} = 15.27 \text{ cm}^2 \quad 8 \phi 16$$

Transverse Direction :

Load under exterior column/m' = $90/1.5 = 60 \text{ t/m}'$

$$C_1 = (1.5 - 0.4)/2 = 0.55 \text{ m}$$

$$M_1 = 60 \times 0.55^2/2 = 9.075 \text{ mt}$$

$$d' = 73 - 2.2 - 1.3/2 = 70.15 \text{ cm}$$

$$A_{s1} = \frac{9.075 \times 10000}{70.15 \times 1782} = 7.26 \text{ cm}^2$$

take $6 \phi 13/1.13 \text{ m}$

Load under interior column/m' = $140/1.5 = 93.33 \text{ t/m}'$

$$M_2 = 93.33 \times 0.55^2/2 = 14.12 \text{ mt}$$

$$d' = 73 - 2.2 - 1.6/2 = 70 \text{ cm}$$

$$A_s = \frac{14.12 \times 100000}{70 \times 1782} = 11.32 \text{ cm}^2$$

take $6 \phi 16/1.13 \text{ m}$

$$A_{smin} = 0.0002 \times 73 \times 100 = 14.6 \text{ cm}^2 \quad 11 \phi 13/\text{m}'$$

take $6 \phi 13/\text{m}'$ upper and $6 \phi 13/\text{m}'$ lower.

لاحظ هنا أننا أخذنا d/d من وجهى العمود لحساب عرض الكمرة المدفونة تحت كل عمود وذلك لقلة الحديد المستخدم في هذه الكمرات المدفونة،

Check punching :

Check punching should be checked on a perimeter section a distance $d/2$ around the column

$$Q_{pl} = 90 - 21.0(0.4 + 0.73)^2 = 66.27 \text{ t}$$

$$q_{pl} = \frac{66.27 \times 1000}{73 \times 4(40+73)} = 2.01 < 9 \text{ kg/cm}^2 \quad \text{o.k}$$

$$Q_{p2} = 140 - 27.32(0.4 + 0.73)(0.6 + 0.73) = 98.94 \text{ t}$$

$$q_2 = \frac{98.94 \times 1000}{73 \times 2[(40+73)+(60+73)]} = 98.94 \text{ t}$$

Details of design are shown in Fig. (6-20)

تصميم القواعد المشتركة شبه المنحرف

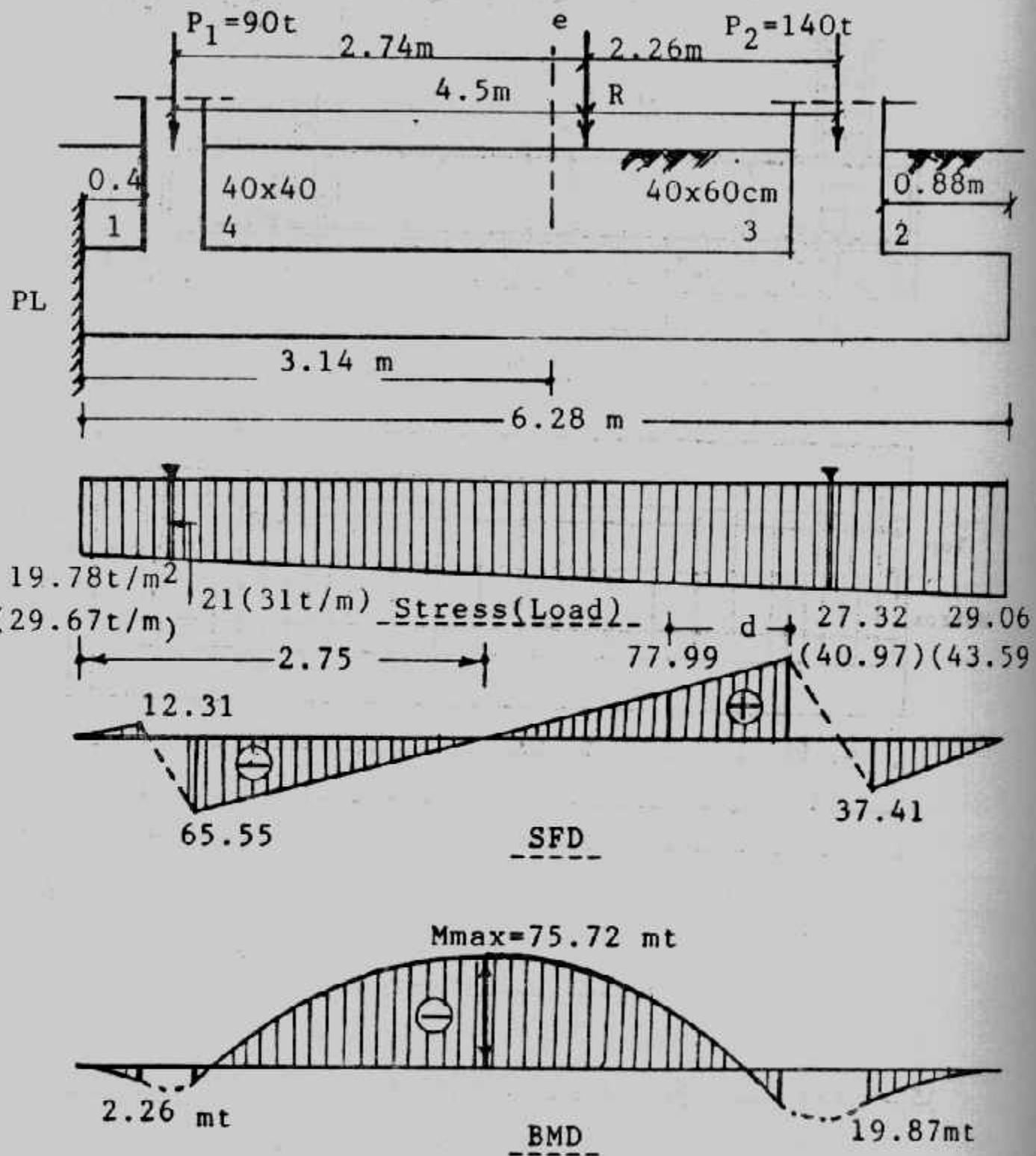
Combined Trapezoidal Footings

عند تصميم القواعد المشتركة وحينما يكون حمل العمود الخارجى أكبر من حمل

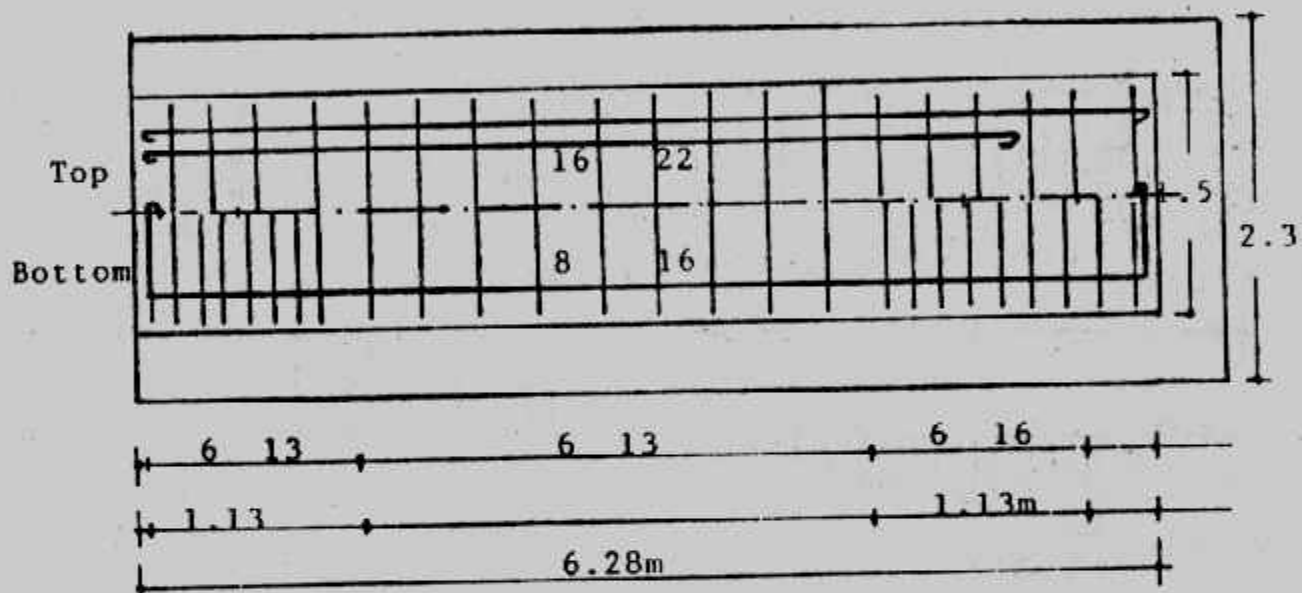
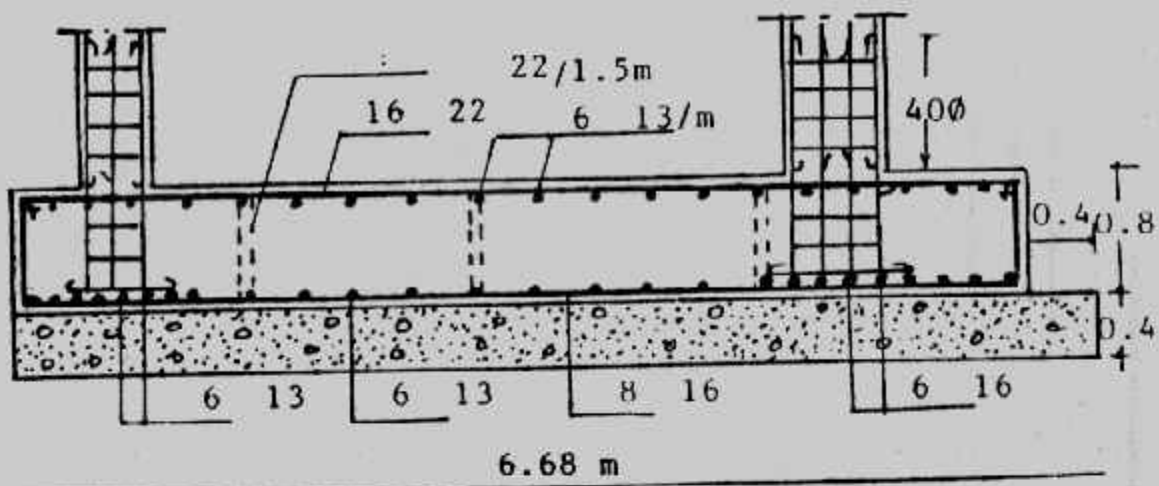
العمود الداخلى فإن القواعد المشتركة المستطيلة لا تصلح فى هذه الحالة، وكذلك حينما

يكون حد الملكية أو أى مانع آخر مجاور للعمودين الغير متساوين فى الأحمال شكل

(٦-٢١)



شكل (٦-١٩) الأبعاد والقوى الداخلية .



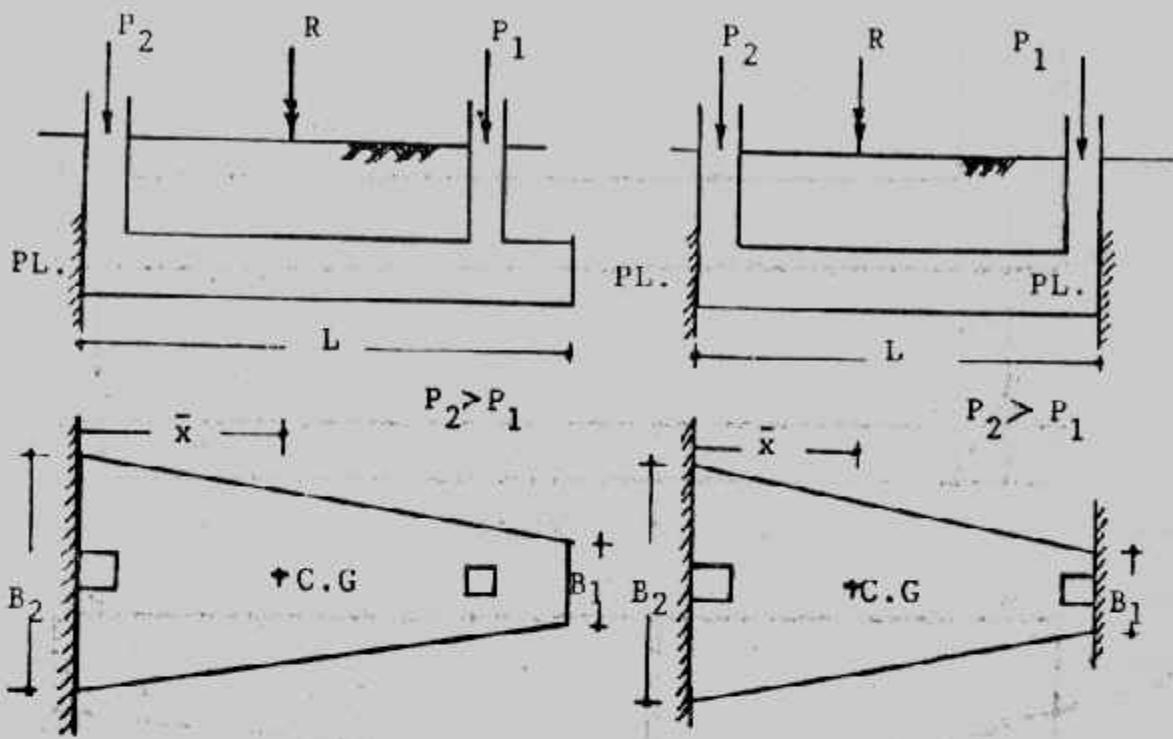
شكل (٢٠-٦) تفاصيل التسلیح.

ولضمان توزيع الاجهادات بانتظام على التربة فإن محصلة الأحمال يجب أن تقع في مركز مساحة شبه المنحرف وإنذلك تعين مساحة القاعدة من :

$$A = R/q_{\text{av}} \quad \text{or} \quad A = R_T / qa$$

ومن هندسة شكل شبه المنحرف نجد أن :

$$\frac{x}{L} = \frac{2B_1 + B_2}{3(B_1 + B_2)}$$



شكل (٢١-٦) استخدام القواعد المشتركة شبه المنحرف

$$A = \left(\frac{B_1 + B_2}{2} \right) L$$

ومن المعادلتين السابقتين يمكن تعريف المجهولين B_1, B_2 علماً بأن طول القاعدة L قيمة محددة أو مفروضة حسب حالة الأعمدة والموقع.

$$B_1 = \frac{2A}{L} \left(\frac{3\bar{x}}{L} - 1 \right), \quad B_2 = \frac{2A}{L} - B_1.$$

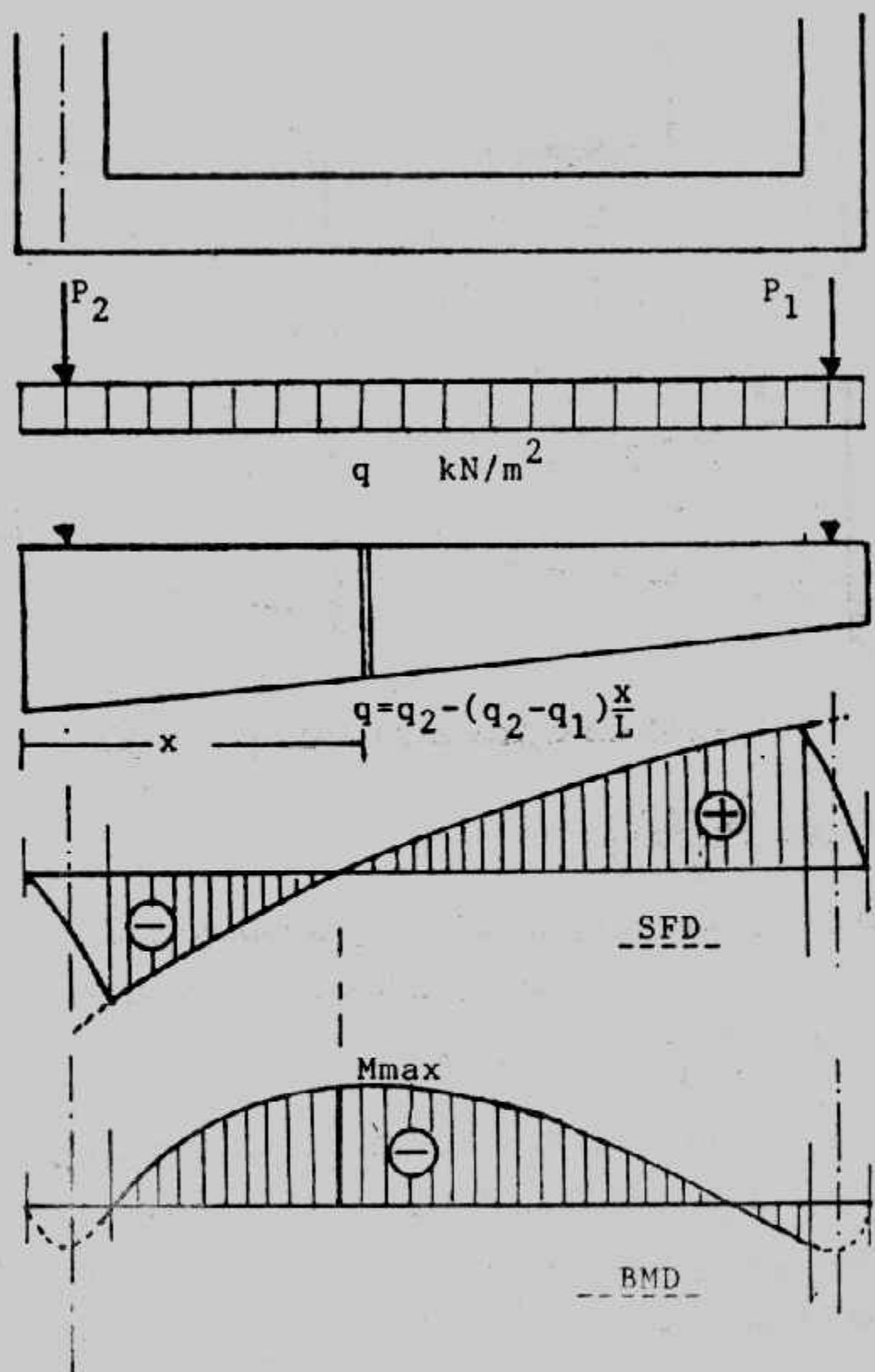
وتسكمل باقي خطوات التصميم كما في القواعد المشتركة المستطيلة مع مراعاة الآتي :

- رغم أن توزيع الاجهادات على التربة منتظم لأن محصلة الأحمال تقع في مركز القاعدة إلا أنه عند تصميم القاعدة في الاتجاه الطولي فإن هذه الاجهادات تعطي حيلا خطيا مائلا (الخط منحنى من الدرجة الأولى) وتعطي في القص منحنى من الدرجة الثانية وفي العزوم منحنى من الدرجة الثالثة.

يفضل لتسهيل الحل وضع الحمل الناتج عن اجهادات التربة على القاعدة في صورة

- معادلة لحساب الحمل q عند أي مقطع على مسافة x من نهاية القاعدة الكبرى B_2

$$q = q_2 - (q_2 - q_1) x / L$$



شكل (٢٢-٦) : الأحمال والقوى الداخلية

وباجراء التكامل على هذه المعادلة تنتج معادلة لتعيين القص :

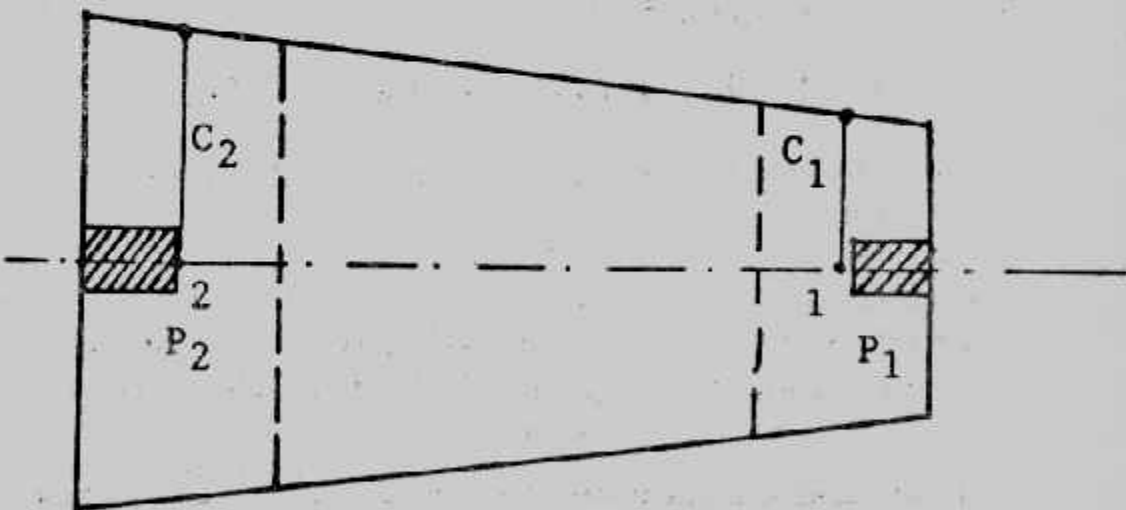
$$Q = \int_0^x q dx = q_2 x (q_2 - q_1) x^2 / 2L + C$$

وتبين التكامل هنا يعادل حمل العمود الموجود بين المقطع وبين القاعدة الكبرى B_2 . ومن المعادلة السابقة يمكن تعين مكان القص الصفرى بوضع $Q = 0$ في هذه المعادلة . وباجراء التكامل لمعادلة القص ينتج لنا العزوم

$$M = - \int_0^x Q dx = -(q_2 x^2 / 2 - (q_2 - q_1) x^3 / 6L) + Cx$$

حيث ثابت التكامل هنا مساواه الصفر وما زال C في المعادلة السابقة تمثل حمل العمود بين المقطع والقاعدة الكبرى B_2 كما أن x المجاورة تمثل زراع العزم للمقطع حول المقطع تحت الاعتبار .

- * عند تعين العمق المقاوم للعزم يؤخذ عرض الأساس المقابل للمقطع المعرض لأكبر عزم عند القص الصفرى .
- * عند حساب العزوم العرضية M_1, M_2, C_1, C_2 تؤخذ المسافات P_1, P_2 في منتصف عرض الكمرات العرضية شكل (٢٣-٦)



شكل (٢٣-٦) زراع العزوم العرضية

Example (6-4):

Two columns 45×45 and 30×30 cm carrying loads 80 and 50 t. The distance centre to centre of columns is 4.25m. Design a trapezoidal combined footing if the net allowable soil pressure is 1.2 kg/cm^2 . The footing should not project beyond the outer faces of the columns. Take $f_c = 50 \text{ kg/cm}^2$, $f_b = 1400 \text{ kg/cm}^2$, $q_{sh} = 6 \text{ kg/cm}^2$ and $q_p = 8 \text{ kg/cm}^2$.

Solution :

The length of footing $L = 4.25 + 0.15 + 0.225 = 4.625 \text{ m}$

$$R = 80 + 50 = 130 \text{ t}$$

Moment about column (2):

$$X_1 \cdot 130 = 50 \times 4.25$$

$$X_1 = 50 \times 4.25 / 130 = 1.635 \text{ m}$$

$$\bar{X} = 1.635 + 0.225 = 1.85 \text{ m}$$

$$A = 130/12 = 10.833 \text{ m}^2$$

$$\bar{X} = 1.86 = \frac{4.625}{3} \times \frac{2B_1 + B_2}{B_1 + B_2} \dots \dots \dots (1)$$

$$A = 10.833 = \frac{B_1 + B_2}{2} \times 4.625 \dots \dots \dots (2)$$

By solving equations 1 and 2 we get :

$$B_2 = 3.72 \text{ m}, \quad B_1 = 0.97 \text{ m}, \text{ Fig. (6-24)}$$

Long Direction :

$$q_1 = 0.97 \times 12 = 11.64 \text{ t/m}$$

$$q_2 = 3.72 \times 12 = 44.6 \text{ t/m}$$

The stress per metre (as a load) at any distance (x) from B₁ :

$$q_x = 44.64 - X/4.625 (44.64 - 11.64)$$

$$q_x = 44.64 - 7.136 x \dots \dots \dots \text{(load equation)}$$

$$\text{at } x = 0.45 \text{ m, } Q = 44.64 (0.45) - 3.568(0.45)^2 - 80 = -60.63 \text{ t}$$

$$\text{at } x = 6.475 \text{ m, } Q = 44.64 (6.475) - 3.568 (6.475)^2 - 80 = + 59.45 \text{ t}$$

To find the location of zero shear

$$Q = 0 = 44.64 x - 3.568 x^2 - 80$$

$$\therefore 3.568 x^2 - 44.64 x + 80 = 0$$

Solving this equation gives $x = 2.168 \text{ m}$

To get Bending moment diagram.

$$M = \int_0^x Q dx = (44.64 x^2 / 2 + 7.136 x^3 / 6) + Cx$$

$$M = -(22.32 x^2 + 1.189 x^3) + Cx \dots \dots \text{(bending equation)}$$

$$\text{at } x = 0.45 \text{ m, } M = -[22.32 (0.45)^2 - 1.189 (0.45)^3] + 80 (0.225) = 13.59 \text{ mt}$$

$$\text{at } x = 3.0 \text{ m, } M = -[22.32 (3)^2 - 1.189 (3)^3] + 80 (2.775) = 53.22 \text{ mt}$$

$$\text{at } x = 4.325 \text{ m, } M = -[22.32 (4.325)^2 - 1.189 (4.325)^3] + 80 (4.1) = 6.68 \text{ mt}$$

$$\text{at } x = 4.00, M = -[22.32 (4)^2 - 1.189 (4)^3] + 80 (3.775) = 20.98 \text{ mt}$$

$$\text{at } x = 2.168 \text{ m, } M_{\max} = -[22.32 (2.168)^2 - 1.189 (2.168)^3] + 80 (1.943) \\ = 62.43 \text{ mt}$$

$$B \text{ at max. bending moment} = 0.97 + 2.75 \frac{(4.625 - 2.168)}{4.625} = 2.43 \text{ mt}$$

$$d_m = 0.361 \sqrt{\frac{62.65 \times 10^5}{243}} = 57.96 \text{ cm}$$

take $t = 65 \text{ cm}$, $d = 58 \text{ cm}$

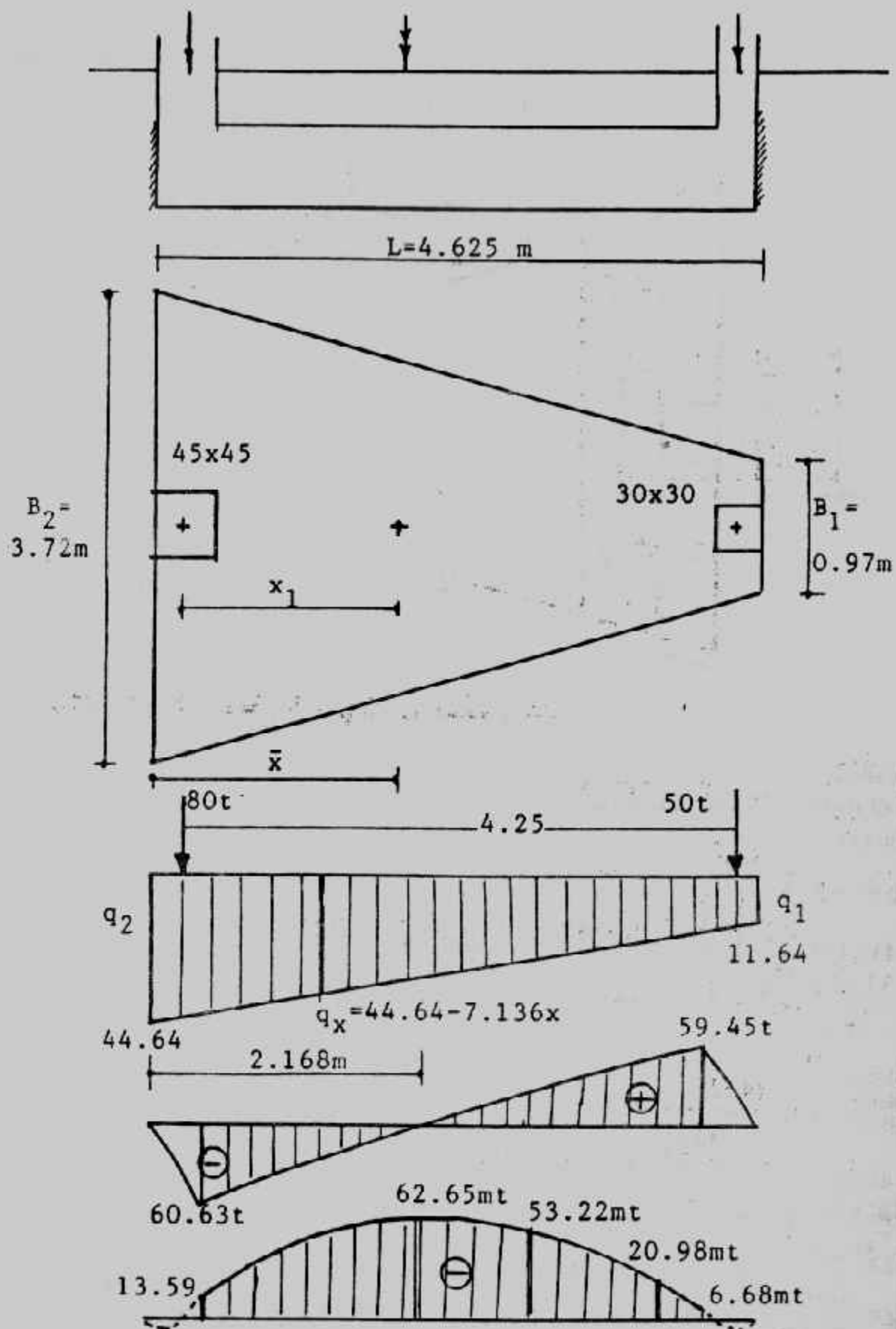
Check punching :

$$Q_{pl} = 50 - 12 (0.88 \times 0.59) = 43.77 \text{ t}$$

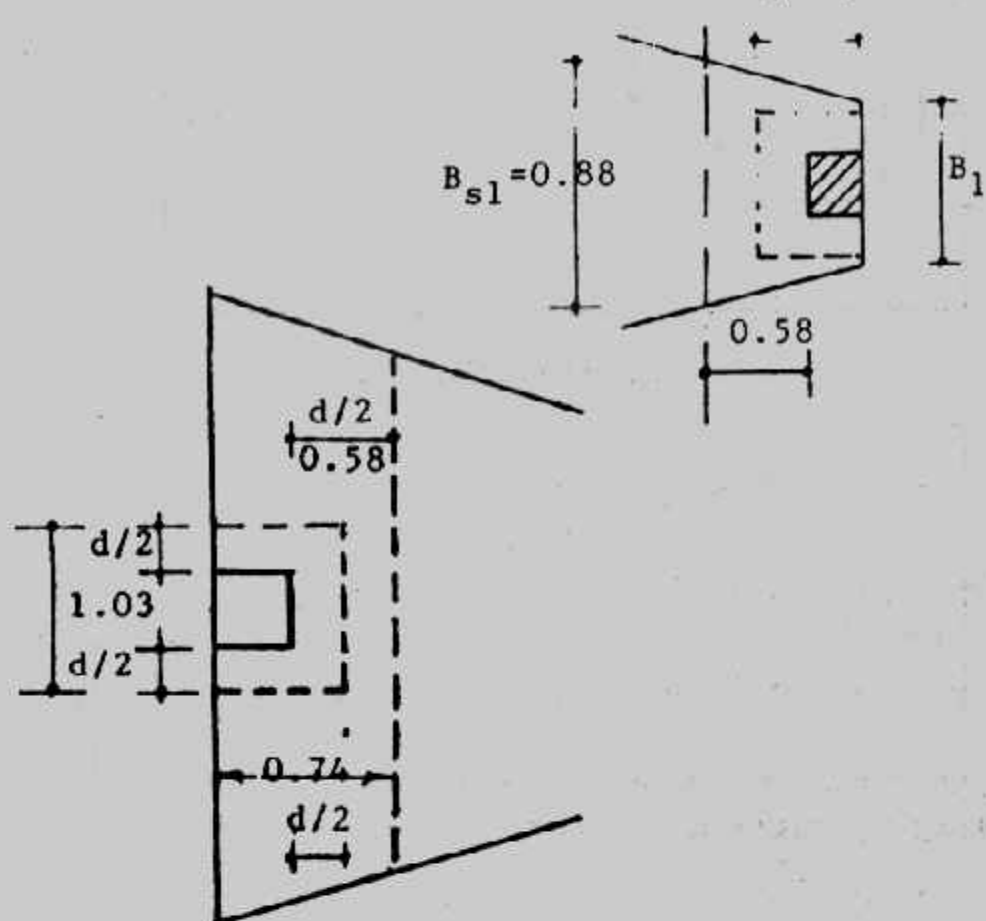
$$q_{pl} = \frac{43.77 \times 1000}{58(2 \times 59 + 88)} = 3.66 < 8 \text{ kg/cm}^2$$

$$Q_{p2} = 80 - 12 (1.03 \times 0.775) = 69.77 \text{ t}$$

$$q_{p2} = \frac{69.77 \times 1000}{58(2 \times 77.5 + 103)} = 4.68 < 8 \text{ kg/cm}^2$$



شكل (٦-٤) : مثال (٣)



شكل (٦-٢٥) المقطع العرضي للقائم الثنائي والقائم

Check shear :

Width of footing B_{s1} and d from the Column (1):

$$B_{s1} = 0.97 + 2.75 \frac{0.88}{4.625} = 1.49 \text{ m}$$

$$Q_{s1} = 44.64 (4.625 - 0.88) - 3.568 (4.625 - 0.88)^2 - 80 = 37.14$$

$$q_{s1} = \frac{37.14 \times 1000}{58 \times 149} = 4.3 < 6 \text{ kg/cm}^2$$

for column (2)

$$B_{s2} = 0.97 + 2.75 \frac{(4.625 - 1.03)}{4.625} = 3.11 \text{ m}$$

$$Q_{s2} = 44.64 \times 1.03 - 3.568 \times 1.03^2 - 80 = 37.81 \text{ t}$$

$$q_{s2} = \frac{37.81 \times 1000}{58 \times 311} = 2.1 < 6 \text{ kg/cm}^2$$

$$A_{s \max} = \frac{62.65 \times 10^2}{58 \times 1237} = 87.32 \text{ cm}^2 \quad \text{use } 23 \phi 22$$

$$A_s \text{ at } 3 \text{ m} = \frac{53.22 \times 10^5}{58 \times 1237} = 74.18 \text{ cm}^2 \quad \text{use } 17 \phi 22$$

$$A_s \text{ at } 4 \text{ m} = \frac{20.98 \times 10^5}{58 \times 1237} = 29.24 \text{ cm}^2 \quad \text{use } 8 \phi 22$$

Short Direction

Column

$$\begin{aligned} \text{Width of beam at column (2)} &= 0.45 + 0.58 = 0.93 \text{ m} \\ \text{Average length of the beam at middle of the } &0.93 \text{ m} \\ &\quad 14.625 \quad 10.3 \quad 21 \quad 0.41 \text{ m} \\ &\quad 0.97 \quad 2.75 \quad 4.625 \end{aligned}$$

Load per metre of the beam = $80/3.41 = 23.46 \text{ t/m}$

$$M = \frac{23.46[(3.41 - 0.42)/2]^2}{2} = 26.22 \text{ mt}$$

$$d = 58 \cdot \frac{2.2}{2} \cdot \frac{2.2}{2} = 55.8 \text{ cm}$$

$$A_s = \frac{26.22 \times 10^5}{1237 \times 55.8} = 37.99 \text{ cm}^2$$

$$A_{s \min} = 58 \times 103 \times 0.002 = 11.95 \text{ cm}^2 \quad \text{use } 10 \phi 22$$

Column (1)

Width of beam at column (1) = $0.30 + 0.58 = 0.88 \text{ m}$

Average length of the beam at middle of the 0.88

$$= 0.97 + 2.75 \cdot \frac{0.88}{4.625} = 1.49 \text{ m}$$

Load/m of the beam = $50/1.49 = 33.56 \text{ t/m}$

$$M = \frac{33.56[(1.49 - 0.3)/2]^2}{2} = 5.94 \text{ mt}$$

$$A_s = \frac{5.94 \times 10^5}{1237 \times 55.8} = 8.61 \text{ cm}^2$$

$$A_{s \ min} = 58 \times 149 \times 0.002 = 17.28 \text{ cm}^2 \quad \text{take } 5 \phi 22$$

$$A_{s \ min} \text{ in other parts} = 58 \times 100 \times 0.002 = 11.6$$

take $10 \phi 13 (13.27 \text{ cm}^2)$ $5 \phi 13$ upper and $5 \phi 13$ lower

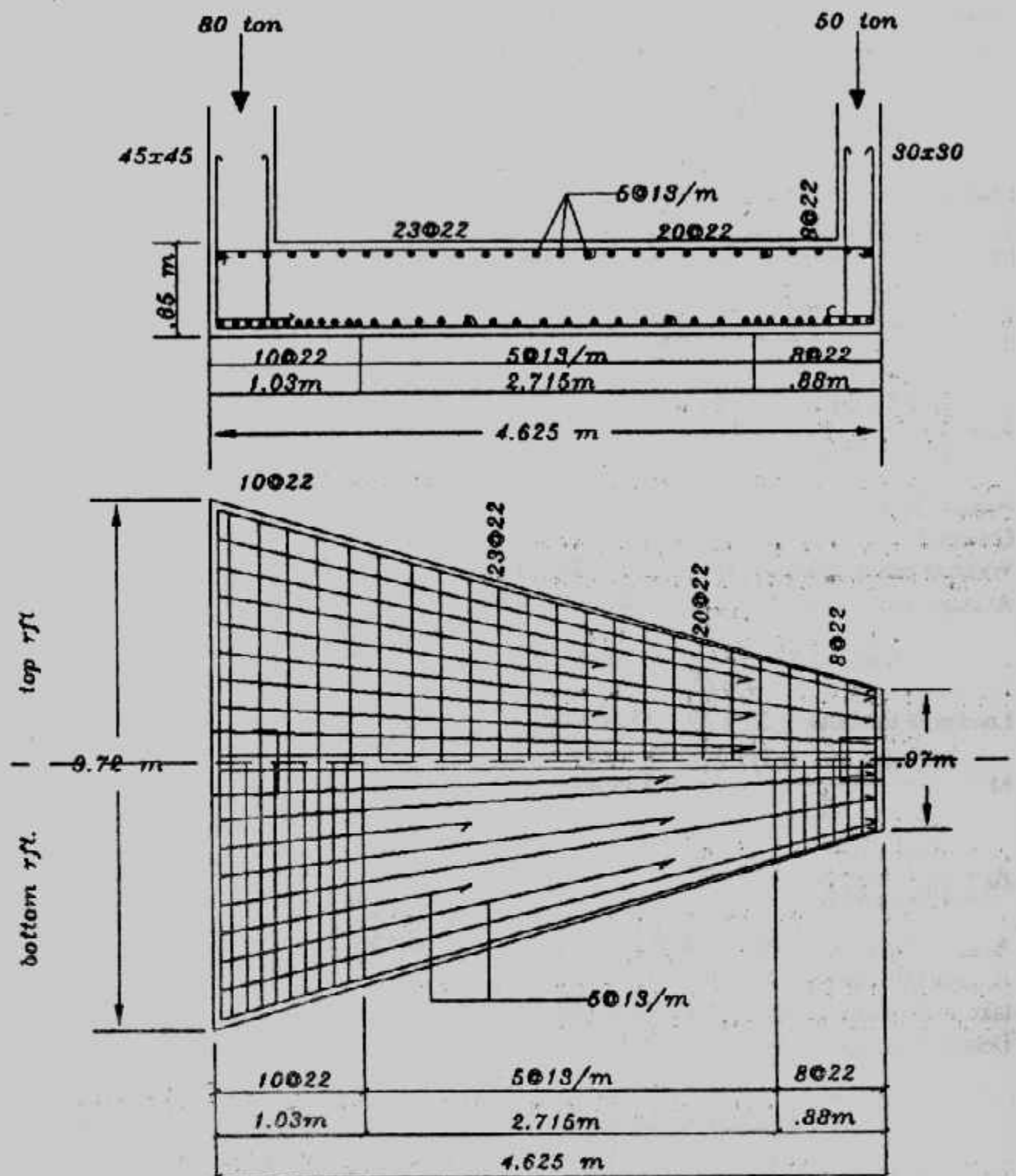
Details of design are shown in Fig. (6-26)

حالة خاصة من القواعد المشتركة المستطيلة وشبه المنحرف :

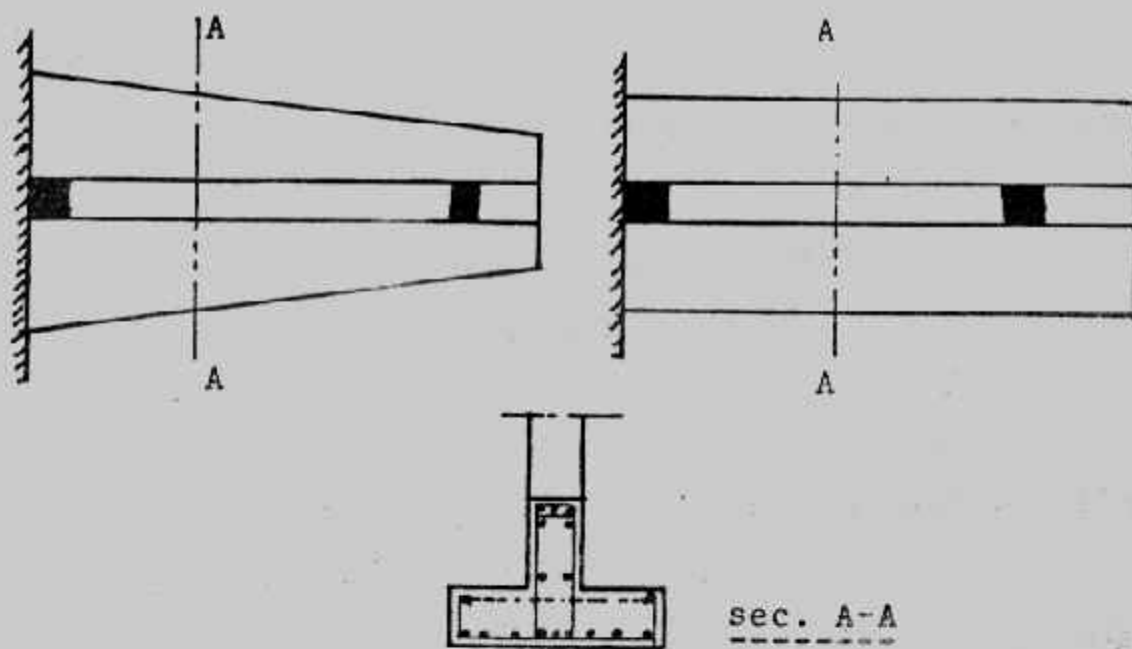
في القواعد المشتركة المستطيلة أو شبه المنحرف يمكن إضافة كمرة rib رابطة للعمودين وجذء منها مدفون في القاعدة. شكل (٦-٢٧). وهذه الكمرة تحول القاعدة المشتركة إلى قاعدة شريطية strip footing وتحمل هذه الكمرة العبء الأكبر في الأساس.

ولذا يجب العناية التامة بتصميم هذه الكمرة حيث أنها تحمل العزوم في الاتجاه الطولي.

تصمم الكمرة كمقطع على شكل حرف T مقلوب بينما تصمم بلاطة الأساس على أنها أساس شريحة Strip footing . ويمكن أن يطلق على هذه القاعدة تسمية "القواعد المشتركة الشريطية" وينطبق على تصميمها حطوات تصميم القواعد الشريطية التي أوردها بالتفصيل في الباب السابق .



شكل (٦-٦) : تفاصيل التسلیح والأبعاد .



شكل (٢٧-٦) : قواعد مشتركة بكمرة (أساسات شريطية)

تصميم القواعد المشتركة بطريقة الإجهادات القصوى :

Design of Combined Footings by Ultimate Stresses Method :

تتلخص خطوات تصميم القواعد المشتركة بطريقة الإجهادات القصوى فيما يلى :

١- توقع نقطة تأثير محصلة الأحمال على القاعدة.

٢- حساب المساحة التى تحقق جهد التربة Soil pressure حيث :

$$q = R/A$$

عندما تكون محصلة الأحمال R فى مركز مساحة القاعدة.

$$q = \frac{R}{A} (1 \pm \frac{6e}{L})$$

٣- تحويل الأحمال إلى الأحمال القصوى من المعاملات :

$$U = 1.4 D + 1.7 L$$

$$U = 0.75 [1.4D + 1.7L + 1.7 (\text{Wind or Earthquake})]$$

٤- باستخدام الأحمال القصوى تحسب القيمة القصوى لجهد التربة q_u

٥- باستخدام القيم القصوى للأحمال ولجهد التربة يرسم القص وعزم الانحناء معأخذ أحمال الأعمدة كأحمال مرکزة في مراكز الأعمدة.

٦- تعين عمق الأساس من :

- أ- القص الأحادي wide beam type shear المبني على أن الإجهادات المسموح بها للخرسانة في القص هي :

$$V_c (\text{MN/m}^2) = 0.17 \sqrt{f_c (\text{MN / m}^2)}$$

كما أن اجهادات القص الفعلية تحسب على بعد d من وجه العمود :

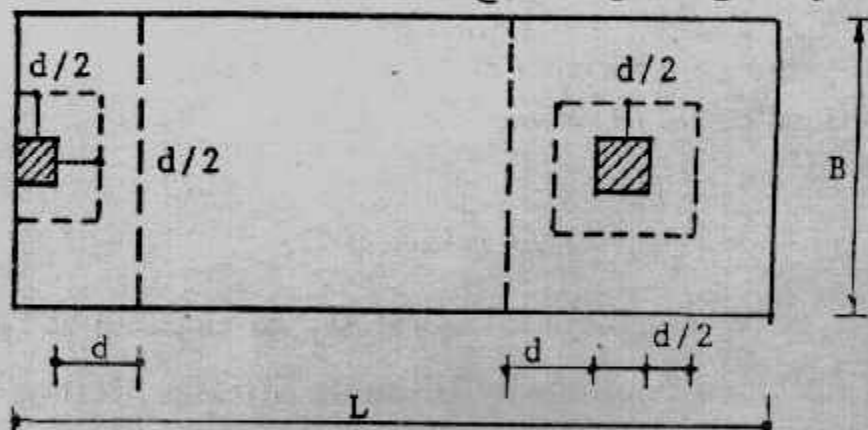
$$V_u = \frac{Q_u}{bd}$$

- ب- من الشد القطري Diagonal Tension (القص الثاقب Punching shear) شكل (٢٨-٦) المبني على أن الإجهادات المسموح بها للخرسانة في القص .

$$V_c (\text{MN / m}^2) = 0.34 \sqrt{f_c (\text{MN / m}^2)}$$

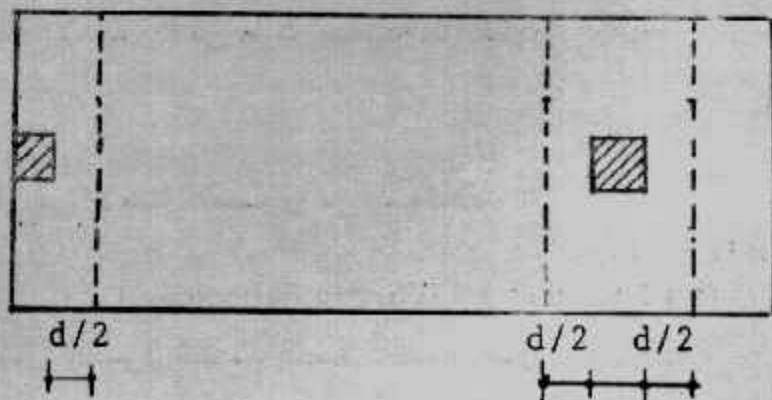
$$V_u = \frac{Q_u}{bd} \quad \text{كما أن اجهادات القص الفعلية تحسب من :}$$

ويحسب ذلك لكل عمود بمسافة $d/2$ من جميع الجهات (القص الثاقب) . ويجب أن تكون الإجهادات الفعلية للقص أقل من المسموح بها .



شكل (٢٨-٦) : المقاطع الحرجة للقص والقص الثاقب

ويؤخذ الحديد العرضي في باقي الأماكن بالنسبة الأدنى لمقاومة الانكمash .



شكل (٢٩-٦) : عرض الکمرات العرضية المدفونة

Example (6-5):

Design a rectangular combined footing using the ultimate stresses method given:
 $f_c = 24 \text{ MN/m}^2$, $f_y = 420 \text{ MN/m}^2$, $q_{ua} = 170 \text{ kN/m}^2$, columns spacing = 5m

Column 1 : $0.40 \times 0.40 \text{ m}$, $D = 600 \text{ kN}$, $L = 400 \text{ kN}$

Column 2 : $0.5 \times 0.5 \text{ m}$, $D = 800 \text{ kN}$, $L = 500 \text{ kN}$

Solution :

Compute the footing dimension

$$R = (600 + 400) + (800 + 500) = 2300 \text{ kN}$$

$$\Sigma M \text{ column (1)} = 0$$

$$2300 \quad \bar{X} = 5 \times 1300$$

$$\bar{X} = 2.826 \text{ m}$$

$$L = 2(2.826 + 0.2) = 6.052 \text{ m}$$

To avoid computational errors the actual computed footing length will be used for all computation.

$$B = \frac{R}{q_{ua,L}} = \frac{2300}{170 \times 6.05} = 2.236 \text{ m} \quad \text{use actual } B = 2.25 \text{ m}$$

Convert soil pressure to an equivalent ultimate load value

$$U_1 = 1.4 d + 1.7 L$$

$$= 1.4(600) + 1.7(400) = 1520 \text{ kN}$$

$$U_2 = 1.4(800) + 1.7(500) = 1970 \text{ kN}$$

$$\text{Factor} = (1520 + 1970)/2300 = 1.517$$

$$q_u = 170(1.517) = 257.89 \text{ kN/m}^2$$

Shearing force and moment diagrams, Fig. (6-30):

Load/m of beam $q = q_u B = 257.89 \times 2.236 = 576.64 \text{ kN/m}^2$

or $q = (U_1 + U_2)/L = (1520 + 1970)/6.052 = 576.67 \text{ kN/m}^2$

$$\text{Shear } Q_x = \int q \, dx = 576.6 x + C$$

Where c = column loads at the lift of the considered sec.

$$\text{at } x = 0.4 \text{ m} \quad Q_x = 576.6(0.4) - 1520 = -1289.36 \text{ kN}$$

$$\text{at } x = 4.95 \text{ m} \quad Q_x = 576.6(4.95) - 1520 = 1234.17 \text{ kN}$$

$$\text{at } x = 5.45 \text{ m} \quad Q_x = 576.6(5.45) - (1520 + 1970) = -347.53 \text{ kN}$$

$$\text{Location of zero shear} \quad 576.6 x - 1520 = 0$$

$$\therefore x = 2.64 \text{ m}$$

$$\text{Moment } M_x = \int Q \, dx = 576.6 x^2/2 + Cx = 288.3 x^2 + Cx$$

$$\text{at } x = 0.4 \text{ m} \quad M = -288.3(0.4)^2 + 1520(0.2) = +257.87 \text{ km.m}$$

$$\text{at } x = 4.95 \text{ m} \quad M = -288.3(4.95)^2 + 1520(4.75) = -155.93 \text{ km.m}$$

$$\text{at } x = 5.45 \text{ m} \quad M = -288.3(5.45)^2 + 1520(5.25) = +583.23 \text{ km.m}$$

$$\text{at } x = 2.64 \text{ m} \quad M_{\max} = -288.3(2.64)^2 + 1520(2.44) = -1699.46 \text{ km.m}$$

To find depth for wide beam shear at the location of largest shear the allowable concrete stress is :

$$V_c = 0.17 \sqrt{f_c} = 0.17 \sqrt{24} = 0.833 \text{ MN/m}^2 = 833 \text{ kN/m}^2$$

$$Q_{beam} = 1334.17 - 576.67 d$$

$$Q_{concrete} = Bd v_c = 2.25(d) 833 = 1874.25 d$$

$$\text{Equating: } 576.67 d + 1874.25 d = 1334.17$$

$$2450.92 d = 1334.17$$

$$d = 0.544 \text{ m}$$

Check diagonal tension

$$V_c = 0.34$$

At column (1) the $\sqrt{f_c} = 0.34\sqrt{24} = 1.666 \text{ MN/m}^2 = 1666 \text{ kN/m}^2$

At column (1) the perimeter in shear is

$$P = 2(0.4 + 0.544/2) + (0.4 + 0.544) = 2.288 \text{ m}$$

$$Q_{\text{shear}} = pd v_c = 2.288 \times 0.544 \times 1666 = 2073.62 \text{ kN}$$

$$> 1520 \text{ kN (o.k.)}$$

المفروض عند المقارنة أن يطرح من حمل العمود قيمة A_{eq} حيث A_{eq} هي مساحة العمود وقد أهمل ذلك هنا :

At column (2) the perimeter in shear is

$$P = 4(0.5 + 0.544) = 4.176 \text{ m}$$

$$Q_{\text{shear}} = 4.176 \times 0.544 \times 1666 = 2784.7 > 1970 \text{ kN (o.k.)}$$

Take actual $d = 0.58 \text{ m}$, $t = 0.65 \text{ m}$

Compute negative steel :

$$a = A_s f_y / 0.85 f_c b = 20 A_s / 0.85 \times 24 \times 2.25 = 9.15 A_s$$

$$M_u / \phi f_y = A_s (d - a / 2)$$

$$1699.46 / 0.9 \times 420000 = A_s (0.58 - 9.15 A_s / 2)$$

$$4.575 A_s^2 - 0.58 A_s + 4.496 \times 10^{-3} = 0$$

$$A_s = 7.33 \times 10^{-3} = 73.28 \text{ cm}^2$$

use 15 φ 25 / B (73.65 cm²)

Compute positive steel in cantilever part

$$583.23 / 0.9 \times 420000 A_s (0.58 - 9.15 A_s / 12)$$

$$4.575 A_s^2 - 0.58 A_s + 1.543 \times 10^{-3} = 0$$

$$a_s = 2.607 \times 10^{-3} \text{ m}^2 = 26.07 \text{ cm}^2$$

$$A_e = 2.607 \times 10^{-3} \text{ m}^2 = 26.07 \text{ cm}^2$$

$$A_{s \text{ min}} = 0.0018 \times 58 \times 225 = 23.49 \text{ cm}^2$$

$$\text{use } 10 \phi 19 / B (28.4 \text{ cm}^2)$$

Run 5 φ 19 ($A_s / 2$) full length of footing.

Design transverse steel (short direction)

$$q_u = (1520 + 1970) / 6.052 \times 2.25 = 256.3 \text{ kN/cm}^2$$

For column (1): width of beam under column (1)

$$= 0.4 + d/2 = 0.4 + 0.58 / 2 = 0.69 \text{ m}$$

$$d = 0.58 - 0.019 - 0.019/2 = 0.55$$

$$M = 256.3 \times 0.95^2 / 2 = 109.65 \text{ kN.m}$$

From previous computations

$$4.575 A_s^2 - 0.55 A_s + 2.9 \times 10^{-4} = 0$$

$$A_s = 5.2 \text{ cm}^2$$

$$A_{s \text{ min}} = 0.0018 \times 69 \times 55 = 6.83 \text{ cm}^2$$

Use 3 φ 19

For column (2) width of beam under column(2)

$$= 0.5 + d = 0.5 + 0.58 = 1.08 \text{ m}$$

$$M = 256.3 \times 0.8752 / 2 = 98.11 \text{ kN.m}$$

$$4.575 A_s^2 - 0.55 A_s + 2.596 \times 10^{-4} = 0$$

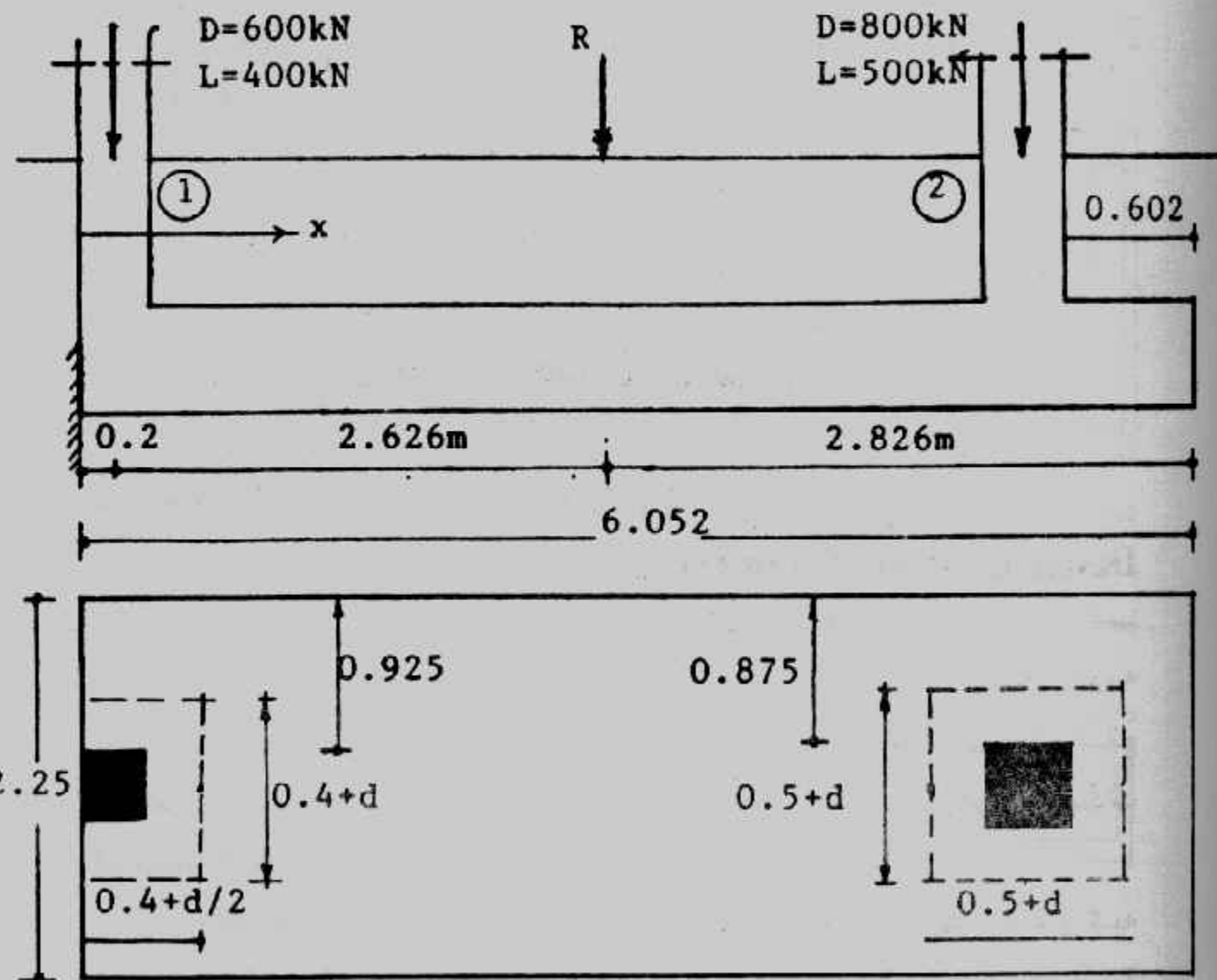
$$A_s = 4.7 \text{ cm}^2$$

$$A_{s\ min} = 0.0018 \times 1.08 \times 55 = 10.69 \text{ cm}^2$$

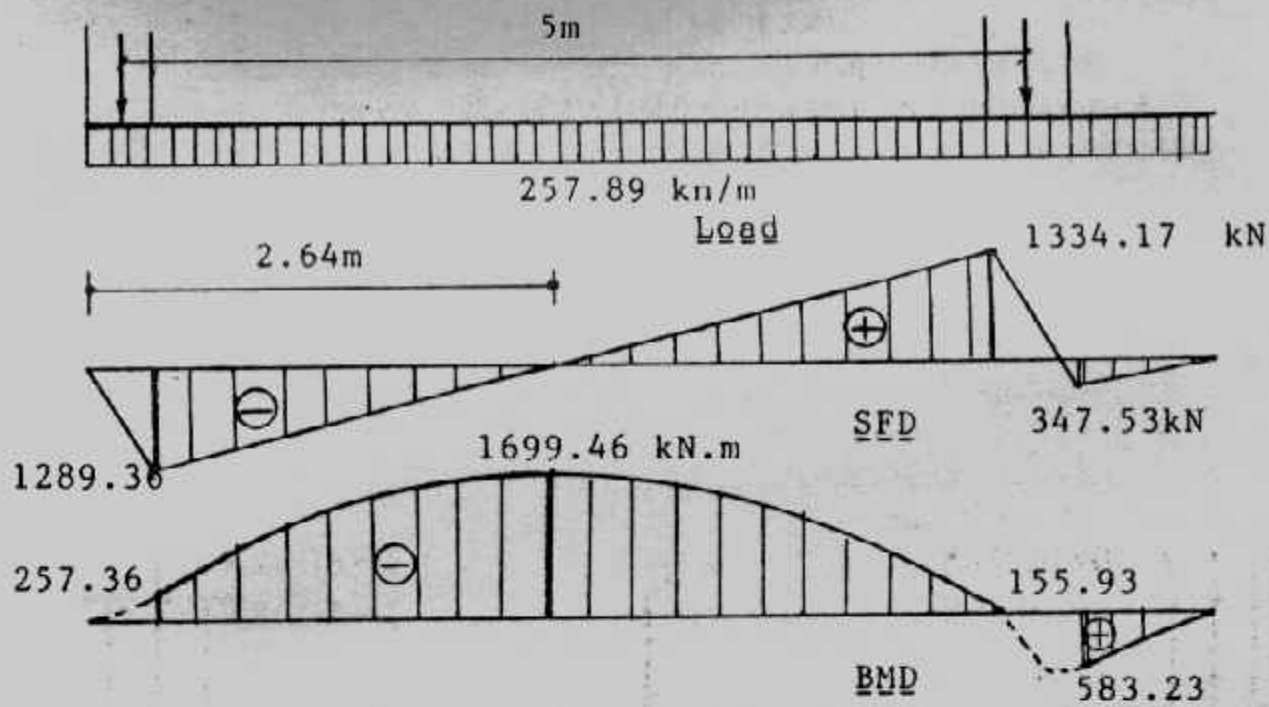
use 4 Φ 19mm

Shrinkage bars for other parts = $0.001 \times 100 \times 55 = 9.9 \text{ cm}^2$

take 4 Φ 13mm/m' top and 4 Φ 13mm/m' (10.6 cm^2)



شكل (٦-٣٠): أبعاد مثال (٦-٣١).



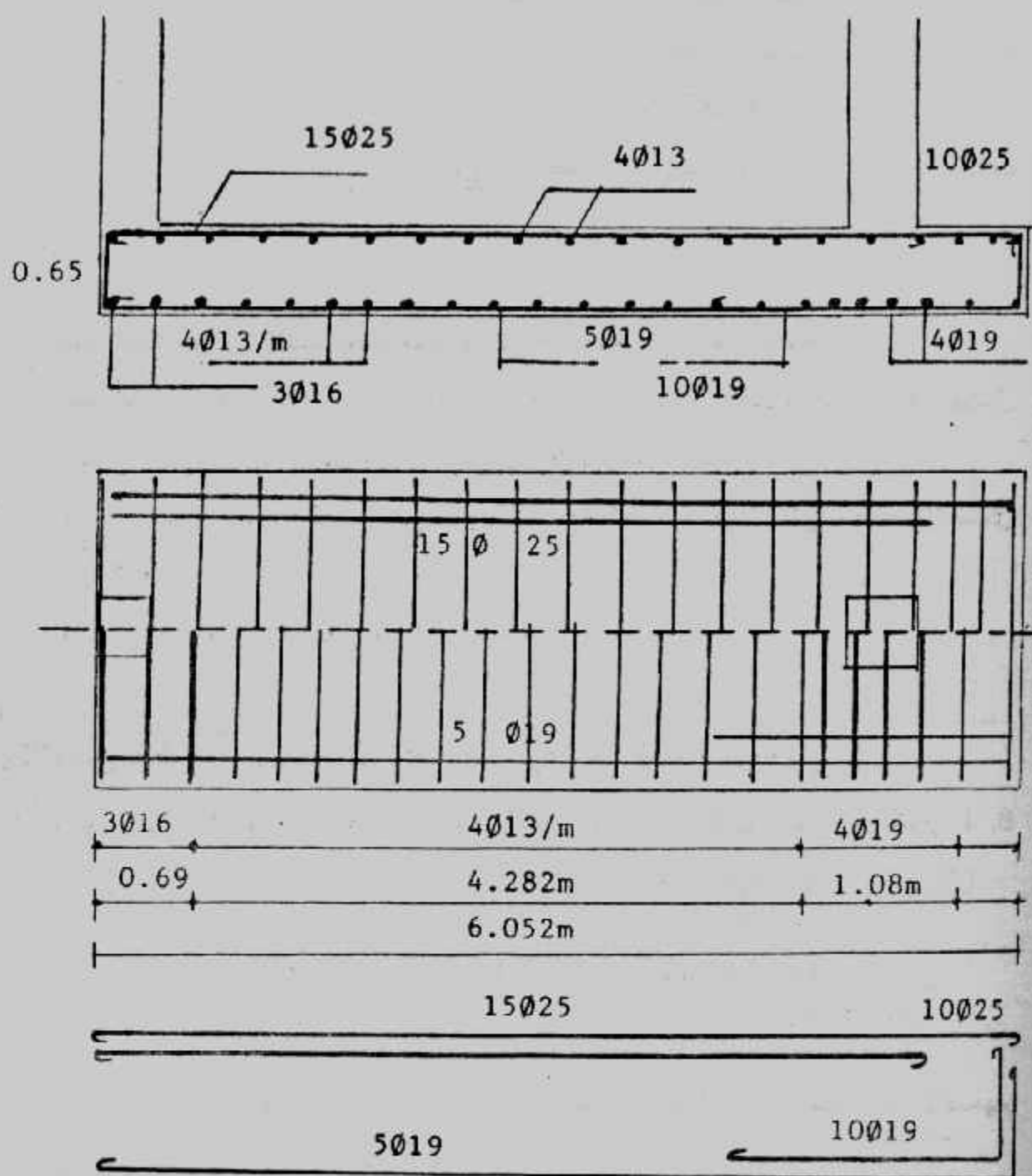
شكل (٣١-٦) : القوى الداخلية لمثال (٣١-٦)

تصميم القواعد ذات الشداد (القواعد الكابولية)

Design of Strap (Cantilever) Footings :

حينما تكون قاعدة الجار الخارجية كابولية أى أن حمل العمود يؤثر في غير مركزها (غير مركزي) فإنه يلزم ربط هذه القاعدة الكابولية بقاعدة أخرى داخلية مركبة من شداد أو كمرة عالية الجسام (Strap beam) . والشداد يعمل على نقل العزم الناتج عن عدم محوريّة الحمل على القاعدة الخارجية إلى القاعدة الداخلية وتكون الإجهادات المعرضة للتربة تحت القواعد منتظمة التوزيع.

والقواعد ذات الشداد تستخدم لنفس غرض القواعد المشتركة المستطيلة أو شبه المنحرف إذا كانت المسافة بين العمودين كبيرة وقدرة تحمل التربة عالية لا تحتاج لمساحة كبيرة . كما أن القواعد الكابولية أوفر من القواعد المشتركة الأخرى في المواد المستخدمة من خرسانة وحديد شكل (٣٣-٦) . وعند تصميم وتنفيذ الشداد (Strap) يجب مراعاة الاعتبارات الآتية :



شكل (٦-٣٢): تفاصيل التسلیح لمثال (٦-٥)

- الشداد يجب أن يكون جاسنا Rigid بدرجة كافية للتحكم في دوران القاعدة الخارجية ولذا يقترح أن يكون $a_{strap/footing} > 2$.
- القواعد يجب أن تكون متناسبة لتعطى إجهاداً متقارباً على التربة تحت القاعدين لتجنب حدوث الهبوط المتفاوت بقيمة كبيرة. وأفضل حل حينما تكون محصلة الأحمال منطبقة على مركز ثقل القاعدين، وهذا لا يتأتى إلا بعد محاولات عديدة.
- الشداد يجب إلا يلامس التربة حتى لا ينشأ ضغط تماس بينه وبين التربة مما يخالف اعتبارات التصميم.
- يهم وزن الشداد في اعتبارات التصميم.
- يجب التأكد من أن الشداد يعمل ككمرا عميقa (deep beam) من عدمه.
- حينما يكون عمق الشداد محدوداً يمكن زيادة عرضه لتحقيق الجساعة المطلوبة ويفضل أن يكون عرض الشداد على الأقل مساوياً لعرض أصغر عمود.
- يجب أن ينطبق محور الشداد على محور الأعمدة لتجنب حدوث اللي (Torsion) شكل (٣٣-٦).
- التأكد من أن اجهادات القص في الشداد آمنة.

وتلخص خطوات تصميم القواعد الكابولية ذات الشداد فيما يلى :

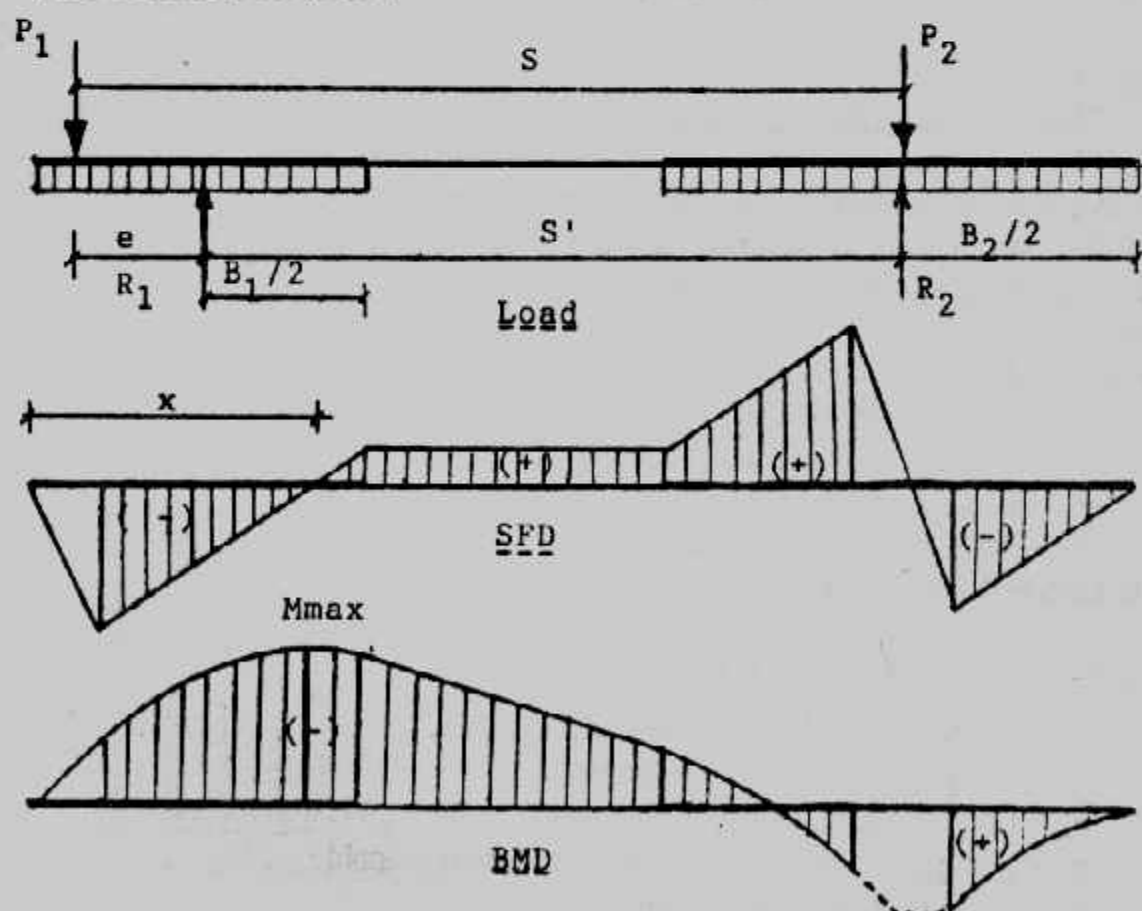
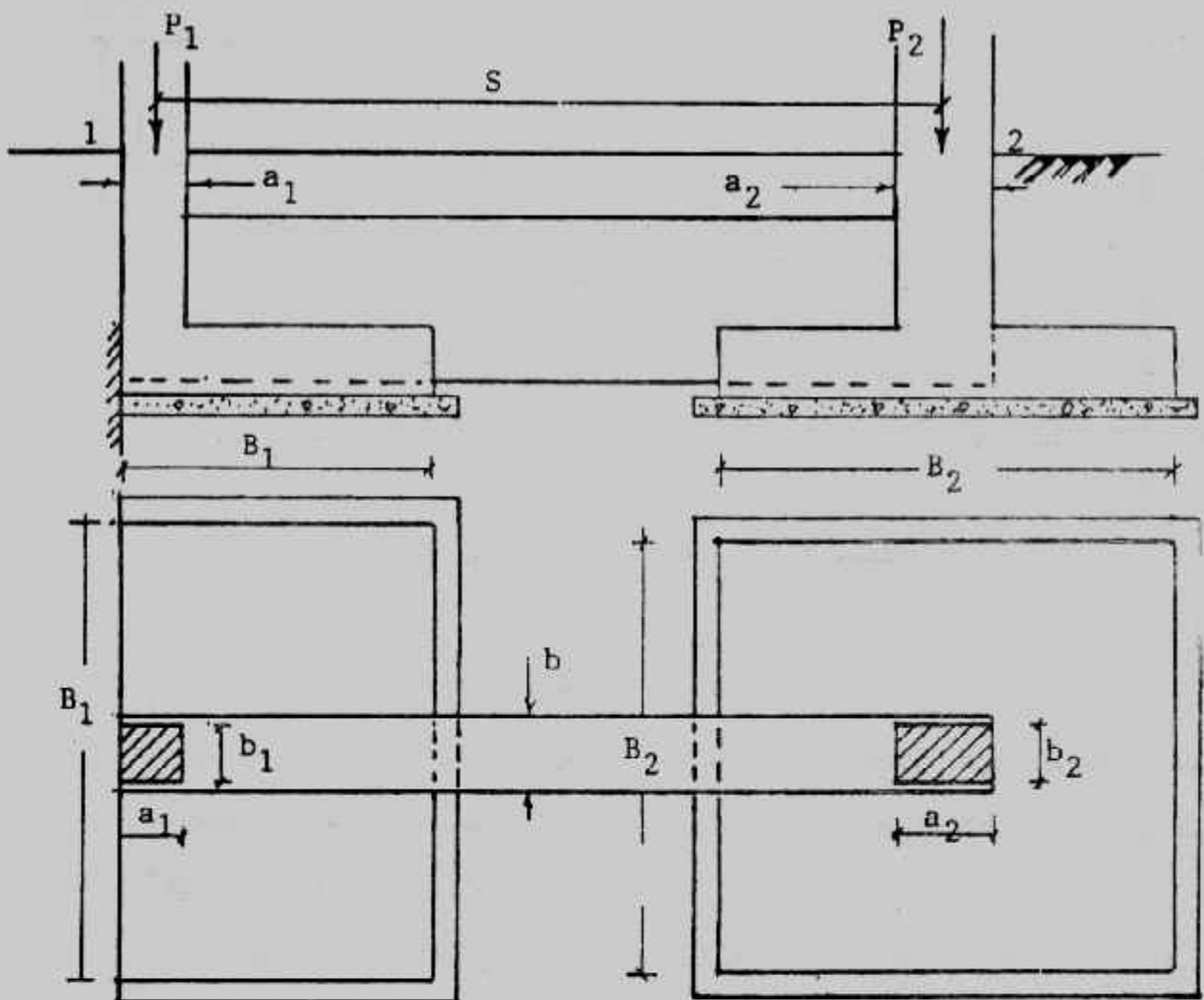
- يفرض طول القاعدة الخارجية L بحيث تكون $L > B_2$ لتقليل الدوران وتكون L متناسبة معاً.

$$e = L/2 - a_1/2$$

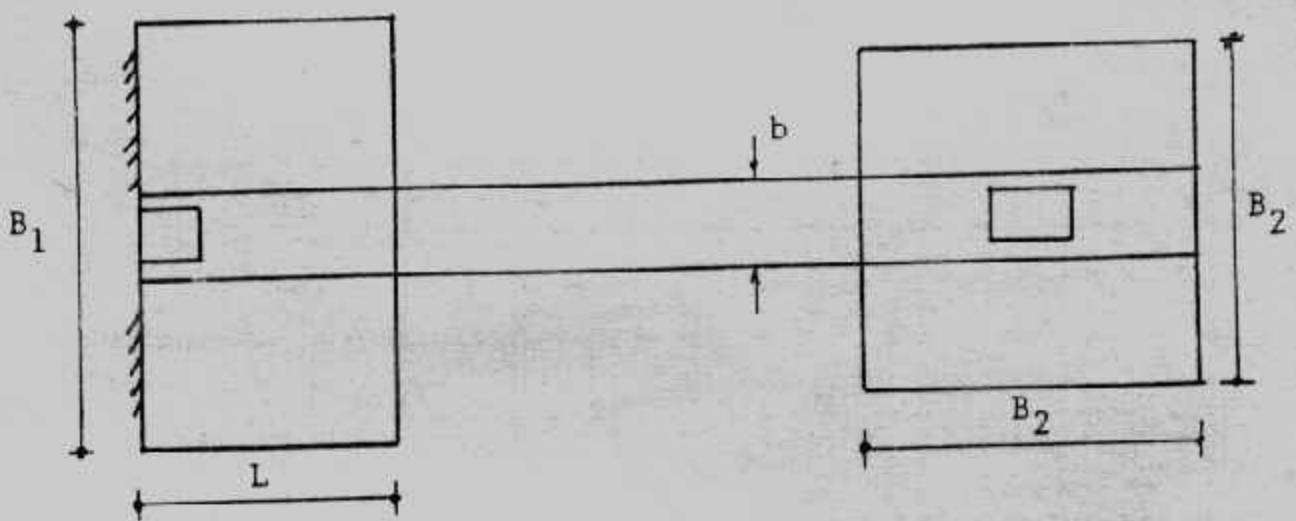
$$S' = S - e$$
- تعين محصلات ردود فعل التربة R_1, R_2 بأخذ العزوم عند محور العمود الداخلي

$$R_1 = P_1 \cdot S/S'$$

$$R_2 = (P_1 + P_2) - R_1$$
- تعين مساحات القواعد وتقرب الأبعاد لأقرب 5 سم ويلاحظ أنه من الأسهل في التصميم أن تؤخذ القاعدة الداخلية مربعة الشكل.
- يحسب الجهد النهائي للتربة أسفل القاعدين ويجب أن تكون القيم متقاربة وأقل من قدرة تحمل التربة المسموح بها.
- من النظام الاستاتيكي للأساس يرسم مخطط القص ومخطط العزم ويلاحظ أن أقصى عزم يقابل موضع القص الصفرى قرب نهاية القاعدة الخارجية.
- يصمم الشداد على تحمل القص والعزم السابق ايجادهما. كما يجب التأكد من أن الشداد القطرى (Diagonal Tension) في حدود المسموح به أو يقاوم باستخدام الحديد المكسع والكائنات متعددة الأفرع.



شكل (٦-٣٣) : تصميم القواعد الكابوليه .



شكل (٦-٣٤) : الشداد الممتد .

- تصميم القاعدة الخارجية على أنها قاعدة شريطية (Strip footing) .
- تصميم القاعدة الداخلية كقاعدة مربعة أو مستطيلة إذا كان الشداد ينتهي عند نهاية العمود .
أما إذا كان الشداد ممتد لنهاية القاعدة فتقسم هذه القاعدة على أنها قاعدة شريطية أيضا ،
شكل (٦-٣٤) .
- تقدم الرسومات التفصيلية لبيان الأبعاد الخرسانية والتسلیح شكل (٦-٣٥) .

Example (6-6):

Design a strap footing to support an exterior column 40 x 40 cm carrying a load of 80 t and an interior column 40 x 60 cm carrying a load of 145t. The distance centre to centre of columns is 5 m. The outside edge of the footing should not project beyond the outside face of exterior column. The net allowable soil pressure is 1.6 kg/cm² take $f_c = 60 \text{ kg/cm}^2$, $q_{nh} = 7 \text{ kg/cm}^2$, $q_p = 10 \text{ kg/cm}^2$

Solution :

Assume $L = 2 \text{ m}$

$$e = (2/2 - 0.4/2) = 0.8 \text{ m}$$

$$S = 5 - 0.8 = 4.2 \text{ m}$$

$$R_1 = 80 \times 5.0 / 4.2 = 95.24 \text{ t}$$

$$R_2 = (80 + 145) - 95.24 = 129.76 \text{ t}$$

$$\text{Area of footing 1} = 95.24 / 16 = 5.95 \text{ m}^2$$

$$L = 2 \quad B_1 = 5.95 / 2 = 2.975 \text{ taken } 3 \text{ m}$$

$$\text{Area of footing 2} = 129.76 / 16 = 8.11 \text{ m}^2$$

$$B_2 = \sqrt{8.11} = 2.848 \text{ m}^2 \text{ taken } 2.85 \text{ m.}$$

$$q_1 = 95.24 / 2 \times 3 = 15.87 \text{ t/m}^2$$

$$q_2 = 129.76 / 2.85 \times 2.85 = 15.975 \text{ t/m}$$

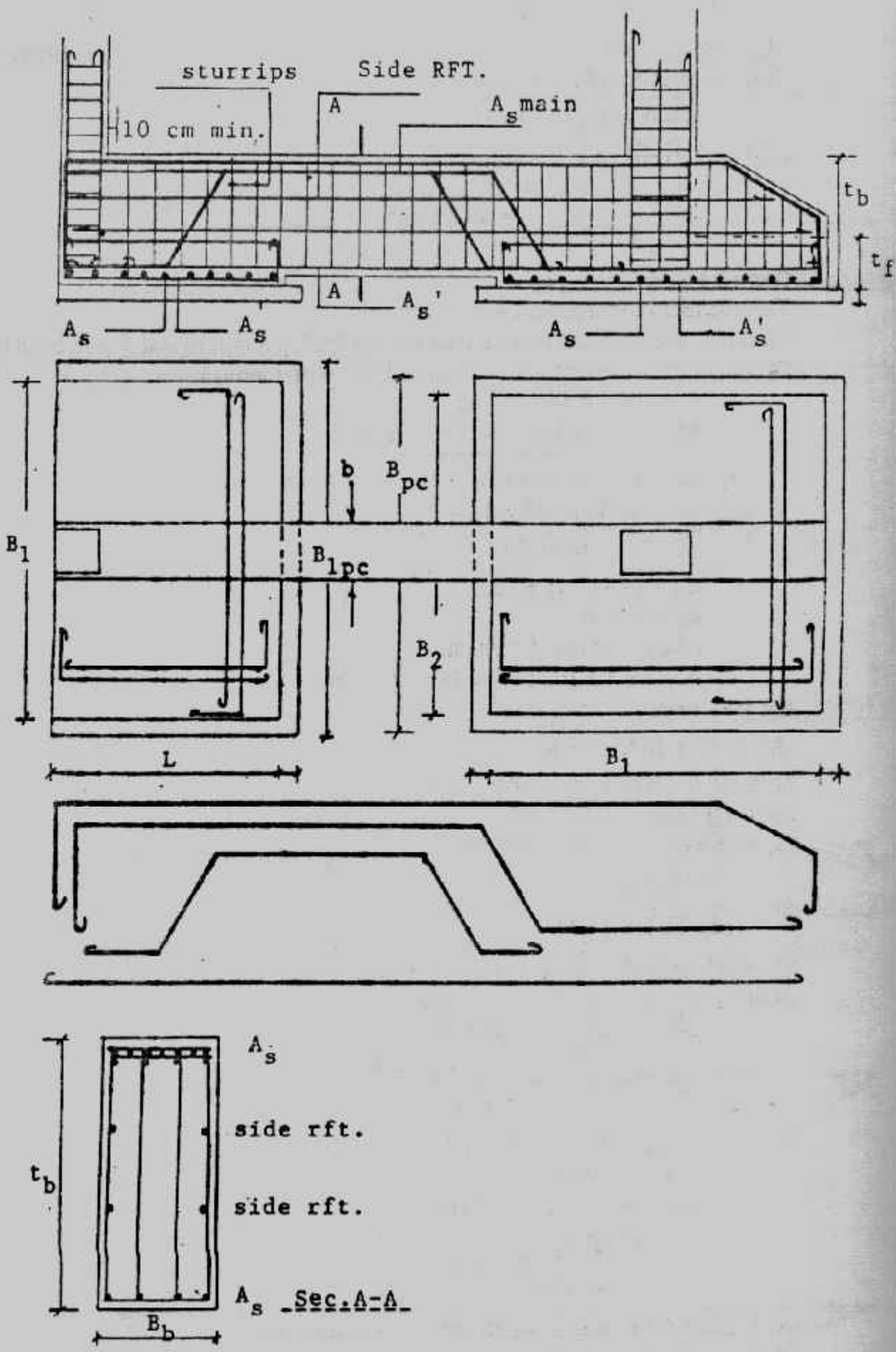
$q_1 \approx q_2 < q_{nh}$. So, the assumption of L is reasonable

$$q_1 \text{ t/m}^2 = 15.87 \times 3 = 47.61 \text{ t/m}$$

$$= 15.975 \times 2.85 = 45.53 \text{ t/m}$$

Shear force and bending moment diagrams are drawn and shown in Fig. (6-36)

Zero shear is at (x) from left edge



شكل (٣٥-٦) تسلیح القواعد الكابولیه

$$47.61(x) - 80 = 0$$

$$x = 1.68 \text{ m}$$

$M_{\max} = 80 \times (1.68 - 0.2) - 47.61 \times 1.68^2/2 = 51.21 \text{ m.t.}$ Design of strap beam
Take the breadth of the strap = 50 cm

$$d = 0.313 \sqrt{51.21 \times 10^3 / 50} = 100.17 \text{ cm}$$

take t = 110 cm, d = 103 cm

$$A_s = \frac{51.21 \times 10^5}{1217 \times 103} = 40.85 \text{ cm}^2$$

take 11 φ 22

Take bottom reinforcement 4 φ 16 (8 cm^2)

To satisfy the diagonal tension take 4 branches 6 φ 8 mm/m and 4 φ 22 bend bars.
Design of the exterior footing (designed as a strip footing).

$$C = (3.0 - 0.5) = 1.25 \text{ m}$$

$$M = 15.87 \times 1 \times 1.25^2/2 = 12.4 \text{ mt}$$

$$d_m = 0.313 \sqrt{12.4 \times 10^5 / 100} = 34.85 \text{ cm}$$

$$d_{sh} = \frac{15.87(1.25 - d_m)}{100 \times 70}$$

$$d_{sh} = 19.84 - 15.87 d_m$$

$$d_{sh} = 0.23 \text{ m}$$

take t = 45 cm, d = 38 cm

$$A_s = 12.4 \times 10^5 / 1217 \times 38 = 26.81 \text{ cm}^2$$

use 10 φ 19/m'

$$A_s^1 = 0.2 \times 26.81 = 5.362$$

$$\text{or } A_{s\min} = 0.002 \times 100 \times 38 = 7.6 \text{ cm}^2$$

use 6 φ 13 /m'

$$Q_b = 15.87 \times 1 \times 1.25 = 19.625 \text{ t}$$

$$q_b = \frac{19.625 \times 10^3}{28.81 \times 10^5 / 285} = 31.5 \text{ cm}$$

$$Q_p = 145 - 15.975 \times 1.725 \times 0.5 = 131.22 \text{ t}$$

$$\text{Perimeter} = 50 + 2 \times 172.5 = 395 \text{ cm}$$

$$d_p = 131.22 \times 10^3 / 395 \times 10 = 33.22 \text{ cm}$$

$$d_{sh} = \frac{15.975(1.125 - d_p) 2.85}{2.85 \times 60}$$

$$60 d_{sh} = 17.97 - 15.975 d_{sh}$$

$$d_{sh} = 0.24 \text{ m}$$

take t = 45 cm, d = 38 cm²

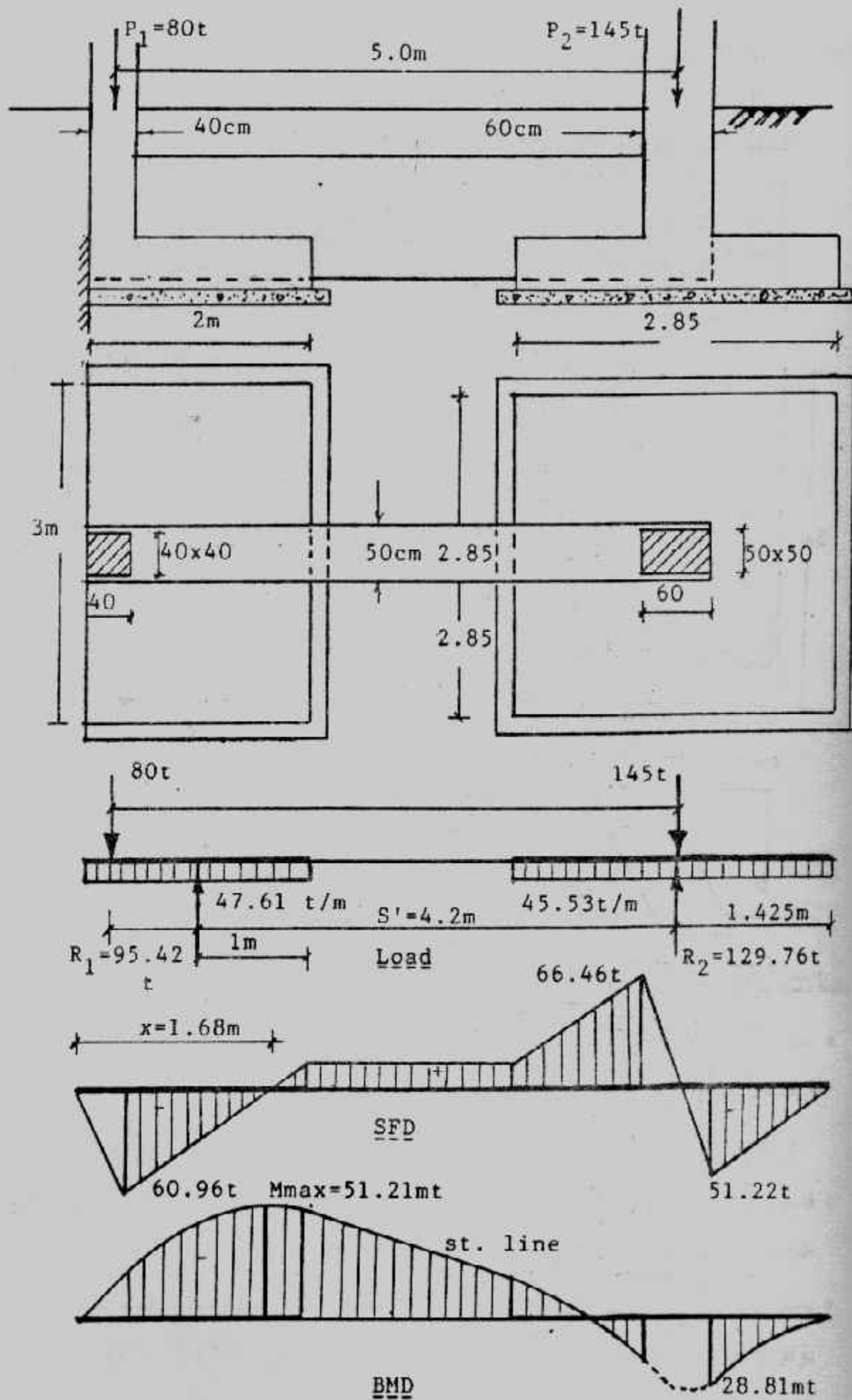
$$A_s = \frac{28.81 \times 10^5}{1217 \times 38} = 62.3 \text{ cm}^2$$

use L-shape 31 φ 16 over width 285 cm both direction

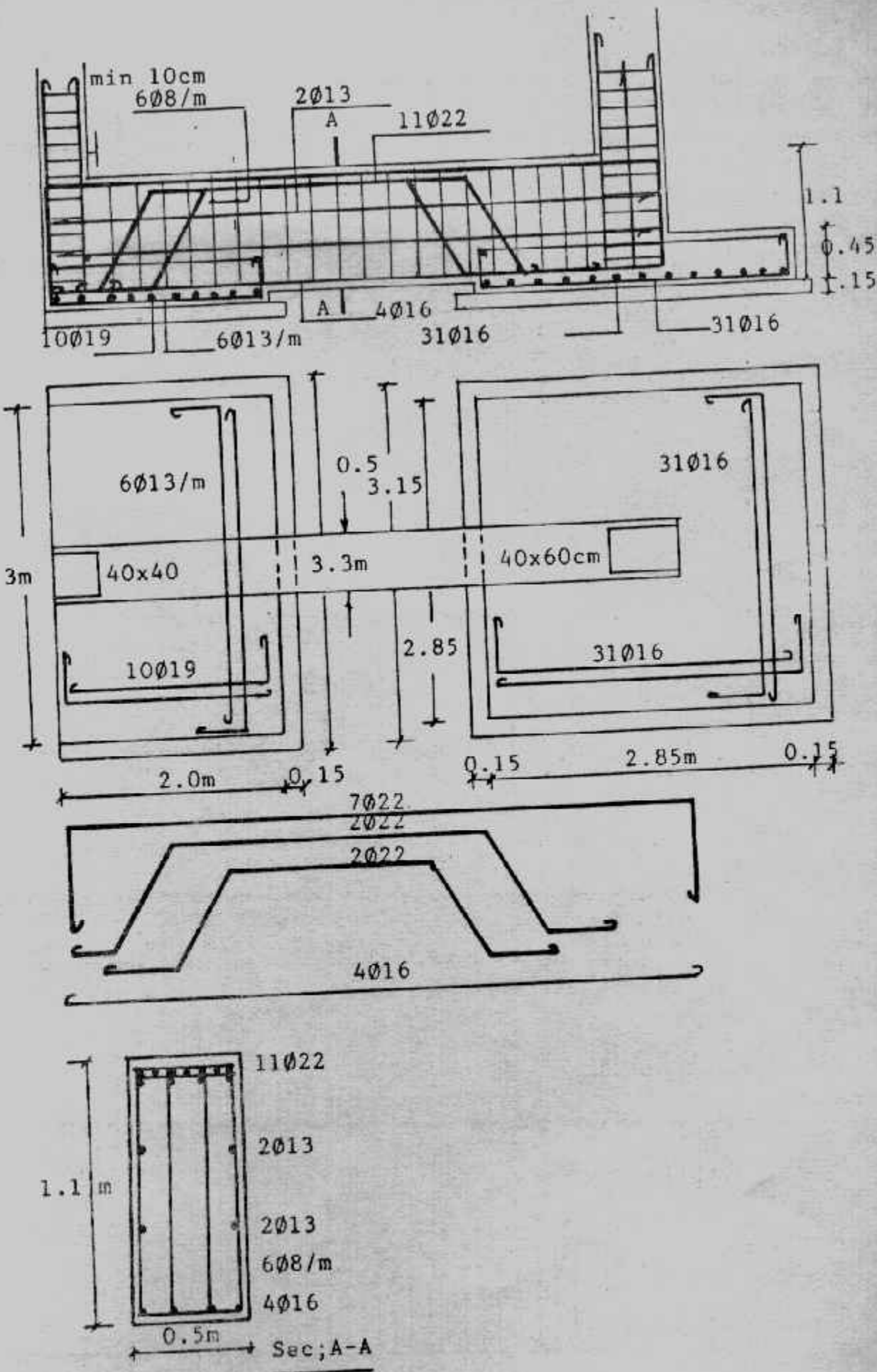
$$q_b = \frac{51.22 \times 10^3}{0.87 \times 31 \pi 1.6 \times 38} = 9.94 \text{ kg/cm}^2$$

O.K.

Details of dimensions and reinforcement are shown in Fig. (6-37)



شكل (٦-٦) : القوى الداخلية لمثال (٦-٦)



شكل (٦-٣٧) : أبعاد وتسليح مثال (٦-٦).

Example (6-7):

Redo example (6-6) if the strap is extended to the right side of interior footing

Solution :

The design is performed by the same manner except the following steps :

For strap beam

$$103 = K_1 \sqrt{28.81 \times 10^5 / 50}$$

$$K_1 = 0.43, \quad K_2 = 1254$$

$$A_s \text{ bottom} = 28.81 \times 105 / 1254 \times 103 = 22.31 \text{ cm}^2$$

take 4 φ 22 + 4 φ 16

For interior footing :

The interior footing is designed as a strip footing

$$C = (2.85 - 0.5) / 2 = 1.175 \text{ m}$$

$$M = 15.975 \times 1.175^2 / 2 = 11.03 \text{ mt}$$

$$d_m = 0.313 \sqrt{11.03 \times 10^5 / 100} = 32.87 \text{ cm}^2$$

$$d_{sh} = \frac{15.975(1.175 - d_m)}{1.0 \times 70}$$

$$70 d_{sh} = 18.77 - 15.975 d_{sh}$$

$$d_{sh} = 0.21 \text{ m}$$

$$\text{take } t = 45 \text{ cm}, d = 38 \text{ cm}$$

$$A_s = 11.03 \times 10^5 / 1217 \times 38 = 23.85 \text{ cm}^2$$

$$\text{use } 9 \phi 19 / \text{m} \text{ and } A_s = 6 \phi 13 / \text{m}$$

$$Q_b = 15.975 \times 1 \times 1.175 = 18.77 \text{ t}$$

$$q_b = \frac{18.77 \times 10^3}{0.87 \times 9\pi \times 1.9 \times 38} = 10.557 \text{ t/m}$$

use L-shape 10 φ 19 / m

Details of reinforcement are shown in Fig. (6-38)

حالات خاصة للقواعد ذات الشداد :

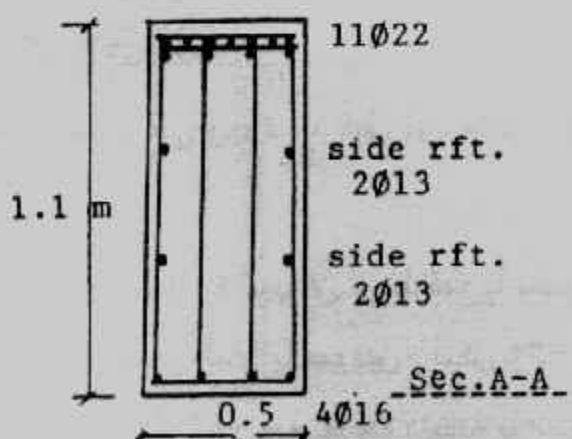
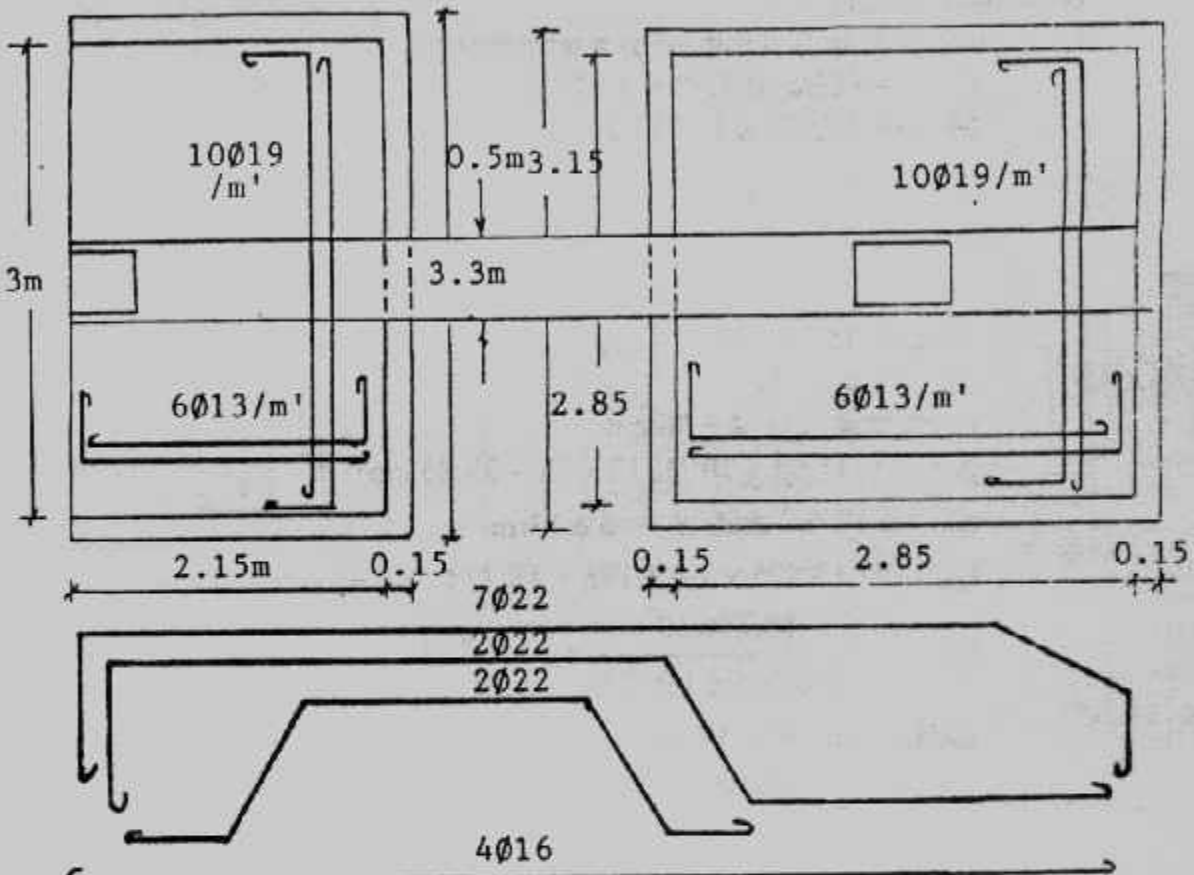
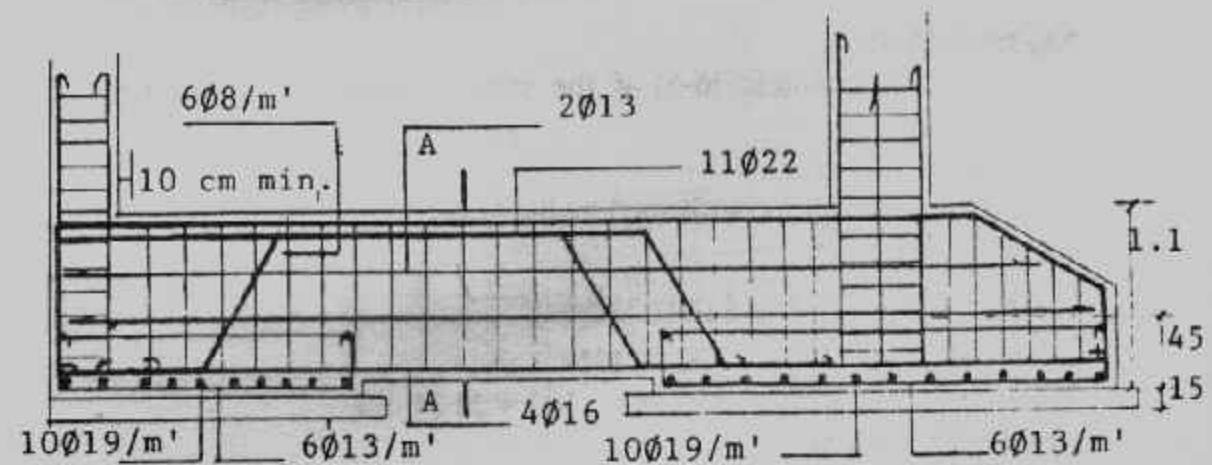
- عندما تكون القاعدة الداخلية بعيدة فإنه يمكن ربط الشداد في سهل داخلي شكل (٦-٣٩) ويصمم السهل على وجود رد فعل من الشداد لأعلى عليه R.

$$R(S - S') = R' \cdot S'$$

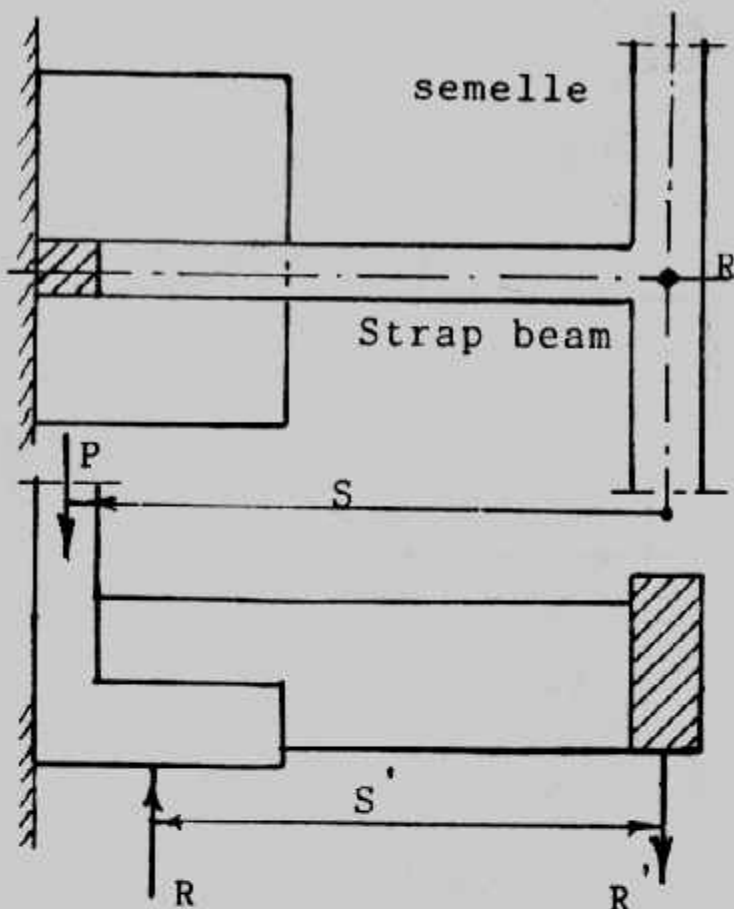
$$R' = R(S - S')/S$$

- قاعدة الركن المجاورة للجبران تربط قطريا بعمود داخلي مع مراعاة أن ينطبق محور اشداد على المحور المار بالعمودين . شكل (٦-٤٠) .

- يمكن ربط القاعدة الخارجية بقاعدة داخلية بواسطة سداد مائل مع تجنب حدوث اللي بوقوع القوى ومحصلات ردود فعل التربة على نفس المحور شكل (٦-٤١) . وفي حالة الميل الزائد يمكن استخدام شدادين شكل (٦-٤٢) .



شكل (٦) : مثال (٣٨-٦)

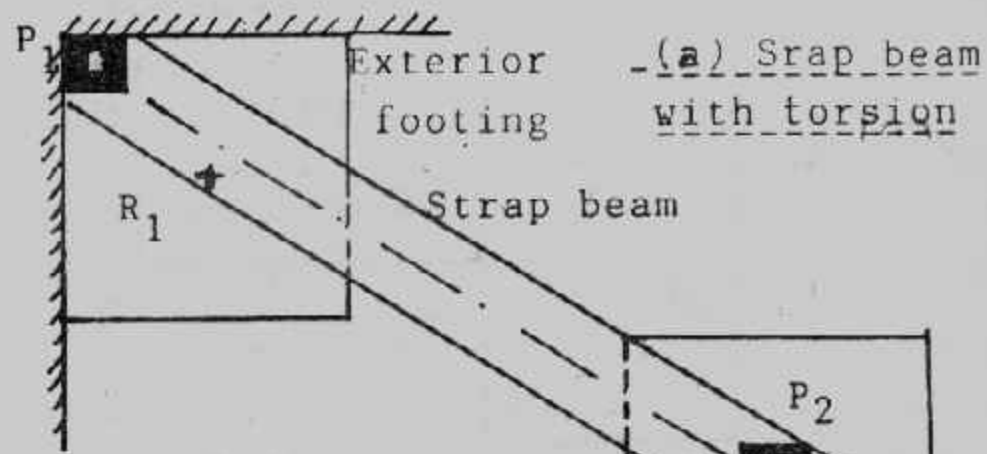


شكل (٦-٣٩) : تحمل الشداد على سمل .

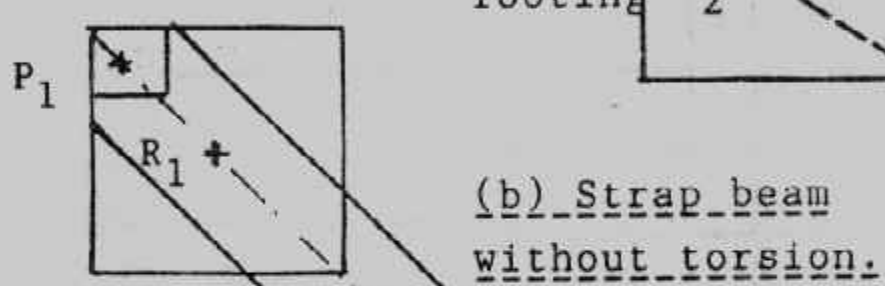
• يمكن ربط قاعدتين خارجيتين بقاعدة واحدة داخلية شكل (٤٣-٦) . وفي هذه الحالة يؤخذ تصميم القاعدة (١)، (٢) معا، ثم القاعدتين (٣)، (٤) معا عند تصميم الشداد والقواعد الخارجية، أما القاعدة الداخلية (٤) فتصمم على الحالة الأخرج وهى التى تجعل رد فعل التربة على القاعدة الداخلية أكبر ما يمكن .

• حينما لا يوجد قواعد داخلية أو سملات قريبة من قاعدة الجار يتم عمل قاعدة فى نهاية الشداد وزنها يزيد مرة ونصف عن رد فعل الشداد على هذه القاعدة (أى معامل الأمان هنا ١,٥)، أو تنفذ قاعدة صغيرة يوضع عليها بلوكتات ذات أوزان تعادل المطلوب، شكل (٤٤-٦)، وتحسب الأوزان مساوية مرة ونصف رد فعل R_2 حيث :

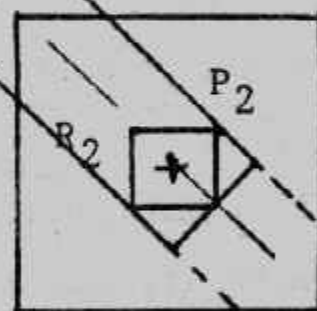
$$R_2 = P_1 (S - S')/S'$$



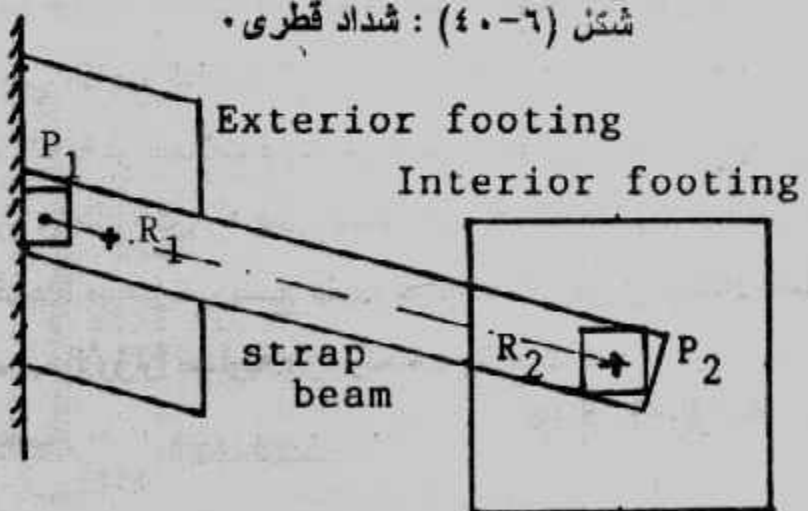
- (a) Strap beam
with torsion



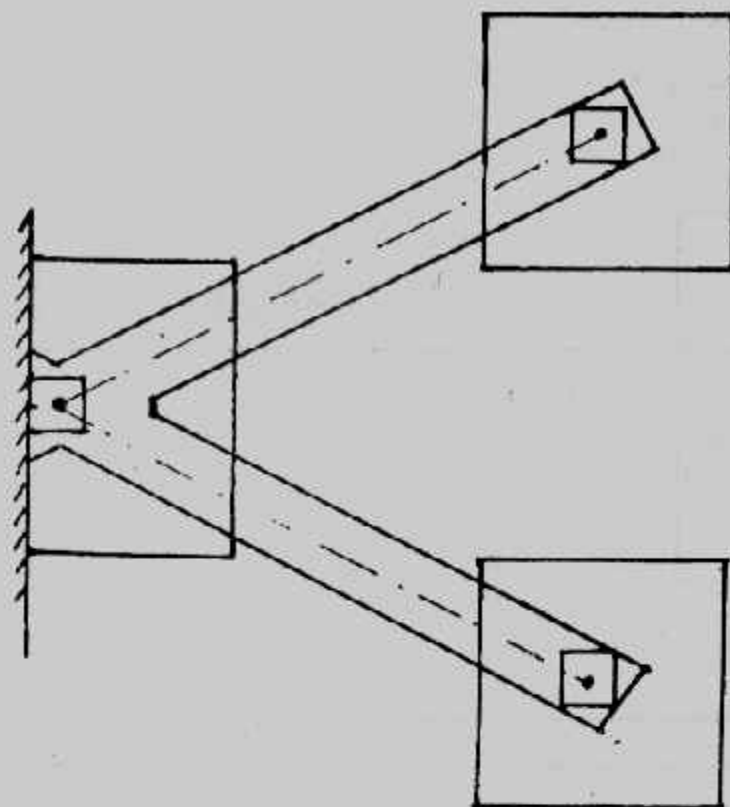
(b) Strap beam
without torsion.



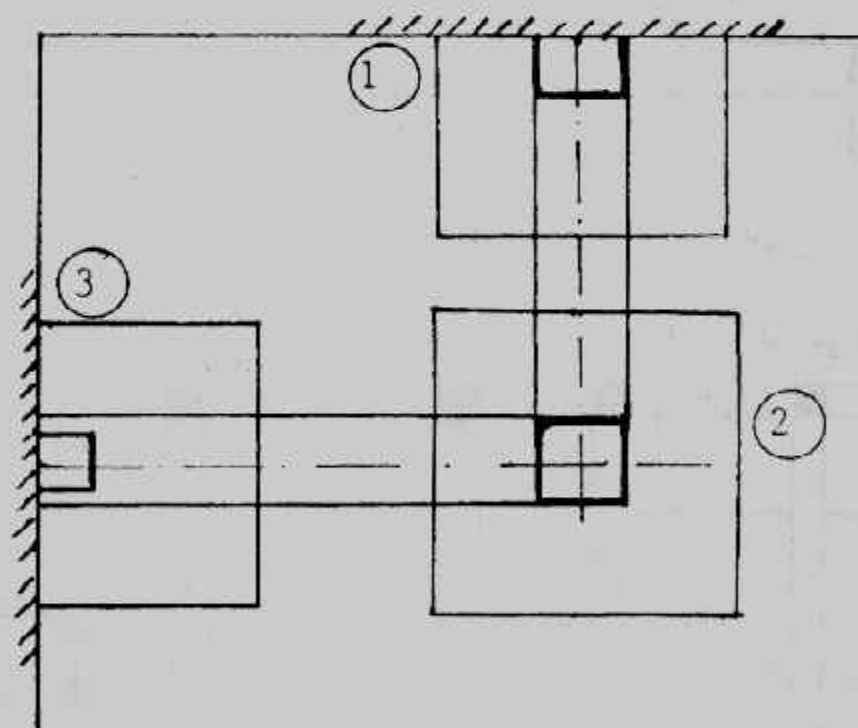
شکل (٤٠-٦) : شداد قطری .



شکل (٤١-٦) : شداد مائل .



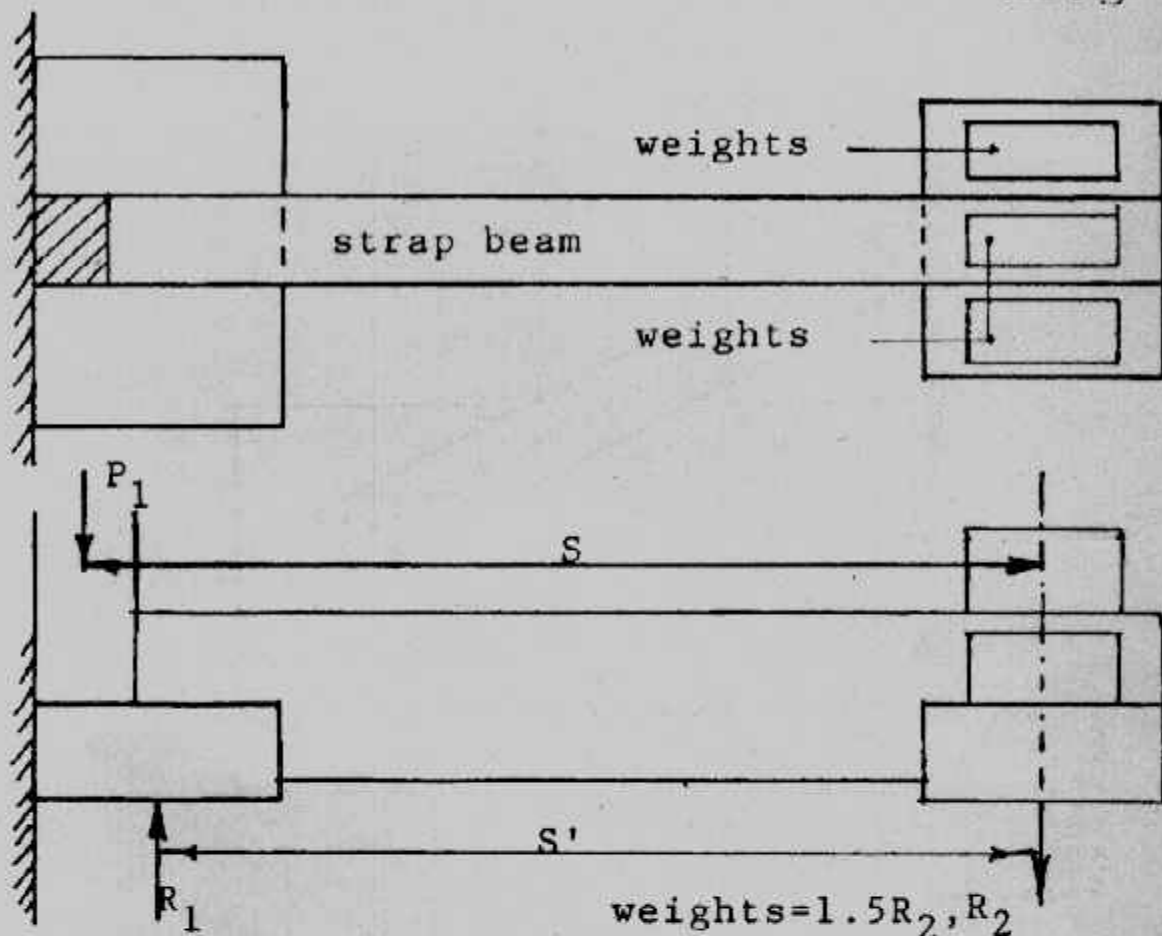
شكل (٦-٤) : قاعدة خارجية بشدادين مائلين .



شكل (٦-٣) : ربط قاعدتين خارجيتين بقاعدة واحدة داخلية .

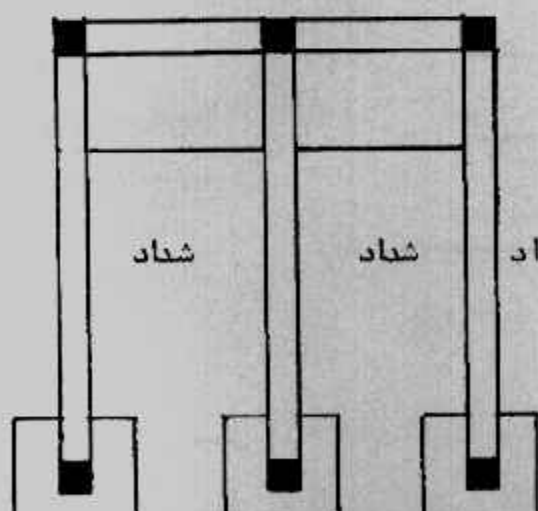
ويلاحظ أنه كلما زاد طول الشداد قلت قيمة الأوزان المستخدمة ولكن أبعاد وتسليح الشداد نفسه تزداد . وفي هذه الحالة يجب العناية بربط الشداد بالقاعدة الداخلية المعرضة لقوى الأسفل .

- يمكن ربط قاعدة جار شريطية بقواعد داخلية منفصلة أو شريطية شكل (٦٤).
- في جميع حالات القواعد ذات الشداد يجب العناية الخاصة بربط الشداد بالقواعد وبالأعمدة.



شكل (٦٤) : ربط قاعدة كابولية بدون عمود داخلي .

أساس شريطي خارجي



أساس شريطي خارجي



شكل (٦٥) : ربط قاعدة الجار الشريطية .

الباب السابع

تصميم اللبسة بالطرق التقليدية

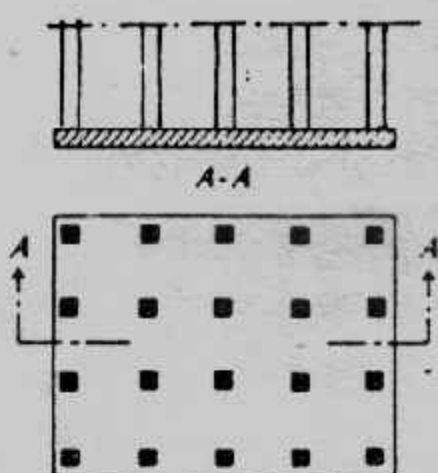
Traditional Design Method for Raft (Mat)

أساسات اللبسة (أو الحصيرة) Raft or Mat هي كتلة خرسانية عbara عن بلاطة لا كمرية أو بلاطة بكمارات تستخدم للتأسيس لعدد من الأعمدة في اتجاهين مختلفين (أكثر من عمودين). واللبسة عbara عن أساس مشترك، كما أنها تعتبر سقف خرساني مقلوب ترتكز عليه الأعمدة، كما أن اللبسة تدخل ضمن تصنيف الأساسات السطحية وتستخدم أساسات اللبسة في الحالات الآتية :

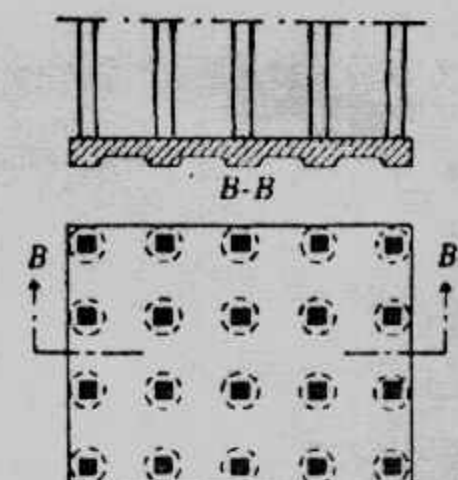
١. تستخدم اللبسة كأساسات مرنة للمنشآت ذات الكتلة الواحدة مثل صوامع الغلال والأسمنت والمداخن والمآذن والخزانات والأبراج والماكينات الكبيرة.
٢. حيث تكون قدرة تحمل التربة (جهد التربة) صغيرة أو أحمال الأعمدة كبيرة بقدر يجعل الأساسات السطحية الأخرى - إذا استخدمت - تغطي أكثر من ٥٠٪ من مساحة موقع المبني حيث تكون أساسات اللبسة في هذه الحالة أفضل هندسياً واقتصادياً.
٣. في حالة التربة الغير متجانسة الخواص على مساحة موقع المبني مما يخشى معه حدوث الهبوط المتباين.
٤. في حالة التربة القابلة للانضغاط Compressible soil حيث لا يمكن التحكم في الهبوط المتباين.
٥. للمنشآت ذات البدرومات التي تتواجد أسفل منسوب المياه الجوفية مما يستلزم استخدام أساس لبسة يجعل للبدروم مناعة عالية لتسرب المياه الجوفية داخله.
٦. في حالات خاصة للتربة اللينة ذات الانضغاطية العالية ويسمى في هذه الحالة Floating Raft حيث يزال حجم من تربة الموقع يعادل وزن المنشآت أو وزن جزء منه بحيث يقل هبوط هذه التربة إلى قيمة مقبولة أو مسموح بها.
٧. للمنشآت ذات الحساسية العالية للهبوط المتباين.

أنواع أساسات اللبسة : Types of Raft (Mat) Foundation

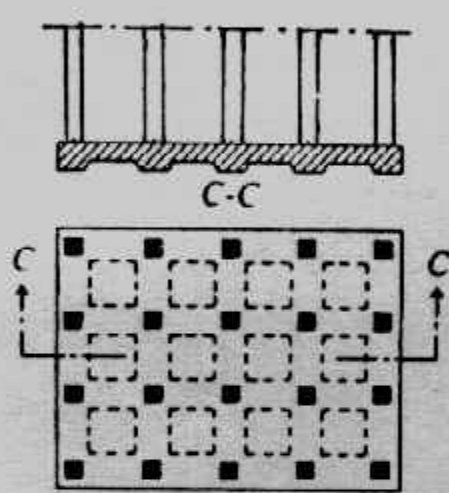
تستخدم عدة أنواع من أساسات اللبسة شكل (١-٧) منها :



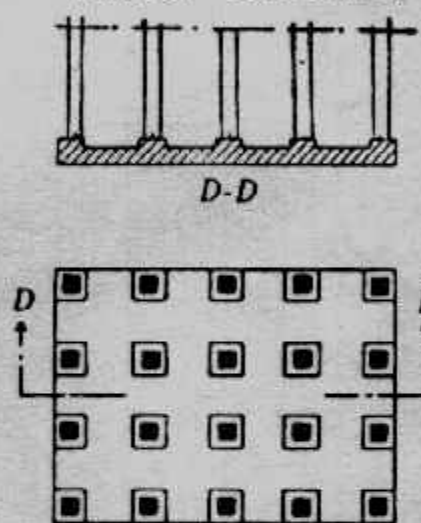
(a) flat slab



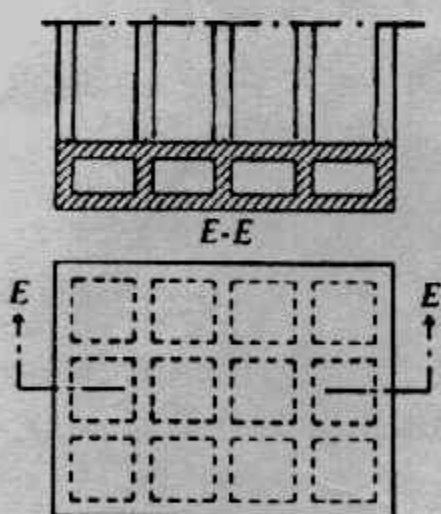
(b) plate thickened under columns



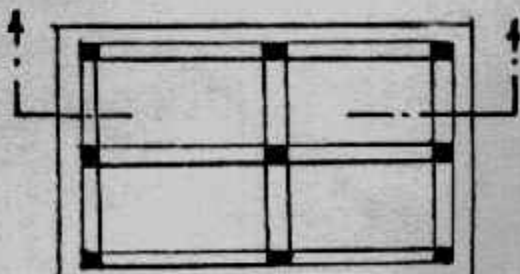
(c) waffle-slab



(d) plate with pedestals



(e) base walls as part of mat (f) ribbed raft



شكل (١-٧): أشكال النشرة.

- ١- اللبسة المسطحة Flat Raft وهي بلاطة خرسانية منتظمه السطح لا كمرية وهذا النوع من أكثر الأنواع استخداماً ويكون مناسباً عندما تكون العمدة ذات تقسيط متقارب وفي صفوف منتظمة أو شبه منتظمة . ويتراوح سمك هذه اللبسة بين ٦٠ سم إلى ٢ متر .
- ٢- اللبسة المسطحة المقواة تحت الأعمدة Flat Raft Thickened Under Columns : وهذا النوع يزداد سمك اللبسة المسطحة أسفل الأعمدة ذات الأحمال الكبيرة لمقاومة قص الاختراق وعزم الانحناء أسفلها وقد تكون هذه الزيادة في السمك أسفل البلاطة أو أعلى لها Pedestal .
- ٣- اللبسة الكمرية Beams and Slab Raft يمكن استخدام كمرات رئيسية وثانوية في اتجاهين وتقع الأعمدة عند نقط تقابل الكمرات، وقد تكون هذه الكمرات أسفل البلاطة أو أعلى البلاطة .
- ٤- لبسة البلاطة بالحوائط (لبسة الصندوقية) Slab with Basement Walls (Box Raft) يستخدم هذا النوع حينما تكون العزوم على اللبسة كبيرة وذلك نتيجة لكبر حمل الأعمدة واتساع المسافات بين الأعمدة . ويمكن عمل اللبسة على شكل صندوقي بعمل تجاويف خلوية في اللبسة لزيادة سمك الأساس بدون زيادة كبيرة في وزن الأساس . كما يمكن عمل اللبسة في صورة بناء صندوقي باستخدام حوائط وأسقف وأرضية متصلة اتصالاً صلباً ومستمراً (كهيكل جاسنة) .

الهبوط المتباين للبلاطة : Differential Settlement of Raft

أساسات اللبسة كأى أساس يجب أن تكون آمنة من انهيار القص Shear Failure وأمنة من الهبوط الزائد Excessive Settlement والهبوط عادة لا يرتبط بالترابة الرملية وإنما يرتبط بالترابة الناعمة وقد اقترح معهد الخرسانة الأمريكي ACI الطريقة الآتية لحساب الهبوط المتباين لأساسات اللبسة وذلك باستخدام معامل الجسام K_r والذي يحسب من :

$$K_r = \frac{E I_b}{B_s B^3}$$

where : E = modulus of elasticity of the material used in the structure.

E = modulus of elasticity of the soil

B = width of foundation

I_b = moment of inertia of the structure per unit length at right angles to B.

أما الجزء E I_b فيعبر عنه :

$$E' I_b = E \left(I_F + S I_b + S \frac{ah^3}{12} \right)$$

where $E' I_b$ = flexural rigidity of the foundation per unit length at right angles to B

$\Sigma E' I_b$ = flexural rigidity of the framed members

$\Sigma (E' ah^3/12)$ = flexural rigidity of the shear walls

a = shear wall thickness

h = shear wall height

واعتماداً على قيمة K_r فإن النسبة δ وهي :

δ = Differential settlement/total settlement

فإنها تحسب كالتالي :

1- If $K_r > 0.5$, it can be treated as a rigid mat, and $\delta = 0$

2- If $K_r = 0.5$, then $\delta \approx 0.1$.

3- If $K_r = 0$ $\delta = 0.35$ for square mats ($B/L = 1$) and $\delta = 0.5$ for long

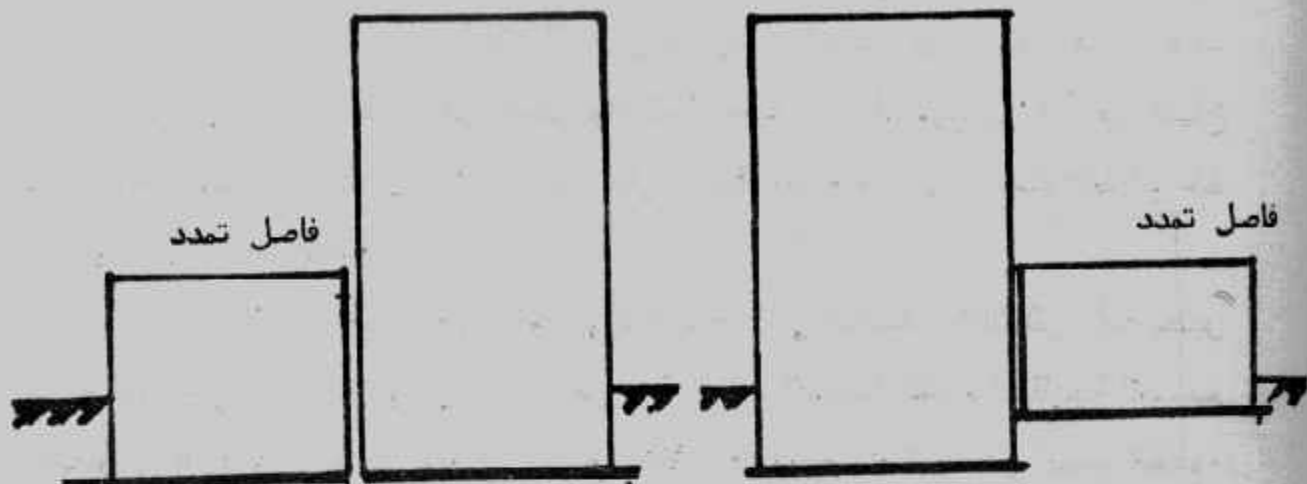
تنفيذ اللبسة : Construction fo Raft

يمكن تنفيذ اللبسة على تربة التأسيس (بينهما خرسانة عادية طبعاً) أو على خوازيق ذات تقسيط متساوٍ في الاتجاهين . وتنفذ اللبسة من الخرسانة المسلحة والتي تصب في مساحات صغيرة أبعادها عادة 6×6 متراً ولا تزيد عن 10×10 متراً وذلك لتجنب حدوث شروخ الإنكماس Shrinkage Cracks ويجب اختيار وصلات الصب بعناية عند أماكن القص المنخفض والتي غالباً ما تكون في منتصف البحور بين الأعمدة وتترك فترة زمنية لا تقل عن ٢٤ ساعة بين صب المساحات المجاورة كما يجب أن تبقى أسياخ التسلیح مستمرة عبر الوصلات وعند الحاجة لوصل أسياخ التسلیح فإنه يجب ألا يقل طول وصلة الأسياخ عن ٥٠ مرة قطر السيخ . كما يجب أن تكون الخرسانة قوية لنقل قوى القص عبر الوصلات .

ولبسة الخرسانة المسلحة كل الأساسات الخرسانية المسلحة لا توضع فوق التربة مباشرة بل يجب صب لبسة من الخرسانة العادية أسفلها وذلك لتسهيل العمل في الموقع عند رص الحديد ومنع الميا الجوفية من الالتحام بالخرسانة المسلحة للبسة وفي هذه الحالة يكون منسوب التأسيس أسفل الخرسانة العادية وهو المنسوب الذي حسبت عنده قدرة تحمل التربة .

وفي بعض أنواع التربة اللينة والمغمورة بالمياه الجوفية عند منسوب التأسيس فإنه يمكن استخدام طبقات الإحلال من الدقشوم أو الزلط أو خليط الزلط بالرمل مع الدمك الجيد وذلك لمنع هروب الخرسانة في التربة اللينة أو اختلاطها بالتربة وانفصال مكوناتها بتأثير المياه الجوفية ، ويحدد سماكة طبقة الإحلال حسب حالة التربة واعتبارات التصميم ولكن

يجب ملاحظة أنه في حالة أساسات اللبسة فإن طبقات الإحلال لا تكون مؤثرة في تقليل الإجهادات الواسلة من اللبسة للتربة كما هو الحال في القواعد المنفصلة، وعند تنفيذ مبني يتكون من أكثر من ارتفاع على لبسة كما في شكل (٢-٧).



شكل (٢-٧) : مبني متغير الارتفاع على لبسة

فإنه يجب عمل فاصل هبوط بين جزئى أو أجزاء المبنى المتباينة فى الارتفاع وذلك بسبب اختلاف الضغط الواقع من أجزاء المبنى على التربة والذى يؤدي إلى حدوث هبوط مختلف ومتباين . كما يمكن فى بعض الحالات تغيير منسوب التأسيس لهذه الأجزاء .

تصميم اللبسة : Design of Raft

كان وما يزال تصميم اللبسة بدقة وبأخذ جميع اعتبارات التصميم عملا ليس سهلاً . ولذلك فقد بدأ الباحثون تصميم اللبسة بطرق تقريرية بسيطة تؤدى إلى حلول تقريرية ، ويطلق على هذه الطرق "طرق التقليدية" . ثم مع التوسع فى استخدام طرق التحليل العددى ومع انتشار استخدام الحسابات الإلكترونية أمكن تصميم اللبسة بطرق أكثر دقة .

وتصميم اللبسة كعنصر جاسى Rigid Raft أو كلبسة مرنة Flexible Raft . وتعامل اللبسة كعنصر جاسى حينما يكون الإجهاد الذى تنقله إلى التربة منتظم التوزيع ويتساوى الوزن الكلى للمبنى مقسوما على مساحة اللبسة ، ويحدث ذلك عندما تطبق محصلة الأحمال مع مركز نقل اللبسة . وهذا الافتراض صحيح إذا كانت الأعمدة متقاربة الأحمال والبحور وهذا طبعاً يصعب تحقيقه عملياً فى جميع الأحوال ، ولذلك فإنه يمكن تحقيق هذا الافتراض إذا كان التجاوز فى الحمل والبحور لا يتعدي ٢٠٪ . ويمكن تقسيم اللبسة إلى

عدد من الأجزاء حسب كثافة التحميل ويصمم كل جزء على متوسط الإجهاد الواقع عليه . وتعامل اللبسة كعنصر جاسى عندما تتفذ على تربة غير قاسية لأن اللبسة على هذه الترب تعيد توزيع الإجهادات عندما يحدث هبوط غير متساو . وتصنّم اللبسة كعنصر مرن Flexible عندما تتعرض اللبسة إلى أحمال لا مركزية كبيرة أو عندما تتفذ على تربة قاسية Stiff . وعند تصميم اللبسة المرنة فإنه إذا لم يؤخذ الهبوط المتباين في الاعتبار فإن ضعف حديد التسلیح المحسوب يستخدم في التسلیح وقد تصل نسبة حديد التسلیح إلى ١٪ من قطاع اللبسة مقسمة إلى حديد علوي وحديد سفلی . وفي اللبسة المرنة قد يزيد سمك القطاع عند الأعمدة لمنع الانهيار بالقص .

ويجب الإشارة إلى أن وزن الحصيرة لا يدخل في الحساب الإنشائي لأنه يعتبر حمل مباشر على الأرض . وسوف تقدم في هذا الباب تفصيلاً الطرق التقليدية لتصميم اللبسة وهي طرق تقريرية لحد ما . أما الطرق الأكثر دقة فسوف تناقشها في الباب القادم . والطرق التقريرية تستخدم حينما تكون اللبسة عالية الجسامه والأعمدة مقاربة التحميل والبحور . وهذه الطرق هي :

- ١- تصميم اللبسة كقاعدة مستمرة .
- ٢- تصميم اللبسة كبلطة منبسطة .
- ٣- تصميم اللبسة بالطريقة التقليدية .
- ٤- تصميم اللبسة الكمرية .

أولاً : تصميم اللبسة كقاعدة مستمرة : Continuous Footing Raft

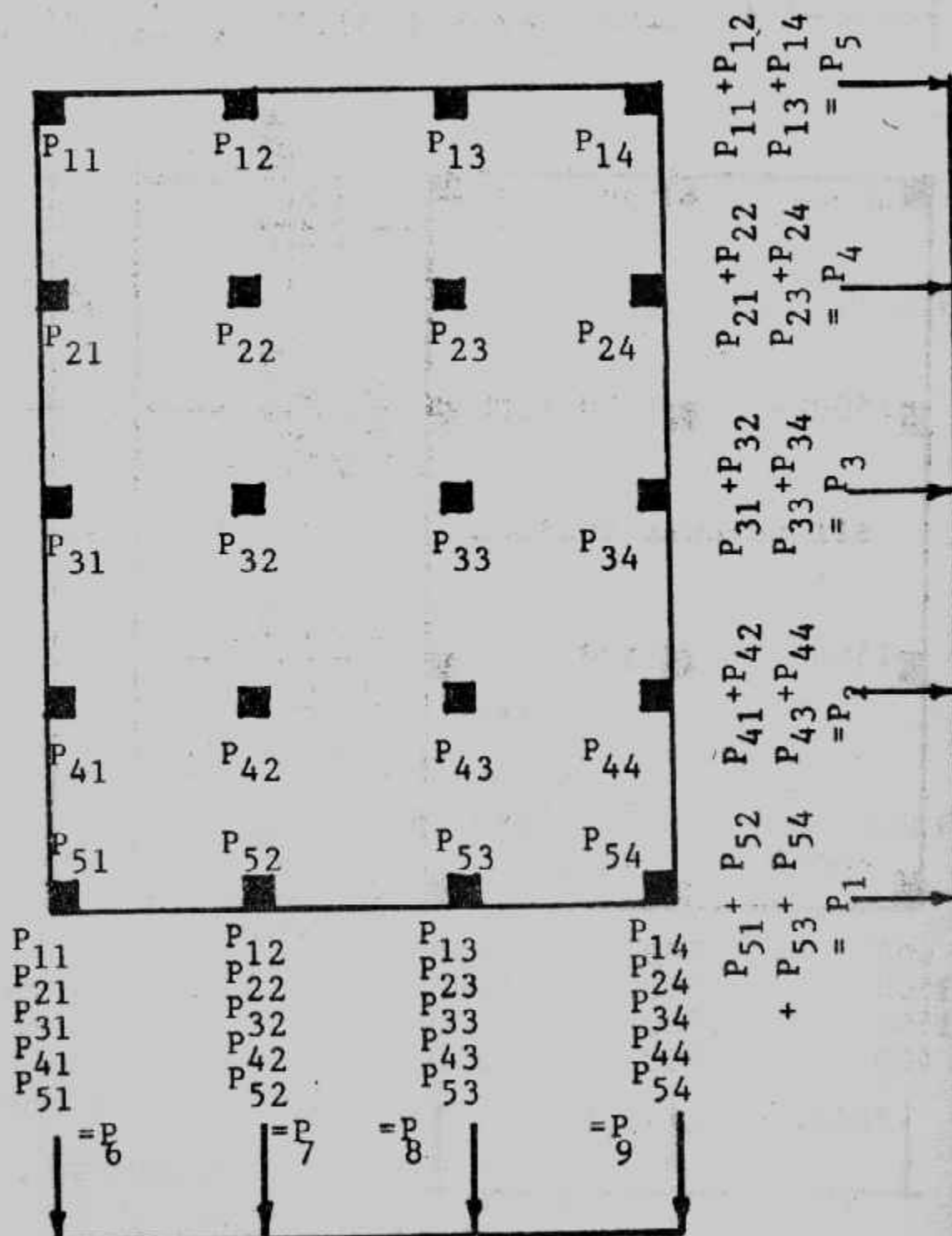
هذه الطريقة تقريرية وبدائية لتصميم اللبسة اللاكمريّة وتستخدم كحل تقريريّ أو أولى للبسة وتم هذه الطريقة بالخطوات الآتية :

- ١- لكل اتجاه من الاتجاهين الطولي والعرضي تسقط مجموع أحمال الأعمال على طول عرض اللبسة شكل (٧-٣) .
- ٢- تعين محصلة الأحمال ومكانتها لكل اتجاه .
- ٣- لكل اتجاه يحسب الجهد تحت الأسس المستمر بأى طريقة لحساب الإجهادات . ويلاحظ أن الجهد يأخذ شكل شبه منحرف إذا كانت المحصلة لا مركزية .
- ٤- يحسب ويرسم كل من القص والعزوم عند القطاعات المختلفة في الاتجاهين .
- ٥- يصمم القطاع من حيث الس .. والتسلیح ليقاوم القص والقص الثاقب والعزوم .

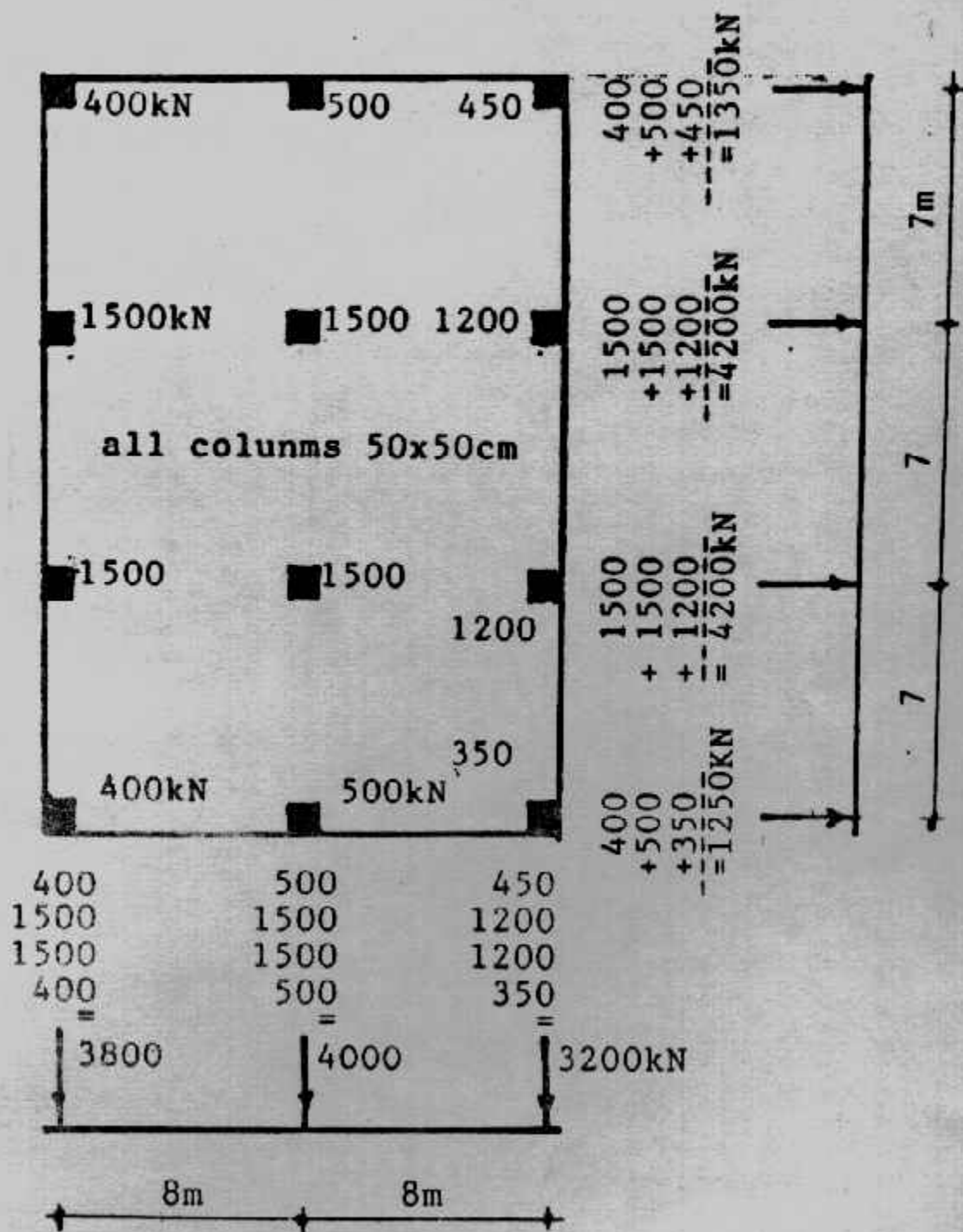
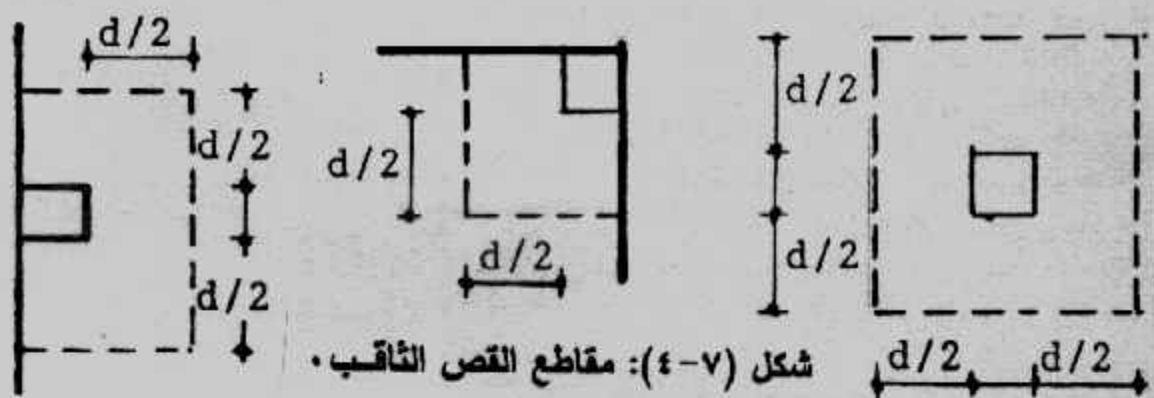
٦- يلاحظ أن القص الثاقب هو المؤثر في تحديد سمك اللبنة ذات الجسام العالية ويحسب العمق للحالات المختلفة للأعمدة: عمود داخلي وعمود جار وعمود ركن كما في شكل (٤-٧)

Example (7-1):

Design a continuous footing raft for columns shown in Fig. (7-5). The net allowable soil pressure is 52.5 kN/m^2 , $f_c = 50 \text{ kg/cm}^2$, $f_s = 1400 \text{ kg/cm}^2$, $q_p = 800 \text{ kN/m}^2$.



شكل (٣-٧) : تصميم اللبنة كقاعدة مستمرة.



Solution :

Longitudinal direction .

$$P_1 = 400 + 500 + 350 = 1250 \text{ kN}$$

$$P_2 = 1500 + 1500 + 1200 = 4200 \text{ kN}$$

$$P_3 = 1500 + 1500 + 1200 = 4200 \text{ kN}$$

$$P_4 = 400 + 500 + 450 = 1350 \text{ kN ,}$$

$$R = 1250 + 4200 + 4200 + 1350 = 11000 \text{ kN}$$

$$\bar{X}_1 = (4200 \times 7 + 4200 \times 14 + 1350 \times 21) / 11000 = 10.595 \text{ m}$$

$$e = 10.5 - 10.595 = 0.095 \text{ m}$$

$$q_{\frac{1}{2}} = \frac{R}{BL} \left(1 \pm \frac{6e}{L} \right)$$

$$= \frac{1100}{16.5 \times 21.5} \left(1 \pm \frac{6 \times 0.095}{21.5} \right)$$

$$q_1 = 31.83 \text{ kN/m}^2 = 31.83 \times 16.5 = 525.195 \text{ kN/m}$$

$$q_2 = 30.19 \text{ kN/m}^2 = 30.19 \times 16.5 = 498.135 \text{ kN/m}$$

The stresses, stress load, shearing forces and bending moments are given in Fig.(7-6).

Short direction :

$$P_5 = 400 + 1500 + 1500 + 400 = 3800 \text{ kN}$$

$$P_6 = 500 + 1500 + 1500 + 500 = 4000 \text{ kN}$$

$$P_7 = 450 + 1200 + 1200 + 350 = 3200 \text{ kN}$$

$$R = 3800 + 4000 + 3200 = 11000 \text{ kN}$$

$$\bar{X}_2 = (4000 \times 8 + 3200 \times 16) / 11000 = 7.564 \text{ m}$$

$$e = 8 - 7.564 = 0.436 \text{ m}$$

$$q_{\frac{1}{2}} = \frac{11000}{16.5 \times 21.5} \left(1 \pm \frac{6 \times 0.436}{16.5} \right)$$

$$q_1 = 35.92 \text{ kN/m}^2 = 35.92 \times 21.5 = 772.28 \text{ kN/m}$$

$$q_2 = 26.09 \text{ kN/m}^2 = 26.09 \times 21.5 = 560.935 \text{ kN/m}$$

The stresses, stress load, shearing forces and bending moments are given in Fig. (7-7). from Figs. (7-6) and (7-7), it is clear that

$$M_{max} = 8090.42 \text{ kN.m}$$

$$= 8090.42 / 21.5 = 376.3 \text{ kN.m/m}$$

$$d = 0.361 \sqrt{376.3 \times 10^4 / 100} = 70.03 \text{ cm}$$

$$\text{take } t = 0.80 \text{ m, } d = 0.73 \text{ m}$$

check punshing fig. (7-8):

$$b_o = 2(0.5 + d/2) + (0.5 + d) = 1.5 \text{ } 2d$$

$$= 1.5 + 2 \times 0.73 = 2.96 \text{ m}$$

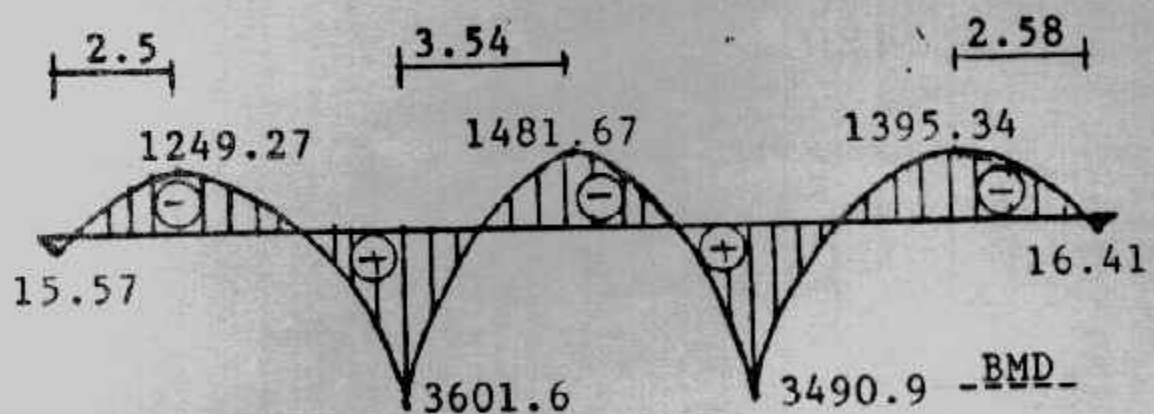
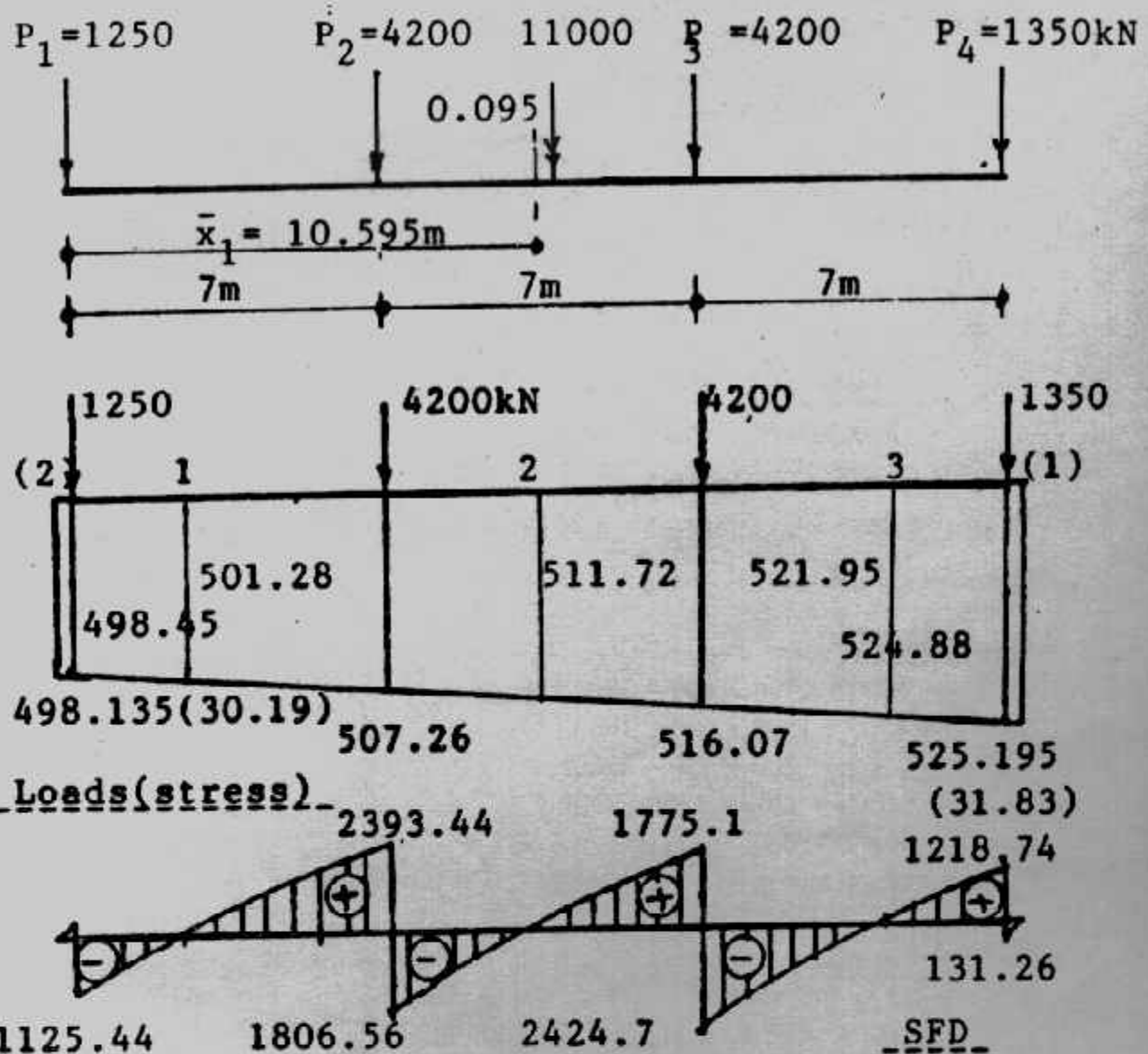
$$A_o = (0.5 + d/2)(0.5 + d) = (0.5 + 0.73/2)(0.5 + 0.73)$$

$$= 0.865 \times 1.23 = 1.064 \text{ m}$$

$$q_p = 1500 - 1.064 \times 35.92 = 1461.78 \text{ kN}$$

$$d_p = \frac{Q_p}{q_p b_o} = 0.62 \text{ m}$$

$$A_s \text{ Top short} = \frac{376.3 \times 10^4}{1237 \times 73} = 41.67 \text{ cm}^2$$



شكل (٦-٧): الأحمال والقوى الداخلية للاتجاه الطولي.

take 9 ϕ 25/m' and 5 ϕ 16/m' in bottom (min.)

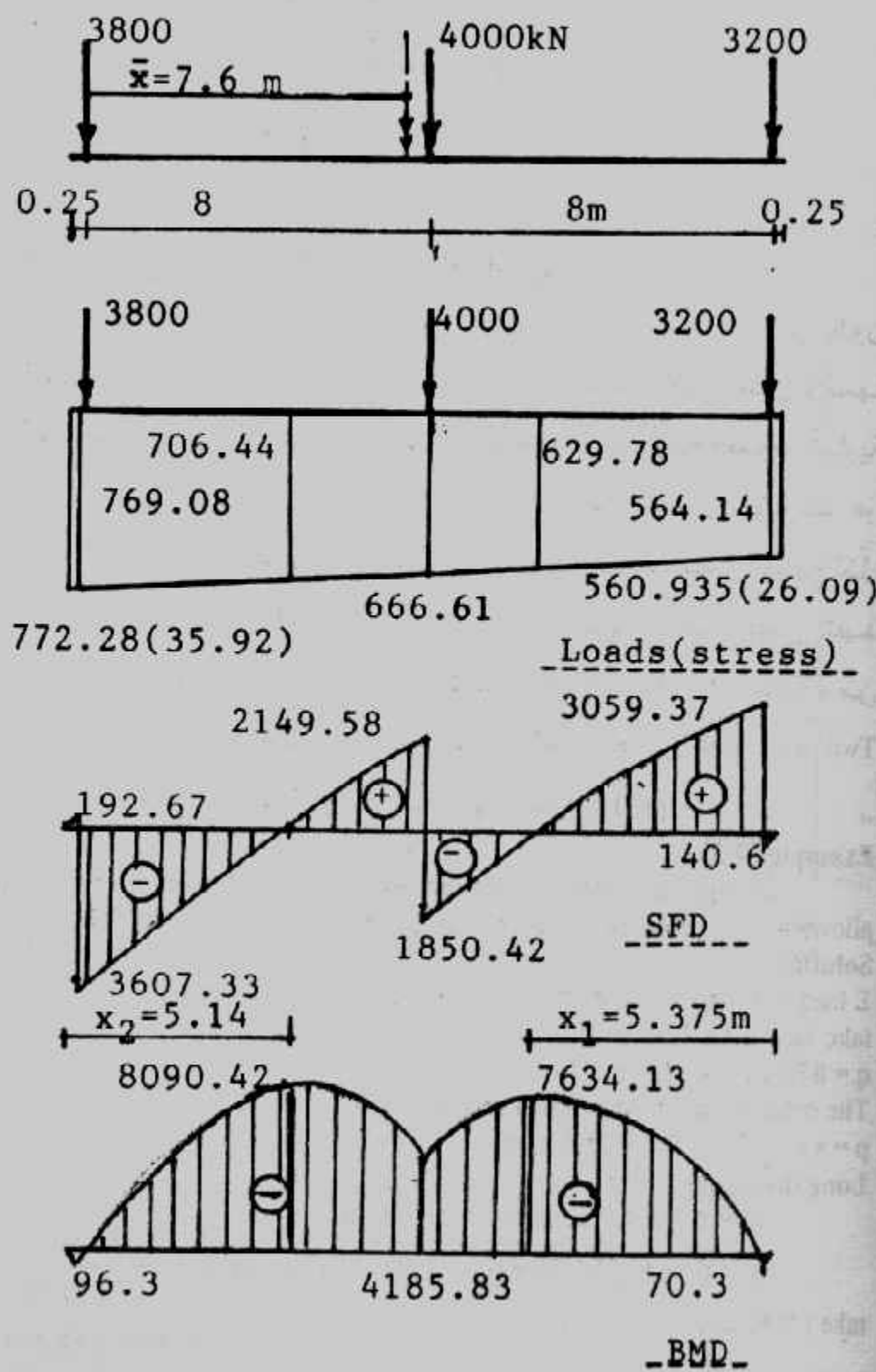
$$M_{max} (-ve) = 1481.67 / 16.5 = 89.8 \text{ kN.m/m'}$$

$$\text{As top long} = 89.8 \times 10^4 / (1237 \times 73) = 9.94 \text{ cm}^2 \quad 5 \phi 16 / \text{m'}$$

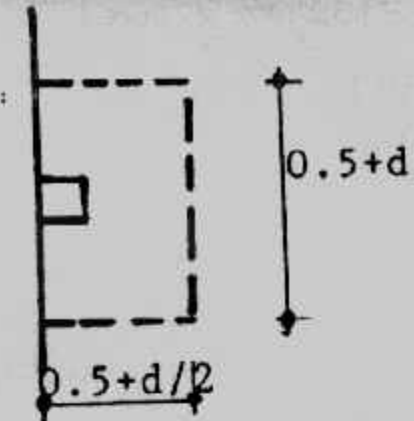
$$M_{max} (+ve) = 3490.16.5 = 211.57 \text{ kN/m/m'}$$

$$\text{As bottom long} = \frac{211.57}{1237 \times 73} = 23.43 \text{ kN.m/m'}$$

Details of design are shown in Fig. (7-9).



شكل (٧-٧) : الأحمال والقوى الداخلية للاتجاه العرضي .



شكل (٨-٧): القص .

ثانياً : تصميم اللبسة كبلطة منبسطة : Design of Flat Slab Raft

اللبسة ذات التخانة الواحدة تقسم إلى شرائح أعمدة وشرائح وسط على أن يكون عرض شرائح العمود $2d + b$ حيث b عرض العمود و d تخانة البلاطة التي يمكن فرضها $10/1$ (عشر) البحر الصافي بين الأعمدة . كما يمكنأخذ عرض شريحة العمود مساوية $3b$ ، شكل (١٠-٧) . وتصمم شرائح الأعمدة ككمارات مستمرة محملة بأحمال مثلثية كما هو مبين بالشكل (١٠-٧) . ويحسب عزم الانحناء $M = \frac{\pi l^2}{12}$. ويحسب السمك والتسلیح لكل شريحة ، كما يحسب السمك ليكون كافياً لكل من القص والقص الثاقب ويمكن تفادي Pedestals عند الأعمدة لتحقيق ذلك في بعض الحالات ، شكل (١١-٧) . أما الجزء من اللبسة الواقع بين شرائح الأعمدة في الاتجاهين فإنه يصمم لبلاطة باتجاهين Two way slab مثبتة على شرائح الأعمدة وبنفس تخانتها ويؤخذ العزم لهذا الجزء $M = \frac{\pi l^2}{12}$.

Example (7-2) :

Design the raft foundation for columns shown in Fig. (7-13). The net allowable soil pressure is 0.52 kg/cm^2 , $f_c = 50 \text{ kg/cm}^2$, $f_s = 1400 \text{ kg/cm}^2$.

Solution :

$$\Sigma \text{ load} = 3 \times 80 + 1 \times 90 + 2 \times 100 + 2 \times 110 + 120 = 870 \text{ t}$$

take $14.3 \times 11.7 \text{ m}$

$$q = 870 / 14.3 \times 11.7 = 5.2 \text{ t/m}^2$$

The columns strips are shown in Fig. (7-13)

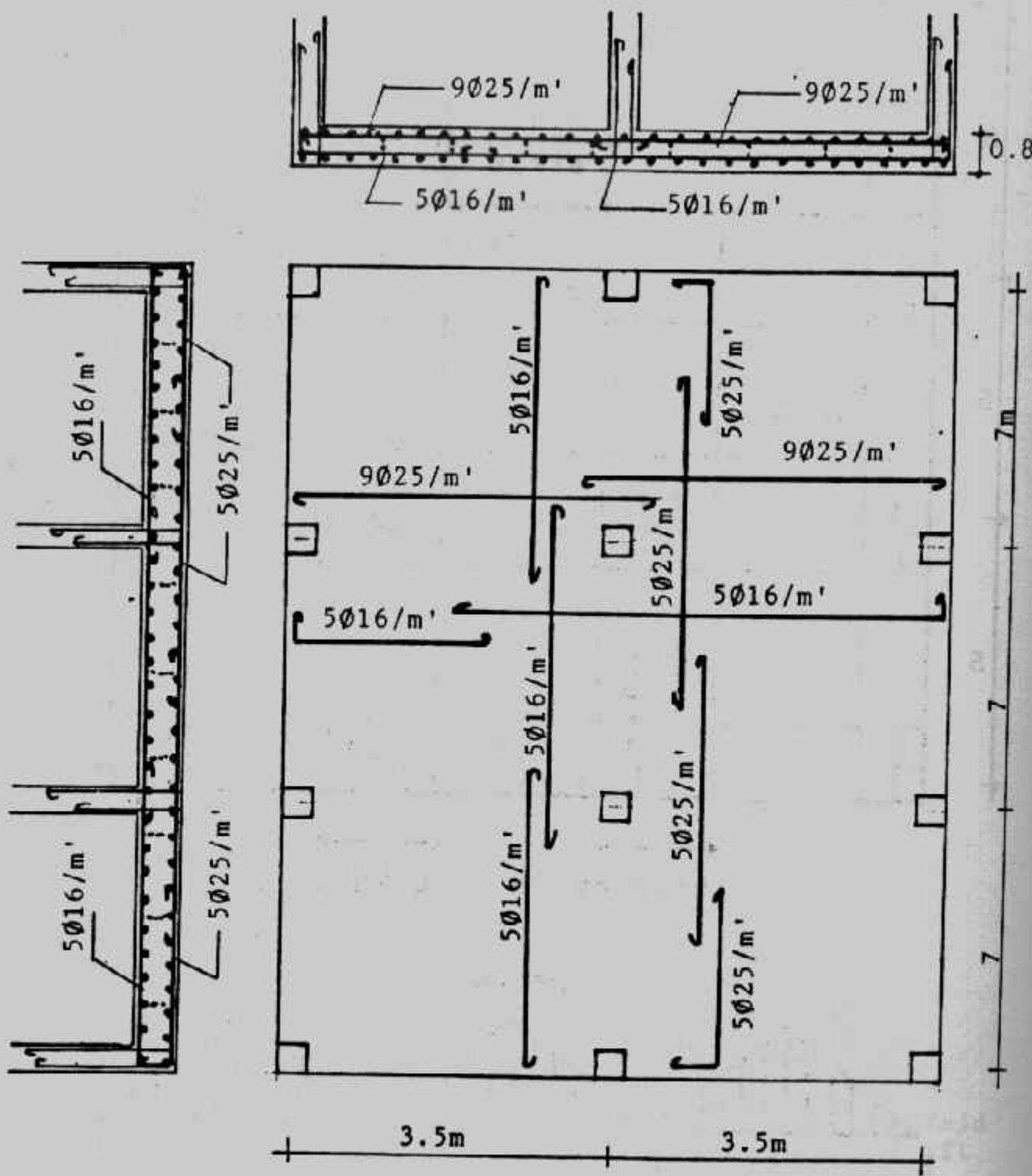
$$p = s.q. = 5.5 \times 5.2 = 28.6 \text{ t/m}^2$$

Long direction :

$$M = 5.2 \times 4.5 \times 5.5^2 / 12 = 58.98 \text{ mt}$$

$$d = 0.361 \sqrt{58.98 \times 10^5 / 150} = 71.59 \text{ cm}^2$$

take $t = 80 \text{ cm}$, $d = 73 \text{ cm}$



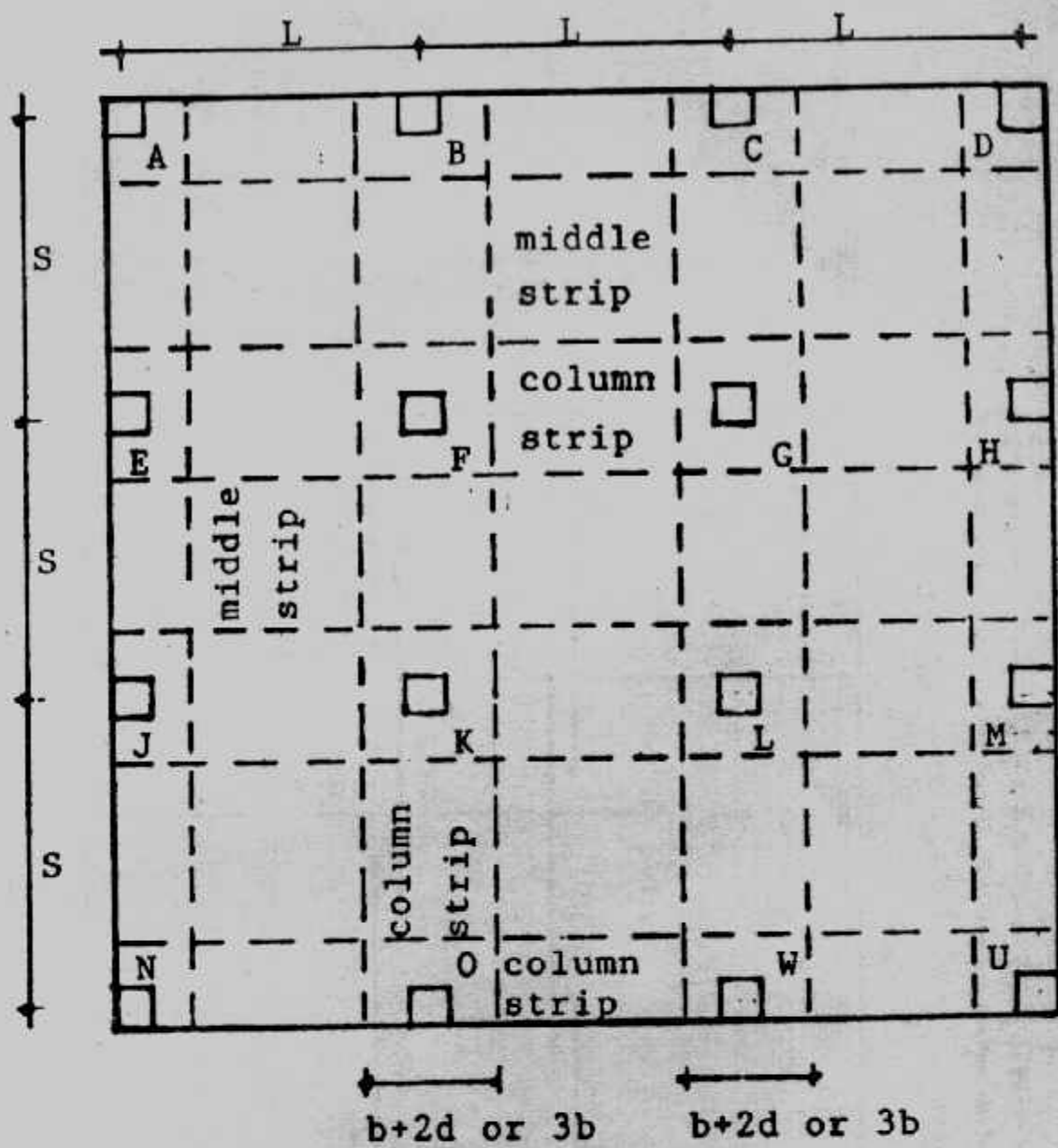
شكل (٩-٧) : مثال (١-٧) تفاصيل التصميم .

$$A_s = \frac{58.98 \times 10^5}{73 \times 1237} = 65.31 \text{ cm}^2$$

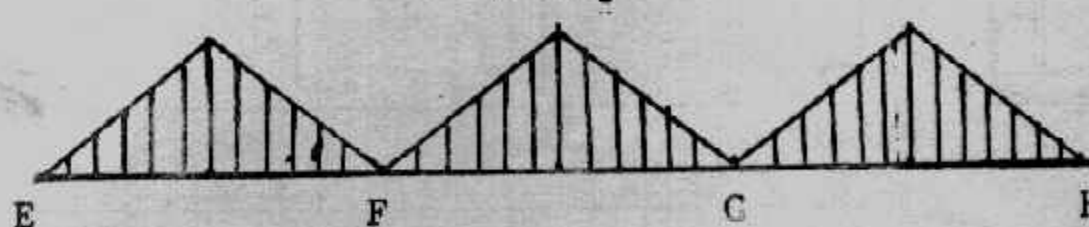
take 14 φ 25/1.5 m or 10 φ 25/mm²

Short Direction

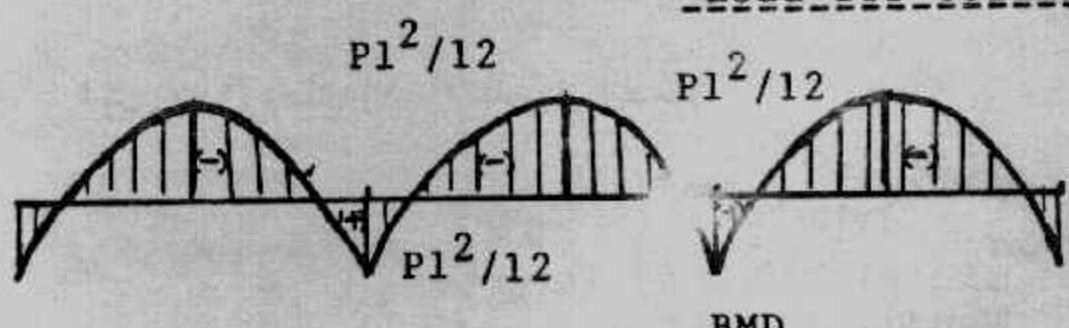
$$M = 5.5 \times 5.2 \times 4.5^2 / 12 = 48.26 \text{ mt}$$



$$P = S \cdot q$$

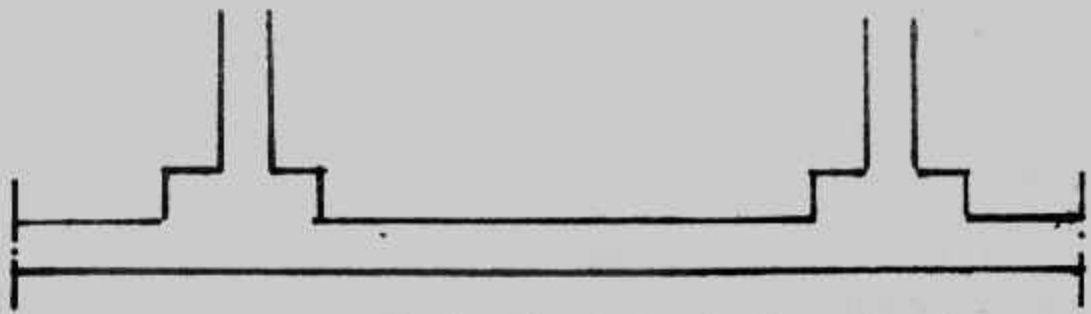


Load for column

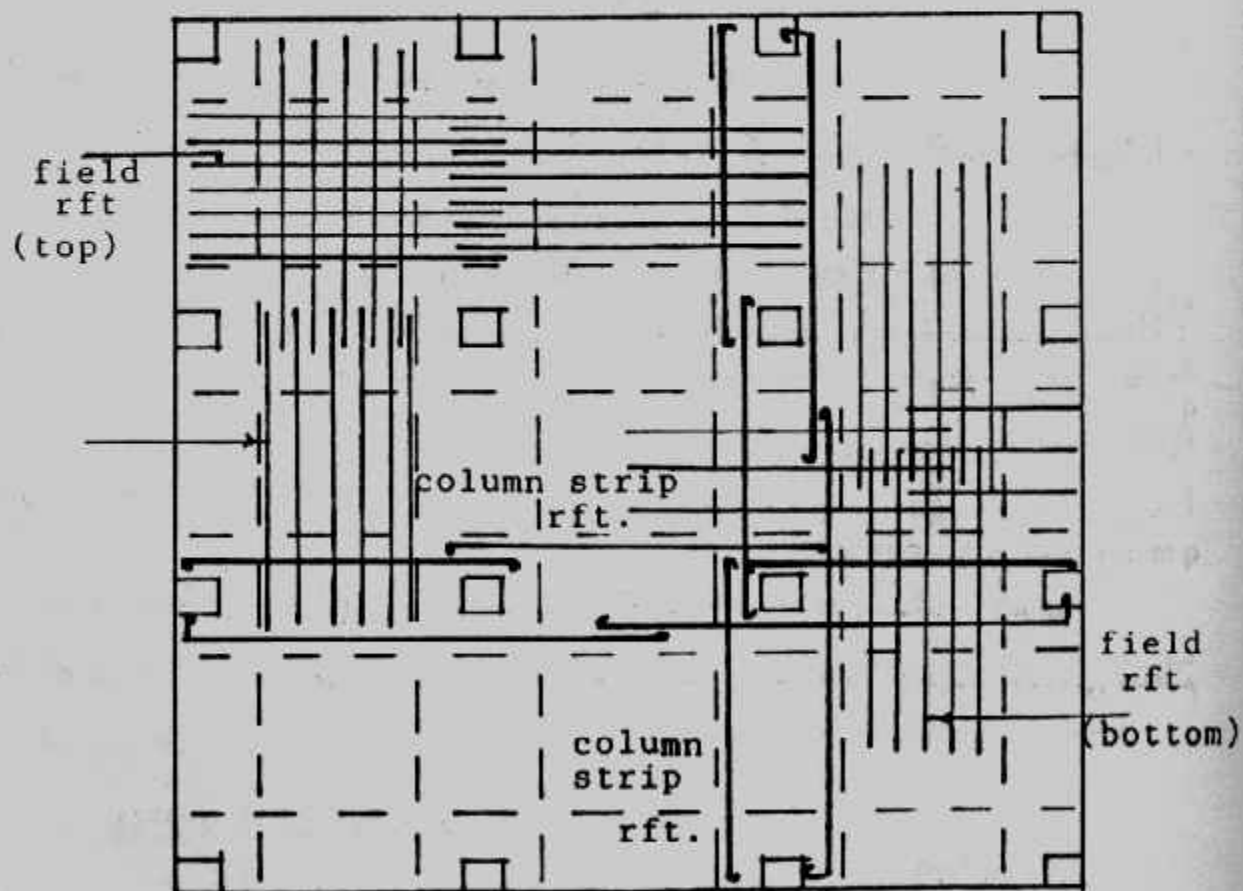
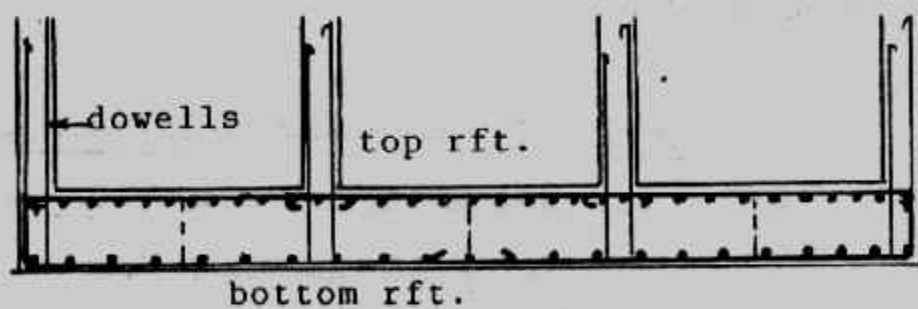


BMD

شكل (١٠-٧): تصميم اللبسة كبلطة منبسطة .



شكل (١١-٧) : أعدد مقواه فى نهايتها .



شكل (١٢-٧) : تفاصيل تسلیح اللبسة كبلاطة منبسطة .

$$A_s = \frac{48.26 \times 10^5}{73 \times 1237} = 53.44 \text{ cm}^2$$

take 11 φ 25/1.5 m or 8 φ 25/m'

Middle strips

$$q = 5.2 \text{ t/m}^2$$

$$M_{\max} = ql^2/12 = 5.2 \times 4^2/12 = 6.93 \text{ mt/m'}$$

$$A_{smallest} = 0.002 \times 73 \times 100 = 14.6 \text{ cm}^2$$

take 6 φ 19/m'

Check of punching

$$Q_p = 120 - 5.2 \times 0.5 \times 0.5 = 118.7 \text{ t}$$

$$q_p = 118.7 \times 10^3 / 50 \times 4 \times 68 = 9.42 \text{ kg/cm}^2 \text{ safe}$$

The details of design are shown in Fig. (7-14).

ثالثاً : تصميم اللبسة بالطريقة التقليدية : Conventional Method

تتلخص طريقة تصميم اللبسة بهذه الطريقة في الخطوات الآتية :

١- تعين محصلة أحمال الأعمدة المبنية بشكل (١٥-٧)

$$R = P_1 + P_2 + P_3 + \dots$$

٢- تختار مساحة اللبسة بحيث تغطي الأعمدة كلها أو المساحة كلها

٣- يحدد موقع المحصلة R ومنها تعين الإزاحات c_y, c_x

٤- تحدد خصائص مساحة اللبسة A وهي المساحة ومركزها وزعوم القصور الذاتي I_x, I_y

٥- تحسب عزوم أحمال الأعمدة حول محورى x,y ليتعين M_y, M_x

$$M_x = R \cdot c_y \quad \text{or} \quad M_y = R \cdot c_x$$

٦- يحسب توزيع الجهد على التربة أسفل اللبسة عند نقط تأثير الأعمدة باستخدام المعادلة :

$$q = \frac{R}{A} \pm \frac{M_x}{I_x} \pm \frac{M_y}{I_y} X$$

ويراعى عند أي نقطة تحقيق ما يلى :

q at any point $\leq q_{net allowable}$

٧- تقسم اللبسة إلى شرائح في الاتجاهين في منتصف المسافة بين محاور الأعمدة ،

٨- تقسم كل شريحة على أقصى اتجاه واقع عليها ويعتبر هذا الاجهاد الأقصى منتظم التوزيع على الشريحة .

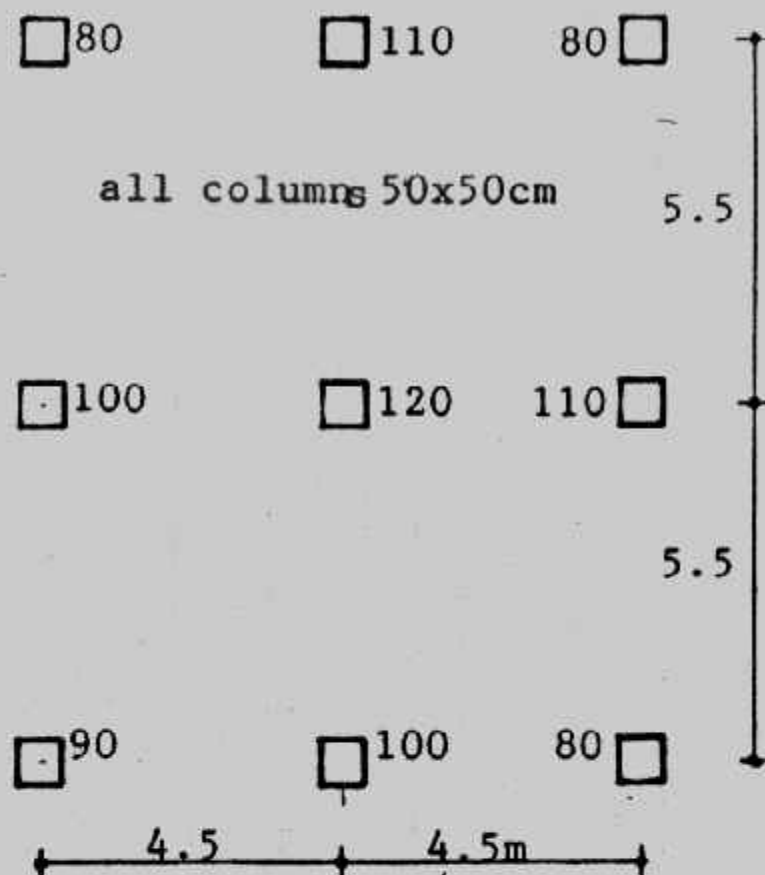
ويحسب عزم الانحناء من :

$$M = qL^2/10$$

إذا كانت الشريحة تحمل أكثر من ثلاث أعمدة

$$M = qL^2/8$$

إذا كانت الشريحة تحمل ثلاث أعمدة أو عمودين



شكل (١٣-٧) : مثال (٧)

ويشترط لحساب العزوم بالطريقة المذكورة ألا يزيد أي بحر للأعمدة عن ٢٠٪ عن البحر المجاور . وإذا لم يتحقق هذا الشرط يحسب عزم الانحناء بأحد الطرق المعروفة في حساب الإنشاءات . وبطريقة أخرى أكثر عمومية يمكن تعين العزوم والقص بالخطوات الآتية :

أ - يوخذ لكل شريحة جهد التربة المتوسط عليها q_{av} وهو نصف جموع أقصى وأقل جهد على طول الشريحة .

ب - حيث أن محصلة جهد التربة على الشريحة لا تساوى مجموع أحمال الأعمدة عليها فإنه يجب ضبط أحمال الأعمدة بإيجاد معامل تعديل أحمال الأعمدة :

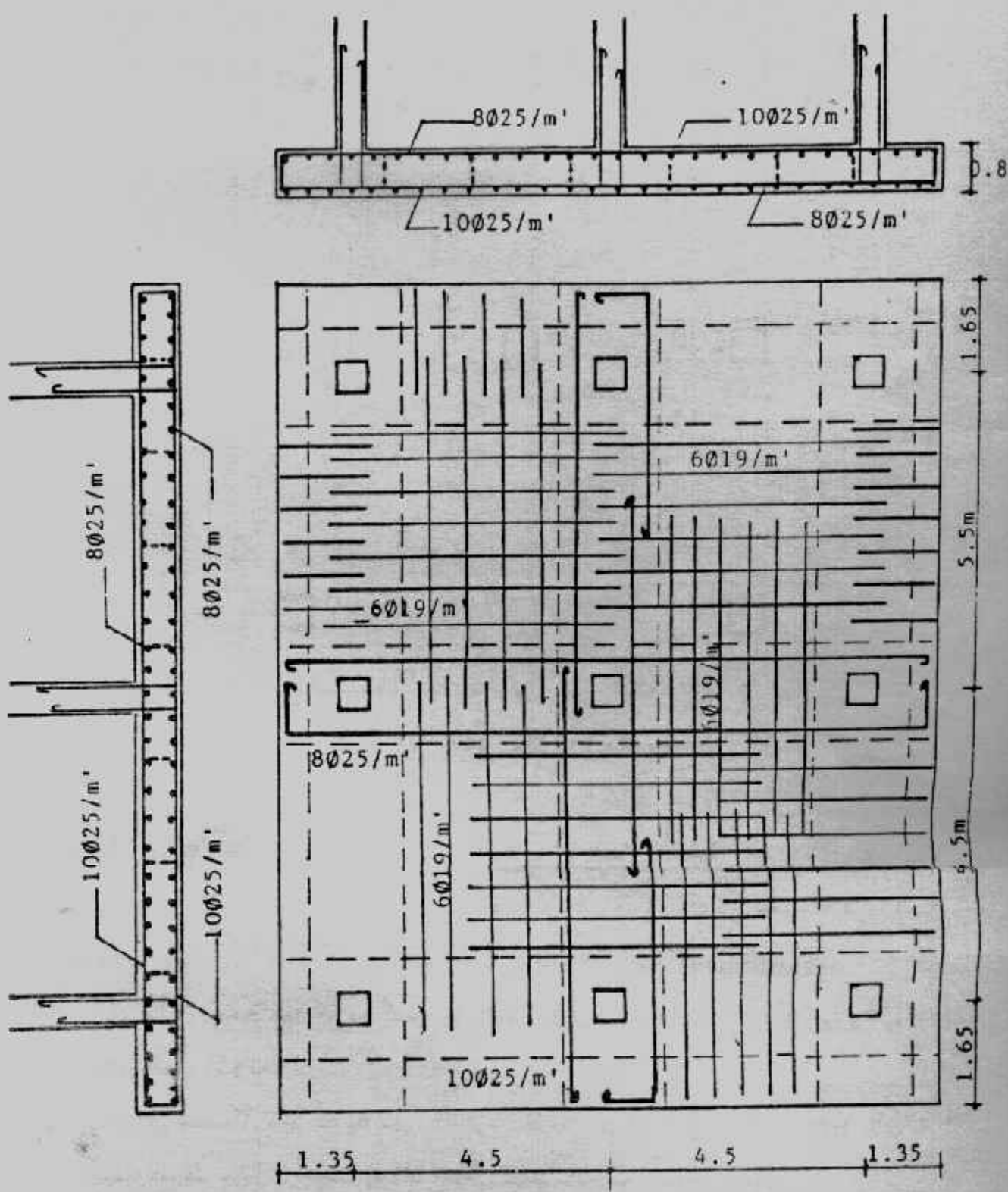
$$\text{Average load} = 1/2 [(q_{av} \cdot B_1 B + (P_1 + P_2 + P_3 + P_4))]$$

$$q_{av \text{ (modified)}} = q_{av} (\text{average load} / q_{av} B_1 B)$$

وبذلك يكون معامل تعديل أحمال الأعمدة

$$F = \text{average load} / (P_1 + P_2 + P_3 + P_4)$$

و عند حل هذه الشريحة تؤخذ أحمال الأعمدة FP_1, FP_2, FP_3, FP_4 ثم يوجد العزوم والقص بعد ذلك . وتكرر الخطوات لكل شريحة .



شكل (١٤-٧) : تفاصيل التسلیح .

جـ- يؤخذ أقصى عزم موجب وسالب لكل الشرائج في نفس الاتجاه ويصمم المقطع من حيث السمك وال الحديد في الاتجاهين .

٩- يجب ملاحظة أن يحسب سماكة اللبسة بحيث يقاوم القص والقص النافذ شكل (١٥-٧) . والقص النافذ هنا هو الأكثر تأثيراً .

١٠- ترسم المساقط المختلفة للبسة لبيان تفاصيل التصميم .

Example (7-3):

The plan of a mat foundation with columns loads is shown in Fig. (7-16). The size of the mat is 16.5 m x 21.5 m. All columns are 0.5m x 0.5 m in section. Given $q_{net\ all} = 60 \text{ kN/m}^2$, $f_c = 20.7 \text{ MN/m}^2$, $f_y = 413.7 \text{ MN/m}^2$ and Design the given mat.

Solution :

تقسم اللبسة إلى شرائج طولية وشرائج عرضية كما يشown (١٦-٧)

$$\text{Area of raft } A = (16.5)(21.5) = 354.75 \text{ m}^2$$

$$I_x = BL^3/12 = (16.5)(21.5)^3/12 = 13.665 \text{ m}^4$$

$$I_y = LB^3/12 = (21.5)(16.5)^3/12 = 8050 \text{ m}^4$$

$$R = 350 + 2(400) + 450 + 2(500) + 2(1200) + 4(1500) = 11000 \text{ kN}$$

$$\begin{aligned} \bar{X} &= P_1 \times 1 + P_2 \times 2 + P_3 \times 3 + \dots / R \\ &= (8.25)(500 + 1500 + 1500 + 500) + (16.25)(350 + 1200 + 1200 + 450) \\ &\quad + (0.25)(400 + 1500 + 1500 + 400) / 11000 \\ &= 7.814 \text{ m} \end{aligned}$$

$$e_x = \bar{X} - B/2 = 7.814 - 8.25 = -0.436 \approx -0.44 \text{ m}$$

$$M_y = R.e_x = (11000)(0.44) = 4840 \text{ kN.m}$$

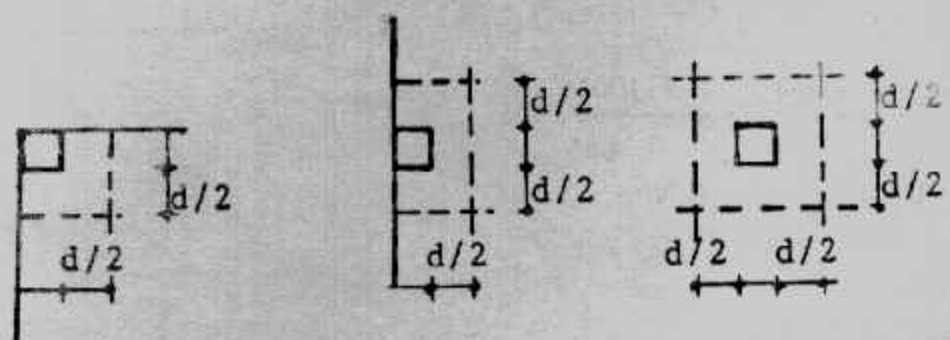
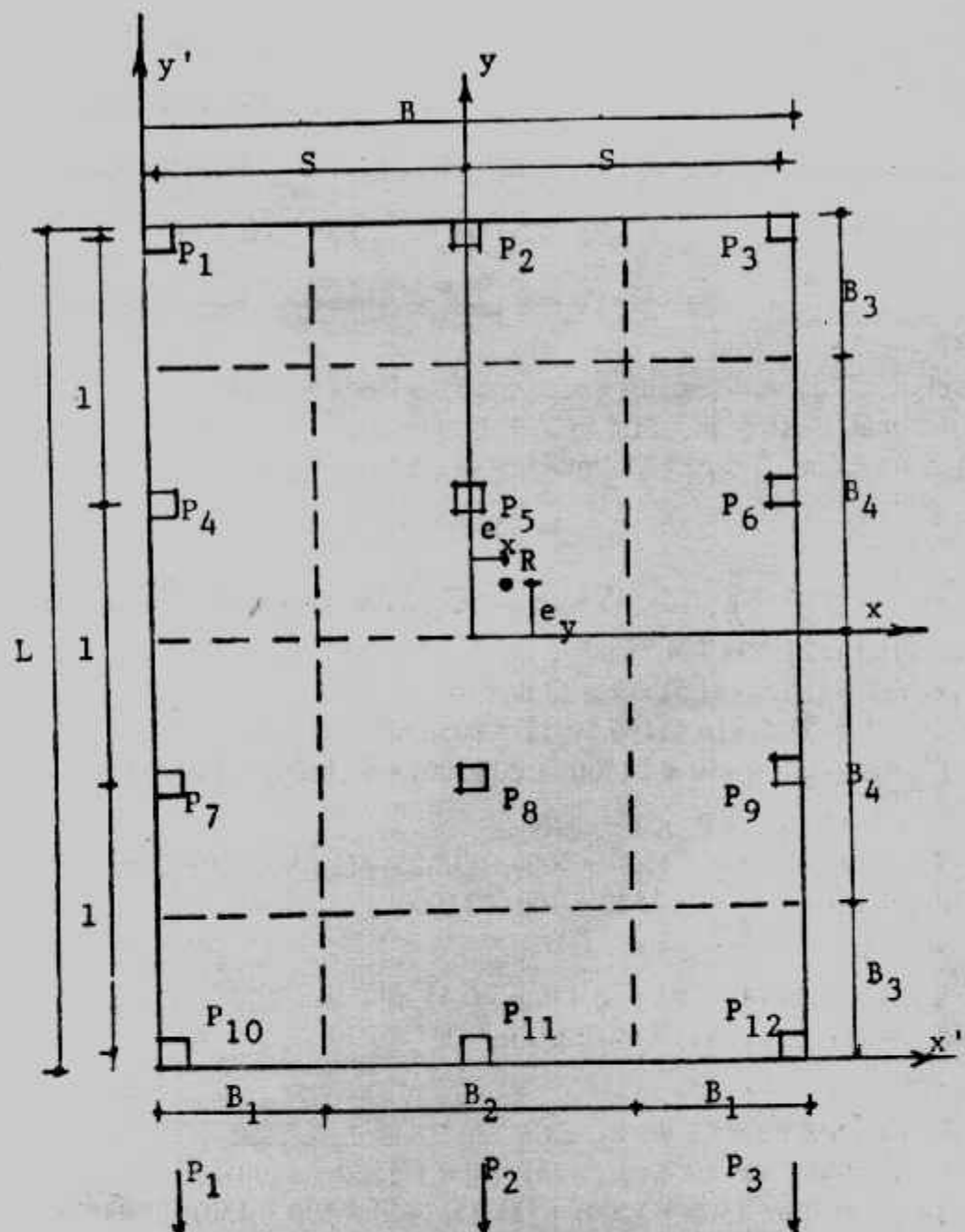
Similarly

$$\begin{aligned} \bar{Y} &= P_1 Y_1 + P_2 Y_2 + P_3 Y_3 + \dots / R \\ &= (0.25)(400 + 500 + 350) + (7.25)(1500 + 1500 + 1200) \\ &\quad + (14.25)(1500 + 1500 + 1200) + (21.25)(400 + 500 + 450) / 11000 \\ &= 10.85 - 21.5/2 = 0.1 \text{ m} \end{aligned}$$

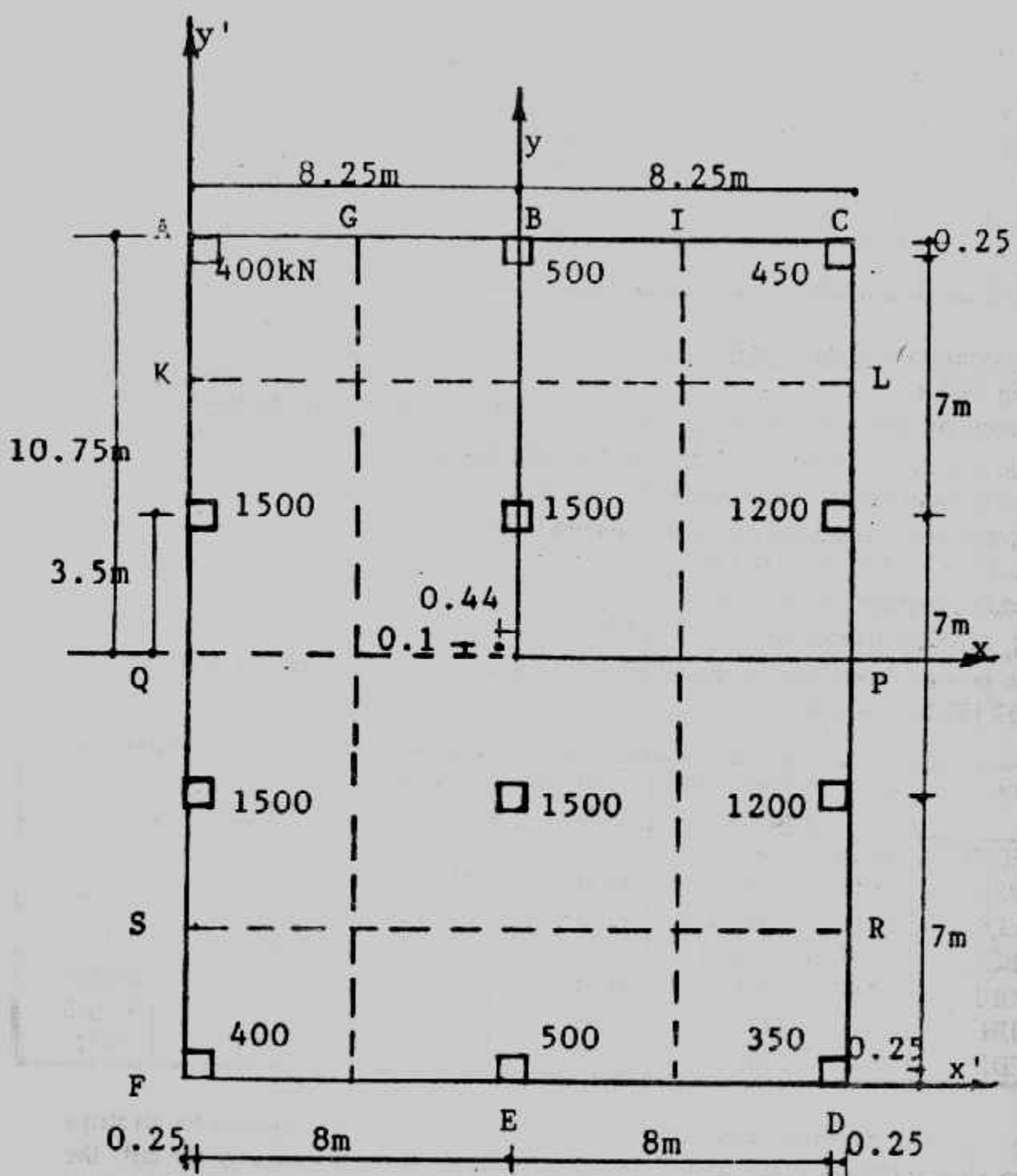
$$e_y = \bar{Y} - L/2 = 10.85 - 21.5/2 = 0.1 \text{ m}$$

$$M_x = R.e_y = (11000)(0.1) = 1100 \text{ kN.m}$$

$$\begin{aligned} q &= \frac{R}{A} \pm \frac{M_y \cdot x}{I_y} \pm \frac{M_x \cdot y}{I_x} \\ &= \frac{11000}{354.75} \pm \frac{(4840)x}{8050} \pm \frac{(1100)y}{13665} \\ &= 31 \pm 0.6x \pm 0.08y (\text{kN/m}^2) \end{aligned}$$



شكل (١٥-٧) : الطريقة التقليدية .



شكل (١٦-٧) : مثال (٣-٧)

Calculation of soil pressure :

Point	x, y	R/A	0.6 x	0.08 y	q (kN/m ²)
A	8.25 , 10.75	31	4.95	0.86	36.81
B	0 , 10.75	31	0	0.86	31.86
C	8.25 , 10.75	31	4.95	0.86	26.91
D	8.25 , 10.75	31	4.95	0.86	25.19
E	0 , 10.75	31	0	0.86	30.14
F	8.25 , 10.75	31	4.95	0.28	35.09
K	8.25 , 3.5	31	4.95	0.28	26.35
M	8.25 , 3.5	31	4.95	0.28	36.25
L	8.25 , 3.5	31	4.95	0.28	25.7
N	8.25 , 3.5	31	4.95	0.28	35.64

Determination of internal forces :

Strip EDSR

$$\text{Average soil pressure} = q_{av} = (q_F + q_D)/2 = (35.09 + 35.19)/2 = 30/14 \text{ kN/m}^2$$

$$\text{Total soil reaction} = 30.14 \times 3.75 \times 16.5 = 1864.913 \text{ kN}$$

$$\text{Total column loads} = 400 + 500 + 350 = 1250 \text{ kN}$$

$$\text{Average load} = (\text{load soil reaction} + \text{column loads})/2$$

$$(1864.913 + 1250)/2 = 1557.457 \text{ kN}$$

$$\text{modified average soil pressure} = q_{av} \text{ (modified)}$$

$$= q_{av} (1557.457/1864.913) = 25.171 \text{ kN}$$

The column loads can be modified in a similar manner by multiplying factor F = 1557.457/1250 = 1.246

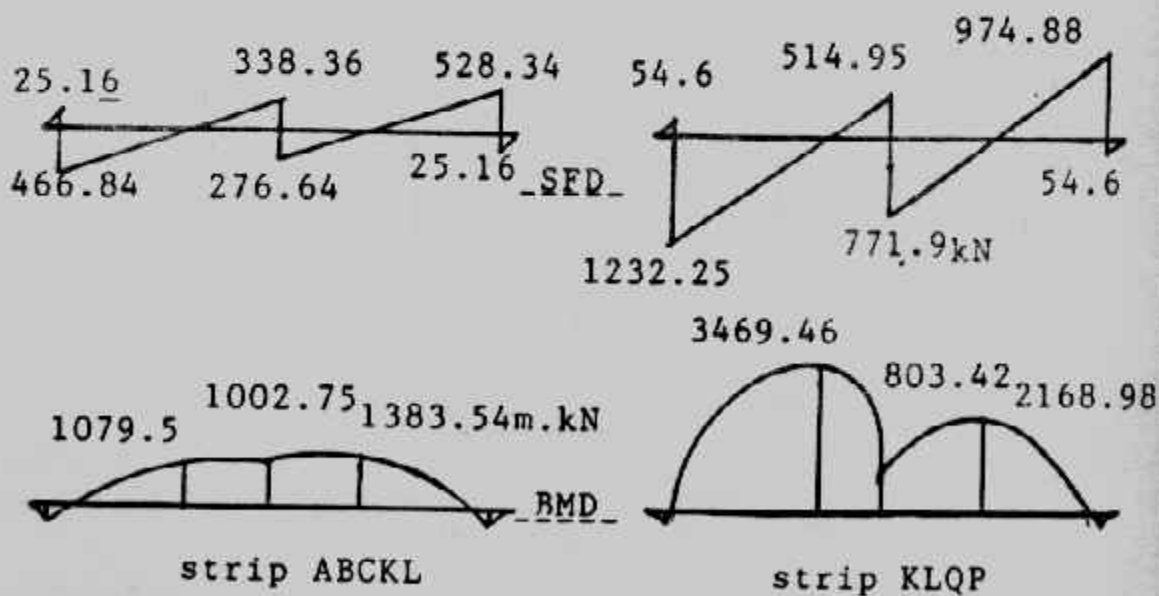
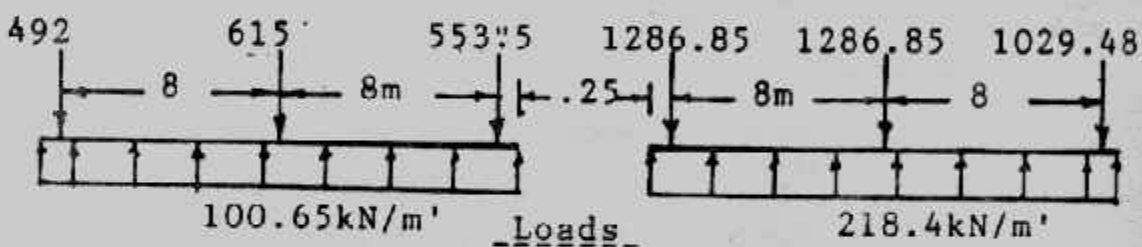
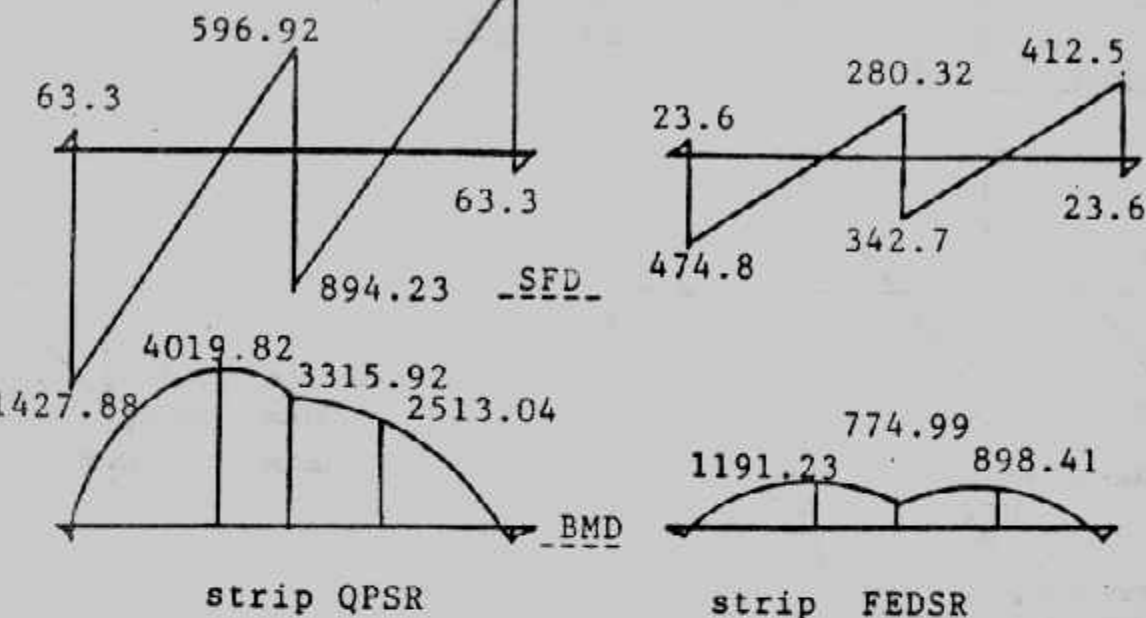
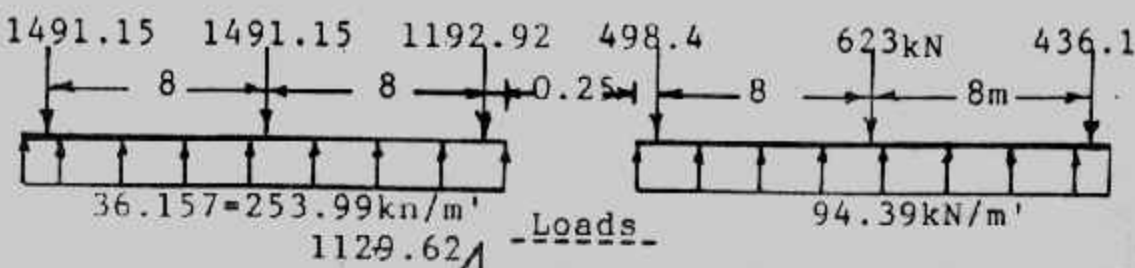
Strip	q _{av}	Total soil reaction	Total col. loads	Average load	q _{av} (modified)	F
FEDSR	30.14	1864.913	1250	1557	25.171	1.246
QPSR	35.95	4152.225	4200	4176.115	36.157	0.9941
KLQP	26.03	3006.465	4200	3603.23	31.20	0.8579
ABCKL	31.86	1971.34	1350	1660.67	26.84	1.23
AGHF	35.95	3285	3800	3542.5	38.768	0.9322
GUH	31.0	5332	4000	4666	27.12	1.1665
ICDJ	26.05	2380.32	3200	2790.16	30.535	0.872

The shearing force diagrams and bending moment diagrams for all strips are shown in Figs. (7-17) and (7-18). Determination fo the thickness of the raft : the critical section for punshing shear will be at the column carrying 1500 kN of load at the edge of the raft Fig. (7-19).

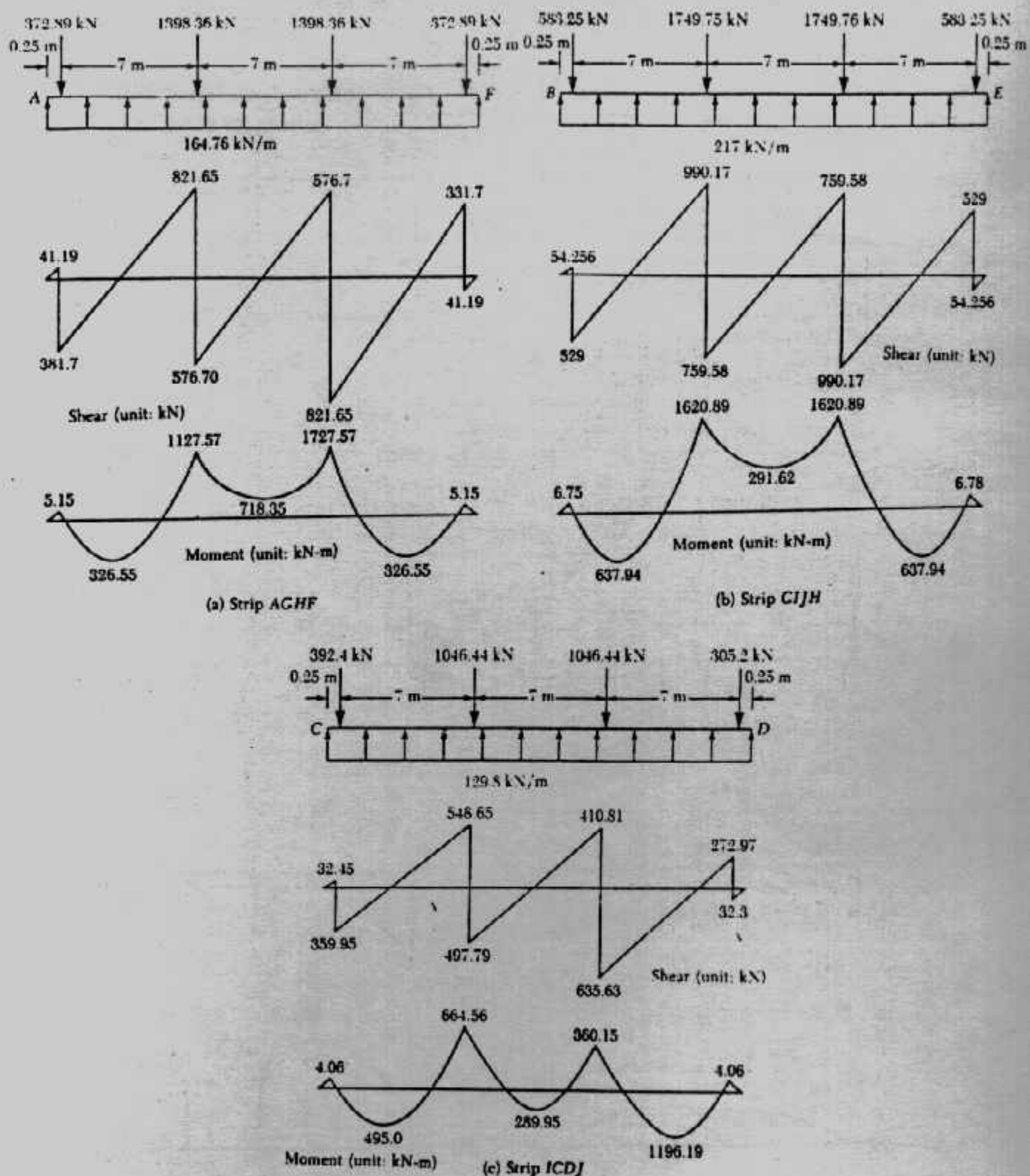
$$b_o = (0.5 + d/2) + (0.5 + d/2) + (0.5 + d) \\ = 1.5 + 2d$$

$$U = (b_o d) (\phi) (0.34 \sqrt{f_c}) \\ = (1.7) (1500) = 2550 \text{ kN} = 2.55 \text{ MN}$$

$$2.55 = (1.5 + 2d) (d) (0.85) (0.34 \sqrt{20.7}) \\ (1.5 + 2d) d = 1.94 \quad d \approx 0.68 \text{ m}$$



شكل (١٧-٧) : القوى الداخلية للشريان العرضية.



شكل (١٨-٧) : القوى الداخلية للشرايحة الطولية .

take $t = 0.8 \text{ m}$

the thickness of this raft will satisfy the wide beam shear condition across the strips.
Determination of reinforcement :

From the moment diagrams, it can be seen that from the moment diagrams, it can be seen that the maximum negative moment is located in strip QPSR.

$$M_{\text{ve max}} = 4019.82 \text{ kN.m}$$

$$M/m = 4019.82 / 7 = 574.26 \text{ kN.m/m}$$

Similarly, the maximum positive moment is located in strip ICDJ and its magnitude is :

$$M + vc = 1727.57 \text{ kN.m}$$

$$M/m = 1727.57 / 4.25 = 406.5 \text{ kN.m/m}$$

$$\alpha = A_s (413.7) / 0.85 (20.7) (1) = 23.51 A_s$$

$$A_s = 0.0425 \alpha$$

$$M_u = (574.26) (1.7) = (0.9) (0.0425 \alpha) (413.7 \times 1000) (0.68 - 0.0425 \alpha / 2)$$

$$976.242 = 10760.337 \alpha - 336.26 \alpha^2$$

$$336.26 \alpha^2 - 10760.337 \alpha + 976.242 = 0$$

$$\alpha = 0.091$$

$$A_s = 0.0425 \times 0.091 = 0.0039 \text{ m}^2/\text{m} = 39 \text{ cm}^2$$

take 8 $\phi 25/\text{m}$

Provide 16mm diameter bars at 400 mm centre - to - centre as a lower reinforcement in short direction. For the long direction upper reinforcement :

$$M_u = (406.5) (1.7) = \phi A_s (413.7 \times 1000) (0.68 - \alpha / 2)$$

$$\phi = 0.9$$

$$\alpha = \frac{A_s f_y}{0.85 f_c b} = \frac{(A_s)(413.7)}{(0.85)(20.7)(1)} = 23.51 A_s$$

$$A_s = 0.0425 \alpha$$

$$M_u = 691.22 = (0.9) (0.0425 \alpha) (413700) (0.68 - 0.0425 \alpha / 2)$$

$$\alpha \approx 0.0645$$

$$A_s = (0.0425) (0.0645) = 0.00274 \text{ m}^2/\text{m} = 27.4 \text{ cm}^2/\text{m}$$

take 6 $\phi 25/\text{m}$

Lower reinforcement :

$$M_u (281.5) (1.7) = \phi A_s (413.7 \times 1000) (0.68 - \alpha / 2)$$

$$\phi = 0.9, A_s = 0.0425 \alpha,$$

$$So \quad 478.38 = (0.9) (0.0425 \alpha) (413.7 \times 1000) (0.68 - 0.0425 \alpha / 2)$$

Solution of the preceding equation gives

$$\alpha = 0.045$$

$$A_s = (0.045) (0.0425) = 0.001913 \text{ m}^2/\text{m} = 19.13 \text{ cm}^2/\text{m}$$

take 4 $\phi 25/\text{m}$

Arrangement of the reinforcement is shown in Fig. (7-19).

Example (7-4):

Design a rigid mat for the 6 columns shown in Fig.(7-20). All columns are $40 \times 40 \text{ cm}$. The net allowable soil pressure is 0.7 kg/cm^2 , the area of mat is given, $f_c = 55 \text{ kg/cm}^2$, $f_s = 1400 \text{ kg/cm}^2$, $q_p = 8 \text{ kg/cm}^2$

Solution :

Properties of mat :

$$A = 7 \times 12 = 84 \text{ m}^2$$

$$R = 2 \times 80 + 3 \times 70 + 60 = 430 \text{ t}$$

$$\bar{X} = 1(80+70) + 6(80+60) + 11(70+70)/430 = 5.884$$

$$e_x = 6 - 5.884 = 0.116 \text{ m}$$

$$M_y = R.e_x = 430 \times 0.116 = 49.88 \approx 50 \text{ mt}$$

$$\bar{Y} = 1(70+60+70) + 6(80+80+70)/430 = 3.674 \text{ m}$$

$$e_y = 3.5 - 3.674 = 0.174 \text{ m}$$

$$M_x = R.e_y = 430 \times 0.174 = 75 \text{ mt}$$

$$I_x = 12 \times 73/12 = 343 \text{ m}^4$$

$$I_y = 7 \times 123/12 = 1008 \text{ m}^4$$

$$q = \frac{R}{A} \pm \frac{M_x}{I_x} y + \frac{M_y}{I_y} x$$

$$= \frac{430}{84} \pm \frac{75}{343} y + \frac{50}{1008} x$$

$$q = 5.12 \pm 0.219 y \pm 0.0496 x$$

Point	x, y	P/A	0.219 y	0.496 x	q
A	6, 3.5	- 5.12	- 0.767	- 0.2976	6.18
B	6, 3.5	- 5.12	- 0.767	+ 0.2976	5.59
C	6, 3.5	- 5.12	+ 0.767	+ 0.2976	4.06
D	6, 3.5	- 5.12	+ 0.767	- 0.2976	4.65

In the long direction the raft will be divided into three equivalent beams (strips) of : strip AB with a width 3.5 m and soil pressure of $q = 6.18 \text{ t/m}^2$ (using the max soil pressure along one edge of the strip).

$$M_{\max} = wL^2/8$$

$$= 6.18 \times 5^2/8$$

$$= 19.31 \text{ mt/m}^3$$

$$d_m = 0.334 \sqrt{19.31 \times 10^5 / 100}$$

$$= 46.41 \text{ cm}$$

take $t = 55 \text{ cm}$, $d = 48 \text{ cm}$

Check punching :

$$Q_p = 80 - (6.18)(0.9 \times 0.9) = 75 \text{ t}$$

$$q = \frac{75 \times 10^3}{50 \times 4 \times 90} = 4.167 \text{ kg/cm}^2 < 8 \text{ o.k.}$$

Determination of reinforcement :

$$\text{Strip AB : } A_s = \frac{19.31 \times 10^5}{48 \times 1227} = 32.79 \text{ cm}^2/\text{m} \quad 9 \phi 22/\text{m}$$

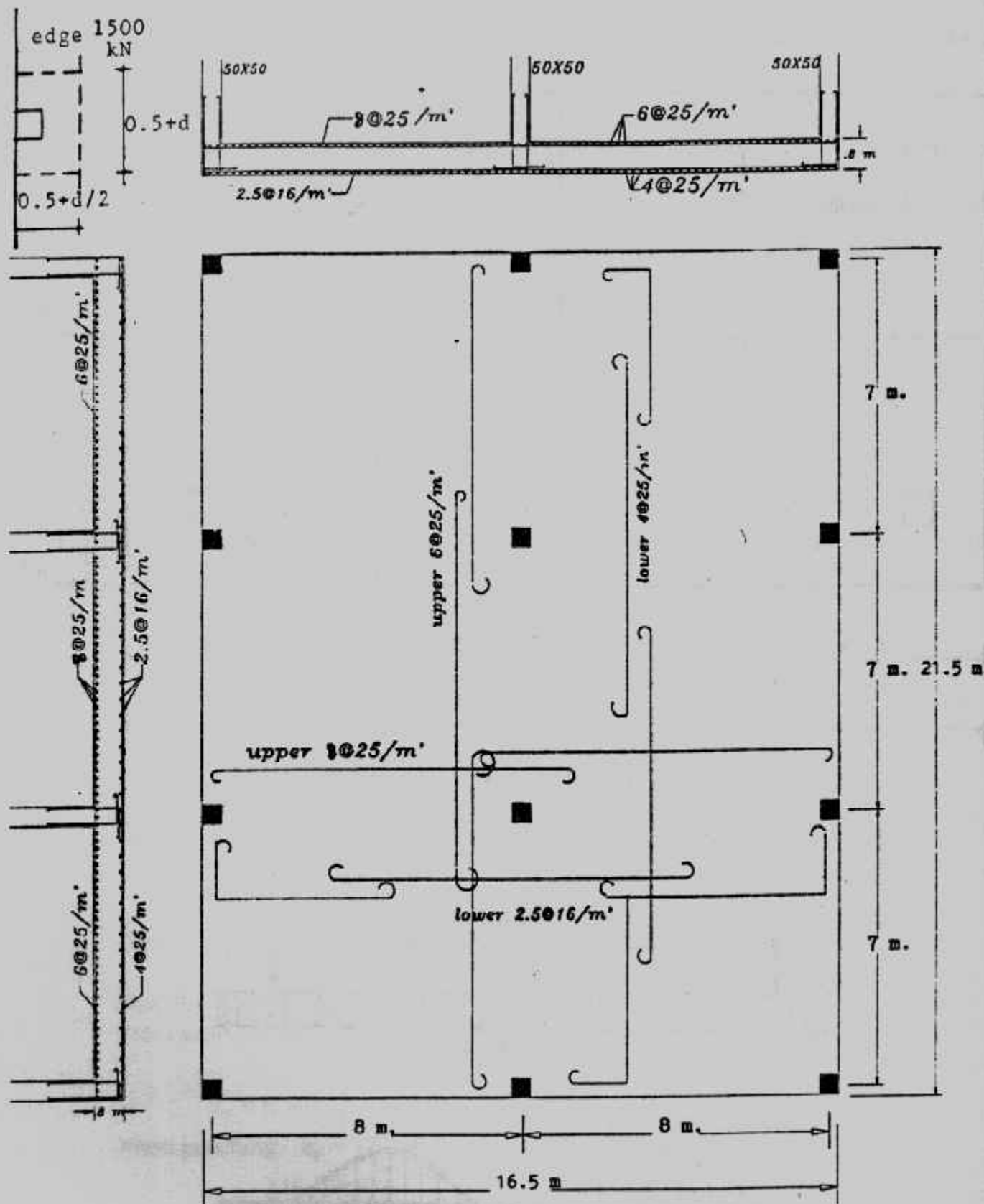
use 9 $\phi 22$ top and bottom.

$$\text{Strip DC : } q = qA + qD/2$$

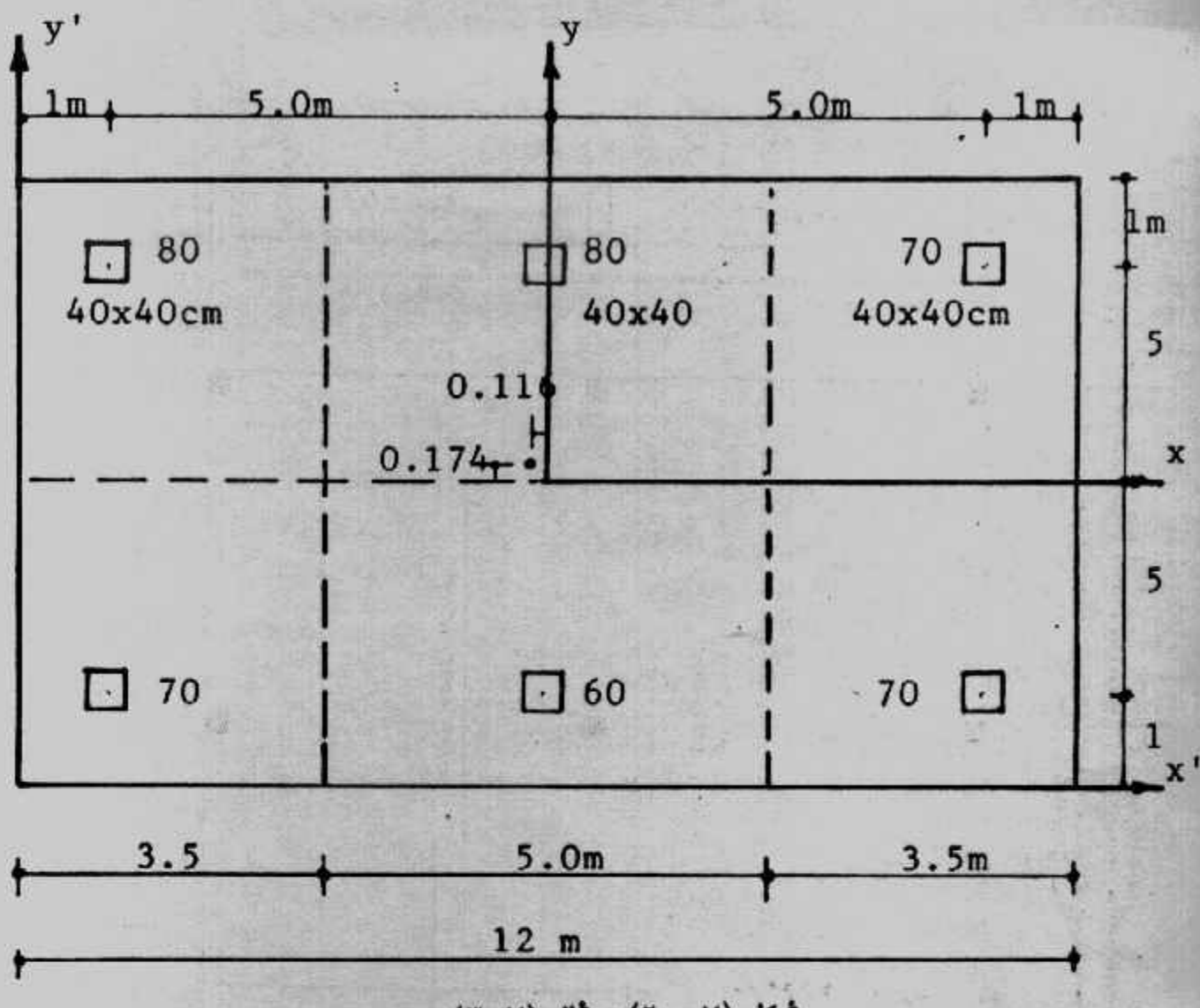
$$= (6.18 + 4.65)/2 = 5.415 \text{ t/m}^2$$

$$M = 5.415 \times 52/8 = 16.92 \text{ mt/m}^3$$

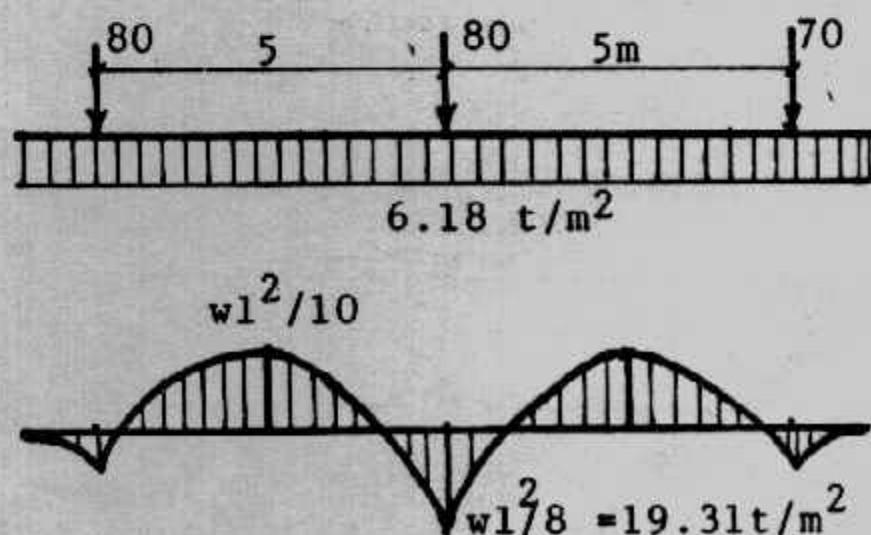
$$A_s = \frac{16.92 \times 10^5}{48 \times 1227} = 28.73 \text{ cm}^2/\text{m} \quad 8 \phi 22/\text{m}$$



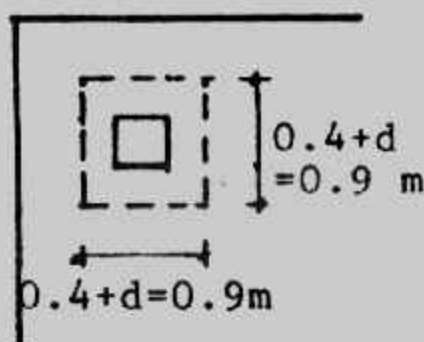
شكل (٧-١٩) : تفاصيل التصميم لمثال (٧-٣)



شكل (٢٠-٧) : مثال (٣-٧)



شكل (٢١-٧) : الشريحة AB



شكل (٢٢-٧) القص الثاقب

For short direction we can take the maximum stress for the three strips.

$$q = 6.18 \text{ t/m}^2$$

$$M_{\max} = \frac{6.18 \times 5^2}{8} = 19.31 \text{ mt/m' (one - span)}$$

$$A_s = \frac{19.31 \times 10^5}{48 \times 1227} = 32.79 \text{ cm}^2/\text{m'} \quad 9 \phi 22/\text{m'}$$

The details are shown in Fig. (7-23).

Example (7-5):

Design a mat for columns shown in Fig. (7.24). All columns are 50 x 50 cm, take $f_c = 60 \text{ kg/cm}^2$, $f_s = 2000 \text{ kg/cm}^2$, $q_p = 10 \text{ kg/cm}^2$, $q_{\text{net all}} = 0.64 \text{ kg/cm}^2$

Solution :

Properties of mat :

$$R = 5 \times 100 + 3 \times 110 + 3 \times 90 + 1 \times 80 = 1180 \text{ t}$$

$$A = R/q_{\text{net all}} = 1180/6.4 = 184.375 \text{ m}^2$$

Take area of mat 15 x 12.5 m

$$A = 187.5 \text{ m}$$

$$q = 1180/187.5 = 6.29 \text{ t/m}^2$$

$$X = \frac{(100+100+100)4.5 + (100+100+100)2 \times 4.5 + (80+110+90)3 \times 4.5}{1180}$$

$$= 6.75 \text{ m}$$

$$\bar{Y} = (110 + 100 + 100 + 110) 5.5 + (90 + 100 + 100 + 90) 2 \times 5.5 / 1180 = 5.5 \text{ m}$$

$$e_x = 0, e_y = 0, M_x = 0, M_y = 0$$

Determination of depth :

$$\text{From short direction } M_{\max} = qL^2/8 = 6.29 \times 5.52/8 \\ = 23.78 \text{ mt/m'}$$

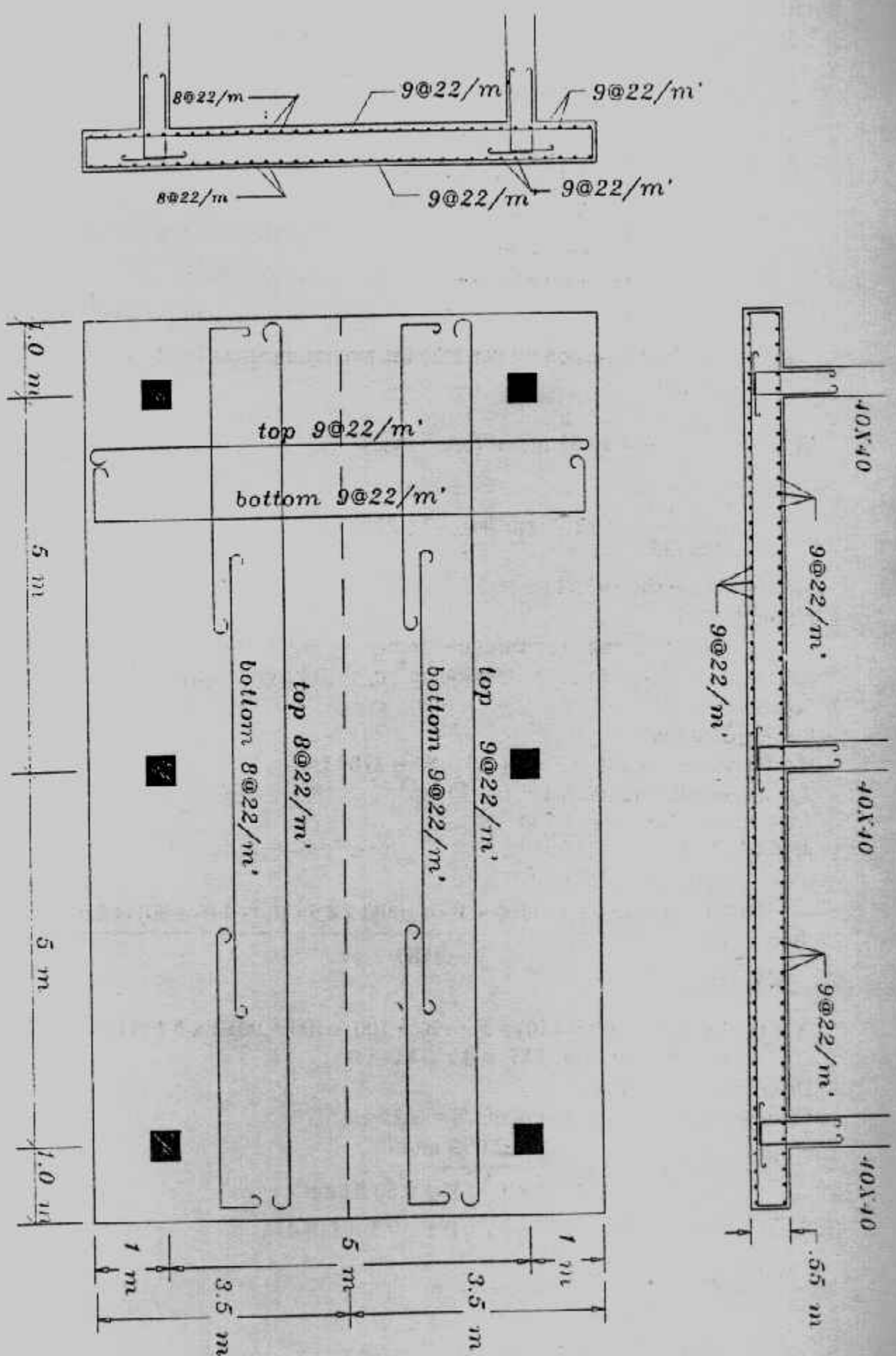
$$d_m = 0.347 \sqrt{23.78 \times 10^5 / 100} = 53.51 \text{ cm}$$

$$\text{From punching } q_p = 120 - 6.29 \times 0.5 \times 0.5 = 118.43 \text{ t}$$

$$d_p = \frac{118.43 \times 10^3}{10 \times 4 \times 50} = 59.21 \text{ cm}$$

$$\text{take } t = 70 \text{ cm, } d = 63 \text{ cm}$$

Determination of reinforcement



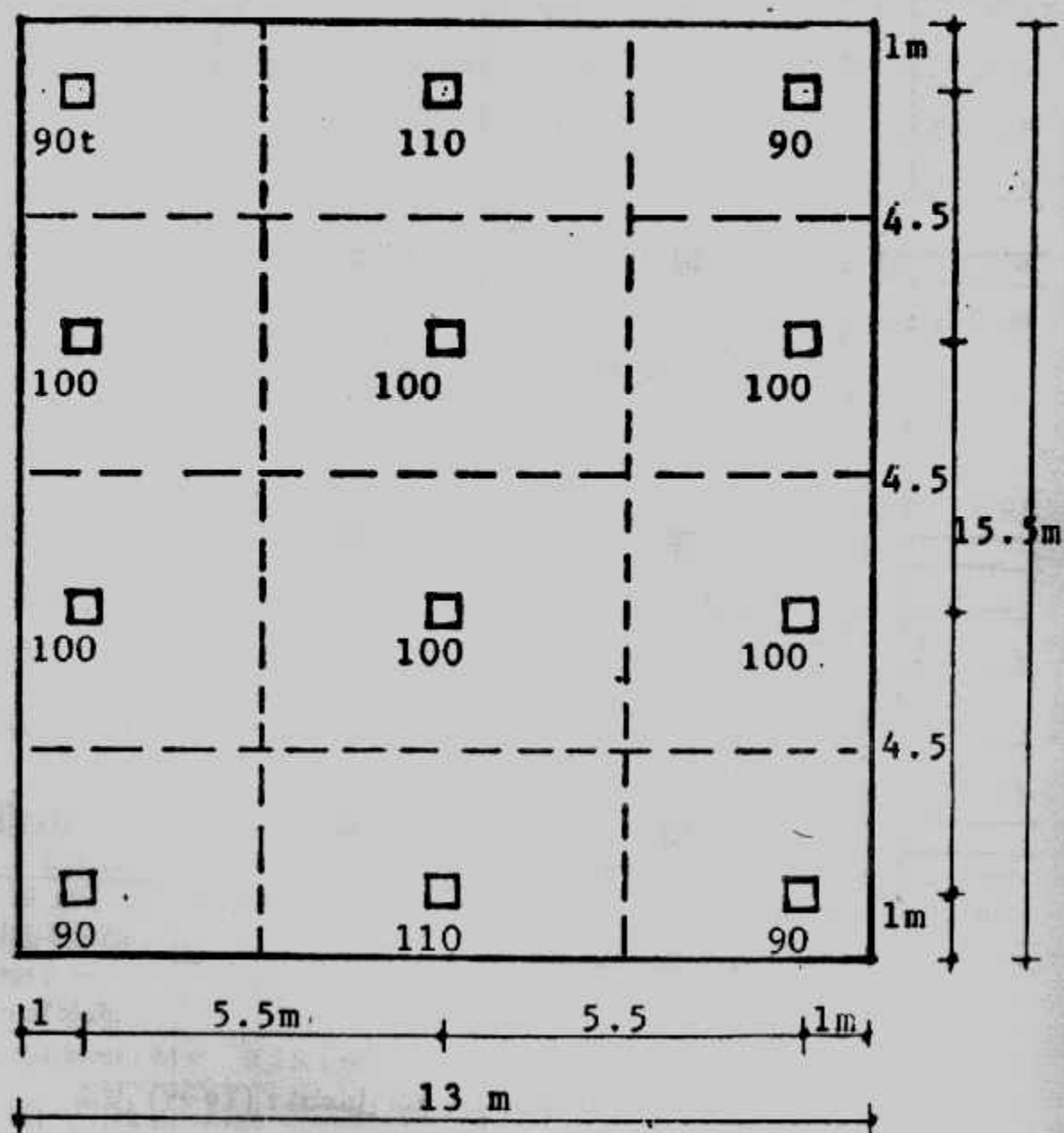
شكل (٢٣-٧) : تفاصيل التسلیح لمثال (٣-٧).

$$\text{Short direction A, top, bottom} = \frac{23.78 \times 10^5}{63 \times 1793} = 21.05 \text{ cm}^2$$

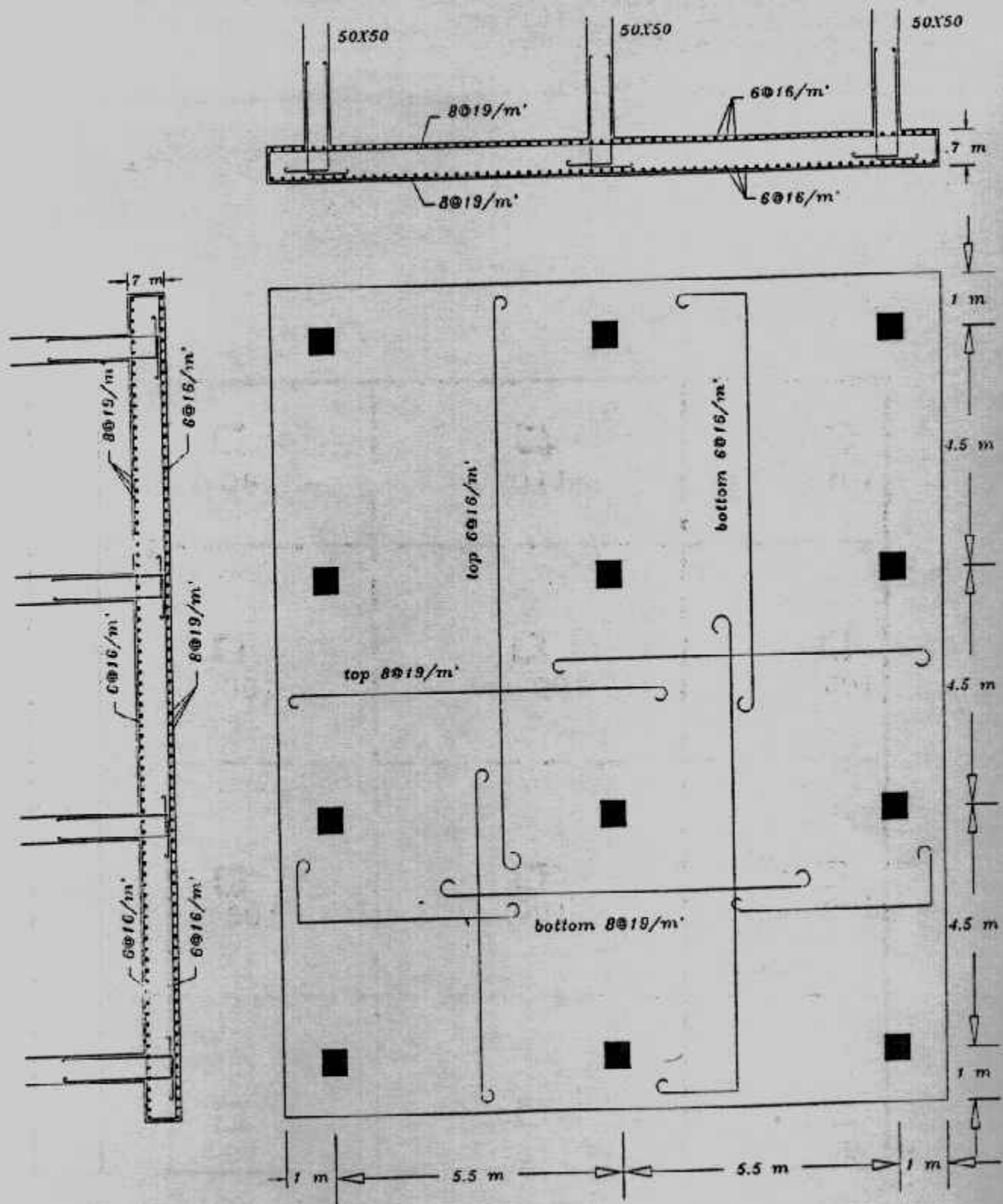
$$\text{Long direction, } M = qL^2/10 = 6.29 \times 4.5^2/10 = 12.74 \text{ cm}^2$$

$$A_{\text{top, bottom}} = \frac{12.74 \times 10^5}{63 \times 1793} = 11.28 \text{ cm}^2$$

Details of design are shown in Fig. (7-25)



شكل (٧-٤) : مثال (٧-٥)



شكل (٢٥-٧) : تفاصيل التصميم لمثال (٥-٧) .

رابعاً : تصميم اللبسة الكمرية : Design of Ribbed Raft

اللبسة الكمرة هي السقف المقلوب من البلاطات والكمارات الثانوية والرئيسية، وهي تستخدم حينما تكون أحجام الأعمدة وبجوارها متساوية أو متغيرة فيما بينها في حدود ٢٠٪ حيث تكون الاجهادات منتظمة التوزيع وتساوي وزن المبني مقسوما على مساحة اللبسة، ويجب حساب مساحة اللبسة بحيث تعطى اجهادات على التربة أقل أو تساوي جهد التربة المسموح به.

وتصميم اللبسة الكمرية كصف مقلوب، حيث تصمم البلاطات الكابولي على عزم قدره $qL/2$ حيث L هي طول الكابولي، وتصميم البلاطات الداخلية أحادية أو ثنائية الاتجاه بسيطة الارتكاز أو مستمرة ويؤخذ العزم للبلاطات المستمرة $qL^2/12$ حيث L هو بحر البلاطة، شكل (٢٦-٧)، ولل بلاطات ثنائية الاتجاه توزع الأحمال في الاتجاهين بمعاملات جراشوف أما الكمارات الثانوية مثل B_1, B_2, B_3 فإنها تحسب كما يلى :

$$\text{الحمل المنتظم لكل متر على الكمرة } B_2 = qL^3$$

$$\text{الحمل المنتظم لكل متر على الكمرة } B_1 = q(L^3/2 + L_4)$$

ليكن R_1, R_2, R_3 ، مما رد فعل B_1 ورد فعل B_2 على الكمرة الرئيسية B_3 ونفرض أن $R_1 = KR_2$ فإنه يمكن حساب K من :

$$K = \frac{R_1}{R_2} = \frac{q(L_3/2 + L_4)}{qL_3} = \frac{L_3/2 + L_4}{L_3}$$

ويمكن الحصول على معادلة الاتزان الآتية من مجموع القوى وردود الأفعال :

$$2R_1 + 8R_2 = 2P_1 + 2P_2$$

ويحل المعادلتين السابقتين يمكن ايجاد ردى الفعل R_1, R_2 وتصمم هذه الكمارات على الحمل الموزع عليها (الجهد) وردود الأفعال شكل (٢٧-٧)، أما الكمارات الرئيسية فتصمم على ردود الأفعال من الكمارات الثانوية والجهد الموزع عليها وأحجام الأعمدة كما فى شكل (٢٨-٧).

Example (7-6):

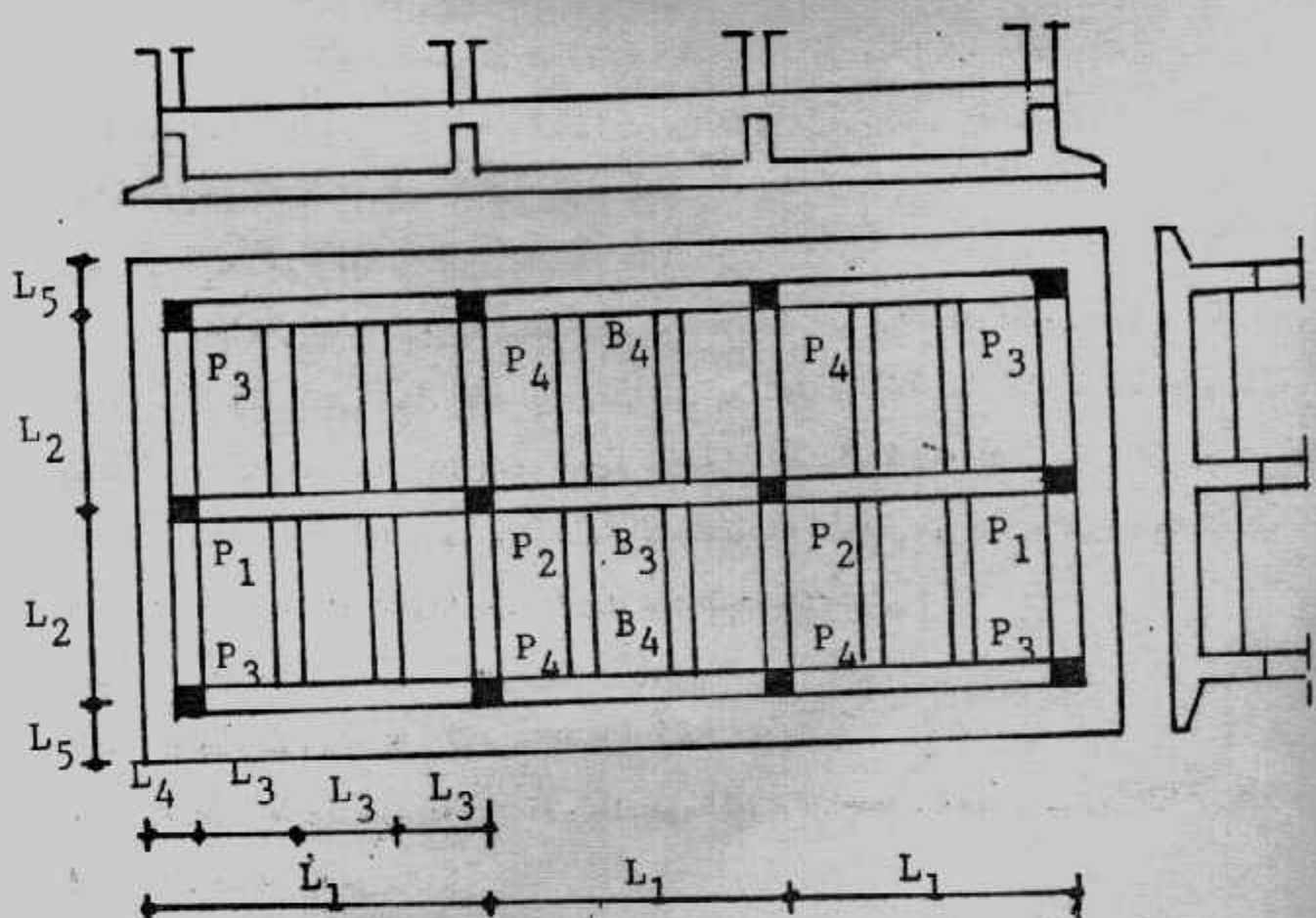
Design a ribbed raft for the columns given in Fig. (7-29). All columns are 50 x 50 cm, the net allowable soil pressure is 0.52 kg/cm². Take $f_c = 50$ kg/cm², $f_s = 1400$ kg/cm²

Solution :

Design of slab.

$$\text{long. cantilever : } M = 5.2 \times 1.65^2 / 2 = 7.1 \text{ mt/m'}$$

$$d = 0.361 \sqrt{7.1 \times 10^5 / 100}$$



شكل (٢٦-٧) : الباشة كسرف مقلوب .

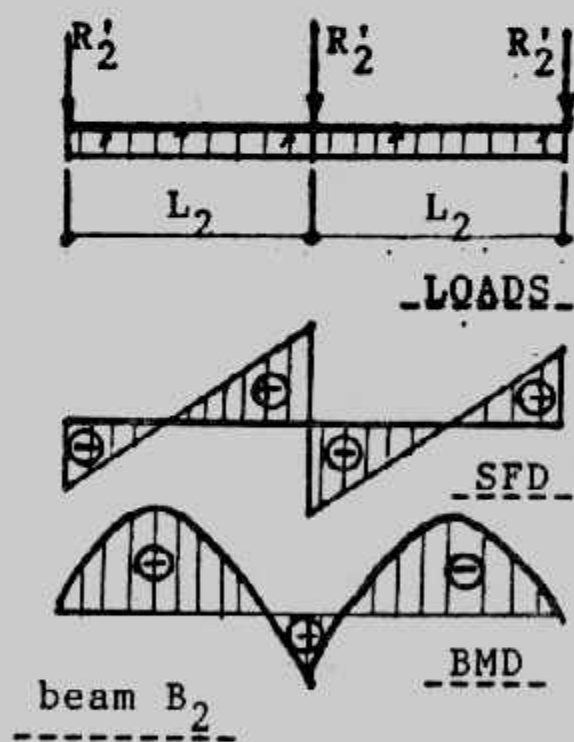
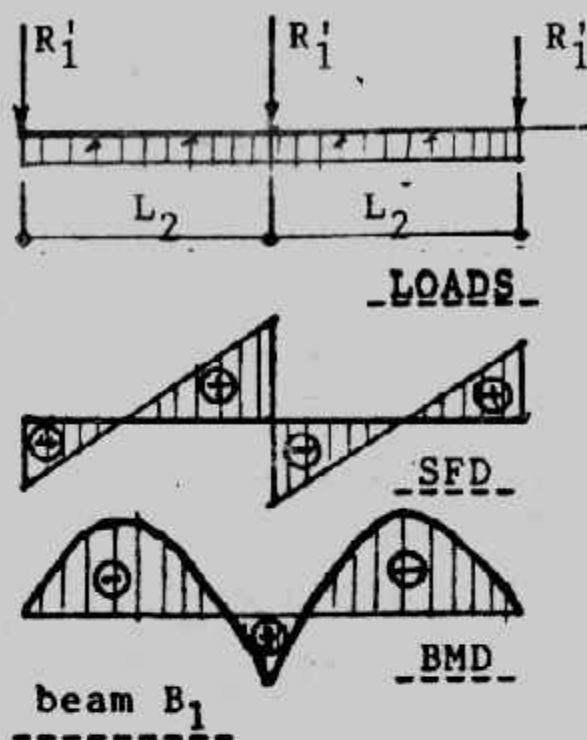
take $t = 40\text{cm}$, $d = 33\text{ cm}$

$$A_s = \frac{7.1 \times 10^5}{1237 \times 33} = 11.6 \text{ cm}^2 \quad 9 \phi 16/\text{m}'$$

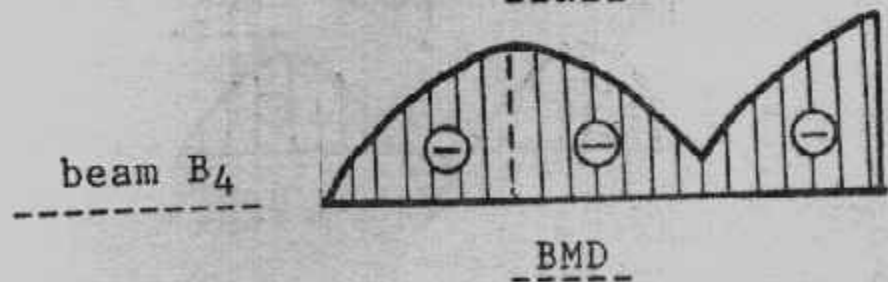
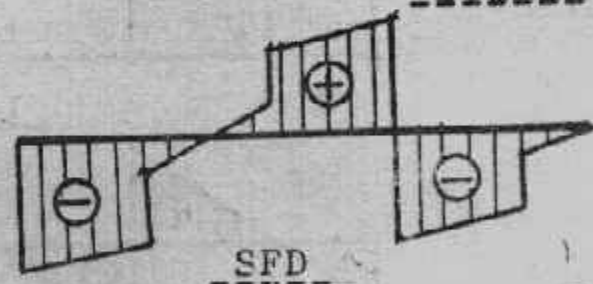
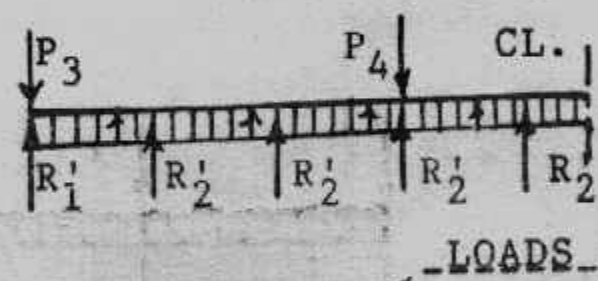
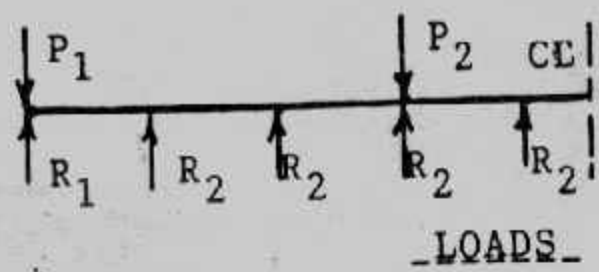
Short cantilever : $M = 5.2 \times 1.35^2/2 = 4.74 \text{ mt/m}'$

$$A_s = \frac{7.1 \times 10^5}{1237 \times 33} = 17.4 \text{ cm}^2 \quad 6 \phi 16/\text{m}'$$

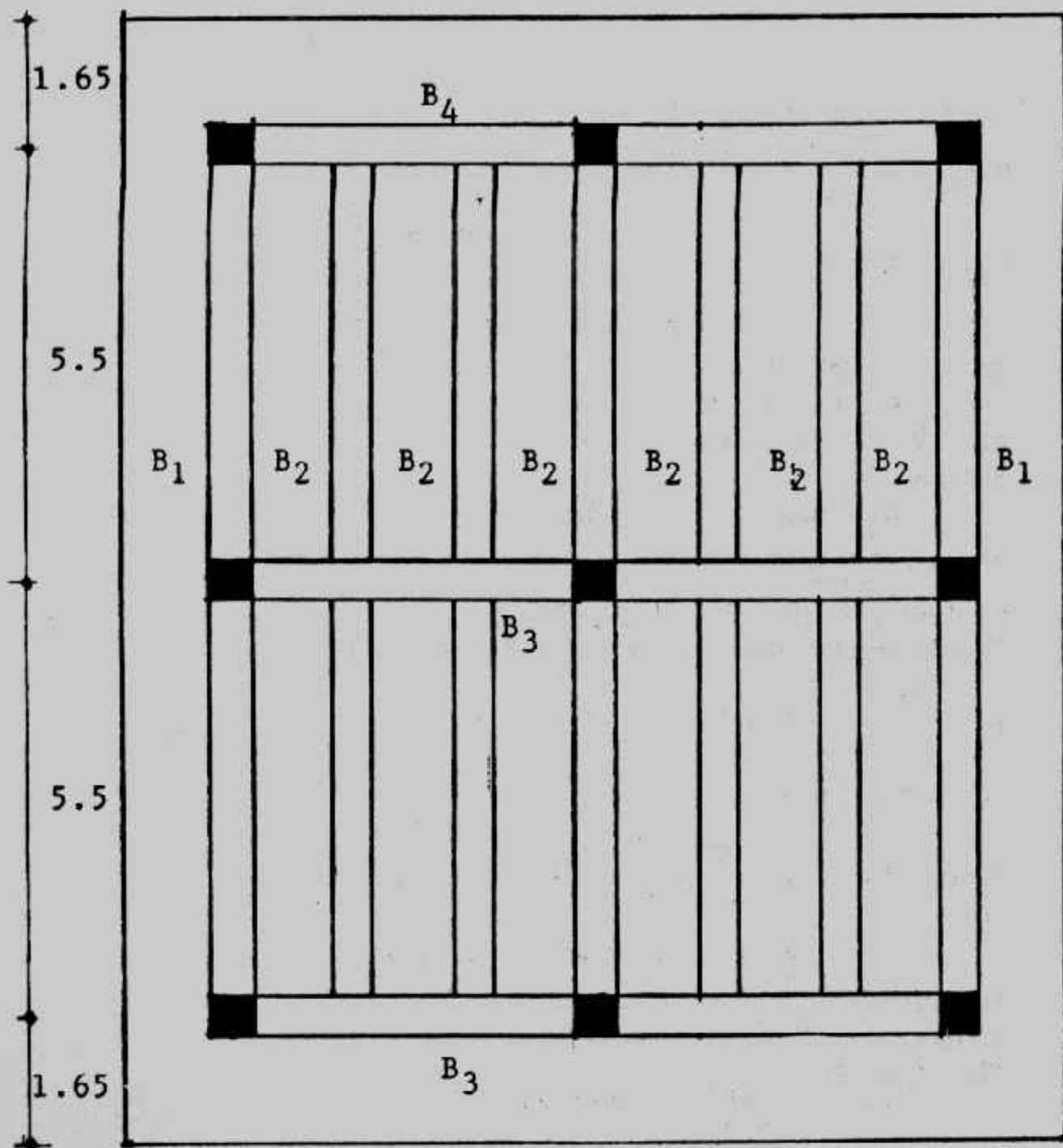
Intermediate slab : $M = 5.2 \times 1.5^2/12 = 0.98 \text{ mt/m}'$



شكل (٧-٧) : الأحمال والقوى الداخلية للكمرات الثانوية .

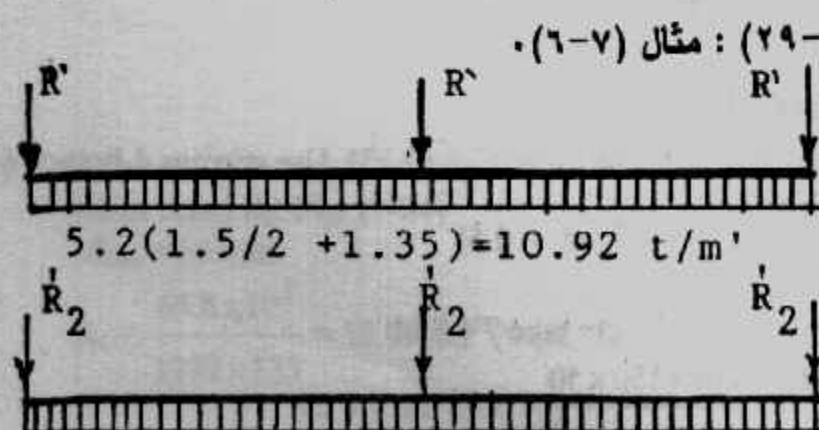


شكل (٢٨-٧) القوى الداخلية للكمرات



1.35 1.5 1.5 1.5 1.5 1.5 1.5 1.35

شكل (٢٩-٧) : مثال (٦-٧).



$$5.2(1.5/2 + 1.35) = 10.92 \text{ t/m}'$$

$$5.2 \times 1.5 = 7.8 \text{ t/m}'$$

شكل (٣٠-٧) : الكرة الثانوية.

$$A_s = \frac{0.98 \times 10^5}{1237 \times 33} = 2.4 \text{ cm}^2 \quad 5 \phi 13/\text{m}$$

Design of secondary beams Fig. (7-30)

$$R_1/R_2 = \frac{1.5/2 + 1.35}{1.5} 1.4$$

$$5.2 (1.5/2 + 1.35) = 10.92 \text{ t/ml}$$

$$R_1 = 1.4 R_2 \dots (1)$$

$$5.2 \times 1.5 = 7.8 \text{ t/m}$$

$$2R_1 + 5R_2 = 100 + 120 + 110 \text{ (2)}$$

Solving eqns. 1 and 2 gives

$$R_1 = 59.23 \text{ t}, R_2 = 42.31 \text{ t}$$

Similary :

$$R_1 = 30 \text{ st} \quad R_2 = 21.8 \text{ t}$$

SFD and BMD are shown in Fig. (7-31)

$$d = 0.361 \sqrt{42.6 \times 10^5 / 150} = 60.84 \text{ cm (T.sec.)}$$

To reduce reinforcement take beams B₁ and B₂ 90 x 50 d = 83 cm

$$A_s = \frac{42.6 \times 10^5}{1237 \times 83} = 41.49 \text{ cm}^2 \quad (9 \phi 25)$$

$$A_s' = 0.2 \times 41.49 = 8.3 \text{ cm}^2 \quad (5 \phi 16)$$

$$\text{For beam } B_2 \quad A_s = \frac{30.5 \times 10^5}{1237 \times 83} = 29.71 \text{ cm}^2 \quad (7 \phi 25)$$

$$A_s' = 0.2 \times 29.71 = 5.94 \text{ cm}^2 \quad (3 \phi 16)$$

For diagonal tension use min reinforcement 5 φ 8/m

Stirrups and 2 φ 25 bent bars, Fig. (7-32).

Main beam B₄ :

Loads, SFD, BMD are shown in Fig. (7-33)

$$d = 0.361 \sqrt{65.8 \times 10^5 / 10} = 130.96 \text{ cm}^2$$

take t = 140 cm, d = 133 cm

$$A_s = \frac{65.8 \times 10^5}{1237 \times 133} = 40 \text{ cm}^2 \quad (9 \phi 25)$$

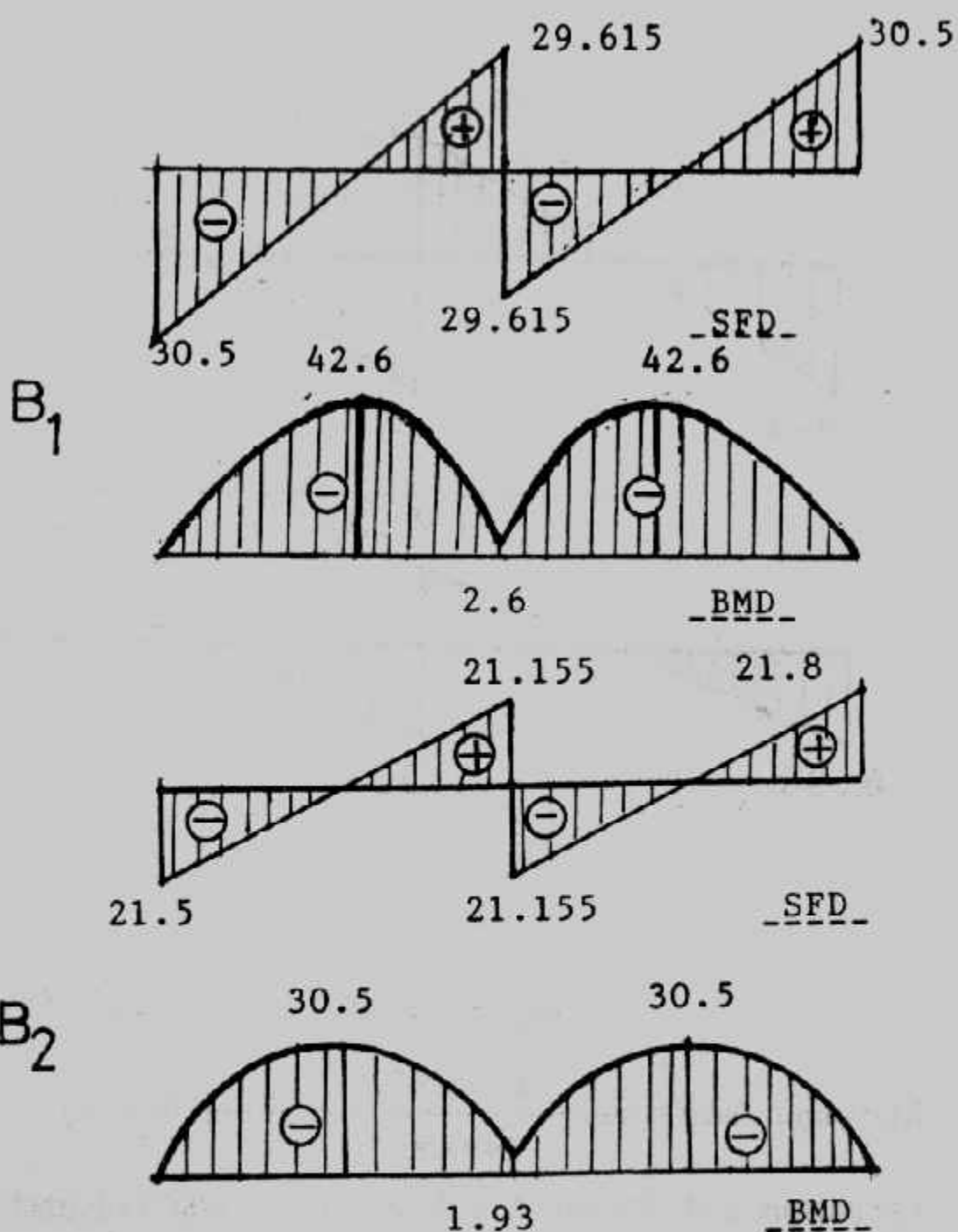
$$A_s' = 0.2 \times 40 = 8 \text{ cm}^2 \quad (4 \phi 16)$$

Diagonal tension diagram for B₄ is shown in Fig. (7-33). Use stirrups 4-branch φ 8.

$$3.6 = \frac{0.5 \times 4 \times 1400}{50 \times S} \quad (A_s \text{ st.} = 0.5)$$

Spacing between stirrups S = 15.55 cm take 7 φ 8 /m

$$\text{bent bars } A_s \text{ bent} = \frac{(7.25 - 6.6) \times 150 \times 50}{1400} = 3.48 \text{ use } 4 \phi 25$$

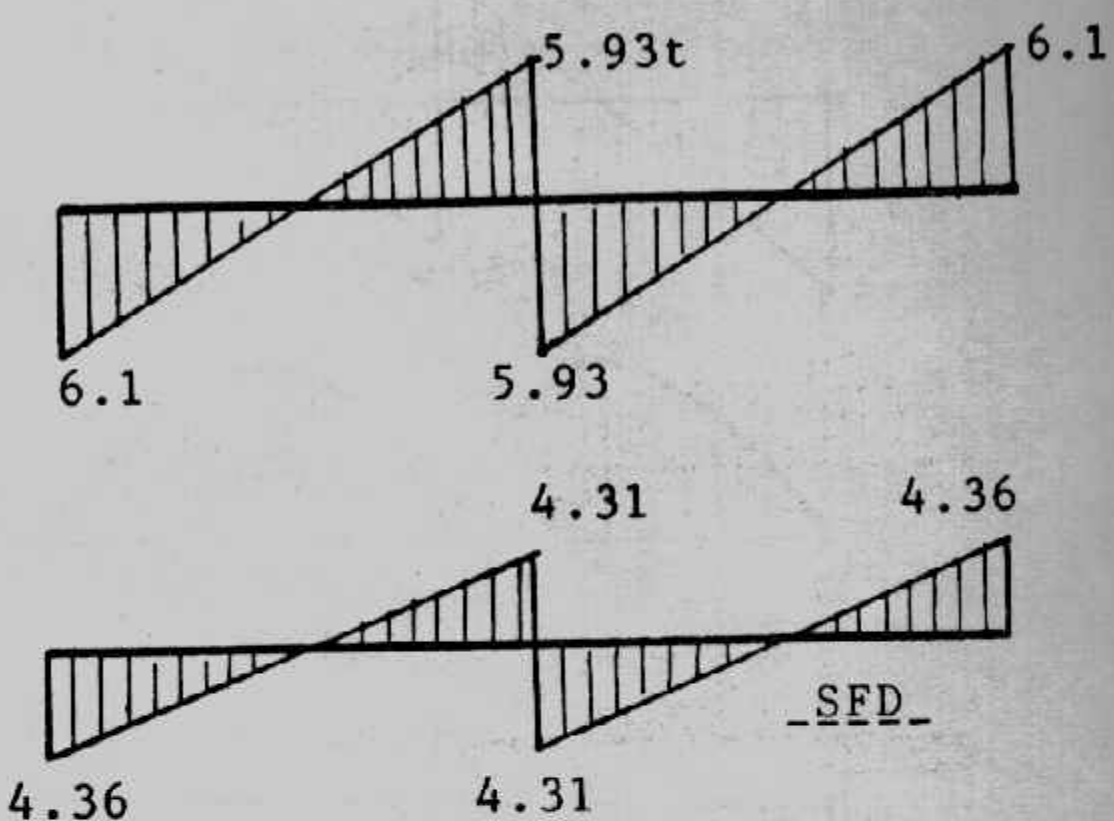


شكل (٧-٣١): القوى الداخلية للكمرات الثانوية .

Main beam B₃, Fig. (7-34)

$$M_{\max} = 65.8 \text{ mt}$$

$$A_s = \frac{65.8 \times 10^5}{1237 \times 133} = 39.99 \text{ cm}^2 (9 \phi 25)$$

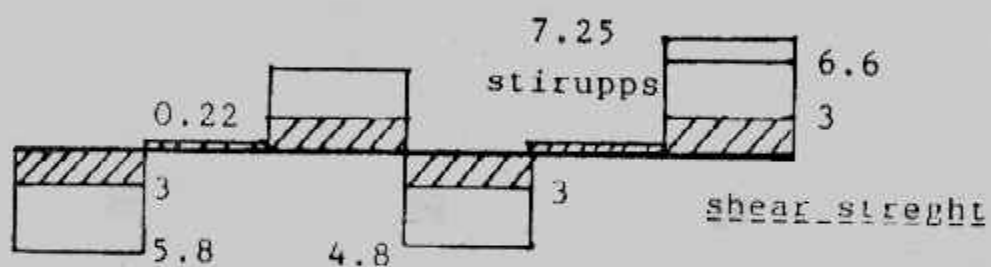
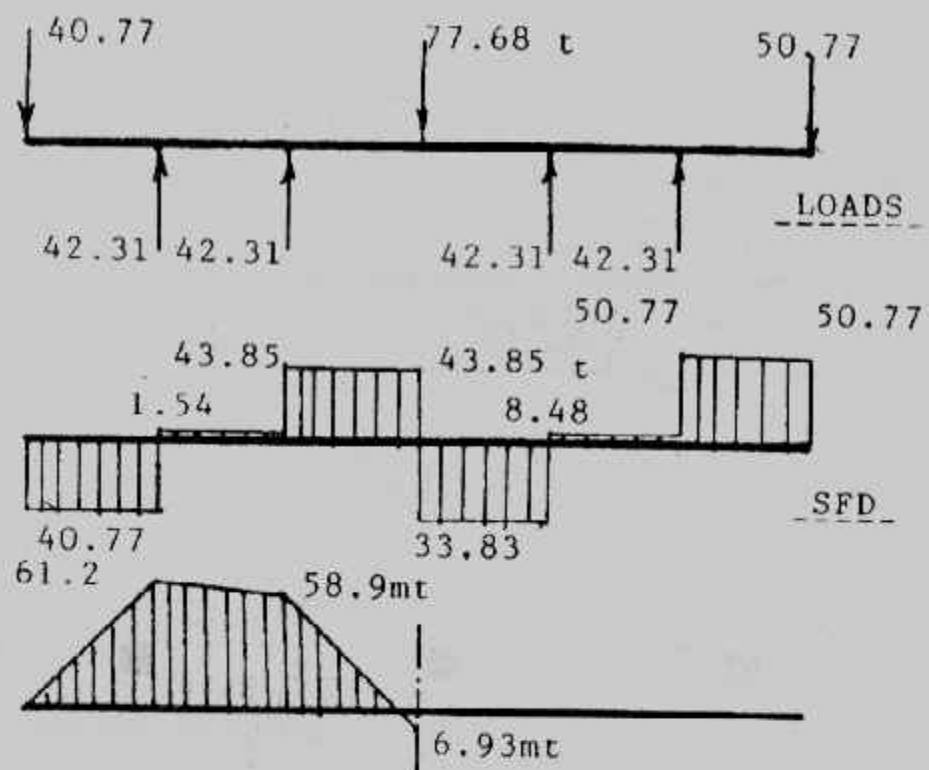


شكل (٣٢-٧) اجهادات القص للكمرات الثانوية .

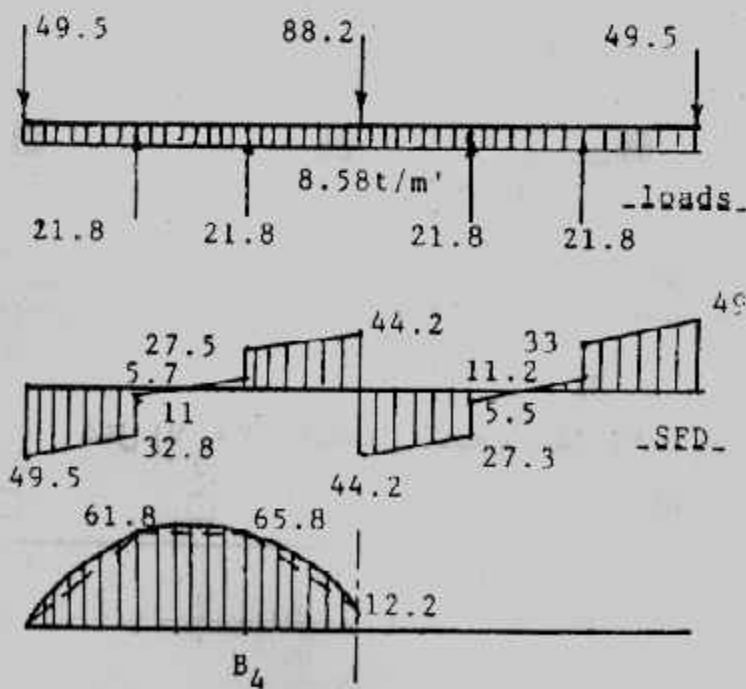
$$\text{Maximum shear stress} = \frac{49.5 \times 10^3}{140 \times 50} = 39.99 \text{ cm}^2 \quad (9 \phi 25)$$

use stirrups and bent bar as in B₄ stirrups 7 φ 8/m' (4 branch)
bent bar 4 φ 25

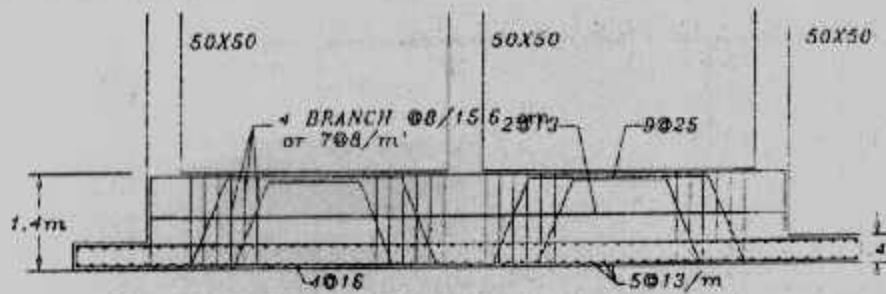
Details of design are show in Fig. (7-35)



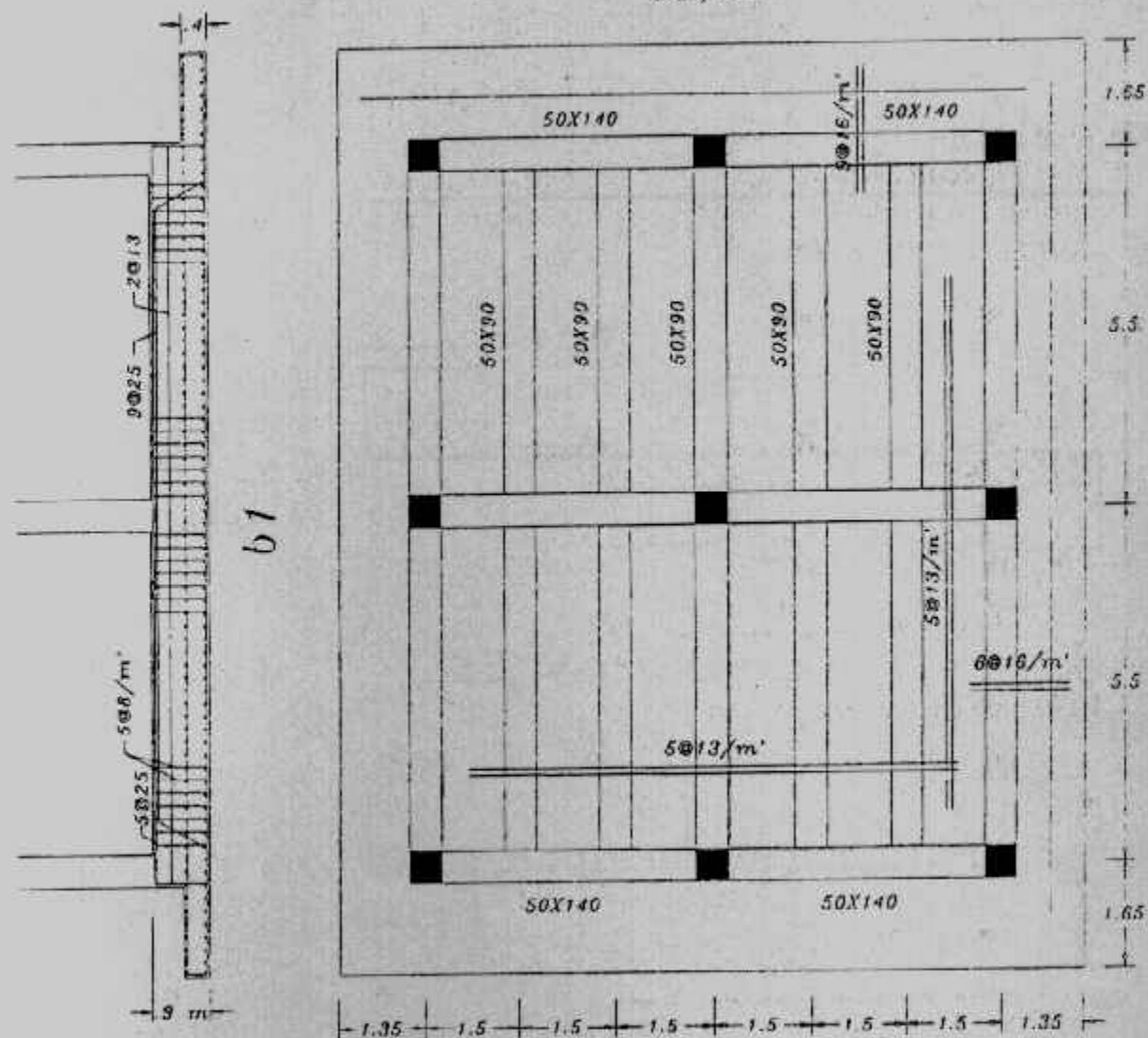
شكل (٣٣-٧) : الكمرة B₄



شكل (٣٤-٧) : الكمرة B₅



b3,b4



شكل (٣٥-٧) : تفاصيل التصميم لمثال (٦-٧)

الباب الثامن

التحليل العددي للأساسات

Numerical Analysis of Foundations

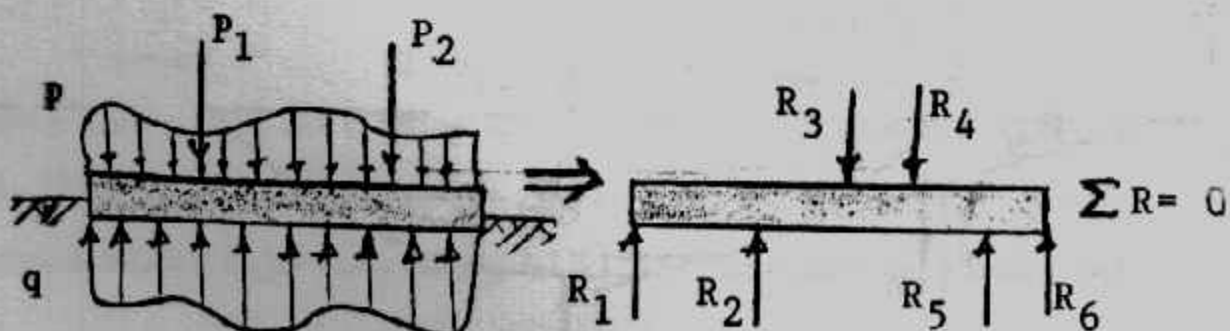
كان تصميم الأساسات الضخمة والمشتركة يتم بطرق تقريرية إلى حد ما، تم مع تقدم الأبحاث والعلم صمم المهندسون هذه الأساسات بطرق أكثر دقة وتقديماً تعتمد على حل معادلات تفاضلية إلا أن المصممون كانوا لا يملكون المقدرة والوقت لحل هذه المعادلات. ومع تقدم طرق التحليل العددي وباستخدام المقدرة الفائقة للحاسبات الإلكترونية (الكمبيوتر) يمكن الآن حل كثير من المسائل الهندسية المدنية، بل وأن كثير من هذه المسائل أصبح لها الآن برامج جاهزة للاستخدام على الكمبيوتر مباشرة لحل أي عنصر إنشائي وبطرق أكثر دقة وتقديماً.

هذا التطور يؤدي إلى الحصول على منشآت أكثر أماناً واقتصاداً ولكن بعض الخطير يمكن في الإسناد القيام من قبل المصمم على الكمبيوتر مما يؤدي إلى فقد جزء من التحكم في الحسابات الذي كان يحدثه بنفسه من قبل. ولذا فإنه يجب عمل بعض التحقق على نتائج الكمبيوتر حتى يمكن التحكم في الحسابات ونتائجها.

وهذا الباب يستلزم أن يكون القارئ ملماً باستخدام الكمبيوتر وعلم المصفوفات وأن يكون لديه فكرة عامة عن طرق التحليل العددي مثل طريقة الفروق المحدودة وطريقة العناصر المحدودة.

معنى تصميم الأساسات :

وظيفة الأساس هي توزيع الحمل الواقع عليه من المنشأ، وقد يكون هذا الحمل مركزاً أو موزعاً، وهذا التوزيع يخلق ضغط تماس لأعلى بين التربة والسطح السفلي للأساس.



شكل (١-٨) الأحمال والإجهاد.

و عند أي مقطع في الأساس يمكن اعتبار قيمة الضغط العلوى q مكافئا لقوة رأسية أعلى Q . والقوى المؤثرة والقوى الرأسية العلوية في حالة اتزان أي أن مجموعها الجبرى يساوى صفراء . وهذه القوى تسبب قوى قص و عزوم . وبمعرفة هذه القوى الداخلية يمكن تصميم الأساس أي معرفة أبعاده و تسليحه .

شكل ضغط التماس Contact Pressure و توزيعه تحت الأساس يعتمد على عدة

عوامل أهمها :

- ٢- درجة جسأة الأساس Rigidity
- ١- شكل الأساس .
- ٣- نوع التربة .
- ٤- شكل الحمل .

١- شكل الأساس : Form of the Foundation : أفضل شكل للأساس هو الشكل المنتظم Regular . ويأخذ الأساس شكل دائري، أو مربع، أو مستطيل أو شبه منحرف ويختلف شكل ضغط التماس حسب شكل الأساس .

٢- جسأة الأساس Rigidity of Foundation : دارس هندسة الأساسات يقابله دائماً تعبيران : أساس مرن foundation و أساس جاسى Flexible foundation . و عامة الأساس المرن هو الذي لا يدى مقاومة للانحناء (التشكل) ويأخذ شكل هبوط طبقاً لهبوط التربة تحته . أما الأساس الجاسى فهو الذي يقاوم الانحناء (التشكل) و شكل هبوطه منتظم بخلاف التربة تحته . ولتفسير ذلك رياضياً :

من نظرية الكرة

$$M/I = E/R \quad (\text{Beam Theory})$$

Where M = Bending moment

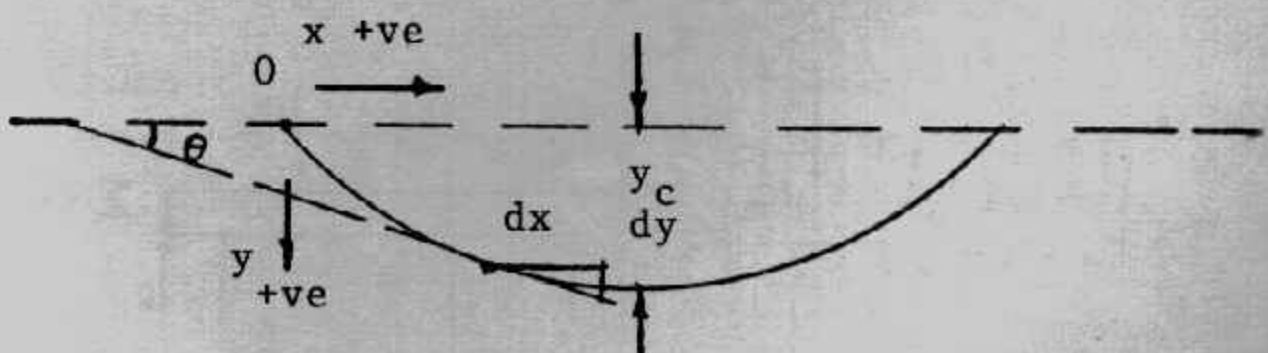
E = Modulus of elasticity of the material comprising the beam.

I = Moment of inertia of the beam.

R = Resulting radius of curvature.

وبدراسة كمرة بسيطة الإرتكاز تحت حمل منتظم التوزيع و ترخيم مركزي

و اعتبار الدعامة اليسرى نقطة أصل كما في شكل (٢-٨) .



شكل (٢-٨) ترخيم كمرة بسيطة .

فإن زاوية الميل هي Slope angle θ عند أي نقطة بينما تكون صغيرة كما يحدث في حالة الكمرات فإن :

$$\theta = \tan \theta = dy / dx$$

النقطتان A, B على الكمرة المسافة بينهما ds وطول المنحنى بينهما $ds - d\theta$, $d\theta$ الزاوية على محور x المصنوعة بواسطة المماس عند B (الزيادة في ds تسبب نقصاً في الزاوية ولذا تؤخذ $(-d\theta)$)

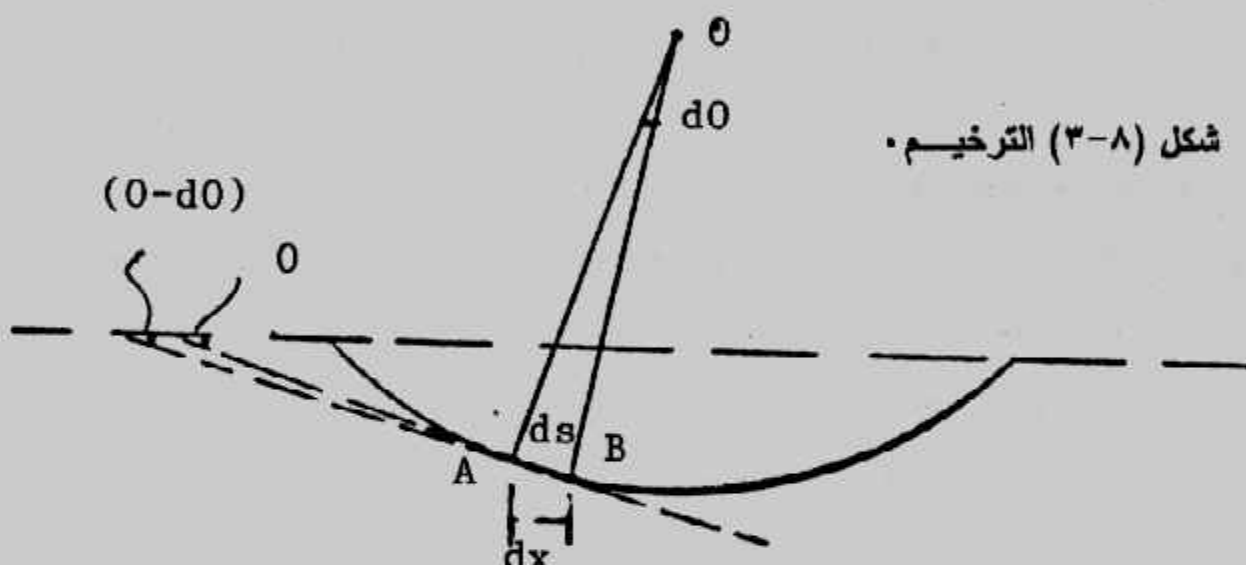
شكل (٣-٨) وحيثند

$$d\theta / ds \text{ is -ve and } 1/R = -d\theta/ds$$

$$ds = dx$$

$$\therefore 1/R = -d\theta/ds = -d\theta/dx = -d(dy/dx)/dx^2$$

$$\therefore -M/EI = d^2y/dx^2$$



شكل (٣-٨) الترخيـم.

$$dy/dx = \frac{1}{EI} \int -M dx = \frac{1}{EI} [-Mx + A]$$

$$y = \frac{1}{EI} \iint -M dx dx = \frac{1}{EI} \left[-\frac{Mx^2}{2} + Ax + B \right]$$

وتكون الكمرة جاسنة تماماً إذا كان :

$$y = 0 \quad , EI = \infty$$

وتكون الكمرة مرنة تماماً إذا كان :

$$y = \infty \quad , EI = 0$$

٣- نوع التربة Type of Soil : التربة المتماسكة Cohesive soil مثل الطمي والطين وهم يتصرفان كتربة مرنة عند تحميلهما، والأساس عليهما يعامل بنظرية المرونة، والتربة الغير متماسكة Cohesionless soil مثل الرمل والزلط وهذه التربة لا تسلك السلوك المرن.

٤- نوع الحمل **Form of Loading** : نوع الحمل المؤثر على الأساس يعتمد على شكل ووظيفة المنشأ وتعيين قيمة الحمل عامل هام في التصميم.

الحلول القياسية المعتمدة على ضغط التماس :

توجد كثيًر من الحلول المعتمدة على ضغط التماس ولكنها تحتوى على بعض العيوب منها :

- ١- تطبق الحلول على حالات تحمل بسيطة فقط.
- ٢- التربة يجب أن تؤخذ إما متماسكة تماماً أو غير متماسكة تماماً.
- ٣- الأساس يجب أن يفرض إما مرن تماماً أو جاسئ تماماً.
- ٤- الحلول تطبق على الأساس الدائري والمربع والشريحة.

شكل ضغط التماس :

يعتمد شكل توزيع ضغط التماس على صفات المرونة لكل من الأساس والتربة تحت الأساس.

وبدراسة ضغط التماس تحت أساس دائري وأساس شريحة Strip معرضين لحمل منتظم وهو ما من النوع الجاسي على تربة نصف مرنة، وبفرض أن اجهادات القص على قاعدة الأساس مساوية الصفر، وجد أن توزيع ضغط التماس يعتمد على معامل K_r :

$$K_r = \frac{1}{6} \left(\frac{1 - v_s^2}{1 - v_f^2} \right) \left(\frac{E_f}{E_s} \right) \left(\frac{T}{b} \right)^3$$

- where :
 v_s = Poisson's ratio for soil
 v_f = Poisson's ratio for foundation material
 E_f, E_s = Young's modulus of foundation material and soil, respectively.
 b = $\begin{cases} \text{half - width for strip foundation.} \\ \text{radius for circular foundation} \end{cases}$
 T = Thickness of foundation

ويلاحظ أن :

$K_r = 0$ يبين أن الأساس مرن تماماً

$K_r = \infty$ يبين أن الأساس جاسي تماماً

الأساس الجاسي : Rigid

جسامه الأساس يجعل الهبوط تحت الأساس للحمل المنتظم متساوًى وتجعله يتغير خطياً إذا كان الحمل غير منتظم، وهنا ضغط التماس يعتمد على نوع التربة شكل (٤-٨).



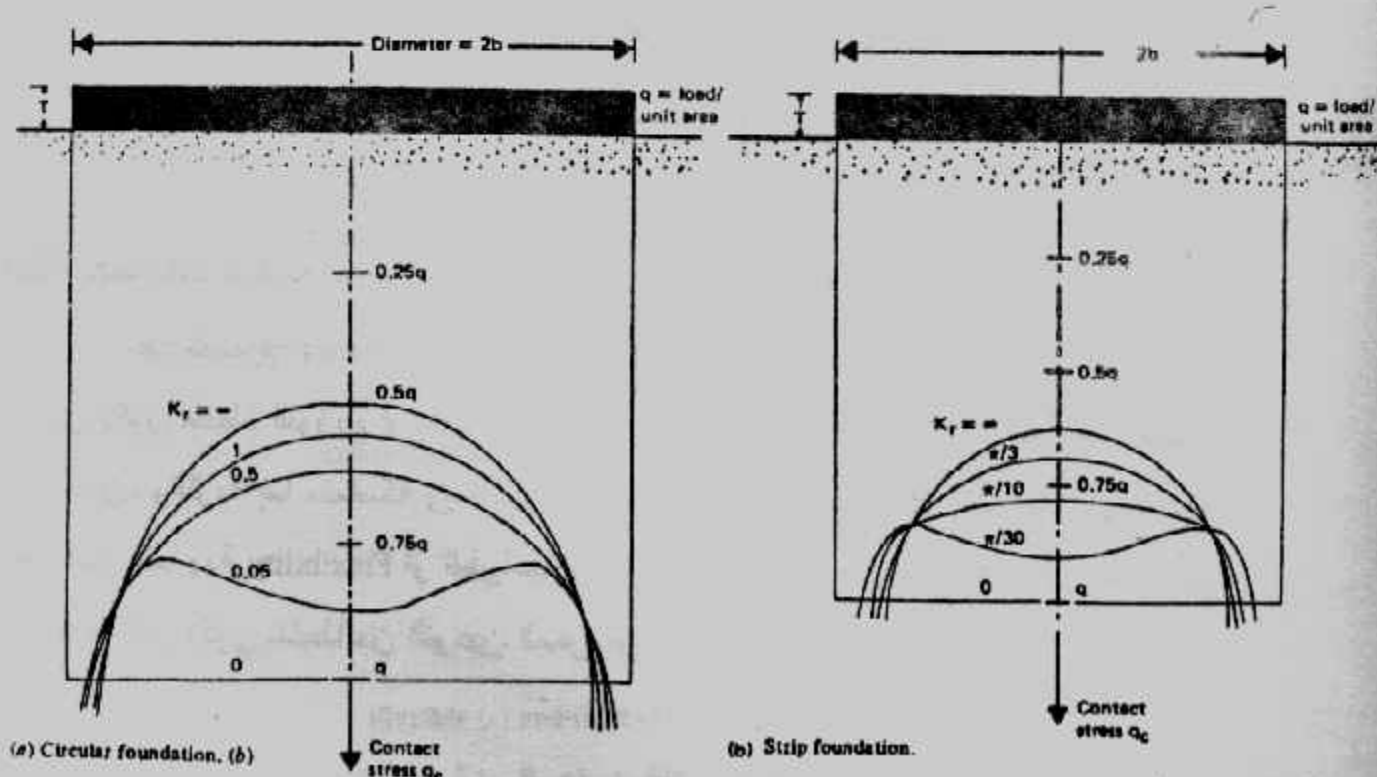
شكل (٤) : الأساس الجاسئ.

وللأساس الجاسئ ($K_r = \infty$) تكون $q_e/q = 0.67$ عند محور الأساس الشريحة، و $0.5 = q_e/q$ عند محور الأساس الدائري، وعند أطراف الأساس تقترب q_e/q من الالتهابية (٥-٨).

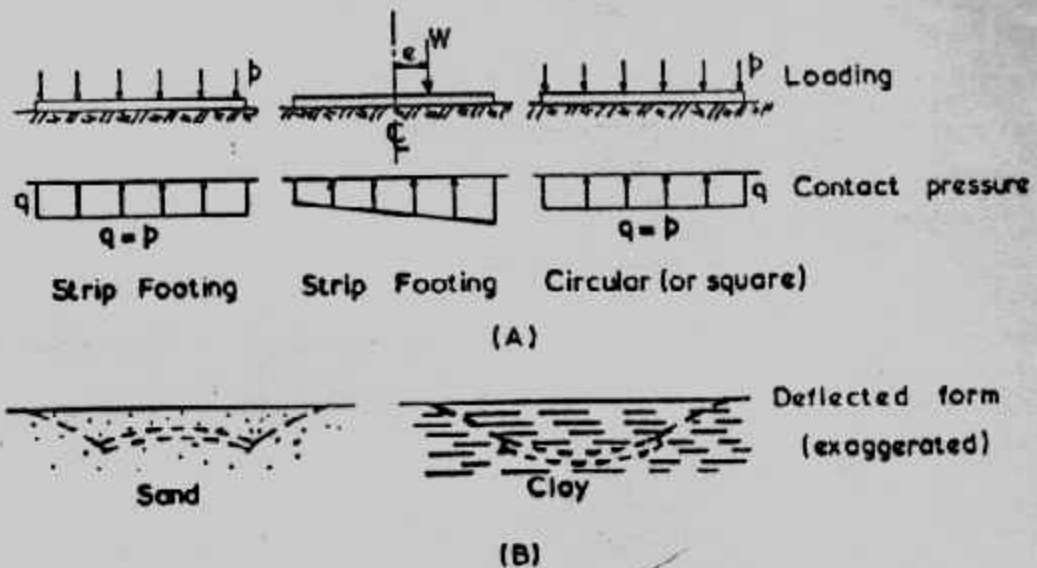
الأساس المرن : Flexible

الأساس المرن لا يهدى مقاومة للانحناء، وضغط التماس دائمًا منتظم للأحمال المركزية والموزعة أو يكون ضغط التماس متغير بانتظام تحت الأحمال المركزية اللامركبة (eccentric) (شكل (٦-٨)) وحينما يكون الأساس مرتكزا على رمل Sand فإن الهبوط عند الأطراف يكون أكبر من الهبوط في الوسط، أما حينما يكون الأساس مرتكزا على الطين Clay فإن الهبوط تحت المركز يكون أكبر من الهبوط عند الأطراف بقيمة تصل إلى ١٠.٥ مرة شكل (٦-٨ ب).

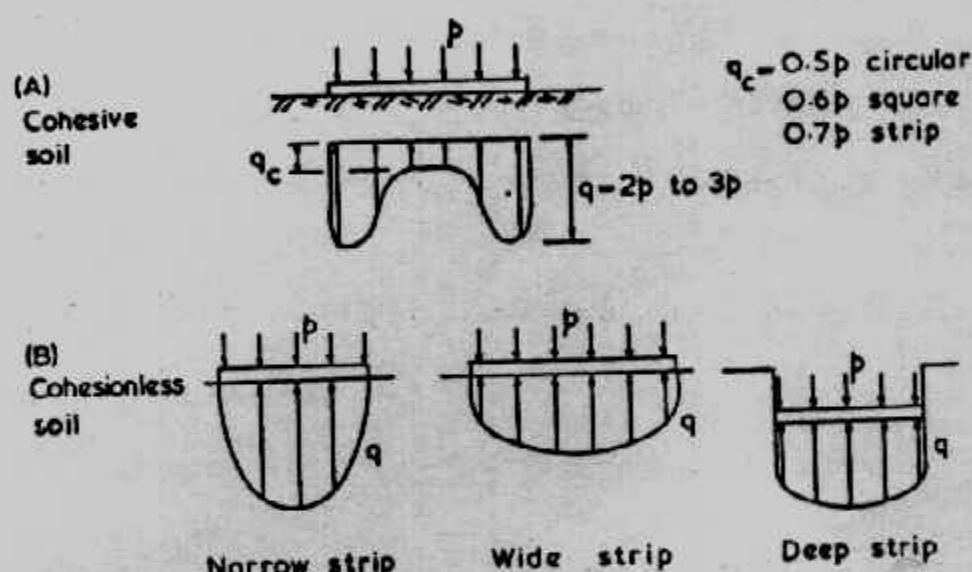
وتبيّن الأشكال (٦-٨، ٦-٩) توزيع ضغط التماس تحت الأساس المرن وتحت الأساس الجاسئ عند ارتكازهما على الرمل والطين.



شكل (٦-٨) : ضغط التماس للأساس الجاسئ.



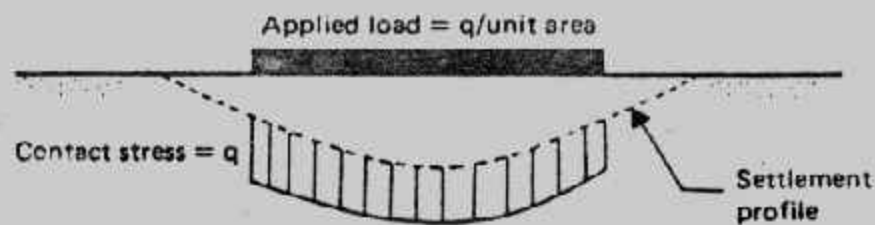
شكل (٦-٨) : الأساسات المرنة واللامركزية .



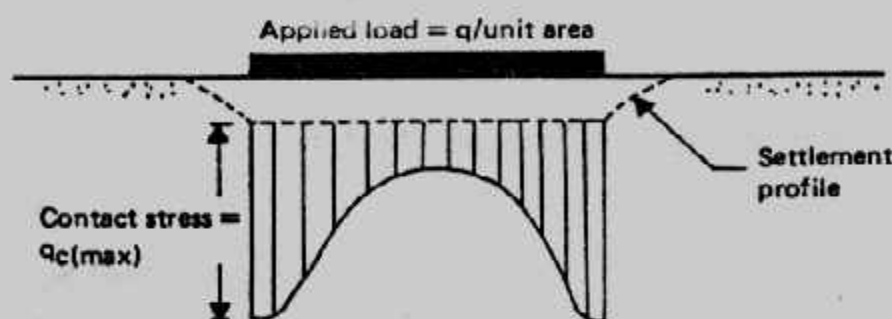
شكل (٧-٨) : ضغط التماس للأساسات .

نظام حسابات التصميم : Routine Design Calculations

عند تصميم الأساسات الدائرية والمربعة فإن أغلب المصممين يفترض أن ضغط التماس يكون منتظم التوزيع أو يتغير بانتظام . وكل الحلول تفترض أن الأساس إما جسيء وإما مرن ، والتربة إما متتماسكة وإما غير متتماسكة . بينما الواقع أن كل الأساسات لها درجة معينة من المرونة Flexibility أو الطواعية وأغلب الترب خليط من النوعين وعلى هذا فإن ضغط التماس يكون خليطاً من النوعين المعروفين .



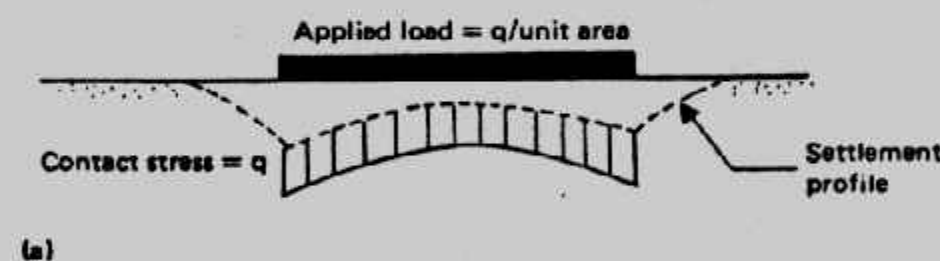
(a)



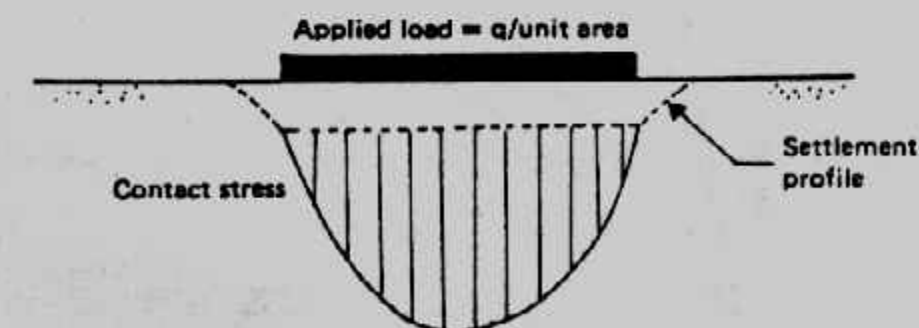
(b)

Flexible (a) and rigid (b) foundations on clay.

شكل (٨-٨) : ضغط التماس للأساسات المرنة على الطين .



(a)



(b)

Flexible (a) and rigid (b) foundations on sand.

شكل (٩-٨) : ضغط التماس للأساسات المرنة على الرمل .

معاملات المرونة للتربة : Elastic Properties of Soil

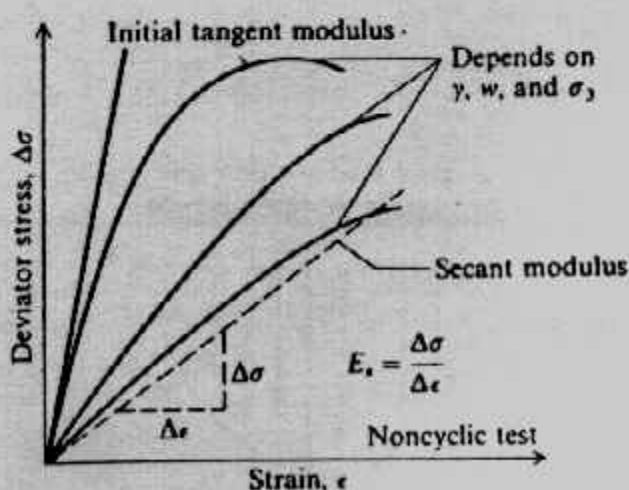
معامل المرونة E ، ومعامل بواسن μ ، ومعامل رد فعل التربة K ومعامل الجسامه (القص) G تسمى معاملات المرونة، وتعين قيمها للتربة مهم لاستخدامها في طرق التصميم الدقيقة والحديثة ومعامل الجسامه (القص) G يستخدم في تصميم الأساسات المعرضة لحمل ديناميكية أو اهتزازية.

أ- معامل المرونة : Stress-Strain Modulus E

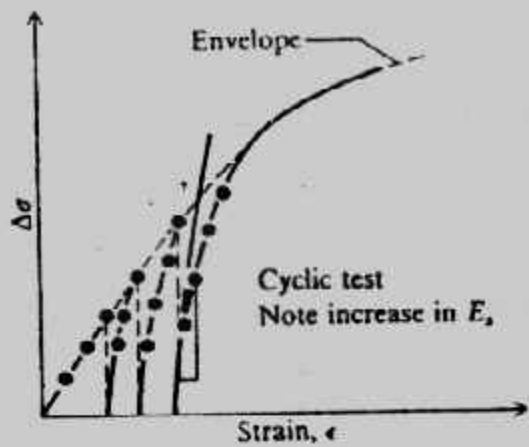
معامل المرونة أو معامل ينج Young's Modulus يعين من ميل القاطع أو ميل المماس لمنحنىات الاجهاد - الانفعال الناتجة من اختبارات الضغط الثلاثي Initial Tangent Modulus أشكال (١٠-٨)، (١١-٨)، ويؤخذ معامل المماس الابتدائي غالبا Initial Tangent Modulus للأسباب الآتية :

- ١- التربة مرنة فقط قرب بداية المنحنى .
- ٢- يعطى أقل قيمة حيث أن معامل التقاطع يعطى فيما أكبر كثيرا .
- ٣- أقل تباعد بين النتائج يوجد في هذه المنطقة .

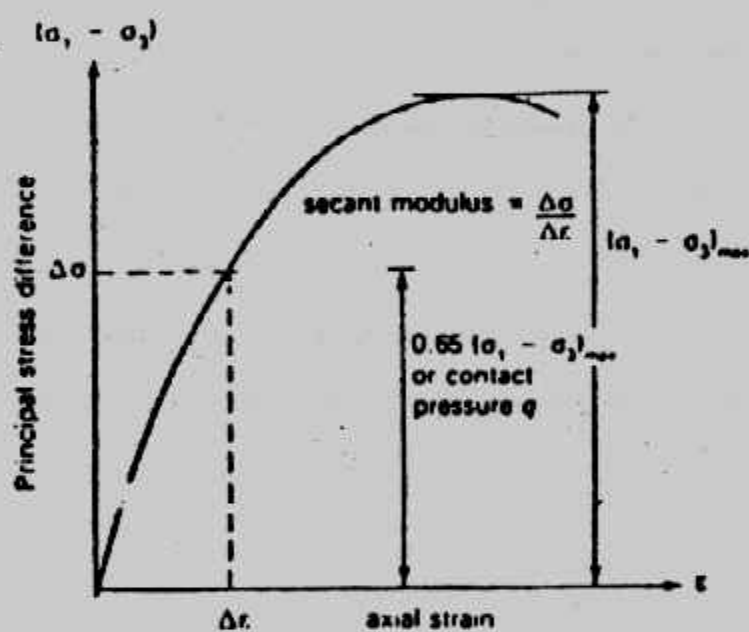
ويقترح بعض الباحثين أفضل معامل تماس يمكن الحصول عليه، من Cycling Deviator Stress في حدود خمس مرات ثم يحدث الانهيار ويوضح شكل (١٢-٨) طريقة أخرى لتعيين معامل المرونة، وبعض القيم التقريرية لمعامل المرونة لأنواع المختلفة للتربة معطاه في جدولى (١٦-٢)، (١٧-٢) بالباب الثاني من هذا الكتاب .



شكل (١٠-٨) : معامل المرونة



شكل (١١-٨) : معامل المرونة .



شكل (١٢-٨) : معامل المرونة .

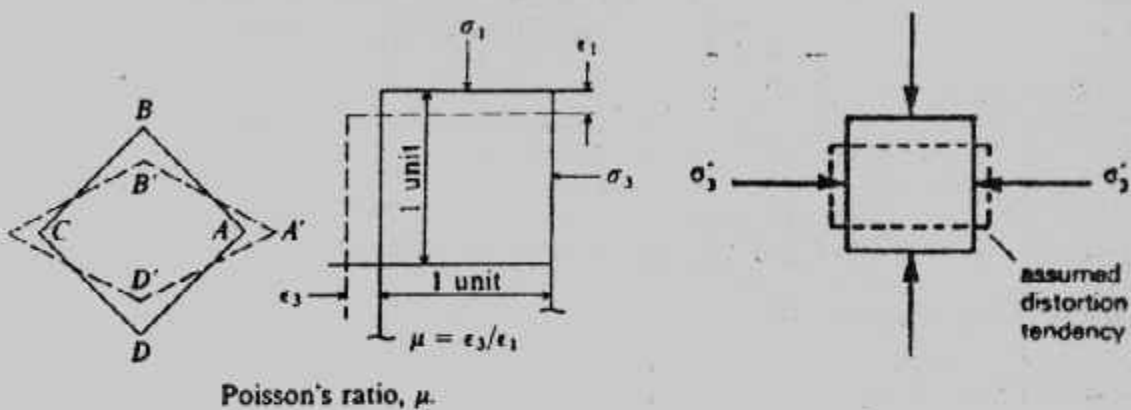
وحيثما يتعدى الحصول على معامل المرونة من التجارب المعملية فإنه يمكن الحصول على معامل المرونة من بعض التجارب الحقلية كما ذكر في الباب الثاني من هذه الكتاب والجداول (٢٠، ٢١، ٢٠، ٢٢) تعطى علاقات معامل المرونة بنتائج التجارب الحقلية، وفي نهاية هذا الباب معطى طرق تعيين معامل المرونة من التجارب المعملية وال核算ية كما نص عليها الكود المصري لميكانيكا التربة والاساسات .

٤- معامل بواسن : Poisson's ratio

معامل بواسن يعرف بأنه النسبة بين انفعال الضغط المحوري وانفعال التمدد لعرضى بشكل (١٣-٨) :

$$\mu = \epsilon_3 / \epsilon_1$$

ويتضح من التعريف السابق أن قيمة معامل بواسن يمكن أن تكون سالبة بينما يوجد انكماش عرضي وقد بينت التجارب المعملية أن هذا المعامل يمكن أن تكون قيمته أكبر من ٠،٥ وفي هذه الحالة تكون التربة لدنه أي ان نظرية المرونة لا تطبق عليها.



شكل (١٣-٨) : معامل بواسن .

ويبين جدول (١-٨) مجدول قيم معامل بواسن لأنواع التربة المختلفة وبين جدول (٢-٨) القيمة التي ينصح بها الكود المصري لميكانيكا التربة والاساسات .
جدول (١-٨) حدود قيم معامل بواسن .

Values or value ranges for Poisson's ratio μ

Type of soil	μ
Clay, saturated	0.4-0.5
Clay, unsaturated	0.1-0.3
Sandy clay	0.2-0.3
Silt	0.3-0.35
Sand, gravelly sand commonly used	-0.1-1.00 0.3-0.4
Rock	0.1-0.4 (depends somewhat on type of rock)
Loess	0.1-0.3
Ice	0.36
Concrete	0.15

جدول (٢-٨) القيم التقديرية لنسبة بواسن .

نوع التربة	طين مشبع	طمي ورمل
μ	٠،٥	٠،٣

جـ- معامل الجسأة (القص) Shear Modulus G

معامل القص أو الجسأة يعرف بأنه النسبة بين إجهاد القص وانفعال القص

$$G = S / \epsilon_s$$

ويمكن تعبينه من معامل المرونة ومعامل بواسن

$$G = E_s / (1 + \mu)$$

د- معامل رد فعل التربة K_r : Modulus of Subgrade Reaction K_r

معامل رد فعل التربة من المعاملات الهامة التي تدخل في تصميم الأساسات المرونة كالطرق والكمارات والبلاطات على التربة المرونة كما يدخل في حساب ضغط التماس. ويعرف معامل رد فعل التربة بأنه هو النسبة بين وحدة ضغط التربة والهبوط

$$k_r = q / \Delta \quad \text{kN/m}^3$$

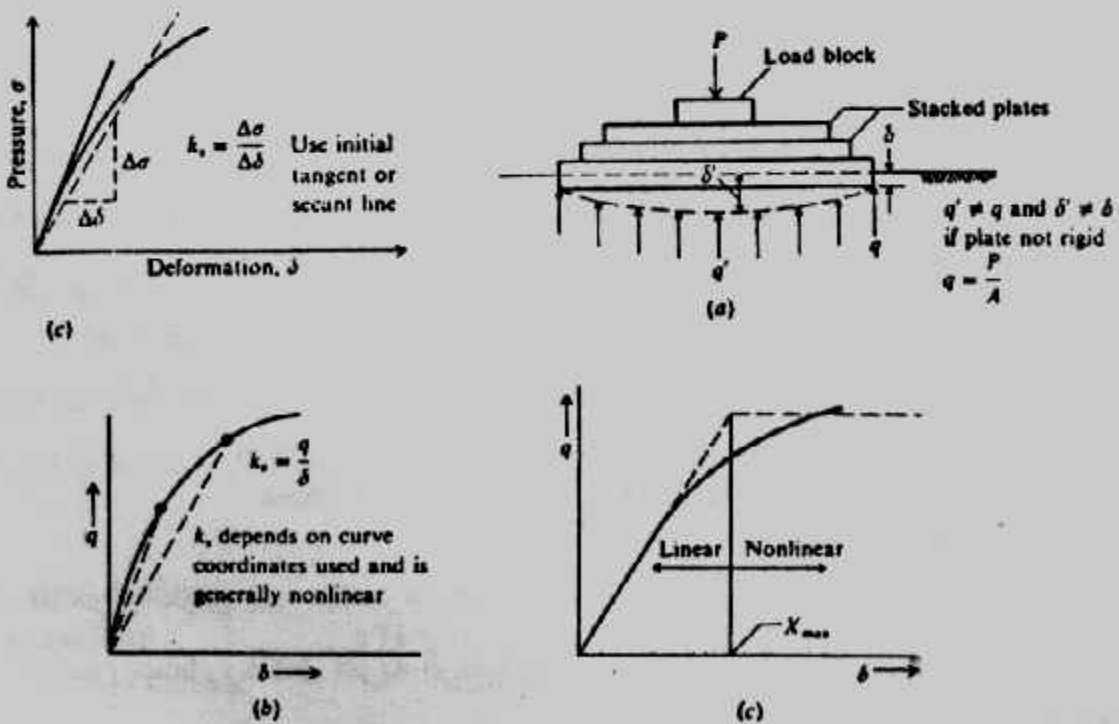
المقابل لها :

q = intensity of soil pressure.

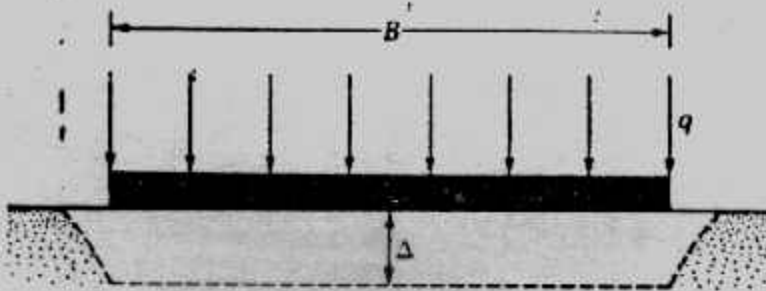
Δ = settlement under intensity q .

وبالرغم من بساطة التعريف إلا أن تعين هذا المعامل ليس بالأمر البسيط لأن الأبحاث أثبتت أن هذا المعامل لا يتغير من تربة إلى تربة فقط حسب صفاتها الميكانيكية وإنما يتغير أيضاً طبقاً لمنسوب وحجم وشكل الأساس. ويعين معامل رد فعل التربة من اختبار التحميل Plate Loading Test حيث اقترح معمل أبحاث الطرق الأمريكي حساب معامل رد فعل التربة من الضغط المقابل لهبوط قدره 1.3 mm في اختبار تحميل لوح $0.3 \times 0.3 \text{ m}$ شكل (١٤-٨).

وقيمة معامل رد فعل التربة ليست ثابتة للتربة الواحدة ولكنها تعتمد على عدة عوامل مثل طول الأساس (L) وعرضه (B) وأيضاً عرض الأساس. وعلى ذلك فعند استخدام أساس عرضه $B \times B$ فإن القيمة الناتجة من اختبار تحميل لوح $0.3 \times 0.3 \text{ m}$ سوف تعدل على النحو الآتي، شكل (١٥-٨) :



شكل (١٤-٨) : تعين معامل رد فعل التربة من اختبار التحميل.



Definition of coefficient of subgrade reaction.

شكل (١٥-٨) معامل رد فعل التربة .

$$k_s = k_{0.3} \left(\frac{B+0.3}{2B} \right)^2 \quad \text{for foundations on sandy soils}$$

where $k_{0.3}$ and k = coefficients of subgrade reaction of footings measuring 0.3 (m) x 0.3 (m) and B (m) x B (m), respectively (unit kN/m^3).

$$k_s (\text{kN/m}^3) = k_{0.3} (\text{kN/m}^3) \left[\frac{0.3(\text{m})}{B(\text{m})} \right] \quad \text{for foundation on Clays}$$

وأساس مستطيل الشكل $L \times B$ لنفس التربة فإن معامل رد فعل التربة يحسب من :

$$k_s = \frac{k_{(B \times B)} \left(1 + \frac{B}{L} \right)}{1.5}$$

Where :

k_s = Coefficient of subgrade modulus of the rectangular foundation ($L \times B$).

$k_{(B \times B)}$ = Coefficient of subgrade modulus of a square foundation having dimension of $B \times B$

والمعادلة السابقة تبين أن قيمة معامل رد فعل التربة لأساس طويل جدا بعرض B هي بالتقريب $0.67 k_{(B \times B)}$. وكما أن قيمة معامل المرونة تزيد مع العمق للتربة الخشنة فإن قيمة معامل رد فعل التربة يزداد أيضا مع العمق للتربة الخشنة أيضا والتي تمتد مسافة لا تقل عن B تحت الأساس .

$$K_{sf} = K_{ss} \left(1 + \frac{2D_f}{B} \right) \leq 2 K_{sf}$$

Where : K_{sf} = Coefficient of subgrade modulus at foundation level.

K_{ss} = Coefficient of subgrade modulus at ground surface.

D_f = Foundation depth.

وتوجد طرق أخرى غير مباشرة لتعيين معامل رد فعل التربة فقد اقترح سكوت Scott

1981 تعين معامل رد فعل التربة الرملية من رقم الاختراق القياسي N :

$$k_{0.3} (\text{MN/m}^3) = 1.8 N$$

Where N = Corrected standard penetration resistance

كما اقترح سلاح المهندسين الأمريكي The US Corps of Engineering حساب معامل رد فعل التربة من الهبوط المقابل لاجهاد قدره 0.7 kg/cm^2 على سطح الأرض

$$k_s = 0.7 / \delta \quad \text{kg/cm}^2$$

كما يمكن تعين معامل رد فعل التربة من معامل كاليفورنيا CBR

$$k_s = q_{CBR} / 0.25$$

كما اقترح بولس حساب معامل رد فعل التربة بطريقة تقريرية من قدرة تحمل التربة الآمنة من:

$$k_s = 40 q_a (\text{FS}) \text{ kN/m}^3$$

Where: $q_a = q_{ult} / \text{FS}$

معامل الأمان لهبوط قدره ٢٥ سنتيمتر أما لو كان الهبوط ٠٦ أو ١٢٥ أو ١٩ سم فإن الرقم ٤٠ يصبح ١٦٠، ١٢٠، ٨٠ كما اقترح فيسك حساب معامل رد فعل التربة من معاملات المرونة :

$$k_s = B k_s = 0.65 \sqrt[12]{\frac{E_s B^4}{E_F I_F}} \frac{E_s}{1 - \mu^2}$$

or

$$k_s = 0.65 \sqrt[12]{\frac{E_s B^4}{E_F I_F}} \frac{E_s}{B(1 - \mu^2)}$$

Where: E_s = Young's modulus of soil.

B = Foundation width.

E_F = Young's modulus of foundation material

I_F = moment of inertia of the cross section of the foundation.

μ = Poisson's ratio of soil

للأغراض العملية يمكن تعرّض المعادلة السابقة إلى :

$$k = \frac{E_s}{B(1 - \mu^2)}$$

كما نورد بعض المراجع إمكانية حساب معامل رد فعل التربة من الهبوط الفوري S_i :

$$k_s = \Delta q_i / S_i$$

ومعامل رد فعل التربة مفید جداً في تصميم الطرق والمطارات سواء منها الجاسى Rigid من الخرسان أو المرنة Flexible من الأسفلت، كما يمكن الحكم على جسامه أو مرoneة الأساسات بدلالة معامل رد فعل التربة على النحو الآتي :

For rigid footing $\lambda L < \pi$

Intermediate $\pi / 4 < \lambda L < \pi$

For flexible footing $\lambda L > \pi$

$$\text{where } \lambda = 4 \sqrt{\frac{k_s B}{4 E_c I}}$$

E_c , I = Young's modulus and moment of inertia for footing material

ونظراً لـ التكالفة العالية لـ اختبار التحميل والزمن الطويل اللازم لـ الاختبار وصعوبة التقدير الدقيق للهبوط فإن المراجع اقترحت على المصممين قيمـاً تقريرية لـ معامل رد فعل التربة لأنواع التربـة المختلفة نوجـزاًها في جـدول (٣-٨) .

جدول (٣-٨) قيم K_s للأسـاسـات على سـطـح الأرض

Soil	State	K_s MN/m ³
Dry or moist sand	loose ($N < 10$)	8 - 25
	Medium ($N = 10-30$)	25 - 125
	Dense ($N > 30$)	125 - 375
Submerged sand	Loose ($N < 10$)	10 - 15
	Medium ($N = 10-30$)	35 - 40
	Dense ($N > 30$)	130-150
Clayey sand	Medium dense	32 - 80
	Medium dense	24 - 48
	Stiff ($q_u = 100-200$)	12 - 25
Silty sand	Very stiff ($q_u = 200-400$)	25 - 50
	Hard ($q_u > 400$)	> 50

(Note q_u = unconfined compression strength)

كما بين جـدول (٤-٨) فيما أخـرى مـقـترـحة لـ معـالـمـ رـدـ فـعـلـ التـرـبـةـ .

جدول (٤-٨) قيم أخـرى لـ معـالـمـ رـدـ فـعـلـ التـرـبـةـ .

Soil	Unified classification	K_s kg/cm ³
Gravel, gravelly	GW loose	5 - 10
	GW dense	15 - 20
	GP loose	5 - 10
	GP dense	10 - 20
	GC	8 - 15
	GM	5 - 15
	SW loose	1 - 3
	SW dense	5 - 15
Sand, Sandy	SP loose	1 - 3
	SP dense	5 - 8
	SC	6 - 15
	SM	3 - 8
Clay, Silt	Soft $q_u = 0.1-1 \text{ kg/cm}^2$	3 - 5q
	Medium $q_u = 1.5-4 \text{ kg/cm}^2$	3 - 5q
	Hard $q_u > 4 \text{ kg/cm}^2$	3 - 5q

حل هيتنى للكمرة على تربة مرنة

The Hetenyi Solution of a Beam on an Elastic Foundation

قدم هيتنى (Hetenyi, 1948) حلًا تقليدياً للكمرة على أساس مرن وهذا الحل يعتمد على معادلة تقاضلية للكمرة محمولة بحمل موزع q ، وللكرة على التربة فإن q يكون رد فعل التربة، وباستخدام معامل رد فعل التربة.

$$q = k_s \cdot y$$

وتكون المعادلة التقاضلية :

$$EI \frac{d^4y}{dx^4} = -q = -k_s \cdot y$$

وهذا الحل يعتمد على فرض وينكلر Winkler الذي يعتبر أن تربة التأسيس عبارة عن مجموعة من الـ Springs والمعادلة السابقة هي معادلة تقاضلية من الدرجة الرابعة والحل العام لها يضم أربع ثوابت هي D, C, B, A تعين من حالات الحدود عند نهايتي الكمرة تحت الحمل :

$$y = e^{j\lambda x} (A \cos \lambda x + B \sin \lambda x) + e^{-j\lambda x} (C \cos \lambda x + D \sin \lambda x)$$

$$\lambda = \sqrt{\frac{k_s B}{4EI}}$$

B, E, I = Footing width, elastic modulus of footin gmaterial, and moment of inertia

ويجب أن نذكر أن :

$$dy/dx = \theta = \text{slope}$$

الدوران = التقاضل الأول للهبوط

$$d^2y/dx^2 = M = \text{bending moment}$$

العزم = التقاضل الثاني

$$d^3y/dx^3 = Q = \text{Shear}$$

القص = التقاضل الثالث

$$d^4y/dx^4 = P = \text{load}$$

الحمل - التقاضل الرابع

ويبين جدول (٨-٥) حل المعادلات التقاضلية لحالات التحميل المبينة في شكل

(٨-١٥) للأحمال المركزية، وعند $x = 0$ فإن حالات الحدود :

at $x =$	Shear	Moment	Slope	Deflection
0	0	C	unknown	unknown
a (load)	+ -	$M_i = -M_r$	$\theta_L = \theta_R$	unknown
L	0	0	unknown	unknown

وحل الكمرة ذات الطول المحدد المحملة بحمل على مسافة a من النهاية اليسرى للكمرة وباستخدام حالات الحدود تأخذ الصورة الآتية :

$$v = \frac{P\lambda}{k_s (\sinh^2 \lambda L - \sin^2 \lambda L)} \left\{ 2 \cosh \lambda x \cos \lambda x (\sinh \lambda a \cosh \lambda b - \sinh \lambda x \cos \lambda x) + (\cosh \lambda x \sin \lambda b + \sinh \lambda x \cos \lambda x) [\sinh \lambda L (\sin \lambda a \cosh \lambda b - \cos \lambda a \sinh \lambda b) + \sin \lambda L (\sinh \lambda a \cos \lambda b - \cosh \lambda a \sin \lambda b)] \right\}$$

$$M = \frac{P}{k_s (\sinh^2 \lambda L - \sin^2 \lambda L)} \left\{ 2 \cosh \lambda x \cos \lambda x (\sinh \lambda a \cosh \lambda b - \sinh \lambda x \cos \lambda x) + (\cosh \lambda x \sin \lambda b + \sinh \lambda x \cos \lambda x) [\sinh \lambda L (\sin \lambda a \cosh \lambda b - \cos \lambda a \sinh \lambda b) + \sin \lambda L (\sinh \lambda a \cos \lambda b - \cosh \lambda a \sin \lambda b)] \right\}$$

جدول (٥-٨) طول كمرة غير محدودة على أساس مرن.

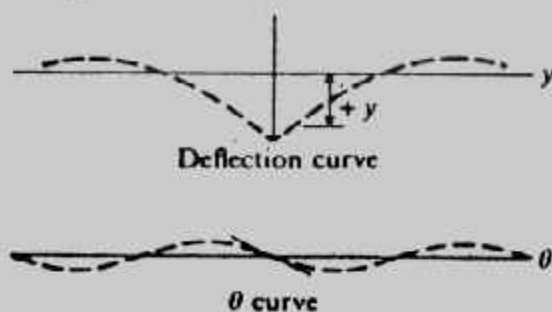
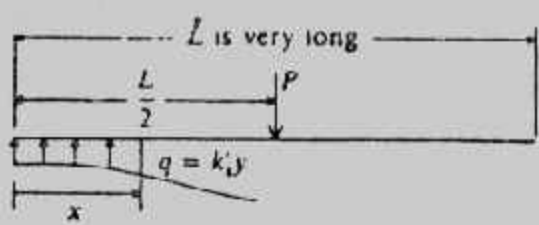
Concentrated load at end	Moment at end
$y = \frac{2V_1 \lambda}{k_s} D_{Lx}$	$y = \frac{-2M_1 \lambda^3}{k_s} C_{Lx}$
$\theta = \frac{-2V_1 \lambda^2}{k_s} A_{Lx}$	$\theta = \frac{4M_1 \lambda^3}{k_s} D_{Lx}$
$M = \frac{-V_1}{\lambda} B_{Lx}$	$M = M_1 A_{Lx}$
$Q = -V_1 C_{Lx}$	$Q = -2M_1 \lambda B_{Lx}$

Concentrated load at center	Moment at center
$y = \frac{P\lambda}{2k_s} A_{Lx}$	$y = \frac{M_0 \lambda^2}{k_s} B_{Lx}$ deflection
$\theta = \frac{-P\lambda^2}{k_s} B_{Lx}$	$\theta = \frac{M_0 \lambda^3}{k_s} C_{Lx}$ slope
$M = \frac{P}{4\lambda} C_{Lx}$	$M = \frac{M_0}{2} D_{Lx}$ moment
$Q = \frac{-P}{2} D_{Lx}$	$Q = \frac{-M_0}{2} A_{Lx}$ shear

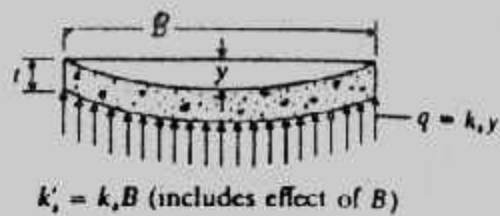
The A, B, C, and D coefficients are:



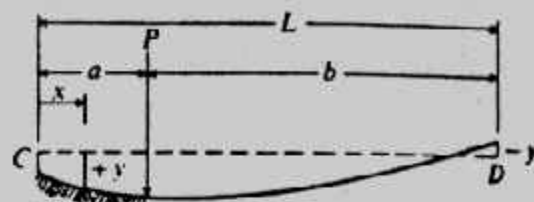
$$\begin{aligned} A_{Lx} &= e^{-\lambda x} (\cos \lambda x + \sin \lambda x) \\ B_{Lx} &= e^{-\lambda x} \sin \lambda x \\ C_{Lx} &= e^{-\lambda x} (\cos \lambda x - \sin \lambda x) \\ D_{Lx} &= e^{-\lambda x} \cos \lambda x \end{aligned}$$



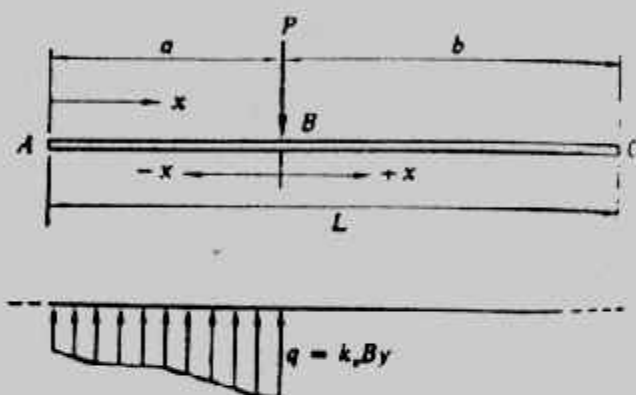
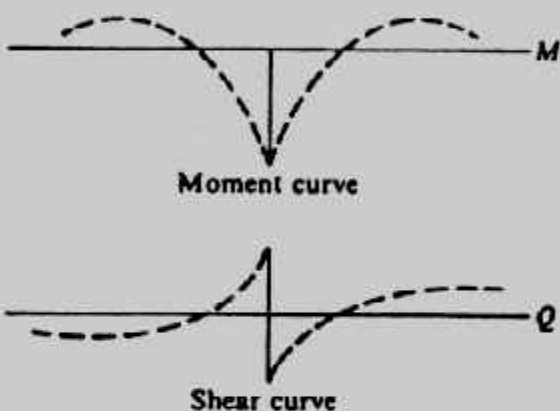
(a) Infinite length beam on an elastic foundation.



$$k'_s = k_s B \text{ (includes effect of } B)$$



(b) Finite length beam on elastic foundation.



(c)

شكل (١٥-٨) : الكمرة على أساس مرن .

$$Q = \frac{P}{(\sinh^2 \lambda L - \sin^2 \lambda L)} \left\{ \begin{aligned} & \cosh \lambda x \cos \lambda x (\sinh \lambda a \cosh \lambda b \\ & x (\sin \lambda L \cosh \lambda a \cos \lambda b - \sin \lambda L \cosh \lambda a \cos \lambda b) \\ & + \sinh \lambda x \cos \lambda x) [\sinh \lambda L (\sin \lambda a \cosh \lambda b - \cos \lambda a \sinh \lambda b) \\ & + \sin \lambda L (\sinh \lambda a \cos \lambda b - \cosh \lambda a \sin \lambda b)] \end{aligned} \right\}$$

والمعادلات السابقة تستخدم إذا كانت $x < a$ أما إذا كانت $x > a$ فلن a توضع مكان b في المعادلات وتقاس x من ناحية D وهذه المعادلات يمكن أن تكتب في الصورة الآتية :

$$y = \frac{P\lambda}{k_s} A' \quad M = \frac{P}{2\lambda} B' \quad \text{and} \quad Q = PC'$$

حيث A, B, C هى القيم الباقية من المعادلات السابقة. أما بالنسبة للحمل الموزع، شكل (C-١٦-٨)، وشكل (١٧-٨) فإن الهبوط deflection عند أي نقطة J نتيجة الحمل الموزع هو:

$$y_J = \frac{P\lambda}{2k_e} \left[\int_0^J e^{-\lambda\xi} \{ \cos(\lambda\xi) + \sin(\lambda\xi) \} d\xi + \int_0^J e^{-\lambda\xi} \{ \cos(\lambda\xi) + \sin(\lambda\xi) \} d\xi \right].$$

والمعادلة السابقة تختصر للمعادلة الآتية بادخال s, r للشمال تؤخذ بإشاره سالبة:

$$y_J = \frac{P}{2k_e} [2 - D(\lambda r) - D(\lambda s)].$$

وبمعرفة s, r يمكن إيجاد الهبوط عند أي نقطة تحت الحمل، وبالمثل يمكن تعين الدوران

$$\theta_J = \frac{PB}{4\lambda} \left[\frac{2\lambda^2}{k_e B} \{ A(\lambda r) - A(\lambda s) \} \right]$$

$$M_J = \frac{PB}{4\lambda} \left[\frac{1}{\lambda} \{ B(\lambda r) + B(\lambda s) \} \right]$$

$$V_J = \frac{PB}{4\lambda} \left[\{ C(\lambda r) - C(\lambda s) \} \right]$$

والعزم والقص من العلاقات.

أما إيجاد الهبوط عند نقطة J خارج الحمل على شماله أو يمينه فيتم بالعلاقات الآتية:

$$y_J = \pm \frac{P}{2k_e} [D(\lambda r) - D(\lambda s)]; \quad \theta_J = \pm \frac{P\lambda}{2k_e} [A(\lambda r) - A(\lambda s)],$$

$$M_J = \mp \frac{PB}{4\lambda^2} [B(\lambda r) - B(\lambda s)]; \quad V_J = \frac{PB}{4\lambda} [C(\lambda r) - C(\lambda s)].$$

وبالنسبة لكرات المعرضة لعزم انحناء مركز، شكل (١٦-٩) فإن الهبوط والدوران

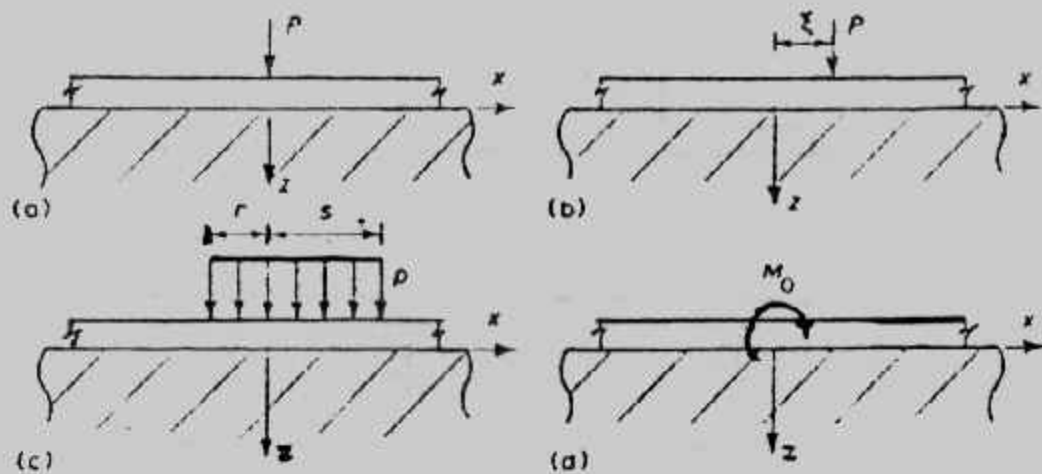
والعزم والقص يتم تعينهم من المعادلات:

$$[y(x); \theta(x); M(x); V(x)] = \frac{M_0}{B} \left[\frac{\lambda^2}{k_e} B(\lambda x); \frac{\lambda^3}{k_e} C(\lambda x); \frac{B}{2} D(\lambda x); -\frac{\lambda B}{2} A(\lambda x) \right].$$

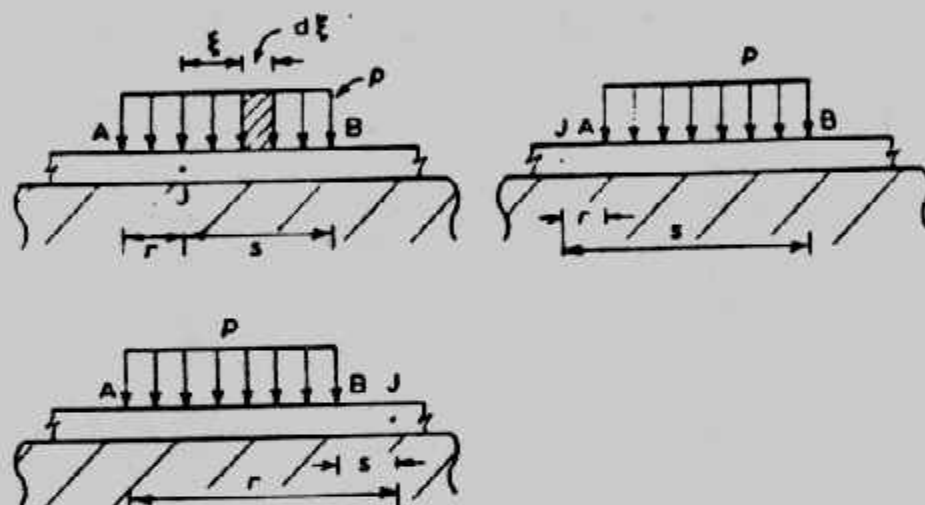
وفي هذه الحالة وعندما يكون العزم في اتجاه عقرب الساعة فإن (x) y يكون موجها على يمين النقطة تحت الاعتبار وتكون سالبة على الشمال، $\theta(x)$ تكون موجبة على اليمين والشمال، $M(x)$ يكون موجب على اليمين وسالب على الشمال، $V(x)$ يكون سالب لكل من الشمال واليمين، وتعكس الإشارات السابقة إذا كانت العزم ضد اتجاه عقرب الساعة.

وحل هيئتي المذكور من السهل تحويله إلى برنامج على الكمبيوتر. ويعيب حل حتى أنه يغفل وزن الكمرة ويصعب التحميل على الكمرة بأحمال متعددة كما يصعب تغيير صفات الأساس وتغيير معامل رد فعل التربة على طول الكمرة.

وفي حالة وجود أكثر من حمل على الكمرة فإنه يمكن استخدام مبدأ التجميع أي حل الكمرة عدة مرات، كل مرة تحت تأثير حمل واحد ثم يتم تجميع النتائج على الكمرة كما في شكل (١٨-٨).



شكل (١٦-٨) الأحمال المختلفة على الكمرة

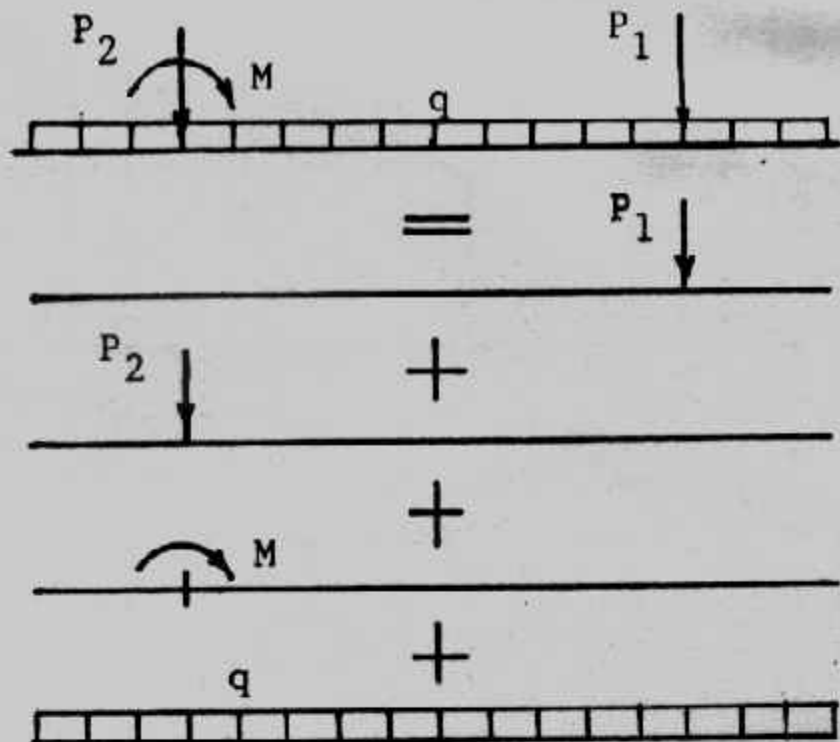


شكل (١٧-٨) حالة الحمل الموزع.

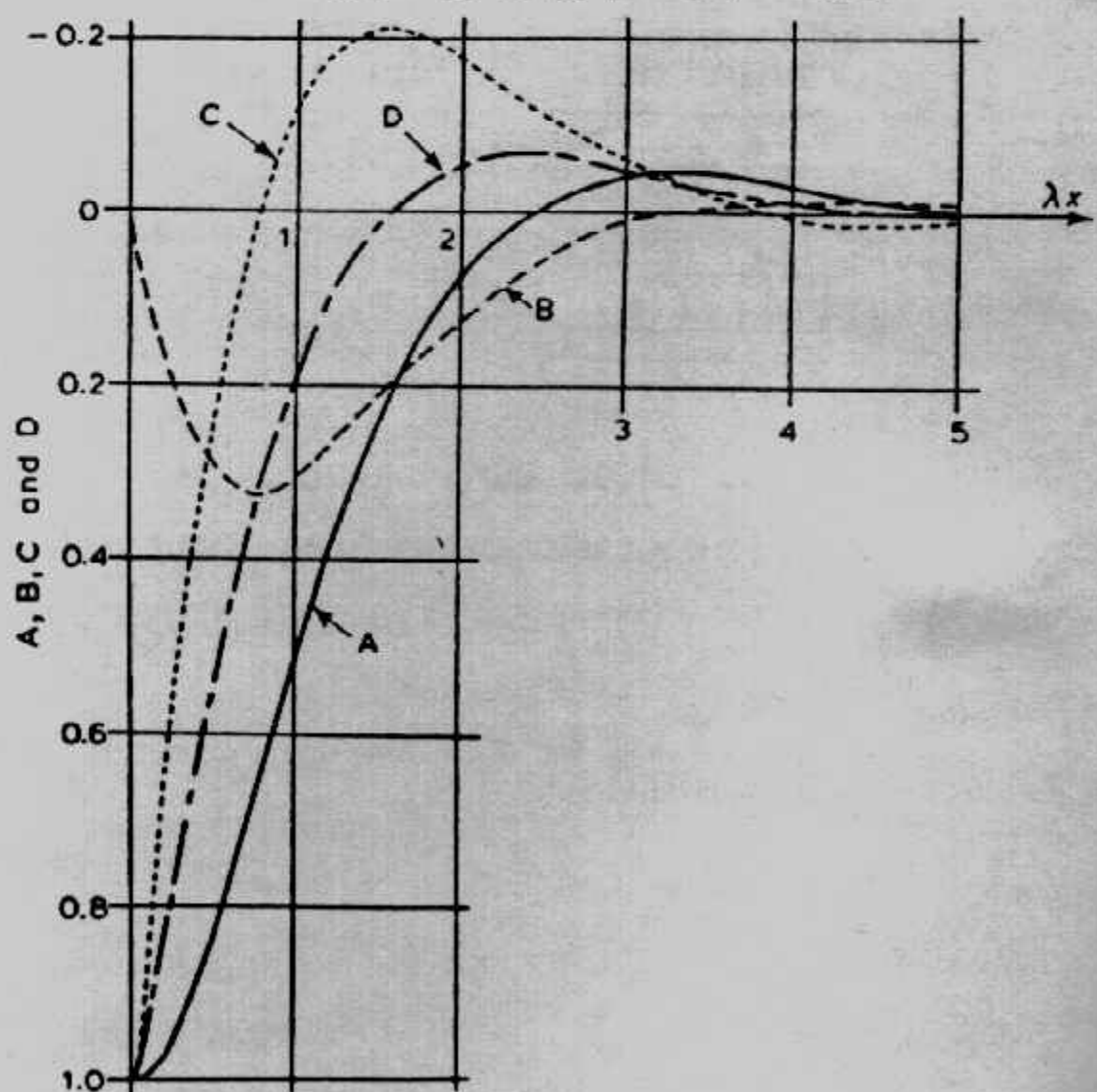
أما الثوابت الموجودة في العلاقات السابقة D,C,B,A فإنها تحسب من العلاقات الموجودة في جدول (٥-٨) أو تعين من الشكل (١٩-٨) أو تعين من جدول (٦-٦).

Example (8-1):

Solve the beam shown in Fig. (8-20) using Heteny solution, $B = 3.048\text{m}$, $k_s = 1.540 \text{ kN/m}^3$, $E_c = 22408756 \text{ kN/m}^2$



شكل (١٨-٨) مبدأ التجميع في طريقة هييتني.

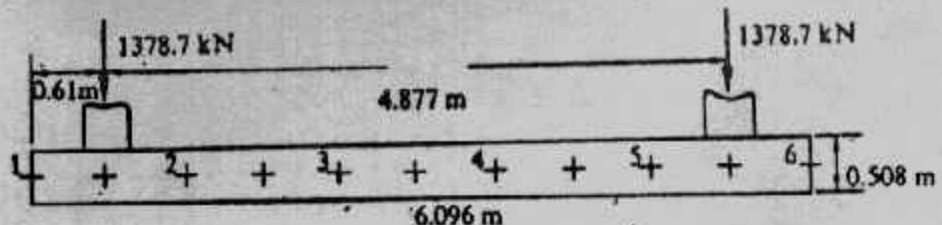


شكل (١٩-٨) منحنيات لتعيين الثوابت A, B, C, D

جدول (٦-٨) تعيين التوابت D, C,B, A

Functions A, B, C, D, E₁, and E₂ for use with the Winkler model

λx	A	B	C	D	E ₁	E ₂	λx	A	B	C	D	E ₁	E ₂
0	1.0000	0	1.0000	1.0000	∞	∞	3.6	-0.0366	-0.0121	-0.0124	-0.0245	1.0256	0.9771
0.1	0.9907	0.0903	0.8100	0.9003	2.7634	1492.537	3.7	-0.0341	-0.0131	-0.0079	-0.0210	1.0276	0.9751
0.2	0.9651	0.1627	0.6398	0.8024	1.5265	233.645	3.8	-0.0314	-0.0137	-0.0040	-0.0177	1.0287	0.9738
0.3	0.9267	0.2189	0.4888	0.7077	1.1249	74.6826	3.9	-0.0286	-0.0140	-0.0008	-0.0147	1.0292	0.9732
0.4	0.8784	0.2610	0.3564	0.6174	0.9323	34.8797	4.0	-0.0258	-0.0139	0.0019	-0.0120	1.0290	0.9733
0.5	0.8231	0.2908	0.2415	0.5323	0.8239	19.7941	4.1	-0.0231	-0.0136	0.0040	-0.0095	1.0282	0.9738
0.6	0.7628	0.3099	0.1431	0.4530	0.7584	12.6566	4.2	-0.0204	-0.0131	0.0057	-0.0074	1.0271	0.9747
0.7	0.6997	0.3199	0.0599	0.3798	0.7178	8.8028	4.3	-0.0179	-0.0125	0.0070	-0.0054	1.0258	0.9758
0.8	0.6354	0.3223	-0.0093	0.3131	0.6931	6.5147	4.4	-0.0155	-0.0117	0.0079	-0.0038	1.0241	0.9773
0.9	0.5712	0.3185	-0.0657	0.2527	0.6795	5.0582	4.5	-0.0132	-0.0108	0.0085	-0.0023	1.0222	0.9790
1.0	0.5083	0.3096	-0.1108	0.1988	0.6739	4.0740	4.6	-0.0111	-0.0100	0.0089	-0.0011	1.0205	0.9805
1.1	0.4476	0.2967	-0.1457	0.1510	0.6745	3.3807	4.7	-0.0092	-0.0091	0.0090	+ 0.0001	1.0186	0.9822
1.2	0.3899	0.2807	-0.1716	0.1091	0.6800	2.8746	4.8	-0.0075	-0.0082	0.0089	0.0007	1.0167	0.9839
1.3	0.3355	0.2626	-0.1897	0.0729	0.6892	2.4967	4.9	-0.0059	-0.0073	0.0087	0.0014	1.0149	0.9857
1.4	0.2849	0.2430	-0.2011	0.0419	0.7017	2.2066	5.0	-0.0046	-0.0065	0.0084	0.0019	1.0132	0.9872
1.5	0.2384	0.2226	-0.2068	0.0158	0.7166	1.9802	5.1	-0.0033	-0.0057	0.0080	0.0023	1.0115	0.9889
1.6	0.1959	0.2018	-0.2077	-0.0059	0.7338	1.7997	5.2	-0.0023	-0.0049	0.0075	0.0026	1.0099	0.9903
1.7	0.1576	0.1812	-0.2047	-0.0235	0.7524	1.6550	5.3	-0.0014	-0.0042	0.0069	0.0028	1.0084	0.9918
1.8	0.1234	0.1610	-0.1985	-0.0376	0.7724	1.5369	5.4	-0.0006	-0.0035	0.0064	0.0029	1.0071	0.9931
1.9	0.0932	0.1415	-0.1899	-0.0484	0.7933	1.4396	5.5	0.0000	-0.0029	0.0058	0.0029	1.0059	0.9941
2.0	0.0667	0.1230	-0.1794	-0.0563	0.8145	1.3593	5.6	0.0005	-0.0023	0.0052	0.0029	1.0047	0.9953
2.1	0.0439	0.1057	-0.1675	-0.0618	0.8358	1.2927	5.7	0.0010	-0.0018	0.0046	0.0028	1.0036	0.9964
2.2	0.0244	0.0895	-0.1548	-0.0652	0.8571	1.2365	5.8	0.0013	-0.0014	0.0041	0.0027	1.0028	0.9972
2.3	0.0080	0.0748	-0.1416	-0.0668	0.8775	1.1900	5.9	0.0015	-0.0010	0.0036	0.0026	1.0021	0.9979
2.4	-0.0056	0.0613	-0.1282	-0.0669	0.8974	1.1505	6.0	0.0017	-0.0007	0.0031	0.0024	1.0014	0.9986
2.5	-0.0166	0.0492	-0.1149	-0.0658	0.9160	1.1175	6.1	0.0018	-0.0004	0.0026	0.0022	1.0008	0.9992
2.6	-0.0254	0.0383	-0.1019	-0.0636	0.9336	1.0895	6.2	0.0019	-0.0002	0.0022	0.0020	1.0003	0.9997
2.7	-0.0320	0.0287	-0.0895	-0.0608	0.9498	1.0660	6.3	0.0019	+ 0.0001	0.0018	0.0018	0.9999	1.0001
2.8	-0.0369	0.0204	-0.0777	-0.0573	0.9642	1.0466	6.4	0.0018	0.0003	0.0015	0.0017	0.9997	1.0003
2.9	-0.0403	0.0132	-0.0666	-0.0534	0.9772	1.0303	6.5	0.0018	0.0004	0.0012	0.0015	0.9994	1.0005
3.0	-0.0423	0.0070	-0.0563	-0.0493	0.9883	1.0067	6.6	0.0017	0.0005	0.0009	0.0013	0.9992	1.0008
3.1	-0.0431	0.0019	-0.0469	-0.0450	0.9982	1.0059	6.7	0.0016	0.0006	0.0006	0.0011	0.9990	1.0010
3.2	-0.0431	-0.0024	-0.0383	-0.0407	1.0065	0.9969	6.8	0.0015	0.0006	0.0004	0.0010	0.9989	1.0011
3.3	-0.0422	-0.0058	-0.0306	-0.0364	1.0131	0.9899	6.9	0.0014	0.0006	0.0002	0.0008	0.9988	1.0012
3.4	-0.0408	-0.0085	-0.0237	-0.0323	1.0184	0.9844	7.0	0.0013	0.0006	0.0001	0.0007	0.9988	1.0012
3.5	-0.0389	-0.0106	-0.0177	-0.0283	1.0226	0.9801							



Note alternate coding and metric units

شكل (٢٠-٨) : مثال (١-٨)

Solution :

$$I = 3.048 \times 0.5083/12 = 0.0332982 \text{ m}^4$$

$$\lambda = 4 \sqrt{\frac{k_s \cdot B}{4IE}} = 4 \sqrt{\frac{7540.5 \times 3.048}{4 \times 0.033285 \times 22408736}} = 0.29623$$

يبين الجدول (٧-٨) الهبوط والعزم والقص على المسافات المختلفة على طول الكمرة وذلك بالنسبة للحمل P_1 على مسافة :

$$0.61/6.096 = 0.1L$$

ويبيّن جدول (٨-٨) الهبوط والعزم والقص على المسافات المختلفة على طول الكمرة وذلك بالنسبة للحمل P_2 على مسافة .

$$5.486/6.096 = 0.9 L$$

اما جدول (٩-٨) فيبيّن نتائج تطبيق مبدأ التجميع للحالتين السابقتين وفيه نجد الهبوط والعزם والقص الكلي على الكمرة .

ويبيّن شكل (٢١-٨) القوى الداخلية والهبوط على طول الكمرة .

جدول (٧-٨) الهبوط والعزם والقص للحمل P_1

BETA = 1.806	LAMBDA = 0.29623	COL DIST = 0.6096 M
FTG LENGTH = 6.096 M	FTG WIDTH = 3.0480 M	FTG DEPTH = 0.5080 M
SDIL MODULUS = 7540.50 KN/SQ M	MOD ELAST = 22408736.0 KN/SQ M	
MOM OF INERTIA = 0.332985E-01 M **4	COL LOAD = 1378.72 KN	

DIST	LOAD AT 0-1 L.	DEF	MOM	SHEAR
0.0	1.9793	0.0	0.0	0.0
0.1	1.6693	0.0612	0.3295	-0.6705
0.2	1.6693	0.0612	-0.1299	-0.3972
0.3	1.3586	-0.1299	-0.2324	-0.1794
0.4	1.0559	-0.2324	-0.2659	-0.0149
0.5	0.7680	-0.2659	-0.2493	0.0990
0.6	0.4971	-0.2493	-0.2001	0.1656
0.7	0.2424	-0.2001	-0.1351	0.1873
0.8	0.0006	-0.1351	-0.0700	0.1663
0.9	-0.2324	-0.0700	-0.0200	0.1037
1.0	-0.4607	-0.0200	-0.0000	0.0000

جدول (٨-٨) الهبوط والعزم والقص للحمل P2

BETA = 1.806 LAMBDA = 0.29623 COL DIST = 5.4860 M
 FTG LENGTH = 6.096 M FTG WIDTH = 3.0480 M FTG DEPTH = 0.5080 M
 SOIL MODULUS = 7540.50 KN/SQ M MOD ELAST = 22408736.0 KN/SQ M
 MOM OF INERTIA = 0.332985E-01 M **4 CCL LOAD = 1378.72 KN

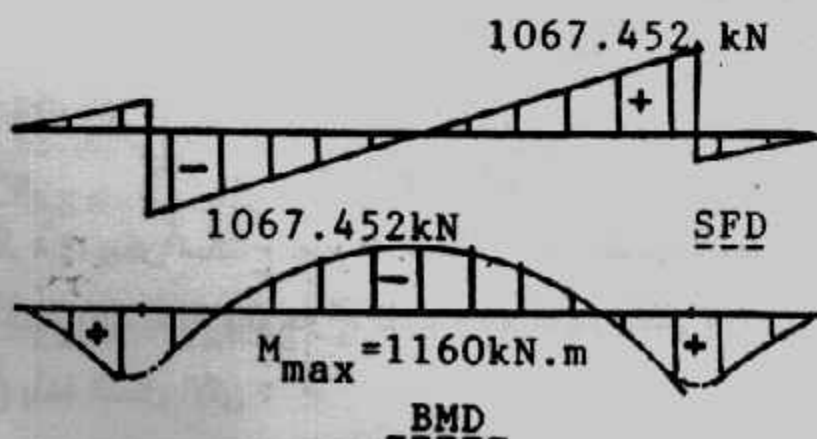
DIST	LOAD AT 0.9 L	DEF	MOM	SHEAR
0.0	-0.6876	0.0	0.0	
0.1	-0.4607	-0.0200	-0.1037	
0.2	-0.2324	-0.0400	-0.1663	
0.3	0.0006	-0.0691	-0.1873	
0.4	0.2424	-0.0901	-0.1656	
0.5	0.4971	-0.1101	-0.0990	
0.6	0.7680	-0.1299	0.0149	
0.7	1.0559	-0.1324	0.1794	
0.8	1.3586	-0.1299	0.3972	
0.9	1.6693	0.0612	0.9705	
1.0	1.6693	0.0612	-0.3295	
	1.9793	-0.0000	-0.0000	

جدول (٩-٨) تجميع الهبوط والعزم والقص .

TOTAL DEF, MOM AND SHEAR AT 0.1 PTS ARE:			
DIST, M	DEF, M	MOM, KN-M	SHEAR, KN
0.0	0.023	0.0	0.0
0.6096	0.021	95.924	311.264
0.6096	0.021	95.922	-1067.451
1.2192	0.020	-465.200	-776.927
1.8288	0.019	-855.230	-505.608
2.4384	0.018	-1084.614	-248.887
3.0480	0.018	-1160.274	-0.000
3.6576	0.018	-1084.617	248.887
4.2672	0.019	-855.232	405.607
4.8768	0.020	-465.199	776.927
5.4864	0.021	95.921	1067.452
5.4864	0.021	95.926	-311.264
6.0960	0.023	-0.001	0.001



Deflection 0.018m

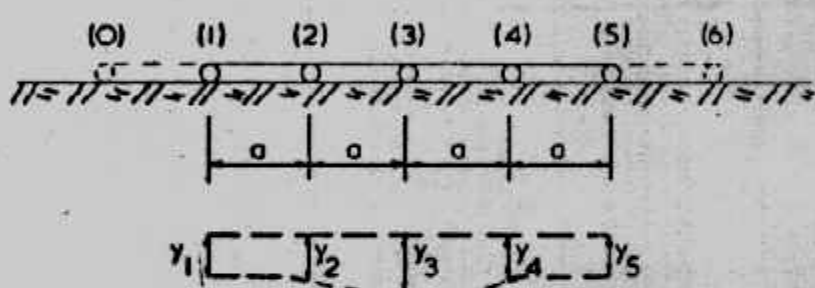


شكل (٢١-٨) القوى الداخلية والهبوط على الكمرة

طريقة الفروقات المحدودة : The Finite Differences Method

طريقة الفروقات المحدودة قدمها العالم مالتر Malter 1960 وسوف نعرضها هنا ليس لأنها سهلة التطبيق ولكن لأنها مناسبة لحل مسائل الأساسات وخاصة الأساسات المشتركة لأى عدد من الأعمدة واللبشة.

وفي هذه الطريقة توجد بعض التفاصيل : الأولى منها أن الكمرة beam التي تدرس تتكون من عدد من المقاطع المتزاوية الطول . وهذا العدد من المقاطع يجب ألا يقل عن أربعة في الكرات العادية ولا يقل عن ثمانية في كرات الأساس . وكلما زاد عدد المقاطع كلما زادت الدقة . وننصح بعدد من المقاطع قدره عشرة أو أكثر للحصول على دقة مقبولة والشكل رقم (٢٢-٨) يبين كمرة مقسمة إلى أربعة أقسام متزاوية والهبوط تحت النقط العقدية Nodal points ١، ٢، ٣، ٤، ٥ هي y_1, y_2, y_3, y_4, y_5



شكل (٢٢-٨) كمرة بأربع أقسام

بأخذ النقطة العقدية الداخلية (2)

$$dy/dx \approx \Delta y/\Delta x = \frac{y_1 - y_2}{a} \quad \text{في اتجاه 1-2}$$

$$dy/dx \approx \Delta y/\Delta x = \frac{y_2 - y_3}{a} \quad \text{في اتجاه 2-3}$$

$$d^2y/dx^2 \approx \frac{\Delta^2 y}{\Delta x^2} = \frac{\Delta \left(\frac{\Delta y}{\Delta x} \right)}{\Delta x} \quad \text{أى أن :}$$

$$= \frac{1}{a} \left(\frac{y_1 - y_2}{a} - \frac{y_2 - y_3}{a} \right) = \frac{y_1 - 2y_2 + y_3}{a^2}$$

وعند النقط 3,4 ، يمكن استنتاج تعبيرات مماثلة . أما بالنسبة للنقطة الخارجية 5,1 فيمكن تخيل وجود نقطة (0) ، نقطة (6) خارج الكمرة (تقريب رياضي) وتعبير الفروقات المحدودة لنقطة (1) يأخذ الشكل الآتى :

$$\frac{y_0 - 2y_1 + y_2}{a^2}$$

والعلاقات بين عزم الانحناء والهبوط على طول الكرة تعطى في صورة المصفوفة:

$$\begin{bmatrix} M_1 \\ M_2 \\ M_3 \\ M_4 \\ M_5 \\ M_6 \end{bmatrix} = -\frac{EI}{a^2} \begin{bmatrix} 1 & -2 & 1 & 0 & 0 & 0 \\ 0 & 1 & -2 & 1 & 0 & 0 \\ 0 & 0 & 1 & -2 & 1 & 0 \\ 0 & 0 & 1 & -2 & 1 & 0 \\ 0 & 0 & 0 & 1 & -2 & 1 \\ 0 & 0 & 0 & 0 & 1 & -2 \end{bmatrix} \begin{bmatrix} y_0 \\ y_1 \\ y_2 \\ y_3 \\ y_4 \\ y_5 \\ y_6 \end{bmatrix}$$

y_6, y_5 قيم تخيلية ولذا يجب أن تزول من المعادلة. وهذا يحدث من إزالة العمود الأول والأخير من المصفوفة.

$$\begin{bmatrix} M_1 \\ M_2 \\ M_3 \\ M_4 \\ M_5 \end{bmatrix} = -\frac{EI}{a^2} \begin{bmatrix} -2 & 1 & 0 & 0 & 0 \\ 1 & -2 & -1 & 0 & 0 \\ 0 & 1 & -2 & -1 & 0 \\ 0 & 0 & 1 & -2 & 1 \\ 0 & 0 & 0 & 1 & -2 \end{bmatrix} \begin{bmatrix} y_1 \\ y_2 \\ y_3 \\ y_4 \\ y_5 \end{bmatrix}$$

والأمثلة الآتية (٢-٨)، (٣-٨) توضح كيفية تطبيق طريقة الفروقات المحدودة لإيجاد الترجم Deflection الأقصى لكررة بسيطة الإرتكاز ومعرضة لحمل مركز في منتصفها في المثال (٢-٨) ولكررة معرضة لعزم انحناء خارجي مركز في المثال (٣-٨).

Example (8-2):

A simply supported beam of uniform EI carries a central load W. Assuming the beam is split into four equal sections determine an expression for the central deflection of the beam. Assume that supports 1 and 5 do not yield. The beam is illustrated in Fig. (8-23).



شكل (٢-٨) مثال (٢٣-٨)

The two reactions are equal to $W/2$ and $y_1 = y_5 = 0$

$$-M_2 = -\frac{W}{2} \times a = -\frac{Wa}{2} = EI \left[\frac{y_1 - 2y_2 + y_3}{a^2} \right] \quad (1)$$

$$-M_3 = -\frac{W}{2} \times 2a = -Wa = EI \left[\frac{y_2 - 2y_3 + y_4}{a^2} \right] \quad (2)$$

$$-M_4 = -\frac{W}{2} \times 3a \times Wa = -\frac{Wa}{2} = EI \left[\frac{y_3 - 2y_4 + y_5}{a^2} \right] \quad (3)$$

But $y_1 = y_5 = 0 \therefore$ equations can be rewritten :

$$-2y_2 + y_3 = -\frac{Wa^3}{2EI} \quad (1)$$

$$y_2 - 2y_3 + y_4 = -\frac{Wa^3}{EI} \quad (2)$$

$$y_3 + 2y_4 = -\frac{Wa^3}{2EI} \quad (3)$$

From (1), $y_2 = \frac{Wa^3}{4EI} + \frac{y_3}{2}$ and from (3), $y_4 = \frac{Wa^3}{2EI} + \frac{y_3}{2}$

Substituting in (2) $\frac{Wa^3}{4EI} + \frac{y_3}{2} - 2y_3 + \frac{Wa^3}{4EI} + \frac{y_3}{2} = -\frac{Wa^3}{EI}$

i.e. $y_3 = \frac{3}{2} \frac{Wa^3}{EI}$

But $a = L/4 \therefore y_3 = \frac{3}{128} \frac{Wa^3}{EI}$

Note : Theoretical solution is $y_3 = \frac{Wa^3}{48EI}$

Example (8-3):

A simply supported beam of uniform cross section has a span of 16m and is subjected to a clockwise moment of 16kNm at the point shown in Fig. (8-24).

Considering bending effects only determine an expression, by finite differences, for the deflection of the beam at the point of application of the moment. It can be assumed that the supports of the beam are unyielding.

First find the reactions at the supports and then determine the bending moment diagram.

Taking moments about the left hand support :

$$Q_5 \times 16 - 16 = 0 \therefore Q_5 = 1 \text{ kN upwards.}$$

Taking moments about right hand support :

$$Q_1 \times 16 + 16 = 0 \therefore Q_1 = 1 \text{ kN downwards.}$$

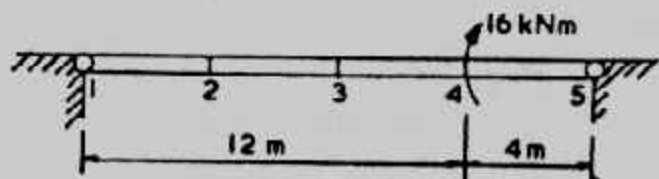
The bending moment diagram can now be obtained and values assigned to each nodal point :

$$M_2 = -4 \text{ kNm; } M_3 = -8 \text{ kNm; } M_4 = 1/2 (4-12) = -4 \text{ kNm}$$

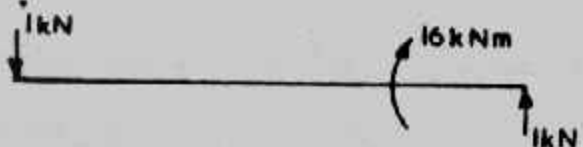
$$-M_2 = 4 = EI \frac{y_1 - 2y_2 + y_3}{a^2} \quad (1)$$

$$-M_3 = 8 = EI \frac{y_2 - 2y_3 + y_4}{a^2} \quad (2)$$

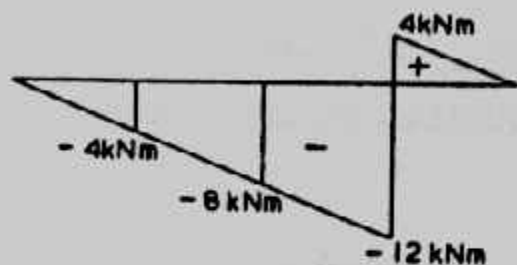
(A) Loading



(B) Reactions



(C) Bending Moment Diagram



شكل (٣-٨) مثال (٢٤-٨)

$$-M_4 = 4 = EI \frac{y_3 - 2y_4 + y_5}{a^2} \quad (3)$$

But

$$y_1 = y_5 = 0$$

$$\therefore \text{From (1)} \quad y_2 = \frac{2a^2}{EI} + \frac{y_3}{2}$$

$$\text{From (3)} \quad y_3 = \frac{4a^2}{EI} + 2y_4$$

Substituting in (2) for y_3 :

$$-\frac{2a^2}{EI} + \frac{y_3}{2} - 2y_4 + y_4 = \frac{8a^2}{EI}$$

$$\therefore -\frac{2a^2}{EI} - \frac{3y_3}{2} + y_4 = \frac{8a^2}{EI}$$

and substituting for y_3 :

$$-\frac{2a^2}{EI} - \frac{3}{2} \times \frac{4a^2}{EI} - \frac{3 \times 2y_4}{2} + y_4 = \frac{8a^2}{EI}$$

$$\therefore y_4 = -\frac{8a^2}{EI} - \frac{8 \times 4^2}{EI} = -\frac{128}{EI} \quad (\text{an upward deflection})$$

طرق تصميم الأساسات المشتركة بطريقة الفروق المحدودة :

توجد ثلاثة مداخل مختلفة لتصميم الأساسات المشتركة وهي :

١- طريقة الجساعة Conventional Method or Rigid Method

وفرض هذه النظرية هي :

أ - الأساس يفترض أنه جاسئ تماماً و hepatization لا يؤثر في ضغط التماس .

ب - ضغط التماس منتظم التوزيع أو ذو توزيع خطى .

٢- طريقة الأساس المرن والأرضية بسيطة المرنة (شكل ٢٥-٨) Elastic foundation (شكل ٢٥-٨)

يفترض في هذه الطريقة أن التربة تعمل ككابلات with a simplified elastic subgrade

على أبعاد متساوية وكل منها يعمل بمفرده دون ارتباط بالآخرين ويعبر عن Springs

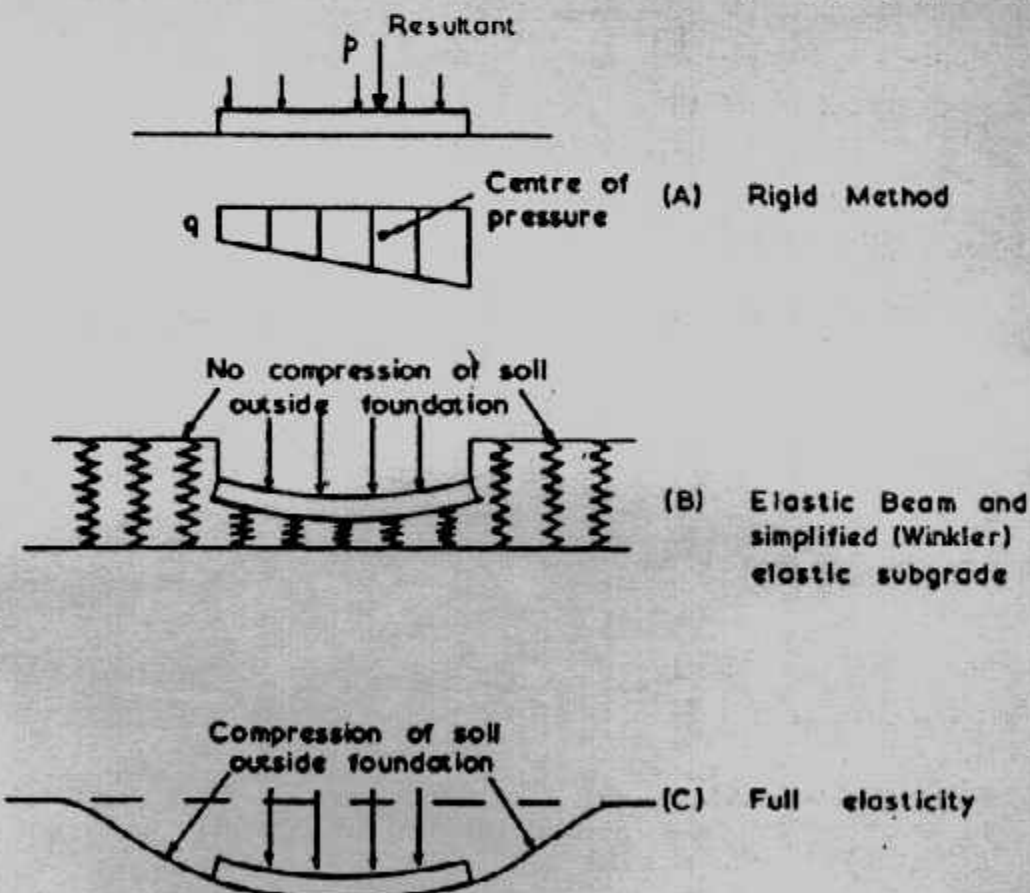
الأساس بـ IE .

٣- طريقة الأساس وما تحت الأساس (الأرضية) مرنة Elastic foundation and subgrade

يعبر عن جساعة الأساس أيضاً بـ IE وتربة التأسيس تعرض على أنها كاملة المرنة

و خاضعة لقانون هوك Fully elastic Hook's law في جميع الاتجاهات شكل (٢٥-٨) .

وطريقة الجساعة تتم بكمية أقل من الحسابات عن الطرفيتين الآخريتين اللتين تحتاجان إلى أساليب وطرق عدديّة .



شكل (٢٥-٨) : فروض التصميم للأساسات المشتركة .

استخدام أسلوب الفروقات المحدودة لتطبيق طريقة الأساس المرن وما تحت

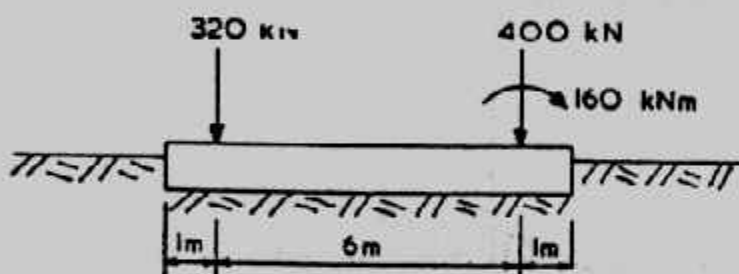
الأساس بسيط المرونة : Elastic foundation with a simplified elastic subgrade

يستخدم تكنيك الفروقات المحدودة لتطبيق طريقة الأساس المرن والأرضية بسيطة المرونة وسوف نقدم طريقة الحل في المثال التالي مع جله أيضاً بالطريقة التقليدية لتوضيح الفروق في النتائج.

Example (8-4):

Assume that fig. (8-26) represents a typical foundation beam subjected to the loading shown and that it is required to obtain the bending moment and shear force diagrams for the beam. The subgrade can be assumed to be a stiff clay.

So that the values obtained from each method can be compared it will be assumed that the beam is of reinforced concrete and has a constant cross section of 500 mm deep by 700 mm wide. The beam carries a uniform load, including its own weight, of 16 kN/m run.



شكل (٢٦-٨) : مثال (٢٦-٨)

(a) Solution by rigid method :

The procedure is as follows :

Determine R_v , the resultant vertical force of the applied loading

Determine e , the eccentricity of R_v about the centre line of the foundation.

Determine maximum and minimum bearing pressures from standard formulae

Determine shear force and bending moment values.

$$R_v = 400 + 320 + 116 \times 8 = 848 \text{ kN}$$

Taking moments about left hand edge of beam :

$$R_v X = 16 \times \frac{8^2}{2} + 320 \times 1 + 400 + 7 + 160$$

Where x : distance of R_v from left hand edge

$$\therefore x = \frac{3792}{848} = 4.472 \text{ m}$$

$$= 4.472 \text{ m}$$

and R_v acts at $e = 0.472 \text{ m}$ to the right of the centre line of the foundation. the maximum and minimum bearing pressures can be obtained from standard formulae available in most soils text books.

In this case with e is within the middle third and

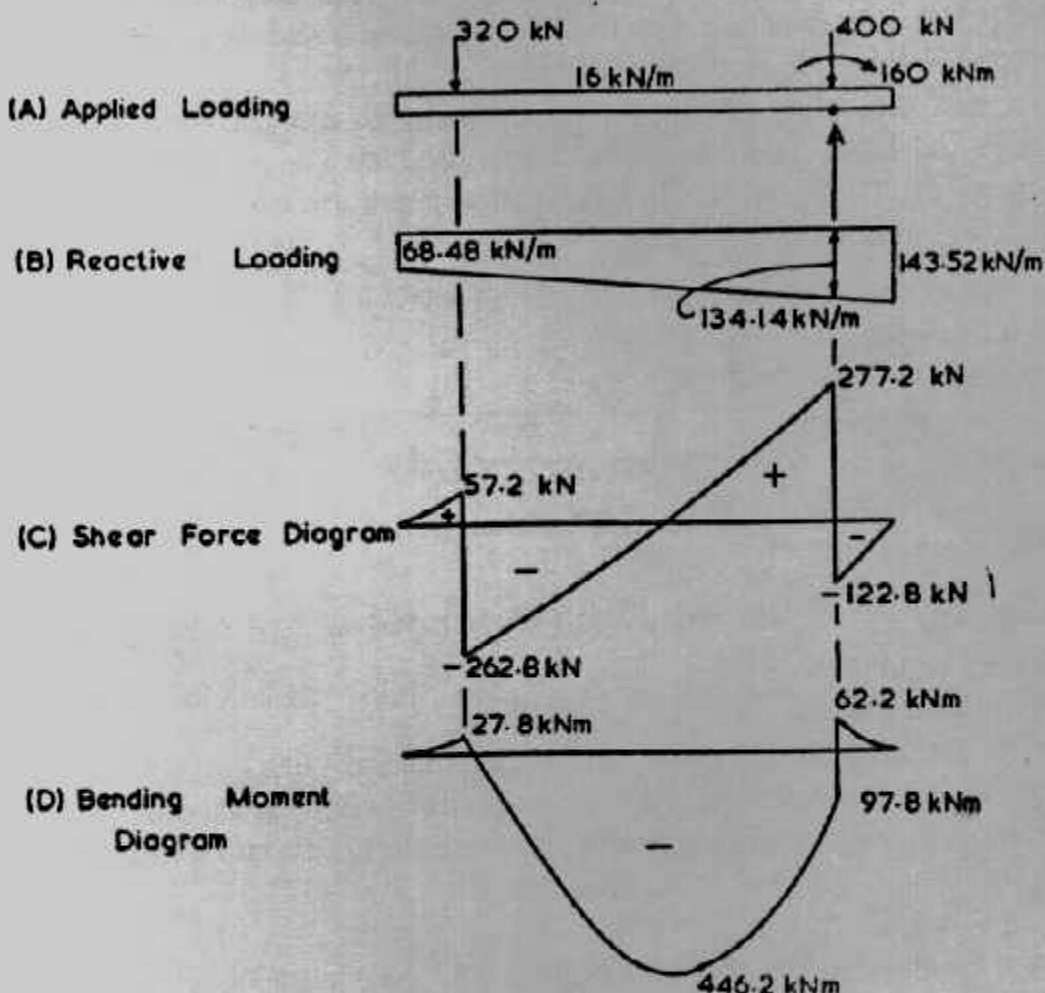
$$\begin{aligned} q_{\max} &= \frac{R_v}{L} \left(1 \pm \frac{6e}{L} \right) \times \frac{1}{B} \\ &= \frac{848}{8} \left(1 \pm \frac{6 \times 0.472}{8} \right) \times \frac{1}{0.7} \end{aligned}$$

$$= 205.02 \text{ and } 97.83 \text{ kN/m}^2$$

In order to draw the shear force diagram it is best to think of q , not as a pressure, but as a uniformly varying load beneath the foundation. Maximum upward force = $0.7 \times 205.02 = 143.52 \text{ kN/m}$.

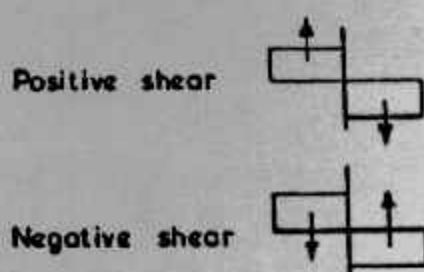
Minimum upward force = $0.7 \times 97.83 = 68.48 \text{ kN/m}$.

The P and Q" force system, the downward and upward reactive forces at relevant sections along the beam, can now be evaluated and the bending moment and shear force diagrams obtained (Fig. 8-27).



شكل (٨-٢٧) : الحل التقليدي .

The calculations are straightforward and only typical ones will be shown.
Shear force-conventions is :



Shear force at point A :

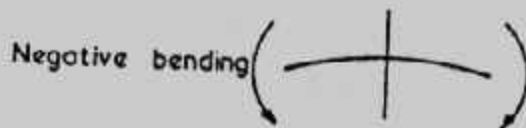
Considering forces to the right of A (i.e. without the 400 kN load)

$$F = -\frac{(143.52 + 134.14)}{2} \times 1.0 + 16 \times 1.0 = -122.83 \text{ kN}$$

Considering forces to the left of A (i.e. with the 400 kN load)

$$F = 400 - 122.83 = 277.17 \text{ kN.}$$

Bending moment-convention is



Bending moment at A :

Considering forces to the right of A (i.e. without the 160 kNm moment).

$$M = 134.1 \frac{1}{2} + \frac{9.38}{2} \times \frac{2}{3} - 16 \times \frac{1}{2} = 62.2 \text{ kNm}$$

Considering the effect of the 160 kNm moment will give

$$M = 62.2 - 160 = -97.8 \text{ kNm.}$$

Various points along the beam can be selected for evaluation of bending moments and the resulting diagram is as shown in Fig. (8-27) Maximum bending moment is 446 kNm.

(b) Solution by elastic foundation with a simplified elastic subgrade :

Depth of beam = 500 mm

Width of beam = 700 mm

The following properties will be assumed :

Modulus of elasticity for concrete, $E_c = 20000 \text{ MN/m}^2$

Modulus of subgrade reaction, $K_s = 30 \text{ MN/m}^3$

للحصول على دقة معقولة يقسم الأساس إلى ثمانية مقاطع متساوية الطول يتسع نقط عقدية.

ولكننا هنا ولتوسيع التكثيف والطريقة المستخدمة سوف نقسم الأساس إلى أربعة مقاطع

وتحسّن نقط كما في شكل (8-8-A) وبذلك يكون طول كل مقطع $a = 2\text{m}$

و عند الخمس نقاط العقدية نفرض أن الهبوط deflections هو y_1, y_2, y_3, y_4, y_5 ويكون ضغط

التماس هو :

$$q = k_s y$$

$$q_1 = k_s y_1$$

كما يجب تعين k_s من k_s للطين الصلب

There are five nodal points; let their deflections be y_1, y_2, y_3, y_4 and y_5 .

$$\text{Then } q_1 = k_s y_1; q_2 = k_s y_2, \dots \text{etc.}$$

$$\text{For a stiff clay } k_s = (ksl/b) \times 0.305 = 20/0.7 \times 0.305 = 12 \text{ MN/m}^3$$

$$\text{Moment of inertia of beam} = (1/12) BD^3$$

$$EI = 20000 (1/12) 0.7(0.5)^3 = 145.75 \text{ Mn m}^2$$

Assume that the contact pressures act as concentrated upward reactive forces, Q_1, Q_2, Q_3, Q_4 and Q_5 at the nodal points 1, 2, 3, 4, and 5.

$$Q_1 = q_1 \times \text{area} = q_1 \times a/2 \times B = k_s y_1 a/2 B$$

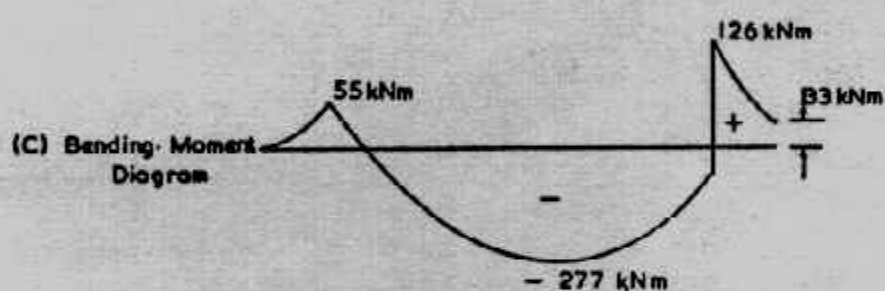
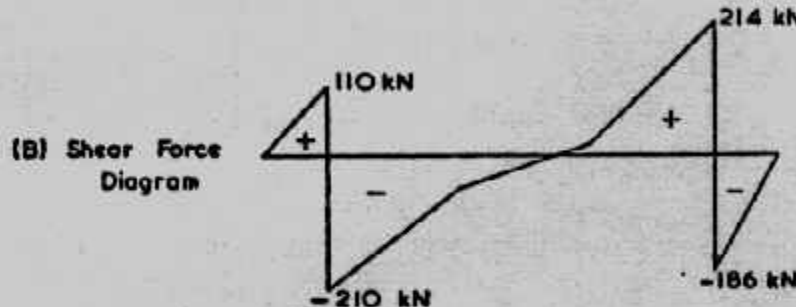
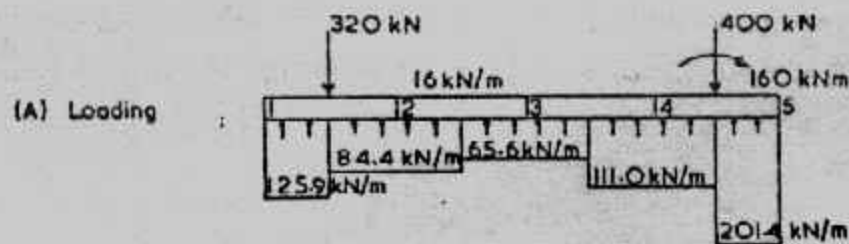
$$= 13 (2/2) 0.7 \times y_1 = 9.1 y_1$$

Similarly, $Q_2 = 18.2 y_2, \dots \text{etc.}$

There is no applied moment at either end of the beam so it can be assumed that points 1 and 5 are not fixed and that $M_1 = M_5 = 0$.

Expressions for M_2, M_3 and M_4 can be evaluated :

$$M_2 = Q_1 \times 2 - 320 \times 1 - 16 \times 22/2 = 18.2 y_1 - 352 \quad (1)$$



(closure error should be adjusted by altering values)

شكل (٢٨-٨) طريقة الأساس وما تحته بسيط المرونة (٤ شرائح).

$$M_3 = 26.4 y_1 + 36.4 y_2 - 1088 \quad (2)$$

$$M_4 = 54.6 y_1 + 72.8 y_2 + 36.4 y_3 - 1888 \quad (3)$$

we know that $-M = EI \frac{d^2y}{dx^2}$

and, from Appendix III : $\frac{d^2y}{dx^2} = \frac{y_1 - 2y_2 + y_3}{a^2}$

hence, equation 1 may be rewritten as :

$$-18.2 y_1 = \frac{145.750}{4} (y_1 - 2y_2 + y_3)$$

i.e. $1.5 y_1 - 2y_2 + y_3 = 0.66 \quad (1)$

Similarly for equations 2 and 3 :

$$1.0 y_1 + 2.0 y_2 - 2y_3 + y_4 = 29.86 \quad (2)$$

$$1.5 y_1 + 2.0 y_2 + 2.0 y_3 - 2.0 y_4 + 1.0 y_5 = 51.81 \quad (3)$$

(Note that EI is expressed as 145.750 Mm^2 so that their values will be in millimeters).

There are five unknowns (y_1 to y_5) so two further simultaneous equations are required. These can be obtained by equating M_1 (or M_5) to zero and equating ΣR to zero.

$\Sigma M_5 = 0$ gives

$$72.8 y_1 + 109.2 y_2 + 72.8 y_3 + 26.4 y_4 = 2992 \quad (4)$$

$$9.1 y_1 + 18.2 y_2 + 18.2 y_3 + 18.2 y_4 + 9.1 y_5 = 848 \quad (5)$$

Expressing in matrix form :

$$\begin{bmatrix} 1.5 & -2 & 1 & 0 & 0 \\ 1.0 & 2 & -2 & 1 & 0 \\ 1.5 & 2 & 2 & -2 & 1 \\ 72.8 & 109.2 & 72.8 & 36.4 & 0 \\ 9.1 & 18.2 & 18.2 & 18.2 & 9.1 \end{bmatrix} \begin{bmatrix} y_1 \\ y_2 \\ y_3 \\ y_4 \\ y_5 \end{bmatrix} = \begin{bmatrix} 9.66 \\ 29.86 \\ 51.81 \\ 2992.0 \\ 848.0 \end{bmatrix}$$

By inverting the matrix we obtain :

$$\begin{bmatrix} 0.3687 & 0.2581 & 0.0829 & 0.0020 & -0.0091 \\ -0.2396 & 0.0323 & 0.0461 & 0.0042 & -0.0051 \\ -0.0323 & -0.3226 & -0.0323 & 0.0053 & 0.0035 \\ 0.0461 & 0.0323 & -0.2396 & 0.0003 & 0.0263 \\ 0.0829 & 0.2581 & 0.3687 & -0.0215 & 0.0694 \end{bmatrix} \begin{bmatrix} y_1 \\ y_2 \\ y_3 \\ y_4 \\ y_5 \end{bmatrix} = \begin{bmatrix} 9.66 \\ 29.86 \\ 51.81 \\ 2992 \\ 848 \end{bmatrix}$$

Note : To reduce rounding off errors it is important to work to at least four decimal places in the inverse matrix.

Multiplying out leads to :

Deflection (mm)	Q values (kN)	q values (kN/m ²)	Corresponding reactive forces/m length of beam
$y_1 = 13.8$	$Q_1 = 125.9$	$q_1 = 179.8$	125.9
$y_2 = 9.3$	$Q_2 = 168.9$	$q_2 = 120.6$	84.4
$y_3 = 7.2$	$Q_3 = 131.2$	$q_3 = 93.7$	65.6
$y_4 = 12.2$	$Q_4 = 222.0$	$q_4 = 158.6$	111.0
$y_5 = 22.1$	$Q_5 = 201.4$	$q_5 = 287.7$	201.4

Check $\Sigma = 849.4$ (Round off error = 1.4)

ولتعيين العزوم والقص فمن الأفضل استخدام ضغط التماس q ويفضل ضرب قيم ضغط التماس في العرض 0.7m ليعطى رد فعل كحمل بالكيلو نيوتن لكل متر طولي من طول الأساس.

ولزيادة الدقة في الحل نعيد حل المثال مرة أخرى بتقسيم كمرة الأساس إلى ثمان مقاطع متساوية الطول لنسع نقاط.

and $Q_2 = 9.1 y_2$, etc. The expressions for the bending moments M_2 to M_8 are :

$$M_2 = 4.55 y_1 - 8$$

$$M_3 = 9.1 y_1 + 9.1 y_2 - 352$$

$$M_4 = 13.65 y_1 + 18.2 y_2 + 9.1 y_3 - 712$$

$$M_5 = 18.2 y_1 + 27.3 y_2 + 18.2 y_3 + 9.1 y_4 - 1088$$

$$M_6 = 22.75 y_1 + 36.4 y_2 + 27.3 y_3 + 18.2 y_4 + 9.1 y_5 - 1480$$

$$M_7 = 27.3 y_1 + 45.5 y_2 + 36.4 y_3 + 27.3 y_4 + 18.2 y_5 + 9.1 y_6 - 1888$$

$$M_8 = 31.85 y_1 + 54.6 y_2 + 45.5 y_3 + 36.4 y_4 + 27.3 y_5 + 18.2 y_6 + 9.1 y_7 - 2232$$

Note. M_g is taken to be the average of the two moment values that occur at point 8 when the applied moment of 160 kNm is allowed for, i.e. when calculating M_g either take moments of all the forces to the left of point 8 and add 160/2 kNm or take moments of all forces to the right of point 8 and subtract 160/2 kNm.

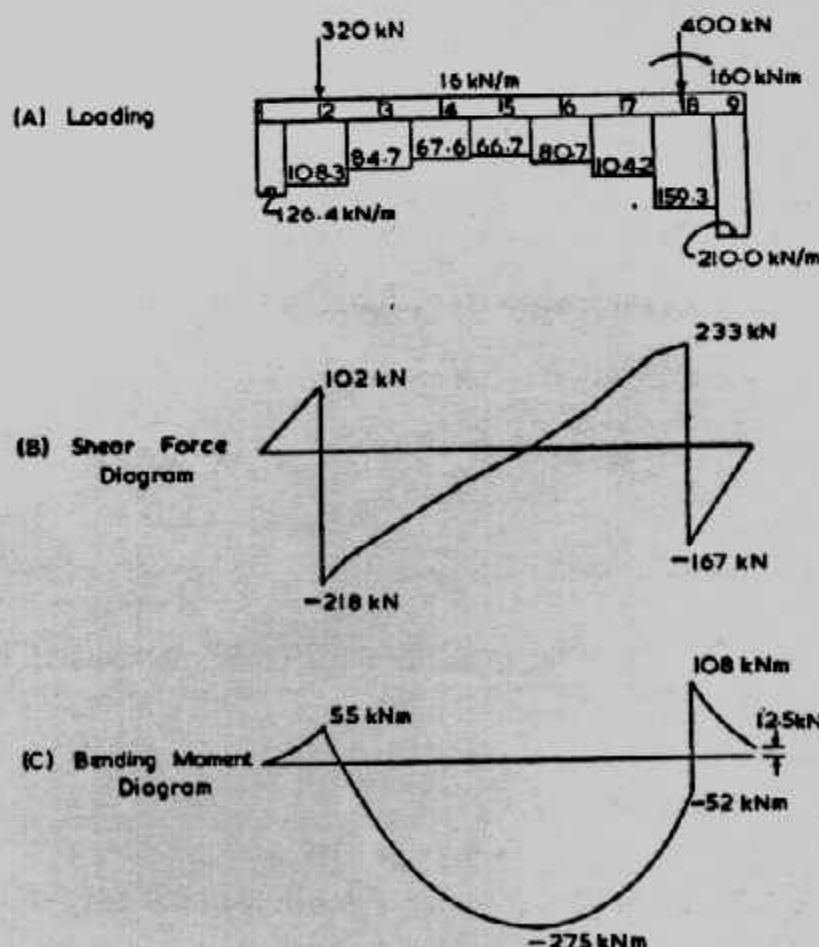
The remaining two required simultaneous equations are obtained from $M_0 = 0$ and $\Sigma R = 0$. The final matrix form of the equations is :

$$\begin{bmatrix} 1.0312 & -2.0 & 1.0 & 0 & 0 & 0 & 0 & 0 \\ 0.0624 & 1.0624 & -2.0 & 1.0 & 0 & 0 & 0 & 0 \\ 0.0937 & 0.1249 & 1.0624 & -2.0 & 1.0 & 0 & 0 & 0 \\ 0.1249 & 0.1873 & 0.1249 & 1.0624 & -2.0 & 1.0 & 0 & 0 \\ 0.1561 & 0.2497 & 0.1873 & 0.1249 & 1.0624 & -2.0 & 1.0 & 0 \\ 0.1873 & 0.3122 & 0.2497 & 0.1873 & 0.1249 & 1.0624 & -2.0 & 1.0 \\ 0.2185 & 0.3746 & 0.3122 & 0.2497 & 0.1873 & 0.1249 & 1.0624 & -2.0 \\ 36.4 & 63.7 & 54.6 & 45.5 & 36.4 & 27.3 & 18.2 & 9.1 \\ 4.55 & 9.1 & 9.1 & 9.1 & 9.1 & 9.1 & 9.1 & 4.55 \end{bmatrix} = \begin{bmatrix} y_1 \\ y_2 \\ y_3 \\ y_4 \\ y_5 \\ y_6 \\ y_7 \\ y_8 \\ y_9 \end{bmatrix} = \begin{bmatrix} 0.0549 \\ 2.4151 \\ 4.8851 \\ 7.4648 \\ 10.1544 \\ 12.9537 \\ 15.8628 \\ 2992.0 \\ 848.0 \end{bmatrix}$$

The inversion of the matrix leads to :

$$\begin{bmatrix} 0.6533 & 0.8486 & 0.7806 & 0.5909 & 0.3724 & 0.1812 & 0.0499 & 0.0020 & -0.0110 \\ -0.2290 & 0.1784 & 0.3310 & 0.3263 & 0.2412 & 0.1322 & 0.0407 & 0.0034 & -0.0089 \\ -0.1317 & -0.5182 & -0.1429 & 0.0433 & 0.0983 & 0.0775 & 0.0300 & 0.0047 & -0.0066 \\ -0.0608 & -0.2790 & -0.6862 & -0.2970 & -0.0828 & 0.0033 & 0.0136 & 0.0056 & -0.0030 \\ -0.0144 & -0.1092 & -0.3351 & -0.7361 & -0.3351 & -0.1092 & -0.0144 & 0.0057 & 0.0032 \\ 0.0136 & 0.0033 & -0.0828 & -0.2970 & -0.6863 & -0.2790 & -0.0608 & 0.0039 & 0.0134 \\ 0.0300 & 0.0775 & 0.0983 & 0.0433 & -0.1429 & -0.5182 & -0.1317 & -0.0009 & 0.0289 \\ 0.0407 & 0.1322 & 0.2412 & 0.3263 & 0.3310 & 0.1785 & -0.2290 & -0.0104 & 0.0503 \\ 0.0499 & 0.1811 & 0.3724 & 0.5909 & 0.7806 & 0.8486 & 0.6533 & -0.0259 & 0.0762 \end{bmatrix} = \begin{bmatrix} y_1 \\ y_2 \\ y_3 \\ y_4 \\ y_5 \\ y_6 \\ y_7 \\ y_8 \\ y_9 \end{bmatrix}$$

Note : The calculations should be worked through using four figures of decimals. This involves little extra effort when using a calculator and considerably reduces the closure errors in the bending moment and shear force diagrams. After the final values have been evaluated they can then be rounded off.



شكل (٢٩-٨) : الحل بطريقه الأساس المرن وما تحته بسيط المرونة (٨ شرائح) .

استخدام الفروقات المحدودة للحل بطريقة "الأساس وما تحته مرنان" :

Solution by the Elastic Foundation and Subgrade Method

في هذه الطريقة تعتبر طبقة ما تحت الأساس تامة المرونة بدرجة أكبر من تلك التي افترضها وينكلر Winkler وهذا الفرض معقول للصخور والطين المشبع وتقريري لباقي أنواع التربة وتحتوى هذه الطريقة على مشكلة أخرى ألا وهي تعين معامل مرونة التربة E_s ونسبة بواسن μ .

وبافتراض الحمل المركز P يؤثر على سطح طبقة شبه لا نهاية المرونة وطبقاً لبوزينسكي Boussinesq (شكل ٣٠-٨) فإن الإزاحة الرئيسية تعطى كما يلى :

$$y = \frac{P(1-\mu^2)}{\pi r E_s}$$

where μ = Poisson's ratio

E_s = modulus of elasticity of the subgrade

r = radial distance from P to the point considered

والتعبير السابق عادة ما يكتب على صورة

$$y = \frac{JP}{E_s r}$$



شكل (٣٠-٨) مبدأ بوزينسكي

Where J is a dimensionless number equal to $\frac{1-\mu^2}{E_s}$

وتتراوح قيمة J بين 0.3151 و 0.2387 لقيم بواسن بين 0.1 و 0.5 وتخيل المعادلة السابقة إذا

كانت $r = 0$ ولذا فيفترض أن P يؤثر على التربة من خلال لوح Plate مربع أبعاده $B \times B$

ولذلك فيحسب الهبوط deflection تحت الحمل مباشرة بالمعادلة :

$$y_p = \frac{3PJ}{E_s B}$$

وباستخدام مبدأ التجزئ والتجميع يمكن تعين سطح الإزاحة تحت مساحة التحميل إذا كانت هذه المساحة ممكنة التقسيم إلى مقاطع مناسبة والحمل يفرض أنه مركز على كل مقطع في مركزه Q ، وتصبح المعادلات كالتالي :

$$y = \frac{QJ}{E_s r} \quad \text{and} \quad y_p = \frac{3QJ}{E_s B}$$

وباستخدام تكتيك الفروقات المحدودة تقسم الكمرة إلى عدد من المقاطع المتتساوية الطول a ، ويمكن تقديم علاقات الهبوط في صورة المصفوفات كما يلى :

$$\begin{bmatrix} y_1 \\ y_2 \\ y_3 \\ \vdots \\ y_n \end{bmatrix} = \frac{J}{BE_s} \begin{bmatrix} 3 & 1 \times \frac{B}{a} & \frac{1}{2} \times \frac{B}{a} & \frac{1}{3} \times \frac{B}{a} & \frac{1}{4} \times \frac{B}{a} & \dots \\ 1 \times \frac{B}{a} & 3 & 1 \times \frac{B}{a} & \frac{1}{2} \times \frac{B}{a} & \frac{1}{3} \times \frac{B}{a} & \dots \\ \frac{1}{2} \times \frac{B}{a} & 1 \times \frac{B}{a} & 3 & 1 \times \frac{B}{a} & \frac{1}{2} \times \frac{B}{a} & \dots \\ \vdots & \vdots & \vdots & \vdots & \vdots & \vdots \\ \vdots & \vdots & \vdots & \vdots & \vdots & \vdots \\ y_n & \vdots & \vdots & \vdots & \vdots & \vdots \end{bmatrix} \begin{bmatrix} Q_1 \\ Q_2 \\ Q_3 \\ \vdots \\ Q_n \end{bmatrix}$$

وعلى فرض أن الكمرة تقسم إلى أربعة مقاطع متساوية فإن تأثير Q_1 يكون :

$$\text{Settlement at point 1, due to } Q_1 = \frac{3Q_1 J}{E_s B}$$

$$\text{Settlement at point 2, due to } Q_1 = \frac{Q_1 J}{E_s r}$$

$$\text{Where } r = \text{distance from } Q_1 = a = a \times \frac{B}{B}$$

$$\text{Hence, settlement at point 2, due to } Q_1 = \frac{Q_1 J}{E_s B} \times 1 \times \frac{B}{a}$$

$$\text{Settlement at point 3, due to } Q_1 = \frac{Q_1 J}{E_s r} = \frac{Q_1 J}{E_s 2a} = \frac{Q_1 J}{E_s B} \times \frac{1}{2} \times \frac{B}{a}$$

حيينذ وللقيمة y_1 فإن صن المصفوفة يصبح :

$$\left[3 \quad 1 \times \frac{B}{a} \quad \frac{1}{2} \times \frac{B}{a} \quad \frac{1}{3} \times \frac{B}{a} \dots \right]$$

وبضرب المصفوفة في قيمة ثابتة J/BE_s وعلى اعتبار شكل التحميل المعين في شكل (٣١-٨) فإن عزوم الانحناء عند كل نقطة تحسب كما يلى :

$$M_1 = 0$$

$$M_2 = 2Q_1 - 352$$

$$M_3 = 4Q_1 + 2Q_2 - 1088$$

$$M_4 = 6Q_1 + 4Q_2 + 2Q_3 - 1888$$

$$M_5 = 0$$

ومن العلاقة

$$M = -EI (d^2y / dx^2)$$

فإن قيمة نعروه تأخذ المصفوفة

$$\begin{bmatrix} M_1 \\ M_2 \\ M_3 \\ M_4 \\ M_5 \end{bmatrix} = -\frac{EI}{a^2} \begin{bmatrix} -2 & 1 & 0 & 0 & 0 \\ 1 & -2 & 1 & 0 & 0 \\ 0 & 1 & -2 & 1 & 0 \\ 0 & 0 & 1 & -2 & 1 \\ 0 & 0 & 0 & 1 & -2 \end{bmatrix} \begin{bmatrix} y_1 \\ y_2 \\ y_3 \\ y_4 \\ y_5 \end{bmatrix}, \quad \frac{EI}{a^2} = \frac{145.75}{4}$$

وحيث كل من M_1, M_5 تساوى صفرًا فإنها تزال من المعادلات، أي يحذف الصف الأول

والأخير من المصفوفة وتصبح :

$$\begin{bmatrix} M_2 \\ M_3 \\ M_4 \end{bmatrix} = -\frac{145.75}{4} \begin{bmatrix} 1 & -2 & 1 & 0 & 0 \\ 0 & 1 & -2 & 1 & 0 \\ 0 & 0 & 1 & -2 & 1 \end{bmatrix} \begin{bmatrix} y_1 \\ y_2 \\ y_3 \\ y_4 \\ y_5 \end{bmatrix} \quad (A)$$

وبفرض أن $E_s = 20 \text{ MN/m}^2, \mu = 0.5$

$$J = 0.2387$$

$$a = 2\text{m}, \quad B = 0.7\text{ m} \quad \text{وبوضع}$$

فإن المصفوفة التي تربط y و Q تصبح :

$$\begin{bmatrix} y_1 \\ y_2 \\ y_3 \\ y_4 \\ y_5 \end{bmatrix} = \frac{0.2387}{20000 \times 0.7} \begin{bmatrix} 3 & 0.35 & 0.175 & 0.1167 & 0.0875 \\ 0.35 & 3 & 0.35 & 0.175 & 0.1167 \\ 0.175 & 0.35 & 3 & 0.35 & 0.175 \\ 0.1167 & 0.175 & 0.35 & 3 & 0.35 \\ 0.0875 & 0.1167 & 0.175 & 0.35 & 3 \end{bmatrix} \begin{bmatrix} Q_1 \\ Q_2 \\ Q_3 \\ Q_4 \\ Q_5 \end{bmatrix}$$

وبالتعويض عن y في المعادلة (A)

$$\begin{bmatrix} M_2 \\ M_3 \\ M_4 \end{bmatrix} = -\frac{0.2387 \times 145.75}{20 \times 0.7 \times 4} \begin{bmatrix} 1 & -2 & 1 & 0 & 0 \\ 0 & 1 & -2 & 1 & 0 \\ 0 & 0 & 1 & -2 & 1 \end{bmatrix}$$

$$\cdot \begin{bmatrix} 3 & 0.35 & 0.175 & 0.1167 & 0.0875 \\ 0.35 & 3 & 0.35 & 0.175 & 0.1167 \\ 0.175 & 0.35 & 3 & 0.35 & 0.175 \\ 0.1167 & 0.175 & 0.35 & 3 & 0.35 \\ 0.0875 & 0.1167 & 0.175 & 0.35 & 3 \end{bmatrix} \begin{bmatrix} Q_1 \\ Q_2 \\ Q_3 \\ Q_4 \\ Q_5 \end{bmatrix}$$

$$\begin{bmatrix} M_2 \\ M_3 \\ M_4 \end{bmatrix} = -0.6213 \begin{bmatrix} 2.475 & -5.3 & 2.475 & 0.1167 & 0.0291 \\ 0.1167 & 2.475 & -5.3 & 2.475 & 0.1167 \\ 0.0291 & 0.1167 & 2.475 & -5.3 & 2.475 \end{bmatrix} \begin{bmatrix} Q_1 \\ Q_2 \\ Q_3 \\ Q_4 \\ Q_5 \end{bmatrix}$$

والمصفوفة السابقة عبارة عن ثلاثة معادلات بخمس مجهولات أي يلزم معادلتين آخرتين يمكن إيجادهما من :

$$M_5 = 0 \quad . \quad : \quad \Sigma R = 0$$

وتكون المصفوفة النهائية :

$$\begin{bmatrix} 5.694 & -5.3 & 2.475 & 0.1167 & 0.0291 \\ 6.5547 & 5.694 & -5.3 & 2.475 & 0.1167 \\ 9.686 & 6.5547 & 5.694 & -5.3 & 2.475 \\ 8 & 6 & 4 & 2 & 0 \\ 1 & 1 & 1 & 1 & 1 \end{bmatrix} \begin{bmatrix} Q_1 \\ Q_2 \\ Q_3 \\ Q_4 \\ Q_5 \end{bmatrix} = \begin{bmatrix} 566.6 \\ 1751.2 \\ 3038.8 \\ 2992 \\ 848 \end{bmatrix}$$

الصفوف الثلاث الأولى من المصفوفة السابقة هم المعادلات السابقة أي العزوم M_1, M_3, M_2 أما الصف الرابع فهو العزم M_5 المساوية صفر والصف الخامس هو مجموع القوى كلها أي $\Sigma R = 0$

$$Q_1 + Q_2 + Q_3 + Q_4 + Q_5 = 848$$

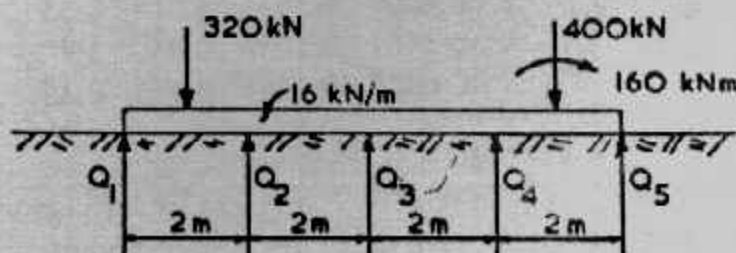
وباستخدام المصفوفة المعكosa نحصل على :

$$\begin{bmatrix} Q_1 \\ Q_2 \\ Q_3 \\ Q_4 \\ Q_5 \end{bmatrix} = \begin{bmatrix} 0.0798 & 0.0535 & 0.0192 & 0.0081 & -0.0561 \\ -0.1062 & 0.0041 & 0.0150 & 0.0583 & -0.0346 \\ -0.0079 & -0.1151 & -0.0079 & 0.1053 & 0.0332 \\ 0.0150 & 0.0041 & -0.1062 & 0.0818 & 0.2619 \\ 0.0192 & 0.0535 & 0.0798 & -0.2536 & 0.7956 \end{bmatrix} \begin{bmatrix} 566.6 \\ 1751.2 \\ 3038.8 \\ 2992 \\ 848 \end{bmatrix}$$

ويتم الحصول على قيم القوى :

$$Q_1 = 173.9; Q_2 = 137; Q_3 = 113.2; Q_4 = 159.8; Q_5 = 263.0 \text{ kN.}$$

وتكون الخطوة التالية بعد ذلك هي إيجاد العزوم والقص وتردد دقة الحلول بقسم الكمرة إلى أقسام بعدد أكبر.



شكل (٣١-٨) : الحل بطريقة الأساس وما تحته مرنان .

ومن دراسة اقتصاديّات الحلول الثلاث المذكورة سابقاً لقاعدة مشتركة تبيّن أن طريقة الأساس المرن وما تحته بسيط المرونة توفر ٢٥٪ من كميات الخرسانة و ١٥٪ من كميات الحديد المستخدمة في الطريقة التقليدية للتصميم بينما طريقة الأساس وما تحته مرنان فإنها توفر ٤٠٪ من كميات الخرسانة و ٢٠٪ من كميات الحديد المستخدمة في الطريقة التقليدية.

الأساسات المتغيرة في عزم القصور الذاتي Footings of Variable Inertia
 الحلول السابقة تحتاج إلى أبعاد الأساس. وتوجد هذه الأبعاد أولاً بطريقة الجساعة، وقد تكون بلاطة الأساس متغيرة العرض مما يجعل مقاطع الأساس متغيرة في عزم القصور الذاتي.

أ- الأساسات المتغيرة في عزم القصور الذاتي بطريقة "الأساس المرن وما تحت الأساس بسيط المرونة":

هذه الطريقة صالحة أيضاً للأساسات المتغيرة في عزم القصور الذاتي وتنتمي بنفس الخطوات السابق ذكرها ما عدا ما عزم القصور الذاتي الذي سوف يعين لكل نقطة عقدية وبالتالي تتغير EI من نقطة إلى أخرى والمثال التالي بين خطوات الحل.

Example (8-5):

Details of a proposed reinforced concrete foundation slab are given in Fig. (8-32). The slab is of constant 125 mm thickness and the subgrade consists of sand with $\bar{k}_s = 15 \text{ MN/m}^3$, $E_s = 20000 \text{ MN/m}^2$.

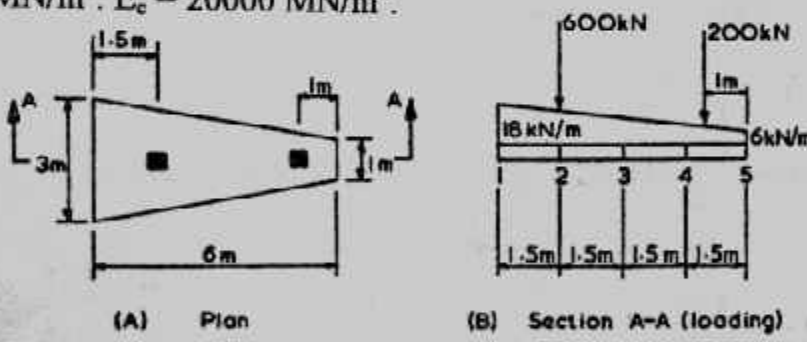


Fig. (8-32) Foundation of varying width

The loading diagram, along centre line of foundation, is as shown in Fig. (8-32) B.

For sands $\bar{k}_s = k_s$,

Average width of foundation, B (for determination of k_s) = 2.0 m

$$k_s = 15 \left(\frac{2 + 0.305}{2 \times 2} \right)^2 = 5.0 \text{ MN/m}^3.$$

Divide slab into four equal sections, to give 5 nodal points (see fig. 8-32).

Nodal point	Width (m)	I (m^4)	EI (kNm^2)
1	3	0.0004883	9765
2	2.5	0.0004069	8138
3	2.0	0.0003255	6510
4	1.5	0.0002441	4883
5	1	0.0001628	3255

By considering Fig. (8-32) B, the reactive forces, Q at the nodal points are given by :

$$Q_1 = k, y_1 \times \text{area} = 5 \times 2.875 \times 1.5/2 = 10.781 y_1$$

$$Q_2 = 5 \times 2.5 \times 1.5 \times y_2 = 18.75 y_2$$

$$Q_3 = 5 \times 2 \times 1.5 \times y_2 = 15.0 y_3$$

$$Q_4 = 5 \times 1.5 \times 1.5 \times y_2 = 11.25 y_4$$

$$Q_5 = 5 \times 1.125 \times 1.5/2 \times y_2 = 4.219 y_5$$

From fig. (8-32) B the expressions for the moments at the nodal points are :

$$M_2 = Q_1 \times 1.5 - 15 \times \frac{1.5^2}{2} - 3 \times \frac{1.5^2}{3} = 1.5 Q_1 - 19.125$$

$$M_3 = Q_1 \times 3 + Q_2 \times 1.5 - 600 \times 1.5 - 12 \times \frac{3^2}{2} - 6 \times 3 \\ = 3 Q_1 + 1.5 Q_2 - 972$$

$$M_4 = Q_1 \times 4.5 + Q_2 \times 3.0 + Q_3 \times 1.5 - 600 \times 3.0 - 9 \times \frac{4.5^2}{2} \\ - 9 \times \frac{4.5^2}{3}$$

$$= 4.5 Q_1 + 3 Q_2 + 1.5 Q_3 - 1951.875$$

$$M_5 = 6 Q_1 + 4.5 Q_2 + 3 Q_3 + 1.5 Q_4 - 3152.$$

$$\text{Now } M_2 = \frac{EI}{a^2} (y_1 - 2y_2 + y_3) \dots \text{etc.}$$

$$\therefore M_2 = \frac{1.5^2}{8138} (16.175 y_1 - 19.125) = - (y_1 - 2y_2 + y_3)$$

$$\text{i.e. } 1.00447 y_1 - 2y_2 + y_3 = 0.005287 \quad (1)$$

$$M_3 = \frac{1.5^2}{6510} (32.343 y_1 + 28.125 y_2 - 972)$$

$$= - (y_1 - 2y_2 + y_3)$$

$$\text{i.e. } 0.011178 y_1 + 1.009721 y_2 - 2y_3 + y_4 = 0.3359. \quad (2)$$

Similarly (for M_4):

$$0.02235 y_1 + 0.02592 y_2 + 1.010367 y_3 - 2y_4 + y_5 = 0.899389. \quad (3)$$

The remaining two equations can be obtained from the facts that $M_5 = 0$ and $\sum R = 0$:

$$64.686 y_1 + 84.375 y_2 + 45 y_3 + 16.875 y_4 = 3152 \quad (4)$$

$$10.871 y_1 + 18.75 y_2 + 15 y_3 + 11.25 y_4 + 4.219 y_5 = 872. \quad (5)$$

Expressing equations (1) to (5) in matrix form gives:

$$\begin{bmatrix} 1.0045 & -2 & 1 & 0 & 0 \\ 0.0112 & 1.0097 & -2 & 1 & 0 \\ 0.0224 & 0.0259 & 1.0104 & -2 & 1 \\ 64.686 & 84.375 & 45 & 16.875 & 0 \\ 10.781 & 18.75 & 15 & 11.25 & 4.219 \end{bmatrix} \begin{bmatrix} y_1 \\ y_2 \\ y_3 \\ y_4 \\ y_5 \end{bmatrix} = \begin{bmatrix} 0.0053 \\ 0.3359 \\ 0.8994 \\ 3152 \\ 872 \end{bmatrix}$$

By inverting the matrix the expression becomes:

$$\begin{bmatrix} y_1 \\ y_2 \\ y_3 \\ y_4 \\ y_5 \end{bmatrix} = \begin{bmatrix} 0.4618 & 0.3666 & 0.1262 & 0.0132 & -0.0299 \\ -0.3203 & -0.0512 & 0.0082 & 0.0053 & -0.0019 \\ -0.1044 & -0.4707 & -0.1103 & -0.0026 & 0.0262 \\ 0.1095 & 0.1062 & -0.2304 & -0.0107 & 0.0546 \\ 0.3224 & 0.6812 & 0.6477 & -0.0193 & 0.0835 \end{bmatrix} \begin{bmatrix} 0.0053 \\ 0.3359 \\ 0.8994 \\ 3152 \\ 872 \end{bmatrix}$$

Leading to the values:

$$\begin{aligned} y_1 &= 15.77 \text{ mm} & \text{Hence: } Q_1 &= 170 \text{ kN} \\ y_2 &= 15.04 & Q_2 &= 282 \\ y_3 &= 14.39 & Q_3 &= 216 \\ y_4 &= 13.71 & Q_4 &= 154 \\ y_5 &= 12.79 & Q_5 &= 54 \end{aligned}$$

The longitudinal bending moment diagram can now be obtained and is illustrated in Fig. (8-33A).



(A) Bending moment diagram for longitudinal direction (B) Contact pressure at point 3 (for transverse moment)

Fig. (8-33) : Foundation of varying width

As both the bending moment values and the foundation width vary, it is necessary to determine the required reinforcement at several points along the beam. For example, at nodal point 2 the total moment is 230 kNm, i.e., moment/metre width at point 2 is $230/2.5 = 92 \text{ kNm/m}$.

ولتعيين الحديد العرضي يلزم حساب لعزم العرضي عند النقط المختارة على طول الأساس. كما يمكن الحصول على q بطريقة سريعة من العلاقة $q_y = k_y q$ الموزعة بانتظام تحت البلاطة. فمثلاً العزم العرضي عند نقطة 3 هو $q_y = 5 \times 14.4 = 72 \text{ kN/m}^2$ وهذا الضغط يؤثر على عرض الأساس 1.5 m

$$\text{Maximum transverse moment} = 72 \times 0.5 = 36 \text{ kNm.}$$

كما يمكن الحصول على دقة أكبر بتقسيم الأساس إلى عدد أكبر من المقاطع.

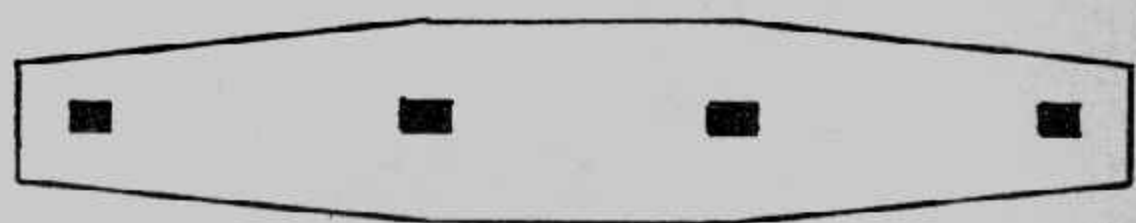
ب- الأساسات المتغيرة في عزم القصور الذاتي بطريقة "الأساس وما تحته مرنان":

يمكن استخدام طريقة "الأساس وما تحته مرنان" في حل الأساسات المتغيرة الأبعاد أو المتغيرة في عزم القصور الذاتي وذلك بتقنيك الفروقات المحدودة وبين الشكل (٣٤-٨) نماذجاً لتلك الأساسات.

وقد سبق ذكر الإزاحة Deformation الناتجة عن حمل مركز Q تتحسب من

المعادلة الآتية:

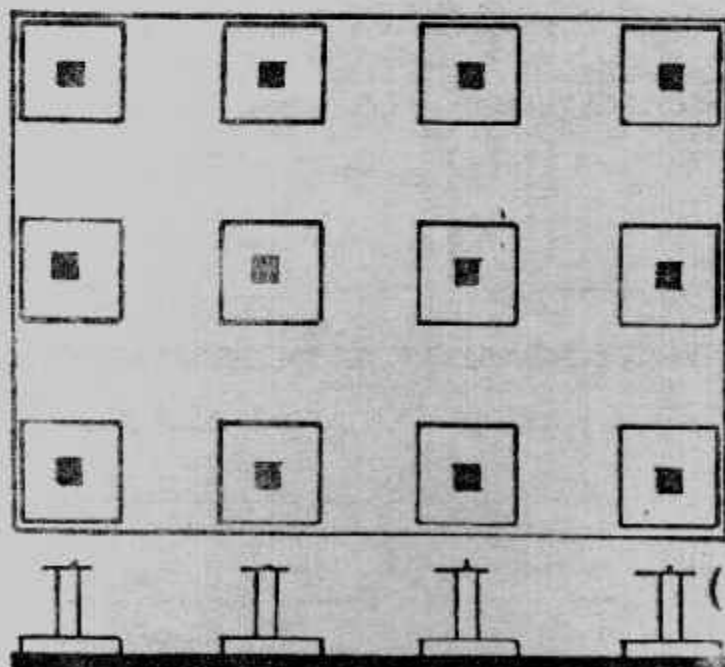
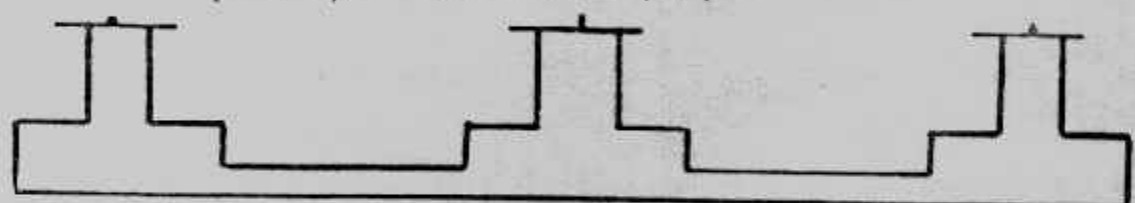
$$y_p = \frac{3QJ}{E_s B}$$



(أ) أساسات متغيرة العرض

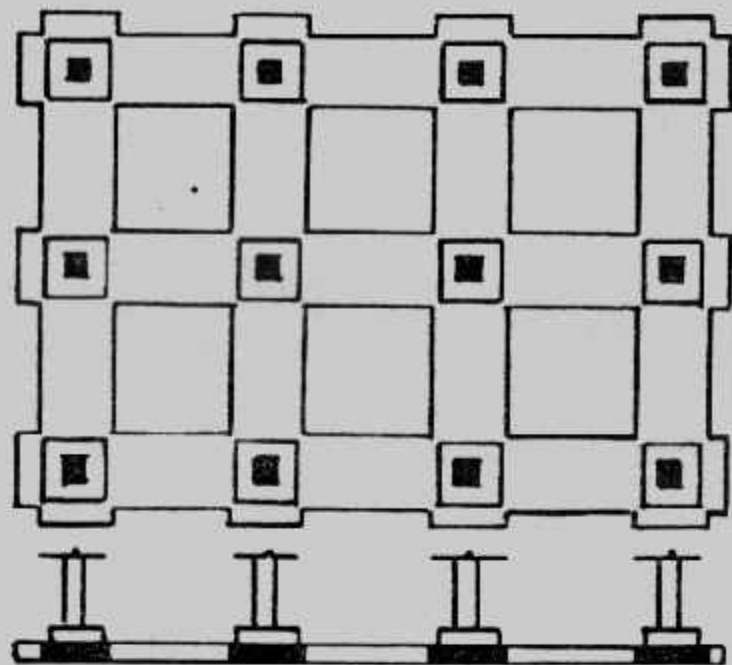


(ب) أساس متغير التخالة (السمك)

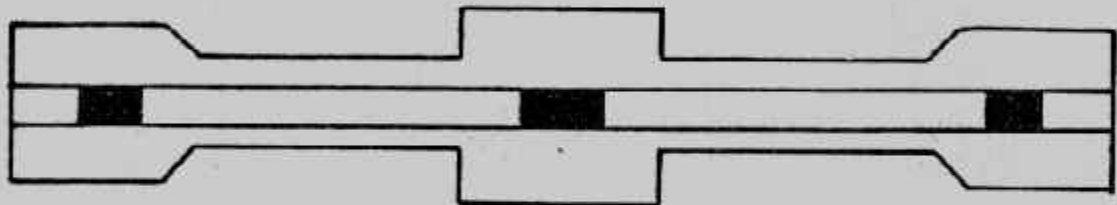


(هـ) لبسة متغيرة التخالة (السمك)

شكل (٣٤-٨) : نماذج من الأساسات المتغيرة في عزم القصور الذاتي .

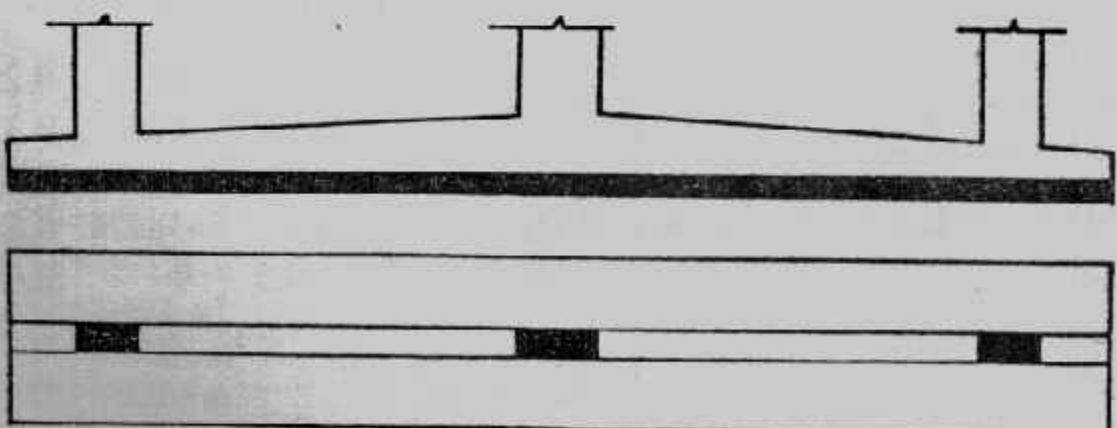


(د) أسلسات ذات الشدادات متغيرة التحlette



(هـ) أسلس كمرى متغير العرض

(ـىـ) أسلس كمرى متغير فى تحlette الكمره .



تابع شكل (٣٤-٨)

وفي شكل (٢٣) تعتبر الأساس المشترك المتغير في العمق والعرض وطبقاً لـ تكتيكي الفروقات المحدودة فإن الأساس يقسم إلى مقاطع متساوية الطول a وبعرض متغير (على الأقل ٨ مقاطع بسع نقاط). وعزم القصور الذاتي يجب أن يحسب عند كل نقطة. والمصفوفة التالية تبين علاقات الربط بين الهبوط y والقوة Q .

$$\begin{vmatrix} y_1 \\ y_2 \\ y_3 \\ y_4 \\ y_5 \\ \dots \\ y_n \end{vmatrix} = J/aE_s \begin{vmatrix} 3a/B_1 & 1 & 0.5 & 0.33 & 0.25 & \dots & Q_1 \\ 1 & 3a/B_2 & 1 & 0.5 & 0.33 & \dots & Q_2 \\ 0.5 & 1 & 3a/B_3 & 1 & 0.5 & \dots & Q_3 \\ 0.33 & 0.5 & 1 & 3a/B_4 & 0.5 & \dots & Q_4 \\ 0.25 & 0.33 & 0.5 & 1 & 3a/B_5 & \dots & Q_5 \\ \dots & \dots & \dots & \dots & \dots & \dots & \dots \\ \dots & \dots & \dots & \dots & \dots & \dots & \dots \end{vmatrix}$$

$$[y] = J/aE_s [A] . [Q] \quad (A)$$

أما العلاقات بين M, y فهي :

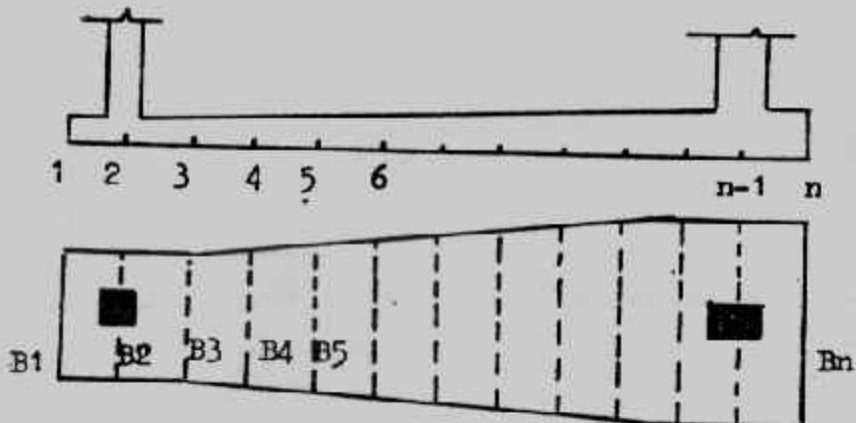
$$\begin{vmatrix} M_1/EI_1 \\ M_2/EI_2 \\ M_3/EI_3 \\ M_4/EI_4 \\ M_5/EI_5 \\ \dots \\ M_n/EI_n \end{vmatrix} = -1/a^2 \begin{vmatrix} -2 & 1 & 0 & 0 & \dots & \dots & y_1 \\ 1 & -2 & 1 & 0 & \dots & \dots & y_2 \\ 0 & 1 & -2 & 1 & \dots & \dots & y_3 \\ 0 & 0 & 1 & -2 & \dots & \dots & y_4 \\ 0 & 0 & 0 & 0 & \dots & \dots & y_5 \\ \dots & \dots & \dots & \dots & \dots & \dots & \dots \\ .. & .. & .. & .. & .. & -2 & y_n \end{vmatrix}$$

$$[M/EI_n] = -1/a [B] . [y] \quad (B)$$

ومن العلاقات السابقة تستنتج العلاقات بين M, Q :

$$\begin{vmatrix} M_1/EI_1 \\ M_2/EI_2 \\ M_3/EI_3 \\ M_4/EI_4 \\ M_5/EI_5 \\ \dots \\ M_n/EI_n \end{vmatrix} = -J/a^3 E_s \begin{vmatrix} -2 & 1 & 0 & 0 & \dots & \dots & 3a/B_1 & 1 & 0.5 & 0.33 & 0.25 & \dots & Q_1 \\ 1 & -2 & 1 & 0 & \dots & \dots & 1 & 3a/B_2 & 1 & 0.5 & 0.33 & \dots & Q_2 \\ 0 & 1 & -2 & 1 & \dots & \dots & 0.5 & 1 & 3a/B_3 & 1 & 0.5 & \dots & Q_3 \\ 0 & 0 & 1 & -2 & \dots & \dots & 0.33 & 0.5 & 1 & 3a/B_4 & 0.5 & \dots & Q_4 \\ 0 & 0 & 0 & 0 & \dots & \dots & 0.25 & 0.33 & 0.5 & 1 & 3a/B_5 & \dots & Q_5 \\ \dots & \dots \\ .. & .. & .. & .. & .. & 1 & -2 & \dots & \dots & \dots & \dots & \dots & \dots \end{vmatrix}$$

$$[M/EI_n] = \{-J/a E_s\} . [B] . [A] . [Q] \quad (C)$$



شكل (٣٥-٨) : أساس مشترك متغير الأبعاد .

يمكن حساب العزم moments بواسطة الأهمال وقوى التماس عند كل نقطة :

$$[M] = [C] \quad (D)$$

ونحصل بذلك على عدد (2-n) من المعادلات المحتوية على المعادلتان المتبقيتان فيتم

الحصول عليهما من $M = 0$, $\Sigma Y = 0$ وحيثنة :

$$[C/E]_{in} = \{ -J/a^3 E_s \} \cdot [B] \cdot [A] \cdot [O] \quad (C)$$

والآن يمكن تعين ضغط التفاس والهبوط، ثم تحسب قوى القص والعزم، وبالرغم من أن هذه الطريقة تستخدم للأساسات المستمرة والمشتركة المتغيرة القصور الذاتي فإنها تستخدم بعض الأنواع الأخرى من الأساسات مثل الأساس الشبكي Grid foundation ، والأساس الكابولي Strap foundation المتغيرين في عزم القصور .

Example (8-6) :

Details of a proposed reinforced concrete foundation are given in fig. (8-36). $E_c = 20000 \text{ MN/m}^2$, $E_s = 25 \text{ MN/m}^2$, $J = 0.305$.

For illustrative purposes, the foundation will be divided into four equal sections and five nodal points, i.e. $a = 2.5\text{m}$. and $B = 2\text{m}$, fig. (8-36) the moment of inertia at nodal points are :

$$\begin{aligned} I_1 &= 0.115 \text{ m}^4 & EI_1 &= 2390 \times 10^3 \text{ Nmm}^2 \\ I_2 &= 0.0628 \text{ m}^4 & EI_2 &= 1256 \times 10^3 \text{ Nmm}^2 \\ I_3 &= 0.026 \text{ m}^4 & EI_3 &= 537 \times 10^3 \text{ Nmm}^2 \\ I_4 &= 0.0628 \text{ m}^4 & EI_4 &= 1256 \times 10^3 \text{ Nmm}^2 \\ I_5 &= 0.1195 \text{ m}^4 & EI_5 &= 2390 \times 10^3 \text{ Nmm}^2 \end{aligned}$$

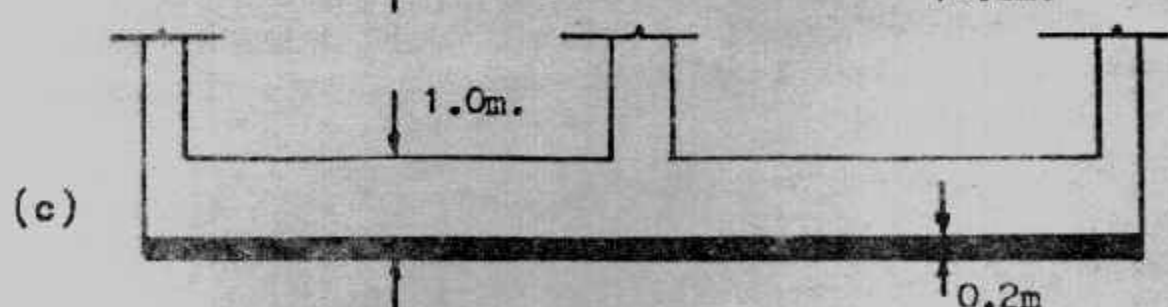
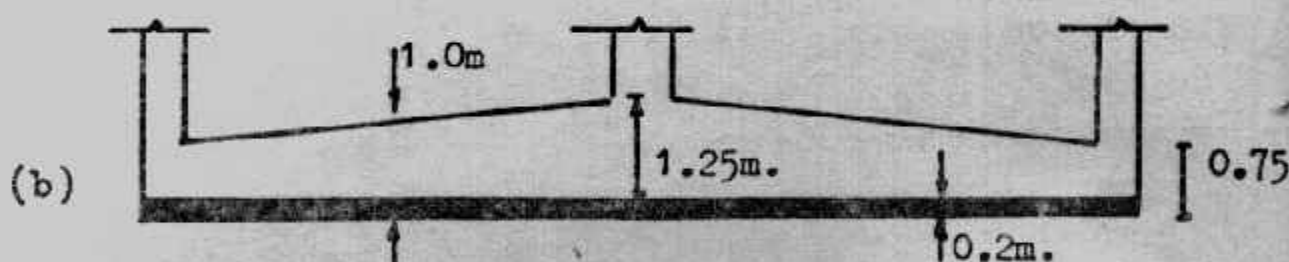
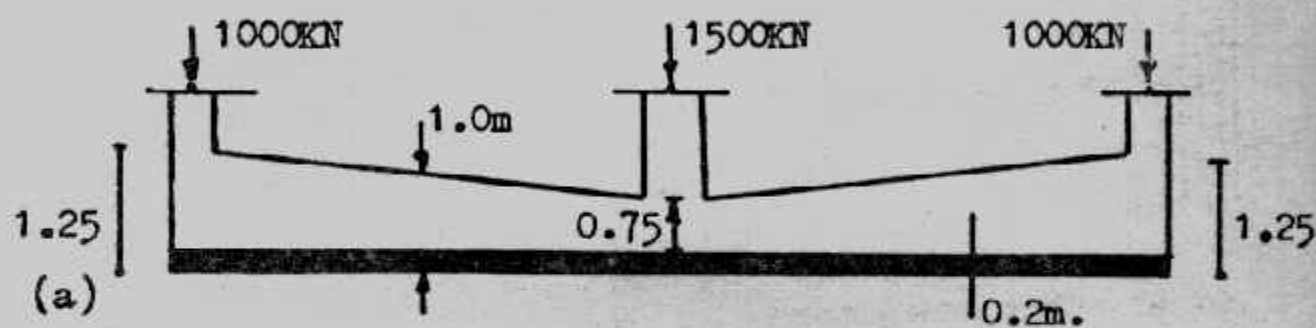
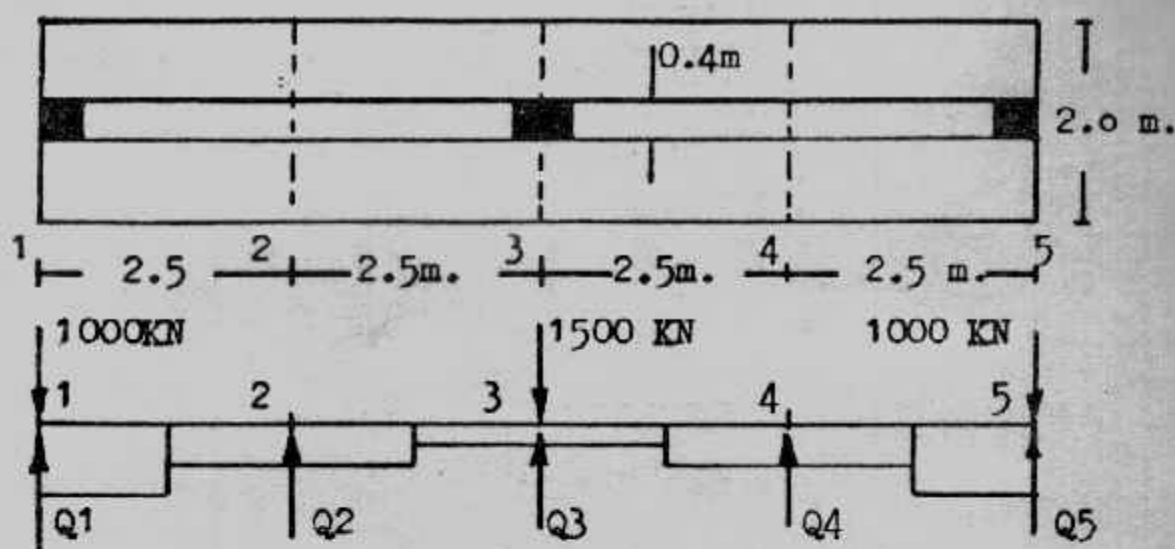
The expressions for the moments at nodal points are

M1 = 0

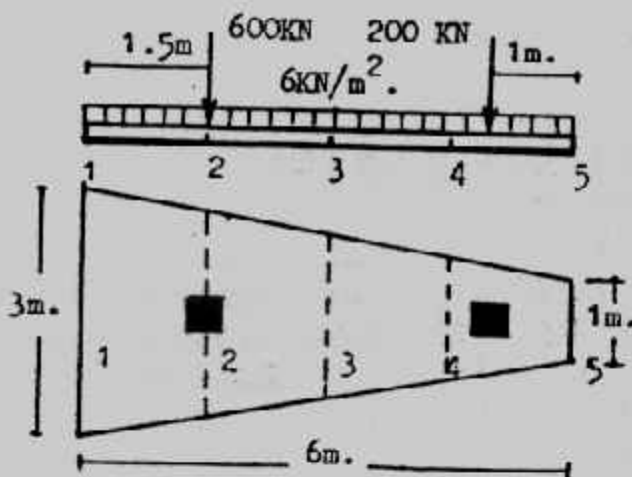
M2 = 2.5 O1 - 2500

$$M3 = 5 O1 + 2.5 O2 - 500$$

$$M4 = 7.5 Q1 + 5 Q2 + 2.5 Q3 = 11250$$



شكل (٧-٨) ، (٥-٨) : مثال (٣٦-٨)



شكل (٣٧-٨) : مثال (٨-٥)

$$M_5 = 0$$

The matrix expression (A) can be formed as :

$$\begin{vmatrix} y_1 \\ y_2 \\ y_3 \\ y_4 \\ y_5 \end{vmatrix} = \left\{ 0.305/2.5 \times 25 \times 1000 \right\} \begin{vmatrix} 3.75 & 1 & 0.5 & 0.33 & 0.25 \\ 1 & 3.75 & 1 & 0.5 & 0.33 \\ 0.5 & 1 & 3.75 & 1 & 0.5 \\ 0.33 & 0.5 & 1 & 3.75 & 1 \\ 0.25 & 0.33 & 0.5 & 1 & 3.75 \end{vmatrix} \cdot \begin{vmatrix} Q_1 \\ Q_2 \\ Q_3 \\ Q_4 \\ Q_5 \end{vmatrix}$$

M_1 and M_5 are both equal to zero and can be removed from the matrix expression (B) provided that the top and bottom rows of the matrix are also removed. The expression then becomes :

$$\begin{vmatrix} M_2/1256 \times 1000 \\ M_3/537 \times 1000 \\ M_4/1256 \times 1000 \end{vmatrix} = \left\{ -1/2.5 \times 2.5 \right\} \begin{vmatrix} 1 & -2 & 1 & 0 & 0 \\ 0 & 1 & -2 & 1 & 0 \\ 0 & 0 & 1 & -2 & 1 \end{vmatrix} \cdot \begin{vmatrix} y_1 \\ y_2 \\ y_3 \\ y_4 \\ y_5 \end{vmatrix}$$

Hence, the expression (c) can be obtained :

$$\begin{vmatrix} M_2/1256 \\ M_3/537 \\ M_4/1256 \end{vmatrix} = -7808 \times 1000 \begin{vmatrix} 1 & -2 & 1 & 0 & 0 \\ 0 & 1 & -2 & 1 & 0 \\ 0 & 0 & 1 & -2 & 1 \end{vmatrix} \cdot \begin{vmatrix} 3.75 & 1 & 0.5 & 0.33 & 0.25 \\ 1 & 3.75 & 1 & 0.5 & 0.33 \\ 0.5 & 1 & 3.75 & 1 & 0.5 \\ 0.33 & 0.5 & 1 & 3.75 & 1 \\ 0.25 & 0.33 & 0.5 & 1 & 3.75 \end{vmatrix} \cdot \begin{vmatrix} Q_1 \\ Q_2 \\ Q_3 \\ Q_4 \\ Q_5 \end{vmatrix}$$

Multiplying out this latest expression gives :

$$\begin{vmatrix} M_2/1256 \\ M_3/537 \\ M_4/1256 \end{vmatrix} = -0.0007808 \begin{vmatrix} 2.25 & -5.5 & 2.25 & 0.33 & 0.09 \\ 0.33 & 2.25 & -5.5 & 2.25 & 0.33 \\ 0.09 & 0.33 & 2.25 & -5.5 & 2.25 \end{vmatrix} \cdot \begin{vmatrix} Q_1 \\ Q_2 \\ Q_3 \\ Q_4 \\ Q_5 \end{vmatrix}$$

Substituting the expressions for M₂, M₃ and M₄ three equations relating the five Q values, are obtained. The remaining required two equations are obtained from:

$$M_5 = 0 = 10Q_1 + 7.5Q_2 + 5Q_3 + 2.5Q_4 - 17500$$

$$\Sigma Y = 0 = Q_1 + Q_2 + Q_3 + Q_4 + Q_5 - 3500$$

Then, the final expression is :

4.702	-5.5	2.25	0.33	0.09	Q ₁	2451.712
4.054	4.112	-5.5	2.25	0.33	Q ₂	3724.416
7.445	5.233	4.702	-5.5	2.25	Q ₃	11032.704
10	7.5	5	2.5	0	Q ₄	17500
1	1	1	1	1	Q ₅	3500

Leading to the values

$$Q_1 = 832.1 \text{ kN}$$

$$\text{Hence : } M_2 = -419.75 \text{ kNm}$$

$$Q_2 = 585.9 \text{ kN}$$

$$M_3 = 352.05 \text{ kNm}$$

$$Q_3 = 663.9 \text{ kN}$$

$$M_4 = 419.75 \text{ kNm}$$

$$Q_4 = 585.9 \text{ kN}$$

$$Q_5 = 832.1 \text{ kN}$$

Obviously much greater accuracy is obtained if the analysis is carried out with the foundation divided into a greater number of sections.

Example (8-7):

Fig. (8-37) shows the details of concrete trapizoidal foundation. The slab is of constant 0.125m. thickness and the subgrade consists of sand with $E_s = 10 \text{ MN/m}^2$, $E_c = 20000 \text{ MN/m}^2$ and $\nu = 0.2$. The contact pressures and deflections are required to be determined.

$$J = (1 - \nu^2) / \pi = 0.305$$

The slab foundation is divided to four sections to give five nodal points, $a = 1.5 \text{ m}$, fig. (8-37) the following data can be obtained.

Nodal point	Width (m)	I (m^4)	EI (kNm^2)
1	B ₁ = 3	I ₁ = 4883×10^{-7}	EI ₁ = 9765
2	B ₂ = 2.5	I ₂ = 4069×10^{-7}	EI ₂ = 8138
3	B ₃ = 2	I ₃ = 3255×10^{-7}	EI ₃ = 6510
4	B ₄ = 1.5	I ₄ = 2441×10^{-7}	EI ₄ = 4883
5	B ₅ = 1	I ₅ = 1628×10^{-7}	EI ₅ = 3255

By considering the loading diagram, along centre line of foundation, and the reactive forces, Q at the nodal points, the expressions for the moments at the nodal points are :

$$M_1 = 0$$

$$M_2 = 1.5 Q_1 - 19.125$$

$$M_3 = 3 Q_1 + 1.5 Q_2 - 972$$

$$M_4 = 4.5 Q_1 + 3 Q_2 + 1.5 Q_3 - 1951.875$$

$$M_5 = 0$$

The expression (4) can be formed as :

$$\begin{vmatrix} y_1 \\ y_2 \\ y_3 \\ y_4 \\ y_5 \end{vmatrix} = \left\{ \frac{0.305}{1.5 \times 10 \times 1000} \right\} \begin{vmatrix} 1.50 & 1 & 0.5 & 0.33 & 0.25 \\ 1 & 1.80 & 1 & 0.5 & 0.33 \\ 0.5 & 1 & 2.25 & 1 & 0.5 \\ 0.33 & 0.5 & 1 & 3.00 & 1 \\ 0.25 & 0.33 & 0.5 & 1 & 4.50 \end{vmatrix} \begin{matrix} Q_1 \\ Q_2 \\ Q_3 \\ Q_4 \\ Q_5 \end{matrix}$$

Removing M_1 and M_5 ($M_1 = M_5 = 0$) from the expression (5), the top and bottom rows of the matrix are also removed.

The expression then becomes :

$$\begin{vmatrix} M_2/8138 \times 1000 \\ M_3/6510 \times 1000 \\ M_4/4883 \times 1000 \end{vmatrix} = \left\{ -\frac{1}{1.5 \times 1.5} \right\} \begin{vmatrix} 1 & -2 & 1 & 0 & 0 \\ 0 & 1 & -2 & 1 & 0 \\ 0 & 0 & 1 & -2 & 1 \end{vmatrix} \begin{matrix} y_1 \\ y_2 \\ y_3 \\ y_4 \\ y_5 \end{matrix}$$

The expression (6) can be obtained as :

$$\begin{vmatrix} M_2/8138 \\ M_3/6510 \\ M_4/4883 \end{vmatrix} = -9037 \times 10^{-6} \begin{vmatrix} 1 & -2 & 1 & 0 & 0 \\ 0 & 1 & -2 & 1 & 0 \\ 0 & 0 & 1 & -2 & 1 \end{vmatrix} \begin{matrix} 3.75 & 1 & 0.5 & 0.33 & 0.25 \\ 1 & 3.75 & 1 & 0.5 & 0.33 \\ 0.5 & 1 & 3.75 & 1 & 0.5 \\ 0.33 & 0.5 & 1 & 3.75 & 1 \\ 0.25 & 0.33 & 0.5 & 1 & 3.75 \end{matrix} \begin{matrix} Q_1 \\ Q_2 \\ Q_3 \\ Q_4 \\ Q_5 \end{matrix}$$

Multiplying out the previous expression gives

$$\begin{vmatrix} M_2/8138 \\ M_3/6510 \\ M_4/4883 \end{vmatrix} = -9037 \times 10^{-6} \begin{vmatrix} 0 & -1.6 & 0.75 & 0.33 & 0.09 \\ 0.33 & 0.30 & -2.5 & 1.50 & 0.33 \\ 0.09 & 0.33 & 0.75 & -4.0 & 3.00 \end{vmatrix} \begin{matrix} Q_1 \\ Q_2 \\ Q_3 \\ Q_4 \\ Q_5 \end{matrix}$$

By substituting the expressions for M_2 , M_3 and M_4 three equations relating the five Q values, are obtained. The remaining required two equations are obtained from $M_5 = 0$ and $\Sigma Y = 0$ as follows :

$$M_5 = 0 = 6 Q_1 + 4.5 Q_2 + 3 Q_3 + 1.5 Q_4 - 3152$$

$$\Sigma Y = 0 = Q_1 + Q_2 + Q_3 + Q_4 + Q_5$$

The final expression is :

$$\begin{vmatrix} 20.408 & -1.6 & 0.75 & 0.33 & 0.09 \\ 51.35 & 25.81 & -2.5 & 1.50 & 0.33 \\ 102 & 68.357 & 34.764 & -4.0 & 3.00 \\ 6 & 4.5 & 3 & 1.5 & 0 \\ 1 & 1 & 1 & 1 & 1 \end{vmatrix} \begin{matrix} Q_1 \\ Q_2 \\ Q_3 \\ Q_4 \\ Q_5 \end{matrix} = \begin{matrix} 260.204 \\ 16530 \\ 44260.204 \\ 31520 \\ 872 \end{matrix}$$

Leading to the values :

$$Q_1 = 49.8 \text{ kN}, Q_2 = 539.78 \text{ kN}, Q_3 = 74.36 \text{ kN}$$

$$Q_4 = 133.9 \text{ kN}, Q_5 = 74.12 \text{ kN}$$

Substitution these results in expression (4) gives :

$$y_1 = 14.5 \text{ mm}, y_2 = 24.1 \text{ mm}, Y_3 = 18.33 \text{ mm}$$

$$y_4 = 16.98 \text{ mm}, y_5 = 14.11 \text{ mm}$$

Accuracy is increased if the beam is divided into a larger number of sections.

Example (8-8) :

Figure (8-36) shows three different reinforced concrete foundations (a), (b) and (c) respect to the moment of inertia. All these foundations are solved by using the present method for $E_s = 10 \text{ MN/m}^2$ and $E_u = 25 \text{ MN/m}^2$, $E_c = 20000 \text{ MN/m}^2$. The procedure of analysis was previously illustrated in example (8-5). The results are listed as follows :

Foundation	E_s MN/m^2	$Q1, Q5$ kN	$Q2, Q4$ kN	$Q3$ kN	$M2, M4$ kNm	$M3$ kNm	$y1, y5$ mm	$y2, y4$ mm	$y3$ mm
(a)	10	852.2	530.3	734.9	-369.5	586.9	2.10	2.00	2.27
(a)	25	832.1	585.9	663.9	-419.8	352.1	2.19	2.08	2.19
(b)	10	839.3	525.0	771.29	-402.0	509.0	2.17	2.10	2.33
(b)	25	799.6	584.9	730.8	-501.0	460.3	2.12	2.09	2.12
(c)	10	841.9	526.1	764.0	-395.3	524.7	2.11	2.01	2.30
(c)	25	823.5	585.7	681.7	-441.3	581.8	2.15	2.08	2.22
(c)	*	862.5	717.5	582.5	-845.0	291.0	6.90	2.87	2.33
• Hetenyi solution, $k_s = 5000 \text{ kN/m}^3$									

Comparison the tabulated results indicates :

- The bending moment distribution for foundation (b) seems much better than that obtained for foundation (a).
- The positive bending moment increases as well as the negative bending moment decreases for the increasing in the value of E_s .
- Both foundations (a) and (c), almost have the same results for a constant value of E_s .
- For foundation (c), the solution obtained in this study indicates better bending moment distribution than that obtained by the Hetenyi solution.

طريقة العناصر المحدودة لكرمة على تربة تأسيس مرنة :

Finite Element Solution of Beam on Elastic Foundation :

طريقة العناصر من اكفاء الطرق لحل كرمة (أساس) على تربة تأسيس مرنة بدخلان

جميع مؤثرات التربة والأساس . وعند أي نقطة عنقودية شكل (٢٨-٨) فإنه يمكن ربط

القوى الخارجية P_i بالقوى الداخلية F_i باستخدام معامل ثابت A حيث :

$$P_i = A_i F_i$$

ولمجموعه من النقاط العنقودية لأى منشأ وباستخدام المصفوفات حيث P , F مصفوفات

عمودية، A مصفوفة مستطيلة (سوف نرفع من أسماء المصفوفات الأقواس []) تصبح

المعادلة :

$$P = AF \quad \dots \dots \dots \quad (a)$$

وترتبط الحركة الداخلية Internal deformation لعناصر المنشأ عند النقطة العقدية node

بحركة النقطة الخارجية External node displacement بالعلاقة :

$$e = BX$$

وحيث إن B هي المصفوفة الانتقالية للمصفوفة A أي

$$B = A^T = \text{the transpose of the matrix } A$$

$$e = A^T X \quad \dots \dots \dots \quad (b)$$

وترتبط القوى الداخلية للعنصر بالإزاحات الداخلية للعنصر :

$$F = S e \quad \dots \dots \dots \quad (c)$$

والمعادلات $c_{b,a}$ هي المعادلات الأساسية لطريقة العناصر المحدودة ويمكن

ربطها معاً

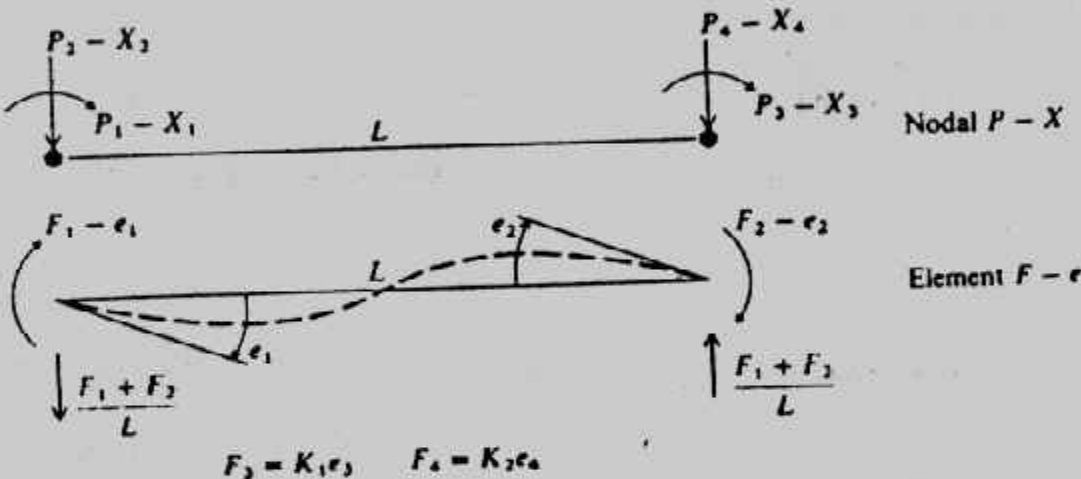
$$F = S e = S A^T X$$

$$P = AF = ASA^T X$$

ويمكن إيجاد المجاهيل X باستخدام معكوس المصفوفة المربعة ASA^T

$$X = [ASA^T]^{-1} P$$

ثم بالرجوع يمكن إيجاد القوى الداخلية للعنصر الضرورية للتصميم . وعلى ذلك فهذه الطريقة تعطى بيانات التصميم وبيانات الحركة (الإزاحة) .



شكل (٣٨-٨) : قوى العنصر الداخلية وقوى النقطة الخارجية
في طريقة العناصر المحدودة .

المصفوفة (A) :

بين شكل (٣٨-٨) كمرة مرتكزة على مجموعة من الياياات بثابت K وهذه الكمرة عليها أحصار خارجية من العزوم المركزية في نقطة P_1 إلى P_6 مقابلة دوران النقطة X_1 إلى X_6 وقوى خارجية رأسية P_7 إلى P_{12} مقابل انتقال رأس X_{12} إلى X_{11} ويلاحظ أن P يمكن أن تكون قوى رأسية أو عزم X يمكن أن تكون دوران أو انتقال . والكرة المبينة بالشكل مقسمة إلى خمس عناصر محدودة بست نقاط عقدية وقوى الداخلية موجودة عن كل نقطة . ويلاحظ أن F_1 إلى F_{10} العزوم الداخلي لنهايات العناصر ، F_{11} إلى F_{16} هي قوى الياياات الداخلية . كذلك e_1 إلى e_{10} هي دوران نهايات العناصر ، e_{11} إلى e_{16} هي اضغاط الياياات . وعند نقطة ١

$$P_1 - F_1 = 0$$

$$P_1 = F_1$$

$$P_7 - F_1/a - F_2/a + F_{11} = 0$$

$$P_7 = F_1/a + F_2/a - F_{11}$$

و عند النقطة ٢

$$P_2 = F_2 + F_3$$

ولتحقيق مجموع القوى الرأسية يساوى صفر ا

$$P_8 = -F_1/a - F_2/a + F_3/a + F_4/a - F_{12}$$

و عند نقطة ٦

$$P_6 = F_{10}$$

ومجموع القوى الرأسية

$$P_{12} = -F_9/a - F_{10}/a - F_{16}$$

ويأخذ عناصر أكثر عدداً فلن المصفوفات سوف يزيد حجمها . وحجم المصفوفة هنا يكون

$$N = \text{number of elements} = 5$$

$$P = 2N + 2 = 12 = NP$$

$$F = 3N + 1 = 16 = NF$$

ونكون المصفوفة بحجم $NP \times NF$ ، شكل (٤٠-٨)

المصفوفة B :

إذا دارت النقطة ١ بقيمة $X = 1 \text{ rad}$. فإن ياي التربة لا يستطيع مقاومة الدوران

وأن e تدور كالتى:

$$e_1 = X_1 + X_7/a - X_8/a$$

وبالمثل :

$$e_2 = X_2 + X_7/a - X_8/a$$

$$e_3 = X_2 + X_8/a - X_9/a$$

$$e_4 = X_3 + X_8/a - X_9/a$$

والحركات deformations الداخلية للبازى e_{11}, e_{12}, e_{13} تكون :

$$e_{11} = -X_7$$

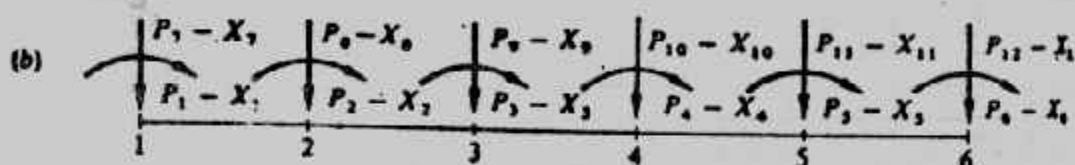
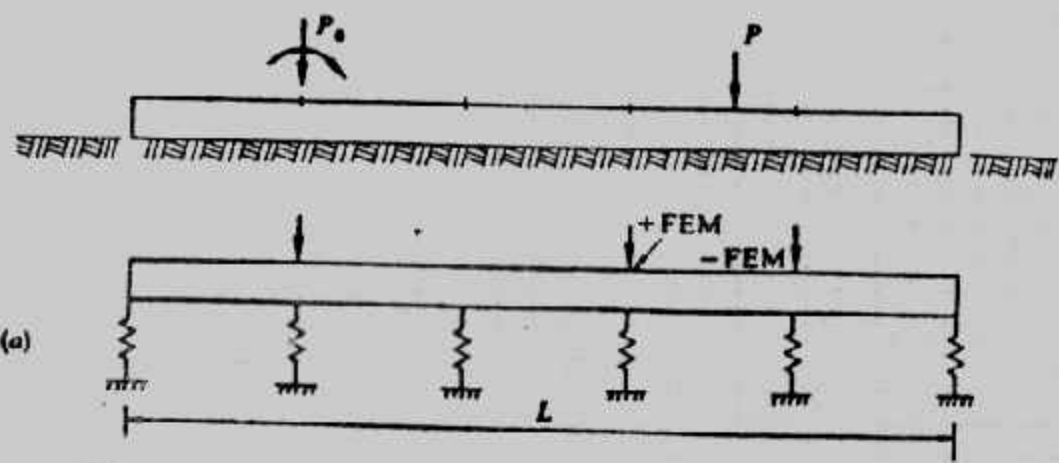
$$e_{12} = -X_8$$

.....

والمصفوفة B كاملة مبنية في شكل (٤٠-٨) مع ملاحظة أن :

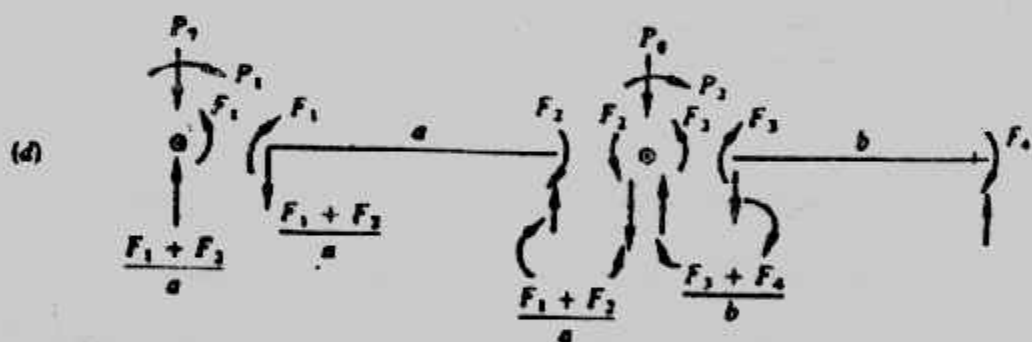
$$B = A^T$$

والأكمبيوتر يبرمج لتعيين (I, J) مباشرة من $A(I, J)$



$$\begin{aligned}
 & F_1 - e_1, F_2 - e_2, F_3 - e_3, F_4 - e_4, F_5 - e_5, F_6 - e_6, F_7 - e_7, F_8 - e_8, F_9 - e_9, F_{10} - e_{10} \\
 & F_{11} - e_{11}, F_{12} - e_{12}, F_{13} - e_{13}, F_{14} - e_{14}, F_{15} - e_{15}, F_{16} - e_{16}
 \end{aligned}$$

$a = b = c = d = e = \text{const.} = L/5$



شكل (٤١-٨) حل الكمرة على قوسي مرن

أ - مبدأ وينكلر ب - نظام P-X

د - تكوين المصفوفة A بين F-e ج - نظام F-e

مصفوفة S :

بالرجوع لمبدأ الكمرة المرافق Conjugate-beam principle فى شكل (٤١-٨)

$$\frac{F_1 L}{3EI} - \frac{F_2 L}{6EI} = e_1 \quad \text{يتبيّن أن } e_1, e_2, \text{ هما :}$$

$$-\frac{F_1 L}{6EI} + \frac{F_2 L}{3EI} = e_2$$

	1	2	3	4	5	6	7	8	9	10	11	12	13	14	15	16
1	1															
2		1	1													
3			1	1												
4				1	1											
5						1	1									
6								1								
7	Z	Z							-1							
8	-Z	-Z	Z	Z						-1						
9		-Z	-Z	Z	Z						-1					
10			-Z	-Z	Z	Z						-1				
11				-Z	-Z	Z	Z						-1			
12					-Z	-Z								-1		

(a)

	1	2	3	4	5	6	7	8	9	10	11	12	13	14	15	16
1	1															
2		1														
3			1													
4				1												
5					1											
6						1										
7							1									
8								1								
9									1							
10										1						
11											1					
12												1				
13													1			
14														-1		
15														-1		
16														-1		

Segment length, $a = \text{constant}$

$$Z = \frac{1}{a}$$

$$A = \frac{4EI}{a}$$

$$B = \frac{2EI}{a}$$

	1	2	3	4	5	6	7	8	9	10	11	12	13	14	15	16
1	A	B														
2	B	A														
3		A	B													
4		B	A													
5			A	B												
6			B	A												
7				A	B											
8				B	A											
9					A	B										
10					B	A										
11						K ₁										
12							K ₁									
13								K ₂								
14									K ₂							
15										K ₃						
16											K ₃					

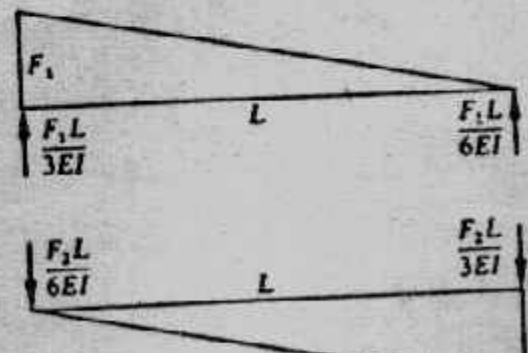
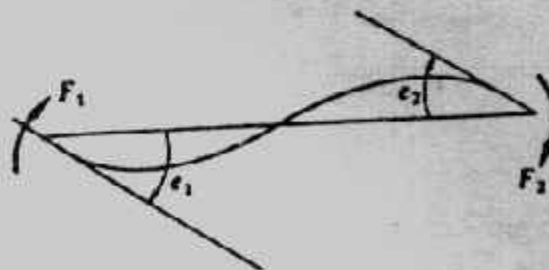
(c)

	F	1	2
1	A	B	
2	B	A	
3		A	B
4		B	A
5			A
6			B
7			
8			
9			
10			
11			
12			
13			
14			
15			
16			

(d)

شكل (٤٠-٨) مصفوفات طريقة العناصر المحدودة

- أ - المصفوفة الاستاتيكية $A = A^T$
- ب - مصفوفة الإزاحات S
- ج - مصفوفة القساوة F



شكل (٤١-٨) مبدأ الكمرة المرافقنة

وبحل المعادلين ١.١ لأوا شريحة في شكل (٣٩-٨) حيث :

$$F_1 = \frac{4EI}{L} e_1 + \frac{2EI}{L} e_2$$

$$F_2 = \frac{2EI}{L} e_1 + \frac{4EI}{L} e_2$$

وبالمثل

$$F_3 = \frac{4EI}{b} e_3 + \frac{2EI}{b} e_4$$

$$F_4 = \frac{2EI}{b} e_3 + \frac{4EI}{b} e_4$$

.....

والقوة F_{11} تكون

$$F_{11} = K_1 e_{11}$$

حيث الرمز K يستخدم هنا من حركة الياي :

$$F = K\delta$$

ويعين للتربة (الياي) من معامل رد فعل التربة K وعرض الكمرة B

$$k_1 = aBk_s$$

$$k_2 = (a+b)/2 Bk_s$$

$$k_6 = eBk_s$$

and if $a = b = c \dots = e = h$,

$$k_s = Bhk_s$$

والمصفوفة S كاملة مبينة في شكل (٤٠-٨) ويمكن كتابتها في عمودين فقط

للتخفيض عن ذاكرة الكمبيوتر .

المصفوفة P :

P_i كما هو في شكل (٣٩-٨) هي القوى أو العزوم الخارجية المؤثرة على النقط

وامتداداً للمعادلات من a إلى h نجد :

$$P_1 = F_1 + 0F_2 + 0F_3 + \dots + 0F_{16}$$

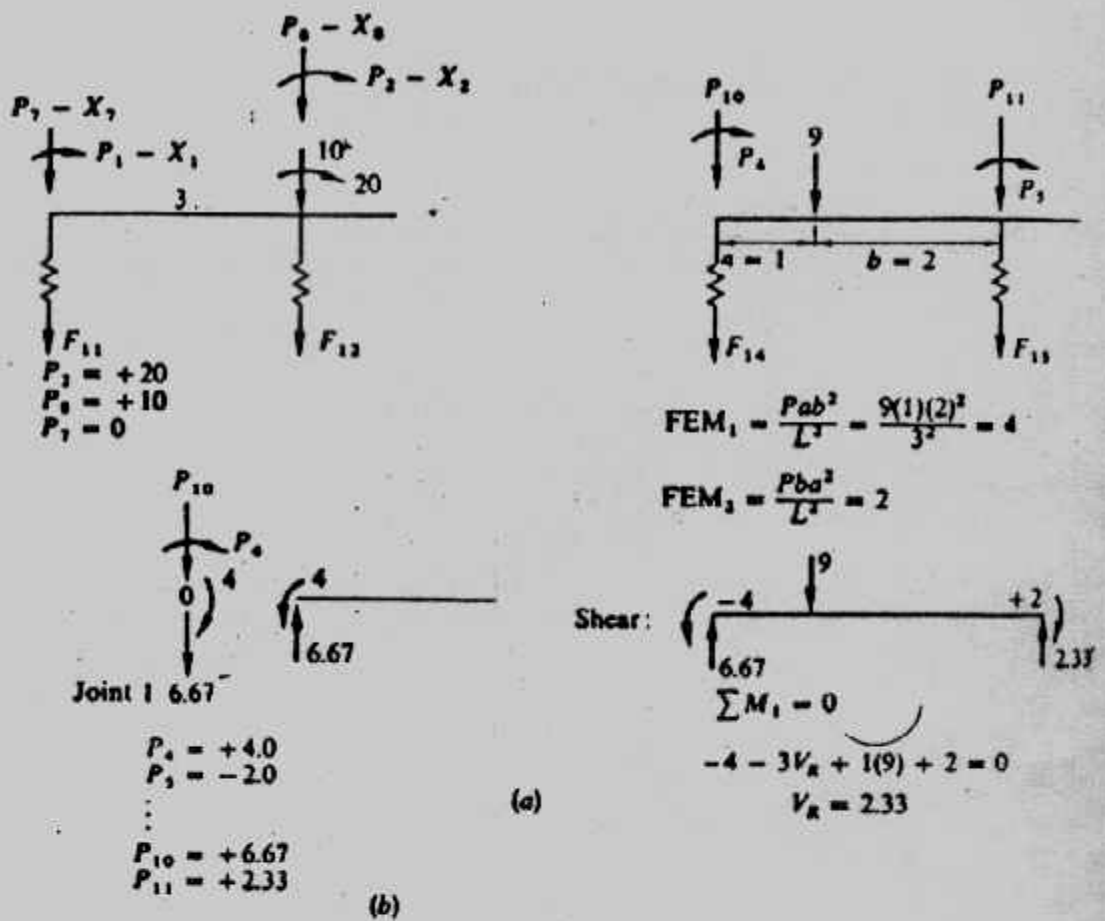
$$P_2 = 0F_1 + F_2 + F_3 + \dots + 0F_{16}$$

$$P_3 = 0F_1 + 0F_2 + 0F_3 + F_4 + F_5 + \dots + 0F_{16}$$

$$P_7 = F_1/a + F_2/a + \dots - F_{11}/a + \dots + 0F_{16}$$

$$P_{12} = 0F_1 + 0F_2 \dots - F_9/e - F_{10}/e + \dots - F_{16}$$

ويبيّن شكل (٤٢-٨) مثالين لحساب القوى في المصفوفة P



شكل (٤-٨) العلاقة بين الأحمال الخارجية والمصفوفة P

برنامـج الكمبيوتر للعناصر المحدودة لـكـمرة عـلـى تـرـبة تـأـسـيس مـرنـة :

خطوات حل كـمرة عـلـى تـرـبة تـأـسـيس مـرنـة باـسـتـخـاد العـنـاـصـر المـحـدـودـة يـمـكـن تـلـخـيـصـها فـي الـآـتـي، شـكـل (٤٣-٨)، وـشـكـل (٤٤-٨) :

١- يـعـمل رـسـم لـنـظـام الأـسـاس من حـيـث F - e , P - X ، كـما فـي شـكـل (٣٩-٨)، شـكـل (٤٣-٨) .

٢- تـكـوـين المـصـفـوـفة A وـبـالـتـالـي A^T .

٣- تـكـوـين المـصـفـوـفة S بـعـمـودـين .

٤- تـكـوـين المـصـفـوـفة SA^T وـتـخـزـينـها لـإـيجـاد :

$$ASA^T = A \times SA^T$$

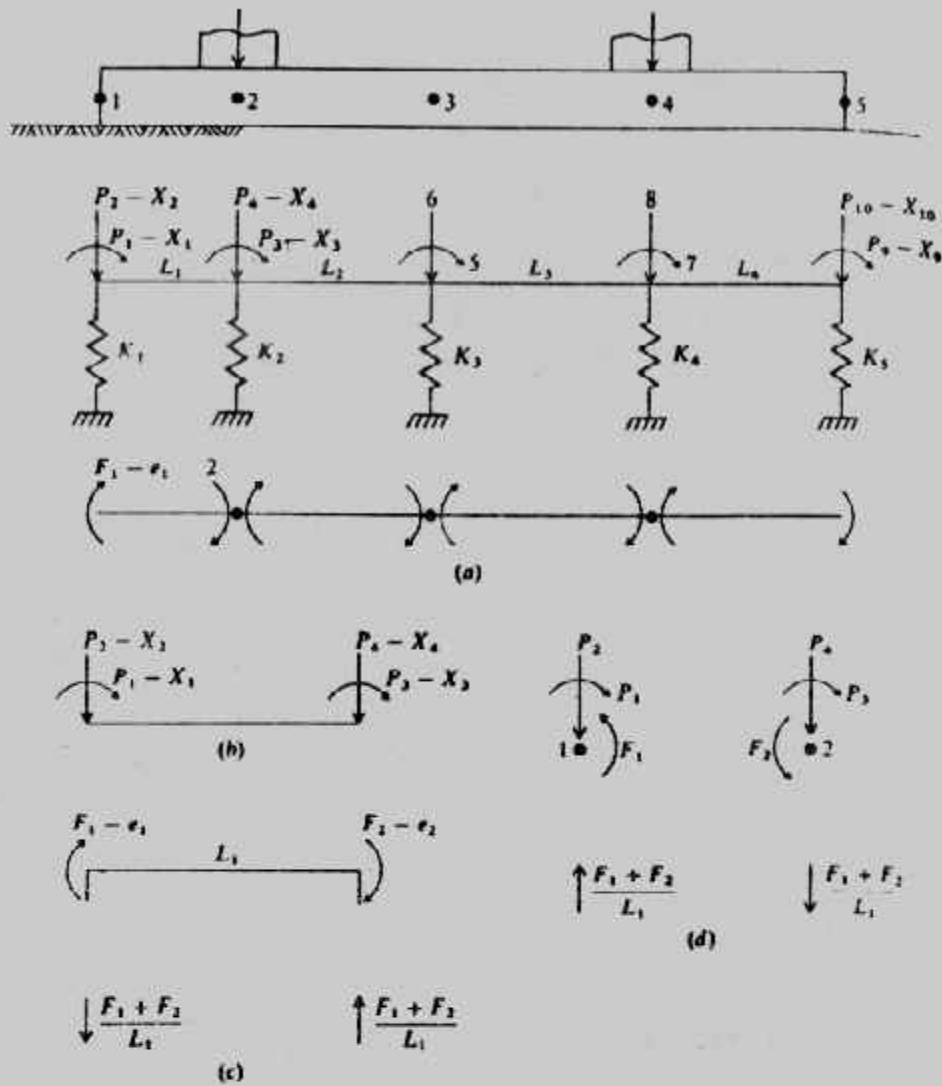
وـبـعـد إـيجـاد معـكـوس ASA^T تـحـسـب مـصـفـوـفة F :

$$F = SA^T \times X$$

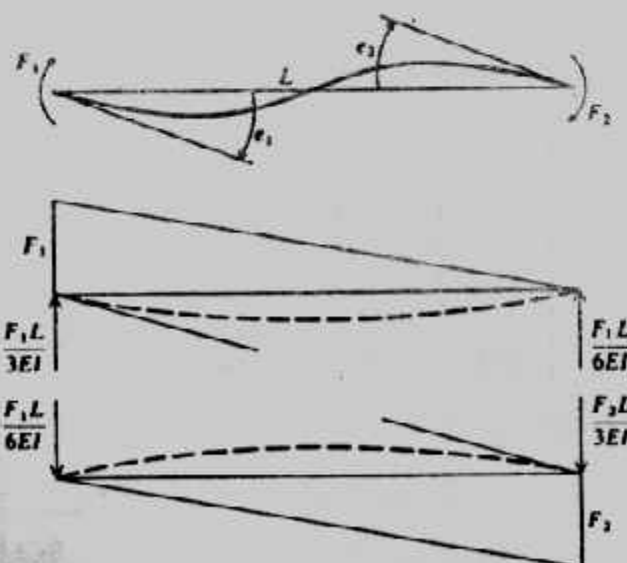
مع مـلاـحظـة أـن مـصـفـوـفة ASA^T دـائـما ذات حـجم $2N$ + 2 حـيـث N عـدـد شـرـائـعـ الكـمـرـة .

٦- حـسـاب إـزاـحة النـقـطـة العـقـدـية X :

$$X = [ASA^T]^{-1} P$$



Conjugate-beam relationships
between end moments and beam rotations.



شكل (٤-٣) : خطوات الحل بالعناصر المحدودة .

$$F$$

	1	2
1	1	0
$EA =$	2	$1/L$
		$1/L$
3	0	1
4	$-1/L$	$-1/L$

$$e$$

	1	2
1	$\frac{4EI}{L}$	$\frac{2EI}{L}$
$ES =$	2	$\frac{2EI}{L}$
		$\frac{4EI}{L}$

$$X$$

	1	2	3	4
$EA^T =$	1	1	$1/L$	0
	2	0	$1/L$	1

$$e$$

	1	2
$ES =$	1	$\frac{4EI}{L}$
	2	$\frac{2EI}{L}$

--->

	$\frac{4EI}{L}$	$\frac{6EI}{L^2}$	$\frac{2EI}{L}$	$\frac{-6EI}{L^2}$
$ESA^T =$	$\frac{2EI}{L}$	$\frac{6EI}{L^2}$	$\frac{4EI}{L}$	$\frac{-6EI}{L^2}$

↓

	1	0
$EA =$	$1/L$	$1/L$
	0	1
	$-1/L$	$-1/L$

----->

	$\frac{4EI}{L}$	$\frac{6EI}{L^2}$	$\frac{2EI}{L}$	$\frac{-6EI}{L^2}$
$EASA^T =$	$\frac{6EI}{L^2}$	$\frac{12EI}{L^3} + K_1$	$\frac{6EI}{L^2}$	$\frac{-12EI}{L^3}$
	$\frac{2EI}{L}$	$\frac{6EI}{L^2}$	$\frac{4EI}{L^2}$	$\frac{-6EI}{L^2}$
	$\frac{-6EI}{L^2}$	$\frac{-12EI}{L^3}$	$\frac{-6EI}{L^2}$	$\frac{+12EI}{L^3} + K_2$

شكل (٤-٨) : مصفوفات العناصر المحدودة .

مع ملاحظة أن X قد تكون دوران أو إزاحات :

٧- عمل تأكيد لعناصر الانتقال في مصفوفة X إلى الصفر أو إلى سالب أو قيم في حدود

الحركة الغير خطية nonlinear deflection :

- لقيم الانتقال السالبة والصفرية، الصفر خارج قيم K في مصفوفة S .

- لقيم X الأكبر من قيم X_{max} المعينة والتي تمثل حركة التربة في المرحلة الخطية Linear يتم ضرب قيم K في المصفوفة S للحصول على القوى :

$$G_i = S_i \times X_{max}$$

٨- يتم تطبيق قوى G على النقط العقدية كقوة P سالبة في مصفوفة P لإيجاد P عند النقط:

$$P_i + G_i = PM_i$$

٩- إعادة تكوين مصفوفة S المعدلة، X, ASA^T, SA^T

١٠- تكرار الخطوات ٨، ٩ حتى الوصول إلى :

- نفس العدد أو أقل للنقط العقدية في الحل الجاري يكون عندها حركة deflection متسارع

الصفر أو سالب أو أكبر من الناتج في الحل السابق مباشرة .

- أو تتفيد عدد كاف من تكرار الحلول .

وقد أعطى البرنامج التصنيفي للكمبيوتر في العديد من المراجع منها بولس ١٩٧٤ ،

كما أن البرنامج الجاهز أصبح متاحا الآن ضمن برامج الكمبيوتر في الأسواق ١٩٨٨

تصميم الأساسات المشتركة ككمرا على تربة مرنة بالعناصر المحدودة :

تصميم الأساسات ككمرا على تربة مرنة تستلزم مبدئيا تصميماها بالطريقة التقليدية Conventional (Rigid) لإيجاد السمك اللازم للقص والعرض والمساحة الملائمة لجهد التربة المسموح به وباستخدام هذه الأبعاد مع k_a يتم الدخول في تصميم الأساس ككمرا على تربة مرنة بطريقة العناصر المحدودة .

عزم الانحناء للأساسات ككمرا على تربة مرنة يكون دائما أقل من الناتج من الطريقة التقليدية ولذلك فهو يحتاج إلى حديد أكثر اقتصادا .

ويُنصح بزيادة عزم الانحناء بقيمة لا تقل عن ١٠ % لأن العزم المحسوب عادة ما يكون أقل من المقاس فعليا . وهذه الزيادة في العزم تستلزم زيادة طفيفة في حديد التسليح ومع ذلك يظل الحديد المستخدم في هذه الطريقة أقل من المستخدم في الطريقة التقليدية . أما الحديد في الاتجاه العرضي فيتم حسابه كما في الطريقة التقليدية .

Example : (8-9):

Referring to Fig. (8-45) obtain a finite -element solution.

Solution :

Beam depth = 0.508 m, Beam width = 3.048m

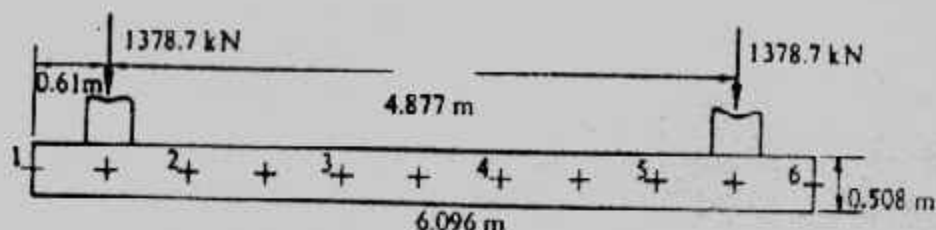
$$k_s = 7540.32 \text{ kN/m}^3$$

$$P = 1378.7 \text{ kN}$$

$$E = 22408750 \text{ kN/m}^2$$

Divisions = 10 :

The output results are shown in Fig. (8-46) and Fig. (8-47).



شكل (٤٥-٨) : مثال (٤٥-٨)

Example (8-10):

Given the general footing data shown in Fig. (8-48). Assume the loads are factored and as might be obtained (without end overhang) from some type of tank structure where the loads are from the walls. Take $k_s = LF \times k_s = 1.571 \times 14000 = 220000 \text{ kN/m}^3$ obtain the finite element solution.

Solution :

Comments based on Fig. (8-48)

- 1- $\Sigma F_v = 0$ (3377.7 versus 3375) within computer round-off, single precision, and seven digit.
- 2- Far end of 9 and near end of 10 : $468.8 - 549 \approx 81$ versus 81 kN m applied.
- 3- Far end of 12 should be 0.00 (versus 0.000).
- 4- If largest soil pressure $259.79/LF = 259.8/1.571 = 165.4 < q_a$ this footing would be satisfactory.
- 5- Largest translation = 0.01181 m = 11.8 mm (at node 1)
largest rotation = -0.000251 rad.

Selected additional output interpretation and checks are shown on Fig. (8-49). The output results are shown in Fig. (8-50).

تصميم أساسات اللبسة : Mat Foundations

توجد عدة طرق لتصميم أساسات اللبسة منها :

١- الطرق التقريرية : وفيها تقسم اللبسة إلى شرائح طولية وعرضية وتصمم كل شريحة على أنها أساس مشترك أو مستمر . وتشتمل هذه الطرق حينما تكون الأعمدة لها بحور وأحمال متساوية أو متقاربة وتستخدم أيضاً هذه الطرق حينما تكون اللبسة عالية الجسامه . ولقد سبق تقديم هذه الطرق في الباب السابق .

٢- طريقة المرونة التقريرية Approximate Flexible Method وفي هذه الطريقة يفترض أن التربة عبارة عن عدد غير محدود من البيانات المرنة (مبدأ وينكلر) .

BEAM ON ELASTIC FOUNDATION BY DISPLACEMENT METHOD

BEAM LENGTH = 6.10 M
 BEAM WIDTH = 3.05 M
 BEAM DEPTH = 0.5080 M
 BEAM MOD OF ELAS = 22408736. KN/SQ M
 MOD. OF SUBGRADE REAC. = 7540. KN/CU M
 THE MAX VALUE OF LINEAR SOIL DEF'L = 3.81 CM
 THE UNIT WEIGHT OF BEAM = 23,600 KN/CU M

SEG NO		MOMENT OF INERTIA(M **4)	SEG LENGTH,M
SEG NO	1	0.033298	0.6096
SEG NO	2	0.033298	0.6096
SEG NO	3	0.033298	0.6096
SEG NO	4	0.033298	0.6096
SEG NO	5	0.033298	0.6096
SEG NO	6	0.033298	0.6096
SEG NO	7	0.033298	0.6096
SEG NO	8	0.033298	0.6096
SEG NO	9	0.033298	0.6096
SEG NO	10	0.033298	0.6096

COL NODE POINT = 2 P = 1378.70 KN COL MOMENT = 0.0 KN-M

COL NODE POINT = 10 P = 1378.70 KN COL MOMENT = 0.0 KN-M

P-MATRIX	BM WT MATRIX	SOIL MATRIX	SUM = PM(1)
1 C.0	0.0	0.0	0.0
2 C.0	0.0	0.0	0.0
3 C.0	0.0	0.0	0.0
4 C.0	0.0	0.0	0.0
5 C.0	0.0	0.0	0.0
6 C.0	0.0	0.0	0.0
7 C.0	0.0	0.0	0.0
8 C.0	0.0	0.0	0.0
9 C.0	0.0	0.0	0.0
10 C.0	0.0	0.0	0.0
11 C.0	0.0	0.0	0.0
12 C.0	0.0	0.0	0.0
13 1378.700	11.138	0.0	11.138
14 C.0	22.276	0.0	1400.976
15 C.0	22.276	0.0	22.276
16 C.0	22.276	0.0	22.276
17 C.0	22.276	0.0	22.276
18 C.0	22.276	0.0	22.276
19 C.0	22.276	0.0	22.276
20 C.0	22.276	0.0	22.276
21 1378.700	22.276	0.0	22.276
22 0.0	11.138	0.0	1400.976

THE INITIAL STIFFNESS MATRIX IN 2-COLS IS

1	4896173.00	2448085.00
2	2448085.00	4896173.00
3	4896173.00	2448085.00
4	2448085.00	4896173.00
5	4896173.00	2448085.00
6	2448085.00	4896173.00
7	4896173.00	2448085.00
8	2448085.00	4896173.00
9	4896173.00	2448085.00
10	2448085.00	4896173.00
11	4896173.00	2448085.00
12	2448085.00	4896173.00
13	4896173.00	2448085.00
14	2448085.00	4896173.00
15	4896173.00	2448085.00
16	2448085.00	4896173.00
17	4896173.00	2448085.00
18	2448085.00	4896173.00
19	4896173.00	2448085.00
20	2448085.00	4896173.00
21	14010.36	0.0
22	14010.36	0.0
23	14010.36	0.0
24	14010.36	0.0
25	14010.36	0.0
26	14010.36	0.0
27	14010.36	0.0
28	14010.36	0.0
29	14010.36	0.0
30	14010.36	0.0
31	14010.36	0.0

شكل (٤٦-٨) : مثال (٩-٨)

THE LOAD MATRIX
IN OR EN-M1 IS

THE JOINT DEFLECTIONS
(IN OR RADIANS) ARE

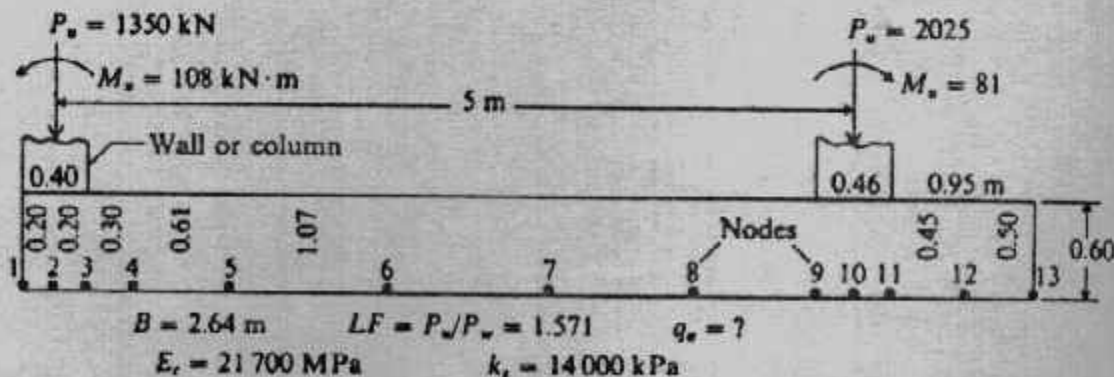
THE FORCE MATRIX (EN = THE EN-MI) IS

LOAD	DIR.	1	0.0	JOINT	DIR.	1	-0.00178004	MOMENT	1	0.2500	Round-off
LOAD	DIR.	2	0.0	JOINT	DIR.	2	-0.00185246	MOMENT	2	-177.0625	
LOAD	DIR.	3	0.0	JOINT	DIR.	3	-0.00179212	MOMENT	3	175.6250	
LOAD	DIR.	4	0.0	JOINT	DIR.	4	-0.00138393	MOMENT	4	323.3125	
LOAD	DIR.	5	0.0	JOINT	DIR.	5	-0.00074858	MOMENT	5	-325.2500	
LOAD	DIR.	6	0.0	JOINT	DIR.	6	-0.000000123	MOMENT	6	674.0625	
LOAD	DIR.	7	0.0	JOINT	DIR.	7	0.0000174616	MOMENT	7	-672.1072	
LOAD	DIR.	8	0.0	JOINT	DIR.	8	0.000138182	MOMENT	8	880.1875	
LOAD	DIR.	9	0.0	JOINT	DIR.	9	0.000179049	MOMENT	9	-879.9375	
LOAD	DIR.	10	0.0	JOINT	DIR.	10	0.0001778176	MOMENT	10	949.6250	
LOAD	DIR.	11	0.0	JOINT	DIR.	11	0.0002057130	MOMENT	11	-948.4375	
LOAD	DIR.	12	1378.7000	JOINT	DIR.	12	0.0002047163	MOMENT	12	881.3125	
LOAD	DIR.	13	0.0	JOINT	DIR.	13	0.0002034008	MOMENT	13	-880.0000	
LOAD	DIR.	14	0.0	JOINT	DIR.	14	0.0002035753	MOMENT	14	675.5000	
LOAD	DIR.	15	0.0	JOINT	DIR.	15	0.0001769904	MOMENT	15	-675.0625	
LOAD	DIR.	16	0.0	JOINT	DIR.	16	0.0001746760	MOMENT	16	325.3750	
LOAD	DIR.	17	0.0	JOINT	DIR.	17	0.0001769743	MOMENT	17	-325.1250	
LOAD	DIR.	18	0.0	JOINT	DIR.	18	0.0001825426	MOMENT	18	175.0000	
LOAD	DIR.	19	0.0	JOINT	DIR.	19	0.0001825426	MOMENT	19	-177.3750	
LOAD	DIR.	20	0.0	JOINT	DIR.	20	0.0001933599	MOMENT	20	0.2500	
LOAD	DIR.	21	1378.7000	JOINT	DIR.	21	0.0002046877	FORCE	21	-302.2244	
LOAD	DIR.	22	0.0	JOINT	DIR.	22	0.0002150578	FORCE	22	256.8152	
								FORCE	23	-270.9612	
								FORCE	24	-257.1056	
								FORCE	25	-247.9699	
								FORCE	26	-244.7273	
								FORCE	27	-247.9474	
								FORCE	28	-257.1538	
								FORCE	29	-270.9041	
								FORCE	30	-266.7460	
								FORCE	31	-302.1443	

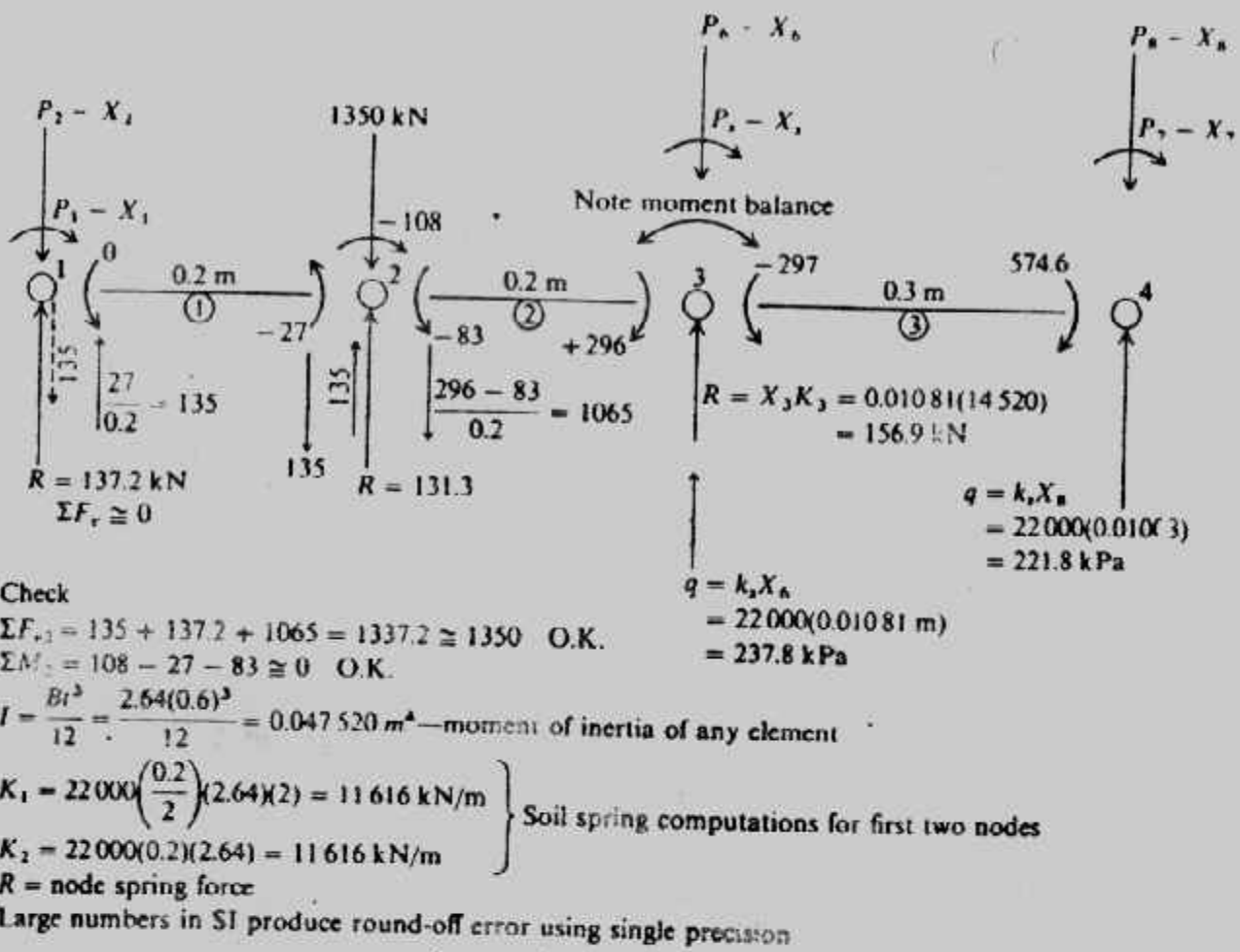
$$\text{Checking: } @ M_4 = 548.44 / 1.356 = 679.4 \text{ (699.2 E5 - 2.3)} \\ @ IF_4 = 1974.8 / 4.4475 = 448.9^{\circ} (448.4^{\circ})$$

DEAR AT EACH SEGMENT, KN	BEND. MOMENT AT EACH ORDINATE KN-M (ORIG. FEMS ADDED)	SOIL REACTION AT EA. ORD., KN	SOIL PRESSURE KN/SQ M
-291.0864	1	0.2500	162.050
-823.0742	2	175.6250	145.363
-574.3889	3	-325.2500	145.830
-339.4692	4	-675.1875	138.422
-113.7753	5	-879.9375	133.456
100.6761	6	-940.4375	131.711
334.3417	7	-880.6250	133.444
569.2256	8	-675.0625	138.399
817.8238	9	-325.1250	145.709
-296.3755	10	177.3750	154.328
	11	-0.2500	162.011
SUM OF SOIL REACTIONS =		2974.7891	(2980.151)

شکل (۴۷-۸) : مثال (۹-۸)



• (٤٨-٨) : مثال (١٠-٨) شکل



٣- طرق العناصر الممیزة Discrete Element Methods : حيث تقسم اللبسة إلى عناصر وتضم هذه الطرق :

أ- طريقة الفروق المحدودة.

ب- طريقة العناصر المحدودة.

ج- طريقة الشبكة المحدودة.

وسوف نقدم في هذا الباب فكرة عن هذه الطرق علما بأن هذه الطرق تستلزم المام القارئ بالمصفوفات والكمبيوتر وطرق التحليل العددي.

تصميم اللبسة بطريقة المرونة التقريرية :

Design of Mat by Approximate Flexible Method :

تعتمد هذه الطريقة على مبدأ وينكلر Winkler الذي يفترض أن التربة عبارة عن

عدد غير محدد من البايات المرنة ذات ثابت مرنة هو معامل رد فعل التربة K . وقد

اقتصرت هذه الطريقة معهد الخرسانة الأمريكية ACI . والتصميم أساساً هنا يعتمد على نظرية الأسطح Plates theory تحت حمل واحد . وإذا وجد أكثر من حمل فيستخدم مبدأ التجميع Super-position لتعيين العزم والقص والهبوط لأى نقطة . وتلخص هذه الطريقة في الخطوات الآتية :

١ - حساب عمق اللبسة استناداً على التأثير الثنائي Two-way action للعمود الحرج (الركن أو الجانب أو الداخلي) .

٢ - حساب جسامة بلطة اللبسة :

$$D = \frac{E_c t^3}{12(1 - \mu_c^2)} \quad (\text{units of moment})$$

E_c = Young's modulus of foundation material

μ_c = poisson's ratio of foundation material

٣ - حساب نصف قطر القساوة المؤثرة

$$L = \sqrt[4]{\frac{D}{k_s}} \quad (\text{units of length})$$

لاحظ أن منطقة تأثير أي عمود هي من ٣ إلى ٤ مرات نصف قطر L .

٤ - حساب العزوم المماسة والقطرية والقص والهبوط باستخدام المعادلات الآتية :

$$M_r = -\frac{P}{4} \left[Z_4 - \frac{1 - \mu_c}{x} Z'_3 \right]$$

$$M_t = -\frac{P}{4} \left(\mu_c Z_4 + \frac{1 - \mu_c}{x} Z'_3 \right)$$

$$\Delta H = \frac{PL^2}{8D} \quad (\text{at load})$$

$$\Delta H = \frac{PL^2}{4D} Z_3 \quad (\text{at distance } r \text{ from load})$$

$$V = -\frac{P}{4L} Z'_4$$

μ_c = Poisson's ratio for mat (use 0.15 for concrete)

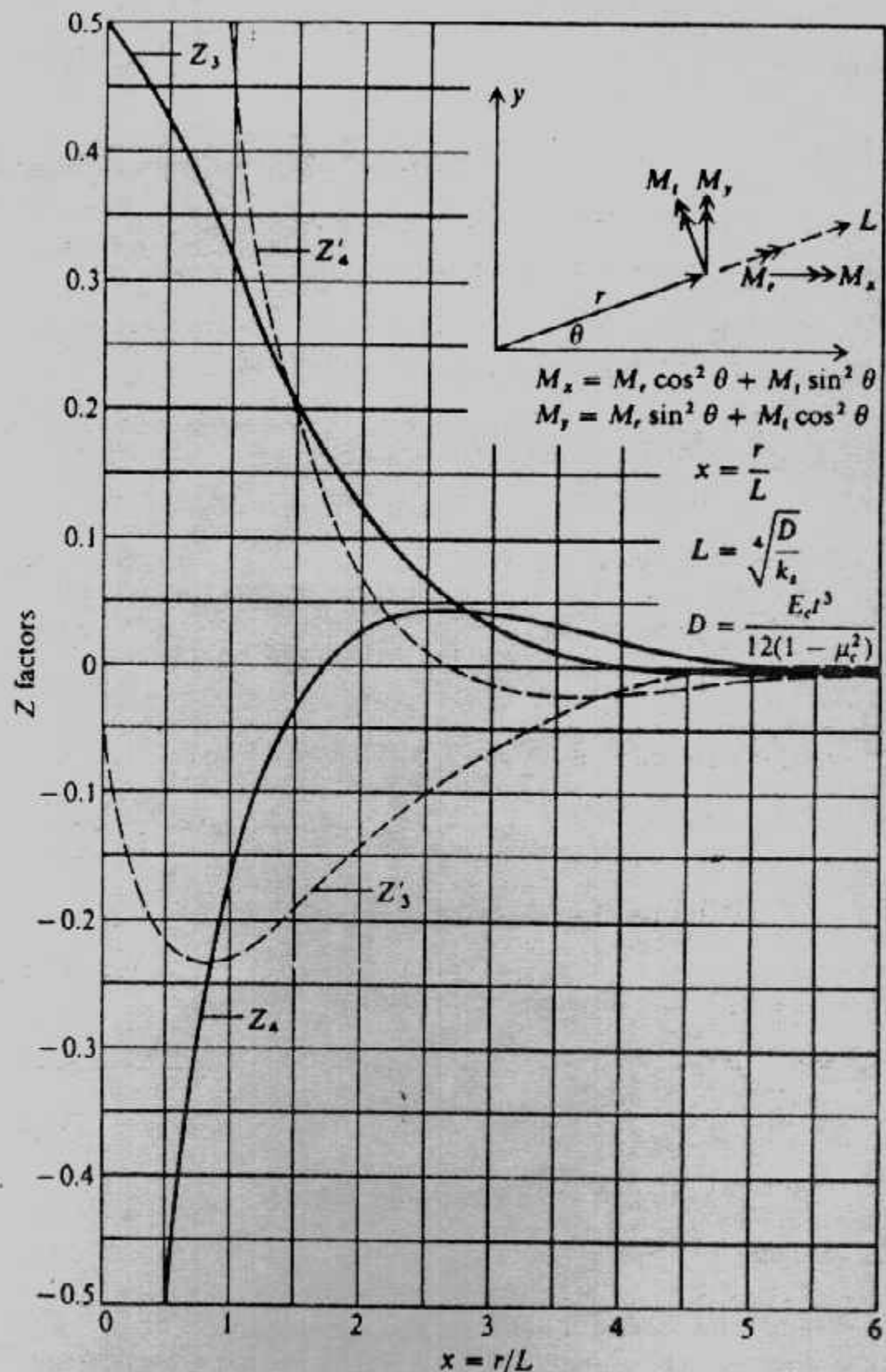
x = distance ratio r/L

Z_i = factors

M_r, M_t = radial and tangential moments per unit of width

V = shear per unit of width of plate

على محاور مستطيلة يمكن حسابها كما هو مبين بشكل (٥١-٨) .



شكل (٨-٥) : معاملات طريقة المرونة التقربيّة .

- إذا كانت حافة اللبسة تقع في منطقة تأثير العمود فإن العزم والقص على طول الحافة يعين على افتراض أن اللبسة ممتدة في هذا المكان . ويؤخذ القص والعزم عند الحافة الموازية كحمل حافة بإشارة معاكسة .

تصميم اللبسة بطريقة الفروق المحدودة :

Design of Mat by Finite Differences Method :

طريقة الفروق المحدودة لللبسة تستخدم المعادلة التفاضلية من الدرجة الرابعة للأسطح والقشريات

$$\frac{\partial^4 w}{\partial x^4} + \frac{2\partial^4 w}{\partial x^2 \partial y^2} + \frac{\partial^4 w}{\partial y^4} = \frac{q}{D} + \frac{P}{D(\partial x \partial y)}$$

وبالتعويض المباشر عن w من جدول (١٠-٨) وباستخدام $\partial x = \partial y = h$ نرى أن معادلة الفروق المحدودة للهبوط عند أي نقطة عقدية على اللبسة باستخدام شبكة مربعة شكل (٥٢-٨) تصبح

$$20w_0 - 8(w_T + w_B + w_R + w_L) + 2(w_{TL} + w_{TR} + w_{BL} + w_{BR}) + (w_{TT} + w_{BB} + w_{LL} + w_{RR}) = \frac{qh^4}{D} + \frac{Ph^2}{D}$$

الإشارات $P + q$ تكون في الاتجاه السفلي، q تكون جهد التربة لأعلى أو حمل اللبسة لأسفل كما أن جهد التربة يرتبط بمعامل رد فعل التربة

$$-q = k_s w$$

وأخذ القيمة السابقة للهبوط ونقلها للطرف الأيسر من المعادلة الرئيسية تنتج زيادة في جزء $20w$ إلى :

$$\left(20 + k_s \frac{h^4}{D}\right)w_0$$

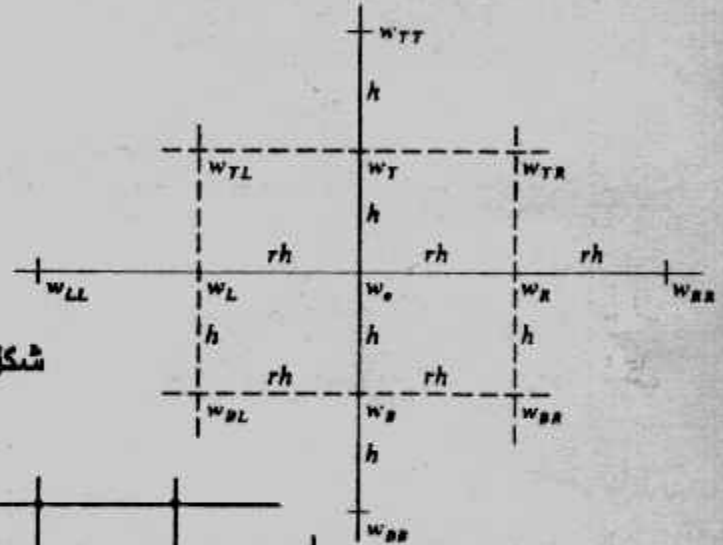
ويجب مراعاة الوحدات فإذا كان qh^4/D بالمتر فإن الهبوط w يكون بالметр . ويوضح شكل (٥٣-٨) تطبيق المعادلة الرئيسية السابقة .

ويحل اللبسة بشبكة مستطيلة أبعادها lh كما في شكل (٤-٨) فإن المعادلة الرئيسية تأخذ الشكل الآتي .

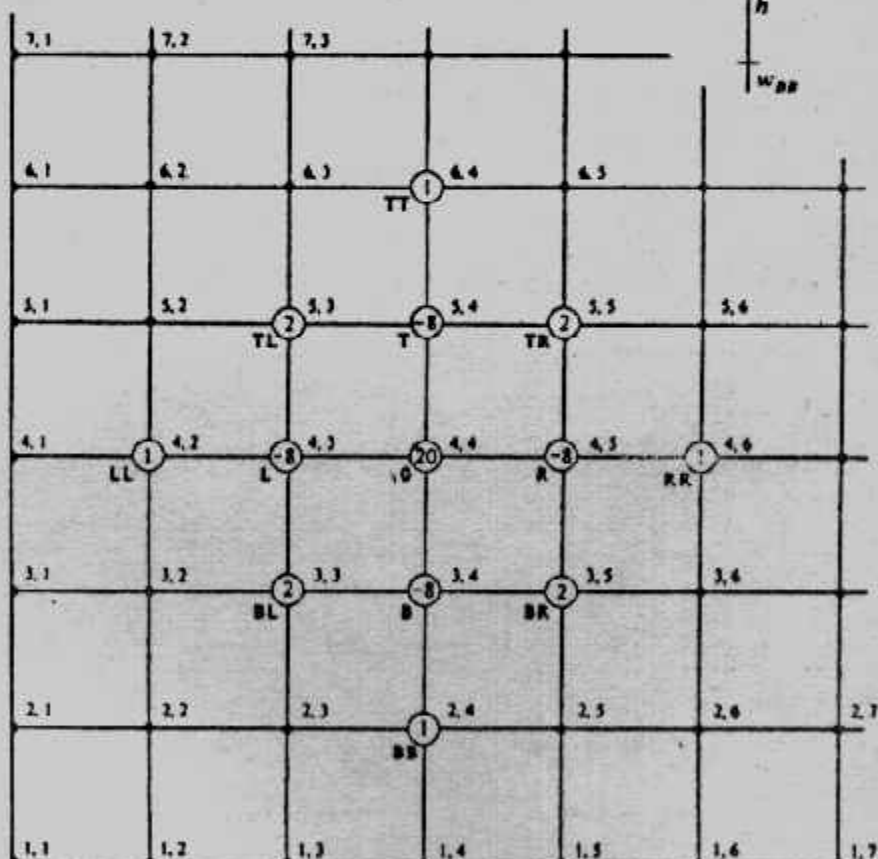
$$\left(\frac{6}{r^4} + \frac{8}{r^2} + 6 \right) w_o + \left(-\frac{4}{r^4} - \frac{4}{r^2} \right) (w_L + w_R) + \left(-\frac{4}{r^2} - 4 \right) (w_T + w_B) \\ + \frac{2}{r^2} (w_{TL} + w_{TR} + w_{BL} + w_{BR}) + w_{TT} + w_{BB} + \frac{1}{r^4} (w_{LL} + w_{RR}) = \frac{qrh^2}{rD} + \frac{Ph^2}{rD} \\ \text{وحيث } q = -k_s w_o \text{ فان عنصر } w_o \text{ يصبح:}$$

$$\left(\frac{6}{r^4} + \frac{8}{r^2} + 6 + \frac{k_s h^4}{D} \right) w_o$$

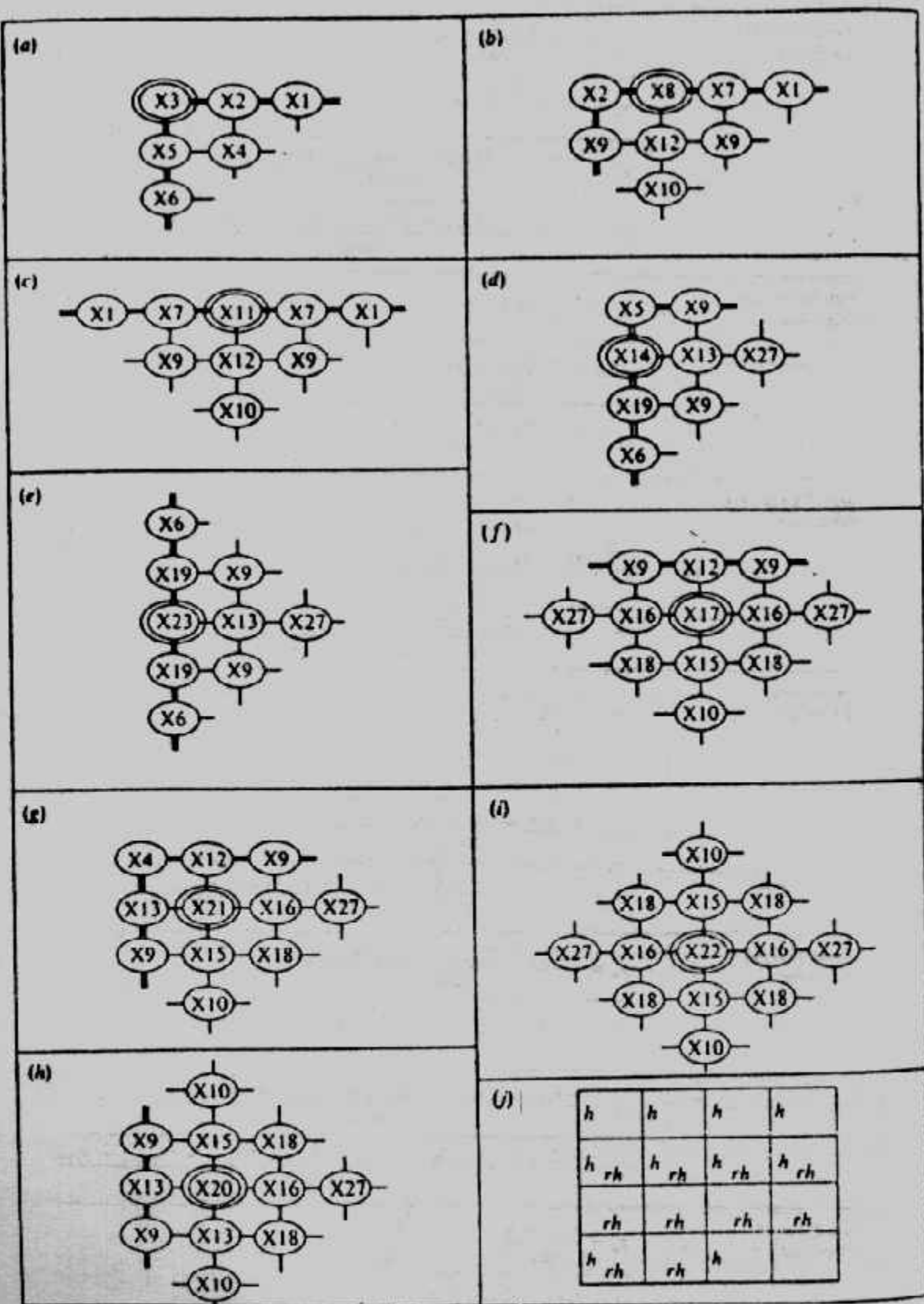
ويوضح شكل (٥٤-٨) وجدول (١١-٨) تطبيق المعادلة الأخيرة على شبكة مستطيلة.



شكل (٥٤-٨): شبكة الفروق المحدودة



شكل (٥٣-٨) : تطبيق معادلة الفروق المحدودة.



شكل (٨-٥٤) : طريقة الفروق المحدودة على شبكة مستطيلة .

جدول (٨-١٠) الفروق المحدودة

Second forward differences	$y'_n = \frac{-y_{n+2} + 4y_{n+1} - 3y_n}{2(\Delta x)}$ $y''_n = \frac{-y_{n+3} + 6y_{n+2} - 5y_{n+1} + 2y_n}{(\Delta x)^2}$ $y'''_n = \frac{-3y_{n+4} + 14y_{n+3} - 24y_{n+2} + 18y_{n+1} - 5y_n}{2(\Delta x)^3}$ $y^{(4)}_n = \frac{-2y_{n+5} + 11y_{n+4} - 24y_{n+3} + 26y_{n+2} - 14y_{n+1} + 3y_n}{(\Delta x)^4}$
First backward differences	$y'_n = \frac{y_n - y_{n-1}}{\Delta x}$ $y''_n = \frac{y_n - 2y_{n-1} + y_{n-2}}{(\Delta x)^2}$ $y'''_n = \frac{y_n - 3y_{n-1} + 3y_{n-2} - y_{n-3}}{(\Delta x)^3}$
Second backward differences	$y'_n = \frac{3y_n - 4y_{n-1} + y_{n-2}}{2(\Delta x)}$ $y''_n = \frac{2y_n - 5y_{n-1} + 4y_{n-2} - y_{n-3}}{(\Delta x)^2}$ $y'''_n = \frac{5y_n - 18y_{n-1} + 24y_{n-2} - 14y_{n-3} + 3y_{n-4}}{2(\Delta x)^3}$
First central differences	$y'_n = \frac{y_{n+1} - y_{n-1}}{2(\Delta x)}$ $y''_n = \frac{y_{n+1} - 2y_n + y_{n-1}}{(\Delta x)^2}$ $y'''_n = \frac{y_{n+2} - 2y_{n+1} + 2y_{n-1} - y_{n-2}}{2(\Delta x)^3}$ $y^{(4)}_n = \frac{y_{n+2} - 4y_{n+1} + 6y_n - 4y_{n-1} + y_{n-2}}{(\Delta x)^4}$
Second central differences	$y'_n = \frac{-y_{n+2} + 8y_{n+1} - 8y_{n-1} + y_{n-2}}{12(\Delta x)}$ $y''_n = \frac{-y_{n+2} + 16y_{n+1} - 30y_n + 16y_{n-1} - y_{n-2}}{12(\Delta x)^2}$ $y'''_n = \frac{-y_{n+3} + 8y_{n+2} - 13y_{n+1} + 13y_{n-1} - 8y_{n-2} + y_{n-3}}{8(\Delta x)^3}$ $y^{(4)}_n = \frac{-y_{n+3} + 12y_{n+2} - 39y_{n+1} + 56y_n - 39y_{n-1} + 12y_{n-2} - y_{n-3}}{6(\Delta x)^4}$
First forward differences	$y'_n = \frac{y_{n+1} - y_n}{\Delta x}$ $y''_n = \frac{y_{n+2} - 2y_{n+1} + y_n}{(\Delta x)^2}$ $y'''_n = \frac{y_{n+3} - 3y_{n+2} + 3y_{n+1} - y_n}{(\Delta x)^3}$ $y^{(4)}_n = \frac{y_{n+4} - 4y_{n+3} + 6y_{n+2} - 4y_{n+1} + y_n}{(\Delta x)^4}$

جدول (٨-١١) قيم الفروق المحدودة

$$X1 = \frac{1}{2r^4} (1 - \mu^2)$$

$$X2 = -\frac{1}{r^4} (1 - \mu^2) - \frac{2}{r^2} (1 - \mu)$$

$$X3 = \frac{1}{2r^4} (1 - \mu^2) + \frac{2}{r^2} (1 - \mu) + \frac{1}{2} (1 - \mu^2)$$

$$X4 = \frac{2}{r^2} (1 - \mu)$$

$$X5 = -\frac{2}{r^3} (1 - \mu) - (1 - \mu^2)$$

$$X6 = \frac{1}{2} (1 - \mu^2)$$

$$X7 = \frac{2}{r^4} (1 - \mu^2) - \frac{2}{r^3} (1 - \mu)$$

$$X8 = \frac{5}{2r^4} (1 - \mu^2) + \frac{4}{r^2} (1 - \mu) + 1.0$$

$$X9 = \frac{1}{r^3} (2 - \mu)$$

$$X10 = 1.0$$

$$X11 = \frac{3}{r^4} (1 - \mu^2) + \frac{4}{r^2} (1 - \mu) + 1.0$$

$$X12 = -\frac{2}{r^3} (2 - \mu) - 2.0$$

$$X13 = -\frac{2}{r^4} - \frac{2}{r^3} (2 - \mu)$$

$$X14 = \frac{1}{r^4} + \frac{4}{r^2} (1 - \mu) + \frac{1}{2} (1 - \mu^2)$$

$$X15 = -\frac{4}{r^3} - 4$$

$$X16 = -\frac{4}{r^4} - \frac{4}{r^3}$$

$$X17 = \frac{6}{r^4} + \frac{8}{r^2} + 5$$

$$X18 = \frac{2}{r^2}$$

$$X19 = -\frac{2}{r^3} (1 - \mu) - 2(1 - \mu^2)$$

$$X20 = \frac{5}{r^4} + \frac{8}{r^2} + 6$$

$$X21 = \frac{5}{r^4} + \frac{8}{r^2} + 5$$

$$X22 = \frac{6}{r^4} + \frac{8}{r^2} + 6$$

$$X23 = \frac{1}{r^4} + \frac{4}{r^2} (1 - \mu) + 3(1 - \mu^2)$$

$$X27 = \frac{1}{r^4}$$

والمقادير المبينة في شكل (٨-٥٤) يمكن استخدامها لحل أي مسألة سواء كانت الشبكة مستطيلة أو مربعة، وعلى سبيل المثال إذا أخذنا ركن من اللبسة كما هو مبين في شكل (٨-٥٥) فإنه يمكن الحصول على معادلة الفروق المحدودة للنقطة العقدية باستخدام نظام شبكة النقطة المركزية Centre-point grid system وعلاقة العزم.

$$\frac{\partial^2 w}{\partial x^2} + \mu \frac{\partial^2 w}{\partial y^2} = 0$$

$$\frac{\partial^3 w}{\partial x^3} + (2 - \mu) \frac{\partial^3 w}{\partial x \partial y^2} = 0$$

وعلاقة القص

والعزم والقص المتعامدان على الحافة الحرجة يساويان الصفر . وإذا كانت نقطة ١٩ على اللبسة فإنه لا توجد مشكلة . ولكن لو كانت غير موجودة على اللبسة كما هو الحال هنا فإننا نطبق المعادلتين السابقتين . وبمساواة العزم المتعامد على الحافة عند نقطة ١٨ بالصفر نجد :

$$\frac{1}{(rH)^2} (w_{17} - 2w_{18} + w_{19})^2 + \frac{\mu}{H^2} (w_{22} - 2w_{18} + w_{19}) = 0$$

وبحذف H^2 نتحول إلى :

$$w_{17} - 2w_{18} + w_{19} + \mu r^2 w_{22} - 2\mu r^2 w_{18} + \mu r^2 w_{19} = 0$$

وبالحل لـ Wig نجد :

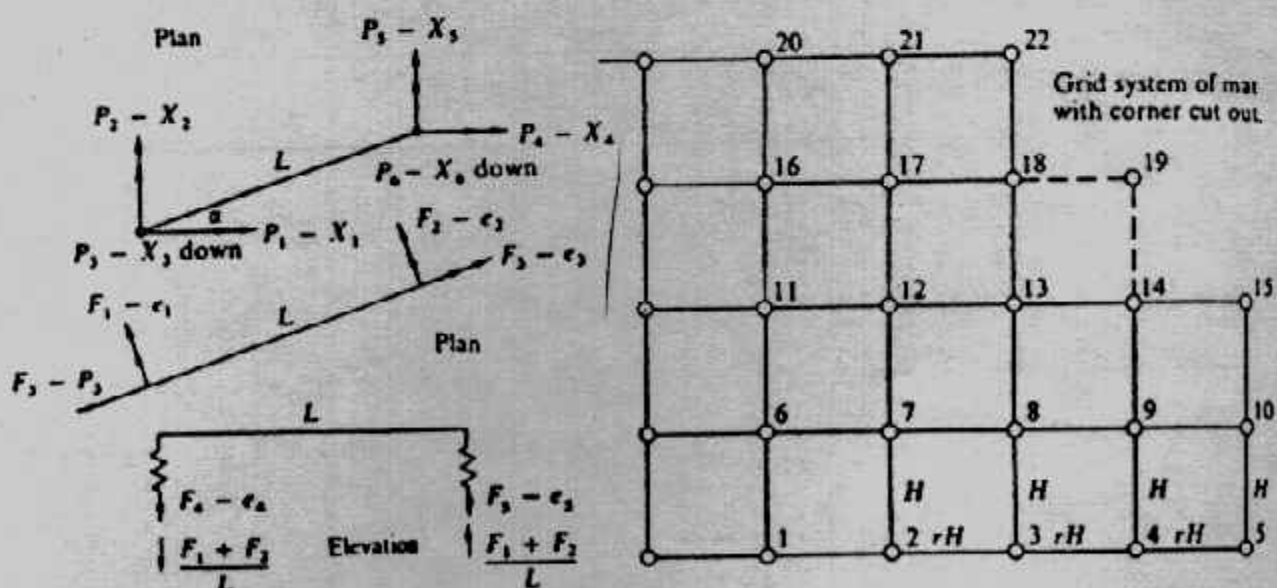
$$w_{19} = -\mu r^2 w_{13} - w_{17} + (2 + 2\mu r^2) w_{18}$$

وبالتعويض عن هذه القيمة في قيمة الفرق عند نقطة ١٣ وتطبيق $2r^2/H^4$ نحصل على معادلة

الفرق المحدودة عند نقطة ١٣ وباستخدام جدول (١١-٨) .

$$\begin{aligned} X10 \cdot w_3 + X18 \cdot w_7 + X15 \cdot w_8 + X18 \cdot w_9 + X27 \cdot w_{11} + \\ + (X22 - 2\mu) \cdot w_{13} + X16 \cdot w_{14} + X27 \cdot w_{15} + 0 \cdot w_{17} \\ + (-4 + 4\mu) \cdot w_{18} + (1 - 2\mu) \cdot w^{22} = \frac{1}{Dr^5} [PH^2 - k_s(rH)^2 \cdot w_{13}] \end{aligned}$$

ويعيّب طريقة الفرق المحدودة تلك المصفوفة الكبيرة التي يجب حلها بالكمبيوتر والتي تأخذ وقتاً طويلاً وقد تصل المصفوفة إلى 1000×1000 . كما يعيّب هذه الطريقة أيضاً إدخال تأثير حالات الحدود وحالات تثبيت العمود، وإدخال تأثير وجود تقوب وميول بخزانة اللبسة، كذلك صعوبة الحل بوجود عزم مركز في نقطة بل يجب توزيع العزم على عرض اللبسة . أما مزايا هذه الطريقة فتتمثل في سهولة وسرعة التطبيق .

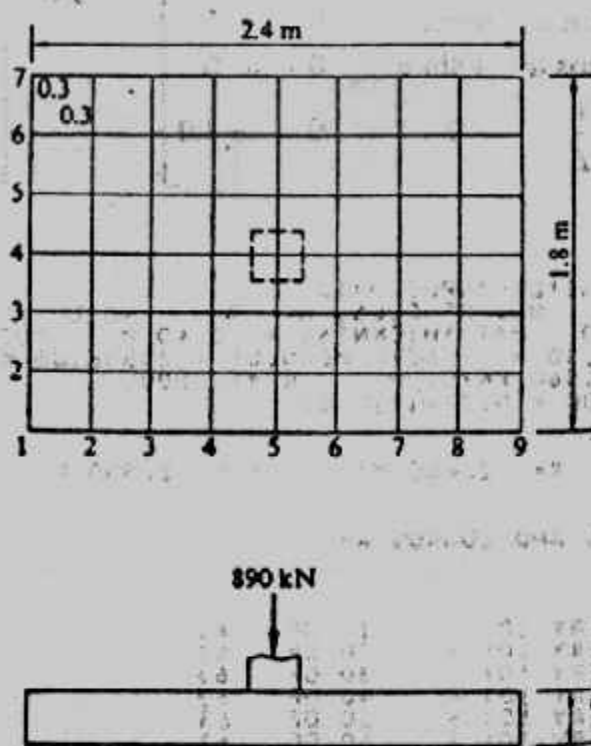


شكل (٨-٥٥) : نقطة خارج اللبسة .

Example (8-11):

Compute the bending moments of the rectangular spread footing (metric) shown in Fig.(8-56) use a grid of 0.3×0.3 m. Take $E_c = 22,408.730$ kN/sq m. The

allowable soil pressure is 2 kg/sq cm. from which one can compute $k = 23.536 \text{ kN/cu m}$. Concrete unit weight (γ_c) gives 23.56 kN/cu.m. Poisson's ratio is taken as 0.15.



شكل (١١-٨) : مثال (٥٦-٨).

Solution :

Figs. (8-57, 58, 59, 60) give the input and output of solution.

تصميم اللبسة بطريقة العناصر المحدودة :

Finite Element Method for Mat Foundation :

في طريقة العناصر المحدودة تكون الإزاحة على الشكل الآتي :

$$u = a_1 + a_2X + a_3Y + a_4X^2 + a_5XY + a_6Y^2 + a_7X^3 + a_8X^2Y + a_9XY^2 \\ + a_{10}Y^3 + a_{11}X^4 + a_{12}X^3Y + a_{13}X^2Y^2 + a_{14}XY^3 + a_{15}Y^4$$

وبالنسبة للمستطيل يوجد ثلات إزاحات عند كل ركن (node) أي ١٢ مجهول شكل

(١١-٨)

ويتقسم اللبسة إلى أعضاء شبكيّة grid members بمقاومة لـ وعزم وصفات الأعضاء الشبكيّة يمكن تعينها من الأبعاد التي تحدد من موقع العضو داخل الشبكة. فمثلاً الأعضاء من ١ إلى ٣ لها عرض يعادل نصف عرض الأعضاء ٤، ٨، ١٠، ١١. وبالرجوع لشكل (٣٩-٨) الذي يوضح عنصر P-X ومخطط F-e يتم الحصول على المصفوفة A والمصفوفة S.

$$A = \begin{bmatrix} P \setminus F & 1 & 2 & 3 & 4 & 5 \\ 1 & -\sin \alpha & 0 & -\cos \alpha & 0 & 0 \\ 2 & +\cos \alpha & 0 & -\sin \alpha & 0 & 0 \\ 3 & +\frac{1}{L} & +\frac{1}{L} & 0 & -1.0 & 0 \\ 4 & 0 & -\sin \alpha & +\cos \alpha & 0 & 0 \\ 5 & 0 & +\cos \alpha & +\sin \alpha & 0 & 0 \\ 6 & -\frac{1}{L} & -\frac{1}{L} & 0 & 0 & -1.0 \end{bmatrix} \quad S = \begin{bmatrix} F \setminus e & 1 & 2 & 3 & 4 & 5 \\ 1 & \frac{4EI}{L} & \frac{2EI}{L} & 0 & 0 & 0 \\ 2 & \frac{2EI}{L} & \frac{4EI}{L} & 0 & 0 & 0 \\ 3 & 0 & 0 & \frac{GJ}{L} & 0 & 0 \\ 4 & 0 & 0 & 0 & K & 0 \\ 5 & 0 & 0 & 0 & 0 & K \end{bmatrix}$$

MAT FOUNDATION INPUT DATA
 NO OF ROWS, N = 7 NO. OF COLS, M = 9 NO. OF NON-ZERO Q-VALUES = 1
 POISSONS RATIO = .150 MAT THICKNESS = 0.40 M MOD ELAS = 22408730.0 KN/SQ
 GRID DIMENSION = 0.30 M SOIL MODULUS = 23536.00 KN/CU M
 UNIT WT OF FTG = 23.560 KN/CU M R = 1.00000
 D = 122264. DD = 0.736111D-06

MAT DIMENSIONS ARE: X = 2.400 M Y = 1.800 M

THE FOUNDATION LOADS AND COORDS ARE

4	5	890.000
INVERSION COUNT	(EVERY 10)	= 10 OF 63
INVERSION COUNT	(EVERY 10)	= 20 OF 63
INVERSION COUNT	(EVERY 10)	= 30 OF 63
INVERSION COUNT	(EVERY 10)	= 40 OF 63
INVERSION COUNT	(EVERY 10)	= 50 OF 63
INVERSION COUNT	(EVERY 10)	= 60 OF 63

THE LOAD MATRIX & FTG WEIGHT					
INCL	DDIV	FOOTING WT	LOAD	MATRIX	FFECTING WT
1	0.00000	0.212040	33	0.000001	0.848159
2	0.CCCCC00	0.424079	34	0.000001	0.848159
3	C.CCC000	0.424079	35	0.000001	0.848159
4	0.00000	0.424079	36	0.000000	0.424079
5	0.CCC000	0.424079	37	0.000000	C.424079
6	C.CCC000	0.424079	38	0.000001	0.848159
7	0.CCCCC00	0.424079	39	0.000001	0.848159
8	0.CCCCC00	0.424079	40	0.000001	0.848159
9	C.CCC000	0.212040	41	0.000001	0.848159
10	0.CCC000	0.424079	42	0.000001	0.848159
11	0.00001	0.848159	43	0.000001	0.848159
12	0.COC001	0.848159	44	0.000001	0.848159
13	C.CCO001	0.848159	45	0.000000	0.424079
14	0.COO001	0.848159	46	0.000000	0.424079
15	0.COO001	0.848159	47	0.000001	0.848159
16	0.COO001	0.848159	48	0.000001	0.848159
17	0.COC001	0.848159	49	0.000001	0.848159
18	0.COO000	0.424079	50	0.000001	0.848159
19	0.OCC000	0.424079	51	0.000001	0.848159
20	0.CCO001	0.848159	52	0.000001	0.848159
21	0.COO001	0.848159	53	0.000001	0.848159
22	0.COO001	0.848159	54	0.000000	0.424079
23	C.CCO001	0.848159	55	0.000000	0.212040
24	0.COO001	0.848159	56	0.000000	0.424079
25	0.COC001	0.848159	57	0.000000	C.424079
26	0.COC001	0.848159	58	0.000000	0.424079
27	0.CCCCC00	0.424079	59	0.000000	0.424079
28	0.COO000	0.424079	60	0.000000	C.424079
29	C.CCO001	0.848159	61	0.000000	0.424079
30	0.CCO001	0.848159	62	0.000000	0.424079
31	0.000001	0.848159	63	0.000000	0.212040

شكل (٦٢-٨) : مثال (٥٧-٨)

ويای التربة يحسب من $k_{LB/4}^T$ ، كما يمكن تكوين المصفوفات ASA^T , SA^T وكما هو مبين في شكل (٦٢-٨) يمكن تكوين المصفوفة ASA^T لكل نقطة node ثم يتم تكوين المصفوفة ASA^T الكلية للبasha . ثم يستكمل الحل كما سبق بيانه بالنسبة للكمرة للعناصر المحدودة.

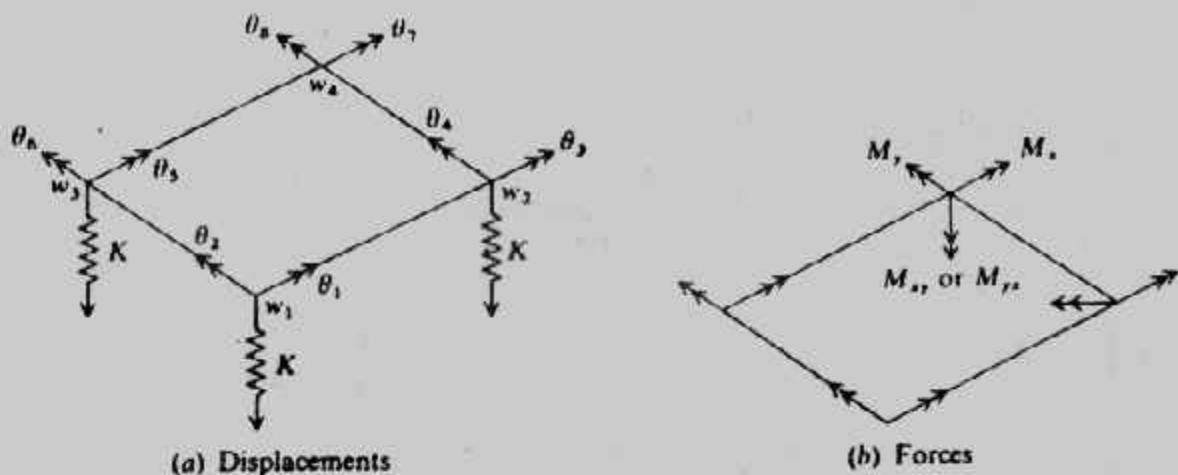
THE BENDING MOMENTS IN SLAB ARE AS FOLLOWS			COORDS X-AXIS Y-AXIS		
COORCS	X-AXIS	Y-AXIS	COORDS	X-AXIS	Y-AXIS
1	1	0.0	5	1	-25.6848
2	2	-16.2486	5	2	-28.6743
3	3	-42.5486	5	3	-37.3836
4	4	-75.1063	5	4	-46.9084
5	5	-94.5094	5	5	-44.4842
6	6	-75.1063	5	6	-46.9084
7	7	-42.5486	5	7	-37.3836
8	8	-16.2486	5	8	-28.6743
9	9	0.0	5	9	-25.6848
10	1	0.0	6	1	-13.2687
11	2	-11.4208	6	2	-11.4208
12	3	-39.1576	6	3	-11.2186
13	4	-79.6091	6	4	-7.9276
14	5	-111.5566	6	5	-111.5566
15	6	-79.6091	6	6	-79.6091
16	7	-39.3576	6	7	-39.3576
17	8	-11.4208	6	8	-11.4208
18	9	0.0	6	9	-13.2687
19	1	0.0	7	1	0.0
20	2	-25.6848	7	2	0.0
21	3	-6.8705	7	3	-28.6743
22	4	-35.1486	7	4	-42.5486
23	5	-87.5601	7	5	-75.1063
24	6	-157.9818	7	6	-94.5094
25	7	-87.5601	7	7	-44.4842
26	8	-35.1486	7	8	-75.1063
27	9	-6.8705	7	9	-46.9084
28	1	0.0	8	1	-16.2486
29	2	-32.3637	8	2	-37.3836
30	3	-3.0026	8	3	-42.5486
31	4	-28.0423	8	4	-75.1063
32	5	-84.8139	8	5	-94.5094
33	6	-247.5834	8	6	-44.4842
34	7	-84.8139	8	7	-75.1063
35	8	-28.0423	8	8	-46.9084
36	9	0.0	8	9	-16.2486
37	1	0.0	9	1	0.0
38	2	-32.3637	9	2	0.0
39	3	-3.0026	9	3	-28.6743
40	4	-28.0423	9	4	-42.5486
41	5	-84.8139	9	5	-75.1063
42	6	-247.5834	9	6	-94.5094
43	7	-84.8139	9	7	-44.4842
44	8	-28.0423	9	8	-75.1063
45	9	0.0	9	9	-46.9084

شكل (٨-٥٩) : مثال (٨-١١) .

طريقة الشبكات المحدودة للبasha :

The Finite-Grid Method for Mat Foundation

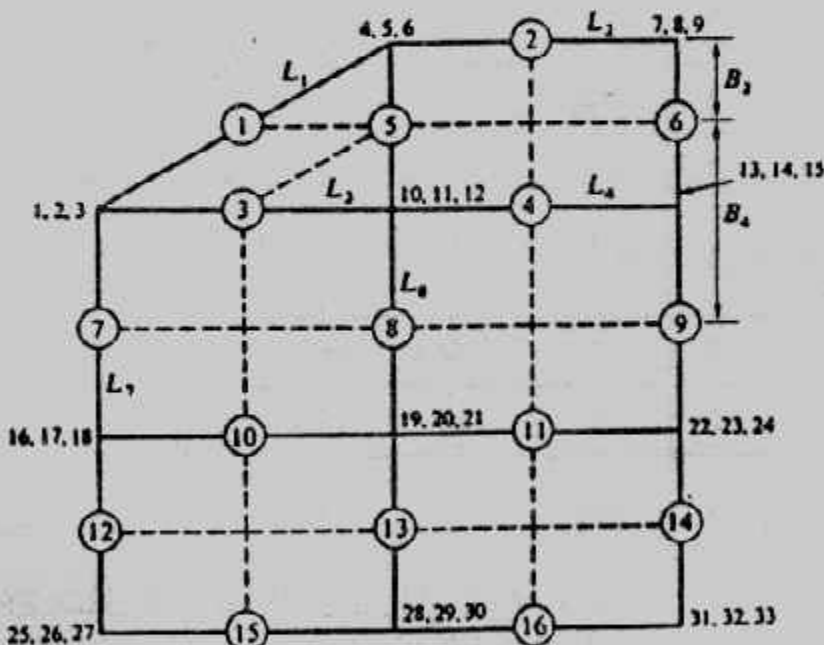
- هذه الطريقة أنساب الطرق لتصميم البasha حيث أنها تميز بما يلى :
- من السهل تفسير نتائج عناصر العمود - الكمرة والمعرضة لعزم أولى فقط، حيث يكون العزم لوحدة العرض هو عزم النقطة العقدية مقسوما على عرض العنصر .
 - من السهل الحصول على القص فى نهايات العناصر، حيث يكون القص هو مجموع العزوم عند نهايات العناصر مقسوما على طول العنصر وعرضه ويكون هذا القص لوحدة العرض .
 - من السهل إدخال عزوم الأعمدة المركزية .
 - من السهل إدخال حالات الحدود .
 - هذه الطريقة أسهل بها عمل امتداد للنقط العقدية ذات الثلاث درجات تحرر إلى نقط عقدية ذات ست درجات تحرر 6-degree of freedom أسلوب الحل بهذه الطريقة يتشابه مع طريقة العناصر المتماهية في الصفر (المحدودة) الممتدة إلى العمود - الكمرة والمستخدمة للأسطح Plates وتستخدم نفس المعادلات :



شكل (٦١-٨) طريقة العناصر المحدودة باستخدام العنصر المستطيل.

$$\begin{aligned} P &= AF & e &= A^T X F & = S e = S A^T X \\ P &= ASA^T X & \text{and} & & X = (ASA^T)^{-1} P \end{aligned}$$

ولكن قبل ذلك يجب تطوير مصفوفات ES, EA



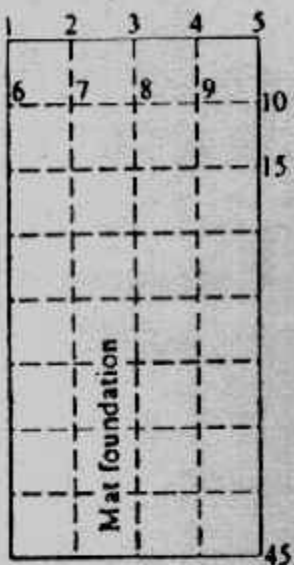
شكل (٦٢-٨) تقسم اللبسة بالأعضاء الشبكية.

بالرجوع لشكل (٦٣-٨) فإن المصفوفة EA تكون من ΣF عند كل نقطة ومثلا عند نقطة ١

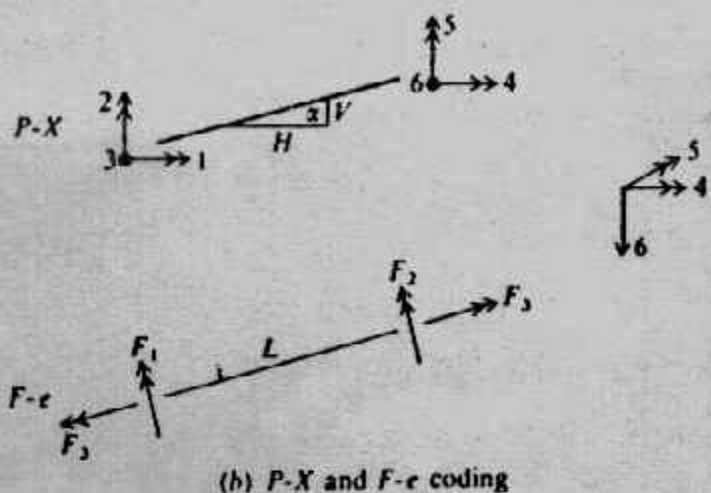
$$P_1 = F_1 \sin \alpha + OF_2 - F_3 \cos \alpha$$

$$P_2 = F_1 \cos \alpha + OF_2 - F_3 \sin \alpha$$

$$P_3 = F_1/L + F_2/L + OF_3$$



(a) Gridding



(b) $P-X$ and $F-e$ coding

شكل (٦٣-٨) : طريقة الشبكات المحدودة للبasha.

وتكون المصفوفة الناتجة هي :

$$EA = \begin{array}{c|ccc} & F & 1 & 2 & 3 \\ \hline 1 & -\sin \alpha & 0 & -\cos \alpha & \\ \hline 2 & \cos \alpha & 0 & -\sin \alpha & \\ \hline 3 & \frac{1}{L} & \frac{1}{L} & 0 & \\ \hline 4 & 0 & -\sin \alpha & \cos \alpha & \\ \hline 5 & 0 & \cos \alpha & \sin \alpha & \\ \hline 6 & -\frac{1}{L} & -\frac{1}{L} & 0 & \end{array}$$

وتأخذ المصفوفة ES الشكل الآتى شاملًا معامل اللي لقوة F_3 .

$$ES = \begin{array}{c|ccc} & F & 1 & 2 & 3 \\ \hline 1 & \frac{4EI}{L} & \frac{2EI}{L} & 0 & \\ \hline 2 & \frac{2EI}{L} & \frac{4EI}{L} & 0 & \\ \hline 3 & 0 & 0 & \frac{\Omega GJ}{L} & \end{array}$$

ومعامل اللي (يجب أن يحسب للشبكات المستطيلة ومعامل الضبط 2) يستخدم لجعل الحل أفضل

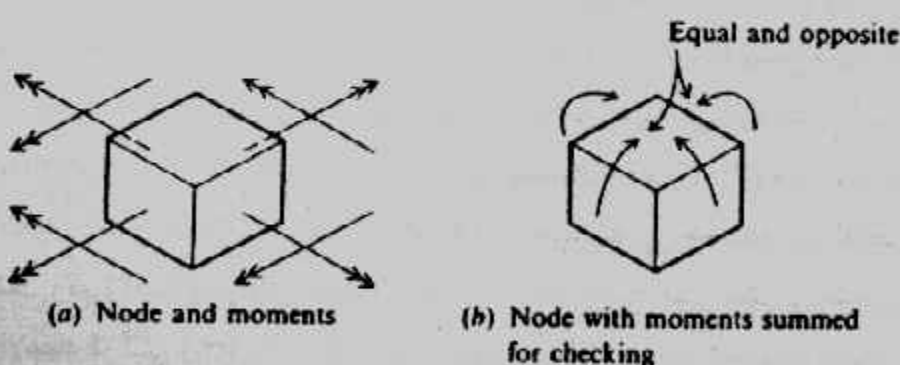
$$\Omega = 0.75L/B \leq 1.1$$

حيث L هما أطوال عنصر الشبكة : الطول والعرض . ومبادر د فعل الترب كياب عند النقط سهل تطويره حيث يكون العنصر القطرى فى مصفوفة القساوة هو معامل ياب التربة K_i

$$(A_{ii} + K_i) X_i = P_i$$

وللأساسات المنفصلة يؤخذ $K_i = 0$ ويعاد تكون مصفوفة القساوة stiffness matrix وتحل مرة أخرى لإيجاد الإزاحات X . وتمثل خطوات الحل بهذه الطريقة بإيجاد تحانة اللبنة المقاومة للقص . ومن الإزاحات من $P^{-1}(ASA^T) = X$ يمكن حل ASA^T يمكن حل $EASA^T$ لكل عنصر لإيجاد قوى العنصر . وبرنامج الكمبيوتر يمكنه إخراج المصفوفات $ASA^T(EASA^T)$ ، $SA^T(EASA^T)$

ويكرر الحل إلى أن يصل إلى التقارب ، والتقارب يعني أن يكون عدد النقط العقدية الحالى بالترابة N يساوى $N-1$ عدد النقط المستخدمة أو $N_i = N-1$ وحينما يحدث التقارب فإن البرنامج حينئذ يحسب عزوم العنصر وقوى اللي باستخدام $F = ESA^T X$ ويجب التحقق من العزوم الناتجة عند النقط . شكل (٦٤-٨) . كما يجب ملاحظة أنه عند أي نقطة عقدية يكون مجموع القوى الرئيسية من مصفوفة P ورد فعل التربة ومجموعة قوى القص للعنصر عند النقطة مساويا الصفر .



Checking moments in output for statistics at a node.

شكل (٦٤-٨) : التحقق من العزوم عند النقطة .